

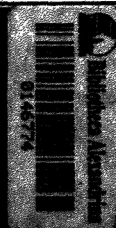
# المسح الهندسى

تحليل نظري ومسائل امتحانية للطلاب

الجزء الثانى

تأليف  
و. سكوفيلد

تعريب  
رايخ شحات





# **المصحح الهندسي**

**تحليل نظري ومسائل امتحانية للطلاب**

## **الجزء الثاني**

**تأليف**

**و . سكوفيلد**

**تعريب**

**وياني شعلان**

**عضو مشارك في جمعية المهندسين المدنيين البريطانية**

**مدرس في قسم المساحة بمعهد تكنولوجيا بغداد سابقا**



الطبعة الاولى

١٩٩٠



اهداء

الى من وقفت بجانبى وكانت

العين ... زوجتي

رياض



## مقدمة المؤلف

تشمل الاصدارة الثانية هذه من كتاب المسح الهندسي - الجزء الثاني تلك الجوانب من موضوع المساحة الاكثر تقدما والتي تكون عادة ضمن مناهج السنة الاخيرة لدراسة البكلوريوس او الدبلوم في الهندسة . وقد تم اختيار عدد كبير من الامثلة المحلوكة باعتبارها ووضعت في نهاية كل موضوع خلال الفصل الواحد وذلك لتقوية الفهم السليم للافكار المتضمنة . وفي اخر كل فصل تم وضع تمارين للطلاب كاملة مع الاجابات لأغراض الدراسة البيتية .

لقد تم توسيع الفصل الاول كثيرا لأجل اعطاء معالجة مسهبة لدراسة الاخطاء في قراءات اعمال المساحة وتأثير تركيبها مع بعضها وانتشارها والطرق المختلفة المستخدمة لاعطاء نتيجة مقبولة احصائيا . فيبدأ الفصل الأول بوصف الأخطاء المتضمنة وتوزيعها والطرق الاحصائية المختلفة المستخدمة في معالجتها . من ثم ينتقل العمل الى تطبيق قاعدة المربعات الصغرى Least Square في التعديل وفي تحليل قوة شبكات الضبط . وقد تم التعامل مع التحليل النظري والتطبيقات باستخدام كلا الجبر الكلاسيكي وجبر المصفوفة ، كما تمت تغطية مواضيع متعددة مثل وزن وحدة التباين Unit Variance Weighting واختيار افضل الشبكات والتحليلات ما قبل المسح Pre-Survey Analysis . وأعطى اخيرا مثال محلول بشكل كامل عن التعديل وتحليل القوة لشبكة ضبط مختارة لأجل تسهيل فهم النظرية .

وحيث ان الفصل الثاني من الكتاب مختص بمسوحات الضبط Control Surveys فانه يغطي اشكالا واسعة من المواضيع المتعلقة بالطرق الاساسية لتعيين الموقع ، وقد تضمن هذا الفصل ضمن المعالجات : التقاطع الخلفي Resection والتقاطع Intersection والتسوية المثلثية Trigonometric Levelling ونظرية معاملات المقياس Scale Factors وتطبيقاتها وتقارب خطوط السزوال ( خطوط الطول ) Convergence of Meridians وتصحيحات ( t-T ) ...والخ . كما توضع اهمية قياس المسافة الكترومنغناطيسيا بجلاء من خلال المعالجة المسهبة التي تحضهاها .

اما الفصل الثالث فهو يعالج المبادئ المربضة للمسح التصويري الجوي والارضى بما يفيد المهندس الذي يعمل ان يكون مستخدما للمنتج النهائي اكثر من أن يكون

مطبقة للتقنية ، وإلى هذا الحد تم بحث النظرية الاولية وطرق الحصول على تفاصيل ثلاثية الابعاد ( مجسمة ) من الصور الجوية . وعليه فان هذا الاسلوب لا يمكن المهندس من استخدام التقنيات فحسب ( عندما يتطلب الامر ذلك ) وانما يعطى تمهيدا وفهما عميقا للموضوع . كما أنه يمكن القارئ من استيعاب الملاحظات المطلوبة في اعمال التصوير الجوي الشاقولي والتي تم ادراجها بالكامل في نهاية الفصل .

ان الفصل الرابع يبحث في تطبيق علم الفلك الحقل في تعيين الموقع وبذلك يعرف القارئ على المثلثات الكروية وتطبيقاتها على حالات هندسية معينة . ونظراً للصعوبة التي يعانيها الطلاب في فهم فكرة الوقت فقد أطليل البحث بهذا الموضوع باستخدام مبدأ مخططات الساعة Clock Diagrams البسيط .

لقد عني خلال العرض بالتركيز على الفهم التوعوي والمدرک للمبادئ الاساسية للمادة .

يفترض ان يكون هذا الكتاب مفيدا الى الفنيين وطلبة الجامعات في اقسام المساحة والهندسة المدنية وهندسة المناجم وهندسة البلديات اضافة الى اولئك الذين يدرسون لتأدية امتحانات مهنية مختلفة والتي تشمل هذا الموضوع .

#### تشكرات

أقدم امتناني الى مجلس جامعة لندن (LU) وپوليتكنيك كنتزتون (KP) وجمعية المهندسين المدنيين البريطانية (ICE) لسماحهم لي بادراج الأسئلة الموضوعة في امتحاناتهم .

ويلفريد سكوليلد

## مقدمة العرب

يسرني أن أقدم الى القارئ العربي الكريم هذه الطبعة الاولى للجزء الثاني من كتاب « المسح الهندسي »/تحليل نظري ومائل امتحانية للطلاب» وهو الكتاب المكمل للجزء الاول الصادر باللغة العربية .

يشمل هذا الجزء تلك الجوانب لاكثر تقدما من موضوع المساحة والمسح الهندسي والتي تقع عادة ضمن مناهج السنة الاخيرة لدراسة البكالوريوس او الدبلوم فسي اختصاصات الهندسة المدنية والمساحة والري والطرق والتعدين. وهكذا امل بأن الكتاب سيسد جزءا ولو صغيرا من الفراغ الكبير في المكتبة العربية في هذا الاختصاص ليستفيد منه الباحث والممارس للمهنة على حد سواء .

لقد أتبع الأرقام عربية الاصل 1, 2, 3 و... كما أثبتت الحروف اللاتينية A وB وC و.. والحروف الاغريقية  $\alpha$  و  $\beta$  و  $\gamma$  و.. المستخدمة كرموز في المعادلات وتوضيح الاشكال لتسهيل الربط مع بقية المصادر العالمية. كذلك أبقى تسميات النسب المثلثية بلغتها الاصلية وأبقي الاتجاه الاصلي للمعادلات ( من اليسار الى اليمين) لجمعها سلسة وسهلة المتابعة . كذلك فقد أبقى موقع الإشارة ( + و - و  $\times$  و  $\div$  ) بموقعها الاصلي الى يسار المقدار دائما اينما وردت في الكتاب توخيا للدقة وتحاشيا للغموض . عندما ترد التماير الاجنبية بين قوسين فهي تقرأ « من اليسار الى اليمين. وقد وضعت الكتابة العربية بين قوسين عندما اقتضى ادخالها في معادلة اتجاهاها من اليسار الى اليمين .

بالنظر لتنوع التسميات في مصادر علم المساحة في الدول العربية المختلفة فقد دأبت على ذكر المصطلح الاجنبي الى جانب التسمية العربية اينما كان ذلك مفيدا، اضافة الى جداول أعدت بالرموز والمصطلحات في نهاية الكتاب لتكون مرجعا يمكن العودة اليها بسهولة .

واذ اني أقدم الكتاب الى المختص والطالب معا فأنا ارجو السادة المختصين بيان ملاحظاتهم الكريمة للاخذ بها مستقبلا . والله ولي التوفيق .

رباعي شعبان



## المحتويات

### الصحيفة

### الفصل

1

#### الأخطاء والتصحيحات

الاول

تصنيف الأخطاء، تعاريف أخرى، الاحتمال، مؤشرات الدقة، الوزن، رفض القيم الشاذة، توزيع (  $t$  ) : للطلاب، توزيع (  $F$  )، توزيع مربع كاي، تركيب الأخطاء، تعديل الأخطاء بطريقة المربعات الصغرى، تغيير الاحداثيات، تحليل القوة، التحليل ما قبل المسح، اختيار افضل الشبكات

81

#### مسوحات الضبط

الثاني

التثليث بقياس الزوايا، قياس المسافة الكترومتغناطيسيا، تعديل الشكل بالازاحات المتساوية، المحطات التابعة ( الاقمار الصناعية )، التقاطع والتقاطع الخلفي، التثليث بقياس الاضلاع، التضليع، التسوية المثلثية، السطح الكروي، الحسابات على السطح الكروي، انشاء متوازيات خطوط العرض، الاسقاط الميركاتوري العرضي (TMP)، المشبك الوطني، معاملات المقياس، اقتراب خطوط الزوال، تصحيح (t-T)

181

#### المسح التصويري الجوي

الثالث

عملية التصوير، الابعاد الهندسية للصورة الجوية، الضبط الارضي، التخطيط لعملية الطيران، رسم الخطوط القطرية، تركيبة القالب الرقعي المخرم، عملية المشاهدة التجسيمية، منظومات التعديل، الموزائيك وخرائط المسور المتنامدة، مواصفات التصوير الجوي الشاقولي، تطبيقات المسح التصويري في الاعمال الهندسية، المسح التصويري الارضي .

المثلثات الكروية، تعاريف لمصطلحات علم الفلك،  
 الوقت في علم الفلك، تصحيحات القراءة والاجهزة ،  
 طرق ايجاد خط العرض، تعيين السم، خطوط الموقع.





## الأخطاء والتصحيحات

المهمة الاساسية في اعمال المساحة هي تحقيق الضبط بثلاثة ابعاد، ويتم التوصل الي ذلك عادة من خلال القياسات الطولية LINEAR والزواوية ANGULAR، وكذا قياسات الابعاد ان تحوي اخطاء، وعليه تستخدم الوسائل الاحصائية، ليس فقط لتوزيع هذه الاخطاء، وانما لتقدير اعتماد القيمة المستخدمة الاخيرة ضمن حدود ثقة معينة.

## 1-1 تصنيف الأخطاء CLASSIFICATION OF ERRORS

(1) الأخطاء MISTAKES، وتدعى احيانا بالأخطاء الكبيرة GROSS ERRORS، ويجب ان لا تمتص الأخطاء كالأخطاء بتاتا حيث ان الأخطاء تكون ناجمة غالباً عن تعب المساح او قلة خبرته، وكأمثلة نموذجية على ذلك حذف طول شريط قياس بالكامل عند قياس مسافة معينة، وقراءة الرقم 9 على مسطرة مساحة بدلا من الرقم 6 والعكس بالعكس. ويكون نشوء الأخطاء اكثر احتمالا من نشوء الأخطاء وعليه يجب اتخاذ الحيلة القصوى لتجنبها.

(2) الأخطاء النظامية SYSTEMATIC ERRORS، التي يمكن ان تكون ثابتة او متغيرة خلال عملية مسح معينة، وتعرف هذه الأخطاء عادة الى ظروف معروفة، ويمكن احتساب قيمها ومن ثم تعديل الكميات المقاسة بموجيها. فيمكن ان تكون هذه الأخطاء نتيجة ظروف طبيعية، وكأمثلة على ذلك: انكسار الاشعة الضوئية وتغير سرعة الموجات الكهرومغناطيسية في الفضاء وتمدد او تقلص اشرطة القياس الحديدية نتيجة تغير درجات الحرارة. وفي كل هذه الحالات يمكن تطبيق التصحيحات لتقليل تأثيراتها. كذلك يمكن لكذا اخطاء ان تنجم بسبب الاجهزة، وكأمثلة على ذلك: سوء تعبير المزواة او المناسب وخطا المؤشر في موازين النابض وعجز البلورات في معدات قياس المسافة الاليكترومغناطيسية (EDM).

هناك الأخطاء الشخصية للراصد الذي يمكن ان يكون معيبا في عينه مما يجعله يثبت المايكروميتر خطأ، او بقطاع الهدف او غير ذلك خطأ، وغالبا ما تعوض هذه الأخطاء بعضها بعضا، كمثل الراصد الذي يثبت المايكروميتر واطلا عند قراءته اتجاه زاوي معين والذي غالبا ما سيجت المايكروميتر واطلا ايضا عند قراءته الاتجاه الزاوي التالي، وهكذا فالزاوية الناتجة ستكون صحيحة.

تخضع الأخطاء النظامية عموماً إلى القوانين الرياضية والفيزيائية، وهكذا يمكن احتساب وتطبيق التصحيحات الملائمة لها لتقليل تأثيراتها. مع ذلك يشك فيما إذا ستتحذف تأثيرات الأخطاء النظامية بالكامل نهائياً، وهذا يعزى إلى حد كبير إلى عدم إمكانية الحصول على قياسات دقيقة للكميات الداخلة، وكأمثلة نموذجية على ذلك؛ صعوبة الحصول على معامل انكسار موحد خلال عملية قياس المسافات الكنترومغناطيسية وصعوبة الحصول على درجة حرارة شريط القياس الحديدي من قياسات درجة حرارة الهواء بالمحاريير. وهكذا فالأخطاء النظامية هي أصعب ما يمكن التعامل معها وعليه فإنها تتطلب عناية خاصة قبل عملية المسح وخلالها ثم بعدها.

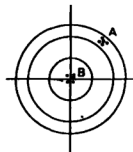
(3) الأخطاء العشوائية RANDOM ERRORS، وهي تلك الأخطاء المتغيرة والتي تبقى موجودة بعد إزالة كافة بقية الأخطاء، حيث أنها تكون خارج نطاق سيطرة الرامد وتنتج عن عدم تمكنه من إجراء قياسات دقيقة لأسباب سبق ذكرها.

يفترض أن للأخطاء العشوائية توزيعاً تكرارياً مستمراً CONTINEOUS FREQUENCY DISTRIBUTION يسمى التوزيع الطبيعي NORMAL DISTRIBUTION كما أنها تخضع لقانون الاحتمال LAW OF PROBABILITY، والمتغير العشوائي في التوزيع الطبيعي الذي معدلته بـ  $\mu$  وانحرافه المعياري  $\sigma$  يكتب بشكله الرمزي  $(N(\mu, \sigma))$ . لأن ما يجب فهمه جيداً هو أن الأخطاء العشوائية وحدها تعامل بالطرق الاحصائية.

### 1-1-1 المبدأ الأساسي للأخطاء Basic concept of errors

يمكن تشبيه المبدأ الأساسي للأخطاء الموجودة في المعلومات المأخوذة من قبل المساح بعملية رمي الهدف.

دعنا نفترض أولاً أن قناصاً ماهراً قد استخدم بندقية بمحورها البصري منحن والتي تسجلت في توزيع الغدائف كما في A في الشكل 1-1.



الشكل 1-1

من حيث كون أن القناص ماهراً (أو معتمد RELIABLE) فهذا يؤكد الانتشار الصغير الذي يدل على دقة PRECISION ممتازة. مع ذلك وبما أن الغدائف هي بعيدة عن المركز بسبب انحناء المحور البصري (خطاً نظامياً) فهي (أي الغدائف) خاطئة تماماً. وكذا حاله يمكن أن تحدث عملياً عندما يعطي جهاز ال (EMD)

طاقما من القياسات التي تتفق كلها مع بعضها بحدود البضع مليمترات (دقة عالية HIGH PRECISION ) ولكن كافة هذه القراءات تكون خاطئة بعدد من الامتار بسبب خطأ في التشغيل وعدم تعبير الجهاز (درجة ضبط ضعيفة LOW ACCURACY).

فلو تم تعديل خط النظر المنحني (أي تقليل في الأخطاء التكرارية) ستكون النتيجة توزيع القذائف كما في B، وفي هذه الحالة ستجمع القذائف قرب مركز الهدف وبالتالي يمكن إيجاد علاقة مباشرة بين الدقة العالية (والتي يظهرها الانتشار الصغير) ودرجة الضبط، ومن الطبيعي فإن الانتشار يكون بسبب الأخطاء العشوائية غير الممكن تجنبها . فلو قلب الهدف ستكون مهمة الرامي إيجاد الموقع الأكثر احتمالا للمركز مستندا إلى تحليل موقع القذائف في B . ومن هذه العلاقة تنتج عدة حقائق مهمة ، وكما يلي :

(A) الانتشار هو "مؤشر للدقة"، فكلما اتسع الانتشار عن متوسط القيمة لمجموعة من النتائج كلما كانت هذه النتائج أقل اعتمادا إذا ما قورنت مع نتائج ذات انتشار بسعة أقل .

(B) يجب التمييز بين الدقة ودرجة الضبط ، فالدقة هي تعبير نسبي يشير إلى درجة التجمع بغض النظر عن القرب من الحقيقة بينما تعبر درجة الضبط عن القرب المطلق من الحقيقة .

(C) يمكن اعتبار الدقة كمؤشر لدرجة الضبط فقط عندما تُزال كافة مصادر الخطأ باستثناء الأخطاء العشوائية .

(D) يمكن تعيين درجة الضبط فقط من خلال تعيين الحدود التي يمكن أن يقع ضمنها الخطأ العشوائي ACCIDENTAL ERROR للكمية المقاسة. وهكذا فبسبب تعريف درجة الضبط عموما هو لأن الخطأ المطلق لكمية ما يكون عادة غير معروف، فلو كان الخطأ المطلق معروفاً لكان من السهل تصحيح الكمية المقاسة بموجبه لاستخراج قيمتها الحقيقية. وتكون حدود الخطأ عادة متماثلة SYMMETRICAL حول الصفر، وهكذا تكون درجة الضبط لكمية ما  $x$  تساوي  $(x \pm \epsilon_x)$  حيث أن  $\epsilon_x$  هي أكبر من أو تساوي الخطأ الحقيقي وغير المعروف في  $x$  .

(E) تعيين الموقع من قبل المساح ، إن كانت مواقع إحداثيات نقاط في شبكة ضبط CONTROL NET أو موقع تفصيل طوبوغرافي ، فهو مجرد تقدير للموقع الأكثر احتمالا وعليه يتطلب إيجاد قيمة إحصائية لدرجة إيمتاده

## 2-1 تعاريف أخرى FURTHER DEFINITIONS

(1) القيمة الحقيقية TRUE VALUE القياس ما لا يمكن إنكسافها مطلقا حتى لو وجدت فعلا، وهذا واضح عند رصد زاوية بمزاوة تقرا "ثانية واحدة، فيغض النظر عن عدد المرات

التي تقرأ بها الزاوية فانه سيتم الحصول على قيم تختلف قليلا عن بعضها .

(2) الخطأ الحقيقي (TRUE ERROR) ( $\epsilon_x$ ) ، وهذا ايضا لا يمكن ايجاده مطلقا لاحتوائه على القيمة الحقيقية (X) ناقصا القيمة المرصودة ( $x$ ) ، اي:

$$X - x = \epsilon_x$$

(3) الخطأ النسبي (RELATIVE ERROR) ، هو مقياس للخطأ نسبة الى حجم القياس. فيمكن مثلا قياس مسافة طولها 10 متر بخطأ (±1) ملم بينما يمكن قياس مسافة طولها 100 متر ايضا بدرجة ضبط مقدارها (±1) ملم ، فولو ان الخطأ هو متساوي في الحالتين، لكنه واضح بان بالامكان لاعتبار القراءة الثانية اكثر دقة. ولاخذ هذا بنظر الاعتبار يمكن استخدام تسمية الخطأ النسبي ( $R_x$ ) حيث:

$$R_x = \epsilon_x / x$$

وهكذا ففي الحالة الاولى ( $x = 10\text{m}$ ) و ( $\epsilon_x = \pm 1\text{mm}$ ) ، وعليه فلن ( $R_x = 1/10\ 000$ ) بينما في الحالة الثانية ( $1/100\ 000$ ) وهذا يظهر الاختلاف بوضوح. وبضرب الخطأ النسبي بـ 100 يعطى الخطأ المئوي (PERCENTAGE ERROR). فالخطأ النسبي هو تعريف مفيد جدا وهو يستخدم عادة في التعبير عن درجة الضبط في القياس الطولي. فمثلا ، يُعبر عادة بهذه المصغة عن خطأ الافعال النسبي للمضلع. مع ذلك فمن الواضح بان ذلك لا ينطبق في حالة التعبير عن درجة الضبط التي تقاس بها الزاوية .

(4) القيمة الأكثر احتمالا (MPV) ، وهي اقرب تقريب الى القيمة الحقيقية التي يمكن الحصول عليها من طاقم من القيم. ويعبر عن هذه القيمة عادة بالوسط الحسابي لطاقم من القيم بلهمل تكرار او وزن القيم في هذه المرحلة. فمثلا: إذا كانت A تمثل الوسط الحسابي و X تمثل القيمة الحقيقية و  $\epsilon_n$  تمثل الاخطاء لطاقم من قياسات عددها n ، فلن:

$$A = X - [\epsilon_n] / n$$

حيث ان  $[\epsilon_n]$  هي مجموع الاخطاء. ولما كان احتمال كون الاخطاء موجبة او سالبة كونهما سالبه، فلن ( $[\epsilon_n] / n$ ) ستكون صغيرة جدا، و ( $A \approx X$ ) لعدد محدود من القراءات، اما بالنسبة لعدد لا نهائي من القياسات فيمكن برهنة ان ( $A = X$ ) .

لاحظ جيدا: بان القوس المربع هو رمز كوزي GUASSIAN يعبر عن حالة الجمع.

(5) الخطأ المتراكم (RESIDUAL ERROR) ، هو اقرب تقريب الى الخطأ الحقيقي، وهو الفرق بين القيمة الأكثر احتمالا (MPV) الى الوسط الحسابي والقيم المرصودة للطاقم.

وبل استخدام نفس الجدال السابق يمكن إثبات ان الخطأ المتراكم r لعدد محدود من القياسات يساوي تقريبا الخطأ الحقيقي  $\epsilon$  .

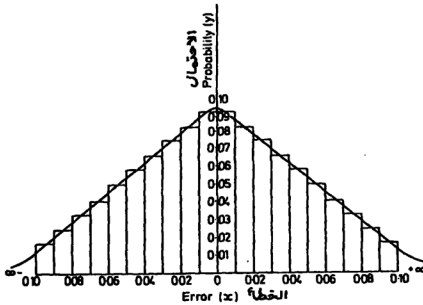
خذ طولاً مقداره 29.42 متر مقياساً بشريط قياس صحيح إلى حد  $(\pm 0.05)$  متر، فسيكون مدنى هذه القياسات إذن من 29.37 متر إلى 29.47 متر معطياً 11 حالة ممكنة للجواب بفترات مقداره 0.01 متر. فلوقيست المسافة الثانية بنفس الطريقة سيكون هنالك 11 حالة ممكنة للجواب أيضاً. عليه سيكون للقيمة الحقيقية لمجموع المسافتين  $(11 \times 11 = 121)$  حالة ممكنة وسيكون المدنى لهذا المجموع  $(2 \times (\pm 0.05M))$  أي بين  $(-0.10M)$  و  $(+0.10M)$ ، والآن يمكن أن يحدث الخطأ  $(-0.10M)$  مرة واحدة فقط أي عندما يكون لكلا المسافتين خطأ مقداره  $(-0.05M)$ ، ونفس الحالة تنطبق بالنسبة للخطأ  $(+0.10M)$ . والآن خذ الخطأ  $(-0.08M)$ ، فهذا يمكن أن يحدث بثلاثة طرق:  $(-0.05)$  و  $(-0.03)$  أو  $(-0.04)$  و  $(-0.04)$  أو  $(-0.03)$  و  $(-0.05)$ . وبتطبيق هذه الميعة على كامل المدنى يمكن تنظيم الجدول 1-1. فالجزء السفلى منه هو تكرار للجزء العلوي فيه. فلو أضيفت كسور الاحتمالات التي بعضها ستساوي 1.00.

الاحتمال	التكرار	الخطأ
$1/121=0.0083$	1	-0.10
$2/121=0.0165$	2	-0.09
$3/121=0.0248$	3	-0.08
$4/121=0.0331$	4	-0.07
$5/121=0.0413$	5	-0.06
$6/121=0.0496$	6	-0.05
$7/121=0.0579$	7	-0.04
$8/121=0.0661$	8	-0.03
$9/121=0.0744$	9	-0.02
$10/121=0.0826$	10	-0.01
$11/121=0.0909$	11	0
$10/121=0.0826$	10	0.01
الخ	الخ	الخ

جدول 1-1

ولو رسمت النتائج اعلاه كخطأ أراء لإحتمالات سيينتج المخطط في الشكل 1-2 الذي فيه الأخطاء ممثلة بمستطيلات. وعليه فعند الحد عندما تصفر فترة الخطأ يصبح المخطط اقرب إلى المنحنى الراكب عليه، وهذا المنحنى يدعى "منحنى الاحتمال الطبيعي"، والمساحة تحت المنحنى تمثل مقدار احتمال كون الخطأ واقع بين  $(\pm 0.10M)$  وهكذا فإنها تساوي 1.000 (حتماً) كما في الجدول 1-1.

في الشكل 1-3 مبين منحنيات لإحتمال جرسية الشكل الأكثر نموذجية، حيث أن المنحنى الطويل الرفيع يدل على انتشار SCATTER قليل وهكذا فهو يدل على دقة عالية HIGH PRECISION بينما يدل المنحنى المتوسط على انتشار كبير ودقة قليلة. وعند تمحيص المنحنى يتبين بأن:



شكل 1-2

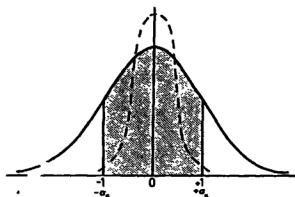
- (I) الأخطاء الموجبة والسالبة هي متساوية بالحجم والتردد.  
 (II) الأخطاء الصغيرة هي أكثر حدوثاً من الأخطاء الكبيرة.  
 (III) الأخطاء الكبيرة جداً قلما تحدث.

ويمكن استخدام المنحنى أيضاً لبيان احتمال وقوع الخطأ ضمن حدود معينة حيث أن الجزء المظلل في الشكل (3-1) يبين احتمال وقوع الخطأ بين الحدين  $(\pm 1)$  وهذا الجزء المظلل يساوي 7 مرات تقريبا من مجموع 10، كما وأن لهذه المساحة بالذات أهمية خاصة كما سيرد فيما بعد.

إشارة إلى ما تم شرحه، فإن المساحة تحت المنحنى تمثل حد التكرار النسبي أي تمثل الاحتمال ويساوي وحدة UNITY. وهكذا يمكن استخدام جداول مساحات المنحنى المعياري STANDARD NORMAL CURVE لاحتساب الاحتمالات شرط أن التوزيع هو توزيع طبيعي معياري STANDARD NORMAL DISTRIBUTION أي  $(N(0, 1^2))$ . فإذا كان المتغير  $x$  يساوي  $(N(0, 6^2))$  فإنه يجب أن نحول إلى المنحنى الطبيعي المعياري باستخدام  $(Z = (x - \mu) / \sigma)$  حيث أن  $Z$  دالة كثافة للاحتمال PROBABILITY DENSITY FUNCTION مقدارها  $(2\pi)^{-1/2} e^{-Z^2/2}$ .

فإذا كانت  $x$  تساوي  $(N(5, 2^2))$  فإن  $Z = (x - 5) / 2$  عندما  $(x = 9)$  وبالتالي فإن  $(Z = 2)$ .

أن معادلة منحنى التوزيع الطبيعي المعياري  $y = h\pi^{-1/2} e^{-h^2 x^2}$  حيث أن  $h$  هي احتمال حدوث الخطأ  $\epsilon$  و  $h$  هو مؤشر الدقة و  $e$  هي دالة أسية EXPONENTIAL FUNCTION.



شكل 3-1

## INDICES OF PRECISION

## 4-1 مؤشرات الدقة

من المهم ان يكون بالامكان تقدير دقة طاقم من القراءات، وهناك عدد من المعايير لهذا الغرض، واكثر هذه المعايير شيوعا هو الانحراف المعياري ( $\sigma$ ) وهو قيمة رقمية تدل على مقدار التغير حول القيمة الوسطية. ولأجل فهم المبدأ الذي تبني عليه مؤشرات الدقة يجب تناول القياس الذي يأخذ، بنظر الاعتبار كافة القيم الموجودة في طاقم من المعلومات، وكذا قياس هو الانحراف عن الوسط ( $\bar{x}$ )  $MEAN(\bar{x})$  لكل قيمة مرمودة ( $x_i$ ) أي ( $x_i - \bar{x}$ )، والتعبير الجديهي لهذا قياس سيكون الوسط الحسابي لهذه الانحرافات، ولكن مجموع الانحرافات عن الوسط في توزيع طبيعي يساوي صفر، عليه يمكن استخدام "وسط" مربعات هذه الانحرافات وهذا يسمى "التباين" ( $\sigma^2$ )  $VARIANCE(\sigma^2)$ .

(1) التباين ( $\sigma^2$ ):

$$\sigma^2 = \sum_{i=1}^n (x_i - \bar{x})^2 / n \quad \dots (1-1)$$

يتم الحصول على  $\sigma$  نظريا من عدد غير محدود من المتغيرات تعرف بـ "المجتمع"  $POPULATION$ . مع ذلك فالمتوفر عمليا هو فقط "عينة" من هذه المتغيرات، وتستخدم  $S$  كمعبر غير منحاز لـ  $\sigma$ . ويؤخذ بنظر الاعتبار العدد الصغير من المتغيرات في العينة باستخدام ( $n-1$ ) كمقسوم عليه والذي يسمى في علم الاحصاء بـ "تصحيح بيسل"  $BESSEL CORRECTION$  عليه:

(2) التباين ( $S^2$ ):

$$S^2 = \sum_{i=1}^n (x_i - \bar{x})^2 / n - 1 \quad \dots (2-1)$$

وحيث ان هذه الانحرافات هي مربعة فان وحدة التباين ستكون مربعة الوحدات الأصلية. وللحصول على مؤشر دقة المعلومات الأصلية يستخدم اذن الجذر التربيعي للتباين وهذا يسمى "الانحراف المعياري" ( $S$ )  $STANDARD DEVIATION(S)$ ، وهكذا:

(3) الانحراف المعياري ( $S$ ):

$$S = \pm \left\{ \sum_{i=1}^n (x_i - \bar{x})^2 / n - 1 \right\}^{1/2} \quad \dots (3-1)$$

يُعبّر عن الانحراف المعياري بالمساحة المظللة في الشكل 3-1، وبذلك تتعين حدود الخطأ التي يقع بينها (68.3%) من قيم الطاقم، أي 7 في عينة عددها 10 .  
وينتفص الطريقة بتم الحصول على قياس لدقة وسط الطاقم ( $\bar{x}$ ) باستخدام "الخطأ" المعياري (STANDARD ERROR ( $S_{\bar{x}}$ ))، وهكذا:

(4) "الخطأ" المعياري ( $S_{\bar{x}}$ ):

$$= S_{\bar{x}} = \pm \left\{ \sum_{i=1}^n (x_i - \bar{x})^2 / n(n-1) \right\}^{1/2} = S/n^{1/2} \quad \dots <4-1>$$

وهكذا فالخطأ المعياري اذن يشير الى حدود الخطأ التي تقع بينها القيمة الحقيقية للوسط بوشوق CERTAINTY في سدة هذه القيمة مقدارها (68.3%).

ان ما يجب ملاحظته هوان المؤشرين S و  $S_{\bar{x}}$  هما معطيان مختلفان تماما حيث ان قيمة S لا تتغير بمعنوية بازدياد عدد القراءات (n) بينما تتغير قيمة  $S_{\bar{x}}$  بمعنوية بازدياد عدد القراءات، وعليه، ولأجل وصف معلومات مقاسة يجب استخدام كلا المؤشرين .

من المناسب هنا، ولو لم يتم البحث في موضوع وزن المعلومات بعد، ذكر عدد من المؤشرات الاخرى للدقة تنطبق على المعلومات الموزونة (WEIGHTED DATA ( $w_i$ )) :

(5) "الانحراف المعياري للمعلومات الموزونة ( $S_w$ )":

$$= S_w = \pm \left\{ \sum_{i=1}^n w_i (x_i - \bar{x})^2 / n - 1 \right\}^{1/2} \quad \dots <5-1>$$

(6) "الانحراف المعياري لقياس منفرد بوزن ( $S_{w_i}$ )":

$$= S_{w_i} = \pm \left\{ \sum_{i=1}^n w_i (x_i - \bar{x})^2 / w_i (n - 1) \right\}^{1/2} = S_w / (w_i)^{1/2} \quad \dots <6-1>$$

(7) "الخطأ" المعياري للوسط الموزون ( $S_{\bar{w}}$ ):

$$= S_{\bar{w}} = \pm \left\{ \sum_{i=1}^n w_i (x_i - \bar{x})^2 / \sum_{i=1}^n (w_i) (n - 1) \right\}^{1/2} = S_w / \left( \sum_{i=1}^n w_i \right)^{1/2} \quad \dots <7-1>$$

لاحظ جيدا: لقد استخدمت الطريقة التكريرية للتعبير عن "الجمع العدد من مؤشرات الدقة حيث انها المبيعة المتبعة في المراجع الاحصائية، وهكذا بيسهل تمييزها، مع ذلك فقد استخدم شكل القوس المربع الكوزى GAUSSIAN الانيق لاجلية المقادير .

## 5-1 الوزن WEIGHT

يعبّر عن الأوزان رقميا، وهي تشير الى الدقة النسبية للكميات ضمن طاقم معين من القيم ، فكلما كان الوزن

كبيراً كلما زادت دقة القراءات ذات الملافة . وهكذا .  
 فقراءة بدقة وزنها 2 يمكن ان تعتبر معتمدة مرتين بقدر  
 القراءة التي وزن دقتها 1 . فقد قياسي وسطين لزاوية  
 واحدة: ( $A=50^{\circ}50'50''$ ) وزنها 1 و ( $B=50^{\circ}50'47''$ ) وزنها 2، حيث  
 تكون هاتان الزاويتان مساويتين لثلاث قراءات بوزن  
 متساو وبقيمة وسطية مقدارها:  $(50^{\circ}47'+47'')/3=43''$   
 وعليه فالقيمة الوسطية للزاوية تساوي ( $50^{\circ}50'48''$ ) .

عند تمحيب هذا المثال بتعيين بانه مشابه كما لو ضربت  
 كل قراءة ( $\alpha$ ) بوزنها ( $w$ ) وقسم المجموع على مجموع الاوزان  
 :  $[w]$  ، أي ان الوسط الموزون ( $A_w$ ) :

$$A_w = \frac{a_1 w_1 + a_2 w_2 + \dots + a_n w_n}{w_1 + w_2 + \dots + w_n} = \frac{[aw]}{[w]} \quad \dots (8-1)$$

يمكن تعيين الاوزان بطرق مختلفة: (I) عن طريق التقدير  
 الشخصي للظروف السائدة وقت إجراء القياس (II) عن طريق  
 إجراء التناسب المباشر مع عدد القياسات للكميات ، أي  
 ( $w \propto n$ ) . (III) باستخدام معاملتي التباين والتباين  
 المشترك COVARIANCE وينصح باتباع الطريقة الأخيرة ،  
 وفي حالة معامل التباين فانه يطبق كما يلي بسهولة:

تشير (المعادلة 4-1) ان :  $S_x = S/n^{1/2}$   
 أي ان الخطأ يتناسب عكسياً مع الجذر التربيعي  
 لعدد المقاسات . ولما كانت ( $w \propto n$ ) ، عليه :  
 $w \propto 1/S^2$  ... (9-1)

أي ان الوزن يتناسب تناسباً عكسياً مع التباين .

من الضروري دائماً النظر إلى الاوزان بهذه الطريقة  
 خاصة ، مثلاً ، في حالة التعديل بالمرجعات الصفري لكميات  
 غير متشابهة كالزوايا والمسافات ، فلو اهتمت الاوزان ،  
 بفترض بان الخطأ بالزاوية يتناسب طردياً مع الخطأ  
 بالمسافة ، أي 1 إلى 1 قدم مثلاً او 1 متر . وهكذا لو عدل  
 طاقم من المعلومات باستخدام اطوالها بالاقدام ، فمجرد  
 تحويلها إلى امتار سيغطي طاقماً جديداً من القيم المعدلة  
 - انظر (الفقرة 1-12-3) .

## 6-1 رفض القيم الشاذة REJECTION OF OUTLIERS

انه ليس غريباً عند اخذ قياسات متكررة لكمية معينة  
 ان تكون واحدة منها في الأقل مختلفة تماماً عن باقي  
 القياسات ، ويطلق على كذا قياس "القيمة الشاذة OUTLIER"  
 والذي يشعر الرامد بانه من الحكمة رفضها من العينة .  
 مع ذلك فالحكمة يصعب ان تكون جدلاً علمياً لرفض معلومات  
 معينة ، وعليه فالمطلوب هو محاولة إحصائية أكثر حيوية .

فكما أشير اليه سابقاً في (الفقرة 4-1) فان الانحراف  
 المعياري S يمثل (68.3%) من المساحة تحت المنحنى

الطبيعي و عليه فانه يمثل حدود ثقة CONFIDENCE LIMITS مقدارها (68.3%)، وينتج عن ذلك أن :  
 (1.96S) يمثل حدود ثقة مقدارها (95%).. (إحتمال 0.95)  
 (2.57S) يمثل حدود ثقة مقدارها (99%).. (إحتمال 0.99)  
 (3.29S) يمثل حدود ثقة مقدارها (99.9%).. (إحتمال 0.999)

وعليه فان أي متغير عشوائي ( $x_i$ ) إذا خطأ متبقي مقدارها ( $x_i - \bar{x}$ ) أكبر من (29S، ±3) يجب أن يقع في نهايتي ذيلتي المنحنى الطبيعي، وعليه فانه يجب أن يهمل، أي يجب أن يرفض من العينة. عمليا، هذا لا يثبت قاعدة مقبولة للرفض بسبب محدودية حجم العينات. فقد بين السيد لوكان في مجلة "SURVEY REVIEW" (العدد 97) تموز 1955 أن القاعدة المناسبة للرفض تتناسب مع حجم العينة وكما يلي:

حجم العينة	قاعدة الرفض
4	1.5S
6	2.0S
8	2.3S
10	2.5S
20	3.0S

وهناك مبدأ آخر في الرفض ينسب إلى شوفيني CHAUVENET: لو كان لمتغير عشوائي ( $x_i$ ) في عينة بحجم  $n$  انحرافا عن الوسط أكبر من الاحتمال  $(1/2n)$  فانه يجب أن يرفض. فمثلا إذا كانت ( $n=8$ ) فان: (أي 0.94 أو 94%)  $1/2n=0.06$  ويكون احتمال الانحراف (1.86S). وهكذا فالقيمة الشاذة التي خطأها المتراكم أو انحرافها عن الوسط أكبر من (1.86S) يجب أن ترفض. وهذا المبدأ يعطي الجدول التالي:

حجم العينة	قاعدة الرفض
4	1.53S
6	1.73S
8	1.86S
10	1.96S
20	2.24S

يجب ملاحظة عدم تطبيق عمليات رفض متتالية على العينة.

## 7-1 توزيع (t) للطالب STUDENT'S t-DISTRIBUTION

لقد بينا في الفقرة 3-1 بأنه لاجل تحويل التوزيع  $(N(\mu, \sigma^2))$  تستخدم  $(Z = (x - \mu) / \sigma)$ . مع ذلك، إذا استخدمت S كمخمن غير متحاز ل ( $\sigma$ ) فان التوزيع الناتج سوف لن يكون

توزيعاً طبيعياً معيارياً لكنه سيكون توزيع (ت) للطالب بـ درجات من الحرية (DF) DEGREES OF FREEDOM مقدارها  $(n-1)$ ، وعندما يقترب حجم العينة من 30 يقترب توزيع (ت) للطالب من التوزيع الطبيعي المعياري .

يقدم بـ "درجات الحرية (DF)" عدد المقاسات التي تمتلك حرية التغير في العينة . فمثلاً ، عند قياس كمية  $n$  من المرات ، فإن أول مقياس يعين الكمية ، أما المقاسات الباقية والتي عددها  $(n-1)$  فهي مقاسات فائضة REDUNDANTS تؤخذ لتأكيد صحة المقياس الأول، وعليه يوجد  $(n-1)$  درجات حرية. وهناك طريقة أخرى للنقاش وهي: لو قيس كمية معينة 6 مرات مثلاً ووجد الوسط سيكون بالإمكان تغيير المقاسات الخمس الأولى ، لكن المقاسة السادسة يجب أن تكون ثابتة نسبة إلى المقاسات الخمس الأولى والوسط، وعليه فإن هنالك خمس درجات حرية ، أي  $(n-1)$  .  
لو كان هنالك  $n$  من المعادلات التي تحتوي  $m$  من المتغيرات المستقلة فإن عدد درجات الحرية سوف يكون  $(n-m)$  .

هنالك جداول بالمساحات تحت المنحنى الطبيعي المعياري لاحتساب الاحتمال، ولكن لا يوجد جداول بالمساحات تحت منحنى توزيع (ت) وذلك بسبب التغير في عدد درجات الحرية (DF). وهكذا فإن جداول (ت) تغطي فيما مرتبة (ت) لمساحة معينة ، و (ت) هي نسبة الفرق بين قيمة الوسط المقاس والوسط المفترض HYPOTHESIZED MEAN إلى الخطأ المعياري للوسط ، أي :

$$t = (\bar{x} - \mu) / S_x \quad \dots (10-1)$$

وهكذا يتضح بأن توزيع (ت) يجب أن يستخدم عندما يكون حجم العينة أصغر من 30 و  $\sigma$  غير معروفة، وسوف تدرج الآن بعض التطبيقات على ذلك .

### 1-7-1 فترات الثقة

يمكن استخدام توزيع (ت) لاحتساب فترة الثقة لوسط مجتمع (م) POPULATION MEAN كما يلي :

مثال 1-1: تم قياس الزاوية المقابلة لذراع التقابل 16 مرة وكانت قيمة الوسط التي تم الحصول عليها  $(34.86^\circ \pm 2.48^\circ)$  بانحراف معياري مقداره  $3.62^\circ$ ، ووجد فترات الثقة الـ (95%) والـ (99%) للوسط .

$$\begin{aligned} n &= 16 & \bar{x} &= 34.86^\circ & S &= 3.62^\circ \\ \therefore S_x &= S/n^{1/2} = 0.91^\circ \end{aligned} \quad \text{الحل}$$

من التحويل :  
 $t = (34.86 - \mu) / 0.91^\circ$   
وعليه فإن حدود الثقة للوسط هي  $(34.86 \pm 0.91t)$  ، ومن

جداول (تي) - انظر الملحق/جدول-1 :

0.05 لـ 15 درجة حرية تساوي 2.13 ... احتمال (95%).  
0.01 لـ 15 درجة حرية تساوي 2.95 ... احتمال (99%).

و عليه فان حدود الثقة للقيمة الوسط هي :

(1.93° 2°28'38.86°) عند احتمال (95%)  
(2.68° 2°48'34.86°) عند احتمال (99%)

والطريقة الاخرى للتعبير عما ورد اعلاه هي ان احتمال كون  $\alpha$  سيقت خارج (2°48'32.93°) و (2°48'36.79°) هو (0.05) او (5%) . ولو افترض توزيع طبيعي فان (1.96S) ستمثل الاحتمال (95%) وستكون حدود الثقة لـ  $\alpha$  هي :  
(2°48'34.86° ± 1.78°)

### 1-7-2 فرضيات الاختبار Testing hypotheses

في كافة لاختبارات المعنوية SIGNIFICANCE TESTS يفترض في البداية بان ليس هنالك فرق معنوي بين التوزيعات التي تحت الاختبار ، وهذه الحالة تسمى بـ "فرضية العدم NULL HYPOTHESIS".

#### 1-2-7-1 مسألة ذات عينة واحدة

كما سبق وان بينا في المثال السابق ، فلتوزيع (تي) بـ 15 درجة حرية احتمال للقيمة الواقعة خارج الحدين (±2.13) مقداره 0.05 اي (95%) ، وهذان الحدان هما حدا المعنوية الـ (5%) ، وتؤكد هذه القاعدة في اختبار الفرضيات. خذ المثال التالي :

مثال 1-2 : ثبت بان قيمة زاوية في شبكة لاختبار هي (24.5° 35 58) وهي لاجل التأكد من احتمال حركة الشبكة فقد اعيد قياس الزاوية 9 مرات ونتج عن ذلك قيمة فوسطية (x) مقدارها (27.3° 35 58) بانحراف معياري مقداره 2.2 . فهل هنالك فرق معنوي بين وسط المجتمع ووسط العينة مما يشير الى احتمال حركة المحطات المرمودة ؟

#### الحل

(A) تشير فرضية العدم الى ان ليس هنالك فرق بين وسط العينة و وسط المجتمع المقترض .

$$S_x = S/n^{\frac{1}{2}} = 2.2/3 = 0.73^{\circ} \quad (B)$$

$$t = (\bar{x} - \mu)/S_x = (27.3 - 24.5)/0.73 = 3.84. \quad (C)$$

(D) من جداول (تي) - انظر الملحق/جدول-1: حدود المعنوية الـ (1%) لتوزيع (تي) بثمان درجات حرية تساوي (±3.36).

(E) تقع قيمة (تي) البالغة 3.84 خارج مستوي الـ (1%) وهكذا يوجد فرق معنوي بين الوسطين وعليه فان "فرضية العدم" هي

العدم\* يجب ان ترفض . وهكذا يظهر بان هنالك حركة موجودة في الشبكة. ومع هذا فانه من الخطا اعتماد ذلك من دون اجراء قياسات اخرى وبحث مستقل، كما يجب عدم اهمال المعرفة الشخصية والخبرة والرأي لكافة كذا حالات .

#### 1-2-7-2 مسألة ذات عينتين

غالبا ما يجابه الفرد في اعمال المسح بعملية تقدير طاقمين من القراءات مختلفين بالحجم اوبكونان قد رمدا من قبل رامدين مختلفين للتأكد من انهما يمثلان نفس المجتمع. مع هذا "تقبل" اختبار هذه الفرضية يجب اختيار تباينات المعنوية VARIANCES OF SIGNIFICANCE باستخدام اختبار F . وهكذا اذا كان هنالك عينتين بحجمين  $n_1$  و  $n_2$  وسطين  $\bar{x}_1$  و  $\bar{x}_2$  وانحرافين معياريين  $S_1$  و  $S_2$  ، فالطريقة تكون :

(A) انشئ "فرضية العدم" بانه لا يوجد فرق بين الوسطين اي  $(\bar{x}_1 = \bar{x}_2)$  .  
(B) اوجد الانحراف المعياري المركب S لكلا العينتين من المعادلة :

$$S = \left\{ \frac{(n_1 - 1)S_1^2 + (n_2 - 1)S_2^2}{(n_1 - 1) + (n_2 - 1)} \right\}^{1/2} \quad \dots (11-1)$$

(C) اوجد الخطا المعياري باستخدام :

$$S_x = S \left( \frac{1}{n_1} + \frac{1}{n_2} \right)^{1/2} \quad \dots (12-1)$$

(D) عند ذلك فان  $t = |\bar{x}_1 - \bar{x}_2| / S_x$  تعطي توزيعا ب درجات حرية عددها  $((n_1 - 1) + (n_2 - 1))$  .  
(E) والان اوجد قيمة (تي) من الجداول ب  $((n_1 - 1) + (n_2 - 1))$  درجات حرية عند مستوى معنوية مقدارها (5%) و/ او (1%) .  
(D) فاذا كانت قيمة (تي) المحتمسبة اكبر من تلك التي وجدت في الجداول ، فانه يوجد دلالة قاطعة لوجود فرق معنوي بين  $\bar{x}_1$  و  $\bar{x}_2$  عند المستوي (1%) ، اما عند المستوي (5%) فالدلالة على وجود فرق معنوي هي معقولة . اما ان لم يكن هنالك فرق معنوي ، عند ذلك تقبل "فرضية العدم" .

#### 1-8 توزيع ( F ) F-DISTRIBUTION

يستخدم توزيع (F) للمقارنة بين تباينتي عينتين باستخدام النسبة بينهما . فمثلا ، اذا اخذ تباينان من نفس المجتمع وكانا متساويين فالنسبة  $(F = S_1^2 / S_2^2)$  عندما  $(S_1 > S_2)$  ستساوي 1 . وهنالك جداول تعطي قيم (F) لمستويات معنوية مختلفة . خذ المثل التالي :

مثال 1-3 : المساحان A و B يقيسان زاوية واحدة باستخدام مزواة واحدة . A يقيس الزاوية 6 مرات بانحراف معياري

مقداره ( $6.8^\circ$ )  $B_0$  بقيتها 14 مرة بانحراف معياري مقداره ( $4.9^\circ$ ). فهل هنالك فرق معنوي بين قابلية هذين المساحين الاكثين ؟

الحل

(A) "فرضية العدم" هي ( $S_A = S_B$ ).  
(B) لتوزيع (F) :  $F = S_A^2 / S_B^2 = 6.8^2 / 4.9^2 = 1.93$

(C) اختبر المعنوية باستخدام جداول (F) ب 5 و 13 درجة حرية :

لـ (1%) مستوي معنوية : (انظر الملحق/جدول-2)  $F = 4.86$   
لـ (5%) مستوي معنوية : (انظر الملحق/جدول-3)  $F = 3.03$

(D) ان قيمة (F) البالغة 1.93 هي غير معنوية (اي انها اكبر من 3.03) عند مستوي معنوية (5%). وعليه تقبل "فرضية العدم" الفاطلة بان ليس هنالك فرق معنوي بين الراصدين

## 9-1 توزيع مربع كاي CHI-SQUARED DISTRIBUTION

يكتب "مربع كاي"  $\chi^2$ ، وهو اختبار للتكرار بين طواقم من القيم لمعرفة ان كان التغير معنوي، حيث ان  $\chi^2$  تمثل مجموع مربعات المتغيرات العشوائية المستقلة، وعليه فهي نفسها يجب ان تكون متغيرة عشوائية ايضا. فيقال بان للتغير "توزيع مربع كاي".

### 1-9-1 جودة النطاق Goodness of fit

لاجل احبار انحياز BIAS عينة ، يجري تقدير الفرق بين التكرارات المرمودة (O) OBSERVED والمتوقعة (E) EXPE(CTED). خذ المثال التالي :

مثال 1-4 : تم فحص خمس اجهزة قياس مسافة الكترونية (EDM) بقاعدة تعبير CALIBRATION BASE ذات طول معروف ، وفحصت المسافة بكل من الاجهزة الخمسة عددا متساويا من المرات فكانت التكرارات التي وجد بها الطول المعروف لكل جهاز كما يلي:

الجهاز	A	B	C	D	E
التكرار المرمود (O)	8	11	5	13	3
التكرار المتوقع (E)	8	8	8	8	8

فهل هنالك اي فرق معنوي بين عمل الاجهزة الخمسة ؟

الحل

لو لم يكن هنالك فرق معنوي بين الاجهزة لكان يتوقع ان تكون التكرارات متساوية لكافة الاجهزة، والتي ينتج منها

منها بان معدل القيم المرصودة (0) هو ثمان.

(A) "فرضية العدم" : لا يوجد فرق بين القيم المرصودة (0) والمتوقعة (E).  
(B)

$$\chi^2 = \sum_{i=1}^3 \{(O-E)^2/E\} = \frac{(8-8)^2}{8} + \frac{(11-8)^2}{8} + \frac{(5-8)^2}{8} \\ + \frac{(13-8)^2}{8} + \frac{(3-8)^2}{8} = 8.52$$

(C) من جداول توزيع مربع كاي  $\chi^2$  - انظر الملحق/جدول A-4، وباستخدام (5-1=4) درجات حرية :  
لمستوى معنوية (1%) نجد بان ( $\chi^2 = 13.38$ )  
لمستوى معنوية (5%) نجد بان ( $\chi^2 = 9.49$ )

(D) عند المستوى (5%) لا يوجد فرق معنوي وعليه تقبل "فرضية العدم"، ويمكن اثبات بانه لا يوجد فرق معنوي في عمل الاجهزة الخمسة .

## 2-9-1 جداول الطوارئ Contingency tables

لقد تم في المثال السابق تصنيف التكرارات بموجب معيار واحد فقط وهو عدد القياسات "الحقيقية" التي تم الحصول عليها . فلو اخذ بنظر الاعتبار معيار ثاني كـ"أخذ القراءات تحت ظروف حرارية مختلفة تماما" ، اي وجود معياران ، وكما هو مبين ادناه :

المجموع	A	B	C	D	E	الجهاز
40	5	10	7	13	5	التكرار بدرجة (25°C)
55	7	13	10	18	7	التكرار بدرجة (0°C)
95	12	23	17	31	12	المجموع

يعرف الجدول اعلاه بمقياس وخمسة اعمدة بجدول طوارئ (2x5) .

يستخدم لاختبار الاختبار فرضية ان درجة الحرارة وتكرار المقاسات هما معياران مستقلان .

(A) فرضية العدم : التكرار هو مستقل عن درجة الحرارة  
(B) باخذ درجة حرارة مقدارها (25°C) يمكن توقع صحة العلاقة التالية :

$$\frac{\text{مجموع التكرارات بدرجة (25°C)}}{\text{مجموع التكرارات (تكرار A)}} = \frac{\text{المجموع الكلي للتكرارات}}{\text{مجموع التكرارات}}$$

$$\frac{40}{12} = \frac{8}{95}$$

اي :

وهكذا إذا كانت  $E_A$  تمثل التكرار المتوقع لـ  $A$  عند درجة حرارة  $(25^\circ\text{C})$  يكون لدينا :  
 $E_A/12 = 40/95$   
 $E_A = (40 \times 12)/95 = 5$  إذن :

وهكذا إذا كانت :  
 $R = (\text{مجموع الصفوف})$   
 $C = (\text{مجموع الأعمدة})$   
 $T = (\text{المجموع الكلي})$

فالتكرار المتوقع يساوي :  
 $E = (R \times C) / T$   
 وباستخدام هذه المعادلة نحسب التكرارات المتوقعة عند درجة حرارة  $(25^\circ\text{C})$ ، ويمكن استخراج التكرارات عند درجة حرارة مفر ستفراد من المجاميع وكما هو مبين أدناه :

المجموع	$E_A$	$E_B$	$E_C$	$E_D$	$E_E$	الجهاز
40	5	10	7	13	5	التكرار بدرجة $(25^\circ\text{C})$
55	7	13	10	18	7	التكرار بدرجة $(0^\circ\text{C})$
95	12	23	17	31	12	المجموع

(C) باستخدام الجدولين تستخرج قيمة  $\chi^2$  كما يلي :  
 $\chi^2 = (8-5)^2/5 + (11-10)^2/10 + (5-7)^2/7 + (13-13)^2/13 + (5-3)^2/3$   
 $+ (4-7)^2/7 + (12-13)^2/13 + (12-10)^2/10 + (18-18)^2/18 + (9-7)^2/7$   
 $= 6.14$

(D) باستخدام جداول الطوارئ CONTINGENCY TABLES يكون عدد درجات الحرية (DF) المستخدمة :

$(R-1)(C-1) = (2-1)(5-1) = 4$  DF  
 وهكذا من جداول  $\chi^2$  - انظر الملحق جدول A-4 . وباستخدام (4 DF)

لمستوى (1%) تكون  $(\chi^2 = 13.28)$  و  
 لمستوى (5%) تكون  $(\chi^2 = 9.49)$   
 وعليه فإن  $(\chi^2 = 6.14)$  ليست معنوية عند الـ (5%) وتقبل فرضية العدم\*، وهكذا فإن ليس لعمل الجهاز علاقة بدرجة الحرارة .

مما يجب ملاحظته في كلا المثالين السابقين أن (هي فقط معنوية إذا كانت أكبر من القيم المعطاة عند المستويين (5%) و (1%)، وكذا اختبارات تسمى "اختبارات ذات الذيل الواحد" ONE TAILED TESTS .

### 3-9-1 مقارنة التباينات Comparison of variances

يمكن استخدام اختبار  $\chi^2$  أيضا لاختبار فرضية أن تباين المجتمع يساوي تباين العينة، أي  $(\sigma^2 = S^2)$ ، فهذا طبعاً يتضمن معرفة أن كانت  $\sigma^2$  هي "أكبر" بمعنوية أو "أصغر" بمعنوية من  $S^2$ ، وعليه فإنها تتطلب بحثاً عند كل من ذيل منحنى التوزيع، وهذا يسمى "الاختبار ذو الذيلين" TWO TAILED TEST، وعليه فإننا لا يمكن أن نستخدم جداول  $\chi^2$  ذات الذيل الواحد

### الخاصة بـ "جودة التطابق" GOODNESS OF FIT.

ولاجل اختبار الفرضية بأن ( $\sigma = S$ )، تستخرج قيمة  $\chi^2$  باستخدام:  
 $\chi^2 = (n-1)S^2/\sigma^2$  ... (13-1)  
 وتختبر الفرضية باستخدام جداول توزيع  $\chi^2$  بـ ( $n-1$ ) درجات حرية.

مثال 1-5: لقد تضرر جهاز مزواة الجايرو GYRO THEODOLITE في حادث خلال عملية إنشاء نفق وقد تم إصلاحه فيما بعد حيث أخذ فيه بعض التحوير من جراء التمليح، وكانت المزواة أعطت قياسات معيارية CALIBRATION MEASUREMENTS متكررة التي خط قاعدة ذو سمت معروف في الماضي لارتفاع معيارها مقداره ( $\pm 8''$ )، ولتدقيق الجهاز المحور أخذت به 20 قراءة التي خط القاعدة هذا ووجد أن الانحراف المعياري  $12''$ ، فهل أدت التصلحات والتحويرات التي تفسير معنوي في عمل الجهاز؟

#### الحل

(A) "فرضية العدم" هي:  $\sigma = S$   
 (B)  $\chi^2 = (n-1)S^2/\sigma^2 = (20-1) \times 12^2/8^2 = 42.75$   
 (C) من جداول  $\chi^2$  - انظر الملحق/جدول A-4، فلتباينات بـ 19 درجة حرية: لمستوي معنوية (1%)،  $\chi^2$  تساوي 6.844 و 38.582 لمستوي معنوية (5%)،  $\chi^2$  تساوي 8.907 و 32.852 تكون قيمة ( $\chi^2 = 42.75$ ) معنوية عند مستوي (1%) ويوجد دلالة قاطعة بأن ( $\sigma \neq S$ )، وهكذا ترفض "فرضية العدم". ويتبين بأن مستوي عمل الجهاز قد تباثر (انخفض) بالإصلاح والتحوير.

فلو اختلفت اختلفت ميغة السؤال السابق لتكون:  
 (I) هل ان الإصلاحات والتحويرات قد "حسنت" الاداء بمعنوية؟  
 او (II) هل ان الإصلاحات والتحويرات قد "خففت" الاداء بمعنوية؟  
 عليه، ولو اننا مازلنا نختبر الفرضية ( $\sigma = S$ )، لكنها ستختبر ازاء "الفرضية البديلة" ALTERNATIVE HYPOTHESIS: (I) ( $\sigma < S$ ) او (II) ( $\sigma > S$ ). وفي هذه الحالة يكون الاختبار بذييل واحد، وتستخدم جداول  $\chi^2$  ذات الذيل الواحد للنتائج.

### 10-1 تركيب الأخطاء COMBINATION OF ERRORS

يستخرج كثير من المعلومات بشكل غير مباشر من تراكيب مختلفة من المعلومات المرمودة، فمثلاً، تكون احداثيات نقطة بدلالة الطول والاتجاه للخط. وحيث ان كل قياس يحتوي على خطأ، فمن الضروري البحث في التأثير المركب لهذه الأخطاء على الكمية المستخرجة.

عموماً، يتم اجراء التقايل على الدالة نسبة الى كل من الكميات المقاسة بتسلسل، وبالجمع يتم الحصول على

تأثيراتها. وهكذا إذا كانت :  $\alpha = f(x, y, z, \dots)$   
 وإذا حوت هذه المتغيرات على الأخطاء  $(\delta x)$  و  $(\delta y)$  و  $(\delta z)$  و...  
 فمجموع الخطأ في  $\alpha$  سيكون  $(\delta \alpha)$  :

$$\delta \alpha = \frac{\partial f}{\partial x} \delta x + \frac{\partial f}{\partial y} \delta y + \frac{\partial f}{\partial z} \delta z + \dots \quad \dots <14-1>$$

فإذا كان المطلوب إيجاد الخطأ المعياري في  $\alpha$  الذي سيجبه الأخطاء المعيارية في  $x$  و  $y$  و  $z$  و... الخ ، تستخدم المعادلة التالية :

$$\sigma_a^2(f) = \left(\frac{\partial f}{\partial x} \sigma_x\right)^2 + \left(\frac{\partial f}{\partial y} \sigma_y\right)^2 + \left(\frac{\partial f}{\partial z} \sigma_z\right)^2 + \dots \quad \dots <15-1>$$

وهذه هي المعادلة العامة لتباين الدالة. ان المعادلة <15-1> مهمة جدا وهي تستخدم بشكل واسع في أعمال المساحة بالرغم من محدودياتها الاحصائية. فمثلا، في عملية التقاض الجزئي PARTIAL DIFFERENTIATION بالنسبة لـ  $x$  يتم إبقاء  $y$  و  $z$  ثابتتان وقتيا وتعتبر  $\alpha$  بأنها بدالة  $x$  فقط، ولو أن هذا قد لا يكون كذلك في الواقع. ثم ان المعادلة <15-1> تعطي جوابا تقريبا فقط والذي تعتبر دقته عموما كافية لهذا الغرض .

يفهم من الاستنتاجات القادمة بان تباين العينة  $S^2$  قد حل، عموما، محل تباين المجتمع  $\sigma^2$  .

### 1-10-1 الأخطاء التي تؤثر على الجمع أو الطرح

خذ الكمية  $(A(f) = \alpha + b)$  حيث ان  $\alpha$  و  $b$  قد تأثرتا بخطأين معياريين  $(\sigma_a)$  و  $(\sigma_b)$  ، فعليه :

لذن:

$$\sigma_A^2 = \left\{ \frac{\partial(a+b)}{\partial a} \sigma_a \right\}^2 + \left\{ \frac{\partial(a+b)}{\partial b} \sigma_b \right\}^2 = \sigma_a^2 + \sigma_b^2 \therefore \sigma_A = \pm(\sigma_a^2 + \sigma_b^2)^{1/2} \dots <16-1>$$

وحيث ان عملية الطرح هي مجرد عملية جمع بتبديل الإشارة فان المعادلة اعلاه هي أيضا صحيحة لـ "الفرق" بين الأخطاء .

وفي حالة  $(\sigma_a = \sigma_b = \sigma)$  فان :

$$\sigma_A = \pm \sigma(n)^{1/2} \quad \dots <17-1>$$

يجب تمييز (المعادلة <17-1> عن (المعادلة <4-1> التي تشير إلى "الوسط" MEAN وليس إلى "الجمع" SUM كما هو الحال في اعلاه .

مثال 6-1 : إذا كان لكل من ذوايا مثلث خطأ معياري مقداره  $(\pm 2)$  ، فما هو مجموع ، خطأ  $(\sigma_T)$  في المثلث ؟

الحل

$$\sigma_r = \pm(2^2 + 2^2 + 2^2)^{\frac{1}{2}} = \pm 2(3)^{\frac{1}{2}} = \pm 3.5''$$

مثال 7-1 : عند قياس زوايا داخريية في محطة ، احتسبت الزاوية الثالثة C التي تقفل الدائرة بطرح الزاويتين المتقاستين a و b من 360° . فإذا كان للزاوية a خطأ معياري مقداره (±2'') وللزاوية b خطأ معياري مقداره (±3'') ، ما هو الخطأ المعياري للزاوية C ؟

الحل

$$c \pm \sigma_c = 360^\circ - (a \pm \sigma_a) - (b \pm \sigma_b) \\ = 360^\circ - (a \pm 2'') - (b \pm 3'')$$

وحيث ان :

$$c = 360^\circ - a - b \\ \pm \sigma_c = \pm \sigma_a \pm \sigma_b = \pm 2'' \pm 3'' \\ \sigma_c = \pm(2^2 + 3^2)^{\frac{1}{2}} = \pm 3.6''$$

عليه :  
(و  $\sigma_c$  تساوي :

مثال 8-1 : الخطأ المعياري لـ "وسط MEAN زاوية مستخرجة من اربع قياسات هو (±3'') . فما هو عدد القياسات المطلوبة لتقليل هذا الخطأ الى النصف باستخدام نفس الجهاز ؟

الحل

$$\sigma_n = \pm \frac{\sigma_1}{\sqrt{n}} \quad \therefore \sigma_n = 3 \times 4^{\frac{1}{2}} = \pm 6'' \quad \text{من (المعادلة 4-1) ;}$$

اي ان للجهاز المستخدم خطأ معياري مقداره (±6'') لكل قراءة . وهكذا لاجل ان تكون ( $\sigma_n = \pm 1.5''$ ) عندما ( $\sigma_1 = \pm 6''$ ) :

$$n = \left(\frac{6}{1.5}\right)^2 = 16$$

مثال 9-1 : اذا كان الخطأ المعياري لمثلث في عملية تطبيق (بقياس الزوايا) يساوي (±6.0'') ، ما هو الخطأ المعياري المسموح به لكل زاوية ؟

الحل

من (المعادلة 17-1) :  
حيث ان  $\sigma_r$  هي الخطأ في المثلث TRIANGULAR ERROR و  $\sigma_n$  هو الخطأ في الزاوية و n هو عدد الزوايا .

$$\therefore \sigma_r = \frac{\sigma_n}{(n)^{\frac{1}{2}}} = \frac{\pm 6.0''}{(3)^{\frac{1}{2}}} = \pm 3.5'' \quad \text{اذن :}$$

1-10-2 الاعطاء التي تؤثر على عملية القرب

خذ (  $A(f) = \alpha + b \times c$  ) حيث كانت  $\alpha$  و  $b$  و  $c$  قد تأثرت بأخطاء

معيارية. فالتباين  $(\sigma_A^2)$  يساوي:

$$\sigma_A^2 = \left\{ \frac{\partial(abc)}{\partial a} \sigma_a \right\}^2 + \left\{ \frac{\partial(abc)}{\partial b} \sigma_b \right\}^2 + \left\{ \frac{\partial(abc)}{\partial c} \sigma_c \right\}^2$$

$$= (bc\sigma_a)^2 + (ac\sigma_b)^2 + (ab\sigma_c)^2$$

$$\therefore \sigma_A = \pm abc \left\{ \left( \frac{\sigma_a}{a} \right)^2 + \left( \frac{\sigma_b}{b} \right)^2 + \left( \frac{\sigma_c}{c} \right)^2 \right\}^{\frac{1}{2}} \quad \text{اذن :} \quad \dots \langle A18-1 \rangle$$

ويمكن اعتبار الكميات داخل الأقواس اخطاء نسبية  $R_a$  و  $R_b$  و  $R_c$  معطية :

$$\sigma_A = \pm abc (R_a^2 + R_b^2 + R_c^2)^{\frac{1}{2}} \quad \dots \langle B18-1 \rangle$$

### 3-10-1 الاخطاء التي تؤثر على عملية القسمة

خذ  $(A(f) = a/b)$  ، وعليه يكون التباين  $(\sigma_A^2)$  :

$$\sigma_A^2 = \left\{ \frac{\partial(ab^{-1})}{\partial a} \sigma_a \right\}^2 + \left\{ \frac{\partial(ab^{-1})}{\partial b} \sigma_b \right\}^2 = \left( \frac{\sigma_a}{b} \right)^2 + \left( \frac{\sigma_b a}{b^2} \right)^2$$

$$\therefore \sigma_A = \pm \frac{a}{b} \left\{ \left( \frac{\sigma_a}{a} \right)^2 + \left( \frac{\sigma_b}{b} \right)^2 \right\}^{\frac{1}{2}} \quad \dots \langle A19-1 \rangle$$

$$= \pm \frac{a}{b} (R_a^2 + R_b^2)^{\frac{1}{2}} \quad \dots \langle B19-1 \rangle$$

### 4-10-1 الاخطاء التي تؤثر على القوى والجذور

يجب التمييز بين قوة رقم (أي  $a^n$ ) وعملية الضرب، ما دامت  $(\sigma^3 = \sigma \times \sigma \times \sigma)$  الذي تكون فيه الحدود الثلاثة متساوية.

وهكذا إذا كانت  $(A(f) = \sigma^n)$  فالتباين  $(\sigma_A^2)$  يساوي :

$$\sigma_A^2 = \left( \frac{\partial \sigma^n}{\partial \sigma} \sigma_\sigma \right)^2 = (n\sigma^{n-1} \sigma_\sigma)^2 \quad \therefore \sigma_A = \pm (n\sigma^{n-1} \sigma_\sigma) \quad \dots \langle A20-1 \rangle$$

كذلك فان  $R_A$  :

$$R_A = \frac{\sigma_A}{\sigma^n} = \frac{n\sigma^{n-1} \sigma_\sigma}{\sigma^n} = \frac{n\sigma_\sigma}{\sigma} = nR_\sigma \quad \dots \langle B20-1 \rangle$$

ونفس الشيء ينطبق بالنسبة للجذور فإذا كانت الحالة  $(A(f) = \sigma^{1/n})$  فان التباين  $(\sigma_A^2)$  يساوي :

$$\sigma_A^2 = \left( \frac{\partial \sigma^{1/n}}{\partial \sigma} \sigma_\sigma \right)^2 = \left( \frac{1}{n} \sigma^{1/n-1} \sigma_\sigma \right)^2 = \left( \frac{1}{n} \sigma^{1/n} \sigma_\sigma \sigma^{-1} \right)^2 = \left( \frac{\sigma^{1/n} \sigma_\sigma}{n \sigma} \right)^2$$

اذن :

$$\therefore \sigma_a = \pm \left( \frac{a^{1/n} \sigma_a}{n a} \right) \quad \dots (21-1)$$

ويحتاج نفس الاسلوب للتعابير العامة التي هي تراكيب من التعابير اعلاه. ويمكن ايجاد امثلة على ذلك في كل من هذا الكتاب والجزء الاول/سكوفيلد- شعبان 1983 .

## 11 - 1 تعديل القراءات بطريقة المربعات الصغرى

ان المقاسات الاساسية في إنشاء شبكات الضبط ثنائية او ثلاثية الابعاد هي الزوايا والمسافات . وعموماً، تؤخذ معلومات اكثر مما يكفي لاجل تأمين ما يدقق الاخطاء وللتمكن من إجراء "تعديل" اكثر مقبولا لحسابات ولإجراء تحليل للقوة. ويشار الى المعلومات الاضافية المأخوذة بـ "القياسات الفائضة REDUNDANT MEASUREMENTS".

فالأجهزة الحديثة مع المهارات المهنية تمكن من أخذ المعلومات الحقلية المذكورة اعلاه بدقة تامة تقريباً وبدرجة عالية جداً من الضبط ، وبالرغم من ذلك، فمهما تكن طرق التعديل المستخدمة سيحدث تشويه في شكل الشبكة نتيجة التغيرات التي يحدثها التعديل في الزوايا والمسافات المقاسة، أي ان الزوايا والمسافات المحتسبة من الاحداثيات المقبولة الاخيرة ستختلف عن تلك التي رصدت اصلاً. ينتج عن ذلك بانه لما كان "التعديل" ضرورياً للحصول على الشكل الصحيح هندسياً ، فانه يجب استخدام فقط تلك الطرق في التعديل التي تؤدي الى اقل تغييرات في القراءات، وعليه يكون تعديل "المربعات الصغرى" هو الطريقة الملائمة .

ما يجب ملاحظته ، ولو ان المربعات الصغرى ليست هي - بأي حال من الاحوال - الطريقة المثلى ( سكوفيلد 1979 ) لان التغيرات الحاصلة على المعلومات غالباً ما تختلف حسب مبدأ التوزيع الطبيعي للمتغيرات وحسب فتاعة الراصد. وبالتأكيد يمكن الجدول بأن تستخدم التسمية "طرق التشويه DISTORTING PROCEEDURES" بدلا من "طرق التعديل ADJUSTMENT PROCEEDURES". ومع كل ذلك فمن بين كافة طرق التعديل المتوفرة يكون لطريقة المربعات الصغرى افضلية لإضفاء اصغر التغيرات على المعلومات في الوقت الذي تعطى فيه طريقة صحيحة لحسابات. أي يمكن تطبيقها عالمياً على كافة انواع الشبكات ، وهي ايضا سهلة في استخدامها نسبياً وتوفر تحليلاً لقوة الشبكة النهائية .

ولاجل التعرف على معنى تحليل قوة الشبكة عن كثب ، يجب ان يكون في الحسبان بان هنالك ثلاث شبكات. فاولا هنالك الشبكة كما هي منشأة على الارض وهذه هي الشبكة الحقيقية ( لكنها غير معروفة ) ، كما وان قياس هذه الشبكة لاجل تعيين الموقع والشكل والحجم يعطى الشبكة الثانية والتي - بسبب اخطاء القراءات - ستختلف عن الشبكة الحقيقية. واخيرا توجد الشبكة "المعدلة" والتي بالتاكيد ستختلف عن الشبكة المرصودة وحتى انها قد تكون اكثر اختلافا عن الشبكة الحقيقية ، وهذه الشبكة الاخيرة هي التي يتم تحليل قوتها (او لعمادها) ويكون هذا التحليل مبنيا على اختلافها عن الشبكة المرصودة .

وهكذا - عمليا - يجب التاكيد دائما على تقليل الاخطاء في اعمال الرصد بدلا من اتباع طرق مسفطة "لتعديل" وتحليل تلك الاخطاء .

لقد استخدمت طريقة المربعات المصغرى لكثر من 150 سنة وهي تنسب للعالم كوز GAUSS ولو انها تنسب احيانا الى العالمين لابلان وماركوف . مع هذا ، فعند استقصاء كتابات العلماء الثلاثة (بلاكيث 1969) يكون كوز هو العالم المحق بايجادها . مع ذلك ففي عالم الاحصاء يشار الى النظرية الاساسية في الموضوع بـ "نظرية كوز- ماركوف" وتنتم هذه النظرية على ان في حالة كون القراءات المستقلة متساوية في الوزن تكون تقديرات المربعات المصغرى تقديرات خطية LINEAR غير منحازة UNBIASED وباصغر تباين . ويتضح من مؤلفات المسألة بان قاعدة المربعات المصغرى تستخرج للرمذات ذات التوزيع الطبيعي ويعبر عنها عادة بالقيمة الاكثر احتمالا (MPV) او بافضل تقدير خطي غير منحاز BEST LINEAR UNBIASED ESTIMATE والذي يكون فيه مجموع مربعات الكميات المتبقية الموزونة باصغر قيمة ، اي:

$$[wv^2] = \text{MIN (اصغر قيمة)}$$

او بتعبير المصفوفة الرباعية QUADRATIC FORM MATRIX:

$$r^T W r = \text{MIN (اصغر قيمة)}$$

حيث ان  $r$  هي متجه VECTOR الاخطاء المتبقية و  $W$  هي المصفوفة القطرية الموزونة لمقوبات تباينات القراءات .

يميل المساحون لاستخدام التعبير "المربعات المصغرى" تعطى القيمة الاكثر احتمالا" ، ومع ذلك فالمربعات المصغرى هي مجرد علاقة رياضية بين القراءات الاصلية وقيمها المعدلة ، ولو ان الاحصائيين يستخدمون اصغر التباين MINIMUM VARIANCE كمعيار لاداء التقدير لانه

بمعنى القيم المستخرجة بوضوح أكثر. فالتقدير ذو التباين الأصغر هو ذلك التقدير الذي يكون فيه للمجاهيل المقدرة تبايناً أصغر من أي تقدير مستخرج آخر. وكما علمنا ذلك هو الوسط الحسابي لطاقت من القراءات .

من الجدير بالملاحظة : ولو بسهل استخراج قاعدة المربعات الصغرى من معادلة منحني التوزيع الطبيعي فقد اثبت "سوتنر" SUNTER 1966 بأن الطريقة تعطي تقديرات لأصغر التباين بغض النظر عن التوزيع. مع هذا فإن كانت المعلومات موزعة طبيعياً فالحل بالمربعات الصغرى سيعطي القيم الأكثر احتمالاً (MPV). وهذه الناحية هي مهمة من وجهة نظر علم المساحة لأن القيم المستخدمة للزوايا والمسافات لابد أن تكون الوسط الحسابي لطاقت من القراءات . وهكذا ففي الوقت الذي قد لا تكون فيه المتغيرات المفردة في طاقت موزعة توزيعاً طبيعياً، فإن "نظرية الحد الوسطي" CENTRAL LIMIT THEORY تشير إلى أن قيمة الوسط MEAN هي موزعة طبيعياً. وبناء على ذلك يمكن الجدل بأن كافة المعطيات المستخدمة في الحل بطريقة المربعات الصغرى لشبكة مسح هي موزعة طبيعياً.

#### 1-11-1 قاعدة المربعات الصغرى

تعطى معادلة منحني الاحتمال من :  
حيث  $e$  هي دالة أسية و  $h$  هو مؤشر الدقة و  $\lambda$  هو احتمال وقوع الخطأ  $e$ .

لجعل  $\pi^{-1/2}$  تساوى  $A$  فإن:

وبإجراء التفاضل بالنسبة إلى  $h$  :

$$\frac{dy}{dh} = A \{ e^{-h^2 e^2} + h(-2he^2 e^{-h^2 e^2}) \} = A e^{-h^2 e^2} (1 - 2h^2 e^2)$$

وعندما تكون  $\lambda$  بأكبر قيمة MAX :

وبإخذ الأخطاء بنظر الاعتبار :

$$\frac{dy}{dh} = 0 \quad \text{i.e.} \quad 1 - 2h^2 e^2 = 0 \quad \therefore e^2 = \frac{1}{2h^2}$$

$$e_1^2 + e_2^2 + \dots + e_n^2 = \frac{1}{2h_1^2} + \frac{1}{2h_2^2} + \dots + \frac{1}{2h_n^2}$$

عليه :  $[e^2] = \left[ \frac{1}{2h^2} \right]$

وحيث أن  $h$  تمثل الدقة PRECISION فإن درجة ضبط القراءات ستزداد بزيادة  $h$ . مع ذلك فإن  $(1/2h^2)$  تنقص بزيادة  $h$ . وهكذا فإن أعلى درجة ضبط سيتم الحصول عليها عندما :

.. (22-1)  $[1/2h^2] = [e^2] = (\text{أصغر قيمة MINIMUM})$

وبتحويل المعادلة إلى كلمات: "إن أكثر القيمة احتمالا لكمية ما، هي تلك التي يكون فيها مجموع مربعات الأخطاء (المترابطة) بأصغر قيمة". هذه هي قاعدة المربعات الصغرى كما هي مفهومة عموما من قبل المساحين. أما تعريفها الدقيق فقد سبق ذكره آنفا.

هنالك طريقتان لتعديل القراءات بهذه التقنية وهما:

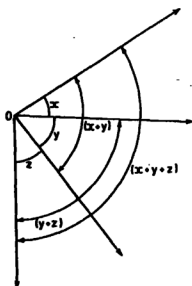
(A) "الطريقة غير المباشرة" والتي تستخدم معادلات الرصد  
OBSERVATION EQNS. و

(B) "الطريقة المباشرة" والتي تستخدم المعادلات الشرطية  
CONDITION EQNS.

وللطريقة غير المباشرة عدد من معادلات الرصد مساوي لعدد الزوايا والمسافات في الشبكة، وهكذا يمكن أن يصبح تناول المعلومات في الشبكات الكبيرة مشكلة على الكمبيوتر. أما الطريقة المباشرة فلها عدد أقل من المعادلات وبالحيقة عدد يساوي الظروف التي يجب الإبقاء بها. مع ذلك فالطريقة غير المباشرة لتغيير الاحداثيات تستخدم الآن عالميا بسهولة تطبيقها على أي نوع من أنواع الشبكات، وهكذا فإن برنامج واحد يكفي بكافة المتطلبات، أيضا، في الشبكات المعقدة حيث يوجد عدد من الكميات الفائضة REDUNDANCIES، يكون من الصعب جدا - إن لم يكن مستحيلا - تكوين معادلات شرطية مرضية تماما.

## 1-11-2 طريقة معادلات الرصد

لما كان الهدف من المشاهدات الحقلية هو الخروج بالقيمة الحقيقية أو القيمة الأكثر احتمالا (MPV) لقياس ما، فإن التعديلات يجب أن تؤدي إلى أقل تغييرات ممكنة في قيمها شرط أن تحوي القياسات أخطاء عشوائية فقط، فمثلا عند تعديل قيمة زاوية تنقي الدرجات والدقائق كما هي وتغيير الثواني فقط. وهكذا لأجل نقل القيمة بكاملها (أي الدرجات والدقائق والثواني) إلى التعديل، هذا سيؤدي بكل بساطة إلى عمل إضافي عند التعامل مع الكميات الصعبة. فالطريقة المقترحة هنا هي لذن فرض قيمة للكمية وتعين التصحيح بواسطة المربعات الصغرى الذي سيعطي القيمة الأكثر احتمالا (MPV) لتلك الكمية. ومن ذلك ينتج بأنه إذا كانت القيمة المفترضة للكمية أقرب ما يمكن من القيمة الأكثر احتمالا فإن حجم التصحيح سيكون أصغر أيضا. فمن الجملة الأولى يمكن الاستنتاج بأن أفضل قيمة للقيمة المفترضة هي القيمة المقاسة نفسها. وسوف يجري الآن حل تعديل بسيط لمحطة معينة لأجل توضيح هذه التقنية.



شكل 4-1

يبين (الشكل 4-1) القراءات المأخوذة إلى محطات محيطية بالمحطة 0، وقد سجلت القيم الوسطية التالية:

$$\begin{aligned}
 x &= 25^{\circ} 18' 30'' \\
 y &= 40^{\circ} 20' 25'' \\
 z &= 30^{\circ} 30' 35'' \\
 (x+y) &= 65^{\circ} 38' 52'' > \text{إضافية فائضة} \\
 (y+z) &= 70^{\circ} 51' 02'' > \text{REDUNDANT} \\
 (x+y+z) &= 96^{\circ} 09' 31'' > \text{OBSERVATIONS}
 \end{aligned}$$

المطلوب من تعديل المربعات المفقودة لإيجاد أكثر القيم احتمالاً لـ  $x$  و  $y$  و  $z$ .

"الخطوة 1 - لإقرض القيم  $A$  للكميات المطلوبة"، ودعها تساوي القيم المقاسة:

$$\begin{aligned}
 A_x &= 25^{\circ} 18' 30'' \\
 A_y &= 40^{\circ} 20' 25'' \\
 A_z &= 30^{\circ} 30' 35''
 \end{aligned}$$

"الخطوة 2 - كون معادلات الرصد" فبتطبيق التصحيح على المفروضة يتم الحصول على القيم الأكثر احتمالا (MPV) :

$$A_x + v_1 = (x \text{ لـ احتمالاً})$$

$$A_y + v_2 = (y \text{ لـ احتمالاً})$$

$$A_z + v_3 = (z \text{ لـ احتمالاً})$$

وبإعطاء الرمز Q للقيم المرصودة ، سيكون واضحاً بأن الفرق بين القيمة الأكثر احتمالاً والقيمة المرصودة هو الخطأ المتبقى ١.٢:

$$(A_x + v_1) - Q_x = r \text{ (الخطأ في الزاوية x)}$$

$$١ : ( \text{الخطأ المتبقى} ) = ( \text{القيمة المرصودة} ) - ( \text{MPV} )$$

وهكذا بتعويض القيم المفترضة من الخطوة 1 والقيم المرصودة من السؤال ينتج:

$$25^\circ 18' 30'' + v_1 - 25^\circ 18' 30'' = r_1 \quad \therefore v_1 = r_1$$

وهكذا (  $v_2 = r_2$  ) و (  $v_3 = r_3$  ) كما هو مبين في السؤال.

$$٢ : ( A_x + v_1 ) + ( A_y + v_2 ) - Q_{(x+y)} = r_4$$

$$٣ : ( 25^\circ 18' 30'' + v_1 ) + ( 40^\circ 20' 25'' + v_2 ) - 65^\circ 38' 52'' = r_4$$

كذلك بالنسبة لـ (  $y+z$  ) :

$$( 40^\circ 20' 25'' + v_2 ) + ( 30^\circ 30' 35'' + v_3 ) - 70^\circ 51' 02'' = r_5$$

$$\therefore v_2 + v_3 - 2'' = r_5$$

ثم بالنسبة إلى (  $x+y+z$  ) :

$$( 25^\circ 18' 30'' + v_1 ) + ( 40^\circ 20' 25'' + v_2 ) + ( 30^\circ 30' 35'' + v_3 ) - 96^\circ 09' 31'' = r_6$$

$$\therefore v_1 + v_2 + v_3 - 1'' = r_6$$

وهذه لإذن ادناه هي معادلات الرصد المختصرة :

$$v_1 = r_1$$

$$v_2 = r_2$$

$$v_3 = r_3$$

$$v_1 + v_2 + 3'' = r_4$$

$$v_2 + v_3 - 2'' = r_5$$

$$v_1 + v_2 + v_3 - 1'' = r_6$$

الخطوة 3 - كَوْن المعادلات الطبيعية". ويجب التعبير  
من شرط المربعات الصغرى: (أصغر قيمة)  $[r^2] = [r.r] = \text{MIN.}$   
يتعبّر من التصحيحات، أي: (أصغر قيمة)  $[v.v] = \text{MIN.}$

فلذا كانت  $(P = [v.v])$  سيميج الشرط الذي يجعلها بأصغر قيمة:

$$\frac{\partial P}{\partial v_1} = \frac{\partial P}{\partial v_2} = \frac{\partial P}{\partial v_3} = 0$$

ومن معادلات الرصد:

$$P = v_1^2 + v_2^2 + v_3^2 + (v_1 + v_2 + 3'')^2 + (v_2 + v_3 - 2'')^2 + (v_1 + v_2 + v_3 - 1'')^2$$

$$\therefore \frac{\partial P}{\partial v_1} = 2v_1 + 2(v_1 + v_2 + 3'') + 2(v_1 + v_2 + v_3 - 1'') = 0$$

لن جعل المقدار مساويا للصفر والتقسيم على 2 ثم جمع الحدود المتشابهة سيعطى:

$$3v_1 + 2v_2 + v_3 + 2'' = 0$$

وبنفس الطريقة:

$$\frac{\partial P}{\partial v_2} = v_2 + (v_1 + v_2 + 3'') + (v_2 + v_3 - 2'') + (v_1 + v_2 + v_3 - 1'')$$

$$= 2v_1 + 4v_2 + 2v_3 = 0$$

$$\frac{\partial P}{\partial v_3} = v_3 + (v_2 + v_3 - 2'') + (v_1 + v_2 + v_3 - 1'')$$

$$= v_1 + 2v_2 + 3v_3 - 3'' = 0$$

وهذه إذن تسمى "المعادلات الطبيعية" وهي تلخص كما يلي:

$$\begin{array}{rcl} 3v_1 + 2v_2 + v_3 & = & -2'' \\ \left\{ \begin{array}{l} 2v_1 + 4v_2 + 2v_3 = 0 \\ v_1 + 2v_2 + 3v_3 = 3'' \end{array} \right. \end{array}$$

وهذه المعادلات هي بسيطة بحيث يمكن حلها بطرق التعويض الاعتيادية معطية:

$$v_1 = -1'' \quad v_2 = -0.25'' \quad v_3 = 1.5''$$

وتعوض هذه القيم الآن في القيم المفترضة لتعطي القيم الأكثر احتمالا (MPV):

$$x = A_x + v_1 = 25^\circ 18' 30'' - 1'' = 25^\circ 18' 29.00'' \quad (\text{MPV})$$

$$y = A_y + v_2 = 40^\circ 20' 25'' - 0.25'' = 40^\circ 20' 24.75'' \quad (\text{MPV})$$

$$z = A_z + v_3 = 30^\circ 30' 35'' - 1.5'' = 30^\circ 30' 36.50'' \quad (\text{MPV})$$

ويمكن تقريب القيم الأكثر احتمالا الآن إلى أقرب ثانية بشكل يتناسب مع دقة المعلومات الحقلية.

يجب على الطالب ملاحظة النقاط التالية باعثناء:

(1) تتسم "المعادلات الطبيعية" بالتماثل SYMMETRY من حيث أن المعاملات في الصف الأول تعاد في العمود الأول والمعاملات في الصف الثاني تعاد في العمود الثاني ، كما هو مؤشر بالاسهم.

(2) ولو ينصح باستخدام القيم المرصودة بدلا من القيم المفترضة ، لكن هذا ليس ملزما . فيفرض قيمة مختلفة سينتج تصحيحا مختلفا معطيا في النهاية نفس الـ (MPV).

(3) بالنظر لعدم استخدام الخطأ ٣ في هذه الطريقة فيمكن أن يهمل مستقبلا ، وهكذا تكتب معادلات الرصد كما يلي:

$$\begin{aligned}v_1 &= 0 \\v_2 &= 0 \\v_3 &= 0 \\v_1 + v_2 + 3v_3 &= -3'' \text{ أي أن: } v_1 + v_2 + 3v_3 = 0 \\v_1 + v_2 &= 2'' \\v_1 + v_2 + v_3 &= 1''\end{aligned}$$

ومعاملة وكتابة هذه المعادلات بهذه الطريقة يجعلها سهلة التعامل جدا عندما تطبق في الحل الميكانيكي باستخدام المعادلات العامة لقاعدة المربعات الصغرى.

### 1- 11- 3 المعادلات العامة للتعديل بقاعدة المربعات الصغرى

لن كتابة معادلات الرصد بالشكل العام يكون كما يلي:

$$\begin{aligned}a_1v_1 + b_1v_2 + c_1v_3 - Q_1 &= r_1 \\a_2v_1 + b_2v_2 + c_2v_3 - Q_2 &= r_2 \\a_3v_1 + b_3v_2 + c_3v_3 - Q_3 &= r_3\end{aligned}$$

أي: (الخطأ المتبقي) = (القيمة المرصودة) - (MPV)

ومن قاعدة المربعات الصغرى: (صفر قيمة) = [rr]

وهكذا فلن مربع  $r_1$  يعطى:

$$r_1^2 = a_1^2v_1^2 + 2a_1b_1v_1v_2 + 2a_1c_1v_1v_3 - 2a_1Q_1v_1 + b_1^2v_2^2 + 2b_1c_1v_2v_3 - 2b_1Q_1v_2 + c_1^2v_3^2 - 2c_1Q_1v_3 + Q_1^2$$

والتكرار لـ  $r_2$  و ... و  $r_n$  سوف يغير معاملات  $(a_n b_n c_n)$  و ... و هكذا فجمع النتائج ووضع مجموع المربعات بشكلها المعروف ، أي  $[r^2]$  كـ  $[rr]$  يعطى:

$$[rr] = [aa]v_1^2 + 2[ab]v_1v_2 + 2[ac]v_1v_3 - 2[aQ]v_1 + [bb]v_2^2 + 2[bc]v_2v_3 - 2[bQ]v_2 + [cc]v_3^2 - 2[cQ]v_3 + [QQ]$$

وحيث أن  $(\text{ماتريks}) = [err]$  ، وبإجراء التفاضل  
والمساواة إلى الصفر في حالة القيمة الأصغر MINIMUM:

$$\frac{\partial f}{\partial v_1} = 2[aa]v_1 + 2[ab]v_2 + 2[ac]v_3 - 2[aQ] = 0$$

$$\frac{\partial f}{\partial v_2} = 2[ab]v_1 + 2[bb]v_2 + 2[bc]v_3 - 2[bQ] = 0$$

$$\frac{\partial f}{\partial v_3} = 2[ac]v_1 + 2[bc]v_2 + 2[cc]v_3 - 2[cQ] = 0$$

وهذه تتحول إلى شكل المعادلات الطبيعية العام كما يلي:

$$\begin{cases} [aa]v_1 + [ab]v_2 + [ac]v_3 = [aQ] \\ [ab]v_1 + [bb]v_2 + [bc]v_3 = [bQ] \\ [ac]v_1 + [bc]v_2 + [cc]v_3 = [cQ] \end{cases} \quad \dots \langle 23-1 \rangle$$

لاحظ التماثل للمرة الثانية. فلذا حفظ الطالب الآن هذا  
التعبير البسيط عن الغيب فإن ذلك سييسر عليه حل  
المسائل النموذجية للمربعات الصغرى كثيرًا.

#### 1-11-4 استخدام المعادلات العامة

خذ المثال السابق. حيث يتم تكوين معادلات الرصد  
بالطريقة الاعتيادية وتعاد كتابتها كما يلي:

$$\begin{aligned} v_1 &= 0 \\ v_2 &= 0 \\ v_3 &= 0 \\ v_1 + v_2 &= -3'' \\ v_2 + v_3 &= 2'' \\ v_1 + v_2 + v_3 &= 1'' \end{aligned}$$

حيث أن معاملات  $v_1$  و  $v_2$  و  $v_3$  هي  $a$  و  $b$  و  $c$  على التوالي، وهكذا:

$$\left. \begin{aligned} dv_1 &= 0 \\ dv_2 &= 0 \\ dv_3 &= 0 \\ dv_1 + dv_2 &= -3'' \\ dv_2 + dv_3 &= 2'' \\ dv_1 + dv_2 + dv_3 &= 1'' \end{aligned} \right\} \begin{array}{l} \text{تعبير} \\ Q \end{array} \quad \begin{aligned} \dots \langle A24-1 \rangle \\ \dots \langle B24-1 \rangle \\ \dots \langle C24-1 \rangle \\ \dots \langle D24-1 \rangle \\ \dots \langle E24-1 \rangle \\ \dots \langle F24-1 \rangle \end{aligned}$$

$$a = b = c = 1$$

شم :

فأصبح الموضوع الآن بجسامة هو موضوع تعويض المعاملات  
في (المعادلة العامة 23-1) كما يلي:

(1) المقدار  $[aa]$  يعنى "مجموع مربعات المعاملات  $a$ "  
ويستخرج من <معادلات الرمد A24-1 و D و F> وهكذا:  
 $[aa] = (1 \times 1) + (1 \times 1) + (1 \times 1) = 3$  (موضحة بنقطة مفردة)

(2) المقدار  $[ab]$  يعنى "مجموع ضربى المعاملين  $a$  و  $b$ "  
ويمكن الحصول عليه من <المعادلتين D24-1 و F> فقط.

فمثلا ، إذا كتبت <المعادلة A24-1> بالكامل سيكون  
المعاملان  $b$  و  $c$  صفراً ، بينما فى <المعادلة B24-1> يكون  
المعاملان  $a$  و  $c$  صفراً . وعليه فمن الضروري إختيار تلك  
المعادلات التى لا يكون فيها  $a$  و  $b$  معا صفراً .

$$[ab] = (1 \times 1) + (1 \times 1) = 2$$

أى عندما تكون النقطة المنفردة والمزدوجة معا .

(3) كذلك يمكن الحصول على  $[ac]$  فقط من <المعادلة -1  
F24> وهى موضحة بنقطة مفردة وخط معا :  $[ac] = (1 \times 1) = 1$

(4) المقدار  $[aQ]$  هو "مجموع ضربى المعاملين  $a$  و  $Q$ " حيث  
أن المعاملات  $Q$  هى القيم الرقمية المحصورة بين قوسين  
والتي تسمى عموما بالمقادير "المطلقة" .

ويمكن الاثبات بأنه إذا ساوت المقادير المطلقة صفراً  
فى المعادلات الثلاث الاولى ، عندئذ يمكن إهمال هذه  
المعادلات ، وهكذا يمكن الحصول على  $[aQ]$  فقط من  
<المعادلتين D24-1 و F> .  $[aQ] = (1 \times -3) + (1 \times 1) = -2$

وهكذا فإن اول سطر من مجموعة المعادلات الطبيعية  
يكون:

$$3v_1 + 2v_2 + v_3 = -2$$

والذى يمكن كتابته - بسبب تماثل المعادلات - كما يلى:

$$3v_1 + 2v_2 + v_3 = -2$$

وبنفس الطريقة تماما ، وبلمحة بصر يمكن رؤية باقى  
معاملات المعادلات الطبيعية:

(5) المقدار  $[bb]$  من <المعادلات B24-1 و D و E و F> يساوى:  
 $[bb] = (1 \times 1) + (1 \times 1) + (1 \times 1) + (1 \times 1) = 4$

(6) المقدار  $[bc]$  من <المعادلتين E24-1 و F> يساوى:  
 $[bc] = (1 \times 1) + (1 \times 1) = 2$

(7) المقدار  $[bQ]$  من <المعادلات D24-1 و C و F> يساوى:  
 $[bQ] = (1 \times -3) + (1 \times 2) + (1 \times 1) = 0$

وتعاد كتابة هذه المعادلات شاقوليا لتعطى:

$$\begin{aligned} 3v_1 + 2v_2 + v_3 &= -2'' \\ 2v_1 + 4v_2 + 2v_3 &= 0 \\ v_1 + 2v_2 & \end{aligned}$$

(8) وأخيرا فلن  $[Cc]=3$  من <المعادلات C24-1 و F> ،  
كما أن  $[Cc Q]=3^a$  من <المعادلتين E24-1 و F> .

وهكذا تكون المجموعة الكاملة للمعادلات الطبيعية:

$$\begin{aligned} 3v_1 + 2v_2 + v_3 &= -2'' \\ 2v_1 + 4v_2 + 2v_3 &= 0 \\ v_1 + 2v_2 + 3v_3 &= 3'' \end{aligned}$$

وبمقارنة هذه المعادلات بتبيين بانها مطابقة لتلك المعادلات المستخرجة سابقا من البتنية الأساسية. فيجب على الطلبة التمرن على الطريقة الميكانيكية التي تمكنهم من التحول السريع من معادلات الرصد إلى المعادلات الطبيعية. وعند كتابة معادلات الرصد ليس هنالك ضرورة لتسمية المعاملات  $a, b, c$  و  $g$  إلخ لأنه من السهل تخيلها .

## 1-11-5 المعادلات العامة المتضمنة اوزان

لقد أهمل وزن كل قراءة لحد الآن لأجل تسهيل الفهم. مع ذلك فلن اى تعديل بطريقة المربعات الصغرى من دون لدخال الاوزان النسبية للقراءات يكون عقيما تماما . فحتى عندما تكون كافة القراءات بدقة متساوية وبدون ارتباط CORRELATION وبالتالي وزنها وحدة UNITY . يجب اتباع مبدأ الوزن ايضا .

وبدون ذكر طريقة الاستنتاج يكون تأثير الاوزان  $(w)$  :

$$[wv] = \left[ \frac{v}{\sigma^2} \right] = \text{MINIMUM (اصغر قيمة)}$$

وهكذا :

$$\begin{aligned} [wa]v_1 + [wb]v_2 + [wc]v_3 + \dots + [wn]v_n &= [wv_0] &> \\ [wbb]v_2 + [wbc]v_3 + \dots + [wbn]v_n &= [wb_0] &> \dots <25-1> \\ [wcc]v_3 + \dots + [wcn]v_n &= [wc_0] &> \end{aligned}$$

فخذ الآن المسألة الأصلية المتضمنة الأوزان:

$$\begin{aligned}x &= 25^{\circ} 18' 30'' \text{ (الوزن 4)} \\y &= 40^{\circ} 20' 25'' \text{ (الوزن 4)} \\z &= 30^{\circ} 30' 35'' \text{ (الوزن 4)} \\(x+y) &= 65^{\circ} 38' 52'' \text{ (الوزن 3)} \\(y+z) &= 70^{\circ} 51' 02'' \text{ (الوزن 2)} \\(x+y+z) &= 96^{\circ} 09' 31'' \text{ (الوزن 1)}\end{aligned}$$

لقد فرضت قيم لـ  $x$  و  $y$  و  $z$  وتم تكوين معادلات الرصد بنفس الأسلوب السابق تماماً كما مبين في الفقرة 11-2، وتكتب هذه المعادلات الآن بالأوزان كما يلي:

$$\begin{aligned}v_1 &= 0 \text{ (الوزن 4)} & \dots & \langle A26-1 \rangle \\v_2 &= 0 \text{ (الوزن 4)} & \dots & \langle B26-1 \rangle \\v_3 &= 0 \text{ (الوزن 4)} & \dots & \langle C26-1 \rangle \\v_1 + v_2 &= -3'' \text{ (الوزن 3)} & \dots & \langle D26-1 \rangle \\v_2 + v_3 &= 2'' \text{ (الوزن 2)} & \dots & \langle E26-1 \rangle \\v_1 + v_2 + v_3 &= 1'' \text{ (الوزن 1)} & \dots & \langle F26-1 \rangle\end{aligned}$$

من (المعادلة 1-25):

$$\begin{aligned}[waa] &= (4 \times 1 \times 1) + (3 \times 1 \times 1) + (1 \times 1 \times 1) = 8 \quad \text{(من المعادلات} \\& \quad \langle A26-1 \rangle \text{ و } \langle D26-1 \rangle \text{ و } \langle F26-1 \rangle) \\[wab] &= (3 \times 1 \times 1) + (1 \times 1 \times 1) = 4 \quad \text{(من المعادلتين} \\& \quad \langle F26-1 \rangle \text{ و } \langle D26-1 \rangle) \\[wac] &= (1 \times 1 \times 1) = 1 \quad \text{(من المعادلة} \\& \quad \langle F26-1 \rangle) \\[waq] &= (3 \times 1 \times -3'') + (1 \times 1 \times 1'') = -8'' \quad \text{(من المعادلتين} \\& \quad \langle D26-1 \rangle \text{ و } \langle F26-1 \rangle \text{ حيث} \\& \quad \text{أن } (Q=0) \text{ في } \langle A26-1 \rangle)\end{aligned}$$

أما ما تبقى من المجموعة فيجب محاولته من قبل الطالب والذي سيعطى:

$$\begin{aligned}8v_1 + 4v_2 + v_3 &= -8'' \\4v_1 + 10v_2 + 3v_3 &= -4'' \\v_1 + 3v_2 + 7v_3 &= 5''\end{aligned}$$

وقد تم حل هذه المعادلات ووجدت القيم التالية:

$$v_1 = -0.97'' \quad v_2 = -0.31'' \quad v_3 = +0.98''$$

وتطبق هذه القيم على القيم المفترضة الملائمة بالطرق الاعتيادية .

إن الطريقة المفضلة في حل المجاميع الكبيرة من المعادلات الطبيعية في أعمال المساحة هي طريقة تجزئة كوليسكي CHOLESKI'S DECOMPOSITION ، ولكن ، بما أن الحل بهذه

الطريقة يجب ان يتم من خلال برامج الكمبيوتر المتوفرة  
فسوف لن نجري هنا التطرق اليها .

### 11-6 طرق المصفوفة Matrix methods

إن الشكل المتبع للتعبير عن معادلات الرصد بشكل عام  
لحد الان هو غير تقليدي عن عمد ، وذلك لتسهيل الفهم  
وتسهيل التعامل معها . وسيجري الان اتباع اسلوب اكثر  
تقليديا لاجل شرح تطبيق المصفوفات .

معادلات الرصد من (الفقرة 3-11-1) هي:

$$\begin{aligned} a_{11}v_1 + a_{12}v_2 + \dots + a_{1n}v_n - q_1 &= r_1 \\ a_{21}v_1 + a_{22}v_2 + \dots + a_{2n}v_n - q_2 &= r_2 \\ \vdots & \\ a_{m1}v_1 + a_{m2}v_2 + \dots + a_{mn}v_n - q_m &= r_m \end{aligned}$$

إن الترتيب المبين اعلاه ب m صف و n عمود يختلف عن  
الشكل الاول في (الفقرة 3-11-1) في ان المعاملات  $a$  و  $b$  و  $c$   
و... الخ قد استبدلت ب  $q$  و  $a$  و  $b$  لتتماشى مع رموز المتجهات،  
وهكذا :

$a$  = (معاملات معادلات الرصد)

$r$  = (التصحيات)

$q$  = (المقادير المطلقة)

$r$  = (الاشياء المتبقية)

وبشكل المصفوفة تكتب :

$$r = Av - q \quad \dots (27-1)$$

حيث ان: (متجه العمود ب m من المقادير المتبقية)  
 $A$  = (مصفوفة ب  $(m \times n)$  من المعاملات)  
 $v$  = (متجه العمود ب n من التصحيحات)  
 $q$  = (متجه العمود ب m من المقادير المطلقة)

يتم الحصول على الحل بقاعدة المربعات الصغرى بتقريب  
المقدار التربيعي  $(r^T W r)$  الى صفر قيمة اي ان  $(\partial(r^T W r) / \partial v) = 0$   
حيث ان  $W$  هي مصفوفة قطرية موزونة بحجم  $(m \times m)$  .

$$\begin{aligned} r^T W r &= (Av - q)^T W (Av - q) \\ &= (v^T A^T - q^T) W (Av - q) \\ &= v^T (A^T W A) v - v^T (A^T W q) - (q^T W A) v + q^T W q \end{aligned}$$

$$\partial(r^T W r) / \partial v = 2(A^T W A)v - (A^T W q) - (q^T W A)^T = 0$$

$$2(A^T W A)v = (A^T W q) + (A^T W^T q) = 2(A^T W q)$$

وهكذا فالمعادلات الطبيعية هي:

$$(A^T W A)v = A^T W q \quad \dots (28-1)$$

والحل لاجاد ك هو :

$$v = (A^T W A)^{-1} A^T W q \quad \dots (29-1)$$

ويسمى المقدار  $(A^T W A)^{-1}$  في (المعادلة 1-29) بمصفوفة التباين - التباين المشترك (VAR-COVAR) MATRIX والتي ستترد تطبيقاتها في (الفقرة 1-13-1).

سيجرى الآن حل المثال السابق بطرق المصفوفة:  
(1) يتم تكوين معادلات الرصد بالطريقة الاعتيادية ، وهي كما في (المعادلات 1-26). أي :

$$\begin{aligned} v_1 &= 0 \quad (\text{الوزن 4}) \\ v_2 &= 0 \quad (\text{الوزن 4}) \\ v_3 &= 0 \quad (\text{الوزن 4}) \\ v_1 + v_2 &= -3 \quad (\text{الوزن 3}) \\ v_1 + v_3 &= 2 \quad (\text{الوزن 2}) \\ v_1 + v_2 + v_3 &= 1 \quad (\text{الوزن 1}) \end{aligned}$$

(2) ويتم تكوين المصفوفات من معادلات الرصد كما يلي:

$$A_3 = \begin{bmatrix} 1 & 0 & 0 \\ 0 & 1 & 0 \\ 0 & 0 & 1 \\ 1 & 1 & 0 \\ 0 & 1 & 1 \\ 1 & 1 & 1 \end{bmatrix} \quad W_6 = \begin{bmatrix} 4 & 0 & 0 & 0 & 0 & 0 \\ 0 & 4 & 0 & 0 & 0 & 0 \\ 0 & 0 & 4 & 0 & 0 & 0 \\ 0 & 0 & 0 & 3 & 0 & 0 \\ 0 & 0 & 0 & 0 & 2 & 0 \\ 0 & 0 & 0 & 0 & 0 & 1 \end{bmatrix}$$

$$q^T = (0 \quad 0 \quad 0 \quad -3 \quad 2 \quad 1)$$

حيث أن A تحتوي على المعاملات  $v_1$  و  $v_2$  و  $v_3$  كلها وحدة) و q تحتوي على الحدود المطلقة ولا تحتوي على الاوزان.

(3)

$$(A^T W A)_3 = \begin{bmatrix} 8 & 4 & 1 \\ 4 & 10 & 3 \\ 1 & 3 & 7 \end{bmatrix} \quad (A^T W q)_1 = \begin{bmatrix} -8 \\ -4 \\ 5 \end{bmatrix}$$

لأن التعبير أعلاه هو عبارة عن المعادلات الطبيعية كما هو مذكور في (الفقرة 1-11-5).

$$(A^T W A)_3^{-1} = \begin{bmatrix} 0.16 & -0.06 & 0.01 \\ -0.06 & 0.14 & -0.05 \\ 0.01 & -0.05 & 0.16 \end{bmatrix}$$

$$v = (A^T W A)^{-1} A^T W q$$

$$\begin{aligned} v^T &= (-0.07 \quad -0.31 \quad 0.98) & \text{لذن :} \\ v_1 &= -0.97 \quad , \quad v_2 = -0.31 \quad , \quad v_3 = +0.98 & \text{أي أن :} \end{aligned}$$

والاجوبة بالطبع هي مطابقة لتلك التي يتم الحصول عليها بالطرق التقليدية .

يتم تكوين المعادلات الشرطية في هذه الطريقة بموجب شروط التعديل التي يجب الإبقاء بها . ولأجل تقبل عدد المعادلات الطبيعية تضرب كل معادلة شرطية بمعامل ضرب MULTIPLIER مجهول بدعى "معامل الارتباط - CORRELATIVE MULTIPLIER" او "معامل لاگرانج LAGRANGIAN MULTIPLIER". يتم بعدها تركيب المعادلات الشرطية الناتجة في شرط المربعات الصغرى، وبعد إجراء التقاض يعبر عنها بدالة خطية لمعامل الارتباط، وبالتعويض في المعادلات الشرطية ينتج طاقما من المعادلات الطبيعية المرتبطة مساويا بالعدد الن عد الشروط، ثم يتم حل المعادلات لإيجاد قيم معاملات الارتباط والتي يمكن أن يعبر عنها بعدد التصحيحات .

وسوف يجرى الآن شرح الطريقة بالتفصيل، باستخدام المسألة المحولة بالطريقة السابقة، وهكذا عادة كتابة السؤال:

$$x = 25^{\circ}18'30''$$

$$y = 40^{\circ}20'25''$$

$$z = 30^{\circ}30'35''$$

$$x + y = 65^{\circ}38'52''$$

$$y + z = 70^{\circ}51'02''$$

$$x + y + z = 96^{\circ}09'31''$$

وبتمحيم (الشكل 4-1) تتبين شروط التعديل بوضوح كما يلي:

$$x + y = (x + y)$$

$$y + z = (y + z)$$

$$x + y + z = (x + y + z)$$

مع ذلك فإن هذه الشروط هي صحيحة فقط بالنسبة للقيمة الأكثر احتمالاً (MPV)، وهكذا تطبيق التصحيحات يكون وكيلاً لتعطي:

$$x + v_1 + y + v_2 = (x + y) + v_4$$

$$y + v_2 + z + v_3 = (y + z) + v_5$$

$$x + v_1 + y + v_2 + z + v_3 = (x + y + z) + v_6$$

إن المهم في هذه الطريقة هو استخدام العدد اللازم من الشروط ، فاستخدام عدد قليل يؤدي إلى الأخطاء ، بينما يؤدي استخدام العدد الكبير من الشروط إلى حسابات كبيرة . فالقاعدة لإقرار العدد اللازم من الشروط هي : " عدد الكميات المقاسة مباشرة ناقصا عدد المجاهيل المستقلة يساوي عدد الشروط المطلوبة " .

ففي الحالة المذكورة سابقا يكون :

عدد الكميات المقاسة مباشرة يساوي 6

عدد المجاهيل المستقلة يساوي 3 ، أي  $x$  و  $y$  و  $z$  .

وهكذا يجب استخدام كافة الشروط أعلاه .

عند استخدام طريقة معاملات الارتباط CORRELATIVES يجب ملاحظة النقاط التالية :

- (I) تطبيق التصحيحات على كافة الكميات الداخلة .
- (II) وتطبيق هذه التصحيحات على الكميات المقاسة مباشرة ،

قد يريد قيم مقترضة.

وبالتعويض في شروط التعديل يكون لدينا :

$$\begin{aligned} x + v_1 + y + v_2 &= (x + y) + v_4 \\ \text{MPV} \quad \text{MPV} \quad \text{MPV} \\ \therefore 25^\circ 18' 30'' + v_1 + 40^\circ 20' 25'' + v_2 &= 65^\circ 38' 52'' + v_4 \end{aligned}$$

لذن :

$$v_1 + v_2 - v_4 + 3'' = 0 \quad \text{معطية :}$$

...<30-1>

وينفس الطريقة للشرطين الجاقين:

$$\begin{aligned} 40^\circ 20' 25'' + v_2 + 30^\circ 30' 35'' + v_3 &= 70^\circ 51' 02'' + v_5 \\ \therefore v_2 + v_3 - v_5 - 2'' &= 0 \end{aligned}$$

...<31-1>

$$\begin{aligned} 25^\circ 18' 30'' + v_1 + 40^\circ 20' 25'' + v_2 + 30^\circ 30' 35'' + v_3 &= 96^\circ 09' 31'' + v_6 \\ \therefore v_1 + v_2 + v_3 - v_6 - 1'' &= 0 \end{aligned}$$

...<32-1>

فكل معادلة شرطية تضرب الان بمعامل الارتباط  $k$  :

$$\begin{aligned} k_1(v_1 + v_2 - v_4 + 3'') &= 0 \\ k_2(v_2 + v_3 - v_5 - 2'') &= 0 \\ k_3(v_1 + v_2 + v_3 - v_6 - 1'') &= 0 \end{aligned}$$

ولتسهيل الحل، تضرب كل من معادلات الارتباط CORRELATIVE EQUATIONS اعلاه ب(-2) ومن ثم تتركب في قاعدة المربعات الصغرى لتعطى الدالة التالية :

$$\begin{aligned} v_1^2 + v_2^2 + v_3^2 + v_4^2 + v_5^2 + v_6^2 - 2k_1(v_1 + v_2 - v_4 + 3'') - 2k_2(v_2 + v_3 - v_5 - 2'') \\ - 2k_3(v_1 + v_2 + v_3 - v_6 - 1'') = a \text{ minimum} \end{aligned}$$

وبإجراء التفاضل نسجدة التي كل متغير على التوالى ثم بمساواتها الى الصفر ، يكون لدينا :

$$\begin{aligned} 2v_1 - 2k_1 - 2k_3 &= 0 & \therefore v_1 &= k_1 + k_3 \\ 2v_2 - 2k_1 - 2k_2 - 2k_3 &= 0 & \therefore v_2 &= k_1 + k_2 + k_3 \\ 2v_3 - 2k_2 - 2k_3 &= 0 & \therefore v_3 &= k_2 + k_3 \\ 2v_4 + 2k_1 &= 0 & \therefore v_4 &= -k_1 \\ 2v_5 + 2k_2 &= 0 & \therefore v_5 &= -k_2 \\ 2v_6 + 2k_3 &= 0 & \therefore v_6 &= -k_3 \end{aligned}$$

وبعاد الآن تعويض دالات الارتباط CORRELATIVE FUNCTIONS في المعادلات الشرطية، فبالتعويض في:

$$\begin{aligned} (k_1 + k_3) + (k_1 + k_2 + k_3) - (-k_1) + 3'' &= 0 \\ \therefore 3k_1 + k_2 + 2k_3 + 3'' &= 0 \end{aligned}$$

يعطى :  
لذن :

$$\begin{aligned} v_2 + v_3 - v_5 - 2'' &= 0 \\ \therefore (k_1 + k_2 + k_3) + (k_2 + k_3) - (-k_2) - 2'' &= 0 \\ \therefore k_1 + 3k_2 + 2k_3 - 2'' &= 0 \end{aligned}$$

وينفس الطريقة :  
لذن :  
لذن :

$$\begin{aligned} v_1 + v_2 + v_3 - v_6 - 1'' &= 0 \\ \therefore (k_1 + k_3) + (k_1 + k_2 + k_3) + (k_2 + k_3) - (-k_3) - 1'' &= 0 \\ \therefore 2k_1 + 2k_2 + 4k_3 - 1'' &= 0 \end{aligned}$$

كذلك :  
لذن :

وبتجميع المعادلات الطبيعية المرتبطة معا :

$$\begin{aligned} 3k_1 + k_2 + 2k_3 + 3'' &= 0 &> \\ k_1 + 3k_2 + 2k_3 - 2'' &= 0 &> \text{(لاحظ التماثل)} \\ 2k_1 + 2k_2 + 4k_3 - 1'' &= 0 &> \end{aligned}$$

بالحل ينتج :  $(k_1 = -1.75'')$  و  $(k_2 = 0.75'')$  و  $(k_3 = 0.75'')$  ،  
وتعوض في هذه القيم الان في الدالات اعلاه للحصول على  
التصحيات :

$$\begin{aligned} v_1 &= k_1 + k_3 = -1'' & v_4 &= -k_1 = +1.75'' \\ v_2 &= k_1 + k_2 + k_3 = -0.25'' & v_5 &= -k_2 = -0.75'' \\ v_3 &= k_2 + k_3 = +1.50'' & v_6 &= -k_3 = -0.75'' \end{aligned}$$

وتطبق هذه التصحيحات الان على القيم المرصودة ذات  
الملاحظة لتعطي القيم الاكثر احتمالا (MPV) :

$$\begin{aligned} x &= 25^\circ 18' 30'' + v_1 = 25^\circ 18' 29'' \\ y &= 40^\circ 20' 25'' + v_2 = 40^\circ 20' 24.75'' \\ z &= 30^\circ 30' 35'' + v_3 = 30^\circ 30' 36.50'' \\ (x+y) &= 65^\circ 38' 52'' + v_4 = 65^\circ 38' 53.75'' \\ (y+z) &= 70^\circ 51' 02'' + v_5 = 70^\circ 51' 1.25'' \\ (x+y+z) &= 96^\circ 09' 31'' + v_6 = 96^\circ 09' 30.25'' \end{aligned}$$

وبيمكن الان تقريب ال (MPV) الى اقرب ثانية تمثيلاً مع دقة  
المعلومات الحقيقية.

لاحظ بان : (I) القيم الاكثر احتمالا ل  $x$  و  $y$  و  $z$  هي مطابقة  
لذلك القيم المستخرجة من طريقة معادلة الرصد (II) القيم  
الاكثر احتمالا المدرجة اعلاه تبقى بكافة شروط التعديل  
المطلوبة (III) في هذه المسألة بالذات ، لا توجد فائدة  
كبيرة من استخدام المعادلات الشرطية بدلا من معادلات  
الرصد (IV) ان التسلسل الذي كتبت فيه المعادلات الشرطية  
غير مهم. ثم (V) على الطلبة الان دراسة كلا الطريقتين  
وملاحظة الفرق بينهما في الحل.

### 1-11-8 الشكل العام لمعاملات الارتباط

تكتب المعادلات الشرطية بشكلها العام كالتالي :

$$\begin{aligned} a_1v_1 + a_2v_2 + \dots + a_nv_n + q_1 &= 0 \\ b_1v_1 + b_2v_2 + \dots + b_nv_n + q_2 &= 0 \\ c_1v_1 + c_2v_2 + \dots + c_nv_n + q_3 &= 0 \end{aligned}$$

ثم تضرب كل من هذه المعادلات بمعامل مجهول ، ويمكن ان  
تكتب بالشكل التالي :

$$k_1(a_1v_1 + a_2v_2 + \dots + a_nv_n + q_1) + k_2(b_1v_1 + b_2v_2 + \dots + b_nv_n + q_2) + k_3(c_1v_1 + c_2v_2 + \dots + c_nv_n + q_3) = 0$$

وبموجب قاعدة المربعات الصغرى فلن  $[v]$  تساوي اصغر  
قيمة. مع هذا ، فالاصغر قيمة هي ايضا جدالة المعادلات  
الشرطية. وهكذا ، لما كان الضرب بالمعامل (-2) لا يؤثر  
على الاصغر قيمة وبسهل الحل ، يمكن كتابة الدالة الكلية  
F كما يلي :

$$\begin{aligned}
 F &= v_1^2 + v_2^2 + \dots + v_n^2 - 2k_1(a_1v_1 + a_2v_2 + \dots + a_nv_n + q_1) \\
 &\quad - 2k_2(b_1v_1 + b_2v_2 + \dots + b_nv_n + q_2) \\
 &\quad - 2k_3(c_1v_1 + c_2v_2 + \dots + c_nv_n + q_3) \\
 &= \text{MIN (قيمة)}
 \end{aligned}$$

وبإجراء التفاضل نسبة إلى كل متغير على التوالي ثم المساواة إلى الصفر تعطى:

$$\frac{\partial F}{\partial v_1} = 2v_1 - 2k_1a_1 - 2k_2b_1 - 2k_3c_1 = 0$$

$$\frac{\partial F}{\partial v_2} = 2v_2 - 2k_1a_2 - 2k_2b_2 - 2k_3c_2 = 0$$

$$\frac{\partial F}{\partial v_n} = 2v_n - 2k_1a_n - 2k_2b_n - 2k_3c_n = 0$$

والتي ينتج منها :

$$v_1 = k_1a_1 + k_2b_1 + k_3c_1$$

$$v_2 = k_1a_2 + k_2b_2 + k_3c_2$$

$$v_n = k_1a_n + k_2b_n + k_3c_n$$

وبتعويض هذه القيم في المعادلات الشرطية الأصلية ووضع محل (المجرد التاكيد على شكل المعادلة) يعطى الشكل العام للمعادلات الطبيعية المترابطة كما يلي :

$$\left. \begin{aligned}
 K_1[aa] + K_2[ab] + K_3[ac] + q_1 &= 0 \\
 K_1[ab] + K_2[bb] + K_3[bc] + q_2 &= 0 \\
 K_1[ac] + K_2[bc] + K_3[cc] + q_3 &= 0
 \end{aligned} \right\} \dots (33-1)$$

من المهم ملاحظة تماثل المعادلات، ويمكن للطلاب أن يروا بأن هذه المعادلات هي مطابقة تماما للمعادلات السابقة المستخرجة من طريقة معادلة الرصد بإحلال التصحيح محل معامل الارتباط K .

مرة أخرى، يمكن استخدام هذه المعادلات ميكانيكيا للحصول على المعادلات الطبيعية من المعادلات الشرطية مباشرة . ويتم الحصول على المعادلات الشرطية كما جينا ، وهي كما يلي :

$$v_1 + v_2 - v_4 + 3'' = 0$$

$$v_2 + v_3 - v_5 - 2'' = 0$$

$$v_1 + v_2 + v_3 - v_6 - 1'' = 0$$

فلذا ضرب الطالب كل معادلة بالمعامل K فلها ستظهر كما يلي:

$$K_1(v_1 + v_2 - v_4 + 3'') = 0 \dots (A34-1)$$

$$K_2(v_2 + v_3 - v_5 - 2'') = 0 \dots (B34-1)$$

$$K_3(v_1 + v_2 + v_3 - v_6 - 1'') = 0 \dots (C34-1)$$

من الاستنتاج الأولى (انظر اعلاه) يمكن رؤية أن كافة معاملات المعادلة A34-1 هي a ومعاملات المعادلة B34-1 هي b ومعاملات المعادلة C34-1 هي c ، وعليه ستعاد كتابة المعادلات لتبسيط شرح الطريقة فقط :

$$K_1(a_1v_1 + a_2v_2 - a_4v_4 + 3'') = 0 \dots (A35-1)$$

$$K_2(b_2v_2 + b_3v_3 - b_5v_5 - 2'') = 0 \dots (B35-1)$$

$$K_3(c_1v_1 + c_2v_2 + c_3v_3 - c_6v_6 - 1'') = 0 \dots (C35-1)$$

حيث في هذه الحالة :  
وبأخذ حدود المعادلة العامة واحدا تلو الآخر :

$$a = b = c = 1$$

$$K_1[aa] = K_1\{(1 \times 1) + (1 \times 1) + (-1 \times -1)\} = 3K_1$$

الناجمة من <المعادلة 1-35> فقط ، أي مجموع مربعات  
المعاملات .

$$K_2[ab] = K_2\{(1 \times 1)\} = K_2$$

أيضا :  
الناجمة من <المعادلتين 1-35 و 1-35B> بمجرد ضرب معاملات  
الحدود "المتشابهة" والتي في هذه الحالة هي  $(a_2 \times b_2)$  .

$$K_3[ac] = K_3\{(1 \times 1) + (1 \times 1)\} = 2K_3$$

أيضا :  
هي ناتجة من <المعادلتين 1-35 و 1-35C> ، أي  $a_1 \times c_1 + a_2 \times c_2$  .  
ولما كانت المعادلات متماثلة فلن نلزم أن يكون الطالب كتابة  
الاول صف والاول عمود على الترتيب :

$$3K_1 + K_2 + 2K_3 + 3'' = 0$$

$$K_1$$

$$2K_1$$

وعلى الطالب الان إكمال الطاقم بنفسه "الشكل  
العام" بواسطة التعميم البصري ، وبدون الحاجة إلى  
كتابتها بالتفصيل المبين أعلاه . ويجب أن يكون الطاقم  
الكامل طبعاً :

$$3K_1 + K_2 + 2K_3 + 3'' = 0$$

$$K_1 + 3K_2 + 2K_3 - 2'' = 0$$

$$2K_1 + 2K_2 + 4K_3 - 1'' = 0$$

ويمكن إستخدام المعادلات الشرطية الان لتعطى العلاقة  
بين  $K_1$  و  $K_2$  .

بالرجوع إلى <المعادلة 1-34> يتبين بأن  $K_1$  ترتبط بـ  $K_2$  في  
<المعادلة 1-34A> وبـ  $K_3$  في <المعادلة 1-34C> ، وعليه فلن :

$$v_1 = K_1 + K_3$$

وبنفس الطريقة تظهر  $K_2$  في المعادلات الثلاث بأجمعها ، عليه :

$$v_2 = K_1 + K_2 + K_3$$

ويظهر في <المعادلتين 1-34B و 1-34C> ، وهى بذلك  
ترتبط بـ  $(K_2 + K_3)$  ... وهكذا .

وعلى الطالب إكمال الباقي ومقارنة نتائجه بتلك التى  
سبق وأن وجدت في <الفقرة 1-11-7> .

## 1-11-9 المعادلات العامة المتضمنة ايزان

$$\left. \begin{aligned} K_1 \left[ \frac{aa}{w} \right] + K_2 \left[ \frac{ab}{w} \right] + K_3 \left[ \frac{ac}{w} \right] + q_1 &= 0 \\ K_2 \left[ \frac{bb}{w} \right] + K_3 \left[ \frac{bc}{w} \right] + q_2 &= 0 \\ K_3 \left[ \frac{cc}{w} \right] + q_3 &= 0 \end{aligned} \right\} \dots \langle 1-36 \rangle$$

لاحظ بأن مغلوبات الاوزان في هذه الحالة هي المستخدمة هنا. مع ذلك ، لما كانت الاوزان مؤشراً لدرجة الضغط النسبي RELATIVE ACCURACY فلنحتمل ان تشرب بثابت مناسب C لتعطي معادلات مشابهة للمعادلات المشار اليها سابقاً ويمكن التعامل معها بصورة اسهل وهكذا ، لما كانت  $((1/w) \times C = W)$  فيمكن كتابة المعادلة :

$$K_1[Waa] + K_2[Wab] + K_3[Wac] + q_1 = 0$$

والخ

ولتوضيح الحالة. خذ ثلاث كميات x و y و z باوزان مختلفة كالتى مبينة في الجدول 2-1.

الكمية	w	1/w	C	$W = (1/w) \times C$
x	1	1	4	4
y	2	$\frac{1}{2}$	4	2
z	4	$\frac{1}{4}$	4	1

جدول 2-1

سوف يتم الان إعادة كتابة مثال الاوزان السابق وشيخري حله باستخدام معاملات الارتباط :

$$x = 25^\circ 18' 30'' \text{ (الوزن هو 4)}$$

$$y = 40^\circ 20' 25'' \text{ (الوزن هو 4)}$$

$$z = 30^\circ 30' 35'' \text{ (الوزن هو 4)}$$

$$(x+y) = 65^\circ 38' 52'' \text{ (الوزن هو 3)}$$

$$(y+z) = 70^\circ 51' 02'' \text{ (الوزن هو 2)}$$

$$(x+y+z) = 96^\circ 09' 31'' \text{ (الوزن هو 1)}$$

وحيث ان نسب مغلوبات الاوزان هي التى ستستخدم ، فلن ثابت الضرب في هذه الحالة سيكون هو العامل المشترك 12. مع ذلك ، قبل همال الاوزان في هذه المرحلة يتم الحصول على المعادلات الشرطية كالسابق :

$$K_1(v_1 + v_2 - v_4 + 3'') = 0$$

$$K_2(v_2 + v_3 - v_5 - 2'') = 0$$

$$K_3(v_1 + v_2 + v_3 - v_6 - 1'') = 0$$

وحيث ان لاحتواء الاوزان يمكن ان يسبب الارباك في بعض الاحيان ، فلننه يجب اتباع الاسلوب المبين في الجدول

K3-1

v	$W = (1/w) \times C$	a	b	c	Waa	Wab	Wac	Wbb	Wbc	Wcc
$v_1$	$3 = \frac{1}{2} \times 12$	1		1	3	0	3	0	0	3
$v_2$	$3 = \frac{1}{2} \times 12$	1	1	1	3	3	3	3	3	3
$v_3$	$3 = \frac{1}{2} \times 12$		1	1	0	0	0	3	3	3
$v_4$	$4 = \frac{1}{3} \times 12$	-1			4	0	0	0	0	0
$v_5$	$6 = \frac{1}{2} \times 12$		-1		0	0	0	6	0	0
$v_6$	$12 = 1 \times 12$			-1	0	0	0	0	0	12

جدول 3-1

$$[ ] = \begin{matrix} 10 & 3 & 6 & 12 & 6 & 21 \end{matrix}$$

$$\begin{aligned} 10K_1 + 3K_2 + 6K_3 + 36' &= 0 \\ 12K_2 + 6K_3 - 24' &= 0 \\ 21K_3 - 12' &= 0 \end{aligned} \quad \text{المعادلات الطبيعية:}$$

لاحظ جيدا: تضرب الحدود المطلقة بـ (C=12) لموازنة المعادلة

بالحل ينتج:  $(K_1 = -5.17)$  و  $(K_2 = 2.65)$  و  $(K_3 = 1.29)$   
والان تستخرج العلاقة بين الاخطاء المتبقية و معاملات الارتباط بنفس الطريقة المذكورة في الفقرة 1-11-7 ومن ثم تضرب بـ  $(1/w)$  وكما يلي:

$$v_1 = \frac{1}{w_1} (K_1 + K_3) = \frac{1}{4} (-5.17 + 1.29) = -0.97''$$

$$v_2 = \frac{1}{w_2} (K_1 + K_2 + K_3) = \frac{1}{4} (-5.17 + 2.65 + 1.29) = -0.31''$$

$$v_3 = \frac{1}{w_3} (K_2 + K_3) = \frac{1}{4} (2.65 + 1.29) = 0.99''$$

$$v_4 = \frac{1}{w_4} (-K_1) = \frac{1}{4} (+5.17) = 1.72''$$

$$v_5 = \frac{1}{w_5} (-K_2) = \frac{1}{2} (-2.65) = -1.33''$$

$$v_6 = \frac{1}{w_6} (-K_3) = (-1.29) = -1.29''$$

وتطبق هذه التصحيحات الان على القيم المرصودة ، اي:  
 $(x+y+z) + v_1$  و  $((y+z) + v_2)$  و  $(x+y) + v_3$  و  $(z + v_4)$  و  $(y + v_5)$  و  $(x + v_6)$   
للحصول على القيم الأكثر احتمالا (MPV). وستبقى هذه القيم بشرط المربعات المصغر و بشروط التبديل.

الطريقة

- (1) المعلومات المدخلة في اول عمودين توضح نفسها
- (2) ادخل معاملات 'معوق' المعادلات الشرطية في 'الاعمدة' المناسبة.
- (3) اكمل بقية الاعمدة حسيما تشير عناوينها ، اي:

$$\begin{aligned} Waa &= 3 \times 1 \times 1 = 3 & Wab &= 3 \times 1 \times 0 = 0 \\ Wac &= 3 \times 1 \times 1 = 3 & \text{etc.} \end{aligned}$$

- (4) اكمل طاقم المعادلات الطبيعية اعلاه حسب تماثلها ، اي الصف 1 في العمود 1 ... والخ.
- (5) تستخرج العلاقة بين  $K$  من المعادلات الشرطية بنفس الطريقة المبينة في الفقرة 1-11-7 تماما ثم تضرب بـ  $(1/w)$ .

وسوف يتم شرح تطبيق هذه التقنيات بتفصيل اكثر على تعديل المحطة ودوائر التسوية LEVelling CIRCUITS وتعديل ارقام الشبكة، وذلك في القسم الخاص بالامثلة المحولة لابتداء من صحيفة 59 .

## 10-11-1 طرق المصفوفة (المباشرة)

لن إعادة كتابة المعادلات الشرطية (الفقرة 8-11-1) بشكل مألوف أكثر يعطى :

$$\begin{aligned} a_{11}v_1 + a_{12}v_2 + \dots + a_{1n}v_n &= q_1 \\ a_{21}v_1 + a_{22}v_2 + \dots + a_{2n}v_n &= q_2 \\ a_{m1}v_1 + a_{m2}v_2 + \dots + a_{mn}v_n &= q_m \end{aligned}$$

والتي بصيغ المصفوفة هي:

$$Av = q \quad \dots (37-1)$$

فابجاد المصفوفة الموزونة  $W$  ومتجه معاملات الارتباط  $k$ ، ويجعل المقدار التربيعي  $(W^{-1}A^T k)$  يأخذ قيمة له يعطى:

$$v = W^{-1}A^T k \quad \dots (38-1)$$

والتي إذا ما عوضت في المعادلة (37-1) تعطى المعادلات الطبيعية:

$$(AW^{-1}A^T)k = q \quad \dots (39-1)$$

وهكذا يتم حل المعادلات الطبيعية لإيجاد قيمة  $k$  التي بعد تعويضها في المعادلة (38-1) لتعطى  $v$  وبشكل آخر، يمكن تركيب الخطواتين باستخدام:

$$v = W^{-1}A^T(AW^{-1}A^T)^{-1}q \quad \dots (40-1)$$

وبل استخدام المصفوفات يصبح المثال السابق كالتالى:  
(1) لن معاملات المعادلة الشرطية والحدود المطلقة، كما في الفقرة 9-11-1، هي :

$$A_6 = \begin{bmatrix} v_1 & v_2 & v_3 & v_4 & v_5 & v_6 \\ 1 & 1 & 1 & 0 & 0 & 0 \\ 0 & 1 & 1 & 0 & -1 & 0 \\ 1 & 1 & 1 & 0 & 0 & -1 \end{bmatrix} \quad q_1 = \begin{bmatrix} -3'' \\ 2'' \\ 1'' \end{bmatrix}$$

(2) الأوزان هي :

$$W_6 = \begin{bmatrix} 4 & 0 & 0 & 0 & 0 & 0 \\ 0 & 4 & 0 & 0 & 0 & 0 \\ 0 & 0 & 4 & 0 & 0 & 0 \\ 0 & 0 & 0 & 3 & 0 & 0 \\ 0 & 0 & 0 & 0 & 2 & 0 \\ 0 & 0 & 0 & 0 & 0 & 1 \end{bmatrix}$$

(3) والآن تعامل المصفوفات كما في المعادلة (39-1):

$$W_6^{-1} = \begin{bmatrix} 0.25 & 0 & 0 & 0 & 0 & 0 \\ 0 & 0.25 & 0 & 0 & 0 & 0 \\ 0 & 0 & 0.25 & 0 & 0 & 0 \\ 0 & 0 & 0 & 0.33 & 0 & 0 \\ 0 & 0 & 0 & 0 & 0.5 & 0 \\ 0 & 0 & 0 & 0 & 0 & 1 \end{bmatrix}$$

$$(AW^{-1}A^T) = \begin{bmatrix} 0.83 & 0.25 & 0.50 \\ 0.25 & 1.00 & 0.50 \\ 0.50 & 0.50 & 1.75 \end{bmatrix}$$

$$(AW^{-1}A^T)^{-1}q = \begin{bmatrix} 1.48 & -0.19 & -0.37 \\ -0.19 & 1.19 & -0.29 \\ -0.37 & -0.29 & 0.76 \end{bmatrix} \begin{bmatrix} -3'' \\ 2'' \\ 1'' \end{bmatrix} = k$$

$$\therefore k^T = [-5.19 \quad 2.66 \quad 1.29] = k_1 \quad k_2 \quad k_3 \quad \text{لذن :}$$

والان :

$$v = W^{-1}A^T k \\ \therefore v^T = [-0.98'' \quad -0.31'' \quad 0.99'' \quad 1.71'' \quad -1.33'' \quad -1.29''] \quad \text{لذن :}$$

وتطبق الآن قيم  $v_1$  و  $v_2$  و  $v_3$  و  $v_4$  و  $v_5$  و  $v_6$  اعلاه على القيم المرصودة كما مبين سابقا .

## 1-12 تغيير الاحداثيات

في الواقع ، تعتبر طريقة "تغيير الاحداثيات" للتعديل- والتي هي اساسا طريقة المربعات الصغرى باستخدام معادلات الرصد - بانها الطريقة القياسية في تعديل الشبكات ، ويعزى ذلك الى :

(A) لانها لا تعتمد على تكوين شروط التعديل والذي يمكن ان يكون صعبا ، لن لم يكن مستحيلا ، في الشبكات المعقدة التي تحتوي على عدد كبير من الكميات الفائضة- REDUNDA- CIES .

(B) يمكن تطبيق التقنية على كافة انواع الشبكات ، اي شبكات التثليث بقياس الزوايا TRIANGULATION وشبكات التثليث بقياس الازلاع TRILATERATION وشبكات التثليث بقياس الزوايا والازلاع TRIANGULATION وشبكات التثليث TRaversing ، وبذلك يمكن استخدام برنامج كمبيوتر واحد. (C) لان التقنية توفر تحليلا متكاملا لقوة الشبكة "المعدلة" النهائية .

لن هذه الطريقة هي عملية تكرارية ، يتم فيها احتساب التصحيحات الضرورية للاحداثيات  $(\delta E, \delta N)$  لتطبيقها على طاقم من الاحداثيات الوقتية لاجل تصحيح الشكل الهندسي لكامل الشبكة .

## 1-12-1 معادلات الرصد

تتطلب الطريقة اعلاه تكوين معادلة رصد لكل متوسط قراءة داخلية في الشبكة . وتأخذ هذه المعادلات الشكل التالي :

## (1) معادلات الطول LENGTH EQUATIONS

خذ الطول (ز) في الشبكة بقيمة مرصودة مقدارها  $(O_z)$ ، فمن الاحداثيات الوقتية PROVISIONAL لـ  $\alpha$  و  $\delta$  يمكن الحصول على القيمة المحتسبة للطول  $(C_z)$ ، وحيث ان قيم الاحداثيات  $\alpha$  و  $\delta$  الوقتية ستعدل بالمقدارين  $\delta E$  و  $\delta N$  فلن المسافة المحتسبة ستتغير بمقدار  $(\delta z)$ ، وهذه المسافة الاخيرة المعدلة يجب ان تساوي القيمة الاكثر لاحتمالا هي المسافة المرصودة OBSERVED زاندا تصحيحها (ص)، وهكذا يكون لدينا

$$z + \delta z = O_z + v_z \quad \text{ايضا ؛}$$

$$\delta z = (O_z - C_z) + v_z \quad \text{والان ، وحيث ان ؛}$$

$$l_z^2 = (E_z - E_0)^2 + (N_z - N_0)^2$$

$$l_z = (E_z - E_0)(\delta E_z - \delta E_0)/l_z + (N_z - N_0)(\delta N_z - \delta N_0)/l_z$$

ولكن ، لما كانت  $(E_z - E_0)/l_z = \sin \alpha_z$  ؛  
و  $(N_z - N_0)/l_z = \cos \alpha_z$  ؛  
حيث ان  $(\alpha_z)$  هي الاتجاه الزاوي للخط (ز) ، وهكذا يمكن ان نكتب المعادلة 41-1 كالتالي ؛

$$-\delta E_z \sin \alpha_z - \delta N_z \cos \alpha_z + \delta E_z \sin \alpha_z + \delta N_z \cos \alpha_z - (O - C)_z = v_z \quad \text{41-1} \quad \text{وهذه هي معادلة الرصد للطول (ز) .}$$

## (2) معادلة الاتجاه الزاوي

لذا كانت  $(\alpha_z)$  هي الاتجاه الزاوي للخط (ز) ، فلنبتداء من نفس الجدال الاولى اعلاه يكون لدينا ؛

$$\delta \alpha_z = (O_z - C_z)/l_z + v_z \quad \text{43-1} \quad \text{والان ، لما كانت ؛}$$

$\tan \alpha_z = (E_z - E_0)/(N_z - N_0)$   
 $\sec^2 \alpha_z \delta \alpha_z = [(N_z - N_0)(\delta E_z - \delta E_0) - (E_z - E_0)(\delta N_z - \delta N_0)]/(N_z - N_0)^2$   
 $\therefore \delta \alpha_z = (N_z - N_0)(\delta E_z - \delta E_0)/l_z^2 - (E_z - E_0)(\delta N_z - \delta N_0)/l_z^2$   
ثم بالتعويض في المعادلة 43-1 نتكون لدينا معادلة الرصد للاتجاه الزاوي  $(\alpha_z)$  للخط (ز) وكما يلي ؛

$$-\delta E_z (\cos \alpha_z / l_z) + \delta N_z (\sin \alpha_z / l_z) + \delta E_z (\cos \alpha_z / l_z) - \delta N_z (\sin \alpha_z / l_z) - (O_z - C_z) = v_z \quad \text{44-1}$$

## (3) معادلة الزاوية

لما كانت الزاوية  $(\theta)$  هي الفرق بين اتجاهين زاويين فلن معادلة الرصد للزاوية  $(\theta)$  التي هي باتجاه عقرب الساعة تكون ؛

$$-\delta E_j (\cos \alpha_{ij} / l_{ij}) + \delta N_j (\sin \alpha_{ij} / l_{ij}) + \delta E_k [(\cos \alpha_{ik} / l_{ik}) - (\cos \alpha_{jk} / l_{jk})] + \delta N_k [(-\sin \alpha_{ik} / l_{ik}) + (\sin \alpha_{jk} / l_{jk})] - \delta N_k (\sin \alpha_{jk} / l_{jk}) - (O - C)_{jk} = v_{jk} \quad \text{45-1}$$

ففي كافة معادلات الرصد اعلاه ؛

(ز) هو الطول الافقي للخط (ز) ،

( $\alpha_z$ ) هو الاتجاه الزاوي للخط (ز) ،

( $\delta E_z$ ) و ( $\delta N_z$ ) هما تصحيحا الاحداثيتين ( $E_z$ ) و ( $N_z$ ) لنقطة ز.



فلذا احتسبت الاحداثيات الوهتية PROVISIONAL المعلومات المرصودة، مستكون مقاربة نسبية الى موافعها النهائية، وتكرار واحد قد يكون كافيا (على قرص ان المعلومات المرصودة تكون قد حوت اخطاء عشوائية فقط)، اما اكثر من تكرارين فقد يعنى لمان المعلومات الحقلية ضعيفة او ان هنالك اخطاء مدخلة INPUT ERRORS.

### 1-12-3 الأوزان

تكون معاملات معادلات الرصد بالزوايا القطرية، وهكذا يجب ان تكون كافة الوحدات متوافقة، فحدود (0-C) للزوايا واوزانها يجب ايضا ان تكون بالزوايا القطرية، منتجة التصحيحات المتبقية (RESIDUAL CORRECTIONS) بوحدة الزوايا القطرية ايضا.

فمثلا إذا كان الخطأ المعياري المقدر لمعدل الزوايا المقاسة (P) مساويا (3°) فلن:

$$W_p = 1/S_p^2 = 1/3^2 \text{ sec}^{-2} = 1/2.115 \times 10^{-10} \text{ rad}^{-2} = 4.727 \times 10^9 \text{ rad}^{-2}$$

ولذا كان الخطأ المعياري للمسافة (S<sub>p</sub>) مساويا (3) ملم مثلا، فلن:

$$W_s = 1/S_s^2 = 1/0.003^2 \text{ m}^{-2} = 1.111 \times 10^5 \text{ m}^{-2}$$

وبتعميم آخر، يمكن ان تتحقق اوزان الزوايا (الثنائية) شرط ان تتحول معاملات زوايا معادلات الرصد الى ثواني بالضرب بالمقدار م حيث (3600 π = 180 م)، وهكذا:

$$W_p = 1/3^2 \text{ sec}^{-2} = 1.111 \times 10^{-1} \text{ sec}^{-2}$$

وستكون وحدات حدود (0-C) والمتبقيات RESIDUALS في هذه الحالة بثواني من القوس SECONDS OF ARC.

ربما تكون مهمة تقدير وزن القراءة اصعب مهمة في عملية التعديل. ففي الوقت الذي لا يكون تقدير وزن القراءة حرجا جدا للتعديل الذي يأخذ بنظر الاعتبار الاوزان النسبية للمعلومات فقط، نجد ان التقدير يكون حرجا جدا عند تحليل القوة.

في الماضي، كانت قد اجريت محاولات لتقدير الخطأ المعياري للزوايا من خلال قياس الزاوية عددا من المرات واحتساب خطأها المعياري، وبما ان كذا عملية لا تأخذ بنظر الاعتبار اخطاء التمرکز CENTRING ERRORS كما لا تأخذ بنظر الاعتبار ظروف القياس المتغيرة على طول الشبكة، فلن يجب ان تؤخذ بحذر. وبالتسوية للاطوال ايضا، يجب ان يكون الاعتماد غالبا على ما شئته المصنع من درجة ضبط ACCURACY على ذلك الجهاز الالكتروني لقياس المسافة (EDM) المستخدم.

هنالك طريقة اخرى غير طريقة وزن المعلومات المرصودة وهي باستخدام كمية خالية من الوحدات تسمى وحدة التباين UNIT VARIANCE (اشكازي 1970).

ترتبط الاوزان بالتباين كما يلي:

$$W_i = \sigma_0^2 / \sigma_i^2 \quad \dots (46-1)$$

وهكذا، ففي الشبكة التي تحوى كميات مختلفة متراجعة فيما بينها تكون ( $\sigma_0^2$ ) مساوية وحدة UNITY إذا كانت تقديرات الأخطاء المعيارية للمعلومات صحيحة، أي ( $W_i = 1/\sigma_i^2$ ). ويمكن استخدام هذه الحقيقة لتقدير صحة التقديرات الابتدائية "APRIORI ESTIMATES" للأخطاء المعيارية، أو لاحتمال "APOSTERIORI ESTIMATES" المحتملة على تصحيحات الأخطاء المتبقية للمعلومات المرصودة. وتحتسب وحدة التباين (أو تباين الرصدة بوزن مقداره وحدة) من المعادلة التالية:

$$\sigma_0^2 = v^2 W_0 / (m - n) \quad \dots (47-1)$$

للحصول على قيمة البمتجه كما يجب تعويض القيم الأخيرة للمنتجه بـ لتعديل الاحداثيات في المعادلة الأخيرة ( $v = Ax - b$ ). مع هذا، فلما كان التكرار الأخير سيعطى قيمة لـ  $x$  مقدارها صفر فلن ( $b = -v$ ).

وسيدرج الآن تطبيق هذه الطريقة في اعمال التثليث بقياس الزوايا والاضلاع TRIANGULATION. ومن دون شك فلن عدد الزوايا سيزيد على عدد الاطوال في كذا شبكة، وهذا ما يجعلها اقوى لحصاها؛ (A) فدر الخطأ المعياري  $S_0$  للزوايا وعدل الشبكة باستخدام الزوايا فقط، وسجل قيمة  $\sigma_0^2$ . فلن لإحصاء صغير عن الوحدة (أي:  $2.0 < \sigma_0^2 < 0.5$  مثلاً "اشكائى") يشير الى تقدير غير صحيح لـ  $S_0$ .

(B) والآن تستخرج القيمة الصحيحة لـ  $S_0$  بضربها بالقيمة المحتملة لـ  $\sigma_0^2$ ، أي ( $S_0 = S_0 \sigma_0^2$ ). وأن استخدام ( $S_0$ ). سيعطى الآن قيمة مقدارها وحدة UNITY لـ ( $\sigma_0^2$ ) المحتملة للمرة الثانية، (C) والآن ادخل الاطوال (الى جانب الزوايا) في الحسابات، باستخدام قيمة مقدرة لـ ( $S_0$ )، وهذا سيؤدى الى تغيير اضافي في قيمة  $\sigma_0^2$ . ثم تعاد قيمتها الى الوحدة ثانية بتغيير الخطأ المعياري للاطوال فقط، كما في (B) اعلاه.

وهكذا. باتباع هذا الاسلوب يتم الحصول على تقدير صحيح لحصاها للأخطاء المعيارية. (ومن ثم الاوزان) للمعلومات المرصودة لهذه الشبكات بالذات. ولهذه الطريقة محدودياتها: فمثلاً إذا طُوع بالاطوال بدلاً من الزوايا ستنتج قيمة مختلفة للأخطاء المعيارية. كذلك إذا كانت هنالك شبكة أخرى ذات شكل مختلف عن الأولى ولكن بنفس عدد الزوايا والاطوال ونفس من قبل نفس الرامد باستخدام نفس الجهاز وتحت نفس الظروف فلن الأخطاء المعيارية ستختلف أيضاً. وهكذا يجب تحليل كافة مصادر المعلومات أينما كان ذلك ممكناً لأجل دعم طريقة وحدة التباين.

مما يجدر الإشارة اليه هنا ايضا، هو ان هذه الطريقة لاتعتبر مقبولة لشبكات التظليع وذلك بسبب العدداً القليل من درجات الحرية (DF) الموجودة في كذا شبكة. ففي شبكة اساسية مثلاً، بدون كميات إضافية WITH NO REDUNDANCIES. فإن هنالك ثلاث درجات حرية فقط، أي  $(m-n=3)$ .

### 13-1 تحليل القوة STRENGTH ANALYSIS

تكون قوة او ليعتماد الشبكة بدلالة دقة القياسات التي يعبر عنها من خلال المصفوفة الموزونة  $(W)$ ، أما شكل الشبكة فيعبر عنه من خلال المصفوفة  $(A)$  لمعادلات الرصد.

ولاجل تحليل قوة الشبكة النهائية المعدلة، من الضروري ايجاد ما يسمى بمصفوفة "التباين - التباين المشترك".

#### 1-13-1 مصفوفة التباين - التباين المشترك $(\sigma_{xx})$

تحتوي مصفوفة "التباين - التباين المشترك" على التباينات والتباينات المشتركة لتشرهقات EASTINGS و NORTHINGS نقاط تغيير الاتجاه. فالتباينات هي المقادير الواقعة على القطر الرئيس للمصفوفة، بينما تشمل المقادير الباقية في المصفوفة، التباينات المشتركة.

فالتباين المشترك هو مقياس للارتباط ويساوي صفر إذا كانت المتغيرات العشوائية مستقلة تماماً. فالمصفوفة إذن هي مصفوفة مربعة متماثلة بحجم  $n$  وتستخرج من (المعادلة 29-1) كما يلي:

$$\sigma_{xx} = \sigma_0^2 (A^T W A)^{-1} \begin{bmatrix} \sigma_{x_1 x_1}^2 & \sigma_{x_1 x_2} & \dots & \sigma_{x_1 x_n} \\ \sigma_{x_2 x_1} & \sigma_{x_2 x_2}^2 & \dots & \sigma_{x_2 x_n} \\ \vdots & \vdots & \ddots & \vdots \\ \sigma_{x_n x_1} & \sigma_{x_n x_2} & \dots & \sigma_{x_n x_n}^2 \end{bmatrix} \quad \dots (47-1)$$

فمصفوفة "التباين - التباين المشترك" هي شي اساسي في تحليل قوة الشبكة المعدلة، وكما هو مبين، فالمصفوفة هي بدلالة اوزان (او دقة) المعلومات الحقلية وشكل الشبكة، وكما هو معزف بالمصفوفة  $A$ . ولما كان من الضروري لجراء تقدير صحيح للاوزان للحصول على تقدير صحيح لاعتماد الشبكة، ينتج بان  $(\sigma_0^2)$  ستساوي وحدة، وقد تم حذف من المعادلة. وفي حالة شبكة التظليع، يجب ان تؤخذ  $(\sigma_0^2)$  كأنها وحدة، للأسباب الواردة في (الفقرة 12-1-4). أما إذا استخدمت قيمة مغلومة لـ  $(\sigma_0^2)$  فإن مصفوفة "التباين - التباين المشترك" ستكون مغلومة، وهذا سيؤدي إلى تحليل مغلوم للقوة.

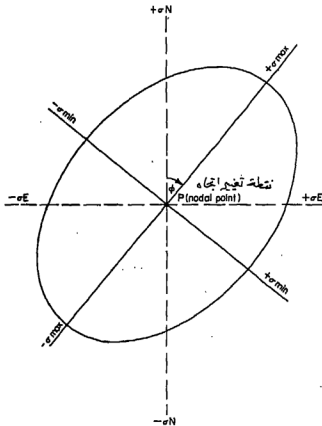
## 1-13-2 اهليج الخطأ للنقطة المطلقة

لأن الجذور التربيعية لمقادير قطر مصفوفة التباين-التباين المشتركة هي الأخطاء المعيارية للتشريحات وتشميلات نقاط تغيير الاتجاه للشبكة المعدلة. أي  $(\pm \sigma_{En})$  و  $(\pm \sigma_{Nn})$ . مع ذلك فيمكن أن يكون لنقطة الضغط CONTROL POINT السؤال الخطأ معياريا أكبر من  $\sigma_E$  و  $\sigma_N$  وباتجاه آخر ( $\emptyset$ ). ويشار إلى هذا البعد بـ "نصف القطر الأكبر SEMI-MAJOR AXIS للاهليج الخطأ" أي  $(\pm \sigma_{max})$  ، وسيكون نصف القطر الأصغر للاهليج أي  $(\pm \sigma_{min})$  عموديا عليه.

لأن الأبعاد المختلفة هي موضحة هندسيا في (الشكل 5-1) وهي مستخرجة من مصفوفة التباين-التباين المشتركة VAR - COV كما يلي:

$$\pm \sigma_{max}^2 = \frac{1}{2}(\sigma_{x_1}^2 + \sigma_{x_2}^2) + \left\{ \frac{1}{2}(\sigma_{x_1}^2 - \sigma_{x_2}^2)^2 + \sigma_{x_1 x_2}^2 \right\}^{\frac{1}{2}} \quad \dots <48-1>$$

$$\pm \sigma_{min}^2 = \frac{1}{2}(\sigma_{x_1}^2 + \sigma_{x_2}^2) - \left\{ \frac{1}{2}(\sigma_{x_1}^2 - \sigma_{x_2}^2)^2 + \sigma_{x_1 x_2}^2 \right\}^{\frac{1}{2}} \quad \dots <49-1>$$



شكل 5-1

حيث أن  $\sigma_{max}$  و  $\sigma_{min}$  هما في الحقيقة القيمتان النوعيتان EIGENVALUES للمصفوفة التباين-التباين المشتركة، أما زاوية اتجاه نصف القطر الأكبر فتستخرج من:

$$\tan \phi = \sigma_{x_1 x_2} / (\sigma_{x_1}^2 - \sigma_{x_2}^2) \quad \dots <50-1>$$

ويمكن الحصول على التحقق التالي على الحسابات من:

$$\sigma_{x_1}^2 \sigma_{x_2}^2 = \sigma_{x_1}^2 \sigma_{x_2}^2 - \sigma_{x_1 x_2}^2 \quad \dots <51-1>$$

في الاحصاءات ذات البعد الواحد ، فإن زاوية  $\phi$  و ثابت  $\phi$  لنمراف معيارى واحد ( $\pm \sigma$ ) يمثل لإحتمالا مقدارها (68.3%) مع ذلك ، فاحتمال الحالة المشتركة JOINT EVENT ان تقع ضمن اهليج الخطأ هو فقط (39.4%) وادناه فيما نموذجية لذلك

P%	39.4	50.0	90.0	95.0	99.0
$\sigma$	1.000	1.177	2.146	2.447	3.035

ويمكن تعريف اهليج الخطأ بأنه "حدود الثقة للنقطة" حيث أنه يشير إلى الخطأ المعياري في موقع نقطة الضبط المعدلة في الشبكة ، كذلك فالاتجاه الزاوي ( $\theta$ ) لنصف القطر الأكبر هو أيضا معنى SIGNIFICANT لاغرافى تفسيرية ، فإذا كان الاتجاه الزاوي عموديا على الاتجاه إلى نقطة الأصل الثابتة للشبكة ، فهذا يعنى أن هنالك خطأ زاوي متغلب ، أما إذا كان الاتجاه الزاوي بنفس الاتجاه إلى نقطة الأصل الثابتة فالخطأ المتغلب هو خطي LINEAR .

إن التحديد الأساس لاهليج الخطأ هو أنه كمية غير ثابتة ، فبمجرد تغيير نقطة أصل الشبكة مثلاً ، ستتغير قيم اهليج الخطأ ، ولو أن التغييرات الناتجة في الشبكات الهندسية الصغيرة نسبياً سوف لن تكون معنوية . مع هذا ، ينصح باحتساب الأخطاء المعيارية النهائية للزوايا المعدلة وللأوجه الزاوية المعدلة وللمسافات المعدلة أيضاً والتي هي كميات غير متباينة INVARIANT .

### 3-13-1 الخطأ الزاوي للزاوية المعدلة ( $\pm \sigma_\theta$ )

يمكن الحصول على هذه الكمية من معاملات معادلة الرصد للزاوية ومن المقادير الملائمة في مصفوفة التباين - التباين المشترك ، فمثلاً ، يمكن الإثبات بأنه يوجد 6 معاملات في معادلة الرصد 1-45 للزاوية ( $z_k$ ) أي: ( $a_{11}, a_{12}, \dots, a_{16}$ ) . ولكل من النقاط الثلاث  $z$  و  $z_k$  التي تعين الزاوية تشريفاً وتشميلاً ، أي 6 قيم يتم تعيينها من المقادير الملائمة في مصفوفة التباين - التباين المشترك ذات الحجم ( $6 \times 6$ ) ، وهكذا :

$$\sigma_\theta^2 = [a_{11} \ a_{12} \ a_{13} \ a_{14} \ a_{15} \ a_{16}] \begin{bmatrix} \sigma_{x_1}^2 & \sigma_{x_1 x_2} & \dots & \sigma_{x_1 x_6} \\ \sigma_{x_2 x_1} & \sigma_{x_2}^2 & \dots & \sigma_{x_2 x_6} \\ \vdots & \vdots & \ddots & \vdots \\ \sigma_{x_6 x_1} & \sigma_{x_6 x_2} & \dots & \sigma_{x_6}^2 \end{bmatrix} \begin{bmatrix} a_{11} \\ a_{12} \\ a_{13} \\ a_{14} \\ a_{15} \\ a_{16} \end{bmatrix} \quad \dots <52-1>$$

1-13-4 الخطأ المعياري للاتجاه الزاوي المعدل ( $\pm \sigma_{\alpha}$ )

بطريقة مشابهة لما ورد اعلاه سيكون لمعادلة الرصد الخاصة بالاتجاه الزاوي للخط (ز) اربع معاملات <معادلة 1-44>، ويتم تركيب هذه المعاملات مع المقادير الموافقة لها في مصفوفة التباين-التباين المشترك ذات حجم (4x4) :

$$\sigma_{\alpha}^2 = [a_{11} \ a_{12} \ a_{13} \ a_{14}] \begin{bmatrix} \sigma_{x_1}^2 & \sigma_{x_1 x_2} & \cdots & \sigma_{x_1 x_4} & a_{11} \\ \sigma_{x_2 x_1} & \sigma_{x_2}^2 & \cdots & \sigma_{x_2 x_4} & a_{12} \\ \vdots & \vdots & \ddots & \vdots & a_{13} \\ \sigma_{x_4 x_1} & \sigma_{x_4 x_2} & \cdots & \sigma_{x_4}^2 & a_{14} \end{bmatrix} \quad \langle 53-1 \rangle$$

1-13-5 الخطأ المعياري للطول المعدل ( $\pm \sigma_l$ )

لمعادلة الرصد بالنسبة للطول (ز) اربع معاملات <معادلة 1-42> والتكن  $a_{21}, \dots, a_{24}$  ، والتي ستتركب مع نفس معاملات مصفوفة التباين - التباين المشترك ذات الحجم (4 x 4) ، محددة بذلك التشريلات والتشميلات لنفس النقطتين i و j كما في حالة الاتجاه الزاوي للخط (ز) :

$$\sigma_l^2 = [a_{21} \ a_{22} \ a_{23} \ a_{24}] \begin{bmatrix} \sigma_{x_1}^2 & \sigma_{x_1 x_2}^2 & \cdots & \sigma_{x_1 x_4} \\ \sigma_{x_2 x_1} & \sigma_{x_2}^2 & \cdots & \sigma_{x_2 x_4} \\ \vdots & \vdots & \ddots & \vdots \\ \sigma_{x_4 x_1} & \sigma_{x_4 x_2} & \cdots & \sigma_{x_4}^2 \end{bmatrix} \begin{bmatrix} a_{21} \\ a_{22} \\ a_{23} \\ a_{24} \end{bmatrix} \dots \langle 54-1 \rangle$$

وسوف يجري الان توضيح تطبيق طريقة تغيير الاحداثيات بالكامل من خلال احتساب شبكة تضليع. فقد احتسب المضلع المستخدم الذي يحوي اخطاء معيارية كبيرة بشكل غير طبيعي بواسطة الكمبيوتر . مع ذلك ، فالطريقة تدجين الخطوات بشكل واضح وتفيد كنموذج للقراء الذين يرغبون في تطويرها (سكوفيلد 1979) .

مثال 1-10 : يوضح (الشكل 1-6) مضلع ربط LINK TRAVERSE بين النقاط الثابتة X و Y و Z ، حيث كانت معدلات المعلومات الحقلية المستخلصة كما يلي:



الابتدائية ستكون بحجم (11×16). ولكن لما كانت النقاط لـ  $Z_9$  و  $X_9$  قد جعلت شاذة فلن معاملاتها يجب ان تكون صفرا، وسيكون حجم المصفوفة النهائي (10×8) وكما هو مبين في صيغة 54.

(4) باستخدام الاخطاء المعيارية للزوايا والاطوال يتم تعيين الاوزان كما يلي:

$$\begin{aligned} W_1 &= 1/120^2 \text{ sec}^{-2} = 2954 \text{ } 526 \text{ rad}^{-2} & \text{وزن الزاوية (W) يساوي;} \\ W_L &= 1/0.588^2 \text{ m}^2 = 2892 \text{ } 313 \text{ m}^{-2} & \text{وزن الطول (W_L) يساوي;} \end{aligned}$$

وعليه سيكون للمصفوفة المربعة القطرية  $W$  ذات الحجم (11×11) القيم اعلاه كمعاملات للقطر الرئيس وبنفس تسلسل المعلومات الحلقية للمصفوفة  $A$ ، اي: زاوية-طول-زاوية-... والخ.

$$W = \begin{bmatrix} 2954 \text{ } 526 & 0 & 0 & 0 & \dots & 0_{1,11} \\ 0 & 2892 \text{ } 313 & 0 & 0 & \dots & 0_{2,11} \\ 0 & 0 & 2954 \text{ } 526 & 0 & \dots & 0_{3,11} \\ 0 & 0 & 0 & 2892 \text{ } 313 & \dots & 0_{4,11} \\ \vdots & \vdots & \vdots & \vdots & \ddots & \vdots \\ 0_{11,1} & 0_{11,2} & 0_{11,3} & 0_{11,4} & \dots & 2954 \text{ } 526 \end{bmatrix}$$

(5) باستخدام  $(x = (A^T W A)^{-1} A^T W b)$  فلن حل المربعات الصغرى سيعطي المنتج العمود  $x$  ذا الحجم (8×1) حاويا اول تصحيحات لاحداثيات النقاط  $B$  و  $C$  و  $D$  وحسب التسلسل:  $(\delta N_A)$  و  $(\delta E_A)$  و  $(\delta N_B)$  و  $(\delta E_B)$  و  $(\delta N_C)$  و  $(\delta E_C)$  و  $(\delta N_D)$  و  $(\delta E_D)$ .

$$x^T = [-0.065, 0.136, -0.131, 0.401, -0.196, 0.792, -0.261, 1.302]$$

والآن، باستخدام الاحداثيات المصححة لاول تكرار تصاد العملية بكاملها، فالمنتج الجديد بعدد حدود (0-C) سيعطي هذه المرة قيما لجميع المعاملات البالغ عددها 11 وستنتج المصفوفة الجديدة  $A$  ولكن ستبقى المصفوفة  $W$  شاذة. وقد اعطى التكرار الثاني المنتج التالي:

$$x^T = [0, 0, 0, 0, 0.001, 0, 0.001, 0]$$

والاحداثيات المعدلة الاخيرة هي:

النقطة	E	N
A	1999.704	5000.363
B	2999.957	5000.542
C	4000.607	5000.137
D	5000.693	4999.701

(6) وتستخرج المتطابقات الان كما مبين في الفقرة 1-12-4، اي:  $(v = -b)$ ، وتطبق على المعلومات المرصودة لتعطي الزوايا والاطوال المعدلة الاخيرة.

المجموعة A

	$\delta E_A$	$\delta N_A$	$\delta E_B$	$\delta N_B$	$\delta E_C$	$\delta N_C$	$\delta E_D$	$\delta N_D$
W	0.00000023	-0.00100023	0.00000000	0.00000000	0.00000000	0.00000000	0.00000000	0.00000000
XA	0.99999997	0.00022786	0.00000000	0.00000000	0.00000000	0.00000000	0.00000000	0.00000000
X	-0.00000014	0.00199991	-0.00000009	-0.00099968	0.00000000	0.00000000	0.00000000	0.00000000
AB	-1.00000000	0.00008727	1.00000000	-0.00008727	0.00000000	0.00000000	0.00000000	0.00000000
A	-0.00000009	-0.00099968	0.00000000	0.00199897	-0.00000079	-0.00099928	0.00000000	0.00000000
B	0.00000000	0.00000000	-0.99999968	0.00079509	0.99999968	-0.00079509	0.00000000	0.00000000
BC	0.00000000	0.00000000	-0.00000079	-0.00099928	0.00000174	0.00199913	-0.00000095	-0.00099985
B	0.00000000	0.00000000	0.00000000	0.00000000	-0.99999955	0.00094539	0.99999955	-0.00094539
C	0.00000000	0.00000000	0.00000000	0.00000000	-0.00000095	-0.00099985	-0.00000066	-0.00200080
CD	0.00000000	0.00000000	0.00000000	0.00000000	0.00000000	0.00000000	-0.99999872	-0.00160220
C	0.00000000	0.00000000	0.00000000	0.00000000	0.00000000	0.00000000	0.00000160	-0.00100095
DY	0.00000000	0.00000000	0.00000000	0.00000000	0.00000000	0.00000000		
D	0.00000000	0.00000000	0.00000000	0.00000000	0.00000000	0.00000000		
Y								
Z								

إن العمود الأخير في الجدول التالي هو بالمقايضة "قاعدة  
رفض REJECTION CRITERIA".

المحطات	المتبقيات	الزوايا والأطوال النهارية	
W X A	-27.97"	89° 58' 45"	0.233
XA	-0.065M.	999.704M.	0.111
X A B	-26.85"	180° 00' 38"	0.224
AB	-0.065M.	1000.253M.	0.111
A B C	-25.72"	180° 02' 00"	0.214
BC	-0.065M0	1000.651M.	0.111
B C D	-24.61"	180° 00' 06"	0.205
CD	-0.065M.	1000.086M.	0.111
C D Y	-23.49"	179° 57' 29"	0.196
DY	-0.065M.	999.307M.	0.111
D Y Z	-22.36"	90° 01' 02"	0.186

من المعترف به عموماً في مؤلفات علم المساحة أنه  
إذا كانت الكميات المتبقية لرصد ما اكبر من ثلاث مرات  
الخطأ المعياري فيجب رفض تلك الرصد كما يجب أن تعاد،  
أي (3σ) . وهكذا فمن الجديهي أن العمود الأخير يحوي  
أرقاماً خيالية من الأبعاد . لأن القيم المتبقية التي  
تساوي ثلاث مرات الخطأ المعياري أو أكثر تشير إلى أن  
تلك الرصد يجب أن ترفض، أما إذا تساوت مرتين بقدر الخطأ  
المعياري أو ما يناهز ذلك فلن الرصد سيكون مشكوك  
فيها . ويجب استخدام هذه الأرقام كمؤشر للدقة النسبية-  
RELATIVE PRECISION للمعلومات المرصودة،  
وبالإضافة إلى ذلك يمكن الحصول على تحقيق مقيد على  
المعادلات الطبيعية من:  
 $ATWb = 0$

(7) لتقدير اعتماد المعلومات المعدلة يتم الحصول على  
مصفوفة التباين - التباين المشترك من آخر تكرار  
باستخدام:  
 $\sigma_{xx} = (A^T W A)^{-1}$   
وبعمر (σ<sup>2</sup>=1). فهذا يعطي الآن مصفوفة متماثلة بحجم (8×8)  
كما هو مبين في المصفوفة التالية، فتباينات التشرقيات  
والتشبهات لكل نقطة من A إلى D تقع على القطر الرئيس  
للمصفوفة، والحدود الأخرى تمثل التباينات المشتركة، فمثلاً  
(4.3992) و (-5) تربط (E<sub>A</sub>) بـ (N<sub>A</sub>) كما هو مبين.

(8) يتم الحصول على الأخطاء المعيارية للأحداشبات من  
مصفوفة التباين - التباين المشترك ، وتعطى قيم إلهيج

The variance-covariance matrix ( $\sigma_{\mu\mu}$ )مصفوفة التباين-التغاير ( $\sigma_{\mu\mu}$ )

	$E_A$	$N_A$	$E_B$	$N_B$	$E_C$	$N_C$	$E_D$	$N_D$
$E_A$	2.7660 & -1	4.3992 & -5	2.0745 & -1	1.8997 & -6	1.3830 & -1	-1.6787 & -7	6.9149 & -2	
$N_A$	4.3992 & -5	1.6109 & -1	2.4244 & -5	1.9332 & -1	1.9465 & -5	1.4494 & -1	6.9614 & -7	
$E_B$	2.0745 & -1	2.4244 & -5	4.1489 & -1	2.7877 & -6	2.7660 & -1	-7.4050 & -7	1.3830 & -1	
$N_B$	1.8997 & -6	1.9332 & -1	2.7877 & -6	3.6742 & -1	2.4409 & -5	-3.0932 & -1	1.8990 & -6	
$E_C$	1.3830 & -1	1.9465 & -5	2.7660 & -1	2.4409 & -5	4.1489 & -1	-2.3345 & -5	2.0745 & -1	
$N_C$	-1.6787 & -7	1.4494 & -1	-7.4050 & -7	3.0932 & -1	-2.3345 & -5	2.0745 & -1	4.1027 & -5	
$E_D$	6.9149 & -2	6.9614 & -7	1.3830 & -1	1.8990 & -6	2.0745 & -1	1.3565 & -6	2.7660 & -1	
$N_D$	1.2024 & -5	6.4381 & -2	2.3948 & -5	1.4491 & -1	4.1027 & -5	1.9324 & -1	2.2973 & -5	

N.B. & -5 signifies  $10^{-5}$ .لاحظ: & -5 تعني  $10^{-5}$

الخطأ من المعادلات 1-48 و 1-49 و 1-50 كما هو مبين.

في هذا المثال بالذات تكون محاور هاليج الأخطاء مطابقة  
لن الأخطاء المعيارية للأحداثيات.

الأخطاء المعيارية للأحداثيات					
المحطات	$\sigma E$ (mm)	$\sigma N$ (mm)	$\sigma_{\max}$ (mm)	$\sigma_{\min}$ (mm)	$\phi_{\max}$ (deg)
A	±526	±401	±526	±401	90
B	±644	±606	±644	±606	90
C	±644	±606	±644	±606	90
D	±526	±401	±526	±401	90

(9) وباستخدام الحدود الملائمة الآن في المصفوفة A وفي  
مصفوفة التباين-التباين المشترك في المعادلتين 1-52 و  
1-54، يتم الحصول على الأخطاء المعيارية للزوايا  
والأطوال المعدلة.

الأخطاء المعيارية للزوايا (شواني)		الأخطاء المعيارية للأطوال (مم)	
W X A	± 82.8	X A	±525.9
X A B	±100.7	A B	±525.9
A B C	±108.6	B C	±525.9
B C D	±108.6	C D	±525.9
C D Y	±100.7	D Y	±525.9
D Y Z	± 82.8		

في الوقت الذي ذكرت فيه الطريقة أعلاه لبيان معادلات  
الرصد وقيم (0-C) والأوزان الزوايا والزوايا القطرية، يذكر  
القاري بالملاحظة السابقة حول الموضوع أي أنه يمكن أن  
تبقى قيم (0-C) والأوزان بالشواني شرط أن تمول معاملات  
زوايا معادلة الرصد الشواني. إضافة إلى هذا، إذا  
فتحنا المعادلات الطبيعية؛

$$\begin{aligned} A^T W A x &= A^T W b \\ A^T W^T W^T A x &= A^T W^T W^T b \\ (W^T A)^T (W^T A) x &= (W^T A)^T (W^T b) \end{aligned}$$

يتم تكوين المصفوفات بشكل مريح بضرب معاملات كل  
معادلة رصد بمقلوبات الأخطاء المعيارية "الابتدائية"  
(1/σ) المتناسبة لها. وهكذا إذا كانت الوحدات كما في  
أعلاه هي الامتار وشواني القوس الستينية، سينتج خطأ  
معيارياً مقداره (±2) ثانية في معادلة الرصد للزاوية  
حيث تضرب بـ (1/2=0.5)، ونفس الطريقة تتبع عند وجود  
خطأ معيارياً بالطول مقداره (±10) ملم حيث تضرب  
المعادلة بـ (1/0.010=100).

مما يجب التأكيد عليه إذن هو أن تعديل المربعات  
المفترق الناتج سيكون عقيما تماما ومن دون معنى في  
حالة عدم إدخال الوزن .

#### 14-1 التحليل ما قبل المسح PRE-SURVEY ANALYSIS

بالإمكان إجراء تحليل لقوة الشبكة قبل رصدها وذلك  
من خلال شكل الشبكة ومن الدقة المنوي لإجراء القياسات  
بها. فمثلا ، إذا رسمت المواقع المقترحة لمخطات المسح  
على مخطط وقيست منه إحداثياتها النسبية ، يمكن عندها  
إحساب معاملات معادلات الرصد ومن ثم تكوين المصفوفة  $A$ ،  
وبعد معرفة الأجهزة المتوفرة يمكن تقدير دقة المعلومات  
الحقلية التي سيكون بالإمكان الحصول عليها واستخراج  
المصفوفة الموزونة لها، من ثم يمكن الحصول على مصفوفة  
التباين-التباين المشترك من:  $\sigma_{xx} = (A^T W A)^{-1}$   
حيث ستكون  $(\sigma_{xx}^2)$  مساوية وحدة\* بديها في هذه الحالة.

إذا اتضح من تحليل القوة بأن التقديرات الأولية سوف  
لن تفي بمواصفات الدقة المطلوبة ، فقد يتطلب الأمر  
تغيير شكل الشبكة و/أو نوع الأجهزة المنوي استخدامها  
و/أو تقنية الرصد حتى يتم الحصول على المواصفات  
المطلوبة ، وبهذه الطريقة سيعلم المساح أفضل المواقع  
لمحطات مسحه والأجهزة الضرورية المطلوبة وتقنية  
الرصد الواجب إتباعها قبل البدء بأعمال المساحة.

سيؤدي هذا الأسلوب في العمل إلى التصميم الاقتصادي  
للشبكات لتلبية مواصفات الدقة ومتطلبات الأداء بأفضل  
ما يمكن .

#### 15-1 اختيار أفضل الشبكات NETWORK OPTIMIZATION

باستخدام نفس الأسلوب المتبع في الفقرة 14-1 يجب أن  
يكون نظريا ممكنا الحصول على أفضل المسوحات، أي تقدير  
أقل عدد ممكن من الزوايا والأضلاع في الشبكة للحصول  
على مواصفات درجة الضبط المطلوبة. مع ذلك ، فإنه يشك  
لأن كان هذا هو مقترح حي عمليا .

مبدئيا ، لا يمكن إيجاد شبكات تضليع فضلي، كما لا يمكن  
تحليلها بأي درجة من الاعتماد. كذلك لا يمكن إيجاد  
شبكات تثليث بقياس الأضلاع TRILATERATION فضلي، كما لا  
يمكن تحليلها. ومن المتعارف عليه في مهنة المساحة  
بأنه كلما كثر عدد القياسات الإضافية كلما كانت الشبكة  
أقوى ، ولو أن تقليل عدد الأضلاع في أعمال التثليث  
بقياس الأضلاع يظهر الشبكة كأنها اقوى . وتصبح الأخطاء  
المعيارية وأهاليح الأخطاء صفرا عند استخدام أقل عدد  
من الأضلاع . فمثلا ، إذا قيست الثلاثه أضلاع فقط من

المثلث سيتكون المثلث دائما "بدون خطأ" ظاهري" ، ولهذا السبب إذن يشك في إمكانية التعامل مع أعمال التثليث بقياس الزوايا والأضلاع بنجاح وعليه قلن عملية اختيار أفضل الشبكات للأعمال الهندسية قد لا تكون إجراء عمليا.

### أمثلة محلولة

مثال 1-11 : قيست زاوية معينة من قبل راصدتين مختلفتين باستخدام نفس الجهاز وكما يلي:

الراصد A	الراصد B
86 34 10	86 34 05
33 50	34 00
33 40	33 55
34 00	33 50
33 50	34 00
34 10	33 55
34 00	34 15
34 20	33 44

أوجد: (A) الانحراف المعياري لكل طاقتي ،  
 (B) الخطأ المعياري للأوساط الحسابية ،  
 (C) أكثر القيم احتمالا (MPV) للزاوية.  
 (بوليتكنيك كنكزتون)

### الحل

الراصد A	م	م	الراصد B	م	م
86 34 10	10	100	86 34 05	7	49
33 50	-10	100	34 00	2	4
33 40	-20	400	33 55	-3	9
34 00	0	0	33 50	-8	64
33 50	-10	100	34 00	2	4
34 10	10	100	33 55	-3	9
34 00	0	0	34 15	17	289
34 20	20	400	33 44	-14	196
الوسط = 86 34 00	0	1200 = $\sum r^2$	86 33 58	0	624 = $\sum r^2$

(A) (I) الانحراف المعياري للراصد A:  $[\sigma_A] = \sqrt{\sum (x_i - \bar{x})^2}$

$$S_A = \pm \left( \frac{[\sigma_A^2]}{n-1} \right)^{\frac{1}{2}} = \pm \left( \frac{1200}{7} \right)^{\frac{1}{2}} = \pm 13.1''$$

(B) (I) الخطأ المعياري للراصد A:  $S_A = \pm \frac{S_A}{n^{\frac{1}{2}}} = \pm \frac{13.1}{8^{\frac{1}{2}}} = \pm 4.6''$

$$(A) \text{ (II) الانحراف المعياري للراصد } B: S_B = \pm \left( \frac{624''}{7} \right)^{\frac{1}{2}} = \pm 9.4''$$

$$(B) \text{ (II) الخطأ المعياري للراصد } B: S_B = \pm \frac{9.4}{81} = \pm 3.3''$$

(C) وحيث ان لكل وسط حسابي دقة مختلفة خاصة به تحددها قيمة  $S_{\bar{x}}$  ، فإنها على هذا الاساس يجب ان توزن قبل ان يؤخذ وسطها الحسابي لتعطي القيمة الأكثر احتمالاً للزاوية؛

$$(A) \propto \frac{1}{S_{\bar{x}_A}} = \frac{1}{21.2} = 0.047 \text{ (وزن A)}$$

$$(B) \propto \frac{1}{10.9} = 0.092 \text{ (وزن B)}$$

نسبة وزن A الى وزن B هي 1 الى 2 .

$$\begin{aligned} \text{معدل فالقيمة الأكثر احتمالاً للزاوية:} \\ \text{MPV} = (86^\circ 34'00'' + 86^\circ 33'58'' \times 2) / 3 \\ = 86^\circ 33'59'' \end{aligned}$$

ومن الجدير بالاهتمام ذكر النقطة التالية؛ يجب رفض أية رصدة يكون خطأؤها المتبقي أكبر من  $(2.3S_B)$  - انظر <الفترة 6-1> ، وحيث ان  $(2.3S_B = 30.2'')$  و  $(2.3S_B = 21.6'')$  فإنه يجب لإدخال كافة القراءات في الطاقم . ومن الطبيعي ، يجب إجراء هذا الاختبار في بداية السؤال .

مثال 1-12 : ناقش تصنيف الأخطاء في أعمال المساحة معطيا امثلة مناسبة على ذلك.

في مشروع أعمال تثليث بقياس الزوايا TRIANGULATION بقيست زوايا المثلث الثلاث وسجلت اوساطها الحسابية:  $(50^\circ 48'18'')$  و  $(64^\circ 20'36'')$  و  $(64^\circ 51'00'')$  . وقد اعطى تحليل كل طاقم من القراءات خطأً معيارياً مقداره  $(\pm 4'')$  لكل من هذه الاوساط الحسابية . وفي موعد لاحق أعيد قياس هذه الزوايا تحت ظروف أفضل مما اعطى الاوساط الحسابية:  $(50^\circ 48'20'')$  و  $(64^\circ 20'39'')$  و  $(64^\circ 50'58'')$  ، وكانت الأخطاء المعيارية لكل من هذه الاوساط  $(\pm 2'')$  . اوجد أكثر النقيم لإحتمالاً للزوايا .

الحل

تعدل الزوايا الى  $(180^\circ)$  اولاً، ولما كانت للزوايا داخل كل مثلث اوزاناً متساوية فإن التعديل الزاوي داخل كل مثلث هو أيضاً متساوي.

$50^{\circ} 48' 18'' + 2'' = 50^{\circ} 48' 20''$	$50^{\circ} 48' 20'' + 1'' = 50^{\circ} 48' 21''$
$64^{\circ} 20' 36'' + 2'' = 64^{\circ} 20' 38''$	$64^{\circ} 20' 39'' + 1'' = 64^{\circ} 20' 40''$
$64^{\circ} 51' 00'' + 2'' = 64^{\circ} 51' 02''$	$64^{\circ} 50' 58'' + 1'' = 64^{\circ} 50' 59''$
$179^{\circ} 59' 54''$	$180^{\circ} 00' 00''$
$179^{\circ} 59' 57''$	$180^{\circ} 00' 00''$

وزن الطاقم الاول:

$$= w_1 = 1/4^2 = \frac{1}{16}$$

وزن الطاقم الثاني:

$$= w_2 = 1/2^2 = \frac{1}{4}$$

وهكذا فلن ( $w_1=1$ ) عندما ( $w_2=4$ ) .

فالقيمة الأكثر احتمالاً لـ  $\alpha$ :

$$MPV = [(50^{\circ} 48' 20'') + (50^{\circ} 48' 21'' \times 4)]/5 = 50^{\circ} 48' 20.8''$$

وبنفس الطريقة تكون قيمتا الزاويتين الباقيتين الأكثر احتمالاً ( $64^{\circ} 20' 39.6''$ ) و ( $64^{\circ} 50' 59.6''$ ). ويمكن الآن تقرب هذه الزوايا إلى أقرب ثانية.

مثال 1-13: يتكون خط قاعدة من عشرة اجزاء ، وقد قيس بواسطة شريط مساحة مستنداً على رأسي قياسي وفرائت نهايتيه من قبل شخصين مختلفين ، واعطى الفرق بين القراءتين الطول المقاس لذلك الجزء . فكانت قد قيست الاجزاء 1 و 2 و 5 ست مرات والاجزاء 3 و 6 و 9 خمس مرات بينما قيست الاجزاء الباقية اربع مرات ، وقد احتسب الوسط الحسابي في كل حالة . فلذا كانت الاخطاء المعيارية للقراءات المنفردة للراسدين قد عرفت بانها 1 ملم و 1.2 ملم ، ماذا سيكون مقدار الخطأ المعياري الذي سببه اخطاء القراءات فقط لكامل الخط ؟

الحل

الخطأ المعياري في قراءة جزء واحد هو:

$$= S_x = (1^2 + 1.2^2)^{1/2} = \pm 1.6 \text{ mm}$$

خذ الجزء 1 الذي كان قد قيس ست مرات واخذ الوسط، وهكذا يكون الخطأ المعياري للوسط:

$$S_x = \frac{S_x}{n^{1/2}} = \frac{1.6}{6^{1/2}} = \pm 0.6 \text{ mm}$$

وهذه القيمة تنطبق على الجزئين 2 و 5 ايضا .

كذلك ، الخطأ المعياري لوسط الاجزاء 3 و 6 و 9 هو:

$$S_x = \frac{1.6}{3^{1/2}} = \pm 0.7 \text{ mm}$$

والخطأ المعياري لوسط الأجزاء 4 و 7 و 8 و 10 هو:

$$s_1 = \frac{1.6}{4} = \pm 0.8 \text{ mm}$$

وفقد تم الآن جمع هذه الأجزاء لتعطي الطول الكلي، وعليه سيكون الخطأ المعياري لكامل الطول:

$$(0.6^2 + 0.6^2 + 0.6^2 + 0.7^2 + 0.7^2 + 0.7^2 + 0.8^2 + 0.8^2 + 0.8^2 + 0.8^2)^{\frac{1}{2}} = \pm 2.3 \text{ mm}$$

مثال 1-14: (A) كان خط قاعدة قد فُتس باستخدام جهاز قياس مسافة الكهروني (EDM) وسُجلت المسافة 6835.417 متر كوسط حسابي. وللجهاز المستخدم درجة ضبط مشبّطة من قبل المصنع مقدارها (1/400 000) من الطول المقاس (±20) ملم. وكتحقيق، فقد أُعيد قياس الخط باستخدام نوع آخر من جهاز الـ (EDM) بدرجة ضبط (1/600 000 ± 30MM) وكان الوسط الحسابي الناتج للمسافة 6835.398 متر. أوجد أكثر القيم لإحتمالا لطول الخط.

(B) فُتست زاوية من قبل ثلاثة أشخاص B و C، وأدناه مجيء الوسط الحسابي لكل طاقتهم وخطأهم المعياري:

S	متوسط الزاوية	الراصد
0.7	89 54 36	A
1.2	89 54 42	B
1.0	89 54 33	C

أوجد أكثر القيم لإحتمالا للزاوية. (بوليتكنيك كنكزتون)

الحل

(A) الخطأ المعياري /

$$s_{s_1} = \pm \left\{ \left( \frac{6835}{400\,000} \right)^2 + (0.020)^2 \right\}^{\frac{1}{2}}$$

الجهاز الأول :

$$= \pm 0.026 \text{ m}$$

$$s_{s_2} = \pm \left\{ \left( \frac{6835}{600\,000} \right)^2 + (0.030)^2 \right\}^{\frac{1}{2}}$$

الجهاز الثاني:

$$= \pm 0.032 \text{ m}$$

ويمكن أن تستخدم هذه القيم الآن لوزن الأطوال وإيجاد أوساطها الحسابية الموزونة كما هو مجيء أدناه:

$L \times W$	الوزن (W)	نسبة الوزن $S_x$	الطول (L) متر
0.626	1.5	$1/0.026^2 = 1479$	0.417 $\pm 0.026$ الجهاز 1
0.398	1	$1/0.032^2 = 977$	0.398 $\pm 0.032$ الجهاز 2
$[W] = 2.5$		1.024	
		$= [LW]$	

لذن فالقيمة الأكثر احتمالا:  
 $MPV = 6835 + (1.024/2.5) = 6835.410MM.$

الراصد Observer	وسيط الإزوايا	$S_i$	نسبة الوزن Weight ratio	الوزن Weight, W	$L \times W$	(B)
A	89 54 36	$\pm 0.7$	$1/0.7^2 = 2.04$	2.96	$6' \times 2.96 = 17.8''$	
B	89 54 42	$\pm 1.2$	$1/1.2^2 = 0.69$	1	$12' \times 1 = 12''$	
C	89 54 33	$\pm 1.0$	$1/1^2 = 1$	1.45	$3' \times 1.45 = 4.35''$	
		$[W] = 5.41$		34.15		$= [LW]$

لذن فالقيمة الأكثر احتمالا:  
 $MPV = 89^\circ 54' 30'' + (34.15''/5.41) = 89^\circ 54' 36''$

بلغت نظر الطالب هنا الى طريقة ايجاد الوسط الموزون في كلا هذين المثالين، ولو ان الحاجة قد امنت للاستخراج الازان منذ ظهور حاسبات الجيب، خاصة في (B).

مثال 1-15: قيس اضلاع مثلث وايزباخ WEISBACK TRIANGLE في اعمال ربط مسوحات تحت الارض وكانت كما يلي:

$$W_1 W_2 = 5.435M. \quad W_1 W_3 = 2.844M. \quad W_2 W_3 = 8.274M.$$

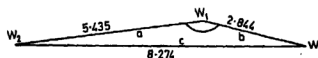
وباستخدام القياسات اعلاه في قانون جيب التمام احتسبت الزاوية  $(W_1 W_2 W_3)$ :

فلذا كان الخطا المعياري لكل من الاضلاع المقاسة يساوي  $(1/20\ 000)$ ، اوجد الخطا المعياري للزاوية المحتسبة بشواحي من القوس، (بوليتكنيك كنكزتون)

الحل

من الشكل 7-1 و بواسطة قانون جيب التمام:

$$c^2 = a^2 + b^2 - 2ab \cos W_1$$



شكل 7-1

باستخدام <المعادلة 15-1> من <الفقرة 10-1> وبلجرأء  
التفاضل نسبة إلى كل متغير على التوالي؛

$$2c\delta c = 2ab \sin W_1 \delta W_1$$

وهكذا ؛

$$\delta W_1 = \pm \frac{c\delta c}{ab \sin W_1}$$

وبنفس الطريقة ؛

$$a^2 = c^2 - b^2 + 2ab \cos W_1$$

$$2a\delta a = 2b \cos W_1 \delta a - 2ab \sin W_1 \delta W_1$$

$$\therefore \delta W_1 = \frac{2a\delta a - 2b \cos W_1 \delta a}{2ab \sin W_1} = \frac{\delta a(a - b \cos W_1)}{ab \sin W_1}$$

ولكن لما كانت (  $W_1 \approx 180^\circ$  ) و (  $\cos W_1 \approx -1$  ) و (  $a + b \approx c$  )

$$\therefore \delta W_1 = \pm \frac{\delta ac}{ab \sin W_1} \quad \text{لذلك ؛}$$

$$b^2 = a^2 - c^2 + 2ab \cos W_1$$

$$2b\delta b = 2a \cos W_1 \delta b - 2ab \sin W_1 \delta W_1$$

والآن ؛  
ثم ؛

$$\therefore \delta W_1 = \frac{\delta b(b - a \cos W_1)}{ab \sin W_1} = \pm \frac{\delta bc}{ab \sin W_1}$$

وجعل  $\delta W_1$  و  $\delta a$  و  $\delta b$  و  $\delta c$  مساوية إلى الانحرافات  
المعيارية يعطى ؛

$$\sigma_{w_1} = \pm \frac{c}{ab \sin W_1} (\sigma_a^2 + \sigma_b^2 + \sigma_c^2)^{\frac{1}{2}}$$

حيث أن ؛

$$\sigma_a = \frac{5.435}{20\,000} = \pm 2.7 \times 10^{-4}$$

$$\sigma_b = \frac{2.844}{20\,000} = \pm 1.4 \times 10^{-4}$$

$$\sigma_c = \frac{8.274}{20\,000} = \pm 4.1 \times 10^{-4}$$

$$\therefore \sigma_{w_1} = \pm \frac{8.274 \times 206\,265 \times 10^{-4}}{5.435 \times 2.844 \sin 175^\circ 48' 24''} (2.7^2 + 1.4^2 + 4.1^2)^{\frac{1}{2}}$$

$$= \pm 770''$$

$$= \pm 0^\circ 12' 50''$$

هذه هي معالجة معيارية للأخطاء الصغيرة ولا ينتفع هنا  
من امثلة إضافية من هذا النوع، وبإمكان الطالب إيجاد  
أمثلة متعددة لتطبيقاتها في الجزء الأول من كتاب  
"المسح الهندسي" (سكوفيلد- شمان 1986) وخلال ما تبين  
من هذا الجزء الثاني .

مثال 16-1: من المحطة P قيست الزوايا المقابلة للخطاط  
Q و R و S و T من قبل الراصدين A و B ، وقد رتب  
القراءات كما في أدناه:  
الزاوية الراصد

A	QPR	16 02 51
A	RPS	40 34 08
A	SPT	22 11 04
B	QPS	56 37 01
B	RPT	62 45 09

ولاجل توزيع الاوزان على القراءات فقد جرى لاختبار  
مستقل فاس فيه كل من A و B زاوية معينة عددا كبيرا من  
المرات وبينت نتيجة الاختبار بان الخطأ المعياري لـ B  
كان ضعف ذلك لـ A. طبق اوزانا مناسبة على القراءات  
وجد اكثر القيم لاحتمالا للزوايا التي اقرب ( $0.1^\circ$ ).  
(جامعة لندن)

الحل

حيث ان الاوزان تتناسب عكسيا مع مربع الخطأ المعياري،  
فلذا كان لـ B وزنا مقداره 1 سيكون لـ A وزنا مقداره  
4 ، وهكذا:

$$\begin{aligned} QPR &= x = 16^\circ 02' 51'' \quad (\text{الوزن } 4) \\ RPS &= y = 40^\circ 34' 08'' \quad (\text{الوزن } 4) \\ SPT &= z = 22^\circ 11' 04'' \quad (\text{الوزن } 4) \\ QPS &= (x+y) = 56^\circ 37' 01'' \quad (\text{الوزن } 1) \\ RPT &= (y+z) = 62^\circ 45' 09'' \quad (\text{الوزن } 1) \end{aligned}$$

وباستخدام القيم المرصودة اعلاه كقيم مفترضة لـ  $x$  و  $y$  و  $z$   
يمكن تكوين معادلات الرصد:

$$16^\circ 02' 51'' + v_1 = 16^\circ 02' 51''$$

القيمة الأكثر  
المرصودة لاحتمالا

$$v_1 = 0 \quad (\text{الوزن } 4) \quad \text{لذن :}$$

اي ، بمقارنة القيمة الأكثر لاحتمالا بالقيمة المرصودة  
يكون الفرق بينهما هو الخطأ ،  
وبنفس الطريقة:

$$\begin{aligned} v_2 &= 0 \quad (\text{الوزن } 4) \\ v_3 &= 0 \quad (\text{الوزن } 4) \end{aligned}$$

$$16^\circ 02' 51'' + v_1 + 40^\circ 34' 08'' + v_2 = 56^\circ 37' 01''$$

ولكن لذن:

$$v_1 + v_2 = -2'' \quad (\text{الوزن } 1)$$

$$40^\circ 34' 08'' + v_2 + 22^\circ 11' 04'' + v_3 = 62^\circ 45' 09''$$

ثم:

$$v_2 + v_3 = -3'' \quad (\text{الوزن } 1)$$

$$\begin{aligned}
v_1 &= 0 \quad (\text{الوزن 4}) & \text{فبترتيب معادلات الرصد;} \\
v_2 &= 0 \quad (\text{الوزن 4}) \\
v_3 &= 0 \quad (\text{الوزن 4}) \\
v_1 + v_2 &= 2'' \quad (\text{الوزن 1}) \\
v_2 + v_3 &= -3'' \quad (\text{الوزن 1})
\end{aligned}$$

لن معاملات  $v_1, v_2, v_3$  وهي  $\alpha, \beta$  و  $\gamma$  على التوالي وكلها تساوي 1،  
فالتعويض في <المعادلة 1-21> مباشرة يعطى المعادلات  
الطبيعية؛

$$\begin{aligned}
5v_1 + v_2 &= 2'' \\
v_1 + 6v_2 + v_3 &= -1'' \\
v_2 + 5v_3 &= -3''
\end{aligned}$$

وبسهل حل هذه المعادلات بالجبر البسيط لتعطى:

$$v_1 = 0.4'' \quad v_2 = -0.1'' \quad v_3 = -0.6''$$

وهكذا تكون القيم الأكثر احتمالا للزوايا :

$$\begin{aligned}
QPR &= 16^\circ 02' 51'' + 0.4'' = 16^\circ 02' 51.4'' \\
RPS &= 40^\circ 34' 08'' - 0.1'' = 40^\circ 34' 07.9'' \\
SPT &= 22^\circ 11' 04'' - 0.6'' = 22^\circ 11' 03.4''
\end{aligned}$$

مثال 1-17 : كان قد قيس الخط (ABCD) ككل وكأجزاء، وبسبب الاختلافات في درجات الضبط فقد خصصت أوزان للقياسات كما مبين أدناه؛

الوزن	الطول المقاس (متر)
3	AB 39.231
2	BC 120.716
2	CD 61.256
1	AC 159.935
1	AD 221.218

أوجد ، بطريقة المربعات المصغرة ، أكثر الأضوال احتمالا  
للأجزاء (AB) و (BC) و (CD) التي اقرب 0.0001 متر.  
(جامعة لندن)

الحل

$$\begin{aligned}
AB = x &= 39.231 \quad (\text{الوزن 3}) \\
BC = y &= 120.716 \quad (\text{الوزن 2}) \\
CD = z &= 61.256 \quad (\text{الوزن 2}) \\
AC = (x+y) &= 159.935 \quad (\text{الوزن 1}) \\
AD = (x+y+z) &= 221.218 \quad (\text{الوزن 1})
\end{aligned}$$

وبأخذ القيم المقاسة لـ  $x$  و  $y$  و  $z$  كقيم مقترضة ، ستكون  
معادلات الرصد الثلاث الأولى؛

$$(\text{الوزن 2}) \quad v_1 = 0 \quad (\text{الوزن 2}) \quad v_2 = 0 \quad (\text{الوزن 3}) \quad v_3 = 0$$

وبنفس الطريقة:  $v_1 + v_2 = -12\text{MM. (الوزن 1)}$   
 $v_1 + v_2 + v_3 = 15\text{MM. (الوزن 1)}$

وبالتمحيص تكون المعادلات الطبيعية:  
 $(v_1 + v_2 + 3v_3 = 15\text{MM.})$  ر  $(v_1 + 4v_2 + v_3 = 3\text{MM.})$  ر  $(2v_1 + 2v_2 + v_3 = 3\text{MM.})$

وعند الحل ينتج:  $v_3 = 0.0052\text{M.}$  ر  $v_2 = -0.0004\text{M.}$  ر  $v_1 = -0.0003\text{M.}$

لذن فالقيم الأكثر لاحتمالا للأطوال:

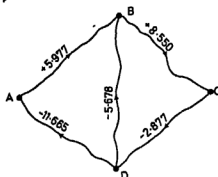
$AB = 39.231 - 0.0003 = 39.2307\text{M.}$   
 $BC = 120.716 - 0.0004 = 120.7156\text{M.}$   
 $CD = 61.256 - 0.0052 = 61.2612\text{M.}$

لاحظ: كان بالإمكان حل المثلين 16-1 و 17-1 بالمعادلات الشرطية بفرق بسيط في الوقت ، فالطريقة الأخيرة توفر تحقيقا على إتمام الشروط المعطاة ، لكن الطالب قد يجد تكوين المعادلات الشرطية أكثر صعوبة ، أيضا تجدر الإشارة هنا إلى أن التصحيحات المذكورة في أغلب هذه الأسئلة قد أعطيت بدرجة ضبط أكبر مما هي في المعلومات الحقلية الأولية ، فالقيم النهائية لذن يجب أن تقرب إلى نفس درجة ضبط المعلومات الحقلية .

مثال 18-1 : أدناه الفروقات المقاسة للمناسيب بالامتار بين أربع محطات B و C و D و (شكل 1-8) مع الأوزان المقدرة لهذه القيم ، أوجد ، بطريقة المربعات المصغرة ، أكثر القيم لاحتمالا للفروقات بالمناسيب التي اقرب 0.0001 متر .

الوزن	الانخفاض	الارتفاع	إلى	من
3		5.977	B	A
1		8.550	C	B
2	2.877		D	C
1	11.665		A	D
3	5.678		B	D

(جامعة لندن)



الشكل 1-8

لتبسيط الامور، افرض قيمة مطلقة مقدارها 100.00 متر للمحطة A ، ففي جميع تعديلات شبكات التسوية تفترض المحطة التي تبدأ منها عملية التسوية بأنها صحيحة، وعليه فالمعروف ايجاد مناسب B و C و D فقط .

باستخدام اول ثلاث فروقات للمناسيب المقاسة ، تكون المناسيب المقترضة لـ B و C و D :

$$B=105.977M. \quad C=114.527M. \quad D=111.650M.$$

والان يتم تكوين معادلات الرصد لكل خط من الشبكة كما يلي :

(اكثر منسوب لاحتمالا لـ B) ناقصا (اكثر منسوب لاحتمالا لـ A) يساوي (الفرق المقاس للمنسوب) .

$$\begin{aligned} B + \mathcal{U}_1 - A &= 5.977 && \text{اي:} \\ 105.977 + \mathcal{U}_1 - 100.000 &= 5.977 && \text{لذن:} \\ \mathcal{U}_1 &= 0 \quad (\text{الوزن 3}) && \text{لذن:} \end{aligned}$$

$$\begin{aligned} C + \mathcal{U}_2 - (B + \mathcal{U}_1) &= 8.550 && \text{وبنفس الطريقة:} \\ 114.527 + \mathcal{U}_2 - 105.977 - \mathcal{U}_1 &= 8.550 && \text{لذن:} \\ \mathcal{U}_2 - \mathcal{U}_1 &= 0 \quad (1) && \text{لذن:} \end{aligned}$$

$$\begin{aligned} D + \mathcal{U}_3 - (C + \mathcal{U}_2) &= -2.877 && \text{ايضا:} \\ 111.650 + \mathcal{U}_3 - 114.527 - \mathcal{U}_2 &= -2.877 && \text{لذن:} \\ \mathcal{U}_3 - \mathcal{U}_2 &= 0 \quad (2) && \text{لذن:} \end{aligned}$$

$$\begin{aligned} A - (D + \mathcal{U}_3) &= -11.665 && \text{ايضا:} \\ 100.000 - 111.650 - \mathcal{U}_3 &= -11.665 && \text{لذن:} \\ \mathcal{U}_3 &= 15MM. \quad (1) && \text{لذن:} \end{aligned}$$

$$\begin{aligned} B + \mathcal{U}_1 - (D + \mathcal{U}_3) &= -5.678 && \text{ايضا:} \\ 105.977 + \mathcal{U}_1 - 111.650 - \mathcal{U}_3 &= -5.678 && \text{لذن:} \\ \mathcal{U}_1 - \mathcal{U}_3 &= -5MM. \quad (3) && \text{لذن:} \end{aligned}$$

وبتجميع معادلات الرصد لاجل سهولة التحميم:

$$\begin{aligned} \mathcal{U}_1 &= 0 \quad (\text{الوزن 3}) && \mathcal{U}_3 = 15MM. \quad (\text{الوزن 1}) \\ \mathcal{U}_2 - \mathcal{U}_1 &= 0 \quad (\text{الوزن 1}) && \mathcal{U}_1 - \mathcal{U}_3 = -5MM. \quad (\text{الوزن 3}) \\ \mathcal{U}_3 - \mathcal{U}_2 &= 0 \quad (\text{الوزن 2}) \end{aligned}$$

ومن خلال تمحيب معادلات الرصد والمعادلة 1-25 تكون المعادلات الطبيعية:

$$\begin{aligned} 7 \mathcal{U}_1 - 3 \mathcal{U}_2 - \mathcal{U}_3 &= -15MM. \\ - \mathcal{U}_1 + 3 \mathcal{U}_2 - 2 \mathcal{U}_3 &= 0 \\ -3 \mathcal{U}_1 - 2 \mathcal{U}_2 + 6 \mathcal{U}_3 &= 30MM. \end{aligned}$$

ومن الحل ينتج:  $\gamma_1 = 2.3\text{MM}$  ،  $\gamma_2 = 6.2\text{MM}$  ،  $\gamma_3 = 8.2\text{MM}$ .

وهكذا تكون مناسب:  
 $A=100.000\text{M}$  ،  
 $B=105.977+0.0023=105.979\text{ M}$  ،  
 $C=114.527+0.0062=114.533\text{ M}$  ،  
 $D=111.650+0.0082=111.658\text{ M}$ .

وعليه تكون الفروقات الأكثر احتمالاً بالمناسب:

$A-B = 5.9793\text{M}$  ،  
 $B-C = 8.5539\text{M}$  ،  
 $C-D = -2.8750\text{M}$  ،  
 $D-A = -11.6582\text{M}$ .

المجموع يساوي: **سفر (يحقق)**

وحيث ان  $(D-B) = -5.6789\text{M}$  ، فهذا ايضا يتحقق مع مجموع القيمتين الثانية والثالثة المعطاة اعلاه.

لاحظ: يجب ملاحظة النقاط المهمة التالية فيما يخص شبكات التسوية:

(1) بالنظر لما يعتقد من ان اخطاء المناسيب تخضع للقوانين الوارد ذكرها فلنراها تتناسب مع الجذر التربيعي لمول الخط الذي تجري تسويته اي:  $(\sigma \propto (L)^{1/2})$  ، مع ذلك ، ولما كانت  $(1/\sigma^2) \propto (الوزان)$  فبالنسبة لخطوط التسوية تصبح  $(1/L) \propto (الوزان)$  اي ان الوزن يتناسب عكسيا مع طول الخط الذي تجري تسويته.

(2) كان بالامكان حل التمرين بنفس السهولة بطريقة المعادلات الشرطية ، وفي تلك الحالة ستكون الشروط :

(A) يجب ان تغلق الدائرة (ABCD) الى الصفر.

(B) يجب ان تغلق الدائرة (BCDB) الى الصفر.

(C) يجب ان تغلق الدائرة (ABDA) الى الصفر.

مع ذلك ، فالتقاعدة المستخدمة في تحديد عدد الشروط قد تم ذكرها سابقا ، اي:

عدد الكميات الخفاسة بشكل مباشر : يساوي 5

<الخطوط (AB) و (BC) و (DC) و (DA) و (DB)>

عدد المجاهيل المستقلة : يساوي 3

<المحطات B و C و D >

لذن عدد الشروط المطلوبة اعلاه : يساوي 2

مثال 1-19 : قيس الزوايا "التي تغلق الافق" حول محطة معينة كما يلي :

$$w = 70^\circ 05' 31.6''$$

$$x = 164^\circ 23' 39.8''$$

$$y = 96^\circ 50' 51.6''$$

$$z = 28^\circ 39' 50.0''$$

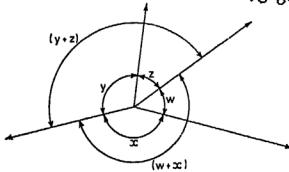
$$(w + x) = 234^\circ 29' 03.4''$$

$$(y + z) = 125^\circ 30' 38.2''$$

اوجد بطريقة المربعات الصغرى ، اكثر القيم احتمالا  
للزوايا  $w$  و  $x$  و  $y$  و  $z$  (جوليتكنيك كنكرتون)

الحل

هذا التمرين هو موضح في (الشكل 9-1) حيث يتبين بان  
هنالك شرط يجب تحقيقه وهو ان القيمة الاكثر لاحتمالا  
للزاوية  $(w+x+y+z)$  تساوي  $360^\circ$  .  
من هذا الشرط يمكن اذن رؤية انه اذا عرفت قيمة  $w$  و  $x$   
و  $y$  فلن القيمة الاكثر لاحتمالا ل  $z$  يجب ان تكون  
 $(360^\circ - (w+x+y))$  . وهكذا يمكن ان نتعبر  $z$  بانها  
كمية "غير مستقلة"  $DEPENDENT$  ويتطلب الامر ايجاد قيم  
 $w$  و  $x$  و  $y$  فقط . وبهذه الطريقة يقل عدد المعادلات  
الطبيعية من 4 الى 3 .



شكل 9-1

تؤخذ القيم المفترضة لـ  $w$  و  $x$  و  $y$  بانها تساوي القيم  
المقاسة اعلاه، وعليه ستكون معادلات الرصد الثلاث الاولى:  
 $v_1 = 0$     $v_2 = 0$     $v_3 = 0$

لذن القيمة الاكثر لاحتمالا لـ  $z$  تساوي :

$$= 360^\circ - (w + v_1 + x + v_2 + y + v_3) = 28^\circ 39' 50.0''$$

وتعويض القيم المفترضة لـ  $w$  و  $x$  و  $y$  يعطى:

$$w + v_1 + x + v_2 = 234^\circ 29' 03.4''$$

وبنفس الطريقة :

$$v_1 + v_2 = -8''$$

$$(y+z) = y + v_3 + 360^\circ - (w + v_1 + x + v_2 + y + v_3) = 125^\circ 30' 38.2''$$

وتعويض القيم المفترضة لـ  $w$  و  $x$  و  $y$  يعطى:

$$v_1 + v_2 = 10.4''$$

لن المعادلات الطبيعية المكونة من معادلات الرصد  
مباشرة ومن (المعادلة العامة 23-1) بالطريقة  
الاعتيادية هي:

$$4v_1 + 3v_2 + v_3 = +9.4''$$

$$3v_1 + 4v_2 + v_3 = +9.4''$$

$$v_1 + v_2 + 2v_3 = +7.0''$$

والحل يعطى:    $v_1 = 0.98''$     $v_2 = 0.98''$     $v_3 = 2.52''$

لإذن القيمة الأكثر احتمالا لـ  $w = 70^{\circ} 05' 31.6'' + 0.98'' = 70^{\circ} 05' 32.6''$  ;  
والقيمة الأكثر احتمالا لـ  $x = 164^{\circ} 23' 39.8'' + 0.98'' = 164^{\circ} 23' 40.8''$  ;  
والقيمة الأكثر احتمالا لـ  $y = 96^{\circ} 50' 51.6'' + 2.52'' = 96^{\circ} 50' 54.1''$  ;  
والقيمة الأكثر احتمالا لـ  $z = 360^{\circ} - (w + x + y) = 28^{\circ} 39' 52.5''$

مثال 20-1 : الزوايا المقاسة لشكل رباعي ارضي (ABCD) معطاة ادناه مع لوغاريثمات جيوبها والفروقات في لوغاريثمات الجيوب لثانية واحدة واوزان كل منها .

الوزن	الفرق للوغاريثم الجيب لثانية واحدة	لوغاريثم الزاوية الجيب المقاسة	العدد
1	CAD	35 05 09	1.759 519 0
2	BAC	56 06 57	1.919 165 2
3	DBA	46 16 00	1.858 877 0
4	CBD	46 14 08	1.858 651 2
5	ACB	31 22 49	1.716 600 8
6	DCA	30 28 41	1.705 186 3
7	BDC	71 54 02	1.977 960 7
8	ADB	42 32 02	1.829 963 4

استخرج المعادلات الطبيعية لإيجاد أكثر القيم احتمالا للزوايا بطريقة المربعات المصغرة. لا يطلب حل المعادلات ولكن يجب ذكر الخطوات اللازمة للحصول على تصحيحات الزوايا بعد حل المعادلات .

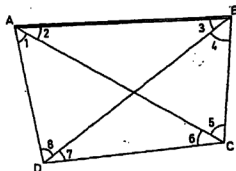
لاحظ بأن :

مجموع لوغاريثمات جيوب الزوايا الفردية ناقصا مجموع لوغاريثمات جيوب الزوايا الزوجية يساوي (6 008 000 -) (جامعة لندن)

الحل

لأجل إقادة الطالب سوف يجري حل هذا السؤال : (1) بدون فرض اوزان و (2) بشكله الأصلي الماوي على اوزان بالطريقة المباشرة باستخدام معاملات الارتباط . CORRELATIVES

المتبع عمليا في الوقت الحاضر هو استخدام طريقة تغيير الاحداثيات ، وهذا يتطلب استخدام الكومبيوتر ،



شكل 10-1

(1) من الضروري الحصول على العدد الصحيح من المعادلات الشرطية المطلوبة. وبالرجوع إلى الشكل (1-10) يتبين بأن عدد الكميات المقاسة مباشرة هو ثمان ، وعدد المجاهيل المستقلة هو أربعة. وهذه الملاحظة الأخيرة يجب أن ينظر إليها الآن بعناية. ففي أي مشروع تثليث بقياس الزوايا TRIANGULATION ، يبدأ العمل من خط القاعدة (AB) لتثبيت مواقع إحداثيات النقاط الأخرى. وهكذا فتثبتت D و C بتطلب معرفة تشريقيهما وتشميلهما مما يعطى أربعة مجاهيل مستقلة. فعدد المعادلات الشرطية المطلوبة إذن هو  $(8-4=4)$ . فكما هو مبين في الفصل الثاني من هذا الكتاب هنالك ثمانية شروط لتعديل الشكل الرباعي متقاطع الاقطار CROSSED QUADRILATERAL ، لا تكون كلها مستقلة. أما أربعة الشروط الأكثر استقلالا فهي :

$$\begin{aligned} 1+2+3+4+5+6+7+8 &= 360^\circ \\ 2+3-6-7 &= 0 \\ 1+8-4-5 &= 0 \end{aligned}$$

$$\log \sin 1 + \log \sin 3 + \log \sin 5 + \log \sin 7 - (\log \sin 2 + \log \sin 4 + \log \sin 6 + \log \sin 8) = 0$$

حيث يسمي هذا الشرط الأخير بشرط الضلع SIDE CONDITION وغالبا ما يكتب :

$$\begin{aligned} &= (\text{لوغاريثمات جيوب الزوايا الفردية}) \\ &= (\text{لوغاريثمات جيوب الزوايا الزوجية}) \end{aligned}$$

وانظر الفصل الثاني فيما يخص الاشتقاق.

وحيث ان الشكل الرباعي متقاطع الاقطار هو شكل "فريد" UNIQUE فالشروط اعلاه هي الشروط القياسية المستخدمة في تعديله دائما .

وبفرض التصحيحات  $v_1 \dots v_8$  للزوايا 1 ... 8 ، تصبح المعادلات الشرطية كما يلي :

$$1 + v_1 + 2 + v_2 + 3 + v_3 + 4 + v_4 + 5 + v_5 + 6 + v_6 + 7 + v_7 + 8 + v_8 - 360^\circ = 0$$

وتعويض القيم المقاسة للزوايا 1 و 2 و 9 و 8 يعطى :

$$v_1 + v_2 + v_3 + v_4 + v_5 + v_6 + v_7 + v_8 - 12'' = 0$$

وبنفس الطريقة :

$$\begin{aligned} v_2 + v_3 - v_6 - v_7 + 14'' &= 0 \\ v_1 + v_8 - v_4 - v_5 + 14'' &= 0 \end{aligned}$$

$$317v_1 - 142v_2 + 202v_3 - 202v_4 + 346v_5 - 358v_6 + 69v_7 - 230v_8 - 86 = 0$$

لقد تم الحصول على المعادلة الأخيرة كما يلي : لو تم تصحيح الزاوية 1 بمقدار  $(+1)$  فإن تصحيح لوغاريثم جيبها سيكون  $(+0.0000317)$  كما هو مبين في السؤال. وهكذا - عموما - يؤدي التصحيح  $(v_i)$  للزاوية 1 إلى تصحيح مقداره  $(v_i d_i)$  للوغاريثم جيبها ، حيث ان  $d_i$  هو "الفرق" في لوغاريثم الجيب لتغيير مقداره  $v_i$  في الزاوية

لإذن فإن شرط الضلع يكتب كالتالي :

$$\log \sin 1 + d_1 v_1 + \log \sin 3 + d_3 v_3 + \log \sin 5 + d_5 v_5 + \log \sin 7 + d_7 v_7 \\ - (\log \sin 2 + d_2 v_2 + \log \sin 4 + d_4 v_4 + \log \sin 6 + d_6 v_6 + \log \sin 8 + d_8 v_8)$$

مع ذلك ، ولما كان :

$$E = \sum \text{LOG SIN (زوايا زوجية)} - \sum \text{LOG SIN (زوايا فردية)}$$

فإن المعادلة أعلاه يمكن كتابتها كما يلي :

$$d_1 v_1 - d_2 v_2 + d_3 v_3 - d_4 v_4 + d_5 v_5 - d_6 v_6 + d_7 v_7 - d_8 v_8 \pm E = 0$$

وتعويض قيم  $d$  و  $E$  من السؤال يعطى المعادلة الشرطية المذكورة في صحيفة 72 . وللسهولة فقد تم إعادة كتابة المعادلات الشرطية هنا بعد ضربها بمعاملات ارتباطها ، والخ.

$$K_1(v_1 + v_2 + v_3 + v_4 + v_5 + v_6 + v_7 + v_8 - 12'') = 0 < A55-1 >$$

$$K_2(v_2 + v_3 - v_6 - v_7 + 14'') = 0 < B55-1 >$$

$$K_3(v_1 + v_8 - v_4 - v_5 + 14'') = 0 < C55-1 >$$

$$K_4(317v_1 - 142v_2 + 202v_3 - 202v_4 + 346v_5 - 358v_6 + 69v_7 - 230v_8 - 86) = 0 < D55-1 >$$

ثم بالتمحيص المباشر ، كما هو مبين في (الفقرة 8-11-1) تكون المعادلات الطبيعية :

$$8K_1 + 0 + 0 + 2K_4 - 12'' = 0$$

$$0 + 4K_2 + 0 + 349K_4 + 14'' = 0$$

$$0 + 0 + 4K_3 - 57K_4 + 14'' = 0$$

$$2K_1 + 349K_2 - 57K_3 + 507802K_4 - 86 = 0$$

إن القيمة الأخيرة البالغة 507 802 هي بالطبع عبارة عن مجموع مربعات معاملات (المعادلة <D55-1> ويجب على الطلبة أن يكونوا حذرين جداً مع الكميات السالبة. فمثلاً ، لقد تم استخراجه  $(K_2 [hd])$  من ضربى معاملى (المعادلتين <B55-1> و <D> كالتالى :

$$(1 \times (-142)) + (1 \times 202) + ((-1) \times (-358)) + ((-1) \times 69) = 349$$

وعلى الطالب دراسة (الفقرة 8-11-1) بعناية عند تكوين المعادلات الطبيعية.

أيضاً من المعادلات الشرطية يمكن إثبات :

$$v_1 = K_1 + K_3 + 317K_4 \quad v_5 = K_1 - K_3 + 346K_4$$

$$v_2 = K_1 + K_2 - 142K_4 \quad v_6 = K_1 - K_2 - 358K_4$$

$$v_3 = K_1 + K_3 + 202K_4 \quad v_7 = K_1 - K_2 + 69K_4$$

$$v_4 = K_1 - K_3 - 202K_4 \quad v_8 = K_1 + K_3 - 230K_4$$

(2) الألوان (بشكلها المجدول) - راجع (الجدول 4-1)

(A) تستخرج المعادلات الشرطية بنفس الطريقة المذكورة في

(1) أعلاه - انظر (المعادلات A55-1 إلى D).

(B) يتم لإدخال معاملات عموديا في العمود المناسب.

## الجدول 4-1

V	1/w x C = W	a	b	c	d	W <sub>aa</sub>	W <sub>ab</sub>	W <sub>ac</sub>	W <sub>ad</sub>	W <sub>ba</sub>	W <sub>bb</sub>	W <sub>bc</sub>	W <sub>bd</sub>	W <sub>cc</sub>	W <sub>cd</sub>	W <sub>dd</sub>
V <sub>1</sub>	$\frac{1}{2} \times 6 = 3$	1		1	317	3	0	3	951	0	0	0	0	3	951	301 467
V <sub>2</sub>	3	1	1		-142	3	3	0	-426	0	0	-426	0	0	0	60 492
V <sub>3</sub>	6	1	1		202	6	6	0	1212	6	0	1212	0	0	0	244 824
V <sub>4</sub>	1			-1	-202	6	0	-6	-1212	0	0	0	0	0	0	244 824
V <sub>5</sub>	3	1			346	3	0	-3	1038	0	0	0	0	3	-1038	359 148
V <sub>6</sub>	3	1	-1		-358	3	-3	0	-1074	3	0	0	1074	0	0	384 492
V <sub>7</sub>	2	1	-1		69	2	-2	0	138	2	0	0	-138	0	0	9 522
V <sub>8</sub>	2	1		1	-230	2	0	2	-460	0	0	0	0	2	-460	105 800
[ ] = 28      4      -4      167      14      0      1722      14      665      1 710 569																

المعادلات العامة :

$$28K_1 + 4K_2 - 4K_3 + 167K_4 - 12'' = 0$$

$$4K_1 + 14K_2 + 0 + 1722K_4 + 14'' = 0$$

$$-4K_1 + 0 + 14K_3 + 665K_4 + 14'' = 0$$

$$( \text{لاحظ الاتجاهات} ) \quad 167K_1 + 1722K_4 + 665K_3 + 1710569K_4 - 86 = 0$$

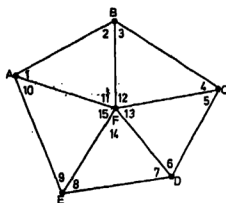
(C) بعد ذلك يتم تجميع المعاملات حسب العناوين المناسبة ، صف بعد صف .  
(D) تستخرج العلاقة بين التصحيح ومعامل الارتباط K من المعادلات الشرطية بالطريقة الاعتيادية ، وهذه العلاقة بالطبع هي مطابقة لتلك العلاقة المذكورة في (1) اعلاه ، لكنها يجب ان تضرب بمقلوب وزنها وكما هو مبين في (الفقرة 1-11-9) .

مثال 1-21 : كجزء من مشروع تثليث بقياس الزوايا TRIANGULATION الذي يتألف من المضلع (ABCDE) وبداخله المحطة F ، مدرج ادناه الزوايا المقاسة مع لوفاريثمات جيوب الزوايا الخارجية.

الزوايا المقاسة				لوفاريثم الجيب	الفرق في لوفاريثم الجيب لـ (1")
1	BAF	38 44 54		1.796 505 5	0.000 002 6
2	FBA	83 48 01			0.000 000 2
3	CBF	42 34 30		1.830 303 0	0.000 002 3
4	FCB	60 11 18			0.000 001 2
5	DCF	56 02 45		1.918 808 3	0.000 001 4
6	FDC	37 44 14			0.000 002 7
7	EDF	40 06 22		1.809 024 3	0.000 002 5
8	FED	86 53 52			0.000 000 1
9	AEF	70 05 48		1.973 251 8	0.000 000 8
10	FAE	23 48 13			0.000 004 8
11	AFB	57 27 01			
12	BFC	77 14 17			
13	CFD	86 13 02			
14	DFE	52 59 48			
15	EFA	86 05 57			
$\Sigma = 1.327 892 9$				1.327 902 1	

استخرج المعادلات الطبيعية المطلوبة في الحل بطريقة المربعات الصغرى بفرض اوزان متساوية لكافة الزوايا ، علما بان حل المعادلات هو غير مطلوب. (جامعة لندن)

الحل:



شكل 1-11

من (الشكل 1-11) ، شروط التعديل هي :

$$1 + 2 + 11 = 180^\circ$$

$$3 + 4 + 12 = 180^\circ$$

$$5 + 6 + 13 = 180^\circ$$

$$7 + 8 + 14 = 180^\circ$$

$$9 + 10 + 15 = 180^\circ$$

$$11 + 12 + 13 + 14 + 15 = 360^\circ$$

$$1 + 2 + 3 + 4 + 5 + 6 + 7 + 8 + 9 + 10 = (2n - 4)90^\circ = 540^\circ$$

$$\sum \text{LOG SIN}(\text{زوايا فردية}) = \sum \text{LOG SIN}(\text{زوايا زوجية})$$

ولإيجاد عدد الشروط المطلوبة :

عدد الكميات المرمودة بشكل مباشر : يساوي 15

عدد المجاهيل المستقلة : يساوي 8

لذن عدد الشروط المطلوبة : يساوي 7

خذ اى خط - واليكن (AB) - كقاعدة، فلن عدد النقاط المطلوب تشيبتها هو اربع، اى C و D و E و F ، ولكل منها تشريق وتشميل ، وهذا يعطينى ثمانية مجاهيل مستقلة. ويمكن الان اختيار اية سبعة من الشروط الثمانية المذكورة على ان يدرج شرط الضلع من ضمنها. وهكذا يحدق الشرط الاول يتم تكوين المعادلات الشرطية التالية كما فى المثال السابق :

$$K_1(v_3 + v_4 + v_{12} + 5'') = 0$$

$$K_2(v_5 + v_6 + v_{13} + 1'') = 0$$

$$K_3(v_7 + v_8 + v_{14} + 2'') = 0$$

$$K_4(v_9 + v_{10} + v_{15} - 2'') = 0$$

$$K_5(v_{11} + v_{12} + v_{13} + v_{14} + v_{15} + 5'') = 0$$

$$K_6(v_1 + v_2 + v_3 + v_4 + v_5 + v_6 + v_7 + v_8 + v_9 + v_{10} - 3'') = 0$$

$$K_7(26v_1 - 2v_2 + 23v_3 - 12v_4 + 14v_5 - 27v_6 + 25v_7 - v_8 + 8v_9 - 48v_{10} - 92) = 0$$

والمعادلات الطبيعية ، باستخدام (المعادلة العامة 33-1) تكون :

$$3K_1 + 0 + 0 + 0 + K_2 + 2K_3 + 11K_7 + 5'' = 0$$

$$0 + 3K_2 + 0 + 0 + K_3 + 2K_6 - 13K_7 + 1'' = 0$$

$$0 + 0 + 3K_3 + 0 + K_4 + 2K_6 + 24K_7 + 2'' = 0$$

$$0 + 0 + 0 + 3K_4 + K_5 + 2K_6 - 40K_7 - 2'' = 0$$

$$K_1 + K_2 + K_3 + K_4 + 5K_5 + 0 + 0 + 5'' = 0$$

$$2K_1 + 2K_2 + 2K_3 + 2K_4 + 0 + 10K_6 + 6K_7 - 3'' = 0$$

$$11K_1 - 13K_2 + 24K_3 - 40K_4 + 0 + 6K_6 + 5272K_7 - 92 = 0$$

ولو ان هذا ينتهى السؤال حسب المطالب ، ولكن على الطالب محاولة استخراج العلاقة بين  $K_7$  و  $K_6$  ايضا ، اى :

$$v_1 = K_6 + 26K_7 \quad v_2 = K_6 - 2K_7 \quad v_{10} = K_4 + K_6 - 48K_7 \quad v_4 = K_1 + K_6 - 12K_7 \quad \dots \text{والخ.}$$

هنالك نقطة جديرة بالملاحظة فى تعديل اى مضلع وهى ان الزوايا فى النقطة المركزية لا تستخدم فى شرط الضلع.

## تمارين

1-1 اشرح معنى كل من الخطأ العشوائي RANDOM ERROR و الخطأ النظامي SYSTEMATIC ERROR وبين بمثال كيف يمكن ان يحدث كل منهما في اعمال المسح الاعتيادية.

قيست زاوية عشر مرات من قبل الراصد A وكانت القراءات كما يلي ، علما بان اعتماد RELIABILITY كافة القراءات هو متساوي :

74°38'18" 20°15'21" 24°16'22" 17°19'43"

حيث ان الدرجات والدقائق بقيت ثابتة لكافة القراءات، ثم قيست نفس الزاوية تحت نفس الظروف ولكن من قبل الراصد B ، وكانت القراءات كما يلي :

74°36'10" 21°25'08" 15°20'28" 11°18'24"

اوجد الانحراف المعياري STANDARD DEVIATION لكل راصد ووزنيهما النسبيين RELATIVE WEIGHINGS .  
(جمعية المهندسين المدنيين البريطانية)

[الجواب: (±3.4°) و (±6.5°) و (A:B=9:2)]

2-1 لابتداء بالمبادئ الاولى، استخرج تعديرا للخطأ المعياري في الزاوية المحتسبة لـ في مثلث وايزباخ WEISBACK TRIANGLE ، بفرض خطأ معياري مقداره (σ) في زاوية مثلث وايزباخ لـ واخطاء معيارية مساوية متناسبة في قياس الاضلاع.

ما هي الجقائق التي يمكن ان تستخرج من معادلة الخطأ الناتجة والتي لها علاقة بتقنية الارتباط CORRELATION باستخدام هذه الطريقة ؟  
(بوليتكنيك كنكزتون)

[الجواب: انظر كتاب المسح الهندسي/الجزء الاول(سكوفيلد - شان) 1986]

3-1 ما هو الفرق بين الخطأ ERROR والغلطة MISTAKE ؟ وكيف يطبق الوزن WEIGHTING على القراءات ؟

اربعة رواقم تسوية A و B و C و D ، خيئت بواسطة عملية التسوية الدقيقة حيث اقيمت القراءات الخلفية والقراءات الامامية متساوية في الطول، والجدول ادناه يبين القراءات المأخوذة والمسافات وعدد المرات التي جرت بها عملية التسوية، فلذا كان متوسط A هو 27.091م فوق مستوي الاسناد المساحي (AOD)، اوجد القيم المحتملة للنقاط الاخرى (I) غير موزونة (II) موزونة.

(جامعة لندن)

عدد مرات التسوية	المسافة (كم)	التحويل (متر)	الخط
مرة واحدة	المسافة 4	6.254 لارتفاع	(A إلى B)
مرتين	المسافة 5	5.316 لارتفاع	(B إلى C)
مرة واحدة	المسافة 3	4.639 لارتفاع	(C إلى D)
مرتين	المسافة 6	9.970 لارتفاع	(D إلى B)
مرتين	المسافة 6	11.558 لارتفاع	(C إلى A)

[الجواب: (I) و(B=33.339M.) و(C=38.655M.) و(D=43.302M.)]  
 [(II) و(B=33.337M.) و(C=38.655M.) و(D=43.301M.)]

1-4 الظروف بالمنايب بين أربع محطات تثليث (بقياس الزوايا) A و B و C و D كما أحتسبت بالتسوية المثلية TRIGONOMETRIC LEVELLING هي كما مبين أدناه مع الأوزان النسبية للقراءات. فلذا كان منسوب A يساوي 108.32 م ، أوجد أكثر القيم احتمالا لمنايب المحطات B و C و D. (جمعية المهندسين المدنيين البريطانية)

وزن القراءات	الفرق بالمنسوب (متر)	الخط
1	18.50	A إلى B
2	-11.42	B إلى C
3	5.93	C إلى D
1	-12.95	D إلى A
3	-5.64	B إلى D

[الجواب: 126.84 متر و 115.36 متر و 121.25 متر]

1-5 قراءات الزوايا من المحطة O إلى خمس محطات أخرى P و Q و R و S و T كما هو مجدول أدناه ، وقد قراءت مجموعات معينة من الزوايا مرتان. أما الأوزان التي يجب أن تعطى إلى القراءات فهي كما في الجدول.

الوزن	قيمة الزاوية	العدد الزاوية
2	34 27 54	1 POQ
2	43 21 73	2 QOR
2	22 17 86	3 ROS
2	35 14 79	4 SOT
2	47 38 66	5 TOP
3	38 06 214	6 POS
5	26 53 145	7 SOP

أوجد أكثر القيم احتمالا للزوايا التي اقرب ثانية واحدة. (جامعة لندن)

[الجواب: ايماء ؛ 5 هي كمية غير مستقلة ، وتمحيص المعادلات المطبعية يعطى بسرعة ( $\gamma_1=1^\circ$ ،  $\gamma_2=1^\circ$ ،  $\gamma_3=-1^\circ$ ،  $\gamma_4=1^\circ$ ) ]

6- يتألف جزء من مشروع تثليث (بقياس الزوايا) من المثلث (ABC) والنقطة المركزية D، ومجدول أدناه الزوايا المقاسة مع لوغاريثمات جيوب الزوايا الخارجية. اذكر شروط تعديل الشكل، ومن ثم اختر العدد الصحيح من الشروط المطلوبة واستخرج المعادلات الطبيعية المطلوبة للتعديل بالمرمعات الصغرى للشكل باستخدام طريقة معاملات الارتباط. لا تحاول حل المعادلات ولكن استخرج العلاقة الخطية LINEAR RELATIONSHIP بين معاملات الارتباط والاختلاف المتبقية. (بوليتكنيك كنكرتون)

الرقم	الفرق (1°)	لوغاريثمات الجيوب	قيمة الزاوية	الزاوية	الرقم
1			23 02 45.4	DAB	
2	49.5	1.592 697 6	67 43 16.1	ABD	
3	8.6	1.781 288 2	37 10 55.4	CBD	
4	27.8		24 12 01.0	BCD	
5	46.8	1.471 208 5	17 12 50.8	ACD	
6	68.0		10 38 08.3	CAD	
7	112.1	1.266 144 3	89 13 57.6	ADB	
8			118 37 05.7	BDC	
9			152 08 56.7	ADC	
المجموع = 1.845 157 2      Sum = 1.845 194 3					

[الجواب : خمسة شروط ، الجواب سيختلف تبعاً للشروط المختارة.]

7-1 خمس محطات تثليث (ABCDE) على هيئة الشكل الرباعي (ABCD) مع المحطة الداخلية E، أما الزوايا المقاسة فهي كما يلي:

الرقم	الفرق (1°)	لوغاريثم الجيوب	قيمة الزاوية
EAB	0.000 003 5	1.711 678 0	30 59 14
ABE	0.000 002 1	1.847 094 8	44 41 11
BEC	0.000 001 2	1.943 343 6	61 21 56
BCE	0.000 001 5	1.915 045 6	55 19 07
BCD	0.000 001 3	1.928 566 5	58 01 51
CDE	0.000 002 0	1.856 292 6	45 54 45
EDA	0.000 003 2	1.739 321 0	33 16 36
DAE	0.000 003 6	1.704 473 7	30 25 22
BEA			104 19 38
CEB			63 18 58
DEC			76 03 41
AED			116 17, 43

استخرج المعادلات الطبيعية المطلوبة لإيجاد الأخطاء في القيم المقاسة بطريقة المربعات الصغرى. افرض بأن كافة القراءات وزناً واحداً وإهمل الزيادة الكروية

## SPHERICAL ACCESS، ولا داعي لحل المعادلات.

(جامعة لندن)

[الجواب: ستة شروط - والجواب سيختلف تبعا للشروط المختارة].

## المصادر

- 1 ASHKENAZI, V. 'Adjustment of Control Networks for Precise Engineering Surveys', *Chartered Surveyor*, No 102, 1970.
- 2 ASHKENAZI, V., *et al.* 'Measurement of Deformations by Surveying Techniques', Seminar, University of Nottingham, Jan 1978.
- 3 PLACKETT, R. L. 'A Historical Note on the Method of Least Squares', *Biometrika*, Vol 36, Dec 1969.
- 4 SCHOFIELD, W. 'The Effect of Various Adjustment Procedures on Traverse Networks', *The Civil Engineering Surveyor*, April and May 1979.
- 5 SCHOFIELD, W. 'Traverse Adjustment by Variation of Co-ordinates', *The Civil Engineering Surveyor*, June and Sept 1979.
- 6 SUNTER, A. B. 'Statistical Properties of Least Squares Estimates', *Canadian Surveyor*, March 1966.

## الفصل الثاني مسوحات الضبط

عموماً، يتم تكوين شبكات الضبط ذات الثلاثة ابعاد للمشاريع الانشائية الكبيرة كالانفاق والجسور والمشاريع الانشائية الكهربائية... والخ من خلال :

- (1) التثليث بقياس الزوايا TRIANGULATION.
- (2) التثليث بقياس الاضلاع TRILATERATION.
- (3) المزج بين (1) و(2)، أي التثليث بقياس الزوايا والاضلاع TRIANGULATERATION.
- (4) التثليث TRAVERSING بقياس المسافة الكترومغناطيسيا ELECTRO MAGNETIC DISTANCE MEASUREMENT (EDM).

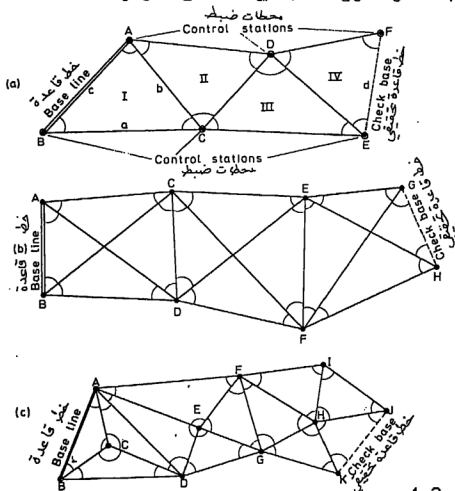
في الوقت الذي تكون فيه عملية التثليث بقياس الزوايا أكثر التقنيات شيوعاً ، فقد أخذ يحل محلها بسرعة - في المسح الهندسي الحديث - التثليث بقياس المسافة الكترومغناطيسيا ، وقد اثبتت الأخيرة بأنها لا تختلف عن الأولى بالدقة، إضافة إلى أنها أكثر اقتصادية منها بكثير. أما التثليث بقياس الاضلاع ، فبالرغم من أنها جيدة نظرياً لكنها لا تستخدم بكثرة ، وربما يعزى هذا لعدم توفر التحقيقات السهلة وحساباتها المعقدة، أما البديل (3) أي التثليث بقياس الزوايا والاضلاع فتستخدم بشكل واسع جداً وذلك للحصول على سيطرة أكبر على خطأ المقياس SCALE ERROR في أعمال التثليث بقياس الزوايا .

### 2-1 التثليث بقياس الزوايا TRIANGULATION

ولو أن المساحات التي تتعامل معها أعمال الانشاءات صغيرة نسبياً بالمقارنة مع المسوحات الوطنية (معطية ما يسمى بالتثليث بقياس الزوايا الدقيق MICRO TRIANGULATION) غالباً ما تكون درجة الضبط ACCURACY المطلوبة لتكوين مسوحات الضبط عالية جداً، مثل قياسات الانفاق الطويلة أو قياسات تشويهاات السدود.

إن أسس هذه الطريقة موضحة من خلال الاشكال الاساسية النموذجية المبينة في (الشكل 2-1)، فلذا فيست جميع الزوايا يتم الحصول على مقياس الشبكة من خلال قياس ضلع واحد فقط ، أي قياس خط القاعدة. وعليه فلن أي خطأ في قياس خط القاعدة سيؤدي إلى خطأ في المقياس على امتداد الشبكة. وهكذا ، ولأجل السيطرة على الخطأ يجب قياس خطوط قاعدة تحققية CHECK-BASE LINES على فترات. ويعرف خطأ المقياس بأنه الفرق بين طول خط القاعدة الحقيقي والمعتسب، وباستخدام خط القاعدة والزوايا المعدلة يمكن إيجاد أطوال بقية اضلاع المثلثات وبالتالي إيجاد إحداثيات محطات الضبط CONTROL STATIONS.

إن أكثر ما يناسب التثليث هي الأماكن المتموجة المفتوحة التي تعطي خطوط نظروية خالية من العوارض، أما في المناطق الحضرية (أي في المدن) فتستخدم السطوح في أعمال التثليث بقياس الزوايا حيث تثبت محطات الضبط على سطوح المباني الممكن الوصول إليها.



شكل 1-2 (أ) سلسلة من مثلثات بسيطة (ب) أشكال رباعية متقاطعة الاقطار (ج) مضلعات بنقاط مركزية

## 1-1-2 شكل المثلث

يتم احتساب اضلاع الشبكة من قانون الجيوب ، فمن المثلث (ABC) في <الشكل A1-2>:

$$\log b = \log c + \log \sin B_1 - \log \sin C_1$$

ويتم ايجاد تاءشير الاخطاء في قياس الزاويتين B و C على الضلع b بالطريقة الاعتيادية، فنخذ الخطأ (δb) في الضلع (b) الذي سبجه الخطأ (δB) في قياس الزاوية B ، وهكذا :

$$\frac{\delta b}{b} = \delta B \cot B$$

ونفس الشيء بالنسبة للخطأ (δC) في قياس الزاوية C :

$$\frac{\delta b}{b} = -\delta C \cot C$$

فلذا اعتبرنا بأن الأخطاء اعلاه هي أخطاء معيارية فإن تركيبها مع بعضها يعطينا:

$$\frac{\sigma_b}{b} = \{(\sigma_B \cot B)^2 + (\sigma_C \cot C)^2\}^{\frac{1}{2}}$$

أيضاً، وبفرض أخطاء زاوية متساوية أي  $(\sigma_B = \sigma_C = \sigma' \text{ RAD})$  ينتج:

$$\frac{\sigma_b}{b} = \sigma(\cot^2 B + \cot^2 C)^{\frac{1}{2}} \quad \dots (1-2)$$

تشير (المعادلة 1-2) بأنه عندما تقترب الزاويتان C و B من  $90^\circ$  يكون تأثير الخطأ الزاوي على الضلع المحتسب b بأصغر قيمة MINIMUM، وهكذا فالشبكة المثالية (الشكل 1-2A) تكون بجعل الزوايا المقابلة للأضلاع التي لا تدخل في احتساب خطأ المقياس صغيرة جداً، أي الأضلاع (BC) و (AD) و (CE) و (DF)، مع ذلك فإن كذا شبكة لا تكون مقترحة عملياً وذلك بسبب محدودية تغطيتها الأرضية وأفضل حل يكون باستخدام مثلثات متساوية الأضلاع أينما كان ذلك ممكناً، أما إذا كان لابد من وجود الزوايا الصغيرة كما إذا لم يكن بالإمكان تشبيتها بحيث لا تدخل في حسابات المقياس، فيجب أن نقاس بدرجة عالية من الدقة.

افرض الآن بأن  $(B=C=60^\circ)$  و  $(\sigma' = \pm 1'')$ ، وهكذا لما كان  $(\cot 60^\circ = \frac{1}{\sqrt{3}})$  و  $(\sigma' \text{ RAD} \approx 1/20\,000)$  :

$$\frac{\sigma_b}{b} = \frac{1}{200\,000} \left(\frac{2}{3}\right)^{\frac{1}{2}} = \frac{1}{245\,000}$$

وسيكون الخطأ بعد n من المثلثات مساوياً إلى  $n^{1/2}$  مرة بقدر الخطأ في كل مثلث،

$$\therefore \frac{\sigma_b}{b} = \frac{n^{\frac{1}{2}}}{245\,000}$$

وهكذا بعد تسع مثلثات مثلاً، سيكون خطأ المقياس مساوياً  $(1/82\,000)$  تقريبا، وهذه النتيجة تشير إلى الحاجة إلى أعلى درجة من الضبط في قياس خط القاعدة وقياس الزوايا، كما تشير إلى الحاجة إلى قواعد تحقيقية على فترات منتظمة وإلى مثلثات منسقة جداً WELL CONDITIONED

يمكن الإثبات بأن (المعادلة 1-2) - عند تعديل الزوايا - تصبح :

$$\frac{\sigma_b}{b} = \sigma \left\{ \frac{1}{3} (\cot^2 B + \cot B \cot C + \cot^2 C) \right\}^{\frac{1}{2}}$$

والتي تشير - نظرياً - إلى أنه لا يوجد تحسن في خطأ المقياس إذا كانت  $(B = C)$ .

## 2-1-2 الخطوات العامة

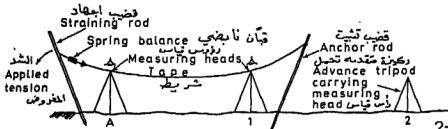
- (1) استطلاع المنطقة لضمان أفضل مواقع ممكنة للمحطات ولخطوط القاعدة.
- (2) إنشاء المحطات.
- (3) تقرير نوع الهدف والجهاز اللذان سيستخدمان وطريقة الرصد أيضاً، كل ذلك يعتمد على الدقة المطلوبة وأطوال

خطوط النظر المتضمنة.  
(4) قياسات الزوايا وخط القاعدة.  
(5) الحسابات - لاحتساب خط القاعدة وتعديل المحطات والشكل ثم إحداثيات المحطات بالطرق المباشرة.

لقد تم إعطاء فكرة عامة عن التثليث بقياس الزوايا TRIANGULATION ، وسيجرى الآن بحث نواحيها المختلفة بالتفصيل.

## 2-1-3 خطوط القاعدة المقاسة بالشريط المعلق

لأجل تحقيق درجة الضبط المطلوبة ، تقاس خطوط القاعدة إما باستخدام الشريط المعلق المصنوع من الحديد أو من معدن الانقار ، أو باستخدام أجهزة قياس المسافة الالكترومغناطيسية (EDM) ، وكلما تصبح معدات الـ (EDM) أكثر تطوراً وضبطاً يصبح استخدام طريقة الشريط المعلق أقل شعبية طبعاً. في الحقيقة ، يتضح بأن درجات الضبط الفائقة التي تمتلكها كذا معدات لقياس المسافات القصيرة كجهاز KERN MEKOMETER تجعل طرق الشريط المعلق مبهمة. مع ذلك فإن طرق الشريط المعلق لاتزال تستخدم ، ويمكن أن يكون البحث المتعمق في الأخطاء النظامية SYSTEMATIC ERRORS التي تحدث بهذه الطريقة مفيداً للطالب فقط .



يجب أن (الشكل 2-2) طريقة القياس بالشريط المعلق، حيث يعلق الشريط مرتفعاً عن الأرض على رأسى قياس MEASURING HEADS ، ويعطى الشد المطلوب إما بواسطة ميزان نابض مثبتة إلى شاحم أو من خلال أوزان تعلق حول بكره بينما تكون النهاية الأخرى مثبتة. حيث تقراء كلتا نهايتي الشريط مقابل علامة الشريط على رأسى القياس في وقت واحد وينقش الوقت الذي يصل إليه الشد المطلوب بالشريط. وهكذا تتكرر العملية عدة مرات حتى يتم الحصول على عينة كافية من النتائج المعتمدة. ولأجل حذف الأخطاء النظامية تؤخذ درجات الحرارة والشد والفرق بالارتفاع بين رأسى القياس ثم متوسط منسوب الخط فوق مستوي الاسناد المساحي (AOD) لأن تطلب الأمر ذلك. من ثم يتم تحويل كل جزء من الخط إلى الطول الأفقى المقابل له كما هو مبين في الفقرات من 2-1-3 إلى 2-1-3-7 التالي ذكرها ؛

بتغير طول الشريط تدريجيا خلال فترة من الاستعمال لأسباب متعددة ، ويمكن إيجاد مقدار هذا التغير بواسطة تعبير الشريط في مختبر الفيزياء البريطاني الوطني (NPL) لمعدن الانقار أو في قسم التجارة والصناعة البريطاني (DTI) لمعدن الحديد أو من خلال مقارنته بشريط قياس مرجعي محفوظ خصيصا لهذا الغرض ، وعندها يعرف الشريط بأنه بطول 30.003 م بدرجة حرارة (20°C) وكتلة لإجهاد (شد) 10 كغم أو بطول 30 م تماما بدرجة حرارة غير درجة الحرارة المعيارية.

لاحظ جيدا : يجب أن يعطى الشد المعروض على الشريط بوحدة النيوتن N وهي وحدة القوة في نظام (SI) المترى. مع ذلك فموازين النابض المستخدمة في الحقل هي مقسمة بالكيلوغرامات وهذه هي وحدة الكتلة التي أتت منها التسمية "كتلة الاجهاد STRAINING MASS".

مثال 1-2 : فقيست مسافة طولها 220.450 م بشريط حديدي ذي الثلاثين متر. فوجد بأن طول الشريط عند التعبير كان 30.003 م . أوجد المسافة الصحيحة المقاسة ، بفرض أن الخطأ هو موزع بشكل منتظم على طول الشريط.

الحل

الخطأ لكل 30 م يساوي 3 ملم  
لذا مقدار التصحيح للطول الكلي هو :

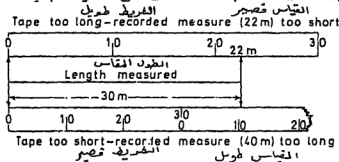
$$= \left( \frac{220.450}{30} \right) \times 3 \text{ mm} = 22 \text{ mm}$$

لذا الطول الصحيح هو :  $= 220.450 + 0.022 = 220.472 \text{ M}$ .

ملاحظات للمطالب :

- (1) يجب أن يظهر الشكل (2-3) بأنه إذا كان الشريط أطول من طوله الحقيقي تظهر المسافة المقاسة أقصر من طولها الحقيقي، وعليه يكون التصحيح موجبا، والعكس هو عندما يكون الشريط أقصر من طوله الحقيقي.
- (2) تنعكس القاعدة المذكورة في (1) أعلاه عند تثبيت مسافة معينة بالشريط.

- (3) يفضل أن يجري احتساب (المثال 1-2) على أساس التصحيح (كما مبين) وليس على أساس الطول المصحح الكلي. ففي هذه الطريقة يستخدم عدد أقل من الأرقام المعنوية.



شكل 3-2

مثال 2-2 : تم تعبير لغة شريط ذات الثلاثين متر بدرجة حرارة (20°C) ووجد بأن طولها كان 30.003 م فما هي درجة الحرارة التي يكون عندها طول الشريط 30 م تماماً؟ علماً بأن معامل تمدد الحديد يساوي 0.000 011 لكل درجة حرارة مئوية.

الحل

يكون تمدد 30 م لكل درجة مئوية واحدة؛  
 $= 0.000\ 011 \times 30 = 0.000\ 33\ \text{M.}$

وتمدد الـ 30 م لـ 9 درجات مئوية؛  
 $= 0.000\ 33 \times 9 = 0.003\ \text{M.}$

لذن يكون طول الشريط 30 م تماماً عند درجة حرارة  
 $20 - 9 = 11^\circ\text{C}$   
 مقدارها؛  
 وبطريقة أخرى، باستخدام <المعادلة 2-2> حيث؛

$$\Delta t = (t_2 - t_1)$$

$$t_2 = -\frac{C_t}{KL} + t_1 = -\left(\frac{0.003}{(0.000\ 011 \times 30)}\right) + 20^\circ = 11^\circ\text{C}$$

وعليه

حيث أن (t) تساوي درجة الحرارة الفعلية و (t<sub>s</sub>) تساوي درجة الحرارة المعيارية، وهذه لذن ستصبح درجة الحرارة المعيارية للتصحيحات الحرارية المستقبلية.

## 2-3-1-2 درجة الحرارة

اعتبارياً، تُعبر اشرطة القياس بدرجة حرارة (20°C)، وأي تغير فوق أو تحت هذه الدرجة يؤدي إلى تمدد أو تقلص في الشريط معطياً بذلك أخطاء نظامية، وقد اذني استخدام اشرطة الانتقار إلى مصوبة الحصول على درجة الحرارة الحقيقية للشريط، حيث أن معدن الانتقار هو سبيكة من النيكل والحديد بمعامل تمدد واطيء جداً.

لن معامل تمدد الحديد يساوي (K = 11.2 × 10<sup>-6</sup>/°C) ومعامل تمدد معدن الانتقار هو (K = 0.5 × 10<sup>-6</sup>/°C).

تصبح درجة الحرارة (C<sub>t</sub>) :

$$C_t = K L \Delta t \quad \dots (2-2)$$

حيث أن L هو الطول المقاس بالامتار و (Δt) هي الفرق بين درجة الحرارة المعيارية ودرجة حرارة الموقع بالدرجات المئوية المستفرد. أما لإشارة التصحيح فهي بموجب القاعدة المذكورة في (1) من ملاحظات الطالب أعلاه.

يمكن الحصول على تأثير الخطأ الناتج عن قياس درجة الحرارة من إجراء التفاضل على <المعادلة 2-2> :

وهكذا لذا كانت (L = 30 M.) و (Δt = 2°C) و (K = 11 × 10<sup>-6</sup>/°C)  
 $\delta C_t = 11 \times 10^{-6} \times 30 \times 2 = 0.000\ 66\ \text{M.}$   
 فلن ؛  
 والذي يساوي 1 إلى 45 000 لطول الثلاثين متر.

عموماً ، يستخدم شريط القياس وهو تحت تأثير الشد المعباري وهو في هذه الحالة لا يحتاج إلى تصحيح، ويمكن أن تدعو الحاجة في بعض الحالات التي فرض شد أكبر من الشد المعباري ، فمن قانون هوك :

$$(كمية شاذة) \times (الاجهاد) = (الجهد)$$

وهذه الكمية الثابتة هي نفسها للمادة الواحدة وتسمى "معامل المرونة (E) MODULUS OF ELASTICITY".  
 وحيث أن الاجهاد هو كمية خالية من الوحدات فلن لمعامل المرونة E نفس وحدات الجهد ، أي نيوتن على المليمتر المربع (N/mm<sup>2</sup>).  

$$E = (\text{الجهد المباشر}) / (\Delta T / A) = (C_T / L)$$
  

$$C_T = L (\Delta T / AE) \quad \dots (3-2)$$

عادة تكون (ΔT) مساوية للجهد الكلي المؤثر على مساحة المقطع، وحيث أن الشريط سيكون معياراً تمت تأثير الشد فلن (ΔT) في هذه الحالة ستكون مساوية لمقدار الجهد "الأكبر" من المعباري ، وهكذا ستكون (ΔT) الفرق بين الشد الحظي والشد المعباري، ونفاس هذه القيمة في الحقل عادة بالكيلوغرامات ويجب أن تحول إلى نيوتونات لكي تنسجم مع بقية الوحدات المستخدمة في المعادلة ، علماً بأن (1 KGF = 9.806 65 N).  
 E هي معامل المرونة بالنيوتن على المليمتر المربع (N/MM<sup>2</sup>) و A هي مساحة المقطع العرضي للشريط بالمليمترات المربعة (MM<sup>2</sup>) و L هو الطول المقاس بالامتار (M) و (C<sub>T</sub>) هو مقدار التمدد فهو إذن تصحيح لطول الشريط وهو بالامتار (M) ايضاً. وحيث أن الشريط يتمدد تحت تأثير الشد الاضافي فلن التصحيح هو موجب (+).

يمكن ان تنشأ الاخطاء في الشد بسبب (I) خطأ مؤشر الميزان الناجب (II) خطأ القراءة (III) التدرج ، حيث تنقسم الموازين عموماً إلى فترات مقدارها 0.2 كغم فقط.

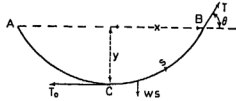
$$\delta C_T = L \delta T / AE \quad \text{من (المعادلة 3-2):}$$

بفرض خطأ شد (δT) مقدارها 0.5 كغم و (A=3mm<sup>2</sup>) ، كما ان (E=210 10<sup>3</sup> N/mm<sup>2</sup>=210 kN/mm<sup>2</sup>) و (L=30 M)

$$\therefore \delta C_T = \frac{30 \times 0.5 \times 9.81}{3 \times 210 \times 10^3} = 1 \text{ in } 128\,000$$

ومن المعادلة المستخرجة يمكن معرفة ان (C<sub>T</sub>) تتناسب طردياً مع (δT) وعكسياً مع A. وهكذا فلن أية زيادة في خطأ الشد أو أي نقصان في مساحة المقطع العرضي سيؤدي إلى زيادة طردية مباشرة في (C<sub>T</sub>)، كذلك ، وكما سيشار إليه في الجند التالي ، فلن اخطاء الشد تؤثر على تصحيح هطول الشريط.

عندما يعلق الشريط بين رأسى القياس A و B بنفس المستوى ، يأخذ الشريط شكل الشريط المعلق في الشكل 4-2. فإذا كانت C اوتاً نقطة في المنحني ، فهناك ثلاث قوى تؤثر على الطول (CB) وهى الشد T في B و  $T_0$  في C وكتلة قطعة الشريط (CB) حيث أن  $w$  هى كتلة الشريط لكل وحدة طول و  $s$  هو طول القوس (CB).



شكل 4-2

وهكذا يجب أن تكون (CB) فى حالة توازن تحت تأثير هذه القوى الثلاث ، وعليه :

$$T \sin \theta = ws$$

$$T \cos \theta = T_0$$

$$\therefore \tan \theta = \frac{ws}{T_0}$$

فلزيادة صغيرة فى طول الشريط :

$$\frac{dx}{ds} = \cos \theta = (1 + \tan^2 \theta)^{-1} = \left(1 + \frac{w^2 s^2}{T_0^2}\right)^{-1} = \left(1 - \frac{w^2 s^2}{2T_0^2} \dots\right)$$

$$\therefore x = \int \left(1 - \frac{w^2 s^2}{2T_0^2}\right) ds$$

$$= s - \frac{w^2 s^3}{6T_0^2} + K$$

عندما ( $s=0$ ) و ( $s=0$ ) ، إذن ( $K=0$ ) ، وهكذا :  $x = s - \frac{w^2 s^3}{6T_0^2}$

تصبح الهطول لكامل الطول  $\langle ACB \rangle$  هو  $C_s$  :

$$C_s = 2(s - x) = 2\left(\frac{w^2 s^3}{6T_0^2}\right)$$

ولكن ( $s=L/2$ ) :

$$\therefore C_s = \frac{w^2 L^3}{24T_0^2} = \frac{w^2 L^3}{24T^2} \text{ for small values of } \theta \quad \dots \langle 4-2 \rangle$$

$$T \cos \theta \approx T \approx T_0$$

أى أن :

حيث أن :

$w$  يساوى كتلة الشريط لكل وحدة طول (KG/M)

$T$  يساوى كتلة الاجهاد (KG)

$L$  يساوى الطول المسجل (M)

$C$  يساوى التصحيح (M)

لاحظ جيدا : في <المعادلة 4-2> يجب ملاحظة جعل  $T$  و  $w$  بوحدة متوافقة، وهكذا يمكن ان تبقي  $T$  بالكيلوغرامات.

ولما كان  $(w = W/L)$  ، حيث ان  $W$  هي الكتلة الكلية للشريط ، فبالتعويض في <المعادلة 4-2> ينتج:

$$C_s = \frac{W^2 L}{24 T^2} \quad \dots (5-2)$$

فمع ان هذه المعادلة هي صحيحة ، لكن تصحيح الهطول يتناسب تناسباً طردياً مع مكعب طول الشريط .

تطبق <المعادلتان 4-2 و 5-2> على الاشرطة التي تم تمجيرها على سطح مستوي فقط ، وهما سالتان دائماً . اما عند تعبير الشريط بوضعه المعلق ، اي عندما يسجل المسافة الافقية بوضعه المعلق ، عند ذلك ، لا داعي لاجراء تصحيح شرط ان يكون الشد المقروض ، واليكن  $T_A$  مساوياً للشد المعياري  $T_S$  . اما لـ إذا كان  $T_A$  قد تجاوز  $T_S$  عند ذلك يكون من الضروري لاجراء تصحيح هطول للشريط عن الزيادة في الشد  $(T_A - T_S)$  ، وعليه :

$$C_s = \frac{w^2 L^3}{24} \left( \frac{1}{T_A^2} - \frac{1}{T_S^2} \right) \quad \dots (6-2)$$

في هذه الحالة سيكون التصحيح موجبا تبعا للقاعدة الاساسية ، كذلك يمكن ايجاد مقدار الهطول وكما يلي :

$$\frac{dy}{ds} = \sin \theta \approx \tan \theta = \frac{ws}{T_0} \quad (\text{عندما تكون } \theta \text{ صغيرة})$$

$$\therefore y = \int \frac{ws}{T_0} ds = \frac{ws^2}{2T_0}$$

عندما يكون للهطول اكبر قيمة (في وسط الشريط) فلن:

$$s = \frac{L}{2} \quad y = \frac{wL^2}{8T} \quad \dots (7-2)$$

وهكذا فلن <المعادلة 7-2> تسمح بايجاد قيمة  $w$  من القياس الحثلي للهطول ، اي :

$$w = \frac{8Ty}{L^2}$$

والتي بالتعويض في <المعادلة 4-2> تعطى:

$$C_s = -\frac{8y^2}{3L} \quad \dots (8-2)$$

لن <المعادلة 8-2> تعطى تصحيح الهطول من قياس الهطول  $L$  ، وهي لا تعتمد على قيمة  $w$  و  $T$  . ويمكن الحصول على مؤشر الخطأ الناتج عن الشد من لاجراء التفاضل على <المعادلة 4-2> وكما يلي :

$$\delta C_s = -\left( \frac{2L^2 w^2}{24 T^3} \right) \delta T$$

وبغرض  $(\delta T = 0.5 \text{ KGF})$  و  $(w = 0.03 \text{ KGF/M})$  و  $(L = 30 \text{ M})$  :

$$\delta C_s = -\left( \frac{2 \times 30^2 \times 0.03^2 \times 0.5}{24 \times 10^3} \right) = 1 \text{ in } 30000$$

يتركب هذا الخطأ مع خطأ الشد (صفحة 87)، كما يجب ان يؤخذ بنظر الاعتبار الاخطاء في ايجاد وزن الشريط ومساحة مقطعه العرضي،

### 2-1-3-5 الميل SLOPE

إذا كان الفرق بالارتفاع بين رأسى القياس  $h$  والمسافة المائلة  $L$  والمسافة الأفقية  $D$ ، فمن نظرية فيثاغورس :

$$D = (L^2 - h^2)^{\frac{1}{2}} \quad \dots (A9-2)$$

قبل شيوع استعمال حاسبات الجيب كان الأسلوب التالي هو المتبع عموماً وذلك بسبب العناية في ايجاد الجذور التربيعية :

$$D = (L^2 - h^2)^{\frac{1}{2}} = L \left( 1 - \frac{h^2}{L^2} \right)^{\frac{1}{2}} = L \left( 1 - \frac{h^2}{2L^2} - \frac{h^4}{8L^4} \right)$$

لذن تصحيح الميل ( $C_h$ ) يكون :

$$C_h = D - L = - \left( \frac{h^2}{2L} + \frac{h^4}{8L^3} \right) \quad \dots (B9-2)$$

وقد هجر استخدام نظرية فيثاغورس (المعادلة A9-2) بسبب الخطأ الصغير الذي قد ينشأ عن استخدام حدين فقط من مفكوك المعادلة أعلاه على الخطوط الطويلة المقاسة بالاجهزة الالكترومغناطيسية (EDM)،

ولاجل البحث في الاخطاء الناجمة عن قياس  $h$  :

$$\delta C_h = \frac{h \delta h}{L} \quad (\text{الخطأ يتناسب طردياً مع } h)$$

فلذا كانت ( $L=30M.$ ) و ( $h=0.500M.$ ) و ( $\delta h=0.002M.$ ) فلن :

$$\delta C_h = \frac{0.500 \times 0.002}{30} = 1 \text{ in } 900\,000$$

### 2-1-3-6 الارتفاع ALTITUDE

إذا كان المطلوب ربط المسوحات بالشبكة الوطنية (NG) الاسناد العام لتلك المنظومة وهي متوسط مستوي سطح البحر (MSL)، او يمكن، في حالة كون طبيعة المشروع الهندسي محلية، تحويل المسافات التي مسافات بمستوي متوسط منحسوب المنطقة، والفاكدة من ذلك هي ان المسافات التي تثبت على الارض تكون مساوية للمسافات المحتسبة من الاحداثيات عند متوسط مستوي الاسناد، من دون خطأ يذكر.

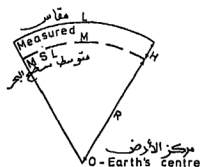
خذ (الشكل 2-5) الذي قيس فيه المسافة  $L$  في مستوي واقف على ارتفاع مقداره  $H$  فوق متوسط مستوي سطح البحر فمن تشابه المثلثات :

$$M = \frac{R}{R+H} \times L$$

لذن يكون التصحيح  $C_H$  :

$$C_H = L - M = L - \frac{RL}{R+H}$$

$$= L \left( 1 - \frac{R}{R+H} \right) = \frac{LH}{R+H}$$



شكل 5-2

حيث ان H صغيرة جدا بحيث انها تهمل مقارنة مع R في المقام ، وهكذا ؛

$$C_M = \frac{LH}{R}$$

... <10-2>

التصحيح هو سالب (-VE) للاعمال السطحية، ولكنه قد يكون موجبا للاتفاق او لاعمال المناجم تحت متوسط مستوي سطح البحر، وبإجراء التقايل على المعادلة 10-2 يتضح بان الخطأ في  $C_M$  يتناسب طرديا مع الخطأ في H.

### 2-3-1-7 معامل المقياس (SF) SCALE FACTOR

إن هذا التصحيح هو مطلوب فقط عندما يرتبط المسح بالشبكة الوطنية ، عندها يجب تحويل كافة المسافات المقاسة على الأرض إلى مسافات بمستوي متوسط سطح البحر ومن ثم تضرب بمعامل المقياس (SF) لتلك المنطقة لأجل تحويلها إلى مسافات تشبيكية GRID DISTANCES على الاسقاط المبركاتوري العرضي TRANSVERSE MERACTOR PROJECTION (انظر الفقرة 2-12)، وتقسم المسافات التشبيكية على معامل المقياس (SF) لتعطي المسافات بمستوي متوسط سطح البحر، اما المعادلة التقريبية لمعامل المقياس فهي معطاة في الفقرة 2-14.

### 2-2 قياس المسافة الكرومغناطيسيا

لقد جلت في الواقع قياسات المسافة بالمعدات الالكترومغناطيسية محل طريقة قياس خطوط القاعده باستخدام اشربة القياس المبدئية او التي من معدن الانقار. فقد ادى ظهور اجهزة قياس المسافة الالكترونية التي حدوث ثورة في كافة طرق اعمال المساحة والذي نتج عنه تغييرا في التاكيد وفي التقنية، بحيثية إمكانية قياس المسافة الآن بسرعة وبدرجة عالية من الضبط بغض النظر عن ظروف الموقع، وكأمثلة على الاعمال التي يمكن ان تنجز بهذه التقنية؛

(A) الادخال السهل لعدد اكبر من خطوط القاعده في اعمال التثليث بقياس الزوايا لأجل السيطرة الأكبر على خطأ المقياس (SF).

(B) استخدام اعمال التثليث بقياس الاضلاع TRILATERATION والتي فيها تقاس كافة اضلاع الشبكة.  
(C) تركيب اعمال التثليث بقياس الزوايا مع التثليث بقياس الاضلاع مما ينتج ما يسمى التثليث بقياس الزوايا والاضلاع TRIANGULATION التي تعطي شبكات قوية جدا.  
(D) التثليث على نطاق مساحة اكبر وبسيطرة اكبر على تغلغل الاخطاء ERRORS SWING.  
(E) اعمال تسقيط المنشآت والسيطرة على اعمال المسح الترمويزي من خلال الاحداثيات القطبية من موقع واحد.  
(F) تشييت المواقع المائحية بتقنيات خاصة كمنظومة التلروميتر المائحية TELLUROMETER HYDRODIST SYSTEM.  
(G) التثليث بقياس الاضلاع ثلاثي الابعاد THREE DIMENSIONAL من الارض الى الجو بمعدات خاصة مثل منظومة التلروميتر الهوائية TELLUROMETER AERODIST SYSTEM.

لم تعد تقنية قياس المسافة الالكترومغناطيسية (EDM) تقنيات عمل جديدة فحسب، لكنها رفعت ايضا من درجة ضبط القياس الطولي LINEAR MEASUREMENT والذي يعادل الان اذق اشكال القياسات الزاوية. فمثلا، يعطى جهاز كيرن ميكومتر درجة ضبط مقدارها  $(\pm (0.2MM + 3 \cdot 10^{-6} D))$  لمسافة D تصل الى حد 2.5 كم.

وقد ادت التطويرات الاخيرة في الاجهزة الدقيقة الى دمج المزايا ذات الارغام الالكترونية وبذلك تقديم جهاز واحد للمسافة الالكترومغناطيسية وهذا الجهاز قادر على لإنجاز معظم مهام اعمال المساحة والتسقيط باقتصاد في العمالة وفي الوقت وبسرعة ودرجة ضبط معتمدة ، إضافة الى توفير خزين من المعلومات DATA BANK. فبإمكان وحدات التسجيل التلقائية لهذه الاجهزة تحويل كافة المعلومات - بضمنها تشخيص النقطة POINT IDENTIFICATION - على شريط مغناطيسي او على حافظنة معلومات الكترونية قابلة للادخال في المايكروكمبيوترات او الكومبيوترات الكبيرة MIAN FRAME ، والكومبيوترات بدورها. يمكن ان تربط بالجهاز رسم للانتاج التلقائي للخرائط .

## 2-2-1 تصنيف معدات اجهزة قياس المسافة الالكترومغناطيسية

تنقسم المعدات المستخدمة في الوقت الحاضر ضمن ثلاثة اصناف عريضة للمدنيات التشغيلية :  
(A) ذات المدنى القصير؛ وهي اجهزة الكترو بصيرية-ELECTRO OPTICAL تستخدم لإضاءة متغيرة السعة ، إما بجساء او تحت الحمراء ، لقياس المسافات التي تصل الى حد 5 كم.

(B) ذات المدنى المتوسط؛ بموجة مايكروية MICROWAVE او الكترو بصيرية وبمدنيات تصل الى 25 كم.

(C) اجهزة بموجة مذبذب RADIO WAVE؛ طويلة المدى قادرة على قياس مسافات تصل الى 100 كم وتزيد.

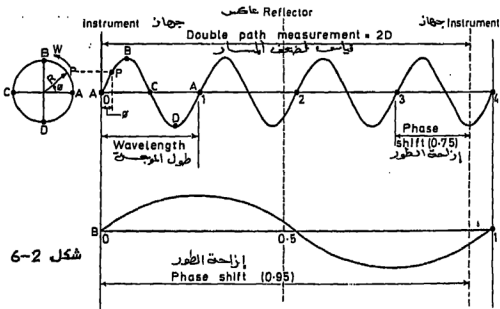
يهتم المهندس عموما بالاجهزة ذات المديات القصيرة فقط والتي تكون سهلة الاستخدام وتعطي المسافات المماثلة المقاسة بشكل رقمي، وهذا هو اهم ناتج اساسي تعطيه هذه الاجهزة وهو عام بالنسبة لكافة الاجهزة المتوفرة واسعة التنوع. وهنالك تحسينات إضافية في بعض الاجهزة كإعطاء المسافات الافقية والشافولية من خلال تحسها لزاوية الميل وتطبيق تصحيحات خاصة على المسافات المائلة.

## 2-2-2 قاعدة القياس

ولو ان هنالك تنوع واسع في الاجهزة المتوفرة، لكن مبدأ التشغيل الاساس هو واحد، حيث تنتقل الموجات الكهرومغناطيسية من الجهاز الى العاكس RETRO REFLECTOR الذي يعيدها فورا الى الجهاز المرسل. فالجهاز يقيس الوقت الذي تستغرقه هذه الموجات في قطع هذا الطريق ذهابا وايابا، ومن ثم يتم استخراج المسافة "المائلة" بين الجهاز والعاكس من المعادلة:

$$D(\text{المسافة}) = V(\text{السرعة}) \times t(\text{الزمن})$$

مع ذلك، ولما كانت سرعة الضوء C (في الفضاء) تساوي  $299.792.5 + 0.4 \text{ KM/S}$  و t هي صغيرة جدا، فبدليها عندما تكون t مساوية  $6 \times 10^{-6}$  ثانية، ولتجزئة D الى مسافات طول الواحدة منها ملليمتر واحد، يتطلب الامر القياس بفترة من الزمن مقدارها  $6 \times 10^{13}$  ثانية، ولجعل ذلك ممكنا يتم لاتباع تقنيّة تسمى "قياس الطور" PHASE-MEASUREMENT التي يتم فيها قياس مقدار اختلاف طور الموجة المنعكسة عن الموجة المرسلّة عندما تستلم ثانية من قبل الجهاز <شكل 2-6>.



يمكن ترجمة اية ظاهرة دورية منتظمة بالتذبذب بين قيم كبيرى وصغرى الى الحركة التوافقية البسيطة SIMPLE HARMONIC MOTION . فبالرجوع الى (الشكل 2-6) ؛ إذا تحركت P فى دائرة بسرعة زاوية منتظمة مقدارها  $\omega$  ، فمتجه نصف القطر R يصنع زاوية طور PHASE ANGLE مع المحور السيني X-AXIS مقدارها  $\phi$  . ونرسم قيم لا حيث  $(y = R \sin \phi)$  مقابل  $\phi$  فى مخطط بياني معطية موجة الجيب SINE WAVE المبينة فى الشكل، فعندما  $(\phi = \pi/2)$  تكون النقطة المرسومة فى B وعندما  $(\phi = \pi)$  تكون النقطة المرسومة فى C وعندما  $(\phi = 1.5\pi)$  تكون النقطة المرسومة فى D وعندما  $(\phi = 2\pi)$  تعود النقطة المرسومة الى موقعها فىم كاملة بذلك طول موجة واحدة  $(\lambda)$ ، والوقت اللازم الذى تستغرقه الموجة لكى تكمل دورة كاملة يسمى "فترة" PERIOD التىذبذبة وتمثل بـ T من الشوان، وهكذا لما كانت R تتحرك بسرعة زاوية منتظمة يمكن استخدام زاوية الطور  $\phi$  لقياس الزمن او اى جزء من الزمن، ويسمى عدد الدورات بالشانية التى بدورها نصف القطر بالتردد FREQUENCY (f) وهذا التردد يرتبط بطول الموجة من خلال المعادلة :

$$v = f\lambda \quad \dots (11-1)$$

حيث ان  $\lambda$  هى طول الموجة بالمتر و f هو تردد الطاقة بالهيرتز و V هى سرعة الطاقة الكهرومغناطيسية بالمتر على الثانية ( M/S ) .

يرمز لسرعة الطاقة الكهرومغناطيسية "فى الفراغ" بـ C كما وان  $(V=C/n)$  حيث ان n هى معامل الانكسار الجوى.

بالرجوع الى (الشكل 2-6) يمكن رؤية أن المسافة المقاسة من الجهاز الى العاكس ثم رجوعا الى الجهاز هي (2D) حيث :

$$2D = N\lambda + \delta\lambda \quad \dots (12-2)$$

حيث ان N هو عدد صحيح من اطوال الموجة  $\lambda$  و  $(\delta\lambda)$  هو جزء من طول الموجة مقداره  $(\lambda/2\pi)$  .

تقوم اجهزة قياس المسافة الالكترومغناطيسية (EDM) بقياس جزء من طول الموجة فقط وهى لا تقيس عدد اطوال الموجات، وهذا يتم الحصول عليه بحت طاقة ذات تردد او "م" وطول موجة اكبر، فمثلا فى (الشكل 2-6) ؛ باستخدام  $\lambda_A$  فلن طول المسار المضاعف هو 3.75 بقدّر طول الموجة، ولكن سيسجل الجهاز - ببساطة - قياس زاوية الطور او لزيادة الطور البالغة 0.75 اى سيسجل الفرق بالطور بين الموجات المرسله والمعكوسة العالجة.

فلذا قيست المسافة الان باستخدام  $\lambda$  والتى هى اربعة اضعاف  $\lambda_A$  فلن الطور يساوى 0.95، وحيث ان العلاقة بين A و B هى معروفة فلن  $(0.95 \times 4 = 3.8)$  وهذا يعطى البعد الكامل من اطوال الموجة ويساوى 3.8 لن طول الموجة الاصغر يعطى دقة قياس اكبر للجزء المتبقى من المسافة،

وهكذا فالمسافة الكلية تساوي:  $3 + 0.75 = 3.75 \lambda$  فيمعرفة قيمة  $\lambda$  بوحدة الطول يتم معرفة المسافة، هذا إذن هو المبدأ الاساس في القياس بالاجهزة الالكترومغناطيسية ويسمى "مقارنة الطور" PHASE COMPARISON ويمكن التعبير عنه من (المعادلة 2-12) كما يلي:

$$D = N(\lambda/2) + \frac{\phi}{2\pi}(\lambda/2) \quad \dots (13-2)$$

من هذا يتضح بأنه يمكن اعتبار  $(\lambda/2)$  بأنه وحدة القياس الاساسية.

يفترض الشرح اعلاه بأن  $\lambda$  هي ثابتة ومعروفة ، ولكن الامر في معظم الاجهزة الالكترومغناطيسية (باستثناء كبيرن ميكرومتر 3000) هو ليس كذلك ، والمعروف هو التردد  $f$  فقط، مع ذلك فله يرتبط بـ  $\lambda$  كما يلي :

يعرف معامل انكسار المجموعة (GROUP REFRACTIVE INDEX) الذي تمر من خلاله حزمة القياس بأنه النسبة بين سرعة الطاقة الالكترومغناطيسية في الفراغ (C) إلى سرعتها في المحيط  $V$  ، أي :  $n_g = C/V$  ولما كانت  $(V = f\lambda)$  ، إذن  $(\lambda = C/f n_g)$  ، وعليه :  $\lambda/2 = C/2f n_g$  ... (14-2)

والتعويض في (المعادلة 2-13) يعطي معادلة قياس المسافة : ... (15-2)

$$D = N \frac{C}{2f n_g} + \frac{\phi}{2\pi 2f n_g} + k$$

حيث ان  $k$  تساوي ثابتي الجهاز والموشور.

فثابت الجهاز هو الفرق بين مركز الجهاز كما هو مرتكز شاقوليا فوق محطة المسح ومركز قياسه الذي يقع في موقع آخر من الجهاز. أما ثابت الموشور فهي المسافة الإضافية التي تقطعها الحزمة داخل الموشور بطريق رجوعها إلى المرسل، وكلا هذين الثابتين يصحان تلقائيا في عملية القياس، مع ذلك، ففي الاعمال الدقيقة او عند استخدام موشور لا معياري NON-STANDARD يتوجب ايجاد قيمة هذين الثابتين مختبريا.

(المعادلة 2-15) توضح اهمية معامل انكسار المجموعة في عملية القياس وهكذا تدعو الحاجة إلى اخذ قراءات بيئية لدرجة الحرارة وللضغط الجوي لأجل تحقيق قياسات مضبوطة للمسافات.

## 2-2-3 استخراج الاطوال بالاجهزة الالكترومغناطيسية

بإمكان اجهزة الـ (EDM) قياس المسافات الماثلة، أي من الجهاز إلى الموشور ، والتي يجب ان تعمل على المسافة الافقية المقابلة لها او ربما إلى مشبكها المساوي لها عند مستوي سطح البحر. أما التصحيحات فهي:

## (1) التأثيرات الجوية

تتأثر سرعة الموجات الالكترومغناطيسية بالظروف الجوية التي تمر من خلالها في عملية القياس . وهكذا من (المعادلة 2-11)؛ عند ثبات التردد  $f$  فإن طول الموجة  $\lambda$  سيتغير طردياً مع  $V$  ، وعليه فإن المسافة المسجلة بالجهاز ستتطلب تصحيحاً ، أي أن :

$$V = C / n_g$$

عملياً ، يستحيل الحصول على معامل انكسار المجموعة  $n_g$  لمحيط (أي جو) مسار حزمة القياس . وعليه يجري تقدير له مجنى على قياسات درجة الحرارة والضغط عند كل من الجهاز والموشور (أما الرطوبة فهي ليست معنوية في حالة أجهزة الموجات الضوئية) . بعد ذلك ، يؤخذ التصحيح بأجزاء من المليون (PPM) PARTS PER MILLION من المسافة المقاسة من مخطط جباتي يكون مرفق بالجهاز ، ويمكن ان يتم التصحيح الجوي في بعض الحالات داخل الجهاز فتصح الاطوال المقاسة من قبل الجهاز تلقائياً ،

## (2) تصحيح الميل

بالنسبة لاطوال المتضمنة في الاعمال الهندسية عموماً ، يجري تحويل الطول المائل المصحح عن التأثيرات الجوية إلى الطول الأفقي بطريقة فيثاغورس او بواسطة جيب تمام الزاوية الشاقولية ، ولأجل الحصول على درجة ضبط عالية يجب تصحيح زاوية الارتفاع عن تأثيرات تعدب الارض والانكسار - راجع (الفقرة 2-8) ،

في بعض الحالات تقوم الأجهزة بتصحيح زاوية الارتفاع وتعطي المسافات الأفقية والشاقولية تلقائياً ، ولو ان الزاوية الشاقولية لا تصحح دائماً عن تعدب الارض ومن الانكسار ، ولكن عندما يتطلب الامر اتخاذ أعلى درجات الضبط فيجب أخذ هذه الحقائق بنظر الاعتبار ،

## (3) تصحيح الارتفاع

عندما يعمل مستوي إرسناد واحد لأعمال المسح كمتوسط مستوي سطح البحر او متوسط مستوي سطح الموقع فيطبق تصحيح الارتفاع (معادلة 2-10) كما في (الفقرة 2-3) ،

## (4) معامل المقياس المحلي (LSF) LOCAL SCALE FACTOR

في حالة ربط المسوحات بالمشبك الوطني، يجب ضرب الأطوال الأفقية عند متوسط مستوي سطح البحر بمعامل المقياس المحلي - راجع (الفقرة 2-14) ،

إن التصحيحات المذكورة أعلاه عموماً هي كل ما تتطلبه أغلبية الأطوال الداخلية في أعمال المسوحات الهندسية ، أما بالنسبة للأطوال التي تزيد على 10 كم فيمكن أن يستدعي الأمر إتباع الطريقة التالية؛

## (5) تصحيح الوتر/القيوس

لما كانت المسافة تقاس (شكل 2-7) بخط طويل واحد  $D$  ، فالتحويل إلى متوسط مستوي سطح البحر يعطي المسافة

الوترية K والتي من ثم يجب ان تحول الى ما يعادلها  
من المسافة الكروية S. فباستخدام قانون جيب التمام  
للمثلث (ABE) :

$$\cos \phi = \frac{(R + H_2)^2 + (R + H_1)^2 - D^2}{2(R + H_2)(R + H_1)}$$

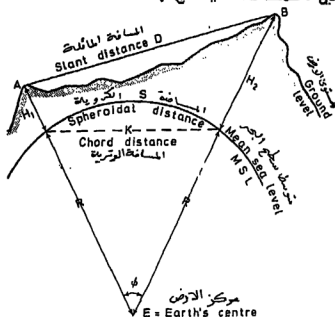
$$\cos \phi = 1 - 2 \sin^2(\phi/2), \quad \sin(\phi/2) = K/2R$$

ولكن :

$$\therefore 1 - \left(\frac{K^2}{2R^2}\right) = \frac{(R + H_2)^2 + (R + H_1)^2 - D^2}{2(R + H_2)(R + H_1)}$$

$$K = R \left[ \frac{\{D - (H_2 - H_1)\} \{D + (H_2 - H_1)\}}{(R + H_1)(R + H_2)} \right]^{1/2} \quad \text{والتي منها :}$$

فلذا تم تعويض h - والتي تمثل الفرق بالمنسوب  $(H_2 - H_1)$   
بين A و B - في المعادلة ينتج :



شكل 7-2

$$K = \left[ \frac{(D - h)(D + h)}{\left(1 + \left[\frac{H_1}{R}\right]\right)\left(1 + \left[\frac{H_2}{R}\right]\right)} \right]^{1/2}$$

<16-2>...

$$\sin^{-1} \theta = \theta + \frac{\theta^3}{3!} + \frac{9\theta^5}{5!}$$

والان :

$$\frac{\phi}{2} = \frac{S}{2R} = \sin^{-1} \frac{K}{2R}$$

ثم :

$$\sin^{-1} \left(\frac{K}{2R}\right) = \frac{K}{2R} + \frac{K^3}{8R^3 \times 3!} + \frac{9K^5}{32R^5 \times 5!} \quad (\text{لزاوية صغيرة من } \phi)$$

$$\therefore \frac{S}{2R} = \frac{K}{2R} + \frac{K^3}{48R^3} + \frac{K^5}{3840R^5}$$

$$\therefore S = K + \left(\frac{K^3}{24R^2}\right) \quad \text{..<17-2> (حيث ان باقي الحدود قد أهملت)}$$

ويمكن جعل (المعادلة 2-17) أكثر تطوراً ، بأخذ بنظر الاعتبار حقيقة أن الموجات الالكترومغناطيسية تنتقل بمسار منحنى بنصف قطر أكبر من نصف قطر الكرة الأرضية، فقد ارتوى بأن يكون نصف قطر مسار موجات المذيع الذي يجب أن يستخدم في المعادلة (4R/3) معطياً :

$$S = K + \left( \frac{K^3}{43R^2} \right) \quad \dots (18-2)$$

$$S = K + \left( \frac{K^3}{38R^2} \right) \quad \dots (19-2)$$

وللموجات الضوئية :

يعتمد الرقم 38 للموجات الضوئية على معامل الانكسار في وقت القياس - انظر (الفقرة 2-3-8). وتكون تصحيحات الوتر/القوس للخطوط التي يقل طولها عن عشر كيلومترات اقل من ميللتر واحد. ويمكن ان يتم التحويل اعلاه ايضاً ، كما يلي :

(A) حول D الى المسافة الافقية D<sub>1</sub> باستخدام نظرية فيثاغورس.  
(B) حول D<sub>1</sub> الى K عند متوسط مستوي سطح البحر باستخدام (المعادلة 2-10) حيث :

$$H = \frac{H_1 + H_2}{2}$$

وهذا هو الان طول الوتر K.  
(C) اضيف تصحيح الوتر/القطر الى K ، اي (K<sup>3</sup>/24R<sup>2</sup>) ، والذي يتم تطويره عن الانحناء حسبما هو ضروري معطياً S.

## 2-2-4 مصادر الخطأ

يمكن تقسيم مصادر الخطأ في قياس المسافة الالكترومغناطيسية الى ثلاثة اصناف رئيسية، وهي :

- (1) اخطاء المقعر ZERO ERRORS : او الاخطاء التي لاتعتمد على المسافة المقاسة.
- (2) الاخطاء الدورية CYCLIC ERRORS : او الاخطاء التي تتغير بشكل دوري مع المسافة المقاسة.
- (3) اخطاء المقياس SCALE ERRORS : او الاخطاء التي تتناسب مع المسافة المقاسة.

وهذه بدورها يمكن تقسيمها الى اخطاء ذات علاقة بالجهاز واخرى ليست ذات علاقة بالجهاز.

يشير تمحيي معادلة القياس الاساسية 2-15 الى ان مصادر الخطأ الاساسية هي :

- (A) تردد الموجة MODULATION FREQUENCY (f)
- (B) معامل انكسار المجموعة GROUP REFRACTIVE INDEX (n<sub>g</sub>)
- (C) قياس زاوية الطور MEASUREMENT OF PHASE ANGLE (θ)
- (D) ثابت الجمع ADDITIVE CONSTANT (k)

حيث ان (A) و (B) تولفان المصدرين الرئيسيين لاختلاف المقاييس التي لها علاقة بالجهاز والتي ليست لها علاقة بالجهاز على التوالي ، أما (C) فهي المصدر الرئيس للخطأ الدوري الذي له علاقة بالجهاز و (D) هي السبب الرئيس للخطأ المفرد.

هناك مصادر أخرى للخطأ والتي تؤثر على درجة ضبط القياس النهائية ، وهذه تشمل أخطاء تمرکز الجهاز وأخطاء التسديد وأخطاء في المعلومات الحلقية الإضافية اللازمة لتحويل الطول المائل للمقاس إلى طوله الأفقي النهائي على الخارطة .  
وغالبا ما يكتب الخطأ المعياري ( $\sigma$ ) للمسافة المقاسة D بجهاز الكرومغناطيسي كالتالي:

$$\pm \sigma_D = \pm [A^2 + B^2]^{\frac{1}{2}}$$

حيث ان A يساوي خطأ المفرد للجهاز  
و B يساوي الخطأ المتناسب للجهاز باجزاء من المليون من المسافة المقاسة.

ومعدل القيمة لمعظم أجهزة الـ (EDM) ذات المدييات القصيرة هو ( $\pm 5 \text{ MM} + 5 \text{ PPM}$ ) ، مع ذلك ، إذا أراد تحويل المسافة المائلة إلى أفقية على المشبك الوطني مثلا ، فقيمة الخطأ المعياري الأصح ستكون:

$$\pm \sigma_D = \pm [A^2 + B^2 + E^2 + F^2 + G^2]^{\frac{1}{2}}$$

حيث ان E هي الأخطاء بسبب التحويل من الوضع المائل  
F هو الخطأ بسبب التحويل إلى متوسط مستوي سطح البحر  
G هو الخطأ بسبب التحويل إلى المشبك الوطني بتطبيق معامل المقياس المحلي (LSF).

وهكذا فمن الضروري اختبار كافة مصادر الخطأ ، ليس فقط للاستخدام الأمثل للجهاز فحسب ، وإنما للوزن الصحيح لعملية تعديل الشبكات،

## 1-4-2-2 التردد الموجي (f) MODULATION FREQUENC

فكما أشير إليه سابقا ، بأن التردد f يتناسب طرديا مع طول الموجة  $\lambda$ ، وهكذا فالخطأ في التردد الموجي يؤدي إلى خطأ يتناسب معه بالمسافة المقاسة. ويتم تعيين التردد الموجي بواسطة متذبذب من بلورات الكوارتز الذي يضمن بقاء التردد مستقرا ضمن حدود المقدار ( $\pm 5 \text{ PPM}$ ) على مدى درجة حرارة تشغيلية من ( $-20^\circ \text{C}$ ) إلى ( $+50^\circ \text{C}$ ). ولو، يمكن أن يتغير التردد الموجي عن متوسط قيمته بسبب التضييق العملي غير الصحيح وبسبب قدم البلورات وعدم استقرار درجة الحرارة، فالتضييق العملي للتردد يجب أن يكون ضمن المدى ( $\pm 1 \times 10^{-6}$ ) من متوسط قيمته، كما

وإن قدم البلورات بسبب اخطاء بالتردد بحدود  $(1 \times 10^{-6})$  لكل سنة تتناقص تدريجيا، وبمرور الزمن (هودج 1975)، ولما كان لمعظم الاجهزة بلوزات تعمل بدرجة حرارة الجو فإن هذه الاجهزة تدعى عدم وجود تأثير بسبب ارتفاع درجة الحرارة، مع ذلك، فقد بينت القحوصات (هودج 1975) بأنه يجب ان يسمح بفترة للتسخين إذا اريد عدم حدوث اخطاء في الاعمال الدقيقة.

الطريقة المقترحة لايجاد معامل المقياس (SF) لجهاز ما هي بقياس التردد الموجي مباشرة باستخدام عداد الكتروني للتردد يستقبل لإحدى الترددات المعيارية مثل درواتويج DROITWICH (إشارة الاستدعاء (MSF)) بتردد 200 كيلوهرتز والتي تثبت بشكل مستمر.

الحالة البديلة هي مقارنة الجهاز بأخر ذي تردد موجي يعرف بأنه مضبوط، والطريقة هي بقياس خطي قاعدة أحدهما طويل والآخر قصير (كـ 1.5 كم و 100 م) بكلا الجهازين وبنفس الوقت، فالفرق بالطول المقياس للخط القصير يعين الفرق في ثابت المسفر لكلا الجهازين، ويتم تصحيح الخطوط الطويلة بموجب ذلك، فأي فرق متبقى سينسب إلى التردد الموجي، ويجب اتخاذ الحيلة لجعل ارتفاعات الاجهزة متساوية، وهكذا يتم تكرار العملية عددا من المرات لضمان الحصول على قيمة وسطيّة دقيقة. ولما كانت التأثيرات على القياسات مشتركة لكلا الجهازين فإنه من غير الضروري أخذها بنظر الاعتبار، أما تصحيح خطأ التردد فهو:

$$= \frac{(\text{التردد الفعلي}) - (\text{التردد الاسمي})}{(\text{التردد الاسمي})} \times 10 \text{ PPM} \quad (9-2) <$$

فلذا حدث شك بأن هنالك اخطاء تردد في الجهاز، يجب إعادته إلى المصنع للتعديل.

## 2-2-4-2 معامل الانكسار (n<sub>g</sub>) REFRACTIVE INDEX

يعبر عن النسبة بين سرعة الضوء "في الفراغ" وسرعته في الجو بمعامل الانكسار الجوي n، وهذه القيمة هي ثابتة تعتمد أساسا على درجة الحرارة في الجو وعلى الضغط الجوي، وغالبا ما يعبر عنها بالمقدار  $(1 + 10^{-6}N)$ .

إنه لمن سوء الحظان تعتمد الاجهزة المختلفة قيمًا مختلفة لـ N، فمثلا، يؤدي التردد الموجي المختار لجهاز التلروميتر (CD6) إلى قياس مباشر صحيح للمسافة عندما N تساوي 274 أي  $(N = 1.000274)$  وهذه القيمة هي للظروف الطبيعية عند متوسط مستوى سطح البحر في بلدان المنطقة المعتدلة لضغط جوي مقداره 1013 مليبار (mb) ودرجة حرارة جو مقداره  $(20^\circ\text{C})$ . مع ذلك ففي جهاز ويلد (DI10) تستخدم القيمة 282 لـ N، وتكون كذا اعتبارات مهمة عند كتابة برنامج كومبيوتر لاستخراج المسافة الكرومغناطيسيا، وايضا عند استخدام المخططات

البيانية المرفقة مع الأجهزة، فمثلا يكون تصحيح المخطط البياني لجهاز الـ (DI10) تحت ضغط جوي مقداره 760 ملم زئبق ودرجة حرارة (20°C) مقداره (+8mm) بينما يكون تصحيح جهاز الـ (CD6) صفرا. وهكذا ، لا يمكن تعميم استخدام المخططات البيانية المرفقة مع الأجهزة.

يعطى معامل الانكسار في الجو الخالي من الرطوبة عند درجة حرارة وضغط معياريين، أي (0°C) و (760 Hg) من معادلة العالمين باريل وسيرز (1939) والتي استخدمت من قبل جمعية الجيودوسي العالمية (IAG) سنة 1963، وبخاصة القول هو ان المعادلة تستخدم للمدبات المرئية فقط ، وهي لا تصحح عن تأثيرات الانتشار DISPERSION.

فعندما ( $\lambda = 0.90 \mu m$ ) تكون ( $n_g = 1.0002937$ ) بينما  
عندما ( $\lambda = 0.93 \mu m$ ) تكون ( $n_g = 1.0002933$ )

يتناسب معامل الانكسار في الجو الجاف طرديا مع الضغط البارومتري وعكسيا مع درجة الحرارة المطلقة. أما تأثير بخار الماء على أجهزة الموجات فوقية فيجمل عموما ، ومن المصادر الثلاثة المحتملة للخطأ؛ فلن لدرجة الحرارة التأثير الأكبر، فزيادة في ( $n_g$ ) مقدارها جزء واحد من المليون مثلا وبالتالي تغيير في المسافة المقاسة مقداره جزء واحد من المليون ينتج عن تغيير مقدار ( $-1^\circ C$ ) في درجة الحرارة و (+3.4mb). بالضغط الجوي و (-26mb) بضغط بخار الماء (هودجس 1980).

تؤخذ التصحيحات الجوية عموما من مخططات بيانية أو جداول أو مساطر منزلة SLIDE RULES خاصة بمعامل الانكسار، مع ذلك إذا طلب درجة عالية من الضبط يجب احتساب التصحيح ابتداء بالمبادئ الأولية، اعتاديا ، يذكر المصنعون المعادلة المستخدمة في إنشاء المخطط البياني والتي هي أصلا معادلة تقريبية مستندة إلى متوسط قيمة الرطوبة. فلقد اثبت (كارل 1975) بأن استخدام معادلة أو مخطط بياني يعطي خطأ مقداره 0.7 جزء من المليون بالمقارنة مع الحسابات المبتدئة بالمبادئ الأولية. هذه الحقيقة هي أيضا معنوية في تلك الأجهزة التي تسمح باختيار معامل الانكسار من على لوحة مثبتة على الجهاز.

لقد اثير في اعلاه إلى اهمية التصحيح عن العوامل الجوية، وهو بوضوح يعتمد على درجة الضبط التي يمكن الحصول عليها لدرجة الحرارة والضغط على امتداد خط القياس، فيقتضى عموما بأن متوسط قراءات القياسات المأخوذة عند كل من الجهاز والعاكس تمثل متوسط ظروف القياس على امتداد مسار الموجة. ويشير (هودجس 1975) إلى ان الخطأ باستخدام الفرضية اعلاه على امتداد خط اختبار طوله 3كم كان (2°C) و (-2mmHg) ، كذلك يمكن التعبير المختبري للبارومترات بأن هناك خطأ إضافي مقداره (-4mmHg) منتجاً خطأ مركبا مقداره 12ملم لـ 3كم.

وهكذا إذا أريد إبقاء هذا الخطأ بأقل قيمة فإنه يجب تمهيد المحارير والبارومترات المستخدمة باعتناء قبل وبعد القياس. في الوقت الحاضر لا يوجد حل سهل لهذه المسألة المصيبة المتمثلة في تقدير الظروف التي يتم بها القياس على امتداد المسار، الفعلي لخطوط القياس، وعليه ففي حالة الرغبة بتقليل الخطأ الناتج عن هذا المصدر فإنه يجب اتباع الخطوات التالية:

- (A) يجب أخذ درجة الحرارة والضغط عند كل من نهايتي الخط المقاس.
- (B) يجب أخذ القياس في A اعلاه B اعلى ارتفاع ممكن (3م في الأقل فوق الأرض) لتعاشي تأثيرات الإشعاع الأرضي، ولكي تعكس ظروف قياس وسط الخط بشكل صحيح.
- (C) يجب توافق القياسات اعلاه مع قياسات المسافة بالأجهزة الإلكترونية ومغناطيسية.
- (D) يجب أخذ القراءات البيئية لوسط الخط إن أمكن.
- (E) يجب أن تكون المحارير والبارومترات من أحسن الأنواع وأن تكون معيرة باعتناء إزاء معيار معتمد قبل وبعد الاستخدام.
- (F) يجب تجنب الخطوط الملامسة للأرض.

هنالك تأثير آخر للانكسار وهو تأثير إنحناء حزمة القياس، وهذا يهمل في مسوحات الأعمال الهندسية - حوالي 3 ملم في 20 كم (هودجز 1980) - وسوف لن يؤخذ بنظر الاعتبار مستقبلاً.

## 2-2-4-3 خطأ قياس الطور (θ)

فكما سبق ذكره ، إن قياس الفرق بالطور بين الموجات المرسلية والمستلمة يمكن من تعيين الجزء من طول الموجة، وهكذا فالأخطاء في قياس فرق الطور سوف تعطى أخطاء بالمسافة المقاسة. وتكون أخطاء الطور دورية CYCLIC وهي لا تتناسب مع المسافة المقاسة ، ويمكن أن تعتمد على الجهاز أو لا تعتمد عليه.

إن سبب أخطاء الطور التي لا تعتمد على الجهاز هي إشارات زائفة من اجسام عاكسة مضاءة بحزمة قياس، وعادة تكون الإشارة المرجعة بالعاكس قوية بحيث تتطلب تماماً على هذه الاجسام العاكسة الزائفة. مع ذلك يجب أخذ الحيلة والحذر عند استخدام عاكسات العربات أو الضوء المسلط في أعمال المدييات القصيرة.

إن السبب الرئيس لخطأ الطور هو الجهاز ، وينتج الخطأ عادة عن مصدرين محتملين اثنين ، ففي الحالة الأولى عندما ينعرف متحس الطور عن الاستقامة LINEARITY ضمن قيمة طور معينة، فالخطأ الناتج سيتكرر كلما وردت المسافة في ذلك الطور. وباستثناء القصور في العمل ، فإن شاشة الطور درجة ضبط معتمدة، وعليه فإن أكبر خطأ من هذا المصدر يجب أن لا يزيد على ملليمترين أو ثلاثة. أما مصدر الخطأ الأهم (الأكثر معنوية) للطور

فهو ينشأ عن الكلام السلبي العرضي أو عن ازدواج زائف بين قناتي الإرسال والاستلام ، وهذا يؤدي إلى خطأ يتغير بموجب معادلة الجيوب SINUSOIDALLY مع المسافة ويتناسب عكسيا مع قوة الإشارة.

يمكن إيجاد الأخطاء الدورية في قياس الطور من خلال مشاهدات لسلسلة من المواقف الموزعة على طول موجة كاملة، ففضيب أو (سكة) مقسم بدقة إلى أجزاء طولها 10م سوف يغطي متطلبات أغلب الأجهزة ذات المديات القصيرة ، ووجود مايكرومتر على الفضيب قادر على إزاحات مضبوطة جدا للماكس (بحدود  $\pm 0.1$ ) ملم على مدى 20سم) سوف يمكن من فحص أي جزء من منحنى الخطأ بلعمان أكثر.

يجب أن يكون منحنى الخطأ - المرسوم كدالة للمسافة - مناسباً لكل من طرفي الإشارة القوية والضعيفة جداً ، ومن ثم يمكن استخدامه لتطبيق التصحيحات على المسافة المقاسة. فالخطأ لمعظم الأجهزة ذات المديات القصيرة سوف لن يزيد على  $\pm 5$  ملمتر.

#### 2-2-4 ثابت الجمع ADDITIVE CONSTNAT (k)

إن ثابت الجمع يساوي لإزاحة المركز البصري عن المركز الفيزيائي لكل من الجهاز والموشور. ويتكون خطأ الصفر من متغيرات في ثابت الجمع وهو لا يتناسب مع المسافة. كما وأن درجة الضبط التي يدهيها أي جهاز إلكتروني (EDM) لا يمكن أن تكون أفضل من تلك درجة الضبط التي يعرف بها ثابت الجمع. إن مصادر خطأ الصفر التي لا يكون الجهاز سبباً لها هي تركز الجهاز والعاكس فوق محطات المسح ثم التوجيه غير الصحيح للجهاز. فلذا تم التمرکز بحذر وجرى التحقق منه من خلال عملية القياس لتجنب الإزاحة DRIFT الناتجة عن هطول الركيزة فلن هذا الخطأ العشوائي يجب أن لا يزيد على  $\pm 1$  ملم، أما خطأ التوجيه فينتج عن انفراج حزمة القياس الذي يؤدي إلى أن يكون قطر الحزمة أكبر من العاكس ، وكنتيجه لذلك فلن العاكس سيستلم جزءاً من الطاقة المرسله فقط وهذا الجزء المعين من الطاقة يعتمد على توجيه الجهاز ومن خواص الصمام المشع للضوء هو لإحداث تأخر قليل بالرغم من بين الشعاعات المنبعثة من مناطق مختلفة من حزمة القياس ، وعليه فلن ثابت الجمع سيعتمد ، إلى حد ما - على الاستقامة المضبوطة للجهاز نسبة إلى العاكس ، أكثر الاحتمال هو أن هذا الخطأ يحدث على مسافات تقل عن 50 م ، ولا يمكن استخدام المنظار في التوجيه ما دامت نقطة التوجيه البصرية لاتنطبق مع أعلن إشارة عاكدة ، فمع ذلك وطالما يجب تنقيش الإشارة لمنع التحميل الإضافي فإنه يمكن التوجيه باستخدام مقياس عارض الإشارة SIGNAL MONITOR METER.

إن أخطاء الأجهزة ذات العلاقة بالتمركز والتوجيه هي عبارة عن اختلاف ميكانيكي للاستقامة واختلاف في استقامة المنظار. فسبب الاختلاف الميكانيكي بالاستقامة

هو ان الجهاز لا يدور حول محور شاقولي صحيح عندما يكون موزونا بشكل صحيح ، واختلاف استقامة المنظار بالطبع تسبب اخطاء في التوجيه ومن ثم في المعر لاسباب سبق ذكرها .

بالاضافة للاخطاء النظامية المذكورة بالتفصيل سابقا فلن هنالك اخطاء عشوائية موزعة طبيعيا سببها حدوث مواءمات كهربائية في المنظومة، وحيث ان هذا الخطأ يتناسب عكسيا مع قوة الإشارة فلن الخطأ سيكون صغيرا في الاشارات القوية، ويمكن ان يكون جدا معنويا في الاشارات الضعيفة. ويمكن تقليل هذا الخطأ باستخدام اكبر عدد من الماكسات لتقوية الإشارة حيثما يكون ذلك ضروريا، و يأخذ معدل القراءات  $n$  وبذلك تقليل للخطأ بنسبة  $(1/n)$ .

واخيرا يمكن ان ينشأ خطأ بحدود بضعة ملليمترات في الاشارات القوية جدا. ولمعظم الاجهزة وسائل لتقليل الفتحة البصرية APERTURE لتجنب هذا المصدر من الخطأ.

يمكن ايجاد ثابت الجمع باستخدام ثلاث نقاط A و B و C على استقامة واحدة وقياس المسافات (AB) و (BC) و (AC)، فإذا كان D هو الطول المقاس و L هو الطول الحقيقي، عليه :

$$D_{AB} = L_{AB} + k$$

$$D_{BC} = L_{BC} + k$$

$$D_{AC} = L_{AB} + L_{BC} + k$$

والتي عند الحل تعطى:

$$D_{AB} + D_{BC} - D_{AC} = k$$

...<22-2>

ويتم الحصول على دقة اكبر بقياس مقاطع متعددة اكثر ؛  $(d_1, d_2, \dots, d_n)$  والطول الكلي D معطيا :

$$k = D - \sum_{i=1}^n d_i / (n-1) \quad \dots<23-2>$$

وهناك طريقة اكثر مطلوبة وهي بقياس كافة تركيبات الاموال (سكوبندر 1972) ثم التعديل بطريقة المربعات الصغرى للحصول على القيم الاكثر اجتماعا لـ  $(k)$ .

ويجب تعيين ثابت الجمع دائما لجهاز قياس وعكس مترافقين.

## 2-4-5 قياس زوايا الارتفاع

لن الاخطاء المذكورة اعلاه تخفي الطول المائل للخط، ولكن لما كانت المسافة الافقية هي المسافة المطلوبة في النهاية، لذا يجب معرفة الاخطاء الناجمة في عملية تحويل الطول من مائل الى افقي.

لن اكثر احتمال لطرق التحويل الى الحالة الافقية هو من خلال زاوية الارتفاع  $(\theta)$  ، ويكون التصحيح الملائم  $(\delta)$  مساويا  $(L - L \cos \theta)$  حيث ان L هو الطول المائل المصحح. فمن هذه المعادلة :

$$\delta c / \delta \theta = L \sin \theta$$

$$\delta \theta'' = \delta c \times 206265 / L \sin \theta$$

... &lt;24-2&gt;

فـلـمـ (L=1000M) وـ (θ=5°45') وـ (δc=1 MM) تكون (δθ=2.06'')، التي تعني بانه تحت ظروف معينة يتطلب الامر قياس زوايا الارتفاع باعتبارها عام، وبذلك يكون استخدام منوارة تقرا ثانية واحدة ضروريا، وإذا بقبل خطأ معياري مقدارها (±4.5'') التي (±6'') في زاوية الارتفاع لرصد على الوجهين DOUBLE FACE OBSERVATION يكون من الضروري اخذ رصدتين على الوجهين في الأقل، وهناك امثلة إضافية تفرض نفس المسافة المقاسة لـ (θ=1°) وـ (δθ=11.8'') ولـ (θ=20°) وـ (δθ=0.6'')، فقياس زوايا الارتفاع هو إذن خرج جدا ويجب اخذ كافة مصادر الخطأ بنظر الاعتبار ضمنها التصحيحات عن تحدب الارض وعن الانكسار- راجع الفقرة 2-8-3.

فلذا تم تحويل المسافة من مائلة الى افقية باستخدام فرق الارتفاع (h) لمصدر القياس، فلن اول حد من التصحيح يمكن ان يستخدم لتحليل مماثل، أي :

$$c = h^2 / 2L$$

$$\delta c / \delta h = h / L$$

... &lt;25-2&gt;

وهكذا، فبالنسبة لـ (L=1000 M)، لن ما يقابل (θ=5°45') هو (h=100M) وما يقابل (δc=1MM) هو (δh=10MM) كالتالي. وكان بالامكان الحصول على هذه الدرجة من الضبط بالنسبة الاعتيادية، وكامثلة إضافية، هي لـ (h=1M) وـ (δh=1MM) ثم لـ (h=10M) وـ (δh=0.1M) مما يشير الى زيادة مباشرة في الدقة بازدياد الارتفاع. وهكذا يمكن رؤية ان الحصول على فروقات الارتفاع ليس هو حرجا كالحصول على زوايا الارتفاع، لن ما يجب ملاحظته هو : في الوقت الذي تستخدم فيه (h²/2L) في تحليل الخطأ، فلانه يجب استخدام قاعدة فيثاغورس لتحويل الطول المائل الى افقي.

يمكن تصنيف الأخطاء في قياس زاوية الارتفاع على انها إما ان تكون بسبب الجهاز او ان لا تكون بسبب الجهاز، فالأخطاء التي سببها الجهاز هي موثقة بشكل جيد وقد تمت تغطيتها في الجزء الاول (سكوفيلد - شمان 1986)، أما السبب الرئيس للأخطاء التي لا يكون الجهاز سببا لها فهو صعوبة تقدير تأثير الانكسار على الزاوية المقاسة، يكون تأثير أخطاء التوسيط مهما، فخطأ التمرکز المركب للجهاز والهدف الذي مقدارها (±50MM) يعطي خطأ مقدارها (±1'') في زاوية الارتفاع مقدارها (5°) لمسافة طولها 1000 متر (كزل 1975). وبنفس الطريقة، ففي قياس الزوايا المتبادلة يكون قياس ارتفاع كل من الجهاز والهدف ضروريا لاجل الحصول على التبادل الحقيقي، وخطأ مقدارها (±5MM) في أي من هذين الارتفاعين سينتج خطأ مقدارها (±1'') تحت الظروف المذكورة اعلاه.

بسبب صعوبة الحصول على نموذج حقيقي للظروف الجوية

التي يمر من خلالها خط النظر فلننه بشكل فيما إذا بهم  
تحقيق درجة الضغط العالية المطلوبة لزوايا الارتفاع  
وعليه يكون من المعقول ان يفترض بأن درجة الضغط  
ستتخفف في تحويل المسافة المائلة المقاسة الى المسافة  
الافقية. وهذا الانخفاض بدرجة الضغط سوف يقل كثيرا إذا  
استخدمت المناسيب بدلا من زوايا الارتفاع. هذا ، ولما  
كان استخدام زوايا الارتفاع اسرع واسهل واكثر  
اقتصادا ، لذا يجب اتخاذ أقصى الحذر في قياساتها،  
و يجب قياس الزوايا الاتية المتبادلة ايضا كان ذلك  
ممكنا. ومما يجب اخذه بنظر الاعتبار هو ان الاجهزة  
التي تعطى المسافات الافقية من المسافات المائلة  
تلقاها إنما تفعل هذا باستخدام زوايا الارتفاع  
التي لم تصمم عن الانكسار بتاتا او التي تصمم عن  
الانكسار باستخدام قيمة معيارية لمعامل الانكسار والتي  
قد تختلف كثيرا. عن القيمة الفعلية وقت القياس.

## 2-2-4-6 التحويل الى مستوي إسقاط المشبك الوطني

هنالك عدد من الشبكات الهندسية التي ترتبط  
بالمشبك الوطني لمصلحة المساحة-ORDINANCE SURVEY  
IONAL GRID ، وتتضمن عملية الربط هذه تحويل الأطوال  
الافقية للشبكة الى متوسط مستوي سطح البحر (MSL) ومن ثم  
الى مستوي الإسقاط باستخدام معامل مقياس محلي (LSF)  
LOCAL SCALE FACTOR. ويتم التحويل الى (MSL) باستخدام:

$$C_M = \frac{LH}{R} \quad \dots (10-2)$$

حيث أن:  $C_M$  هو تصحيح الارتفاع  
و  $H$  هو متوسط ارتفاع الخط فوق (MSL) او ارتفاع  
محطة القياس فوق (MSL).  
و  $R$  هو متوسط نصف قطر الكرة الأرضية ويساوي  
 $6.38 \times 10^6$  متر.

ولإجراء التفاضل على <المعادلة 10-2> يعطى :

$$\delta C = L \delta H / R \quad \dots (26-2)$$

ولـ ( $L=1000M$ ) و ( $\delta C=\pm 1MM$ ) يكون ( $\delta H=\pm 6.38M$ ). فحيث أن  
رواقم التسوية التقليدية لمساحة المساحة مضمونة  
بحدود ( $\pm 10MM$ ) ، وحيث أن عملية التسوية هي ذات درجة  
ضبط أكثر مما تقارن بهذه . فإن الانسداد التي تنجم عن  
هذا المصدر يمكن أن تهمل.

يؤدي تحويل المسافة الافقية الى متوسط سطح  
البحر الى إعطاء المسافة الوترية-CHORD DISTANCE وليس  
القوس او المسافة الكروية. مع ذلك فإن تصحيح الوتر/  
القوس يكون مهملا لمسافات تقل عن العشرة كيلومترات  
وعليه فسوف لن يبحث فيه أكثر من هذا .

لأجل تحويل المسافات الكروية الى مسافات تشبيكية،  
من الضروري احتساب معامل المقياس المحلي وضرب

المسافة الكروية به. إن معامل المقياس المحلي يتغير من نقطة إلى أخرى ، وفي أسوأ الأحوال عندما يتغير من أحد اضلاع 10 كم مربعة إلى الضلع الآخر بمقدار 6 أجزاء من 100 000 تقريبا (مملحة المساحة البريطانية 1950) ، وهكذا يكون الخطأ في وسط المربع مساويا 1 إلى 30 000 تقريبا .

للبحث في تفاصيل معاملات المقياس واستخراجها وتطبيقاتها ، راجع (الفقرة 2-14).

سوف تستخدم الآن المعادلة التقريبية التالية لمعاملات المقياس لتحليل الخطأ ، أي :

$$F = F_0 \{1 + (E_m^2/2R^2)\} \quad \dots (27-2)$$

حيث أن  $E_m$  هي تشريق المشبك الوطني لنقطة وسط الخط ناقصا 4 000 000 متر.

$F_0$  هو معامل المقياس عند خط الزوال الوسطي ويساوي 0.999 601 27.

$R$  هو متوسط نصف قطر الكرة الأرضية ويساوي  $6.38 \times 10^6$  متر.

وهكذا يكون تصحيح معامل المقياس  $C$  :

$$C = LF_0 \{1 + (E_m^2/2R^2)\} - L \quad \text{ثم :}$$

$$\delta C/\delta E_m = LF_0(E_m/R^2) \quad \dots (28-2)$$

وهكذا لـ ( $L=1000M$ ) و ( $\delta C=\pm 1MM$ ) و ( $E_m=120KM$ ) تكون ( $\delta E_m=\pm 333M$ ) . وهكذا تكون درجة ضبط تقدير الموقع على المشبك الوطني (NG) ليست حرجة.

وبإجراء التفاضل الآن نسبة إلى  $R$  :

$$\delta C/\delta R = LF_0 E_m^2/R^3 \quad \dots (29-2)$$

ولنفس المعاليم اعلاه تكون ( $\delta R=\pm 18 KM$ ) . أما قيمة  $R$  البالغة  $6.38 \times 10^6$  متر فهي القيمة الوسطية لكامل الكرة الأرضية وهي مضبوطة إلى حد 10 كم تقريبا بين خطي العرض  $30^\circ$  و  $60^\circ$  ، بينما تكون قيمة  $R$  البالغة 6362 كم هي أكثر واقعية تحت خط عرض  $30^\circ$ .

وعليه إذن يمكن رؤية أن التحويل إلى متوسط مستوي سطح البحر (MSL) ومن ثم إلى مستوي المشبك الوطني سوف يكون له تأثيرا مهما على المسافة الأفقية النهائية.

## 2-4-7 أخطاء التمرکز (الازاحة)

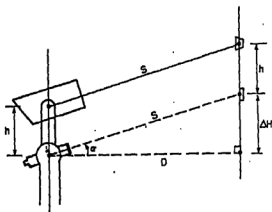
يمكن أن تنشأ هذه الأخطاء من الكيفية التي يوضع فيها جهاز قياس المسافة الالكترومغناطيسي على المزواة ومن نوع المؤشور المستخدم.

(1) خذ جهاز قياس مسافة الكترومغناطيسي مركب على



(3) عادة ، تستخدم اجهزة الـ(EDM) المركبة على اجهزة المزواة مع عاكسات غير متحركة <شكل 2-10>، فكما اشير اليه سابقا ، لا يوجد خطأ لزاوية لان مركز القياس في وحدة الـ(EDM) ينطبق على محور المييل، أما إذا استخدم مع عاكس متحرك فسيكون هنالك خطأ لزاوية  $(e = h \tan \alpha)$  على المسافات المائلة كما في المثال السابق، مع ذلك، وحيث ان في هذه الحالة الان، الموشور هو متحرك فلن المسافة المائلة ستكون اصغر مما يجب عندما تكون  $\alpha$  موجبة والعكس صحيح.

(4) إذا استخدم جهاز (EDM) محمول على منظار مع عاكس مركزه هو نفس مركز الهدف <شكل 2-11> فسينتج عن ذلك خطأ لزاوية ، لان زاوية الارتفاع المقاسة  $\alpha$  ليست هي الزاوية للمسافة المقاسة S.



شكل 2-10

في المثلث (ABC) :

$$h/\sin \theta = S/\sin(90^\circ - \alpha)$$

$$\therefore \sin \theta = h \cos \alpha / S$$

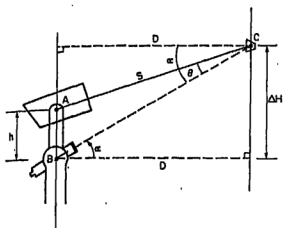
وهكذا بعد الحصول على قيمة لـ  $\theta$ ، تستخرج قيمة المسافة الافقية D من :

$$D = S \cos(\alpha - \theta) \quad \dots \text{A30-2} \quad (\text{عندما تكون } \alpha \text{ موجبة})$$

أما لزاوية الانخفاض ، اي عندما تكون  $\alpha$  سالبة :

$$D = S \cos(\alpha + \theta) \quad \dots \text{B30-2}$$

(5) عندما يكون محور وحدة الـ(EDM) منطبقا على المحور البصري للمنظار والرمادات هي مباشرة الى مركز العاكس، فسوف لن تكون هنالك تصحيحات لزاوية.



شكل 11-2

## أمثلة محلولة

مثال 2-3: قيس خط قاعدة بالشريط معلقا اربع مرات معطيا 30.126 م و 29.973 م و 30.066 م و 22.536 م وكانت القروقات بالمناصب 0.45 م و 0.60 م و 0.30 م و 0.45 م على التوالي ، وكانت درجة الحرارة في وقت القياس  $(10^{\circ}\text{C})$  وكتلة الاجهاد 15 كغم ، علما بأنه كان قد جرى تعبير الشريط وكان 30 م عند درجة حرارة  $(20^{\circ}\text{C})$  على المستوى بكتلة لجهاد مقدارها 5 كغم ، وكان معامل التمدد الحراري 0.000 011 لكل درجة حرارة مكوبة واحدة وكانت كتلة الشريط 1كغم ومساحة مقطعه 3 ملم مربع. ثم ان معامل المرونة  $(E=210\text{KN/MM})$  او  $210 \times 10^3$  نيوتن على المليمتر المربع والتعجيل الارضي  $(g=9.806 \text{ 65 M/S}^2)$ .

(A) اكتب كل معادلة تستخدمها واحسب طول خط القاعدة.  
(B) ما هو مقدار الشد الذي كان يجب ان يعطى لحدف تصحيح الهطول ؟ (جامعة لندن)

## الحل

(A) لما كان الشد الحظي ودرجة الحرارة ثابتين خلال عملية القياس ، فيمكن تطبيق التصحيحات الثلاث الاولى على كامل طول خط القاعدة ، اي  $(L=112.701\text{M})$ .

$$C_r = \frac{L\Delta T}{AE} = \frac{112.701 \times 10 \times 9.806 \text{ 65}}{3 \times 210 \times 10^3} = +0.0176 \quad \text{الشد}$$

$$C_l = LK\Delta t = 112.701 \times 0.000 \text{ 011} \times 10 = -0.0124 \quad \text{درجة الحرارة}$$

$$C_s = \frac{LW^2}{24T^2} = \frac{112.701 \times 1^2}{24 \times 15^2} = -0.0210 \quad \text{الهطول}$$

$$C_i = \frac{h^2}{2L} = \frac{1}{2 \times 30} (0.45^2 + 0.60^2 + 0.30^2) + \frac{0.45^2}{2 \times 22.536} = -0.0154 \quad \text{الميل}$$

$$+0.0176 \quad -0.0488$$

لأنه فالتصحيح الكلي يساوي:  $-0.0312$   
وعليه، فالطول المصحح:  $112.701 - 0.0312 = 112.6708 \text{ M}$ .

لاحظ جيدا: تم تقريب الثلاثة أطوال إلى 30م في تصحيح الميل وقد أهمل الخطأ الناتج الذي هو من الدرجة الثانية.  
(B). لإيجاد الشد المطلوب لحذف تصحيح الهطول، ساو المعادلتين اللاحقتين:

$$\frac{\Delta T}{AE} = \frac{W^2}{24T_A^3}$$

حيث أن  $(\Delta T)$  هو الفرق بين الشد المعطى والشد المعياري أي  $(\Delta T = T_A - T_S)$ .

$$\therefore \frac{(T_A - T_S)}{AE} = \frac{W^2}{24T_A^3}$$

$$\therefore T_A^3 - T_S^3 - \frac{AEW^2}{24} = 0$$

وبالتعويض عن قيم  $T_S$  و  $A$  و  $E$  وملاحظة تحويل وحدات  $T$  و  $W$  إلى وحدات النيوتن  $N$ ، ينتج:  
 $T_A^3 - 49T_S^3 - 2524653 = 0$   
لجعل  $(T_A = T + x)$  ينتج:  $(T + x)^3 - 49(T + x)^2 - 2524653 = 0$

$$T^3 \left(1 + \frac{x}{T}\right)^3 - 49T^2 \left(1 + \frac{x}{T}\right)^2 - 2524653 = 0$$

وبفتح الأقواس حسب نظرية ذي الحدين:

$$T^3 \left(1 + \frac{3x}{T}\right) - 49T^2 \left(1 + \frac{2x}{T}\right) - 2524653 = 0$$

$$\therefore T^3 + 3T^2x - 49T^2 - 98Tx - 2524653 = 0$$

$$\therefore x = \frac{2524653 - T^3 + 49T^2}{3T^2 - 98T}$$

وبغرض  $(T = 15 \text{ KGF} = 149 \text{ N})$  فإن  $(x = 75 \text{ N})$ .  
لأن عند أول تقريب تكون  $T_A = (T + x) = 222 \text{ N}$

مثال 2-4: كان قد قيس طول خط قاع عدة بشريط معلق طوله الاسمي 30م، ولكن ظهر بأن طوله يساوي 30.015م عندما تم تعبيره وهو معلق بدرجة حرارة  $(20^\circ \text{C})$  تحت تأثير كتلة إجهاد 5كغم، فإذا كان متوسط منسوب خط القاع 30.50م فوق مستوى الاسناد (OD)، أوجد طوله الحقيقي عند متوسط مستوى سطح البحر.

المعطيات: كتلة الشريط لكل وحدة طول  $(w) = 0.03 \text{ KG/M}$   
كثافة الحديد  $(\rho) = 7690 \text{ KG/M}^3$   
معامل التمدد  $(K) = 11 \times 10^{-6} / ^\circ \text{C}$   
معامل المرونة  $(E) = 210 \times 10^3 \text{ N/MM}^2$   
التعجيل الأرضي  $(g) = 9.80665 \text{ M/S}^2$   
نصف قطر الكرة الأرضية  $(R) = 6.4 \times 10^6 \text{ M}$

(بوليتكنيك كنكركتون)

الفرق بالممنسوب كتلة الاجهاد	درجة الحرارة	الطول المقاس	الجزء
(متر)	(°C)	(متر)	
1	30.050	21.6	5
2	30.064	21.6	5
3	30.095	24.0	5
4	30.047	24.0	5
5	30.041	24.0	7

التعبير

خطأ الشريط بطول 30 م يساوي 0.015 م  
طول خط القاعدة الكلي يساوي 150.297 م

لذن التصحيح:

$$= \frac{150.297}{30} \times 0.015 = +0.0752$$

درجة الحرارة:

$$\left. \begin{aligned} C_1 &= 60 \times 11 \times 10^{-6} \times 1.6 = 0.0010 \text{ m} \\ C_2 &= 90 \times 11 \times 10^{-6} \times 4 = 0.0040 \text{ m} \end{aligned} \right\} +0.0050$$

يتمتع الخطأ من الدرجة الثانية مهملاً عند تقريب الاجزاء  
الى 30 م .  
الشدة: (بتحويل  $(\Delta T)$  الى نيوتن)  $C_T = \frac{L \Delta T}{AE}$  (للجزء 5 فقط)

ومساحة المقطع العرضي A للشريط:

$$A = \frac{w}{\rho} = \frac{0.03}{7690} \times 10^6 = 4 \text{ mm}^2$$

$$\therefore C_T = \frac{30 \times 2 \times 9.81}{4 \times 210 \times 10^3} = +0.0007$$

الميل:

$$C_4 = \frac{h^2}{2L} - \frac{1}{2 \times 30} (0.750^2 + 0.345^2 + 1.420^2 + 0.400^2) = -0.0476$$

حيث يهمل الخطأ الذي هو من الدرجة الثانية الناتج عن التقريب الى 30 م في هذه الحالة ايضا . مع ذلك يجب لتخاذ البعد عندما يكون هنالك عدة اجزاء لان تأثيرها قد يكون معنوياً .

الهطول:

$$\begin{aligned} C_5 &= \frac{E w^3}{24} \left( \frac{1}{T_3^2} - \frac{1}{T_4^2} \right) \\ &= \frac{30^3 \times 0.03^3}{24} \left( \frac{1}{5^2} - \frac{1}{7^2} \right) = +0.0006 \end{aligned}$$

الارتفاع:

$$C_H = \frac{LH}{R} = \frac{150 \times 30.5}{6.4 \times 10^6} =$$

-0.0007

$$+0.0815 \quad -0.0483$$

لذن فالاصحیح الكلى يساوى (0.0332 +) متر  
وعليه فالطول المصحح:  $= 150.297 + 0.0332 = 150.3302 \text{ M}$ .

مثال 2-5: (A) تم ايجاد قاعدة معيارية بقياس دقيق بواسطة شريط حديدى للمسافة بين علامتين ثابتتين على سطح مستوي، وكان متوسط المسافة المسجلة 24,984 عند درجة حرارة (18°C) وتمت شد مقدار 155 نيوتن، وقد كان الشريط المستخدم قد جرى تعبيره وهو معلق وكان طوله 30م عند درجة حرارة (20°C) وشد 100 نيوتن.

اوجد الطول الحقيقي بين العلامتين الثابتتين المعطائين، علما بان الكتلة الكلية للشريط 0.90 كغم، ومعامل تمدد الحديد ( $11 \times 10^{-6}$ ) لكل درجة حرارة مئوية، ومساحة المقطع العرضي 2 ملليمتر مربع ومعامل المرونة ( $E = 210 \times 10^3$ ) نيوتن على الملليمتر المربع والتعجيل الارضى ( $g = 9.807$ ) متر على الثانية المربعة.

(B) استخدم الشريط فى موعد لاحق لقياس مسافة طولها 30م بالشريط معلقا، وكان الفرق بالمنسوب بين رأسى القياس مترا واحدا بخطا مقدار 3 ملم. وقد ثبتت الحرارة المحيطة التى أجريت على جانبى الميزان بان للشد المقروض البالغ 100 نيوتن خطأ مقداره (2N). اهل كافة باقى مصادر الاخطاء، ما هو الخطأ المحتمل فى المسافة المقاسة؟ (بوليتكنيك كنكزتون)

الحل

(A) لذا عبر شريط قياس وهو معلق، فعند وضعه على سطح مستوي سيكون اطول من طوله بوضعه المعلق هذا بمقدار تصحيح الطول، وسيصحح هذا المقدار بالتحقيق هو تصحيح التعبير.

الخطأ لكل 30م:

$$= \frac{LW^2}{24T^2} = \frac{30 \times (0.90 \times 9.807)^2}{24 \times 100^2} = 0.0097 \text{ m}$$

لذن التصحيح:

$$= \frac{0.0097 \times 24.984}{30} = 0.0081 \text{ m}$$

عن الشد:

$$= \frac{24.984 \times 55}{2 \times 210 \times 10^3} = 0.0033 \text{ m}$$

عن درجة الحرارة:

$$= 24.984 \times 11 \times 10^{-6} \times 2 = -0.0006 \text{ m}$$

لذن التصحيح الكلى يساوى:

$$= + 0.0081 + 0.0033 - 0.0006 = 0.0108 \text{ M}$$

لإذن الطول المصحح يساوي :  $24.984 + 0.011 = 24.995 \text{ M}$ .

$$\begin{aligned} (B) \text{ تأثير خطأ التسوية } (\delta C_h) &= \frac{h^2}{2L} \\ \therefore \delta C_h &= \frac{h \times \delta h}{L} = \frac{1 \times 0.003}{30} = 0.0001 \text{ m} \\ \text{تأثير خطأ الهطول } (\delta C_s) &= \frac{LW^2}{24T^2} \\ \therefore \delta C_s &= -\frac{LW^2}{12T^3} \delta T \\ \therefore \delta C_s &= \frac{30 \times (0.9 \times 9.807)^2 \times 2}{12 \times 100^3} = 0.0004 \text{ m} \end{aligned}$$

$$\begin{aligned} \text{تأثير خطأ الشد } (\delta C_T) &= \frac{LAT}{AE} \\ \therefore \delta C_T &= \frac{L \times \delta(\Delta T)}{A \times E} = \frac{30 \times 2}{2 \times 210 \times 10^3} = 0.0001 \text{ m} \end{aligned}$$

لإذن الخطأ الكلي يساوي :  
 $0.0001 + 0.0004 + 0.0001 = 0.0006 \text{ M}$ .

مثال 2-6: جري تعبير شريط من معدن الانقار طوله 30 متر على سطح مستوي ووجد بأن طوله كان 30.0501 م عند درجة حرارة (20°C) وشد (88N) ، وقد استخدم هذا الشريط وهو معلق لقياس اول جزء من خط قاعدة ، وكان متوسط الطول المسجل 30.4500 م.

وباستخدام شريط حقيقي وجد بأن متوسط طول نفس المسافة كان 30.4588 م وكان الشد المقروفي (88N) بدرجة حرارة ثابتة مقدارها (15°C) في كلتا الحالتين. وقد جرى الآن قياس بقية أجزاء خط القاعدة بالشريط معلقاً وباستخدام شريط حقيقي فقط ، فكان متوسط طول الجزء الثاني من خط القاعدة 30.5500 م بدرجة حرارة (13°C) وشد (100N). اوجد الطول الحقيقي لهذا الجزء علماً بأن مساحة مقطع الشريط تساوي (2MM<sup>2</sup>) ومعامل تمدد معدن الانقار يساوي (6 × 10<sup>-7</sup>/°C) وكتلة الشريط تساوي (0.2KG/M) والفرق بالارتفاع بين رأسي القياس يساوي 0.5 م ومعامل ارتفاع منسوب خط القاعدة 250 م فوق مستوى الاسناد ونصف قطر الكرة الأرضية يساوي 6.4 × 10<sup>6</sup> م والتعجيل الأرضي (9.807M/S<sup>2</sup>) ومعامل يونك للمرونة (210KN/MM<sup>2</sup>).  
 (بوليتكنيك كينزتون)

الحل

لأجل إيجاد الطول المصحح للجزء الاول من خط القاعدة باستخدام الشريط المرجعي :

التعبير:

الخطأ لـ 30 م يساوي 0.0501 م .

إذن التصحيح لـ 30.4500 م:

+0.0508  
التصحيح عن درجة الحرارة:  
-0.0001

$$= 30 \times 6 \times 10^{-7} \times 5 =$$

$$= \frac{30^3 \times (0.02 \times 9.807)^2}{24 \times 88^2} =$$

التصحيح عن الهطول:  
-0.0056

$$+0.0508 - 0.0057$$

إذن التصحيح الكلي يساوي (+0.0451M)، وعليه فلن الطول المصحح باستخدام شريط الاسناد يساوي:

$$= 30.4500 + 0.0451 = 30.4951M$$

أما الشريط الحفلي المصحح عن الهطول فيقيس:

$$= 30.4588 - 0.0056 = 30.4532M$$

وهكذا فالشريط الحفلي يقيس طولاً أقصر بمقدار:

$$= 30.4951 - 30.4532 = 0.0419M$$

وهو إذن أطول من شريط الاسناد بهذا المقدار. وعليه فلن طول الشريط الحفلي هو 30.0419م بدرجة حرارة (15°C) وشد 88 نيوتن.

لايجاد طول الجزء الثاني من خط القاعدة:

التعبير:

الخط لـ 30م يساوي 0.0419م

إذن التصحيح:

$$+0.0427$$

التصحيح عن درجة الحرارة:

$$-0.00004$$

التصحيح عن الشد:

$$+0.0009$$

التصحيح عن الهطول:

$$-0.0043$$

التصحيح عن الميل:

$$-0.0041$$

التصحيح عن الارتفاع:

$$-0.0093$$

$$-0.0177$$

$$= + 0.0259M$$

إذن فإن التصحيح يساوي:

وعليه فالطول المصحح للمسافة الثانية:

$$= 30.5500 + 0.0259 = 30.5759M$$

لاحظ جيداً:

يسمح بتقريب الطول المقاس إلى 30م فقط عندما يكون تأثير الخطأ الناتج عن المسافة النهائية مهملاً.

مثال 2-7: تم شد خط تمويل كهرباء نحاسي قطره 12ملم بين نقطتين بنفس المستوى المسافة بينهما 300م بقوة شد مقدارها (5KN) عندما كانت درجة الحرارة (32°C)، والمطلوب

تعيين موقع نهايته عند تغيير درجات الحرارة. اوجد مقدار الشد عند درجة حرارة  $(-12^{\circ}\text{C})$  والهيكل في الحالتين باستخدام تصحيحات الهيكل ودرجة الحرارة والمرونة التي تفرض عادة في قياسات خط القاعدة بالشريط معلقاً، علماً بأن معامل يونغ للنحاس  $(70\text{KN/MM}^2)$  وكثافته  $(9000\text{KG/M}^3)$  ومعامل تمدده الطولي  $(17 \times 10^{-6}/^{\circ}\text{C})$ ، (جامعة لندن)

الحل

لايجاد مقدار الهيكل اولاً، باستخدام (المعادلة 2-7) في الحالتين اعلاه يجب ايجاد (A) الكتلة لكل وحدة طول و (B) الطول الهائل من السلك.

$$(A) \text{ الكتلة لكل وحدة طول } (w) : w = \pi r^2 \rho (الكثافة) \times (المساحة) \\ = 3.142 \times 0.006^2 \times 9000 = 1.02 \text{ KG/M}$$

$$(B) \text{ الطول الهائل من السلك بدرجة حرارة } (32^{\circ}\text{C}) : L = L_0 + \left( \frac{L_0^2 w^2}{24 T^2} \right) \\ \text{حيث ان } (L) \text{ هو نفسه الطول الهائل، وهكذا يجب استخدام الطول 300 م كأول تقريب لـ } (L).$$

$$\text{لإذن الطول الهائل: } = 300 + \left( \frac{300^3 \times (1.02 \times 9.807)^2}{24 \times 5000^2} \right) = 304.5 \text{ m}$$

$$\text{التقريب الثاني: } = 300 + \left( \frac{304.5^3 \times (1.02 \times 9.807)^2}{24 \times 5000^2} \right)$$

$$\text{لإذن الهيكل } (y_1) : = 304.71 \text{ m} = L_1$$

$$= y_1 = \frac{w L_1^2}{8 T} = \frac{(1.02 \times 9.807) \times 304.71^2}{8 \times 5000} = 23.22 \text{ m}$$

بدرجة حرارة  $(-12^{\circ}\text{C})$  ستبقى  $(L_1)$  بمقدار:

$$(L_1 K \Delta t) = 304.71 \times 17 \times 10^{-6} \times 44 = 0.23 \text{ M}$$

$$\therefore L_2 = 304.71 - 0.23 = 304.48 \text{ M}$$

$$\text{من (المعادلة 2-7) : } (L y_1 \propto L_1^2) : y_2 = y_1 \left( \frac{L_2}{L_1} \right)^2 = 23.22 \left( \frac{304.48}{304.71} \right)^2 = 23.18 \text{ m}$$

$$\text{وبنفس الطريقة : } (y_1 \propto 1/T_1) :$$

$$\therefore T_2 = T_1 \left( \frac{y_1}{y_2} \right) = 5000 \left( \frac{23.22}{23.18} \right) = 5009 \text{ N or } 5.009 \text{ kN}$$

تمارين

2-1 تم تعيين شريط قياس طوله الاسمي 30 م على سطح مستوى لدن مختبر الفيزياء البريطاني الوطني ووجد بأن طوله 30.0520 م عند درجة حرارة  $(20^{\circ}\text{C})$  وشد  $(44\text{N})$ . من ثم استخدم الشريط وهو معلق لقياس مسافة مرجعية فأعطى مسافة متوسطة يساوي 30.5500 م. عند درجة حرارة  $(15^{\circ}\text{C})$  وشد  $(88\text{N})$  ووجد ان كتلة الشريط كانت غير معروفة فقد قيس الهيكل في نقطة وسط الشريط فوجد بأنه يساوي 0.170 م.

## 117

فلذا علمت بأن مساحة مقطع الشريط ( $2MM^2$ ) ومعامل يونك ( $200 \times 10^3 N/MM^2$ ) ومعامل التمدد ( $11.25 \times 10^{-6}/^\circ C$ ) والفرق بالارتفاع بين رأسى القياس 0.320م. اوجد الطول الاقصى للمسافة. لهذا كان الخطا فى قياس الطول ( $\pm 0.001$ ) متر، ما هو الخطا الناتج فى تصحيح الطول وماذا يشير هذا الخطا عن درجة الضبط التى قيس بها الطول عند نقطة وسط الشريط ؟  
[الجواب : 30.5995م و ( $1 \pm 0.00003M$ )]

2-2 قيست ثلاثة اجزاء خط قاعدة بشريط حديدي وهو معلق ووجدت بانها تساوى 30.084م و 29.973م و 25.233م تحت تأثير سحب مقدارها 7كغم و 7كغم و 5كغم ودرجات حرارة ( $12^\circ C$ ) و ( $13^\circ C$ ) و ( $17^\circ C$ ) وفروقات فى مناسيب الركائز 0.7م و 0.7م و 0.7م على التوالي. فلذا كان الشريط قد عبر على سطح مستوى بدرجة حرارة ( $15^\circ C$ ) وتحت تأثير قوة سحب مقدارها 45كغم ، ماهى اطوال الاجزاء الثلاثة لخط القاعدة ؟ علما بأن 30 متر من الشريط تزن 1كغم تماما وكثافة الحديد 8300 كغم/المتر المكعب بمعامل تمدد مقدارها ( $0.000011/^\circ C$ ) ، كما ان معامل المرونة E يساوى ( $210 \times 10^3 N/MM$ ) .

(جامعة لندن)

[الجواب: 30.057م و 29.940م و 25.194م]

2-3 تشير التفاصيل المدرجة ادناه الى قياس اول 30م من خط قاعدة. اوجد الطول الصحيح لهذا الجزء بعد تحويله الى متوسط مستوى سطح البحر.

كان الطول المسجل 30.0247م بالشريط معلق تحت تأثير كتلة لجهاذ مقدارها 15كغم ودرجة حرارة معدلها ( $13^\circ C$ ) ، وكان الفرق بالارتفاع بين نهايتى الشريط 0.456م وكان الموقع 500م اعلى من متوسط سطح البحر. هذا ، وقد سبق وان تم تعبير الشريط وهو معلق تحت تأثير كتلة لجهاذ مقدارها 7كغم ودرجة حرارة ( $16^\circ C$ ) فكانت المسافة بين الصغرين 30.0126م. علما بأن ( $R=6.4 \times 10^6 M$ ) وكتلة الشريط ( $0.02KG/M$ ) ومساحة مقطعه ( $3.6MM^2$ ) كما وان ( $E=210 \times 10^3 N/MM$ ) ومعامل تمدده الحرارى ( $0.000011/^\circ C$ )  
(جمعية المهندسين المدنيين البريطانيين)

[الجواب: 30.0364م]

2-4 ترجع المعلومات التالية الى مقطع من خط قاعدة كان قد قيس بالشريط وهو معلق :

منايب علامات المؤشر	متوسط درجة الحرارة ( $^\circ C$ )	الطول المقاس الجزء (متر)
293.610	25.2	30.034
294.030	25.4	30.109
294.498	25.1	30.198
294.000	25.0	30.075
293.355	24.8	30.121

وكان طول الشريط 29.9988م بين علامتي الصفر والـ 30م عندما كان في الحالة الأفقية وبدرجة حرارة (20°C) وتحت تأثير كتلة لإجهاد 5كغم. كما وأن مساحة المقطع العرضي للشريط (2.68MM) وكتلة الإجهاد المستخدمة في الحقل 10 كغم ومعامل التمدد الحراري للشريط ( $11.16 \times 10^{-6}/^{\circ}\text{C}$ ) ومعامل المرونة ( $20.4 \times 10^4 \text{N/MM}^2$ ) لمادة الشريط وكتلته (0.02KG/M) ومتوسط نصف قطر الكرة الأرضية ( $6.4 \times 10^6 \text{M}$ ).  
أوجد الطول المصحح لهذا المقطع من الخط. (جامعة لندن)  
[الجواب: 150.507م]

## 3-2 تعديل الشكل بالازاحات المتساوية

### FIGURAL ADJUSTMENT BY EQUAL SHIFTS

الخطوة التالية في أعمال الحسابات هي تعديل الأشكال لجعلها صحيحة هندسياً، والطريقة المبينة هنا هي طريقة شبه تفصيلية تسمى "الازاحات المتساوية EQUAL SHIFTS".

(1) المثلث البسيط: إن شروط تعديل المثلث المستوي هي أن مجموع زواياه الثلاث تساوي 180°، وعندما تزداد أطوال الأضلاع (أكثر من حوالي 20 كم) يصبح المثلث كروياً وعندها يصبح مجموع الزوايا: (الزيادة الكروية)  $+180^{\circ} =$

حيث أن الزيادة الكروية ( $E^{\circ}$ ) :

$$(2-31) \dots \text{(للاغراض العملية)} \quad E^{\circ} = \frac{R^2}{206265} \quad \text{(مساحة المثلث)}$$

وهنا نقول نظرية "ليجاندرى LEGENDRE" بأنه إذا طرح ثلث الزيادة الكروية من كل زاوية يمكن معاملة المثلث كأنه مثلث مستوي في احتساب أطوال الأضلاع. مع ذلك، ففي حسابات الاحداثيات تستخدم الزوايا الكروية مرة أخرى.

(2) الشكل الرباعي متقاطع الاقطار:  
شروط التعديل <شكل 2-12>

1+2+3+4+5+6+7+8=360°	شرط الزوايا :
1+2+3+4=180°	
3+4+5+6=180°	
5+6+7+8=180°	
7+8+1+2=180°	
1+2=6+5	
3+4=7+8	

شرط الأضلاع:

$$\sum \text{LOG SIN (الزوايا الزوجية)} = \sum \text{LOG SIN (الزوايا الفردية)}$$

وحيث أن كثيراً من الشروط أعلاه تعتمد على بعضها، فإنه يستخدم فقط أربعة شروط في التعديل الفعلي، أما طريقة التعديل فهي: (I) عدل الزوايا 1 إلى 8 لتساوي 360° (II) عدل الزاويتين (1+2) لتساوي (5+6) (III) عدل الزاويتين (3+4) لتساوي (7+8) (IV) شرط الأضلاع.



التي تجمع إلى الجمع الصغير وتطرح من الجمع الكبير،  
(C) الخطوة الثالثة هي مطابقة لما فوق ، فقد اختير  
التصحيحان 2" و 1" بشكل مطلق لمنع حدوث الكسور العشرية  
من الثانية (التصحيح يساوي 1.5" للزاوية الواحدة).

لقد اذت الخطوات الثلاث إلى زوايا مصححة تفي بالول  
سبعة شروط من التعديل، وأصبح الآن من الضروري إيجاد  
لوغاريتمات جيوب LOG SINS هذه الزوايا ومقارنة  
مجاميعها ، وهذا يمكن ان يتم بسرعة فائقة باستخدام  
حاسبة الجيب.

1	2	3	4	5	6	7
الزوايا	لوغاريتم الجيب (فردية)	لوغاريتم الجيب (زوجية)	الفرق 10"	من القوس	النهاية	الزوايا
1	50 42 27	T.888 698	0.000 017	1"	50 42 28	
2	66 47 54	T.963 374	9	-1"	66 47 53	
3	41 24 33	T.820 485	24	1"	41 24 34	
4	21 05 06	T.556 004	55	-1"	21 05 05	
5	74 13 34	T.983 329	6	1"	74 13 35	
6	43 16 47	T.836 046	22	-1"	43 16 46	
7	18 36 12	T.503 810	62	1"	18 36 13	
8	43 53 27	T.840 913	22	-1"	43 53 26	
	T.196 322	T.196 337	0.000 217		360 00 00	
		T.196 322				
		0.000 015				

$$= \frac{15}{217} \times 10'' = 0.7'' \approx 1''$$

لذا التعديل:

(D) يمثل العمود 5 التغييرات في لوغاريتمات جيوب  
الزوايا نتيجة تغيير مقدار 10" بالزاوية. ويتم  
استخراج هذه القيم بسهولة بزيادة قيمة الزاوية  
بمقدار 10" وإيجاد لوغاريتم جيبها في حاسبة الجيب ،  
فالفرق بين قيمتي لوغاريتم الجيبين هو الفرق الناتج  
عن تغيير الـ 10" في الزاوية.

تستخدم عادة الفروقات لثانية واحدة من القوس، ولكن  
فروقات الـ 10" هي المستخدمة في هذه الحالة لتسهيل  
قهم المبادئ.

(E) يبين جمع العمودين 3 و 4 مقدار 0.000 015  
الذي يجب أن يعدل، ويستخرج التصحيح الزاوي اللازم  
(0.7") بتقسيم 15 على مجموع العمود 5 ، أي على 217  
وكما هو مبين، وهذا يمكن أن يوضح ما يلي : إذا تم  
تغيير كافة الزوايا بمقدار 10" يكون التغيير الكلي في  
لوغاريتمات الجيوب 0.000 217 ، مع ذلك

والتعغير المطلوب هو فقط 0.000 015 والذي بواسطة النسبة يمثل تعغيرا زاويا مقداره  $(0.7'' = 10'' \times 10^{-4})$ .  
(F) والان يتم ايجاد لوغاريتمات جيوب الزوايا المصححة بسهولة باستخدام العمودين 5 و 6 ليعطيان التصحيحات في العمودين 3 و 4.

(G) لذا كانت ابيسة زاوية اكبر من  $90^\circ$  فلن التصحيح 'الموجب' للزاوية سيحتاج تصحيحا سالبا للوغاريتم جيبها ، وهكذا يجب ان يكون لقيمة الفرق في العمود 5 علامة سالبة والتي تستخدم في ايجاد مجموع هذا العمود ودائما .

(H) من الجدير بالملاحظة هو ان درجة ضبط الشكل التثليثي يعبر عنها بمقدار الفرق في مجموع لوغاريتمات الجيوب ، اي 0.000 015. ويمكن ان تحدث اخطاء تعويضية COMPENSATING ERRORS في الزوايا مما يؤدي الى اظهار قفل ممتاز. وكذا اخطاء ستؤدي الى الاخلال بتوازن معادلة الضلع SIDE EQUATION كثيرا .

ولو يمكن لإنجاز الطريقة اعلاه على حاسبة الجيب بكل سهولة ، ولكن الطريقة التالية (سميث 1982) قد وجدت خبيما لاستخدام حاسبة الجيب :

لن هذه الطريقة لا تستخدم اللوغاريتمات والفروقات لثانية واحدة او عشر زوايا ، وهي كما يلي :  
في شرط الضلع ، افرض بان  $\theta$  هي التصحيح لكل زاوية ، وعليه :

$$\sin(1+v) \sin(3+v) \sin(5+v) \sin(7+v) = \sin(2+v) \sin(4+v) \sin(6+v) \sin(8+v)$$

$$\sin(1+v) = \sin 1 \cos v + \cos 1 \sin v \quad \text{والآن :}$$

$$= \sin 1 + \cos 1 v \quad \text{وحيث ان } v \text{ هي صغيرة جدا :}$$

$$\therefore \frac{(\sin 1 + \cos 1 v)(\sin 3 + \cos 3 v)(\sin 5 + \cos 5 v)(\sin 7 + \cos 7 v)}{(\sin 2 + \cos 2 v)(\sin 4 + \cos 4 v)(\sin 6 + \cos 6 v)(\sin 8 + \cos 8 v)} = 1$$

وبالفتح الى حد الدرجة الاولى فقط :

$$\frac{(\sin 1 \sin 3 + \sin 1 \cos 3 v + \cos 1 \sin 3 v)(\sin 5 \sin 7 + \sin 5 \cos 7 v + \cos 5 \sin 7 v)}{(\sin 2 \sin 4 + \sin 2 \cos 4 v + \cos 2 \sin 4 v)(\sin 6 \sin 8 + \sin 6 \cos 8 v + \cos 6 \sin 8 v)} \\ = \frac{\sin 1 \sin 3 \sin 5 \sin 7 + \sin 1 \sin 3 \sin 5 \sin 7 v (\cot 1 + \cot 3 + \cot 5 + \cot 7)}{\sin 2 \sin 4 \sin 6 \sin 8 + \sin 2 \sin 4 \sin 6 \sin 8 v (\cot 2 + \cot 4 + \cot 6 + \cot 8)}$$

$$\begin{array}{ll} \sin 1 \sin 3 \sin 5 \sin 7 = A & \cot 1 + \cot 3 + \cot 5 + \cot 7 = B \\ \sin 2 \sin 4 \sin 6 \sin 8 = C & \cot 2 + \cot 4 + \cot 6 + \cot 8 = D \end{array} \quad \text{افرض :}$$

من ثم يمكن إعادة ترتيب المعكوك اعلاه والتعغير عنه ،  
وهكذا :

$$v = \frac{206265(A - C)}{AB + CD}$$

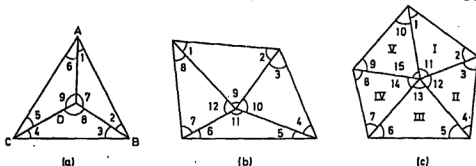
فلذا كانت  $v$  موجبة فلن ( $A > C$ ) و  $v$  تطرح من الزوايا "الفردية" وتضاف الى الزوايا "الزوجية". أما إذا كانت  $v$  سالبة فلن ( $A < C$ ) و  $v$  تضاف الى الزوايا "الفردية" وتطرح من "الزوجية".

إن كافة الارقام التي تظهر على شاشة حاسبة الجيب هي معنوية ويجب أن تدخل ضمن الحسابات.

وسيجري الآن إعادة حل المثال السابق باستخدام هذه الطريقة لشرط الضلع وهو مبين في <الجدول 2-3>.

(3) "الشكل الخماسي بنقطة مركزية": إن اشكال التخليد الأساسية هي مبينة في <الشكل 2-13>.

"شروط التعديل":



شكل 2-13

(a) مجموع زوايا كل مثلث يساوي  $180^\circ$  ، أي I و II و  $V_{\dots}$  في <الشكل 2-13>.

(b) مجموع الزوايا المركزية يساوي  $360^\circ$  .

(c) شرط الضلع باستخدام زوايا القاعدة فقط ، أي 1 و 2 و  $\dots$  و 9 و 10 في <الشكل 2-13> .

"طريقة التعديل":

(A) عدل كل مثلث إلى  $180^\circ$  .

(B) عدل الزوايا المركزية إلى  $360^\circ$  .

(II) كرر تعديل المثلثات إلى  $180^\circ$  باستخدام زاويتي

القاعدة فقط في كل مثلث .

(C) التعديل بشرط الضلع باستخدام زاويتي القاعدة فقط

إن الخطوتين (IB) و (II) هما بالحقيقة خطوة واحدة فقط، لأن التصحيح البالغ ( $+10^\circ$ ) مثلا لكل من الزوايا المركزية سيعطي تصحيحا مقداره ( $-5^\circ$ ) لتفائيا لكل من زوايا قواعد المثلث . من ثم يتم تطبيق شرط الضلع بنفس الطريقة التي تم شرحها تماما باستثناء الزوايا عند النقطة المركزية في كل حالة .

No.	Angle Observed	1st corr'd		2nd corr'd		Sin odd $L_1$ product	Cos odd $L_1$ sum	Sin even $L_1$ product	Cos even $L_1$ sum	3rd corr'd	Final corr'd angle
		1st angle	2nd angle	1st angle	2nd angle						
1	50 42 27	-1"	50 42 26	+1"	50 42 27	0.7713 923	0.818 270.3	0.919 124	0.428 634.4	-1"	50 42 28
2	66 47 54	-1"	66 47 53	+1"	66 47 54	x	0.919 124	+	0.428 634.4	-1"	66 47 53
3	41 24 32	-1"	41 24 31	+2"	41 24 33	0.661 432	1.133 911.5	x	+	+1"	41 24 34
4	21 05 06	-1"	21 05 06	+1"	21 05 06	x	0.359 753	2.593 582.9	-1"	+1"	21 05 05
5	74 13 36	-1"	74 13 35	+1"	74 13 34	0.662 342	0.282 479.4	x	+	+1"	74 13 35
6	43 16 49	-1"	43 16 48	+1"	43 16 47	x	0.685 561	+	1.061 927.3	-1"	43 16 46
7	18 36 14	-1"	18 36 13	+1"	18 36 12	0.319 014	2.970 867.6	x	+	-1"	18 36 13
8	43 53 30	-1"	43 53 29	-2"	43 53 27		0.693 387		1.039 486.9	-1"	43 53 26
Σ	360 00 08	-8"	360 00 00		360 00 00	0.157 152.8	5.205 528.8	0.157 1584	5.172 631.5		360 00 00

إذا كانت  $(A > C)$ ، اجمع الى الزوايا الفردية، والعكس بالعكس

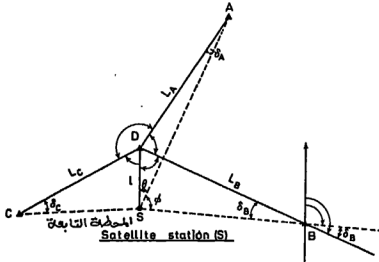
$$\frac{C}{D} = \frac{\frac{A}{206.265(A-C)} + \frac{B}{C}}{AB + CD} = 0.7 \approx 1''$$

## 4-2 المحطات التابعة ( الأقمار الصناعية )

## SATELLITE STATIONS

في الشكل 2-14 ، المطلوب إيجاد الزوايا المقاسة إلى A و B و C من نقطة D . أو بطريقة أخرى ، المطلوب إيجاد الاتجاهات الزاوية (DA) و (DB) و (DC) . فلذا كانت D محطة فوقية "UP STATION" كأن تكون برج كنيسة أو برج كهرباء أو منشأ مرتفع ... الخ ، ولذا كانت خطوط النظر محجوبة بحاجز طبيعي أو اصطناعي ، فإنه يكون من الضروري إنشاء محطة تابعة S قريبة لتقاس منها الزوايا إلى A و B و C و D . ومن ثم يجري تمثيل هذه الزوايا المقاسة حول S إلى الزوايا المعادلة لها حول D . ويتم توضيح هذا بأفضل صيغة كما يلي :

يفرض أن الخط (SD) هو باتجاه الشمال N ، يمكن إرشاب أن اتجاه (DB) الزاوي هو الأكبر من الاتجاه الزاوي لـ (SB) بمقدار  $\delta_B$  . وهكذا تضاف  $\delta_B$  إلى الاتجاه الزاوي المقاس (SB) ليعطي الاتجاه الزاوي المطلوب (DB) .



شكل 2-14

فلذا كان التعامل بالزوايا مباشرة ، وباعتبار أن الشكل (ABSD) هو شكل رباعي متقاطع الأقطار ، يمكن إرشاب أن :  
 $\angle ADB = \angle ASB + \delta_B - \delta_A$  ( S تقع جنوب D ) ...

وعلى الطلبة الآن رسم ما يلي وإرشاباتها لأنفسهم :

$$\begin{aligned} \angle ADB &= \angle ASB - \delta_B - \delta_A & (S \text{ تقع غرب } D) \\ \angle ADB &= \angle ASB + \delta_B + \delta_A & (S \text{ تقع شرق } D) \\ \angle ADB &= \angle ASB - \delta_B + \delta_A & (S \text{ تقع شمال } D) \end{aligned}$$

وتتحدد طريقة حل السؤال إلى حد كبير بالمعلومات المتوفرة . فلذا أعطيت الزاويتان من A ومن B إلى D ، فإنه يمكن إيجاد قيمة تقريبية فقط لـ ( $\angle ADB$ ) من ( $\angle DAB - \angle DBA$ ) ، ومن ثم استخدام قانون الجيوب مع المثلث (AB) لإيجاد  $L_A$  و  $L_B$  . ثم بواسطة قانون الجيوب في المثلث (DAS) :

$$\delta_A'' = \frac{l \sin \theta}{L_A} \times 206265$$

(32-2)...

ولتقدير تأثير الاخطاء في الكميات المقاسة على  $\delta_A$ ، لجر التقاضل نسبة لكل منها على التوالي:

$$\frac{\delta(\delta_A)}{\delta_A} = \frac{\delta l}{l} = \frac{\delta L}{L} = \cot \theta \delta \theta$$

وهذا يشير الى :

(1) ان الخطأ الجزئي في  $\delta$  يتناسب طرديا مع الخطأ الجزئي في  $l$  و  $L$  . وهكذا إذا كانت ( $\delta_A = 600'' + 1''$ ) و ( $L = 10\text{KM}$ ) و ( $l = 10\text{KM}$ )، فإنه يطلب قياس  $l$  الى اقرب 0.017 م فقط و  $L$  الى اقرب 17 متر ، اي 1 الى 600 .

(2) ان الخطأ في  $\delta$  يتناسب مع ( $\cot \theta \delta \theta$ ) ، وهكذا يجب ان تكون الزاوية  $\theta$  بالكبر قيمة MAX والزاوية  $\delta$  بالصغر قيمة ، وهذا ما يجعلها بالصغر قيمة . ان درجة الضبط التي يجب ان تقاس بها الزاوية  $\theta$ ، اي  $\delta \theta$ ، تتغير بتغير  $\theta$ ، فلذا كانت  $\theta$  كبيرة جدا فلن  $\cot \theta$  ستكون صغيرة جدا وعندها يمكن قياس  $\theta$  بدرجة ضبط اعتيادية فقط .

اما التأثير الجمعي للاخطاء المعيارية فهو :

$$\frac{\delta(\delta_A)}{\delta_A} = \pm \left\{ \left( \frac{\delta l}{l} \right)^2 + \left( \frac{\delta L}{L} \right)^2 + (\cot \theta \delta \theta)^2 \right\}^{\frac{1}{2}}$$

## 2- التقاطع والتقاطع الخلفي

### INTERSECTION AND RESECTION

باستخدام هذه التقنيات يمكن ايجاد إحداثيات النقطة P بالتسديد الى ثلاث نقاط معلومة في الاقل .

## 2-5-1 التقاطع Intersection

وهذا يعني التسديد الى P من مواقع معلومة (شكل 2-15) . فباستخدام الاتجاهات الزاوية للشعاعات ، وباستخدام كل شعاعين معاً ، يتم الحصول على إحداثيات P كما يلي :

من (الشكل 2-16) ، المطلوب ايجاد إحداثيات P باستخدام الاتجاهين  $\alpha$  و  $\beta$  الى P من النقطتين المعلومتين A و B ذات الإحداثيات ( $N_A$  و  $E_A$ ) و ( $N_B$  و  $E_B$ ) :

$$\begin{aligned} PL &= E_P - E_A & AL &= N_P - N_A \\ PM &= E_P - E_B & MB &= N_P - N_B \end{aligned}$$

والان حيث ان ( $PL = AL \tan \alpha$ ) فلن:

$$E_P - E_A = (N_P - N_A) \tan \alpha \quad (1)$$

وبنفس الطريقة ( $PM = MB \tan \beta$ ) ، وعليه :

$$E_P - E_B = (N_P - N_B) \tan \beta \quad (2)$$

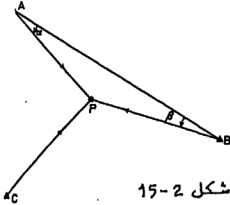
وبطرح (2) من (1) ينتج :

$$\begin{aligned}
 E_B - E_A &= (N_P - N_A) \tan \alpha - (N_P - N_B) \tan \beta \\
 &= N_P \tan \alpha - N_A \tan \alpha - N_P \tan \beta + N_B \tan \beta \\
 \therefore N_P (\tan \alpha - \tan \beta) &= E_B - E_A + N_A \tan \alpha - N_B \tan \beta
 \end{aligned}$$

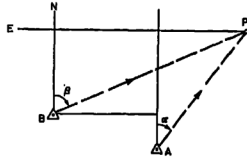
وهكذا :

$$N_P = \frac{E_B - E_A + N_A \tan \alpha - N_B \tan \beta}{\tan \alpha - \tan \beta}$$

...&lt;A33-2&gt;



شكل 2-15



شكل 2-16

$$\begin{aligned}
 N_P - N_A &= (E_P - E_A) \cot \alpha \\
 N_P - N_B &= (E_P - E_B) \cot \beta
 \end{aligned}$$

وبنفس الطريقة :

$$N_B - N_A = (E_P - E_A) \cot \alpha - (E_P - E_B) \cot \beta$$

وبالطرح ينتج :

$$E_P = \frac{N_B - N_A + E_A \cot \alpha - E_B \cot \beta}{\cot \alpha - \cot \beta}$$

وهكذا :

...&lt;B33-2&gt;

وتحتسب إحداثيات P باستخدام <المعادلتين A33-2 و B>، وقد افترض بأن P هي دائما إلى يمين (A-B) في المعادلات،

إذا استخدمت الزوايا المرصودة في P <شكل 15-2>، تصبح المعادلتان :

$$E_P = \frac{N_B - N_A + E_A \cot \beta + E_B \cot \alpha}{\cot \alpha + \cot \beta}$$

...&lt;A34-2&gt;

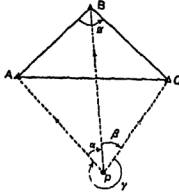
$$N_P = \frac{E_A - E_B + N_A \cot \beta + N_B \cot \alpha}{\cot \alpha + \cot \beta}$$

...&lt;B34-2&gt;

وتستخدم المعادلات اعلاه ايضا في الحل المباشر لاعمال التمثيل بقياس الزوايا .

## 2-5-2 Resection القاطع الخلفي

وهذا يعني القياس الزاوي من P إلى نقاط خارجية معلومة <شكل 17-2> .



شكل 17-2

عندما تستخدم ثلاث نقاط معلومة فقط ، تتوفر عدة طرق تحليلية مختلفة لحل P ؛  
(A) تسمى هذه الطريقة بـ "الطريقة التحليلية - ANALYTICAL METHOD" ، ومن <الشكل 17-2> ؛  
افترض أن (  $BAP = \theta$  ) قلن ؛  $BCP = (360^\circ - \alpha - \beta - \phi) - \theta = S - \theta$

حيث أن  $\theta$  تحتسب من إحداثيات المحطات A و B و C ، وهكذا تصبح S معلومة .

من المثلث (PAB) : (1)  $PB = BA \sin \theta / \sin \alpha$   
من المثلث (PBC) : (2)  $PB = BC \sin (S - \theta) / \sin \beta$

وبمساواة (1) و (2) ينتج ؛ (معلومة)  $Q = \frac{\sin(S - \theta)}{\sin \theta} = \frac{BA \sin \beta}{BC \sin \alpha}$   
وعليه ؛

$$(\sin S \cos \theta - \cos S \sin \theta) / \sin \theta = Q$$

$$\sin S \cot \theta - \cos S = Q$$

$$\therefore \cot \theta = (Q + \cos S) / \sin S \quad (3)$$

وهكذا بجمع معرفة  $\theta$  و (S- $\theta$ ) يمكن حل المثلثات لإيجاد أطوال الاضلاع (AP) و (BP) و (CP) واتجاهاتها الزاوية ، وتستخرج ثلاث قيم لإحداثيات P لأن مطلب الأمر ذلك. وهذه الطريقة تفشل كما تفشل كافة أعمال التقاطعات الخلفية من ثلاث نقاط إذا وقعت P على محيط الدائرة المارة بالنقاط الثلاث A و B و C ، ولذلك يكون للنقطة لا نهاية من المواقف.

(B) يتم عرض هذه الطريقة لبيان مدى انفراج الطرق المتوفرة . فالنقاط A و B و C في <الشكل 18-2> هي نقاط ثابتة ذات إحداثيات معلومة ، وإحداثيات مركزى الدائرتين  $O_1$  و  $O_2$  هي ؛

$$E_1 = \frac{1}{2}(E_A + E_B + (N_A - N_B) \cot \alpha)$$

$$N_1 = \frac{1}{2}(N_A + N_B - (E_A - E_B) \cot \alpha)$$

$$E_2 = \frac{1}{2}(E_B + E_C + (N_B - N_C) \cot \beta)$$

$$N_2 = \frac{1}{2}(N_B + N_C - (E_B - E_C) \cot \beta)$$





(6) في حالة التقاطع الخلفي ؛ يستخرج الاتجاه الزاوي ل (PA) مثلا ، باستخدام إحداثيات A والاحداثيات الوهمية لـ P. ويجمع الزوايا المرسودة للاتجاه الزاوي (PA) تستخرج بقية الاتجاهات الزاوية. من ثم تنعكس هذه الاتجاهات الزاوية وتعامل الحسابات كما في حالة التقاطع.

## 6-2 التثليث بقياس الاضلاع TRILATERATION

لقد لقي التثليث بقياس الاضلاع - الذي يعتمد اساسا على المسافات الافقية المقاسة- قبولاً ، بسبب ظهور اجهزة قياس المسافة الالكترومغناطيسية (EDM) ، فالاشكال الهندسية المستخدمة هي مشابهة لتلك التي تتبع في اعمال التثليث بقياس الزوايا TRIANGULATION ، ولو انها ليست بنفس المستوي من الدقة ، ذلك بسبب السيطرة الاكبر على خطأ المقياس. وقد اعتبر اصلاً بأن التثليث بقياس الاضلاع سيتفوق على التثليث بقياس الزوايا كطريقة ضبط METHOD OF CONTROL وذلك بسبب عامل خطأ المقياس. ولكن النتائج التي تمخضت اشارت الى ان المنظومة هي معرضة الى تراكم سريع لخطأ azimuth. وبذلك فإن العملية تحتاج الى منظومة مكشوفة من نقاط ضبط السميت.

لن جقيقة عدم الحاجة الى قياس زاوية افقية في اعمال التثليث بقياس الاضلاع سيظهرها اكثر سرعة، ولذلك ولاول وهلة، اكثر اقتصادية من التثليث بقياس الزوايا. مع ذلك فإن كثيراً من الامور تعتمد على طول الخط الذي العلاقة ومتطلبات درجة الضبط ACCURACY.

لن كافة اجهزة قياس المسافة الالكترومغناطيسية (EDM) تنقيس المسافة الماطلة، وهي تحتاج لذن الى تحويل الى المسافة الافقية بمنسوب إرسناد معين. وهذا لا يتطلب قياس الطول المائل فقط. وإنما يتطلب أيضاً قياس الاختلافات بالمونسوب لنقاط الضبط وارتفاع الجهاز ، او قياس الزوايا الشاقولية.

تُعتبر اجهزة الـ (EDM) بموجب سرعة الموجات الالكترومغناطيسية تحت ظروف بيئية معينة. وهكذا يجب معرفة ظروف القياس البيئية التطبيقية على امتداد مسار القياس لاجل تصحيح المسافة المقاسة. وهذا ليس هو مقتزح عملي في الوقت الحاضر ، ويجب الاكتفاء بقياس درجة الحرارة والضغط عند كل من نهايتي الخط الذي يجري قياسه. وللحصول على افضل نتائج ممكنة تحت هذه الظروف ، يتطلب الامر استخدام محارير وبارومترات معينة باعتناء ومعلقة من الجهاز بالغلي ما يمكن والتي يجب ان تقرأ بنفس وقت القياس ولجل تنفيذ هذا المطلوب الاخير فإن استخدام احد انواع اجهزة الاتصال الداخلي INTER-COMMUNICATION يكون ضرورياً.

كذلك فلتقياس الزوايا الشاقولية بنفس التحفظات، ولأجل الحصول على درجة الضبط المطلوبة، يدعو الأمر إلى استخدام أجهزة مزواة ذات دقة عالية وبفضل أن تكون ذات تأثير تلقائي AUTOMATIC INDEXING للدائرة الشاقولية، وكحالة نموذجية، تكون القراءات المتبادلة الآتية ضرورية، فلذا كانت الزوايا الشاقولية ممكنة فقط عند إحدئ نهايتي الخط، يجب تطبيق تصحيحات التحجب والانكسار، كذلك، واستنادا إلى متطلبات الموقع ودرجة الضبط المطلوبة يمكن أن يكون ضروريا الأخذ بنظر الاعتبار تأثير "انحراف الشاقول DEVIATION OF THE VERTICAL" على الزوايا المقاسة.

يتضح إذن بأن التثبيت بقياس الاضلاع لا يمكن أن يكون فقط أقل اقتصاديا من التثبيت بقياس الزوايا، وإنما عند الأخذ بمصادر الخطأ أعلاه بنظر الاعتبار (كرارانوسكي و ولسون 1967) يمكن أن يكون أقل ضبطا أيضا، فيظهر بأن هنالك دلائل متناقضة حول هذه النقطة (برك BURKE 1971)، مع أن (هودجس HODGES 1967) أثبت بشكل جازم بأن الزوايا المحتسبة من أعمال التثبيت بقياس الاضلاع هي ذات درجة ضبط مماثلة لتلك الزوايا المقاسة بمزواة تقرا ثانية واحدة في نفس شبكة الضبط.

إن السبب الآخر لعدم تمكن التثبيت بقياس الاضلاع من احتلال موقع التثبيت بقياس الزوايا هو التحقيق الداخلي الرقيق الذي تعطيه أعمال التثبيت بقياس الزوايا، فمثلا يكون لمثلث - بزواياه الثلاثة مقاسة - تحقيقا زاويا بينما بإضلاعه الثلاثة مقاسة، لا يكون له تحقيقا، كذلك فلتشكل الرباعي متقاطع الاضلاع أربعة شروط (ثلاث زوايا وضلع واحد) واجب تحقيقها بقياس الزوايا، بينما هنالك شرط واحد فقط بقياس الاضلاع وهو أن الزاوية الكلية المحتسبة عند ركن واحد تساوي مجموع الزاويتين المحتسبتين المركبتين لها.

وهكذا يكون تصميم الشبكة حرجا خصوصا في أعمال التثبيت بقياس الاضلاع، وللحصول على معلومات إضافية كافية لتحقيق درجة الضبط تصبح الأشكال الهندسية معقدة جدا، فمثلا، للحصول على نفس المعلومات الإضافية للشكل الرباعي متقاطع الضلعين في أعمال التثبيت بقياس الزوايا، يجب استخدام شكل خماسي تقاس كامل أضلاعه العشرة، هذا، وبالتأكيد قلن خبراء أعمال التثبيت بقياس الاضلاع قد اقترحوا استخدام الشكل السداسي المقاسة كافة أضلاعه (20 معطية 10 تحقيقا) باعتباره الشكل الأساسي للشبكة، مع ذلك، فمن الناحية العملية يكون لإنشاء الأشكال الخماسية والسداسية التي تكون فيها كافة المحطات متبادلة الزوايا صعب التحقيق في الحقل، وهكذا فمنطقيا يتطلب التثبيت بقياس الاضلاع نفس المقدار من التنظيم الموجود في أعمال التثبيت بقياس الزوايا.

يمكن احتساب الشبكة بطريقة تغيير الاحداثيات كما سبق والتشير اليه في الفصل الاول ، او يمكن اتباع الطريقتين التاليتين الاقل صرامة:

(1) لن أبسط طريقة هي باستخراج زوايا الشكل من الاطوال باستخدام معادلة نصف الزاوية:

$$\tan \frac{A}{2} = \left( \frac{s(s-a)}{(s-b)(s-c)} \right)^{\frac{1}{2}} \quad \dots <38-2>$$

حيث ان (  $2s = (a + b + c)$  )

ومن ثم تستخدم هذه الزوايا لاحتساب الاتجاهات الزاوية حول الشبكة ، وبهذه الطريقة ينتج مضعا مغلقا ، ويعدل ليعطى الاحداثيات النهائية. كذلك ، يمكن ايجاد الاحداثيات مباشرة باستخدام المعادلات 2-34 > . ولذا اريد ربط المسوحات بالمشبك الوطني ، فهذا يتطلب تحويل الاطوال الى اطوال كروية واستخدامها كما هو مبين اعلاه لاستخراج الاحداثيات الوقتية PROVISIONAL . ومن ثم تستخدم هذه الاحداثيات الوقتية لاحتساب تصحيحات (T) - ومعامل المقياس (SF) - راجع الفقرات 2-11 و 14 و 15 - والتي ستطبق على الزوايا والاطوال بشكل متتال لاستخراج ما يعادلها في المشبك. وان هذه القيم المستخدمة في المعادلات المباشرة 2-34 > ستعطي الاحداثيات الشبكية للنقاط.

(2) يمكن لجراء ربط بين لحداثيات نقاط الضغط بدون استخدام الزوايا ، فلذا طلب ايجاد لحداثيات C وكانت لحداثيات A و B و اطوال الاضلاع a و b و c معلومة من المثلث:

$$E_c = \frac{1}{2}(E_A + E_B) + \frac{a^2 - b^2}{2c^2}(E_A - E_B) - \frac{2\Delta}{c^2}(N_A - N_B) \quad \dots <A39-2>$$

$$N_c = \frac{1}{2}(N_A + N_B) + \frac{a^2 - b^2}{2c^2}(N_A - N_B) + \frac{2\Delta}{c^2}(E_A - E_B) \quad \dots <B39-2>$$

حيث ان A و B و C هي بترتيب اتجاه عقرب الساعة ، كما وان مساحة المثلث تساوي:

$$\Delta = \{s(s-a)(s-b)(s-c)\}^{\frac{1}{2}}$$

فلذا اريد ربط المسوحات بالمشبك الوطني ، يجب ايجاد معامل المقياس من الاحداثيات الوقتية وتطبيقه على الاطوال الكروية لتعطي الاطوال الشبكية. ومن ثم تستخدم هذه الاطوال الاخيرة في المعادلة لتعطي الاحداثيات الشبكية.

لقد اعطى الدكتور تي. إل. توماس (1971) المعادلات الجديدة التالية لحسابات التثليث بفتياس الاضلاع :

$$\Delta E = E_B - E_A \quad \Delta N = N_B - N_A \quad c^2 = \Delta E^2 + \Delta N^2$$

$$p = \frac{\Delta E}{c} \quad q = \frac{\Delta N}{c} \quad k = \frac{(b^2 + c^2 - a^2)}{2c} \quad h = (b^2 - k^2)^{\frac{1}{2}}$$

$$E_C = E_A + pk - qh \quad N_C = N_A + qk + ph \quad \text{ومن ثم:}$$

$$a^2 = (E_C - E_B)^2 + (N_C - N_B)^2$$

$$b^2 = (E_C - E_A)^2 + (N_C - N_A)^2$$

وقد افترض بالمعادلات اعلاه بان C هي التي يسار (B → A).

## 2-6-1 التمثيل بقياس الزوايا والاضلاع

### Triangulation

فكما تشير اليه التسمية، فالتمثيل بقياس الزوايا والاضلاع هي عبارة عن تركيب عمليتي قياس الزوايا-TRIANGULATION وقياس الاضلاع-TRILATERATION للخروج بمنظومة ضبط تكون فيها كافة الزوايا والاضلاع مقاسة.

فمن ناحية درجة الضبط يجب ان تكون المنظومة قوية جدا بفضل حصولها على كافة ابوابيات المخطومتين المستخرجة منهما. فالتحسينات في تحقيقات الشكل الرباعي متقاطع القطرين والشكل الخماسي ذي النقطة المركزية مدرجة ادناه :

التمثيل بقياس الزوايا والاضلاع	التمثيل بقياس الزوايا	التمثيل بقياس الزوايا الرباعي
--------------------------------	-----------------------	-------------------------------

عددالاتجاهات	12	0	12
عدد الاضلاع	1	6	6
عدد التحقيقات	4	1	9

الشكل الخماسي

عددالاتجاهات	20	0	20
عدد الاضلاع	1	10	10
عدد التحقيقات	6	4	15

في الوقت الذي يعترف فيه بان التمثيل بقياس الزوايا والاضلاع هي أكثر ضبطاً من المنظومتين انفتحتي الذكر، يجب التحقق من انها مركبة اقتصادياً. فبالتركيب سوف لن تكون مهارات هذه المنظومة مساوية الى مجموع المهارات في الطريقتين السالفتين. السبب الاول هو ؛ بعد ان يتم نصب الجهاز في محطة الرصد وبعد تعيين الاهداف/العاكسات في المحطات المنوي رصدها، فلن المساح الماهر سيحصل على كافة المعلومات الحقلية الضرورية بقليل من الوقت والجهد الاضافي، وان استخدام المحطات الكلية TOTAL STATIONS الالكترونية يجعل التطلع أكثر حيوية، وقد يجبر هذا المبالغ الابتدائية العالية التي ترصد لهذا الغرض. كذلك، سوف لن يكون هناك تراكمات في خطأ المقياس (SF) وخطأ السميت او قد تكون قليلة. وهكذا سيكون بالامكان استغلال الاشكال الرديئة وبذلك تقليل في الوقت المصروف في عملية الاستطلاع.

يجب ان يكون ممكنا ، خلال اعمال التحليل التي تسبق اعمال المسح ، التوصل الى افضل حالة للمنظومة بحيث لا يكون من الضروري لشغال كافة محطات الشبكة ، وبذلك تطوير اضافي لحيويتها . فتعديل هكذا شبكة توصي كميات غير متشابهة لا يمثل معوقا . اذا توفرت خدمات الكومبيوتر ، فباستخدام طريقة تغيير الاحداثيات يمكن تعديل كافة المعلومات للحصول على الاحداثيات المصححة للشبكة زائدا تحليلا كامل للخطا ووزن نهائي للمعلومات الحقلية .

فمن الواضح الان بان التخليط بقياس الزوايا والاضلاع بفضل على استخدام التخليط بقياس الزوايا والتخليط بقياس الاضلاع ، وهكذا تظهر كائنها طريقة حديثة . مع ذلك فمن غير المحتمل ان تتفوق على التخليط TRAVERSING او تمل محله وذلك بسبب الفرق الجوهرى بين منظومتيهما ولعامل الضبط والاقتصاد ايضا .

## 7-2 . التخليط TRAVERSING

منذ دخول معدات قياس المسافة الالكترومغناطيسية (EDM) برزت اعمال التخليط كأكثر الطرق شيوعا في إنشاء شبكات الضبط ، ليس فقط في اعمال المسح الهندسي وإنما ايضا في اعمال العلوم الارضية GEODETIC WORK . والتخليط هو الطريقة الوحيدة المستخدمة للضبط في اعمال مسح المناجم تحت الارض ، بينما تعبر بنفسها بشكل خام في الهندسة المدنية الى اعمال المساحة وضبط الابعاد في المشاريع ذات المسارات كإنشاء الطرق وخطوط الانابيب .

تكون شبكات التخليط ، التي حد كبير ، خالية من المحددات المفروضة على المنظومات الاخرى وبالمقارنة معها . كما ان لها المزايا التالية :

(A) تمتاج الى مقدار قليل جدا من الاستطلاع والتنظيم المطلوبين لإنشاء خط منفرد من محطات يسهل الوصول اليها ، بالمقارنة مع ما هو مطلوب عند إنشاء اشكال هندسية مكيفة الوضع .

(B) فيما يتعلق بـ (A) اعلاه ، فالتحديثات المفروضة على المنظومات الاخرى بسبب الظروف الطوبوغرافية لا تسرى على التخليط .

(C) إن حجم القراءات التي تؤخذ الى محطتين فقط في آن واحد هو صغير نسبيا ، وهو مرن يختلف حسب الظروف المناخية المتغيرة بالمقارنة مع القراءات الزاوية و/ او الخطية التي تؤخذ من محطات المنظومات الاخرى . ففي إذن اسهل تنظيمها .

(D) تكون شبكات التخليط خالية من اعتبارات قوة الشكل الخاصة بالتركيب المثالية . وفي ذلك تغليب بالمتطلبات التنظيمية مرة اخرى .

(E) لا يحدث خطأ المقياس كما في اعمال التخليط ، بينما استخدام اضلاع اطول سهلة القياس باجهزة قياس المسافة الالكترونية يقلل اخطاء السمات الناجمة عن تغيير الاتجاه ،

(F) يمكن اختبار محطات التضليع لاعتبارها بحيث يسهل الوصول إليها إضافة إلى إمكانية الاستفادة منها لتكثيف لاحق لأعمال ضبط بدرجة أو طلاء.  
(G) تسمح أعمال التضليع بالسيطرة على خطوط الطرق السريعة أو خطوط الانابيب أو الانفاق ... الخ عن قرب وبأقل عدد من المحطات.

لقد اثبت كرازانوسكى و كونيبنى (1965) وادلر وسكومتر (1971) بأن التضليع يتفوق على التضليث بقياس الزوايا والتضليث بقياس الاضلاع وحتى في بعض الحالات مثل التضليث بقياس الزوايا والاضلاع من حيث درجة الضبط ACCURACY. مع ذلك ، يجب القول بأن هذه الاستنتاجات هي من طرح قبلين (1967).

يمكن الجدول لذن بأن التضليع هي افضل من غيرها من الطرق من حيث درجة الضبط .

وهكذا بأخذ كافة النظام المذكورة اعلاه بنظر الاعتبار يتضح منطقيا بأن التضليع هو افضل بكثير من كافة الطرق الاخرى ويعطى درجة ضبط مساوية لها في الاقل. راجع الجزء الاول/سكوفيلد- شعبان 1986 لتفاصيل أكثر حول التضليع.

## TRIGONOMETRICAL LEVELLING

## 8-2 التسوية المثلثية

تستخدم التسوية المثلثية في المواقع الوعرة التي لا تسمح باستخدام آلات التسوية التقليدية. فالطريقة هي مموما أقل ضبطاً من التسوية التقليدية ، ولو أنها في الظروف الجوية المستقرة تعطي نتائج مقاربة للتسوية الدقيقة.

### Single observations

### 1-8-2 القراءات المنفردة

يبين الشكل (2-20) أسس العمل بهذه الطريقة. فلذا عرفت المسافة الكروية D بين A و B يمكن احتساب فرق الارتفاع بينهما باستخدام الزاوية الشاقولية المرصودة. فانكسار خط النظر في الجو في طريقه من A إلى B يؤدي بالمنظار للتوجه إلى E. وهكذا فزاوية الارتفاع الشاقولية المرصودة (مقاسة من الافق) هي  $\phi$  وزاوية الانكسار هي  $\delta$  والزاوية الناتجة عن تعدد سطح الأرض هي  $\epsilon$ . وبمعاملة المثلث (ABA') كمثلث مستوي قائم الزاوية (لقد تم حذف أوتار الأقواس من الشكل):

$$A'B = H = D \tan \phi$$

الفرق بالارتفاع بين A و B :  
حيث أن:

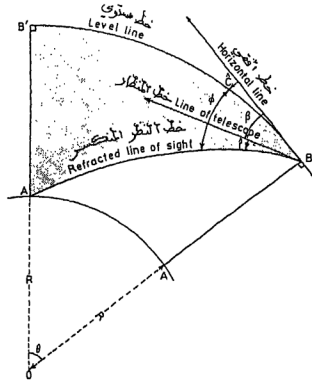
$$\phi = \alpha + (\epsilon - \delta)$$

... <A40-2>

$$\therefore H = D \tan[\alpha + (\epsilon - \delta)]$$

... <B40-2>

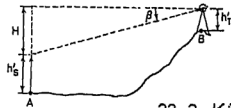




شكل 2-21



شكل 2-22



شكل 2-23

$$BA = H + h'_s - h'_r = H + (h'_s - h'_r)$$

$$\therefore H = D \tan \beta - (c - r) + (h'_s - h'_r)$$

الفرق بالارتفاع (BA) :

... <B42-2>

## 2-8-2 التسوية المثلثية المتبادلة

### Reciprocal trigonometrical levelling

لماذا جرت القراءتان اعلاه من A الى B ومن B الى A في وقت واحد يطلق عليها اسم 'التسوية المثلثية المتبادلة'. ويفترض فيها حذف تأثير الانكسار. وهكذا فجميع (المعادلتين A40-2 و A41-2) ينتج:

$$2\phi = (\alpha + \beta) \text{ and } H = D \tan \phi.$$

$$\therefore H = D \tan \left( \frac{\alpha + \beta}{2} \right)$$

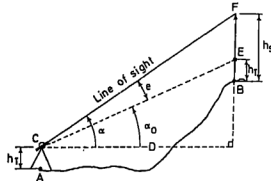
... <A43-2>

ويتم التصحيح عن الاختلاف بين ارتفاع المزواة والاشارة بأخذ متوسط القيم المتضمنة مع ملاحظة ان احد التصحيحين هو  $(- (h_r - h_s))$ ، وهكذا :

$$H = D \tan\left(\frac{\alpha + \beta}{2}\right) + \frac{(h'_s - h'_T) - (h_s - h_T)}{2}$$

...&lt;B43-2&gt;

هنالك طريقة أخرى لحل موضوع الاختلاف بين ارتفاعي الجهاز والإشارة ، وهي بتعديل الزوايا المرصودة إلى القيم التي كان بالإمكان الحصول عليها لو كان الجهاز والإشارة بنفس الارتفاع. ومن (الشكل 24-2) ، وبقرض الحالة العامة التي تكون فيها الإشارة أعلى من المزواة يجب طرح التصحيح  $e$  من الزاوية المرصودة  $\alpha$  لاعطاء الزاوية المعدلة  $\alpha_0$ . وهذه القيمة تستخدم في المعادلة <A43-2> بدلا من  $\alpha$ .



شكل 24-2

وبقرض ( $CF \approx CE \approx DI$ ) ، فلن : 
$$e'' = \left( \frac{h_s - h_T}{D} \right) \times 206265$$
 ...<44-2>

ومرسم مشابه لـ (الشكل 24-2) سيبين بأن التصحيح يضاف إلى زوايا الانخفاض  $\beta$  ليعطي  $\beta'$  ، وأخيرا ، في حالة كون كلتا الزاويتين  $\alpha$  و  $\beta$  زاويتين لإنخفاض ، فلن المعادلة الأساسية ستمصح:

$$H = D \tan\left(\frac{\alpha - \beta}{2}\right) \quad \dots <45-2>$$

### Curvature and refraction

### 3-8-2 التحدب والانكسار

في حالة القراءات المنفردة ، يجب ان تجري التصحيحات عن التحدب والانكسار.

في الوقت الذي يتناسب فيه التحدب طرديا مع المسافة  $D$  ونصف قطر الكرة الأرضية  $R$ ، فلن الانكسار يتغير أساسا تبعا لدرجة الحرارة. وهكذا ، بالنسبة لمعظم النتائج الدقيقة يتم أخذ عدة مواقع من القراءات المتبادلة في منطقة العمل لأجل الوصول إلى متوسط قيمة لمعامل الانكسار  $K$  والذي يمكن ان يستخدم فيما بعد لتعديل القراءات المنفردة.

$K$  هو قياس لتحذب خط النظر ويساوي النسبة بين نصف قطر تحدب الكرة الأرضية  $R$  ونصف قطر انحناء خط النظر  $R_s$ .

وهكذا فلن  $(K=R/R_s)$ ، فلذا كانت  $(K=1)$  فلن  $(R=R_s)$ ، ومن حيث الرصد، ستظهر الأرض كأنها هي مستوية، لأن معدل قيمة  $K$  هي 0.14 ولو يتم الحصول على قيم مختلفة تماما في ظروف غير اعتيادية كما هي الحالة في المناطق الجليدية، ومما يجب ملاحظته هو أن هنالك طريقة أخرى لإيجاد قيمة  $K$  والتي تعطى قيمة لـ  $K$  معدلها يساوي 0.07.

بجعل التصحيح بالمقادير الزاوية، ومن الشكل 2-20:

$$\dots \langle 46-2 \rangle$$

$$\hat{e} = \theta/2$$

ثم :

$$\hat{r} = K\hat{e} = K(\theta/2)$$

$$\dots \langle 47-2 \rangle$$

من المعادلتين  $B40-2$  و  $B41-2$  وحيث أن  $H$  و  $D$  مشتركتان، فلن:

$$\alpha + (\hat{e} - \hat{r}) = \beta - (\hat{e} - \hat{r}) \quad \therefore 2\hat{r} = \alpha - \beta + 2\hat{e}$$

والتعويض عن  $\hat{e}$  من المعادلة 2-46 يعطى:

$$\hat{r} = \frac{1}{2}(\theta + \alpha - \beta) \quad \dots \langle 48-2 \rangle$$

عندما تكون كلتا الزاويتين  $\alpha$  و  $\beta$  زاويتي إنخفاض :

$$\hat{r} = \frac{1}{2}(\theta - \alpha - \beta)$$

ويعوض (  $\hat{r} = K(\theta/2)$  ) في المعادلة 2-48 يعطى:

$$K = \frac{\theta + \alpha - \beta}{\theta} \quad \dots \langle 49-2 \rangle$$

لاحظ جيدا: أول ما تسمح الزاويتان  $\alpha$  و  $\beta$  في المعادلتين 2-48 و 2-49 عن اختلاف ارتفاعي الجهاز والاشارة - انظر المثال المحلول (رقم 2-13) صحيفة 121.

والآن خذ التصحيح بالمقادير الخطية < شكل 2-20 > :

$$c = FA' = D^2/2R \quad \dots \langle A50-2 \rangle$$

عندما تكون كافة الوحدات متماثلة، خذ  $(R=6372\text{KM})$  واجعل  $D$  بالكيلومترات، فلن  $c$  بالامتار ستساوي:

$$c = \frac{1000D^2}{2 \times 6372} = 0.0785D^2 \text{ m} \quad \dots \langle B50-2 \rangle$$

$$= BE \approx D \hat{r} \quad \text{القيمة الخطية لـ } \hat{r} \text{ تساوي:}$$

$$\hat{r} = K(\theta/2) \quad \text{ولكن:} \quad \theta = D/R$$

$$\hat{r} = KD/2R$$

وهكذا:

لأن الخطية تساوي:

$$= BE = D\hat{r} = \frac{KD^2}{2R} \quad \dots \langle 51-2 \rangle$$

وبتركيب التصحيحين:

$$(c - r) = \frac{D^2}{2R} - \frac{D^2K}{2R} = \frac{D^2}{2R}(1 - K) \quad \dots \langle 52-2 \rangle$$

حيث تستخرج K من (المعادلة 2-49) . فلذا استخدمت  
(K=0.14) فإن المعادلة تقترب من (D 0.0674) متر ، حيث  
تكون D بالكيلومترات.

وهكذا تستخدم هذه القيم الزاوية و/أو الخطية لـ C  
و r في المعادلات الملائمة للقراءات المنفردة.

### أمثلة محلولة

مثال 2-8: كانت القيم الوسطية لزاويا مثلث A و B و C  
كما فُتست في اعمال تثليث (بقياس الزوايا) مهمة كما  
يلي وحسب الاوزان المبينة ازاؤها: (A=50°22'32.5") بوزن 5  
و (B=65°40'47.5") بوزن 3 و (C=63°56'46.5") بوزن 6.  
وكان طول الضلع (BC) 37.5 كم ونصف قطر الكرة الارضية  
6267 كم.  
اوجد (A) الزيادة الكروية (B) القيم المحتملة  
للزيادة الكروية

### الحل

$$E'' = \frac{ab \sin C \times 206265}{R^2} \quad ; \quad (A) \text{ الزيادة الكروية } E''$$

ومن قانون الجيوب:

$$b = a \sin B / \sin A$$

$$\therefore E'' = \frac{a^2 \sin B \sin C}{2R^2 \sin A} \times 206265 = 3.9''$$

(B) يجب ان يكون مجموع الزوايا الكروية المعدلة  
(180°+E'') اي (180°00'03.9'').

الزوايا مصححة	التصحيح	مقلوب الاوزان المتوسط القيمة	الزوايا
A	$\frac{-2.6 \times 6}{21} = -0.7''$	5	50 22 32.5
B	$\frac{-2.6 \times 10}{21} = -1.3''$	3	65 40 47.5
C	$\frac{-2.6 \times 5}{21} = -0.6''$	6	63 56 46.5
المجموع	-2.6''	المجموع = 21	180 00 06.5
			03.9

لذن التصحيح يساوي (2.6'') (-)

مثال 2-9: أربع محطات تخطيطية (بقياس الزوايا) على شكل المثلث (ABC) حيث تقع النقطة الرابعة D داخله. الزوايا المقاسة ولوغاريتمات جيوب LOG SINS الزوايا الخارجية هي معطاة أدناه. عدل الزوايا إلى اقرب ثانية بطريقة الانزاحات المتساوية EQUAL SHIFTS.

الرقم	لوغاريتمات الزوايا المقاسة	الفرق في لوغاريتمات الجيوب
		الجيوب لـ 1°
1	BAD 26 31 32	I.649 915 6 0.000 004 2
2	ABD 20 57 35	I.553 532 9 55
3	DBC 35 05 09	I.759 519 0 32
4	BCD 30 28 41	I.705 186 3 36
5	ACD 26 59 46	I.656 989 0 41
6	CAD 39 57 26	I.807 680 7 25
7	ADB 132 30 50	
8	BDC 114 26 04	
9	CDA 113 03 06	

(جامعة لندن)

الحل

راجع (الشكل 2-13A) واستخدم الطريقة المشار إليها بالفقرة 2-3(3) صميفة 122 .

الزوايا التصحيح الزوايا الزوايا التصحيح الرقم  
المصححة الثاني المركزية المصححة الأولى الزوايا المثلث

	1	2	3	4	5	6	7	8	9
ABD	1	26	31	32	1	33			
	2	20	57	35	1	36			
	7	132	30	50	1	51	132	30	51
المجموع	179	59	57						
BCD	3	35	05	09	2	11			
	4	30	28	41	2	43			
	8	114	26	04	2	06	114	26	06
المجموع	179	59	54						
CAD	5	26	59	46	-6	40			
	6	39	57	26	-6	20			
	9	113	03	06	-6	00	113	03	00
المجموع	180	00	18				359	59	57

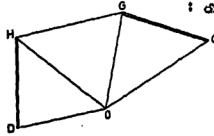
وحيث إن التصحيح للزوايا المركزية هو 1"، هذا تلقائياً يعطى تصحيحاً مقداره (0.5") - لكل من زوايا قواعد المثلثات لإعادتها إلى 180° .

الزوايا النهائية		الفرق		شرط الضلع		شرط الضلع	
لوجاريثم الجيب (زوجية)		لوجاريثم الجيب (فردية)		رقم		رقم	
1	1.649 915 6	2	1.553 532 9	42	-1	26	31 31.5
3	1.759 519 0	4	1.705 186 3	55	1	20	57 36.5
5	1.656 989 0	6	1.807 680 7	32	-1	35	05 09.5
				36	1	30	28 43.5
				41	-1	26	59 38.5
				25	1	39	57 20.5
1.066 423 6		1.066 399 9		231			
399 9							
الفرق = 237							

ولكن  $1$  تساوى تقريبا  $1^{\circ}$  من  $(237/231)$

لأن الزوايا المركزية هي كما مبينة في نهاية التصحيح الثاني ، والزوايا النهائية يمكن تقريبها الآن إلى اقرب ثانية.

مثال 2-10: قيس كافة زوايا الشبكة في شبكة مثلث بغياس الزوايا المبينة في (الشكل 2-25). كما قيس الضلعان (DH) و (GC) كخط قاعدة وخط قاعدة تحقيقي على التوالي وكما يلي :



شكل 2-25

$\Delta DHO$	$\Delta HGO$	$\Delta GCO$
$D = 79 \ 47 \ 05$	$H = 77 \ 28 \ 58$	$G = 82 \ 22 \ 17$
$H = 58 \ 32 \ 35$	$G = 36 \ 02 \ 38$	$C = 71 \ 29 \ 47$
$O = 41 \ 40 \ 05$	$O = 66 \ 28 \ 48$	$O = 26 \ 08 \ 17$
$DH = 426.58 \text{ m}$		$GC = 486.83 \text{ m}$

عدل الزوايا المرصودة بطريقة "الازاحات المتساوية" لأعطاء شكل متناسق.

(جمعية المهندسين المدنيين البريطانية)

الحل

المطلوب في هذا السؤال هو تعديل الشكل بحيث أن القيمة المحسوبة لخط القاعدة التحقيقي تساوى

القيمة المقاسة له.

اول خطوة، عدل كل مثلث ، فجمع زوايا كل مثلث بعطى:  
 $DHO=179^{\circ}49'45''$  ر  $HGO=180^{\circ}00'24''$  ر  $GCO=180^{\circ}00'21''$

وهكذا هنالك تصحيح لكل زاوية مقداره  $5^{\circ}$  و  $8^{\circ}$  و  $(-7^{\circ})$   
 لكل مثلث على التوالي. والزوايا المصححة هي الآن كالآتي

$\Delta DHO$ , ,	$\Delta HGO$ , ,	$\Delta GCO$ , ,
$D = 79 \ 47 \ 10$	$H = 77 \ 28 \ 50$	$G = 82 \ 22 \ 10$
$H = 58 \ 32 \ 40$	$G = 36 \ 02 \ 30$	$C = 71 \ 29 \ 40$
$O = 41 \ 40 \ 10$	$O = 66 \ 28 \ 40$	$O = 26 \ 08 \ 10$

بواسطة قانون الجيوب (الشكل 2-25) تكون القيمة المحسبة لـ (GC):

$$GC = \frac{HD \sin HDO \sin GHO \sin GOC}{\sin HOD \sin OGH \sin OCG}$$

الفرق لـ 10°	الفرق لـ 10°
بأخذ اللوغاريتمات	
log 426.58 = 2.630 001	
log sin 79° 47' 10" = 1.993 063	3.7
log sin 77° 28' 50" = 1.989 548	4.7
log sin 26° 08' 10" = 1.643 951	42.8
Σ = 2256 563	

الفرق لـ 10°	الفرق لـ 10°
log sin 41 40 10 = 1.822 712	23.7
log sin 36 02 30 = 1.769 653	29.0
log sin 71 29 40 = 1.976 943	7.2
Σ = 1.569 308	

لذن لوغاريتم (GC):

$$\therefore \log GC = 2.687 \ 255 = 486.69 \text{ m (computed)}$$

$$\log GC = 2.687 \ 378 = 486.83 \text{ m (measured)}$$

$$\text{Difference} = 0.000 \ 123$$

الفرق يساوي:

ويجب تعديل هذا الفرق بين الزوايا الست المستخدمة في الحسابات بحيث أن القيمة المحسبة النهائية للوغاريتم (GC) تساوي قيمته المقاسة.

مجموع الفروقات لـ  $(10^{\circ})$  تساوي  $(111.1)$ . لذن مقدار التصحيح لكل زاوية:

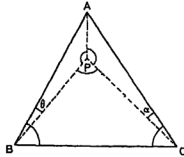
وبحسب أن قيمة لوغاريتم (GC) النهائية المحسبة تتطلب زيادة، فلن نصحح حسابات اللوغاريتم بحسب بانه يمكن تعديل الزوايا (HDO) و (GHO) و (GOC) بإضافة  $11^{\circ}$  إلى كل منها، بينما تعدل الزوايا (HOD) و (OGH) و (OCG) بطرح  $11^{\circ}$  من كل منها. أما الزوايا الثلاث غير الداخلة في الحسابات فتبقى كما هي في التصحيح الاول.

مثال 2-11: في المثلث (ABC)، (AB) يساوي 5205.0 و (AC) يساوي 5113.8، والزوايا B و C تساويان  $(55^{\circ}01'05'')$

و( $62^{\circ}04'20''$ ) على التوالي، وحيث لم يكن بالإمكان التواجد في محطة A فقد أخذت القراءات من محطة تابعة SATELLITE (P) تبعد 11.1 م من A وفي داخل المثلث، وكانت قراءات الجهاز في P : ( $A=0^{\circ}00'00''$ ) و ( $C=148^{\circ}28'40''$ ) و ( $B=211^{\circ}31'10''$ )، اوجد الخطأ الزاوي في المثلث، (جامعة لندن)

الحل

لما كانت المزاواة تقاس باتجاه عقرب الساعة فلن القراءات في P تعيد في تثبيت المواضع النسبية لـ A و B و C <شكل 2-26> بالإضافة إلى إعطاء القيم الزاوية التالية: ( $APC=148^{\circ}28'40''$ ) و ( $CPB = 63^{\circ}02'30''$ ) و ( $BPA=148^{\circ}28'50''$ ) .



شكل 2-26

بواسطة قانون الجيوب للمثلث (APC) :

$$\alpha'' = \frac{AP \sin \hat{A}PC}{AC} \times 206265 = \frac{11.1 \sin 148^{\circ}28'40''}{5113.8} \times 206265$$

$$= 234'' = 0^{\circ}03'54''$$

وبنفس الطريقة للمثلث (APB) :

$$\theta'' = \frac{AP \sin \hat{B}PA}{AB} \times 206265 = \frac{11.1 \sin 148^{\circ}28'50''}{5205.0} \times 206265$$

$$= 230'' = 0^{\circ}03'50''$$

$$\therefore \quad \hat{CAB} = \hat{CPB} - \alpha'' - \theta''$$

$$= 63^{\circ}02'30'' - 03'54'' - 03'50'' = 62^{\circ}54'46''$$

$$\text{إذن الخطأ الزاوي يساوي:}$$

$$= 180^{\circ} - (\hat{A} + \hat{B} + \hat{C})$$

$$= 180^{\circ} - (62^{\circ}54'46'' + 55^{\circ}01'05'' + 62^{\circ}04'20'') = +11''$$

مثال 2-12: (A) عرف معامل الانكسار K ، وبين كيف يمكن الحصول عليه من قراءات التسوية المثلثية المتبادلة.

(B) محطات تثليث (لقياس الزوايا) A و B المسافة بينهما 2856.85 م. وقد أعطت الرصدة من A إلى B زاوية شاقولية متوسط قيمتها يساوي ( $01^{\circ}35'38''$ ) ، وكان ارتفاع الجهاز 1.41 م وارتفاع الهدف 2.32 م. فإذا كان منسوب المحطة A ، 156.86 م فوق مستوي الاسناد المساحي وكانت قيمة K للموقع 0.16، اوجد منسوب B، (نصف قطر الكرة الأرضية يساوي 6372 كم) (بوليتكنيك كنكزتون)

(A) راجع <الفقرة 2-8-3>.  
(B) سوف تتم الإجابة على هذا الجزء باستخدام كلا الطين الزاوي والخطي.

### الطريقة الزاوية

الفرق بالارتفاع في (AB) يساوي:  
حيث أن  $(\delta = \theta/2)$  و:

$$H = D \tan[\alpha + (\delta - f)]$$

$$\theta = \frac{D}{R} = \frac{2856.85}{6372000} = 0.000448 \text{ rad}$$

$$\therefore \delta = 0.000224 \text{ rad}$$

$$f = K(\theta/2) = 0.16 \times 0.000224 = 0.000036 \text{ rad}$$

$$\therefore (\delta - f) = 0.000188 \text{ rad} = 0^\circ 00' 38.8''$$

$$\therefore H = 2856.85 \tan(01^\circ 35' 38'' + 0^\circ 00' 38.8'') = 80.03 \text{ m}$$

ومن <الشكل 2-22>، منسوب B يساوي:

$$= (A_{\text{منسوب}}) + h_T + H - h_A$$

$$= 156.86 + 1.41 + 80.03 - 2.32$$

$$= 235.89 \text{ m.}$$

### الطريقة الخطية

$$H = D \tan \alpha + (c - r)$$

حيث أن:

$$(c - r) = \left(\frac{D^2}{2R}\right)(1 - K) = \frac{2856.85^2}{2 \times 6372000} \times 0.84 = 0.54 \text{ m}$$

$$D \tan \alpha = 2856.85 \tan(01^\circ 35' 38'') = 79.49 \text{ m}$$

$$\therefore H = 79.49 + 0.54 = 80.03 \text{ m}$$

مثال 2-13: المحطتان A و B المسافة بينهما 1713 م، وقد سجلت الارتفاعات التالية: ارتفاع الجهاز في A يساوي 1.392 م وفي B يساوي 1.464 م وارتفاع الإشارة في A يساوي 2.199 م وفي B يساوي 2 م، وزاوية الارتفاع إلى الإشارة التي في B تساوي  $(1^\circ 08' 08'')$  وزاوية الانخفاض إلى الإشارة التي في A تساوي  $(1^\circ 06' 15'')$ . فلذا كانت  $1^\circ$  في مركز الكرة الأرضية تقابل 30.393 م على سطح الأرض، اوجد الفرق بالمتسوب بين A و B وتصحيح الانكسار. (جامعة لندن)

من <المعادلة 2-43>:

$$H = D \tan\left(\frac{\alpha + \beta}{2}\right) + \frac{(h'_T - h_T) - (h'_A - h_A)}{2}$$

حيث أن  $h_T$  هو ارتفاع الجهاز في A و  $h'_T$  ارتفاع الإشارة في B و  $h_A$  هو ارتفاع الجهاز في B و  $h'_A$  ارتفاع الإشارة في A

$$\therefore H = 1713 \tan \left( \frac{(1^\circ 08' 08'') + (1^\circ 06' 15'')}{2} \right) + \frac{(2.199 - 1.464) - (2.000 - 1.392)}{2}$$

$$= 33.490 + 0.064 = 33.55 \text{ m}$$

وباستخدام الطريقة الجدلية <المعادلة 2-44>:  
تصحيح زاوية الارتفاع ( $e''$ ):

$$e'' = \frac{1.392 - 2.000}{1713.0} \times 206265 = -73.2''$$

$$\therefore \alpha = (1^\circ 08' 08'') - (01' 13.2'') = 1^\circ 06' 54.8''$$

تصحيح زاوية الانخفاض ( $e''$ ):

$$e'' = \frac{(2.199 - 1.464)}{1713.0} \times 206265 = 88.5''$$

$$\therefore \beta = (1^\circ 06' 15'') + (01' 28.5'') = 1^\circ 07' 43.5''$$

$$\therefore H = 1713 \tan \left( \frac{1^\circ 06' 54.8'' + 1^\circ 07' 43.5''}{2} \right) = 33.55 \text{ m}$$

$$f = \frac{1}{2}(\theta + \alpha - \beta)$$

تصحيح الانكسار ( $\hat{r}$ ):

$$\theta'' = 1713.0/30.393 = 56.4''$$

$$\therefore f = \frac{1}{2}(56.4'' + (1^\circ 06' 54.8'') - (1^\circ 07' 43.5'')) = 3.8''$$

حيث ان:

$$K = \frac{f}{\theta/2} = \frac{3.8''}{28.2''} = 0.14$$

وكذلك:

مثال 2-14: النقطتان A و B ، المسافة بينهما 8 كم وعلى ارتفاعين 102.50 م و 286.50 م على التوالي فوق مستوي الاسناد ، وارتفاع الهدف في A هو 1.50 م وفي B هو 3.00 م بينما ارتفاع الجهاز في كلا الموقعين هو 1.50 م. فلذا كانت 1" من القوس عند مركز الكرة الارضية تقابل 31 م على سطح الارض وتأثير الانكسار يساوي (1/7) تأثير التمدد، توضع الزوايا المرصودة من A الى B ومن B الى A.

الحل

بالرجوع الى الشكل 2-20، المطلوب هو ايجاد الزاوية المرصودة  $\theta$  عندما تعطى قيمة  $\phi$ .

الفرق بالارتفاع بين A و B:

$$= H = 286.50 - 102.50 = 184.00 \text{ m}$$

بواسطة الزوايا القطرية:

$$= \frac{184}{8000} \times 206265 = 4744'' = 1^\circ 19' 04''$$

الزاوية المقابلة في مركز الكرة الارضية:

$$\theta'' = \frac{8000}{31} = 258''$$

لذن تصحيح التمدد ( $\epsilon = \theta/2 = 129''$ ) والانكسار ( $f = \epsilon/7 = 18''$ ).

$$H = D \tan \phi$$

والان:

حيث :

$$\phi = \alpha + (\delta - \rho)$$

$$\therefore \alpha = \phi - (\delta - \rho) = 4744'' - (129'' - 18'') = 4633'' = 1^\circ 17' 13''$$

كذلك من &lt;المعادلة 2-41&gt; :

$$\phi = \beta - (\delta - \rho)$$

$$\therefore \beta = \phi + (\delta - \rho) = 4855'' = 1^\circ 20' 55''$$

ويجب تصحيح الزاوية المرسودة  $\rho$  عن الاختلاف في ارتفاعي الجهاز والاشارة، عادة بطرح التصحيح من الزاوية المرسودة ليعطي الزاوية المتبادلة الحقيقية، وفي هذا المثال،  $\rho$  هي الزاوية المتبادلة الحقيقية، وهكذا فالتصحيح يجب ان يجمع في هذه الحالة المعكوسة.

$$\rho'' = [(h_s - h_T)/D] \times 206265 = [(3.00 - 1.50)/8000] \times 206265 = 39''$$

$$\therefore \alpha = 4633'' + 39'' = 4672'' = 1^\circ 17' 52''$$

مثال 2-15: تم تثبيت قاعدة ماكينة RIG لاستخراج الطار فوق قاع البحر على بعد 48 كم من كل من محطتي مسح على الساحل المسافة بينهما بضعة كيلومترات، ولأجل تحديد الموقع المضبوط للقاعدة يجب إقامة منار عليها بحيث يكون مركبا من المزاوتين المنصوبتين في المحطتين الساحليتين وعلى ارتفاع 36 م من اعلى مستوي للماء.

بإهمال تأثيرات الانكسار وجفرض ان اقل مسافة بين خط النظر والماء الساكن هي 3 م في حالة المد، احسب اقل ارتفاع للمنار فوق علامة اعلى مستوي للماء عند القاعدة الماكينة، لثبت اية معادلة تقوم باستخدامها.

احسب زاوية الارتفاع التي ستقاس بالمزاوة عند رصد هذا المنار، مع اخذ عامل الانكسار بنظر الاعتبار وفرض ان الخطا بسبب الانكسار هو سبع الخطا بسبب تحدب الارض، علما بان متوسط قيمة نصف قطر الكرة الارضية 6273 كم، (جمعية المهندسين المدنيين البريطانية)

الحل

من &lt;الشكل 2-27&gt; :

من &lt;المعادلة 2-A50&gt; للجريان انظر الجزء الاول/سكوفيلد

- شمان 1986 صحيفة [24] :

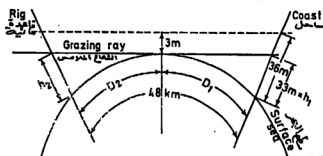
$$D_1 = (2h_1 R)^{\frac{1}{2}}$$

$$D_1 = (2 \times 33 \times 6273000)^{\frac{1}{2}} = 20.35 \text{ km}$$

$$D_2 = 48 - D_1 = 27.65 \text{ km}$$

$$D_2 = (2h_2 R)^{\frac{1}{2}}$$

$$h_2 = 61 \text{ m}$$

لذن ولما كانت  $D_2$  :

شكل 2-27

ولاجل تجنب ملامسة خط النظر لسطح البحر بالارتفاع 3م عنه  
يجب ان يكون ارتفاع المنار 64م.

من (الشكل 2-20) الفرق بالارتفاع بين المنار والمزواة  
(M) ( = 64 - 36 = 28 M) والزاوية الشاقولية المرسودة  
لزوایا الارتفاع (  $\alpha = \phi - (\delta - f)$  ) حيث :

$$\phi'' = \frac{28 \times 206265}{48000} = 120.3''$$

$$\delta = \theta/2$$

$$\theta'' = \left( \frac{48}{6273} \right) \times 206265 = 1578.3''$$

وعندما :

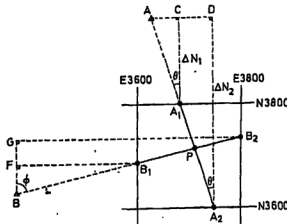
$$\therefore \delta = 789.2'' \quad \text{و} \quad f = \delta/7 = 112.7''$$

$$\therefore \alpha = 120.3'' - 789.2'' + 112.7'' = -556.2'' = -0^\circ 09' 16''$$

والقيمة السالبة لا تشير الى ان  $\alpha$  هي زاوية انخفاض  
وليست لارتفاع كما ذكرت بالسؤال .

مثال 2-16: المطلوب ايجاد إحداثيات المحطة P من الحل  
شبه التخطيطي للتقاطع INTERSECTION. خذ اثنين من  
الشعاعات فقط واحسب قيمتي نقطتي التقاطع المتراقتين  
لذا علمت بان الاتجاه الزاوي لـ (AP) يساوي (S05°20'20"E)  
ولـ (BP) يساوي (N84°10'33"E) وإحداثيات A هي 1054.66م تشرقي  
و 3500.05م شملي وإحداثيات B هي 1054.66م تشرقي  
و 2980.08م شملي والاحداثيات الوقتية لـ P هي 3640م  
تشرقي و 3720م شملي، كما ان إحداثيات ورق الرسم  
الجباني هي 3800م شملي للحافة العليا و 3600م شملي  
للحافة السفلى و 3600م تشرقي للحافة اليسرى و 3800م  
تشرقي للحافة اليمنى.

الحل



شكل 2-28

$$CA_1 = \Delta N_1 = 5085.38 - 3800 = 1285.38 \text{ m}$$

$$DA_2 = \Delta N_2 = 1485.38 \text{ m}$$

$$AC = \Delta N_1 \tan \theta = 1285.38 \tan 05^\circ 20' 20'' = 120.121 \text{ m} = \Delta E_{A_1}$$

$$AD = \Delta N_2 \tan \theta = 138.812 \text{ m} = \Delta E_{A_2}$$

إذن نقطتي التقاطع المتtraفتين  $A_1$  و  $A_2$  :

$$A_1 = E_A + \Delta E_{A_1} = 3500.05 + 120.12 = E 3620.17 \text{ m}$$

$$A_2 = E_A + \Delta E_{A_2} = 3500.05 + 138.81 = E 3638.86 \text{ m}$$

ونفس الشيء بالنسبة لـ B :

$$FB_1 = \Delta E_{B_1} = 3600 - 1054.60 = 2545.40 \text{ m}$$

$$GB_2 = \Delta E_{B_2} = 2745.34 \text{ m}$$

$$\therefore BF = \Delta E_{B_1} \cot \phi = 2545.34 \cot 84^\circ 10' 30'' = 259.668 \text{ m} = \Delta N_{B_1}$$

$$BG = \Delta E_{B_2} \cot \phi = 280.071 \text{ m} = \Delta N_{B_2}$$

نقطتا التقاطع المتtraفتين  $B_1$  و  $B_2$  :

$$B_1 = N_B + \Delta N_{B_1} = 2980.08 + 259.668 = N 3239.75 \text{ m}$$

$$B_2 = N_B + \Delta N_{B_2} = N 3260.15 \text{ m}$$

لمارين

5-2 يولف الشكل الخماسي (ABCDEA) بنقطته المركزية O جزءاً من مشروع تنظي (بقياس الزوايا). وقد تم تعديل الزوايا في كل الاشكال التي تولف الشبكة بكاملها. وفي هذه الحالة فقد تم تعديل الزوايا في كل من المثلثين (DOE) و (EOA) وهي لذن لا تحتاج الى تصحيح آخر.

وبالاستفادة من المعلومات الواردة بالجدول ادناه، لستخدام طريقة الازاحات المتساوية EQUAL SHIFTS لتعيين التصحيح الواجب تطبيقه على كل من الزوايا الباقية.

المثلث	الزاوية	القيمة المرصودة ° ' "	لوغاريتم الجيب	فرق لو الجيب 1"
AOB	OAB	40 17 57	7.810 755	25
	OBA	64 11 20	6.954 355	10
	AOB	75 30 52		
BOC	OBC	37 22 27	7.783 201	28
	OCB	71 10 50	6.976 139	7
	BOC	71 26 22		
COB	OCB	24 51 25	6.623 615	46
	ODC	51 48 47	6.895 421	17
	COD	103 19 33		
الزوايا المعدلة				
DOE	ODE	67 18 59	7.965 036	2
	ODE	51 02 00	6.890 707	1
	DOE	61 39 01		
EOA	OEA	116 47 40	7.950 671	4
	OAE	15 08 02	6.416 766	2
	EOA	48 04 18		

(جمعية المهندسين المدنيين البريطانية)  
 [الجواب: تصميمات الزوايا هي: ( $OAB=4.8^\circ$ ) و ( $OBA=-5.8^\circ$ ) و ( $AOB=-8.0^\circ$ ) و ( $OBC=14.8^\circ$ ) و ( $OCB=4.2^\circ$ ) و ( $BOC=2.0^\circ$ ) و ( $ODC=2.2^\circ$ ) و ( $ODC=0^\circ$ ) و ( $ODC=12.8^\circ$ )]

2-6 المطلوب إنشاء جسر عبر نهر حيثما يكون عرضه 1.5 كم وقد شُيِّت محطة مسح على كل من ضفتي النهر لأجل تعيين خط وسط الجسر.

باستبعاد استخدام الأجهزة الإلكترونية، بين كيف يمكن إيجاد المسافة بين هاتين المحطتين بدرجة عالية من الدقة، اجعل الحسابات الداخلة في الحل واذكر المعادلات ذات العلاقة في كل مرة.  
 [جمعية المهندسين المدنيين البريطانية]  
 [الجواب: التثليث بقياس الأضلاع، الشكل الرباعي متقاطع القطرين، خط القاعدة، تعديل الشكل.]

2-7 لأجل توضيح كيفية تعديل أعمال تثليث بقياس الزوايا بطريقة الأضلاع المتساوية، خذ شكلاً يتألف من المثلث (ABC) بنقطة مركزية (D) داخلية، وقد فرضت بداخله الزوايا الخيالية التالية كأنها "زوايا مرمودة":  
 ( $ADB=BDC=CDA=120^\circ 00'$ ) و ( $BAD=ABD=CBD=BCD=ACD=30^\circ 00'$ ) و ( $CAD=33^\circ 00'$ ).

قمع أن الخطأ في المثلث (ADC) هو كجبر بحيث يظهر بأن هنالك غلطة كبيرة قد وقعت، عدل زوايا التثليث (التي اقرب دقة) لينعطي شكلاً متناسقاً. ما هي المعادلات الشرطية الخمس التي يجب أن تخضع لها الزوايا المرمودة؟  
 [جمعية المهندسين المدنيين البريطانية]  
 [الجواب: ( $BAD=CBD=30^\circ 21'$ ) و ( $ACD=29^\circ 21'$ ) و ( $ABD=BCD=29^\circ 19'$ ) و ( $CAD=31^\circ 19'$ ) و ( $ADB=BDC=120^\circ 20'$ ) و ( $CDA=119^\circ 20'$ )]

2-8 ترجع التفاصيل أدناه إلى قراءات أخذت في المحطة التابعة لتعيين الزاوية في محطة التي لا يمكن الوصول إليها الواقعة في المثلث (ABC)، احسب الزاوية (BAC).

الطول (OA) يساوي 9.435 م والاتجاه الزاوي للضلع (OA) يساوي  $0^\circ 00' 00''$  والطول (AB) يساوي 2925 م والاتجاه الزاوي للضلع (OB) يساوي  $78^\circ 46' 00''$  والطول (AC) يساوي 3426 م والاتجاه الزاوي للضلع (OC) يساوي  $100^\circ 12' 00''$  و ( $\log \sin(1^\circ)=6.685\ 575$ ).

(جمعية المهندسين المدنيين البريطانية)  
 [الجواب: زاوية (BAC) تساوي  $(21^\circ 24' 26'')$ ]

لاحظ جيداً: بأن ( $1/\sin 1^\circ=206\ 265$ ) حيث أن المؤلف قد تجنب استخدام ( $\sin 1^\circ$ ) وحول الزوايا القطرية التي شأن سبينية باستخدام الرقم 206 265 الذي يمثل عدد الثواني في الزاوية القطرية الواحدة.

2-9 وضع الفرق بين تقنيات التسوية المتبادلة والتسوية المثلثية المتبادلة ، وناقش الظروف التي تستخدم فيها أي منهما بأكفاً شكل.

المسافة الأفقية بين المحطتين P و Q هي 5951.30 متر وقد سددت مزواة في P إلى منار قريب من المحطة Q. بنفس الوقت الذي تم فيه تسديد مزواة في Q إلى منار قريب من المحطة P، وقد تم الحصول على القياسات التالية: زاوية الارتفاع المسجلة في P تساوي  $01^{\circ} 19' 38''$  وزاوية الانخفاض المسجلة في Q تساوي  $01^{\circ} 21' 01''$  وارتفاع المنار في P يساوي 2.85 م وارتفاع المنار في Q يساوي 2.36 م وارتفاع الجهاز في P يساوي 1.36 م وفي Q يساوي 1.47 م.

اوجد الفرق بالمنسوب بين المحطتين ومعامل الانكسار الجوي. لفرض بأن نصف قطر الكرة الأرضية يساوي  $(6.37 \times 10^6 \text{ M})$ . (الجواب: 139.18 متر و 0.14)

2-10 كانت المسافة بين النقطتين A و B 6336 م وكانت B أعلى من A بمقدار 150 م. اوجد الزوايا المرصودة من A ومن B بجهاز مزواة. مع فرض أن ارتفاعي الجهاز والاشارة متساويين وتأثير الانكسار هو  $(1/7)$  تأثير التعذب، خذ نصف قطر الكرة الأرضية كـ 6336 كم. (جامعة لندن) (الجواب:  $(A = 1^{\circ} 19' 54'')$  و  $(B = 1^{\circ} 22' 50'')$ .)

## 2-9 السطح الكروي THE SPHEROID

مثلما تنمو المشاريع حجماً وتعقيداً ، كذلك يجب أن تكون عملية المسح المرتبطة بالسيطرة على هذه المشاريع. وهذا واضح في مسوحات الطرق الخارجية السريعة الطويلة. مع ذلك، فمثلما يزيد مقاييس هذه المسوحات كذلك يكون تأثير تعذب الأرض، حيث أن المشاريع الكبيرة تتطلب استخدام لإحداثيات وإسقاطات كروية.

### 2-9-1 السطح الكروي للاسناد The spheroid of reference

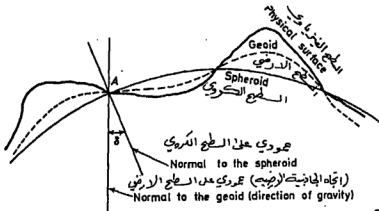
لأجل احتساب المسوحات لإحداثيات كروية ، أي بخط عرض ( $\phi$ ) LATITUDE وخط طول ( $\lambda$ ) LONGITUDE ، يجب لإسناد الإحداثيات التي شكل هندسي مطلق معلوم يسمى "السطح الكروي للاسناد SPHEROID OF REFERENCE"، وفي هذا الصدد يمكن اعتبار أن للكرة الأرضية ثلاثة سطوح :

(A) السطح الفيزيائي PHYSICAL SURFACE: هذا هو سطح الأرض الحقيقي الذي بالرغم من كونه حقيقة فيزيائية فهو غير محدد رياضياً. ولهذا السبب لا يمكن استخدامه كأسناد يعتمد عليه في تعيين المواقع.

(B) السطح الأرضي GEOID: تصور سلسلة من القنوات المتصلة ببعضها خارقة للقارات والتي تسمح بدخول مياه البحر

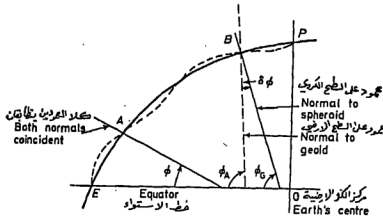
فيها، فبسريان المياه بحرية تحت تأثير الجاذبية الأرضية. وبإهمال تأثيرات المد والجزر سيكون سطحاً متساوياً الجهد EQUIPOTENTIAL قريباً من شكل الكرة الأرضية يدعى "السطح الأرضي" الذي يعني (حسب شكل الأرض) وهذا السطح هو عمودي على اتجاه الجاذبية الأرضية في كل نقطة منه، ولكن بسبب تغيرات الكتلة داخل الكرة الأرضية فإنه يكون شكلاً غير منتظم وبحسب الحاجة إلى عدد غير محدود من المعاليم لتعريفه رياضياً. هذا يعني بأن متوسط سطح البحر أيضاً لا يمكن استخدامه كأساس لتحديد الموقع. ومن الجدير بالملاحظة بأن أعمال التسوية وأعمال الأرصاد الفلكية ترتبط باتجاه الجاذبية الأرضية بواسطة قطاعات أطباق PLATE BUBLES الأجهزة المستخدمة، ولذلك فهي تنسب إلى السطح الأرضي GEOID. (C) السطح الكروي للاسناد THE SPHEROID OF REFERENCE؛ لو كان شكل الكرة الأرضية أكثر كروياً لكان الشكل الرياضي المثالي الذي يعتمد عليه في تعيين مواقع النقاط المتباعدة جداً هو الكرة. لكن الأرصاد الأرضية لشكل الأرض قد أظهرت بأن نصف قطرها إلى القطب هو أصغر من نصف القطر إلى خط الاستواء بحدود العشرين كيلومتراً. وهكذا، فإن سطح شكل تعريفه رياضياً والذي يناسب شكل الأرض هو الشكل الناتج عن تدوير قطع ناقص (إهليج) ELLIPSE حول محوره الأصغر MINOR-AXIS، وعندئذ يسمى الشكل الكروي المقروطح OBLATE SPHEROID، وعند استخدام هذا الشكل في تعيين الموقع فإنه يدعى "السطح الكروي للاسناد".

يجب أن (الشكل 2-29) العلاقة بين السطوح الثلاثة من خلال مقطع صغير لسطح الكرة الأرضية، حيث يوضح الشكل الخط العمود على كل من السطح الكروي والسطح الأرضي في نقطة A، وقد سميت الزاوية بين هذين الاتجاهين بـ "زاوية انحراف الشاقول" DEVIATION OF THE VERTICAL وهي قياس لمقدار اختلاف تطابق هذين السطحين، فلو كانت  $(\delta = 0)$  لكان السطحان المذكوران متوازيين، وبقرض أن السطحين غير متطابقين فإنه يجب أن يتطابقا. وهكذا فإن أفضل سطح كروي يستخدم في أي بلد هو السطح الذي يعطي أصغر قيم للانحراف عن الشاقول على امتداد ذلك البلد.



شكل 2-29

إن من مهام المساح الأرضي أن يجد أصلح سطح كروي للأسناد لأي بلد. ويوضع الطريقة بأبسط صيغها يمكن أن تدرج كالتالي: يوضح (الشكل 2-30) مقطعاً بمر بخط الزوال للسطح الأرضي وللسطح الكروي (وقد بولغ هنا بشكل السطح الأرضي)، حيث أن الزاوية التي يصنعها العمود على السطح الأرضي مع خط الاستواء هي خط العرض الفلكي  $(\phi_A)$  ASTRONOMICAL LATITUDE في المستوى الزوالي (POE) MERIDIONAL PLANE. كذلك فخط العرض الأرضي GEODETIC أو الكروي SPHEROID  $(\phi_G)$  يتكون من العمود على السطح الكروي. وبنفس الطريقة يتم التمييز بين خطوط الطول الفلكية ASTRONOMICAL LONGITUDE  $(\lambda_A)$  والأرضية GEODETIC  $(\lambda_G)$ . وهكذا ستختلف الاحداثيات الفلكية لنقطة ما عن الاحداثيات الأرضية أو الكروية بمقدار مركبتين لإنحرافها عن الشاقول بمستوياتها ذي العلاقة، فمثلاً  $(\phi_A - \phi_G = \delta\phi)$  بينما في حالة خطوط الطول يكون الانحراف  $(\delta\lambda \cos \phi)$



شكل 30-2

المطلوب هو إيجاد أفضل الأشكال الكروية ملائمة بين A و B. ولتحقيق هذا، دعنا نفترض بأن الاحداثيات الفلكية والأرضية متساوية عند نقطة الأصل A، أي أن لإنحرافات الشاقول تساوي صفر. فالمسوحات الأرضية من A التي B ستكون من احتساب الاحداثيات الأرضية لنقطة B باستخدام سطح كروي مفترض للأسناد. ويمكن مقارنة هذه القيم مع الاحداثيات الفلكية المرصودة في B والتي تتضمن السمات الفلكي والأرضي، ومن ثم تستخرج قيم الانحراف. فإن كانت فرضيتنا نقطة الأصل والسطح الكروي خاطئة ستلاحظ لإنحرافات متكررة للشاقول كلما تقدمت أعمال المسح، فكما أشير إليه سابقاً، إن أفضل شكل كروي للأسناد هو الذي يعطي أقل قيم للانحراف على امتداد العمل. وتسمى محطات المسح التي تنتم فيها هذه المقارنات بمحطات لابلاس "LAPLACE".

إن الحسابات على السطح الكروي للخطوط الطولية جداً هي في منتهل التعقيد وهي خارجة عن نطاق هذا الكتاب، مع ذلك فالخطوط التي تقل عن 40 كم يمكن ارتجاع طرق شبه تفصيلية، وكما هو موضح في الفقرات التالية:

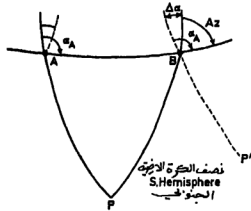
$$\alpha_B = \alpha_A + 180^\circ + \Delta\alpha \dots ((AP) \text{ و } (BP) \text{ کے لیے})$$

$$\Delta\alpha = \Delta\lambda \sin \phi_m$$
$$= \frac{1}{2}(\phi_A + \phi_B)$$

لأن التصحيح عن التقارب هو ضروري في تحقيق الاتجاه  
الزاوي لخط ما فلكيا أو بواسطة مزواة الجايرو -GYRO  
THEODOLITE. لأن تأثير التقارب عند خط الاستواء يساوي  
صفر ويزداد بازدياد خط العرض، وهو يكون بأعلى قيمة  
له MAX إذا كان الخط باتجاه (شرق - غرب).

يعرف سمت الخط بأنه اتجاهه نسبة إلى الشمال الحقيقي أي نسبة إلى دائرة خط الزوال المارة به. أما «الاتجاه الزاوي» للخط فهو اتجاهه نسبة إلى دائرة خط الزوال المارة بنقطة أصل أعمال المسح.

وهكذا فمن الشكل 2-31 يكون الاتجاه الزاوي لـ (BC) مساوياً  $\alpha$  بفرض أن A هي نقطة أصل أعمال المسح وأن (ABC) هو خط مستقيم ، بينما يكون سمت (BC)  $\alpha_1 + \Delta\alpha$  . وهذه الحقيقة هي مهمة جداً في الحسابات التالية على السطح الكروي.



شكل 2-32

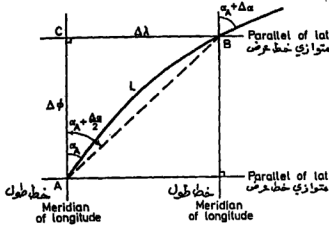
أما بالنسبة للنقاط التي تقع في نصف الكرة الأرضية الجنوبي يمكن إرشادات أن السمات  $(A_z)$  يساوي  $(\alpha_1 - \Delta\alpha)$  .

### 2-10-3 إيجاد خط العرض وخط الطول بطريقة متوسط خطوط العرض

هناك عدة طرق لإيجاد خطوط العرض وخطوط الطول لنقاط واقعة على سطح الكرة الأرضية ، وكل هذه الطرق تختلف فيما بينها باختلاف طول الخط ودرجة الضبط المطلوبة. فإذا كان العمل على الكرة ، يمكن استخدام المثلثات الكروية ، ولكن أخطاء كبيرة قد تنجم عن ذلك بسبب صعوبة إيجاد جيوب وظلال الزوايا الصغيرة في مركز الكرة الأرضية المقابلة للخطوط القصيرة نسبياً على سطح الأرض. وينصح هنا باستخدام طريقة متوسط خطوط العرض للخطوط القصيرة التي لا تتجاوز الـ 40 كم لكافة المتأربين من هذا النوع التي توضع في إمتحانات الاختصاصات الهندسية.

خذ الخط (AB) على سطح الأرض (شكل 2-33)؛ فلما كان الخط (AB) قصيراً نسبياً يمكن تمثيل خطوط الطول وموازيات خطوط العرض بخطوط مستقيمة مؤلفة بذلك مشبكاً مستطيلاً. والخط المنقط يمثل الموقع الوسطي بسمت متوسط

(ABC) قائم الزاوية بواسطة المثلثات المستوية للضلعين (AC) و (BC) اللذين يمثلان الفرق بخط العرض ( $\Delta\phi$ ) والفرق بخط الطول ( $\Delta\lambda$ ) على التوالي؛



شكل 33-2

على السطح الكروي ؛ يمكن إثبات أن:

$$\Delta\lambda = \frac{L \sin \alpha_m}{v_m \cos \phi_m}$$

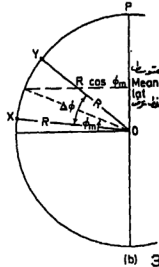
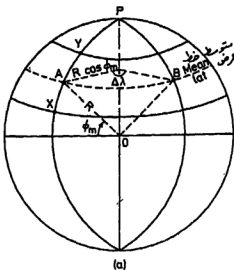
...<54-2>

$$\Delta\phi = \frac{L \cos \alpha_m}{\rho_m}$$

...<55-2>

حيث أن  $\alpha_m$  هي متوسط قيمتي سمتين الأمامي والخلفي لهما  $180^\circ$ ، كما وأن  $v_m$  و  $\rho_m$  هما قيمتا نصف قطري (الأكبر والصغير) لتحديد السطح الكروي عند متوسط خط العرض.

للأعمال ذات الامتداد المحدود ، يمكن استخدام سطح الكرة الذي يناسب السطح الكروي بأفضل شكل في تلك النقطة ، أي ( $R = (vp)$  ) ، وهكذا من (الشكل <2-34> يكون الطول (AB) مساوياً ( $AB = \Delta\lambda R \cos \phi_m$ ) والذي يعادل الطول (CB) في (الشكل <2-33>.



شكل 34-2

$$CB = L \sin \left( \alpha_A + \frac{\Delta \alpha}{2} \right) = L \sin \alpha_m \quad \therefore \Delta \lambda R \cos \phi_m = L \sin \alpha_m$$

$$= \frac{L \sin \alpha_m}{R \cos \phi_m} \text{ (rad)}$$

(A56-2)

وبنفس الطريقة في الشكل B34-2 يكون الطول  $(Y = R \Delta \phi)$  والذي يعادل الطلع (AC) في الشكل 2-33.

$$C = L \cos \alpha_m \quad \therefore L \cos \alpha_m = R \Delta \phi$$

$$\Delta \phi = \frac{L \cos \alpha_m}{R} \text{ (rad)}$$

... (B56-2)

وستوضح الأمثلة التالية التطبيقات المختلفة للمعلومات أعلاه.

### أمثلة محلولة

مثال 2-17: أدناه خطوط عرض وطول المحطتين A و B، مع المسافات على سطح الأرض التي تقابل 1' من خط العرض وخط الطول. أوجد سمتي الخطين (AB) و (BA) والمسافة (AB).

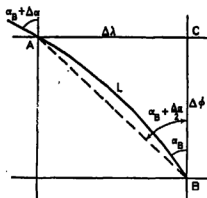
المسافة على  
سطح الأرض

خط عرض			خط عرض		
خط عرض	خط عرض	خط عرض	خط عرض	خط عرض	خط عرض
خط عرض	خط عرض	خط عرض	خط عرض	خط عرض	خط عرض
A	N54 52 30	W2 08 50	54 50	30.44M	17.57M
B	N54 51 42	W2 02 33	54 55	30.44M	17.53M

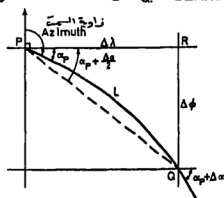
(جامعة لندن)

الحل

ملاحظة للطالب؛ حيث أن خطوط الزوال ومتوازيات خطوط العرض تولف وحدة مستطيلة معرفة بذلك اتجاهي (الشمال-جنوب) و (الشرق-غرب)، فإن الطالب يمكن أن يجد من السهل عليه استخدام منظومة الاتجاه الزاوي الربعي QUADRANT BEARING في حل هذه التمارين.



شكل 2-35



شكل 2-36

من الشكل <2-35> ؛ معدل خط العرض  $\phi_m$  يساوي  $54^{\circ}52'06''$  N  
 $\Delta\lambda = 05^{\circ}32'$   $\Delta\phi = 48''$

لإذن ستكون ( $\Delta\phi$ ) بوحدات المسافة الطولية على سطح الأرض  
 باستخدام الجدول المعطى في السؤال؛  
 $= 48'' \times 30.44M = 1461.12M$

وبنفس الطريقة بالنسبة لـ ( $\Delta\lambda$ ) ، ولكن قبل ذلك يجب  
 إجراء تقريب في الجدول لإيجاد قيمة  $1''$  من خطوط الطول  
 على خط عرض مقدار  $\phi_m$ .

لإذن عند  $54^{\circ}52'06''$  فإن  $1''$  من خطوط الطول تساوي؛  
 $= 17.55M - (0.04/300'') \times 126'' = 17.55M$   
 $\therefore \Delta\lambda = 332'' \times 17.55 = 5826.60M$

في المثلث المستوي (ABC) :  
 $\tan^{-1}\left(\alpha_p + \frac{\Delta\alpha}{2}\right) = \frac{\Delta\lambda}{\Delta\phi} = \frac{5826.60}{1461.12}$

$\therefore (\alpha_p + \Delta\alpha/2) = N 76^{\circ}20'22'' W = \alpha_m$

$\Delta\alpha = \Delta\lambda \sin \phi_m = 332'' \sin 54^{\circ}52'06'' = 04'32''$

والآن :

$\therefore \alpha_p = 76^{\circ}20'22'' - 02'16'' = N 76^{\circ}18'06'' W$

$\therefore$  (مقاس باتجاه عقرب الساعة من الشمال) (سمت (BA) في B) =  $283^{\circ}41'54''$

(سمت (BA) في A) =  $N (\alpha_p + \Delta\alpha) W = N 76^{\circ}22'38'' W$

$\therefore$  (سمت (AB) في A) =  $S 76^{\circ}22'38'' E = 103^{\circ}37'22''$

الطول (AB) :  $AB = \Delta\phi \sec \alpha_m = 1461.12 \sec 76^{\circ}20'22'' = 6186.75 m$

غالباً ما تأخذ هذه التمارين شكل احتساب خط العرض  
 والطول للمحطة B من خط عرض وخط طول النقطة A ومن سمت  
 (AB) والمسافة (AB)، فمن الواضح لإذن أن متوسط خط  
 العرض هو غير معروف ، وهكذا لا يمكن احتساب مقدار  
 انحراب خطوط الزوال ( $\Delta\lambda$ ) . فالحل لإذن يأخذ شكل تقريبات  
 متتالية .

مثال 2-18؛ للمحطة التثليثية P خط عرض  $(45^{\circ}05'00''N)$   
 وخط طول  $(90^{\circ}10'11''W)$  والمسافة من P إلى المحطة التالية  
 Q هي 7600 م. وسمت الخط (PQ) في P هو  $(140^{\circ}30'04'')$  ،  
 والجدول أدناه يعطى الأضوال  $\alpha$  و  $\phi$  بالامتياز على سطح الأرض  
 لتغيرات مقدارها  $1''$  بخط العرض وبخط الطول على  
 التوالي. أوجد خط عرض وخط طول النقطة Q التي أقرب  
 ثانية ، كذلك أوجد زاوية السميت لـ (QP) في Q.

خط العرض	الطول (متر)	الطول (متر)
45 00 00	30.384 12	21.558 21
45 05 00	30.384 57	21.526 98

(جامعة لندن)

الحل

راجع <الشكل 2-36>

$$= A_z = 140^\circ 30' 04'' \quad \text{سمت (PQ):}$$

$$\alpha_p = 50^\circ 30' 04''$$

$$\Delta\phi'' = \frac{L \cos \alpha_p}{a}$$

حيث قد أخذت قيمة  $a$  في  $\phi_p$ .

$$\therefore \Delta\phi = \frac{7600 \cos 50^\circ 30' 04''}{30.38457} = 159.14''$$

$$\phi_m = \phi_p - \frac{\Delta\phi}{2} = (45^\circ 05' 00'') - 80'' = 45^\circ 03' 40'' \quad (\text{شمالاً})$$

$$\Delta\lambda'' = \frac{L \sin \alpha_p}{b} \quad (\text{حيث أن قيمة } b \text{ هي عند } \phi_m) \quad \text{ولكن:}$$

$$b = 21.55821 - \frac{(0.03123 \times 220'')}{300''} = 21.53531 \text{ m} \quad \text{أيضاً:}$$

$$\therefore \Delta\lambda = \frac{7600 \sin(50^\circ 30' 04'')}{21.53531} = 272.4''$$

إذن مقدار الانحراب يساوي:

$$= \Delta\alpha = \Delta\lambda \sin \phi_m = 272.4 \sin 45^\circ 03' 40'' = 192.8''$$

التقريب الأخير /

$$\alpha_p + \frac{\Delta\alpha}{2} = 50^\circ 30' 04'' = 50^\circ 31' 40''$$

$$\Delta\phi = \frac{L \cos(\alpha_p + \Delta\alpha/2)}{a} \quad (\text{حيث أن } a \text{ قد أخذت لـ } \phi_m)$$

$$a = 30.38412 + \frac{0.00045 \times 220''}{300''} = 30.38445 \text{ m}$$

$$\therefore \Delta\phi = \frac{7600 \cos 50^\circ 31' 40''}{30.38445} = 159.05''$$

يمكن الآن رؤية أن التغير في  $(\Delta\phi)$  هو ضئيل ومهملاً.

$$\therefore \Delta\lambda'' = \frac{L \sin(\alpha_p + \Delta\alpha/2)}{b}$$

حيث أن قيمة  $b$  هي كما في التقريب الاول.

$$\therefore \Delta\lambda = \frac{7600 \sin 50^\circ 31' 40''}{21.53531} = 272.5''$$

واعتبارياً بعد احتساب  $(\Delta\alpha)$  باستخدام القيم النهائية لـ  $(\Delta\lambda)$  و  $(\phi_m)$ .

$$= 45^\circ 05' 00'' \text{ N} - 02' 39'' = 45^\circ 02' 21'' \text{ N}$$

إذن خط عرض Q:

$$= 90^\circ 10' 11'' \text{ W} - 04' 32'' = 90^\circ 05' 39'' \text{ W}$$

وخط طول Q:

$$= 90^\circ + (\alpha_p + \Delta\alpha) = 140^\circ 30' 04'' + 192.8'' = 140^\circ 33' 17''$$

والسمت عند Q:

$$= 140^\circ 33' 17'' + 180^\circ = 320^\circ 33' 17''$$

إذن زاوية سمت (QP) في Q:

مثال 2-19: المطلوب إنشاء الخط المستقيم (AB) الذي يولف جزءاً من حدود قطعة أرض طلب تشجيرها، علماً بأن الاحداثيات الجغرافية للنقطتين A و B كما يلي:

خط الطول      خط العرض      النقطة

A	34° 40' 28" S	148° 12' 02" E
B	34° 44' 05" S	148° 04' 20" E

المطلوب إنشاء الخط من A ومن B في وقت واحد بحيث يتصل الجزءان في مكان ما بين النقطتين، اوجد زاوية السميت لكل من جزئي الخط واطرح باختصار الطريقة التي يجب ان تستخدم في تثبيت هذه الزوايا السميتية. افرض بان متوسط قيمة نصف قطر الارض  $(6.37 \times 10^6)$ .

(جمعية المهندسين المدنيين البريطانية)

الحل

في الشكل 2-37؛ لما كان الخط هو في النصف الجنوبي من الكرة الارضية فلن الافتتراب CONVERGENCE هو سالب،  
 $\Delta\alpha = \Delta\lambda \sin \phi_m = 462'' \sin 34^\circ 42' 16'' = 263'' = 4' 23''$

من الشكل 2-34A يتبين بان:

$$\Delta\lambda = \Delta\lambda'' R \cos \phi_m \quad ; \quad \text{لذن في الشكل 2-37} \quad AC = \frac{462'' \times 6.37 \times 10^6 \times \cos 34^\circ 42' 16''}{206265} = 11730 \text{ m}$$

وبنفس الطريقة في الشكل 2-34B:

$$BC = \frac{6.37 \times 10^6 \times 217''}{206265} = 6700 \text{ m}$$

لاحظ جيدا؛ في كلتا الحالتين تم تحويل  $(\Delta\lambda)$  و  $(\Delta\phi)$  الى زوايا قطرية.

$$\text{لذن في المثلث (ABC):} \quad \tan(\alpha_B - \Delta\alpha/2) = \frac{AC}{BC} = \frac{11730}{6700} = 60^\circ 15' 32''$$

لذن  $(\alpha_B)$  تساوي:

$$\therefore \alpha_B = 60^\circ 15' 32'' + 2' 11'' = 60^\circ 17' 43'' = \text{زاوية سمت (BA) في B}$$

$$= \alpha_B - \Delta\alpha = N 60^\circ 13' 20'' E \quad ; \quad \text{لذن سمت (BA) في A يساوي:}$$

$$= S 60^\circ 13' 20'' W = 240^\circ 13' 20'' \quad ; \quad \text{لذن سمت (AB) في A يساوي:}$$

مثال 2-20: تم إنشاء مضلع بعشرة اضلاع من A الى K الى الى جانب خط مروري سريع باتجاه الشرق تقريبا. وقد تم توجيه المضلع بواسطة مزواة جايرو وضعت في A. احتسب الاتجاه الزاوي للجزء الاخير (JK) فكان  $(87^\circ 43' 02'')$ . وقد اعطت رصدة مشابهة زاوية سمت مقدارها  $87^\circ 50' 48''$  لـ (JK) في K. وكان مجموع البعد السيني DEPARTURE (AK) - من الاحداثيات - 12 545 م ومتوسط خط العرض  $(N52^\circ 20' 20'')$ .

اوجد التعديلات الزاوية للاتجاهات الزاوية لاضلاع المضلع، علما بان نصف قطر الارض يساوي  $(6.37 \times 10^6 \text{ M})$ .  
 (بوليتكنيك كنكرتون)

الحل

لقترباب دائرتي خطي الزوال يساوي:

$$= \Delta\alpha'' = \Delta\lambda'' \sin \phi_m$$

من <الشكل 2-34>:  $\Delta\lambda'' = \frac{L}{R \cos \phi_m} \times 206265$

$$\therefore \Delta\alpha'' = \frac{L \tan \phi_m}{R} \times 206265 = \frac{12545 \tan 52^\circ 20' 20''}{6.37 \times 10^6} \times 206265 = 526'' = 08' 46''$$

سمت (JK) من مزواة الجايرو:  $\Delta\alpha$  + اتجاه (JK) الزوايا =  $87^\circ 50' 48''$

لذن الاتجاه الزاوي الحقيقي لـ (JK):

$$= 87^\circ 50' 48'' - 08' 46'' = 87^\circ 42' 02''$$

والاتجاه الزاوي المحتسب لـ (JK):  $87^\circ 43' 02''$   
لذن الخطا يساوي  $(+ 01' 00'')$ .

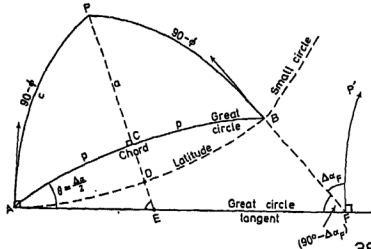
فالتصحيح يساوي  $(-6'')$  لكل زاوية والذي سيوزع تراكميا على الاتجاهات الزاوية كما يلي: الاتجاه الزاوي الاول  $(-6'')$  والاتجاه الزاوي الثاني  $(-12'')$  والثالث  $(-18'')$  و... والعاشر  $(-60'')$ .

## 2-11 انشاء متوازيات خطوط العرض

### SETTING OUT PARALLELS OF LATITUDE

غالبا ما كان تعيين موقع حدود الارض باستقامة متوازيات خطوط العرض يكون اسئلة امكانية في الماضي، وهناك طريقتان للحل:

#### 2-11-1 طريقة المماس Tangent method



شكل 2-38

في <الشكل 2-38> يتم تثبيت المماس (AF) من A وذلك بإنشاء زاوية مقدارها  $90^\circ$  من الشمال الحقيقي. وتنشأ الأضلاع (ED) و (FB) من المماس باتجاه خط الزوال، أي بزاوية مقدارها  $(90^\circ - \Delta\phi)$ ، لتحديد موقع الخط الموازي في D و B ولإلخ. ويمكن استنتاج معادلة احتساب الأضلاع باستخدام "قوانين نابيير NAPIER'S RULES" في المثلث الكروي فثام الزاوية (PCA) :  $\sin(90^\circ - P\hat{A}C) = \tan p \tan(90^\circ - c)$



$$\begin{aligned}
 CD &= CE - ED = \left( \frac{\Delta \alpha}{2} \right) l_1 - \left( \frac{l_1^2 \tan \phi}{2R} \right) \\
 &= l_1 \left( \frac{L \tan \phi}{2R} \right) - \left( \frac{l_1^2 \tan \phi}{2R} \right) \\
 &= \frac{l_1 (L - l_1) \tan \phi}{2R} \quad \dots \langle A59-2 \rangle
 \end{aligned}$$

إن <المعادلة A59-2> هي المعادلة العامة للازاحات ،  
 وحيث أن (CD) هي اكبر إزاحة فلن (  $l_1 = L/2$  ) :

$$\text{(أكبر إزاحة)} = \frac{\frac{1}{2} L (L - L/2) \tan \phi}{2R} = \frac{L^2 \tan \phi}{8R} \quad \dots \langle B59-2 \rangle$$

بالإمكان تعيين اوتار الخري بطريفة مماثلة لإنشاء  
 المنحنى البسيط وكما هو مبين في <الشكل 39-2>.

### أمثلة محلولة

مثال 2-21: برهن بأن لقوس الدائرة العظمى ذي الطول D  
 (مغير مقارنة بنصف قطر الكرة الأرضية) الواصل بين  
 نقطتين واقعتين على خط عرض واحد زاويتين سمتيتين عند  
 نهايتيه مختلفان عن  $90^\circ$  و  $270^\circ$  بمقدار  $\phi$  بحيث  
 $(\sin \alpha = (D/2R) \tan \phi)$  ، حيث أن R هو نصف قطر الأرض، وبين  
 أيضا بأن اكبر إزاحة  $\Delta$  من الدائرة العظمى التي خط  
 العرض تعطى من المعادلة:  
 $\Delta = \frac{D^2}{8R} \tan \phi$  (الازاحة)

من موقع ذي خط عرض  $(42^\circ N)$  ، المطلوب إنشاء دائرة  
 عظمى التي موقع يقع بعد 12 كم شرقا وينقص خط عرض نقطة  
 الابتداء. ماذا يجب أن تكون زاوية سمت الخط في نقطة  
 بدايته؟ وماذا ستكون اكبر مسافة من الدائرة العظمى  
 التي خط العرض؟ خذ نصف قطر الأرض مساويا إلى 6390 كم،  
 (جامعة لندن)

الحل

راجع <الفقرة 2-10> لإجابة الجزء الأول من السؤال،  
 زاوية سمت الخط في نقطة بدايته هي:  $90^\circ - (\Delta \alpha/2)$

$$\text{حيث أن } (\Delta \alpha/2) : \quad \frac{\Delta \alpha}{2} = \frac{L \tan \lambda}{2R} = \frac{12 \tan 42^\circ \times 206265}{2 \times 6390} = 174''$$

لذن زاوية السم تساوي  $90^\circ - 174'' = 89^\circ 57' 06''$  ، و اكبر إزاحة  $\Delta$ :

$$\Delta = \frac{12^2 \tan 42^\circ}{8 \times 6390} = 2.536 \text{ m}$$

مثال 2-22: المطلوب إنشاء خط طوله 3 كم بخط عرض  
 $(51^\circ 30' N)$  بوضع أحجار حدود على مسافات مقدارها 1 كم.

فلذا علمت بأن 1° من خط الطول تتقابل 18.986 م على سطح الأرض عند خط عرض (51° 30' N). أوجد المعلومات المطلوبة وبين كيف يمكنك إنشاء الحدود لهذا عرف الشمال الحقيقي في بداية الخط . (جامعة لندن)

### الحل

#### طريقة الوتر

$$\Delta\lambda = 3000/18.986 = 158'' \quad ; \quad (\Delta\lambda) \text{ الفرق بخطوط الطول}$$

$$\Delta\alpha = \Delta\lambda \sin \phi_m = 158'' \sin 51^\circ 30' = 124'' \quad ; \quad (\Delta\alpha) \text{ الاقتراب}$$

انشئ زاوية مقدارها ( $\Delta\alpha/2 = 89^\circ 58' 58'' - 90^\circ$ ) من الشمال الحقيقي عند نقطة البداية وثبت علامات على مسافات مقدارها 1 كم ولمسافة 3 كم. ولتثبتت أحجار الحدود على المتوازي على مسافة 1 كم و 2 كم ستكون الازاحتان متساويتين حيث انهما متساويتا البعد عن كل من جانبي الكبر لزيادة.

من الشكل 2-A34؛ إذا كانت ( $\Delta\lambda = 1''$ ) فلن ( $AB = 18.986 \text{ M}$ )، وهكذا فبالزوايا القطرية؛

$$R \cos \phi \Delta\lambda = 18.986 \text{ m}$$

$$\therefore R = \frac{18.986 \times 206265}{\cos 51^\circ 30'} = 6290848 \text{ m}$$

لذن ستكون الازاحة OFFSET عند المسافة 1 كم و 2 كم من <المعادلة 2-A59> مساوية؛

$$= \frac{1000(3000 - 1000) \tan 51^\circ 30'}{2 \times 6290848} = 0.200 \text{ m}$$

#### طريقة التماس

انشئ الزاوية 90° من الشمال الحقيقي لتعيين خط المماس؛

$$= \frac{l_1^2 \tan \phi}{2R}$$

الازاحة عند المسافة 1 كم؛

$$= \frac{1000^2 \tan 51^\circ 30'}{2 \times 6290848} = 0.100 \text{ m.}$$

الازاحة عند المسافة 2 كم تساوي 0.400 م  
الازاحة عند المسافة 3 كم تساوي 0.900 م

فيجب قياس هذه الازاحات باتجاه خط الزوال ، أي بزوايا مقدارها ( $90^\circ - \Delta\alpha$ ) من المماس،  
لذن ( $\Delta\alpha$ ) عند المسافة 1 كم تساوي؛

$$= \frac{L \tan \phi}{R} = \frac{1 \times \tan 51^\circ 30'}{6290848} \times 206265 = 0.04''$$

( $\Delta\alpha$ ) عند المسافة 2 كم تساوي 0.08°  
( $\Delta\alpha$ ) عند المسافة 3 كم تساوي 0.12°

## 12-2 الإسقاط الميركاتوري العرضي (TMP) TRANSVERSE MERCATOR PROJECTION

بعد تحديد مواقع النقاط من إحداثياتها الكروية  $\phi$  و  $\lambda$  على السطح الكروي للأسناد SPHEROID OF REFERENCE يجب إعداد خارطة على سطح مستوى ، وهنا يجب استخدام أفضل إسقاط يلائم متطلبات البلد الذي يطلب إعداد خرائطه .

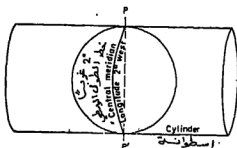
إن إسقاط الخارطة هو واسطة لتمثيل خطوط العرض والطول للأرض الكروية على قطعة ورق مستوية ، والخطوط الناتجة هذه تؤولف ما يسمى بالمشبك GRATICULE .

علما انه من المستحيل تمثيل سطح منحنى على سطح مستوي ، فإنه لا يوجد شيء اسمه إسقاط مثالي . مع ذلك ، فهناك إسقاطات معينة تفي بمطالب معينة .

في الجزر البريطانية ، اعتمدت مصلحة المساحة السطح الكروي الجوي AIRY'S SPHEROID كسطحها الكروي للأسناد والذي ؛  
نصف محوره الاستوائي يساوي 6377 563.4 م  
ونصف محوره القطبي يساوي 6356 256.9 م

في حالة الإسقاط ، كان المطلب الأساس لمصلحة المساحة هو أن المقياس SCALE في أية نقطة من الإسقاط يكون متساوي في جميع الاتجاهات ، ونتيجة لهذا المطلب فإن المساحات الصغيرة على الأرض تحافظ على شكلها الحقيقي على الخارطة ، والزوايا المحتسبة من الإحداثيات المتعامدة تنطبق تقريبا تماما مع الزوايا المرصودة على الأرض ، وكذا إسقاطات تسمى " الإسقاطات الشكلية المتعامدة ORTHOMORPHIC PROJECTIONS " . فبأخذ هذا بنظر الاعتبار زاعدا حقيفة أن هذه الإسقاطات تلائم وبشكل ممتاز شكل البلد الذي يمتد الجزء الأكبر منه باتجاه الشمال - جنوب ، لذلك فقد تم استخدام الإسقاط الميركاتوري العرضي (TMP) .

إن الإسقاط الميركاتوري العرضي هو إسقاط اسطواناني كما مبين في الشكل 2-40 ، حيث تكون الاسطوانة بتماس مع الأرض على طول خط الزوال ، ويتم إسقاط خطوط العرض



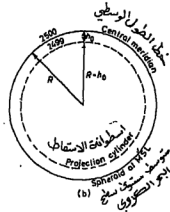
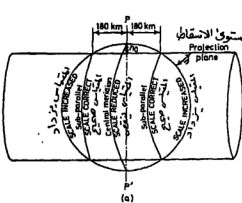
شكل 2-40

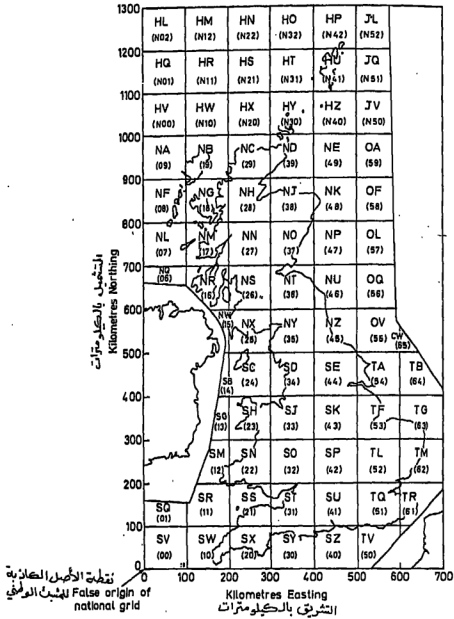
والطول على الاسطوانة من نقطة مصدر واقعة في مركز الكرة الارضية. ويتم تحقيق الحالة الشكلية المتعامدة ORTHOMORPHISM بمط المقياس باستقامة خطوط الزوال لمجارة الزيادة الحاصلة في المقياس على طول المتوازيات. فنفتح الاسطوانة ووضعا بشكل مستوي قرن خطوط العرض والطول سنولف شبكة من المنحنيات المعقدة المتقاطعة مع بعضها بزوايا قائمة ، حيث يكون خط الزوال فيها مستقيما .

لانه واضح من (الشكل 2-40) بان المقياس ، وهو النسبة بين المسافة على الخارطة الى المسافة على الارض ، سيكون صحيحا فقط على طول خط الزوال حيث تلامس الاسطوانة الارض. وهكذا يكون معامل مقياس الاسقاط على طول خط الزوال الوسطي الملامس مساويا وحدة UNITY. ولما كان معامل المقياس يتغير بموجب مربع المسافة من خط الزوال الوسطي ، يمكن اثبات ان معامل المقياس (SF) يساوي 90 1.000 على بعد 270 كم شرقا او غربا .

لن خط الزوال المعتمد للجزر الجريمانية هو خط الطول 2° غربا ، ونقطة تقاطع خط الزوال هذا مع متوازي خط العرض 49° شمالا هي نقطة الاصل الحقيقية للاسقاط.

مع هذا ولأجل تقليل خطأ المقياس عند النهايات الشرقية والغربية للبلد فقد تم تقليل المقياس عند دائرة خط الزوال الوسطي بنسبة (2499/2500) بشكل مطلق، وهذا يؤثر في جعل المقياس اصغر بنسبة (0.04%) عند خط الزوال الوسطي واكبر بنسبة (0.04%) عند السواحل الشرقية والغربية للبلد. لن النتيجة الظاهرية لتقليل المقياس عند خط الزوال الوسطي هي تقليل قطر اسطوانة الاسقاط وكما هو مبين في (الشكل 2-41). وهكذا يكون معامل المقياس عند خط الزوال الوسطي مساويا 27 601 0.999 ويساوي وحدة UNITY على مسافة 180 كم الى الشرق والى الغرب من خط الزوال الوسطي .





شكل 2-42: منظومة الاسناد الوطنية لبريطانيا العظمى  
تظهر مربعات طول ضلعها 100 كم بالارقام المستخدمة  
لتسميتها في المنظومة السابقة ، والاحرف التي حلت محل  
الارقام .

كانت قد اوصت هيئة دافدسون DAVIDSON MOMMITTEE المؤسسة سنة 1935 لدراسة خرائط ومخططات مملحة المساحة بتطبيق المشبك الوطني (N.G.) على كافة خرائط مملحة المساحة، وقد نتج عن ذلك توفير منظومة لإسناد واحدة للبلاد بكامله يمكن تعيين موقع نقطة عليها بواسطة الاحداثيات المستوية المتعامدة-PLANE RECTANGULAR CO-ORDINATES، وقد تم تحديد موقع نقطة اصل المشبك الوطني 400 000 م الى غرب و 100 000 م الى شمال نقطة الاصل الحقيقية، مما يجعل لإحداثيات النقطة موجبة دائماً، وهكذا يتم تعريفها من خلال تشريفها وتشملها.

وكما هو مبين <بالشكل 2-42> فلن المشبك هو عبارة عن سلسلة من الخطوط الموازية لخط الزوال الوسطي والعمودية عليه للاسقاط المبركاتوري العرضي. وهكذا فعند خط الزوال الوسطي يكون شمال المشبك هو نفس الشمال الحقيقي او الجغرافي. ولو ان شمال المشبك سيختلف عن الشمال الحقيقي الى شرق والى غرب خط الزوال الوسطي بمقدار يتغير حسب اقتراب خطوط الزوال من خط الزوال الوسطي.

## 14-2 معاملات المقياس SCALE FACTORS

لقد تم تفسير مصادر معاملات المقياس بشكل متكامل، وبقى فقط تعريفها بخصوصية أكثر، وهكذا:

$$F = G/S \quad \dots \langle 60-2 \rangle$$

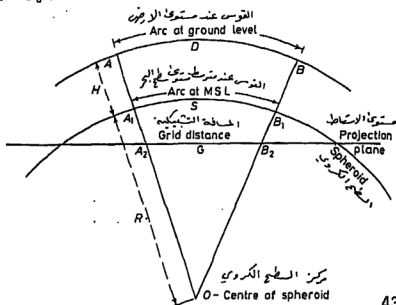
حيث ان:

F هي معامل المقياس المحلي (LSF) LOCAL SCALE FACTOR  
G هي المسافة على المشبك (كما هي محتسبة من إحداثيات المشبك الوطني)  
S هي المسافة على السطح الكروي عند متوسط مستوي سطح البحر (MSL).

يبين <الشكل 2-43> العلاقة بين هذه المسافات المختلفة ويحدد في توضيح تطبيق معامل المقياس المحلي.

يمكن استخراج معادلة شبه دقيقة لقيمة F وكما يلي:  
خطا المقياس (SE) SCALE ERROR هو الفرق بين معامل المقياس (F) في اية نقطة ومعامل المقياس (F<sub>0</sub>) عند خط الزوال الوسطي، ويتغير بموجب مربع المسافة من خط الزوال الوسطي. وهكذا  $(SE = K(\Delta E)^2)$  حيث ان (ΔE) هي الفرق بين تشريق النقطة ذات العلاقة وتشريق خط الزوال الوسطي، اي:  
 $\Delta E = (E - 400\,000) \text{ m.}$

$$\therefore F = F_0 + SE = 0.999\ 601\ 27 + K(\Delta E)^2$$



شكل 2-43

علما بأن ( $F_0$ ) هي معامل المقياس المحلي عند خط الزوال الوسطي وتساوي 0.999 601 27 .

خذ نقطة تقع على مسافة 180 000 م إلى شرق أو إلى غرب خط الزوال الوسطي ، فإن قيمة  $F$  لهذه النقطة تساوي 1 ، وهكذا ؛

$$1.000\ 000\ 00 = 0.999\ 601\ 27 + K(180\ 000)^2 \quad \therefore K = 1.228 \times 10^{-14}$$

ومن ثم ؛

$$F = 0.999\ 601\ 27 + [1.228 \times 10^{-14} \times (E - 400\ 000)^2] \quad \dots (61-2)$$

وهكذا فإن قيمة  $F$  لنقطة بلحداشيات (E 638 824) متر و (N 309 912) متر على المشبك الوطني تساوي ؛

$$= 0.999\ 601\ 27 + (1.228 \times 10^{-14} \times 238\ 824) = 1.000\ 301\ 6$$

توصي مصلحة المساحة الجبريانية بأن للاعمال الدقيقة جدا يجب احتساب معامل المقياس المحلي عند كل من نهايتي الخط وفي الوسط ، وتستخرج القيمة الوسطية من قانون سيمسون SIMPSON RULE. مع ذلك ، يكفي احتساب معامل المقياس المحلي عند نقطة وسط الخط لكافة الأغراض العملية.

من الضروري جدا فهم أن معامل المقياس يرتبط فقط بالمسافات التي هي على السطح الكروي SPHEROID بمتوسط مستوي سطح البحر وبالمسافات التثبيكية على الاسقاطات. وهكذا فأول خطوة هي أن نحول المسافات الأفقية على الأرض التي ما يقابلها عند متوسط مستوي سطح البحر (MSL) قبل تطبيق معامل المقياس المحلي (LSF) عليها لتحويلها إلى مسافات تثبيكية. أما تطبيق معادلة تصحيح الارتفاع فقد تم شرحه في (الفقرة 2-3-6).

## 2-14-1 تطبيق معاملات المقياس

"تحويل المسافات التشبيكية إلى أرضية":

إن أية مسافة تختسب من إحداثيات المشبك الوطنى ستكون مسافة تشبيكية GRID DISTANCE. فإذا أريد إنشاء هذه المسافة على الأرض يجب:

(A) أن تقسم على معامل المقياس المحلى لتعطي المسافة الكروية عند (MSL)، أي  $(S=G/F)$ .  
(B) أن يجرى عليها تصحيح الارتفاع لتعطي المسافة الأفقية على الأرض.

خذ النقطتين A و B بإحداثياتهما التالية:

A: E 638 824.076	N 307 911.843
B: E 644 601.011	N 313 000.421

$$\therefore \Delta E = 5\ 776.935 \text{ و } \Delta N = 5\ 088.578$$

لأن قرن المسافة التشبيكية ستساوى:

$$= ((\Delta E)^2 + (\Delta N)^2)^{1/2} = 6\ 698.481 \text{ (متر)} = G$$

تشريق نقطة وسط (AB) هو (E 641 712) متر.

$$\therefore F = 1.000\ 318\ 8 \dots \text{ (من المعادلة 2-61)}$$

لأن المسافة الكروية S عند متوسط مستوئ سطح البحر:

$$S = G/F = 7\ 696.027 \text{ (متر)}$$

والآن بفرض أن ارتفاع (AB) الذى هو H فوق متوسط ارتفاع سطح البحر يساوى 250م قرن تصحيح الارتفاع  $C_m$  يكون:

$$C_m = \frac{SH}{R} = \frac{7696 \times 250}{6\ 384\ 100} = +0.301m$$

لأن المسافة الأفقية بمستوئ سطح الأرض:

$$S+C_m = 7696.328 \text{ M.}$$

"تحويل المسافة الأرضية إلى شبكية":

عند ربط المسوحات بالمشبك الوطنى قرن المسافات الأفقية المقاسة على الأرض يجب أن:

(A) تحول إلى ما يقابلها على السطح الكروى بمتوسط مستوئ سطح البحر (MSL).  
(B) "تضرب" بمعامل المقياس المحلى (LSF) لاستخراج المسافة المقابلة لها على المشبك، أي  $(G=S \times F)$ .

خذ الان المثال السابق محلولا بالعكس :

$$\begin{aligned} & \text{المسافة الأفقية على الأرض تساوي: } 7\,696.328\text{M} \\ & \text{تصحيح الارتفاع (Cm): } 0.301\text{M} \\ & \text{لذلك المسافة الكروية S بـ (MSL): } 7\,696.027\text{M} \end{aligned}$$

$$\begin{aligned} & \text{كما أن F: } 1.000\,318\,8 \\ & \text{لذلك المسافة التشبيكية G: } G = S \times F = 7\,698.481\text{ M} \end{aligned}$$

وتتوسط الحسابات اعلاه كثيرا إذا جرت تركيب تصحيحي  
معامل المقياس المحلي والارتفاع ليعطيان معامل مقياس  
محلي معدل ADJUSTED لمتوسط الارتفاع MEAN ELEVATION  
وهذا يمكن أن يتم بالشكل التالي (شكل 2-44):

معامل المقياس المحلي عند خط الزوال الوسطي (F<sub>0</sub>):

$$F_0 = (R - h_0) / R \quad (\text{المسافة الكروية}) / (\text{المسافة التشبيكية})$$

$$\therefore h_0 = R(1 - F_0)$$

وفي أي موقع على السطح الكروي SPHEROID:

$$h = R(1 - F) \quad \dots (2-62)$$

رجوعا إلى الشكل 2-44 يتضح بأنه عندما تكون (F < 1)  
يكون السطح الكروي "فوق" مستوى الاسقاط وتكون h موجبة.  
وعندما تكون (F > 1) يكون السطح الكروي "تحت" مستوى الاسقاط  
وتكون h سالبة. خذ الخط (AB) مرة ثانية والذي قيمته F  
فيه تساوي 1.000 318 7 (شكل 2-44)، فلن ارتفاع مستوى  
الاسقاط فوق أو تحت (MSL) عند نقطة وسط (AB) يساوي h،

$$h = R(1 - F) = 6\,384\,100(1 - 1.000\,318\,7) = -2034.6\text{M} \quad \text{حيث:}$$

$$= 1.000\,318\,7 \quad \text{لذلك قيمة F عند (MSL):}$$

$$= 1.000\,000 \quad \text{وقيمة F عند مستوى الاسقاط:}$$

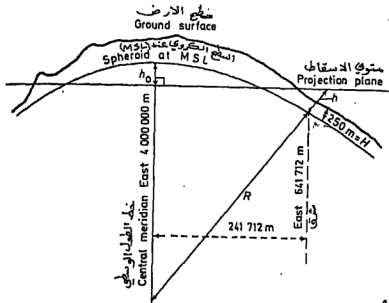
$$= 0.000\,318\,7 \quad \text{لذلك الفرق في قيمة F، أي (ΔF):}$$

وبالتناسب فلن F على ارتفاع 250م فوق (MSL)، أي (F<sub>a</sub>):

$$F_a = F \pm \frac{\Delta F \times H}{h} \quad \dots (2-63)$$

$$= 1.000\,318\,7 - \frac{0.000\,318\,7 \times 250}{2034.6}$$

$$\therefore F_a = 1.000\,279\,5$$



شكل 2-44

سوف يبتدئ الشكل حول علامة هذا التصحيح لقيمة F بالنظر إلى الشكل 2-44. فالنقطة ذات العلاقة لها عامل مقياس محلي (LSF) قيمته 1 000 318 7 عند (MSL). وهكذا يجب أن يقع مستوي الإسقاط "فوق" (MSL). وحيث أن الأرض هي الآن 250 م فوق (MSL) فهي تقترب أكثر من مستوي الإسقاط وهكذا تقترب أكثر من 1 (UNITY)، وهكذا يكون تصحيح 1 000 318 7 سالبا معطيا 1 000 279 5. خذ الآن خط الزوال الوسطي حيث يكون (LSF) عند (MSL) مساويا 0.999 6. فلذا كانت الأرض فوق (MSL) فلنراها ستكون أبعد عن مستوي الإسقاط، وهكذا يبتعد (FSL) عن 1 أكثر عند مستوي الأرض، وهكذا يكون تصحيح F سالبا مرة أخرى. أما إذا كان الموقع موضوع البحث تحت (MSL) كما يحدث عادة في أعمال المناجم والاتفاق، فلن التصحيح يكون موجبا.

في الوقت الذي يكون فيه فهم المبادئ مهما، يمكن حذف هذه الاعتبارات بتركيب المعادلتين 2-63 و 2-64 لاعطاء:

$$F_a = F(1 - H/R) \quad \dots (2-64)$$

حيث أن H هو ارتفاع الأرض نسبة إلى (MSL) وهي موجبة عندما تكون فوق (MSL) وسالبة عندما تكون تحتها.

$$\therefore F_a = 1 000 318 7(1 - (250/6384100)) = 1 000 279 5$$

من الضروري تطبيق معاملات المقياس المحلي على المسوحات المطلوبة ربطها بالمشبك الوطني فقط والعكس بالعكس، أي عندما يطلب لحساب المسافات المشبكية على الأرض من قيم إحداثيات المشبك الوطني. كذلك يكفي استخدام (LSF) واحد لموقع ما، ويعتمد امتداد هذا الموقع على درجة الضبط ACCURACY المطلوبة.

بإمكان إيجاد طريقة أخرى (غير استخدام معاملات المقياس) في المسوحات الهندسية (سكوفيلد 1973).

## 15-2 اقتراب خطوط الزوال CONVERGENCE OF MERIDIANS 173

لقد جرى مناقشة هذا الموضوع سابقا ، ولكن يمكن التوسع فيه بشكل أكثر بخصوص المشبك الوطني.

بتطبيق خط الزوال الوسطي في الاسقاط المبركاتوري العرضي (أي خط طول  $2^\circ$  غربا) مع الخط التشبيكي GRID LINE الواقع 400 000 م إلى الشرق من نقطة الأصل الكاذبة، كما تقترب كافة خطوط الزوال الأخرى الواقعة إلى شرق وإلى غرب خط الزوال الوسطي من خط الزوال الوسطي. أي أنها تقترب باتجاه القطب الشمالي وتلتقي فيه. ولكن الخطوط التشبيكية كلها موازية إلى خط الزوال الوسطي ، وهكذا فالزاوية التي هي باتجاه عقرب الساعة (في أية نقطة) بين اتجاه خطوط المشبك (شمال المشبك) وخطوط الزوال (الشمال الحقيقي) تعرف بـ "إقتراب خطوط الزوال ( $\Delta\alpha$ )

CONVERGENCE OF MERIDIANS حيث :

$$\Delta\alpha = \Delta\lambda \sin \phi_m$$

$$\Delta\lambda = L/R \cos \phi_m$$

$$\therefore \Delta\alpha = \frac{L \tan \phi_m}{R} \quad \dots (2-65)$$

حيث أن  $L$  هي المسافة من خط الزوال الوسطي.

وستعطي هذه المعادلات التقريبية فيما لـ ( $\Delta\alpha$ ) مقربة إلى حد  $25''$  عندما تؤخذ  $\phi_m$  من الخارطة مقربة إلى اقرب  $05'$ ، فمثلا ، إذا كانت إحداثيات المشبك الوطني لمحطة ما (E626 238 و N302 646) وكان خط عرضها ( $52^\circ 34'$ ) شمالا، أوجد مقدار إقتراب خطوط الزوال باعتبار أن نصف قطر الكرة الأرضية يساوي 6 384 100 متر:

$$L = 626\,238 - 400\,000 = 226\,238 \text{ m}$$

$$\Delta\alpha'' = \frac{226\,238 \tan 52^\circ 34'}{6\,384\,100} \times 206\,265 = 9549''$$

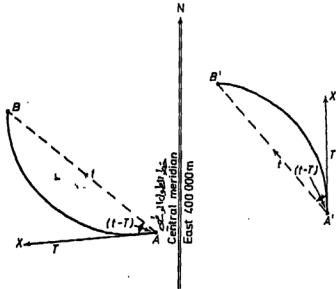
$$\therefore \Delta\alpha = 2^\circ 39' 09''$$

## 16-2 التصحيح (T - t)

إن الاسقاط المبركاتوري العرضي (TMP) TRANSVERSE MERACTOR PROJECTION هو إسقاط متعامد، وهكذا فمن غير الضروري تغيير الزوايا المقاسة على الأرض عند استخدامها بمستوى الاسقاط. مع ذلك، فعندما يكون هنالك خطوط نظر طويلة ، يتطلب الأمر إجراء تصحيح مضيق يدعى "تصحيح (T - t)".

إن الخطوط المرصودة على الأرض هي منحنية بسبب الشكل الكروي للأرض ، وهي دائما "مقنعة" من جهة خط الزوال الوسطي كما مبين في (الشكل 2-45).

وهكذا سيأخذ الخط (AB) المرصود على الأرض الاتجاه (AX) ، بينما على الإسقاط يأخذ الشكل المستقيم -المبين بخط منقطع - والفرق بين هذين الاتجاهين الازمين يسمى تصحيح (t-T) ، ومن هذا يتضح بأنه في حالة وجود خطوط طويلة فلن الزوايا بين محطات محطة المساحة المرصودة على الأرض ستختلف قليلا عن الزوايا المعادلة لها والمحتسبة من إحداثيات المشبك الوطني.



شكل 2-45

إن معادلة تصحيح الاتجاه الزاوي للخط (AB) هي:

$$(t - T)_A = (2\Delta E_A + \Delta E_B)(N_A - N_B)K \quad \dots (2-66)$$

حيث أن :

$\Delta E$  هو تشريق (NG) ناقصا 400 000 م (يكتب بالكيلومترات)  
 N هو تشميل (NG) (يكتب بالكيلومترات)  
 A هي المحطة المطلوب عندها التصحيح.  
 B هي المحطة المرصودة.  
 K تساوي  $(845 \times 10^{-6})$ .

وستكون أعلى قيمة لتصحيح (t-T) هي  $(\pm 7'')$  ، تقريبا ، وهي مسفر للنقاط ذات التشميل الواحد وتزداد بازدياد المسافة من خط الزوال الوسطي. وسوف يتم شرح تطبيق تصحيح (t-T) واقترب خطوط الزوال بوضوح في الأمثلة المحولة التالية:

مثال 2-23: كانت إحداثيات المشبك الوطني (NG) للنقطة A  
 $N_A = 307\ 911.843$  ر  $E_A = 238\ 824.076$  وللنقطة B  
 $N_B = 313\ 000.421$  ر  $E_B = 244\ 601.011$ .

أوجد: (1) الاتجاه الزاوي التشبيكي (AB) وجد طوله.  
 (2) زاوية سمت (AB) و (BA).  
 (3) طول (AB) على الأرض.

إذا أعطيت:  
 (A) متوسط قيمة خط عرض الخط (AB) يساوي  $54^\circ 00'$  شمالاً.  
 (B) متوسط ارتفاع الخط 250 م فوق مستوى الاستدالماسحي.  
 (C) نصف قطر الأرض المحلي 384 100 م.  
 (بوليتكنيك كركرتون)

الحل

$$\begin{array}{ll} E_A = 238\ 824.076 & N_A = 307\ 911.843 \\ E_B = 244\ 601.011 & N_B = 313\ 000.421 \end{array} \quad (1)$$


---


$$\Delta E = 5776.935 \quad \Delta N = 5088.578$$

المسافة على المشبك:  $= (\Delta E^2 + \Delta N^2)^{1/2} = 7698.481 \text{ m}$

اتجاه (AB) الزاوي على المشبك:  $\tan^{-1} \frac{\Delta E}{\Delta N} = 48^\circ 37' 30''$

(2) لاجل احتساب السمت ، اى الاتجاه نسبة الى الشمال الحقيقي ، يجب احتساب:

(A) لإقتراب خطوط الزوال ( $\Delta\alpha$ ) في A و B و (B) تصحيح ( $t - T$ ) في A و B (شكل 2-46).

(A) لإقتراب خطوط الزوال في A:  $\Delta\alpha_A = \frac{L_A \tan \phi}{R}$

حيث  $L_A$  هي المسافة من خط الزوال الوسطي:

$$= 400\ 000 - E_A = 161\ 175.924 \text{ m}$$

$$\therefore \Delta\alpha_A = \frac{161\ 176 \tan 54^\circ}{6\ 384\ 100} \times 206\ 265 = 7167'' = 1^\circ 59' 27''$$

$$\Delta\alpha_B = \frac{155\ 399 \tan 54^\circ}{6\ 384\ 100} \times 206\ 265 = 6911'' = 1^\circ 55' 11''$$

كذلك:

(B) التصحيح ( $t - T$ ):

$$\begin{aligned} (t_A - T_A) &= (2\Delta E_A + \Delta E_B)(N_A - N_B)K \\ &= 477.751 \times -5.089 \times 845 \times 10^{-6} = -2.05'' \end{aligned}$$

لاحظ بأن التشربيق والتشميل بالكيلومترات.

$$(t_s - T_s) = (2\Delta E_s + \Delta E_A)(N_s - N_A)K \\ = 471.974 \times 5.089 \times 845 \times 10^{-6} = +2.03''$$

ولو انه قد تم استخراج علامات (t-T) من المعادلة، لكن  
ينصح الطلاب دائماً برسم تخطيط للحالة المعنية.

بالرجوع < للشكل 2-46 >

$$\phi_A = \theta_A - \Delta\alpha_A - (t_A - T_A) \quad \text{زاوية سمت } (\overline{AB}) \text{ تساوي } \phi_A \\ = 48^\circ 37' 30'' - 1^\circ 59' 27'' - 02'' = 46^\circ 38' 01''$$

$$\phi_B = \theta_B - \Delta\alpha_B + (t_B - T_B) \quad \text{زاوية سمت } (\overline{BA}) \text{ تساوي } \phi_B \\ = (48^\circ 37' 30'' + 180^\circ) - 1^\circ 55' 11'' + 2'' \\ = 226^\circ 42' 21''$$

(3) للحصول على قيمة الطول على الأرض من الطول على  
المشبك يجب الحصول على معامل المقياس المحلي (LSF)  
المعدل عن الارتفاع.

$$= 241 \ 712.544M = E \quad \text{تشريق نقطة وسط } (AB) :$$

معامل المقياس المحلي:

$$LSF = 0.999 \ 601 + [1.228 \times 10^{-14} \times (E - 400 \ 000)^2] = F$$

$$\therefore F = 0.999 \ 908$$

الارتفاع يساوي 250 متر فوق مستوي الاسناد المساحي، أي  
(H = + 250 M) ومعامل المقياس المحلي المعدل عن  
الارتفاع (F<sub>a</sub>):

$$F_s = F \left(1 - \frac{H}{R}\right) = 0.999 \ 908 \left(1 - \frac{250}{6 \ 384 \ 100}\right) = 0.999 \ 869$$

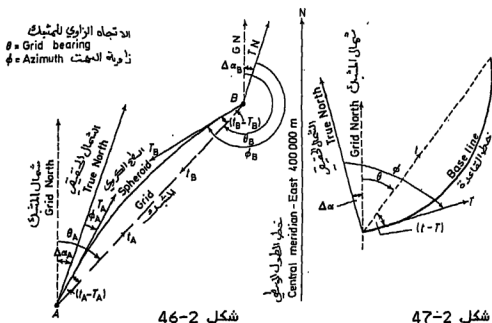
إذن طول (AB) على الأرض :  $F_a \div (\text{الطول على المشبك}) =$

$$\therefore AB = 7698.481 \div 0.999 \ 869 = 7 \ 699.483M$$

مثال 2-24: كجزء من اعمال التسوية المطلوبة للاعمال  
الاضافية الخاصة بمنظومة موصلات كبيرة تحت الأرض،  
فقد انشئ خط قاعدة في نفق وربط بالمشبك الوطني من  
خلال ربط سلكي عبر مهواة SHAFT واعمال تضليع دقيقة  
بعد ذلك.

من ثم تم تدقيق سمت خط القاعدة بواسطة مزواة  
الجايرو وباستخدام "طريقة رصد النقطة العكسية"  
REVERSAL POINT METHOD OF OBSERVATION وكما يلي:

ملاحظات	قراءات الدائرة الافقية	التقاط العكسية
المكسية اليسار	40 20 330	$r_1$
المكسية اليمين	50 42 338	$r_2$
المكسية اليسار	18 27 330	$r_3$
المكسية اليمين	20 22 338	$r_4$



شكل 46-2

شكل 47-2

قراءة الدائرة الافقية لخط القاعدة:  $28^{\circ}32'46''$   
 لإقتراب خطوط الزوال:  $0^{\circ}20'18''$   
 تصحيح  $(t - T)$ :  $0^{\circ}00'04''$   
 تشريق المشبك الوطني لخط القاعدة: 500 000 متر

وقبل أخذ القراءات اعلاه كان قد تم تدقيق مزواة الجايرو على خط قاعدة سطحي ذي سمت معروف وقد تم الحصول على المعاليم المتوسطة التالية:

السمت المعلوم لخط القاعدة السطحي:  $140^{\circ}25'54''$   
 سمت الجايرو لخط القاعدة السطحي:  $141^{\circ}30'58''$

اوجد الاتجاه الزاوي على المشبك الوطني لخط القاعدة تحت الارض.

الحل

راجع الجزء الاول/ سكوفيلد - شمان 1986 > حول مزواة الجايرو. فباستخدام متوسط قيمة سكولر SCHULER'S MEAN:

$$N_1 = \frac{1}{2}(r_1 + 2r_2 + r_3) = 334^{\circ}33'24''$$

$$N_2 = \frac{1}{2}(r_2 + 2r_3 + r_4) = 334^{\circ}29'54''$$

$$\therefore N = (N_1 + N_2)/2 = 334^{\circ}31'39''$$

قراءة الدائرة الأفقية للقاعدة:  $=28^{\circ}32'46''$   
 إذن سمت الجايرو لخط القاعدة:  $=28^{\circ}32'26'' - 334^{\circ}31'39''$   
 $=54^{\circ}01'07''$

مع هذا، فالقراءات على القاعدة السطحية تشير إلى أن  
 مزواة الجايرو تقراً أكثر مما يجب بمقدار:  
 $= 141^{\circ}30'58'' - 140^{\circ}25'54'' = 1^{\circ}05'04''$

إذن السميت الحقيقي لخط القاعدة  $\phi$ ;  
 (ثابت الجهاز) - (سميت الجايرو)  $\phi$   
 $= 54^{\circ}01'07'' - 1^{\circ}05'04'' = 52^{\circ}56'03''$

والآن بالرجوع إلى (الشكل 2-47) تتضح علامة التصحيحات  
 (أى + أو -) التي تعطى الاتجاه الزاوي على المشبك  
 الوطني (N.G.) ، أى:

السميت  $\phi = 52^{\circ}56'03''$   
 إقتراب خطوط الزوال ( $\Delta\alpha$ ):  $\Delta\alpha = -0^{\circ}20'18''$   
 تصحيح ( $t-T$ ):  $(t-T) = -0^{\circ}00'04''$

إذن الاتجاه الزاوي على (N.G.)  $\phi = 52^{\circ}35'41''$

## تمارين

2-11 إشرح معنى التعبير "إقتراب خطوط الزوال" وبين كيف  
 يجب أخذ هذا العامل بنظر الاعتبار عند مد خطوط المسح  
 الطويلة بواسطة المزواة.

من النقطة A الواقعة على خط عرض  $53^{\circ}$  شمالاً وخط طول 2  
 غرباً تم مد خط عمودي على اتجاه خط الزوال الابتدائي  
 INITIAL MERIDIAN ولمسافة 31 680 متر باتجاه الغرب  
 إلى نقطة B.

أوجد الاتجاه الزاوي الحقيقي للخط في نقطة B وخط طول  
 هذه النقطة. أيضاً أوجد الاتجاه الزاوي والمسافة من B  
 لنقطة تقع على خط زوال النقطة B وبنفس خط عرض نقطة  
 الابتداء A. حيث يمكن اعتبار نصف قطر الأرض 6273 كم.  
 (جامعة لندن)  
 [الجواب: ( $269^{\circ}37'00''$ ) و ( $2^{\circ}28'51''$  غرباً) و 106.5 متر]

2-12 للنقطتين A و B الاحداثيات التالية:

	خط العرض	خط الطول
A	$52^{\circ}21'14''N$	$93^{\circ}48'50''E$
B	$52^{\circ}24'18''N$	$93^{\circ}42'30''E$

فلذا أعطيت القيم التالية:

خط العرض	لـ (1°) من خط العرض	لـ (1°) من خط الطول
52°20'	30.423 45M	18.638 16M
52°25'	30.423 87M	18.603 12M

اوجد زاويتي السميت لـ B من A ولـ A من B. ايضا اوجد المسافة (AB).  
[الجواب: (308°23'36") و (128°18'35") و 9 021.9 متر]

2-13 كانت زاوية سمت الخط (AB) البالغ طوله 29 623 متر تساوي (23°44'00") وذلك عند نهايته A الواقعة على خط عرض (47°22'40") شمالا وعلى خط طول (0°41'10") شرقا.

اوجد خط عرض وخط طول المحطة B والسميت المعكوس للخط من المحطة B الى اقرب ثانية واحدة.

خط العرض	لـ (1°) من خط الطول	لـ (1°) من خط العرض
47°30'	20.601M	30.399M
47°35'	20.568M	30.399M

(جامعة لندن)

[الجواب: (47°37'32") شمالا و (0°50'50") و (203°51'08")]

2-14 تقدر ان يكون طول خط حدود 60 كم وعلى طول العرض 45°. اوجد المعلومات اللازمة لتثبيت علامات الحدود على مسافات مقدارها 30 كم ، و اشرح عملية التثبيت هذه.

افترض بان 30.45 متر على الدائرة العظمى تقابل (1°) في مركز الارض وان متوسط قيمة نصف قطر الكرة الارضية هو 6 367 كم وان لوفاريثم R (بالامتار) يساوي 6.803 935 .  
[الجواب: طريقة الوتر، زاوية الانشاء تساوي 89°43'48" ، اكبر إزاحة جانبية تساوي 282.7 متر] .



## المسح التصويري الجوي

## Aerial photogrammetry

فكما تلمّح كلمة "المسح التصويري PHOTOGRAMMETRY"، فهي تعني القياسات من الصور، وفي حالة المسح التصويري الجوي فهي القياسات من الصور المأخوذة من الجو.

إن الاستخدام الرئيس للمسح الجوي هو لتحضير المخططات الكنتورية CONTOUR PLANS من الصور الجوية، حيث تؤخذ الصور على امتداد خطوط مسارات طيران بسبق تحديدها بآلة تصوير جوية AERIAL CAMERA مثبتة في جسم الطائرة بمحورها البصري متجها شاقوليا إلى الأسفل (شكل 3-4)، وتسمى كذا صور "بالصور الشاقولية VERTICAL PHOTOGRAPHS"، وهذا هو النوع الوحيد من الصور الذي سيتم التطرق اليه هنا.

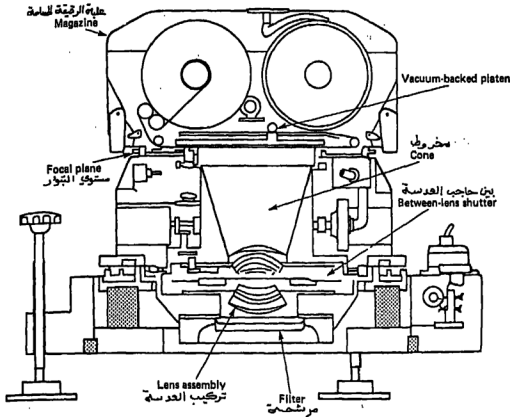
إن العمليات الأساسية التي تدخل في إنتاج الخارطة الكنتورية CONTOUR PLAN أو النموذج الرقمي الأرضي DIGITAL GROUND MODEL من الصور الجوية هي:

- (A) عملية التصوير PHOTOGRAPHY
- (B) عملية الضبط الأرضي GROUND CONTROL
- (C) منظومة التعديل RESTITUTION SYSTEM

## 1-3 عملية التصوير PHOTOGRAPHY

تؤخذ الصور أساساً باستخدام رقيقة حساسة مستقرة الاعتماد في آلة تصوير دقيقة (شكل 3-1)، من الضروري أن تظهر كافة التفاصيل الطبوغرافية بوضوح وبالتالي تكون مميزة على الصورة، كما ويجب أن يحافظ على العلاقات الهندسية بين الأجسام الأرضية وصورها بكل دقة، وتختص هذه الشروط بشكل عام إلى الظروف الجوية السائدة وقت التصوير والتي حركة الطائرة ومواضع آلة التصوير والرقيقة الحساسة والمقياس المستخدم والتظهير النهائي للرقيقة الحساسة.

يكون اختيار المواد التصويرية ثم تظهير الرقيقة الحساسة ملكاً للمصورين ذوي الخبرة العالية الذين يستخدمون مهاراتهم الحرفية ومعرفتهم لتقليل التشوهات التي أفك ما يمكن، عموماً، أكثر الرقائق الحساسة شائعة الاستخدام تتحسس للون الابيض PANOCHROMATIC وتعطى الصور المعروفة باللونين الاسود والابيض والمستخدم في صناعة الخرائط، تأتي هذه الرقائق الحساسة بطول 120 متر وسرعة حساسية تتراوح بين (200 ASA) و (400 ASA).

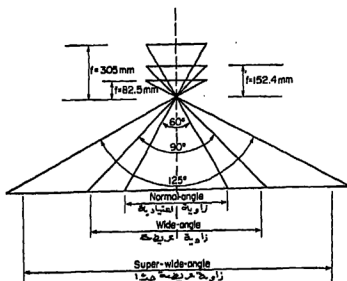


شكل 3-1

يمكن أن تحل الرقيفة الحساسة الملوثة محل الحادية اللون عندما يكون تفسير التفاصيل أيضا ذا أهمية، فمثلا، يكون تغير وتمييز الظلال بين اقوى اسود واقوى ابيض في صور الاسود والابيض بحدود الـ 200 بينما يزداد هذا الرقم بعملية التصوير الملون الـ 5000، أيضا يستخدم التصوير بالأشعة تحت الحمراء INFRARED بشكل واسع لكشف اوضح للخطوط الساحلية والانهر واشكال التوزيع DRAINAGE PATTERNS وللتغيرات التي تطرأ على حيوية المزروعات بسبب اشكال الانبات او بسبب المرض، ولظواهر أخرى ككمية التلوث الموجودة في الاوساط المائية.

تكون آلات التصوير المستخدمة في المسح الجوي، كما هي الحال في بقية معدات المساحة، ذات تركيب دقيق وتكون عدساتها ذات مواصفات عالية بحيث يكون التضييب ABERRATION مهما عمليا. فكما هو مبين في الرسم (شكل 2-3) يمكن تنميف العدسات بشكل عام كما يلي:

- (A) ذات زاوية اعتيادية ( $60^\circ$ )  
البعد الجوّري f يساوي 82.5 ملم،
- (B) ذات زاوية عريضة ( $90^\circ$ )  
البعد الجوّري f يساوي 152.4 ملم،
- (C) ذات زاوية عريضة جدا ( $125^\circ$ )  
البعد الجوّري f يساوي 305.0 ملم،



شكل 2-3

لن العدسات ذات الزوايا الاعتيادية غير شائعة الاستخدام في الوقت الحاضر ، كما أن العدسات ذات الزوايا العريضة جدا ( $125^\circ$ ) تكون مقتصرة على الخرائط ذات المقاييس الصغيرة، أما من الناحية الهندسية فأكثر العدسات شعبية هي العدسات ذات الزاوية العريضة ( $90^\circ$ ) المركبة مع قاعدة رقيقة حساسة FILM FORMAT بأبعاد ( $230\text{MM} \times 230\text{MM}$ )، حيث أن آلة التصوير هي التي تعطي الأبعاد الهندسية الأساسية للصور الجوية والتي هي من مميزات إسقاط المنظور المركزي CENTRAL PERSPECTIVE PROJECTION بالعدسة فيه تمثل نقطة الأصل.

بعد منظومة العدسات يأتي الاعتبار الرئيس التالي وهو حاجب العدسة SHUTTER الذي يجب أن يكون بمقدوره تعريف كامل قاعدة الرقيقة الحساسة للضوء للمدة المطلوبة بالوقت المحدد، بالإضافة إلى ذلك، يجب تقليل حركة الصورة الناتجة - عموماً - عن الحركة الظاهرية للأرض نسبة إلى الطائرة بحيث يمكن إهمالها، وللحصول على كفاءة يستخدم حاجب عدسة ذو القرص الدوار الذي يثبت بين أجزاء العدسة (شكل 3-1)، وتركب آلة التصوير بأكملها داخل حامل مقاوم للذبذبات.

لن بمقدور آلة التصوير الجوية إعطاء سرعة حاجب بين ( $1/50$ ) و ( $1/2000$ ) من الثانية. هذا وإن السرعة الأكثر استخداماً من الناحية العملية هي بين ( $1/100$ ) و ( $1/1000$ ) من الثانية، أما معدات تسطيح الرقائق الحساسة المتوفرة فهي منظومات الخواء ذات الضغط الواطئ LOW PRESSURE VACUUM SYSTEMS والتسطيح القيزيائي الذي يتم بواسطة وسادات تضغط على الرقيقة الحساسة. تكون فترة الدورة الكاملة COMPLETE CYCLING TIME لآلة التصوير محدود 1.5 ثانية إلى 2.0 ثانية، وأقصى تشويشات (بعد التعبير الحذر لآلة التصوير) يكون محدود ( $3\mu\text{m}$ ) إلى ( $10\mu\text{m}$ ).

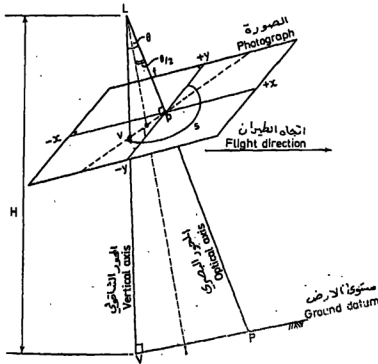
أما ثوابت آلة التصوير CAMERA CONSTANTS الناتجة  
عن عملية التعبير فهي :  
(A) موقع النقطة الرئيسية PRINCIPAL POINT  
(B) البعد البؤري للعدسة  
(C) شكل ومقدار التشويه على امتداد موقع التصوير  
الفعلي.

### 2-3 الإبعاد الهندسية للصورة الجوية GEOMETRY OF THE AERIAL PHOTOGRAPH

فتقبل الافتناع بالحاجة إلى الضبط الأرضي - GROUND CO-  
NTROL والن منظورمة التعديل RESTITUTION SYSTEM من  
الضروبي معرفة الأخطاء الموجودة في الصورة الجوية.  
غالبا ما يكون سبب هذه الأخطاء "مبيل" TILT مستوي القلم  
في لحظة اخذ الصورة و"زحف" DISPLACEMENT موقع الجسم  
بسبب "التموجات الأرضية" GROUND RELIEF، لأن ما يجب  
فهمه هو أن الصورة هي ليست خارطة، فيما عدا الحالة  
التي يكون فيها الموقع منبسطة ومستويا جدا ومحور  
الصورة شاقوليا فعلا.

#### 1-2-3 تعريفات Definitions

بسبب ترنح وهبوط الطائفة في حالة الطيران بنذر  
أخذ صورة شاقولية حقا. (الشكل 3-3) بجين صورة شبه  
شاقولية بالمحور البصري للعدسة منحرفا بزواوية  $\theta$  عن  
الشاقول، فعمليا تكون  $\theta$  عادة أقل من  $3^\circ$ . أما تعريف  
المصطلحات المستخدمة بشكل عام فهي كما يلي:



شكل 3-3

(محور الصورة PHOTO-AXES): هما المحوران (X-Y) المتعامدان حيث أن المحور Y ينتج من توصيل علامتي الاسناد FIDUCIAL MARKS المتقابلتين للصورة ، وهذا هو المحور الذي تقاس منه إحداثيات الصورة، أما المحور X فهو يكون باتجاه الطيران تقريبا .

(المحور البصري OPTICAL AXIS): هو الخط (LpP) من مركز العدسة ويصنع  $90^\circ$  مع مستوى الصورة.

(البعد الرئيس PRINCIPAL DISTANCE): هي المسافة (Lp=f) من العدسة إلى مستوى الصورة ، ويتعبّر آخر يمكن أن يسمى "البعد البؤري FOCAL LENGTH".

(المحور الشاقولي VERTICAL AXIS): هو الخط (LvV) الذي يكون باتجاه الجاذبية الأرضية ، وهكذا فهو يصنع  $90^\circ$  مع مستوى الاسناد الأفقي LEVEL DATUM PLANE.

(الميل TILT): هي الزاوية  $\theta$  المحصورة بين المحور الشاقولي والمحور البصري (انظر أيضا إلى تعريف الخط الرئيس الوارد ذكره أدناه).

(النقطة الرئيسية PRINCIPAL POINT (PP)): هي النقطة التي يقطع المحور البصري فيها الصورة.

(نقطة الشاقول PLUMB POINT): هي النقطة  $\gamma$  حيث يقطع المحور الشاقولي فيها الصورة.

(المركز المشترك ISOCENTRE): هي النقطة  $\alpha$  التي يقطع منصف زاوية الميل  $\theta$  فيها الصورة.

(الخط الرئيس PRINCIPAL LINE): هو الخط (vtp) الواقع في مستوى الصورة الذي يعطى اتجاه أعلى ميل للصورة ، فهو إذن يصنع زاوية  $\theta$  مع الأفق.

(متوازيات الطبق PLATE PARALLELS): هي الخطوط التي تصنع  $90^\circ$  مع الخط الرئيس وهي تشبه خطوط الضرب STRIKE-LINES في علم الأرض (انظر الجزء الأول/سكوفيلد - شمان 1986 >فقره 2-1-2)، فهي إذن خطوط مستوية LEVEL LINES.

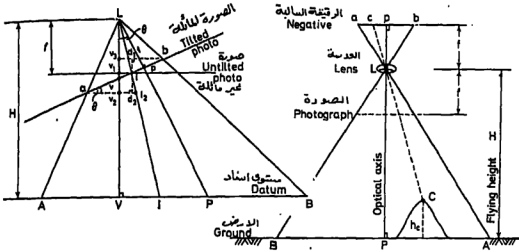
(المتوازي المشترك ISOMETRIC PARALLEL): هي إحدى متوازيات الطبق المارة بالمركز المشترك مولفة محور ميل الصورة.

(ارتفاع الطيران FLYING HEIGHT): هو الارتفاع الشاقولي "لعدسة" فوق الأرض في لحظة تعريف الرقطة المساسة للضوء ، ويساوي (H-h) ، حيث أن H هو ارتفاع العدسة فوق مستوي الاسناد (اعتباريا يكون متوسط مستوي سطح البحر) و h هو متوسط ارتفاع الموقع.

(الجرم SWING): هي زاوية S المقاسة باتجاه عقرب

الساعة من محور الـ (+Y) التي نقطة الشاقول في مستوى الصورة، وعليه فإنها تحدد اتجاه المييل نسبة إلى محوري الصورة، وسيجري الآن بحث مصادر الخطأ هذه.

### 2-2-3 المقياس وتغيره بسبب التموجات الأرضية



شكل 5-3

شكل 4-3

من الشكل 4-3 يتبين بأن مقياس الصورة هو النسبة بين المسافة على الأرض إلى المسافة الشبكية على الصورة ، وهكذا بواسطة المثلثات المتشابهة:

$$\text{المقياس } S = \frac{ab}{AB} = \frac{f}{H}$$

ففي نقطة C من الجذهي ان المقياس S يساوي  $(f/(H-h))$  وهكذا فإن المقياس S يتغير حسب التموجات الأرضية على امتداد الصورة ، وهو يعطين من المعادلة التالية لارتفاع  $h$  :  

$$S = \frac{f}{H-h} \quad \dots (1-3)$$

### 2-3 المقياس وتغيره بسبب الميل

بفترض الشكل 5-3 موقعا مستويا ويعطى  $\theta$  كزاوية للميل ، وهكذا فالمقياس عند المركز المشترك هو مشترك بين الصورة المائلة والصورة الشاقولية فعلا،

$$S_l = \frac{Ll}{LI} = \frac{Lv_1}{LV} = \frac{f}{H} \quad \text{(A) المقياس عند المركز المشترك}$$

$$S_p = \frac{Lp}{LP} = \frac{f}{H \sec \theta} \quad \text{(B) المقياس عند النقطة الرئيسية}$$

(C) المقياس عند نقطة الشاقول؛

$$S_v = \frac{Lv}{LV} = \frac{f \sec \theta}{H}$$

(D) المقياس عند اية نقطة عشوائية (a)؛

$$S_a = \frac{La}{LA} = \frac{Lv_2}{LV} = \frac{Lv_1 + ld_2}{LV} = \frac{f + al \sin \theta}{H}$$

افرض بان (  $al = y_a$  ) وهى المسافة من المركز المشترك.

$$S_a = \frac{f + y_a \sin \theta}{H}$$

(E) المقياس عند اية نقطة عشوائية (b)؛

$$S_b = \frac{Lb}{LB} = \frac{Lv_3}{LV} = \frac{Lv_1 - ld_1}{Lv} = \frac{f - lb \sin \theta}{H}$$

$$S_b = \frac{f - y_b \sin \theta}{H}$$

وبجعل (  $lb = y_b$  )

وهكذا يمكن لثبات ان المقياس يتغير باستمرار على طول الخط الرئيس وحسب المسافة من المركز المشترك. ولكن من التعريف ، يكون المقياس باستقامة متوازي التطبيق في نقطة معينة ثابتا عندما تكون الارض مستوية. لن المعادلة الاساسية التى تأخذ تموج الارض بنظر الاعتبار لذن هي:

$$S = \frac{f \pm y \sin \theta}{H - h}$$

... (2-3)

وبتعويض المسافة المناسبة من المركز المشترك بالنسبة للنقاط  $v$  او  $p$  يتم الحصول على المعادلات المبينة فى (A) و (C) اعلاه. فمثلا؛ خذ النقطة  $p$ ؛

$$S_p = \frac{f - lp \sin \theta}{H}$$

وعندما (  $lp = y_p = f \tan(\theta/2)$  ) لذن؛

$$S_p = \frac{f - f \tan(\theta/2) \sin \theta}{H} = \frac{f - f \left( \frac{\sin \theta/2}{\cos \theta/2} \right) [2 \sin(\theta/2) \cos(\theta/2)]}{H}$$

$$= \frac{f - f [2 \sin^2(\theta/2)]}{H} = \frac{f [1 - 2 \sin^2(\theta/2)]}{H} = \frac{f \cos \theta}{H}$$

$$\therefore S_p = \frac{f}{H \sec \theta}$$

ونفس الطريقة تتبع بالنسبة لـ  $v$  حيث؛

$$y_v = vp - lp = f [\tan \theta - \tan(\theta/2)].$$

والتي عند التعويض تصبح نفس المعادلة المعطاة فى الفقرة (C).

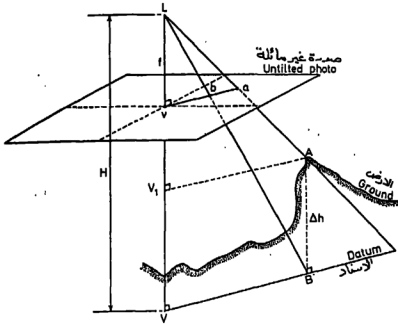
لاحظ بان المعادلة هى موجبة الى الجانب السفلى من الصورة المائلة والعكس بالعكس.

ويمكن إيجاد تغيير المقاييس على طول الخط الرئيس  
بإجراء التفاضل على المعادلة الأساسية لـ  $y$ ، أي:

$$\frac{dS}{dy} = \pm \frac{\sin \theta}{H}$$

### 3-2-4. إزاحة الشبح بسبب تموج الأرض

Image displacement due to ground relief



شكل 6-3

يظهر (الشكل 6-3) صورة غير مائلة لموقع متموج، حيث ستظهر النقطة A في B لذا أسقطت عمودياً على المخطط، وعليه فإن موقعها الصحيح على الصورة هو في b، وتكون المسافة (ab) هي الإزاحة الناتجة عن ارتفاع A فوق مستوى الأساس. فبواسطة المثلثات المتشابهة:

$$\frac{va}{V_1 A} = \frac{f}{H - \Delta h} = \frac{va}{VB} \quad \therefore va(H - \Delta h) = fVB \quad \dots$$

ولكن  $\left( \frac{vb}{VB} = \frac{f}{H} \right)$ ، إذن:

$$\therefore VB = \frac{vbH}{f}$$

وهكذا:

$$va(H - \Delta h) = vbH_g = (va - ab)H \quad \therefore \frac{va}{va - ab} = \frac{H}{H - \Delta h}$$

$$\therefore vaH - va\Delta h = vaH - abH \quad \therefore ab = va\Delta h/H \quad \dots (3-3)$$

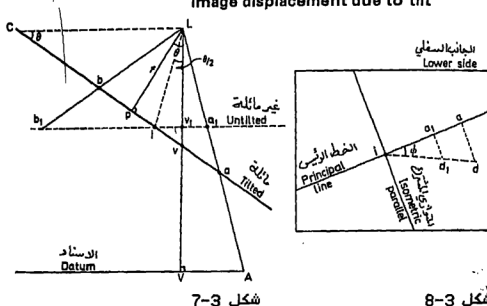
من (المعادلة 3-3) يمكن رؤية أن إزاحة زيادة في ارتفاع الطيران سوف تقلل من الإزاحة (ab) والتي هي بدورها متناسب طردياً مع ارتفاع الجسم ( $\Delta h$ ). أيضاً، يمكن إزاحة الشبح إذا بقيت كل من H و ( $\Delta h$ ) ثابتة فالإزاحة ستزداد بازدياد المسافة (va) من نقطة الشاقول.

وهذه الملاحظة الأخيرة هي مهمة في تركيب الخرائط الفسيفسائية MOSAICS ويمكن أن تؤدي إلى استخدام الجزء الوسطي من الصورة فقط.

من (الشكل 3-6) يمكن رؤية أن (LV) يوازي (AB) بوضوح أن كليهما شاقوليان، وهكذا فإن (LABV) يوازي مستوى يحتوي  $v$  و  $b$  و  $d$  موضعا فيه كيف أن الإزاحة (ba) هي قطرية من الشاقول (LV) في  $v$  التي تمثل نقطة الشاقول في الصورة شبه الشاقولية.

### 5-2-3 إزالة الشبح بسبب الميل

Image displacement due to tilt



شكل 7-3

شكل 8-3

خذ النقطة  $d$  في (الشكل 7-3) التي تبعد مسافة  $(ia)$  عن المركز المشترك على الصورة المائلة و  $(ia_1)$  على الصورة غير المائلة، وهكذا فالإزاحة  $(\Delta t)$  الناجمة عن الميل تعطى من المعادلة:

$$\Delta t = ia - ia_1$$

$$\therefore \frac{\Delta t}{ia} = \frac{ia - ia_1}{ia} = 1 - \left( \frac{ia_1}{ia} \right) = 1 - \left( \frac{CL}{Ca} \right) = 1 - \left( \frac{f \csc \theta}{Ci + ia} \right)$$

$$CLi = \hat{CL} = (90^\circ - \theta/2),$$

ولكن لما كانت:  
فإن:

$$Ci = CL = f \csc \theta$$

$$\therefore \frac{\Delta t}{ia} = \frac{f \operatorname{cosec} \theta}{f \operatorname{cosec} \theta + ia} = \frac{f \operatorname{cosec} \theta + ia - f \operatorname{cosec} \theta}{f \operatorname{cosec} \theta + ia} = \frac{ia}{f \operatorname{cosec} \theta + ia}$$

$$\therefore \Delta t = \frac{(ia)^2}{f \operatorname{cosec} \theta + ia} = \frac{(ia)^2 \sin \theta}{f + ia \sin \theta}$$

ونفس الشيء يسرى على النقطة الواقعة على الجانب العلوي من الصورة ، حيث يمكن إثبات أن:

$$\Delta t = \frac{(ib)^2 \sin \theta}{f - ib \sin \theta}$$

فالمعادلة العامة إذن هي:

$$\Delta t = \frac{y^2 \sin \theta}{f \pm y \sin \theta} \quad \dots <4-3>$$

حيث أن  $y$  هي المسافة من المركز المشترك مقاسة على طول الخط الرئيس. وتكون الحالة بالنسبة لاية نقطة "خارجة" عن الخط الرئيس كما هي مبينة في <الشكل 3-8>.

$$\begin{aligned} ia &= id \cos \phi & \text{يمكن إثبات أن;} \\ ia_1 &= id_1 \cos \phi & \text{و;} \\ dd_1 &= \Delta t_1 & \text{وهكذا فالازاحة (dd_1) } \end{aligned}$$

وبإسقاط هذه الازاحة على الخط الرئيس تعطى:

$$\Delta t = \Delta t_1 \cos \phi = \frac{(y \cos \phi)^2 \sin \theta}{f \pm y \cos \phi \sin \theta}$$

وهكذا تصبح المعادلة العامة:

$$\Delta t_1 = \frac{y^2 \sin \theta \cos \phi}{f \pm y \sin \theta \cos \phi} \quad \dots <5-3>$$

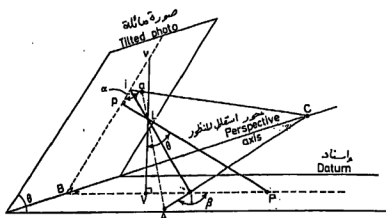
ولذا كانت  $\theta$  صغيرة فلن (  $y \sin \theta \cos \phi$  ) بهمل بالمقارنة مع  $f$ .

$$\therefore \Delta t_1 = \frac{y^2 \sin \theta \cos \phi}{f} \quad \dots <6-3>$$

تشير المعادلة الى أن الازاحة تتناسب طرديا مع المسافة المربعة من المركز المشترك. وعليه فإنها تكون باكبر قيمة لها عند حافات الصورة. كذلك تشير بأن زيادة البعد الجوزي لالة التصوير يساعد في تقليل الازاحة.

فكما سيشار اليه في <الفقرة التالية 3-2-6>، فلن الزوايا المقاسة حول المركز المشترك على صورة ماثلة تساوي الزوايا المقابلة لها على الارض. ومن هذا ينتج بأن لازاحة الصورة الناتجة عن الميل يجب أن تكون قطرية من المركز المشترك ISOCENTRE.

## 3-2-6 النسب الزاوية على الصورة المائلة



شكل 9-3

من هندسة السطوح المستوية يمكن إثبات أن أي خط على الصورة المائلة في (الشكل 9-3) سوف يقطع الخط المقابل له على الأرض باستقامة محور إسقاط المنظور، PERSPECTIVE AXIS.

خذ الزاوية (PIA =  $\beta$ ) على الأرض والزاوية المقابلة لها (p*i*a =  $\alpha$ ) على الصورة حول المركز المشترك، وهكذا ففي المثلثين قائمي الزاوية (B*i*C) و (B*i*C)؛

$$\tan \alpha = BC/BI \quad \tan \beta = BC/BI \quad \therefore \tan \alpha / \tan \beta = BI/BI$$

ولكن في المثلث (B*i*I) :  $B\hat{I}I = B\hat{I}I = 90^\circ - \theta/2 \quad \therefore BI = BI$

$$\tan \alpha = \tan \beta \quad \dots (7-3)$$

خذ الآن تركيباً مشابهاً من خلال نقطتي الشاقول V و v وأي نقطة أخرى على الأرض مشابهة للنقطة A بالخطين يلتقيان على محور إسقاط المنظور.

ففي المثلثين (BvC) و (BVC) قائمي الزاوية؛

$$\tan \alpha = BC/Bv \quad \tan \beta = BC/BV$$

$$\therefore \frac{\tan \alpha}{\tan \beta} = \frac{BV}{Bv} = \cos \theta \quad \dots (8-3)$$

ونفس الشيء يسرى في P؛

$$\tan \alpha = BC/BP \quad \tan \beta = BC/BP$$

$$\therefore \frac{\tan \alpha}{\tan \beta} = \frac{BP}{BP} = \sec \theta \quad \dots (9-3)$$

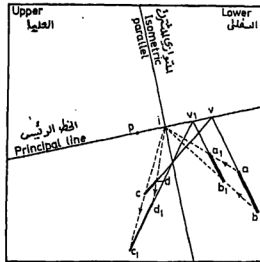
وهذه النسبة الأخيرة هي مهمة خصوصاً عند بحث رسم الخط القطري RADIAL LINE PLOTTING الذي يفترض بأن الزوايا حول النقطة الرئيسية على الصورة تساوي الزوايا المقابلة لها على الأرض، وهذا طبعاً هو صحيح فقط بالنسبة للمركز المشترك.

بالإضافة إلى التعديلات المذكورة آنفاً ، هنالك إزاحات أخرى قد تنتج بسبب تغير ارتفاع الطيران وانكسار شعاعات الضوء (خصوصاً بالقرب من جسم الطائفة) وبسبب أخطاء آلة التصوير والاختلاف التصويرية... والخ.

وهكذا يتضح الآن بأن الصورة هي غير مستوية فيما عدا الحالة التي يكون فيها محور الصورة شاقولياً فعلاً والأرض مسطحة ومستوية.

### 3-2-7 التأثير المركب للميل والتموج

#### Combined effect of tilt and relief



شكل 10-3

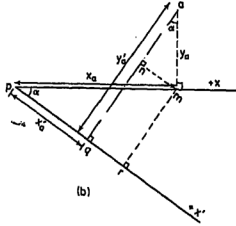
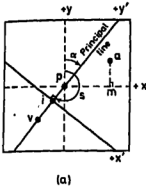
فكما يشير إليه سابقاً ، فالإزاحة التي سببها الميل وتموج الأرض هي ليست قطرية من أية نقطة على الصورة.

يجب أن (الشكل 10-3) بأن الخط (ab) هو الحافة العليا والسفلى من مبنى مرتفع. وأن الإزاحة الناتجة عن الارتفاع (ab) هي قطرية من نقطة الشاقول، بينما تكون لإزاحة الميلين (ac) و (bb) قطريتين من المركز المشترك. لاحظ الاتجاه المعاكس للإزاحة على الحافة العليا للصورة.

إن الغرض من معالجة كذا تأثيرات هو: (I) حذف الإزاحة الناجمة عن الميل من خلال تعديل رياضي أو بصري للصورة ، أي تحويل الصورة المائلة إلى صورة أفقية معادلة لها (II) حذف الإزاحة الناجمة عن الارتفاع على الصورة المعدلة - فمثلاً ، عند التعديل يكون الموقع المكافئ لنقطة الشاقول في (a) انظر أيضاً الشكل 7-3 والتي منها تكون لإزاحة الارتفاع (a<sub>1</sub> b<sub>1</sub>) قطرية .



بين المحورين المعنبيين تساوي  $(\alpha = 180^\circ + S)$  ، فمقدار الزحف اللازم هو  $(pi)$  حيث  $(pi = f \tan(\theta/2))$  . وبفرض خط موازي من  $P$  ، فلن نتخيم الشكل A12-3 > بجين بأن الزاوية



شكل 12-3

بين محوري ال  $x$  هي  $\alpha$  . وهكذا فمن < الشكل B12-3 > :

$$x'_0 = pr - qr = x_0 \cos \alpha - y_0 \sin \alpha \quad y'_0 = an + mr = y_0 \cos \alpha + x_0 \sin \alpha$$

وللحصول على الشكل العام لهاتين المعادلتين عوضاً عن  $(180^\circ + S)$  محل  $\alpha$  واجمع الزحف  $(pi = f \tan(\theta/2))$  للحصول على نقطة الأصل الجديدة في  $i$  ، عليه :

$$x' = -x \cos S + y \sin S \quad \dots < 13-3 >$$

$$y' = -x \sin S - y \cos S + f \tan(\theta/2) \quad \dots < 14-3 >$$

حيث أن  $x$  و  $y$  هما لإحداثيات الصورة المقاسين من محوري الاسناد .

ويمكن الآن تطبيق < المعادلة 2-3 > الخاصة بالمقياس على الصورة المائلة على الإحداثيات الجديدة لتعطي الإحداثيات الأرضية  $X$  و  $Y$  كما يلي :

$$X = K x' \quad Y = K y' \quad \text{حيث أن :} \\ K = H / (f - y \sin \theta)$$

### 3-2-10 الإحداثيات الأرضية من صورة مائلة لموقع متموج

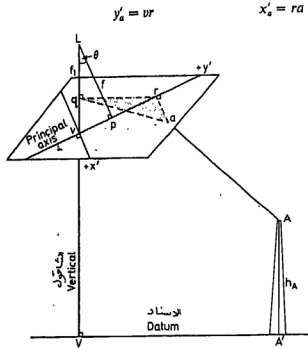
لأن المعلومات في هذه الحالة مطابقة لتلك المعلومات المعطاة في < الفقرة 3-2-9 > زاحدا الارتفاعات  $h$  للنقاط في السوال .

لما كان تـاثير تموج الارض من نقطة الشاقول قطرياً ، فلن الدوران والانتقال TRANSLATION هما هذه المرة نسبة  $\theta$  ، حيث أن  $(pv = f \tan \theta)$  وعليه :

$$x' = -x \cos S + y \sin S \quad \dots < 15-3 >$$

$$y' = -x \sin S - y \cos S + f \tan \theta \quad \dots < 16-3 >$$

وهكذا من (الشكل 13-3) تكون الاحداثيات الجديدة لـ ه :



شكل 13-3

والآن يتم التعديل الرياضي لكل نقطة باعتبار أن هنالك مستويات أفقية تمر بمتوازيات الطبق للنقاط موضوعة البحث، فمثلاً، في حالة النقطة ه فإن المستوى الأفقي الذي يمر من خلالها هو (qrd) وبذلك تكون الاحداثيات المعدلة:

$$y''_a = qr = y'_a \cos \theta$$

$$x''_a = ra = x'_a \sin \theta$$

والبعد البؤري الجديد الذي يتفق مع مستوى التعديل هو الآن:

$$f_1 = Lq = Lv - qv = f \sec \theta - y'_a \sin \theta$$

والآن لدينا صورة غير مائلة للنقطة الأرضية A ببعد بؤري جديد  $f_1$ ، وبقي الآن فقط ضرب إحداثيات الصورة بمقياسها المناسب كما في (الفقرة 2-2-3) معطياً:

$$X_A = x''_a \frac{(H - h_a)}{f}$$

$$Y_A = y''_a \frac{(H - h_a)}{f}$$

مثال 25-2: تقع النقطتان A و B على ارتفاع 10م و 40م فوق مستوى الاسناد على التوالي، وقد تم تمويرهما على صورة جوئية شبه شاقولية مأخوذة من ارتفاع 2000م بواسطة آلة تصوير ذات بعد بؤري مقداره 152مم، وقد قيست لإحداثيات الصورة للنقطتين من محوري الاسناد بواسطة معايير COMPARATOR وكانت كما يلي:

	x ملم	y ملم
a -	50.00	+ 100.00
b -	100.00	+ 80.00

فلذا كان الميل  $2^\circ$  والبرم  $20^\circ$  ، اوجد المسافة الارضية  
الافقية (AB) .

الحل

$$\begin{aligned}x'_2 &= -50 \cos 20^\circ + 100 \sin 20^\circ = -12.78 \text{ mm} \\y'_2 &= -50 \sin 20^\circ - 100 \cos 20^\circ + 152 \tan 2^\circ = -105.76 \text{ mm} \\x'_b &= 100 \cos 20^\circ + 80 \sin 20^\circ = +121.33 \text{ mm} \\y'_b &= 100 \sin 20^\circ - 80 \cos 20^\circ + 152 \tan 2^\circ = -35.66 \text{ mm}\end{aligned}$$

والاحداثيات المعدلة:

$$\begin{aligned}x''_2 &= x'_2 = -12.78 \text{ mm} \\y''_2 &= y'_2 \cos 2^\circ = -105.70 \text{ mm} \\x''_b &= x'_b = +121.33 \text{ mm} \\y''_b &= y'_b \cos 2^\circ = -35.64 \text{ mm}\end{aligned}$$

والبعد الجوى الجديد للنقطتين:

$$\begin{aligned}f_{1a} &= f \sec \theta - y'_2 \sin \theta = 152 \sec 2^\circ + 105.76 \sin 2^\circ = 155.78 \text{ mm} \\f_{1b} &= f \sec \theta - y'_b \sin \theta = 152 \sec 2^\circ + 35.66 \sin 2^\circ = 153.33 \text{ mm}\end{aligned}$$

والاحداثيات الارضية:

$$\begin{aligned}X_A &= \frac{x''_2(H - h_a)}{f_{1a}} = \frac{-12.78(2000 - 10.00)}{155.78} = -163.26 \text{ m} \\Y_A &= \frac{y''_2(H - h_a)}{f_{1a}} = \frac{-105.70 \times 1990}{155.78} = -1350.26 \text{ m} \\X_B &= \frac{x''_b(H - h_b)}{f_{1b}} = \frac{121.33(2000 - 40.00)}{153.33} = +1550.95 \text{ m} \\Y_B &= \frac{y''_b(H - h_b)}{f_{1b}} = \frac{-35.64 \times 1960}{153.33} = -455.58 \text{ m}\end{aligned}$$

والمسافة الارضية D :

$$D = (\Delta X^2 + \Delta Y^2)^{\frac{1}{2}} = (1714.21^2 + 849.68^2)^{\frac{1}{2}} = 1933.64 \text{ m}$$

يفيد المثال اعلاه لتوضيح الحاجة الى منظومة  
تعديل لتصحيح قياسات الصورة عن تأثيرات الانزياحات  
الناجمة عن الميل وعن التموجات الارضية.

### 3-3 القبط الارضى GROUND CONTROL

يعتبر إنشاء نقاط ضبط ارضي متميزة بوضوح على  
الصورة الجوية مهما جدا في عملية المسح الجوي.

لن اقل عدد مطلوب من النقاط للصورة الواحدة يتألف  
من نقطتين على المستوي PLAN POINTS للسيطرة على  
المقياس وثلاث نقاط ارتفاع للسيطرة على المنسوب في  
النموذج الفراغي SPATIAL MODEL. يجب ان يكون الضبط  
الارضى المثبت بطرق المسح الاعتيادية اكثر ضبطا من ذاك  
الذي ينتج من منظومة تعديل اعمال المسح التصويري.

فبعد إجراء اختبار تجسيمي للصور يقوم المساح  
بإعطاء فكرة عن توزيع نقاط الضبط وعن مواقعها ودرجة

ضيما، ومن ثم يقوم بتثبيت هذه المعلومات على الصور. ومن هذا يتضح بأن نقاط الضبط يجب أن تحوي تفاصيل تكون أصلا متميزة بوضوح على الصور.

يجب أن يكون نوع التفصيل المختار منسجما مع عملية القياس التصويري التي تتلخص بوضع نقطة عاصمة على النموذج التجسيمي STEREO MODEL. فمثلا، لاجل إعداد خرائط بقياس (1/2500) يجب أن يكون مقياس الصورة محدود (1/10 000). فإذا كان قطر النقطة العاصمة لالة الرسم PLOTTER يساوي (40  $\mu$ m) فإن قطر الهدف يجب أن يكون بحدود 400 ملم لكي يمكنه من إحتواء النقطة العاصمة بدون أن يحجب بها. وهكذا يمكن أن تكون نقطة الضبط المناسبة وسط غطاء حوفي تفتيش MANHOLE كبير وليست النقاط الدفينة المرتبطة اعتياديا بمحطات الضبط. كذلك بالنسبة للضبط العمودي، فإن النقاط المختارة يجب أن تقع في أرض مستوية أفقية خالية من المزرعات، ويجب تجنب الانحدارات القوية والقمم لتقليل أخطاء الارتفاعات الكبيرة الناتجة عن توقييع رديء للنقطة العاصمة.

يعتمد مقدار الضبط المطلوب بشكل كبير على المقياس وعلى درجة الضبط ACCURACY المطلوبة للخارطة. من المتبع في الخرائط الهندسية ذات المقياس (1/500) تجهيز نقطتين في الأقل لضبط المقياس والاتجاه وثلاث نقاط لضبط المنسوب لكل صورة.

### 3-3-1 الضبط باستخدام نقاط مسبقة التأثير

تكون نقاط الضبط المستخدمة عموما في إنتاج الخرائط الهندسية ذات المقاييس الكبيرة أهدافا سبق تعيينها، وتوفر مواقع هذه الأهداف من التصوير الابتدائي وبعد تثبيتها يتم الطيران فوق الموقع ثانية.

يكون نوع الهدف المستخدم بشكل عام عبارة عن صليب أبيي كبير مصنوع من مادة مقاومة طول أطرافه بحدود 2م ومرصها 0.25م، فحجمه يدل على مقياس الصورة التي حد كبير، كما سبق الإشارة إليه، وهكذا يجب أن يكون الهدف كبيرا لكي يكون مرئيا بوضوح في الصور، كما يجب أن يكون صغيرا بحيث يكفي لتوفير مساحة مناسبة للنقطة العاصمة. ولو أن التأشير المسبق هو أكثر كلفة من استخدام التفاصيل الموقعية، ولكن بالإمكان تثبيت الأهداف بشكل بضمن استخدامها في مرحلة لاحقة لأغراض السيطرة على أعمال التسقيط SETTING OUT.

### 3-3-2 متطلبات درجة الضبط Accuracy requirements

إن القواعد العامة المطلوبة لدرجة الضبط في تثبيت الضبط الأرضي هي:

(A)  $(\pm 0.02\% H)$  للخرائط الهندسية ذات المقاييس الكبيرة  
 (B)  $(\pm 0.03\% H)$  للخرائط الهندسية ذات المقاييس المتوسطة  
 (C)  $(\pm 0.05\% H)$  للخرائط الطبوغرافية ذات المقاييس

الصغيرة، حيث أن H هو ارتفاع الطيران وهو يرتبط بدرجة ضبط الارتفاع المسح التصويري، وتنطبق المواصفات على كلا الموقع الأفقي PLANIMETRIC POSITION والضبط العمودي HIGHT CONTROL، وهكذا يجب أن تكون قيمة H للتصوير بمقياس (1/10 000) باستخدام عدسة بزاوية عريضة (f=150MM) مساوية 1500م. ويكون الضبط الأرضي بدرجة ضبط ACCURACY مقدارها (±0.3M) في الحالة (A) أعلاه. وبالأستناد إلى هذه المعلومات يمكن إيجاد طريقة ملائمة لأعمال المسح.

كذلك تستخدم طرق المسح الاعتيادية لإكمال التفاصيل على الخارطة والتي كانت محجوبة في الصورة بالضباب أو الوهج أو الظل أو الأشجار أو أية عوائق أخرى.

### 3-3-3 التثليث ( ب قياس الزوايا ) بواسطة المسح الجوي

يمكن استخدام أعمال التثليث بقياس الزوايا-TRIANGULATION المأخوذة من الجو لأعمال الفراكت ذات المقاييس الصغيرة ودرجات الضبط الواطئة، فهذه الطريقة تعطى ضبطاً مباشراً من الصور، وفي ذلك تقليل في كمية أعمال الضبط الأرضي المنجز بطرق المسح الاعتيادية وبالتالي تقليلاً في كلفتها.

يمكن استخدام التثليث بواسطة المسح الجوي لتعيين نقاط الضبط ذات البعدين أو الثلاثة أبعاد، إما بطرق التناظر ANALOGUE في الراسمات الدقيقة أو بالطريقة التحليلية فقط، إن رسم الخطوط القطرية هي طريقة تخطيطية وأن تراكيب القاعدة المخزومة SLOTTED TEMPLATE هي طريقة ميكانيكية، وكلا الطريقتين تستخدمان لأعمال التثليث الجوي ذات البعدين، حيث تكون فيها نقاط الضبط الثانوية مشبعة نسبة إلى نقطتي ضبط أرضيتين فقط، تقع كل منهما عند أحد طرفي الشريط (انظر الفقرة 3-5-3).

في طريقة التناظر، يتم ربط كل نموذج تجسيمي بالذي يليه، وهكذا يتكون شريط من الإحداثيات النموذجية MODEL CO-ORDINATES، ومن ثم يتم ربط كل شريط بالذي يليه وبذلك سيتكون بالنهاية ملائمة من الإحداثيات الكتلية BLOCK CO-ORDINATES، وبسبب تكون الأخطاء في هذه العملية يتوجب إجراء تعديل للإحداثيات في كل من الشريط والكتلة قبل تحويلها لتتوافق مع الضبط الأرضي.

تولف أعمال التثليث الجوي جزءاً مهماً جداً من أعمال المسح الجوي وقد تم ذكره فقط باختصار حيث أنه خارج عن نطاق هذا الكتاب.

### 4-3 التخطيط لعملية الطيران FLIGHT PLANNING

تتغير مواصفات الطيران لمشروع معين تبعاً لنوع المشروع، فمثلاً، عملية التصوير التي تتم لأغراض

تفسيرية لانتقال نفس التخطيط المسهب المطلوب لعمال  
الخراطة ذات المقاييس الكبيرة.

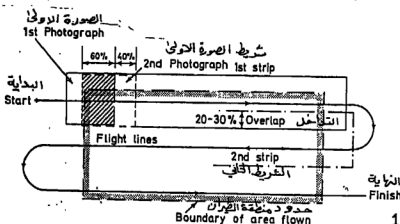
إن العوامل الرئيسية التي تؤخذ بنظر الاعتبار هي  
اتجاهات خطوط الطيران وتداخل الصور والمقياس وارتفاع  
الطيران، وهناك بعض من هذه العوامل لا يمكن الحصول  
عليها إلا بعد الشروع بالطيران، فمثلاً، يمكن احتساب  
اتجاه الطيران والفترة الزمنية بين لقطات الصور فقط  
عندما تكون سرعة الريح في وقت الطيران معروفة، كذلك،  
فلن أخذ فكرة عن عدد الصور المطلوبة بغير تحديد عدد  
طب الرقائق الحساسة المصطحية، كما أن إجراء تخطيط  
لخطوط الطيران سيقيد أيضاً في معرفة الالتفافات TURNS  
المناسبة للاستفادة منها في عملية تغيير طب الرقائق  
الحساسة.

إن ارتفاع الطيران يعتمد على عدة عوامل تمتد من  
إمكانات الطائرة وظروف الموقع ومتطلبات أعمال المسح  
التي نوع منظومة التعديل (أو الرسم) التي ستستخدم،  
وهكذا فإن عملية تخطيط الطيران هي مهارة تتطلب  
تخطيطاً معتمداً في كافة مراحله المختلفة.

#### Direction of flight lines

#### 3-4-1 اتجاه خطوط الطيران

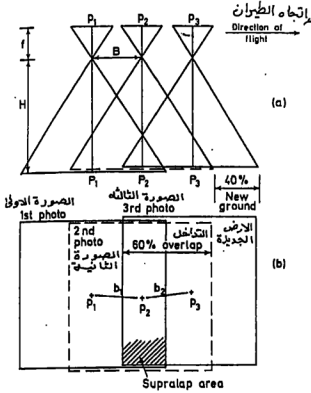
عموماً يكون اتجاه الطيران فوق الموقع بحيث يوازي  
ضلعه الأطول ليعطي أقل عدد من الشرائط STRIPS، وبهذه  
الطريقة يتم تقليل الالتفافات والمسالك غير المنتجة  
إلى أدنى حد.



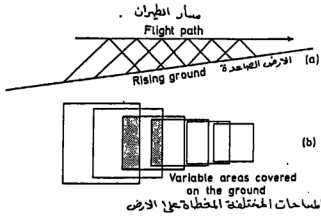
شكل 3-14

عند وجود مساحات كبيرة ذات مناسيب متباينة  
كمتدادات الجبال أو الهضاب يمكن أن تكون خطوط  
الطيران موازية لهذه التضاريس لتجنب التغير الفجائي  
بالمقياس.

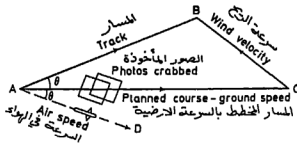
إن كل صورة في الشريط تتداخل مع الصورة التي  
تسبقها بمقدار (60%)، وهكذا تكون نسبة الأرض الجديدة  
التي تغطي في كل صورة (40%)، والغرض من التداخل هو  
السماح للمشاهدة التجسيمية STEREOSCOPIC VIEWING



شكل 3-15



شكل 3-16



شكل 3-17

للموقع. كذلك يتداخل كل شريط من الصور مع الشريط الذي يسبقه بـ (20%) التي (30%) (شكل 3-14) وبذلك يتم الحصول على تغطية كاملة للموقع.

يدين (الشكل 3-15) بوضوح التداخل المسيطر عليه نطاقيا بواسطة جهاز ضبط الفترة INTERVALOMETER في آلة التصوير الجوية ، حيث تدعى المسافة B بين كل صورتين جويتين "القاعدة الجوية AIR BASE" بينما تسمى المسافة المقابلة لها في الصورة "قاعدة الصورة PHOTO BASE". وبسبب التداخل فلن النقطتين الرئيسيتين للصورتين المتجاورتين ستظهرا على الصورة الوسطية. إن قواعد الصور هي في الحقيقة تمثل اتجاه الطيران.

عند الطيران فوق ارض ذات صعود منتظم يجب التمرن على الامتناع ، حيث ان العشل في ذلك قد يؤدي الى خسارة كاملة للتداخل المطلوب في كلا الاتجاهين الطولي والعرضي (شكل 3-16)، ويمكن التغلب على الخسارة الحاملة في التداخل بالاتجاه الطولي بزيادة فترة اللقطة التصويرية EXPOSURE INTERVAL ، بينما يجب ان تبني خطوط الطيران على اقل تداخل عرضي فوق ارض، لضمان الحصول على التداخل العرضي المطلوب).

كذلك فلن الطيران يمكن ان يتأثر بالرياح الجانبية (شكل 3-17) مؤدية بذلك الى انحراف الطائرة عن المسار المخطط لها ، ويمكن حل المثلث (ABC) اعطاء قيمة  $\theta$  ، ويتم تصحيح الطائرة الى المسار (AD) "بسرعة هواء" ثابتة، وتدعى سرعة الهواء التي تجعل الطائرة تنحرف عن المسار المخطط لها (AC) بسرعة مختلفة "السرعة الارضية GROUND SPEED". وهكذا ، إذا لم تكن آلة التصوير مثبتة باتجاه الطيران فلن الصورة ستكون منحرفة كما هو مجرى والذي يؤدي الى حصول فراغات في التغطية ، ويتم تصحيح هذه الحالة بـ "تثبيت الانجراف DRIFTING SETTING" حيث تدور آلة التصوير بزاوية  $\theta$  حول الممرور الشاقولي لمركزها. وقد ادت المناظير والالات التصويرية الحديثة الى إزالة هذه العقبة الى حد كبير.

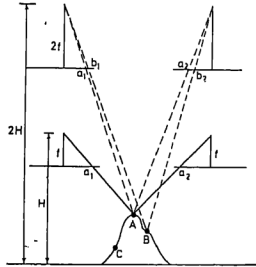
### 3-4-2 المقياس وارتفاع الطيران

سوف يعتمد مقياس التصوير على تقنيات تجميع الخرائط المستخدمة، ففي طرق الخطوط القطرية التخطيطية او الميكانيكية يكون مقياس الصورة عادة اكبر من مقياس الخارطة لاجل تقليل تجمع الاخطاء ، فلذا تم اعداد الخارطة براسمات تجسيمية STEREO PLOTTERS فلن مقياس الصورة يكون اعتياديا اصغر. وعلى سبيل المثال ، غالبا ما يستخدم مقياس تصوير (1/12 500) لانتاج خرائط بمقياس (1/2500). فكما انشير اليه سابقا، يكون ارتفاع الطيران H بدلالة المقياس ، وهكذا فلن استخدام آلة تصوير اعتيادية بزاوية عريضة (f = 152MM) لمقياس تصوير (1/12 500) سيعطى :

$$f/H = 1/12\ 500 = 0.152/H \quad \therefore H = 1900 M.$$

فعندما يكون هنالك تغيرات كبيرة في التضاريس الأرضية أو عندما يحوي الموقع عددا كبيرا من المباني المرتفعة يمكن أن يتطلب الأمر زيادة ارتفاع الطيران، لأن إحدى محددات رسم الخطوط القطرية هي أن مقدار التغير في التضاريس يجب أن لا يزيد على  $(H/10)$ . وهكذا، إذا أُريد استخدام هذه الطريقة في الرسم سيكون لـ  $H$  علاقة بالتغيرات الموجودة في مناسيب الأرض.

يمكن أيضا أن تسيطر طريقة الارتفاع على ارتفاع الطيران. وهنالك عدد من الراسمات التجسيمية التي يعطى لها المعامل  $C$  الذي يربط ارتفاع الطيران بأصغر فترة كنتورية. وهكذا فمعامل  $C$  مقداره 2000 سيستخدم عملية تصوير مأخوذة على ارتفاع يساوي 2000 مرة بقدر الفترة الكنتورية المستخدمة. ويمكن أن تؤثر حركة الأشباح الناتجة عن حركة آلة التصوير في لحظة اللقطة التصويرية كثيرا على نوعية الصورة، ويمكن تقليل هذا التأثير بالطيران على ارتفاع أعلى يسرع اجطا، وباستخدام سرع غلق أكبر لحاجب العدسة. وحيث أن هنالك حدود مقبولة لحركة الأشباح فسيكون لها تأثير على مقدار ارتفاع الطيران.



شكل 18-3

يمكن أن يؤدي استخدام العدسات ذات الزاوية العريضة بارتفاع طيران مقداره  $H$  إلى حجب الكثير من التفاصيل الأرضية عندما يكون هنالك أراضي كثيرة التلال (شكل 18-3) أو عندما يكون هنالك مباني مرتفعة كثيرا في شوارع ضيقة كما في المدن. أي أن هنالك أرض ممتدة DEAD GROUND في B و C. كما يمكن أن يصعب تناول عملية التصوير هذه تجسيميا، مع ذلك فاستخدام عدسة بزاوية ضيقة (NARROW ANGLE)  $(2f)$  على ارتفاع طيران مضاعف مقداره  $(2H)$  سيعطي عملية تصوير مماثلة وبنفس المقياس، كذلك ستظهر اشباح كافة النقاط الثلاث A و B و C عند التصوير بعدسة بزاوية اعتيادية بينما لا يظهر شبحا B

و في حالة التصوير بعدسة بزاوية عريضة، وهذه الحالة إذن يمكن أن تكون عاملا مساعدا في تقرير ارتفاع الطيران،

وتنفيذ الامثلة الواردة اعلاه في توضيح التعقيدات الموجودة في تحديد المطالبات الملائمة للطيران،

### 3-4-3 احتساب كلفة المشروع

لأن عدد الصور المطلوبة لتغطية موقع معين سوف لن يفيد في تخمين كلفة العمل فحسب وإنما أيضا لتقدير كمية الرقائق الحساسة المطلوبة ولتعيين المواقع التي يجب عندها تبديل علب الرقائق الحساسة، حيث يجب تبديل الرقائق الحساسة خلال الالتفاف لأن امكن،

خذ موقعا بابعاد (200KM x 100KM) المطلوب بأن يكون الطيران فوقه بمعدل مقياس (1/10 000)، فبهذا المقياس تكون مساحة الموقع (20M x 10M) في الوقت الذي تكون فيه ابعاد الصورة (230MM x 230MM) حيث أن (60%) منها متداخل، وهكذا تكون مساحة الأرض الجديدة المغطاة بهذا المقياس (40%) من 230 ملم أي ؛  $230 \text{ MM} \times 40\% = 92 \text{ MM}$ ، إذن يكون عدد الصور لكل شريط ؛  $218 = 20\ 000 \div 92 \text{ MM}$ ، أي 218 صورة زاغدا صورتين في كل نهاية لضمان التغطية الكاملة، وبذلك يكون المجموع 222 صورة.

وبنفس الطريقة يكون عدد الشرائط (بفرض تداخل عرضي مقداره (30%)) ؛ (شريط)  $63 = 10\ 000 \div (70\% \times 230 \text{ MM})$ ، إذن يصبح العدد الكلي للصور ؛ (صورة)  $13\ 986 = 222 \times 63$

يتضح ، بشكل عام ، بأن التخطيط الدقيق هو ضروري لضمان إكمال المشروع بشكل مرضي واقتصادي، فيجب تحضير الخرائط المطلوبة للطيران باعتناء لغرض استخدامها من قبل الملاح الذي سيتمكن بجمعونة المناظير واللات التصوير الحديثة من التركيز على تنفيذ المشروع.

### 3-5 رسم الخطوط القطرية RADIAL-LINE PLOTTING

بسبب الاخطاء والتشويشات الملازمة للصورة الجوية ، يجب استخدام لإحداثي اشكال منظومات التصحيح لإنتاج الخرائط، وتناسب درجة ضبط منظومة التصحيح المستخدمة، عموما، طرديا مع كلفتها. كذلك فإن التكبير من مقياس الصورة إلى مقياس الخارطة سيؤدي إلى تكبير للاخطاء الموجودة فيها بتناسب معه ، ما لم يكن قد تم تقبيل هذه الاخطاء بواسطة منظومة تصحيح مناسبة، وهكذا يمكن أن تتطلب الخرائط ذات المقاييس الكبيرة المستخدمة التي حد كبير من قبل المهندس ادق انواع التصحيح، وهكذا فإنها ستكون أكثر كلفة. وفيما يلي تصنيفا عريضا لمنظومات التصحيح المتوفرة ؛

- (A) تصحيح دقيق: يقرأ إلى حد 0.01 ملم: تكبير 8 مرات  
 (B) تصحيح طوبوغرافي: يقرأ إلى حد 0.01 ملم: تكبير 4 مرات  
 (C) تصحيح تقريبي: يقرأ إلى حد 0.4 ملم: تكبير مرتين  
 (D) تصحيح مباشر: يقرأ إلى حد 0.4 ملم: تكبير 0.1 مرة

حيث يقطع رسم الخطوط القطرية ضمن الصنف الأخير وهو أسلوب بسيط ومباشر لأعداد الخرائط من صور منفردة.

فكما أشير إليه سابقاً، فإن تأثيرات الميل والتموج تسبب زحفاً لنقاط الشبج من مواقعها الحقيقية على الخارطة حيث تكون الإزاحة الناتجة:

- (A) عن الميل قطرية من المركز المشترك ISOCENTRE.  
 (B) عن التموج قطرية من نقطة الشاقول PLUMB POINT.

مع ذلك، فعندما يكون الميل والتموج محدودين يمكن افتراض أن لإزاحة الشبج هي قطرية من النقطة الرئيسية PRINCIPAL POINT للصورة والتي يسهل تعيينها.

فطالما نتفطن التحديدات المذكورة أعلاه سائدة فإن الطريقة تعطى نتائج معقولة جداً يمكن تطبيقها من قبل المهندس بشكل مفيد في تحديث الخرائط القديمة وفي إنتاج الخرائط الاستطلاعية للاستقصاءات الأولية للمشاريع

### 3-5-1 أسس الطريقة

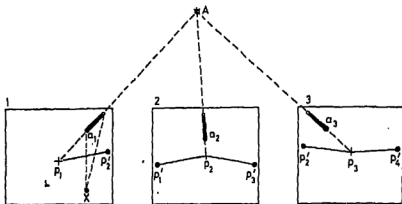
تفترض الطريقة بأن الزوايا المقاسة حول النقطة الرئيسية التي نقاط من التفاضيل تساوي ما يقابلها من الزوايا على الأرض، ولو أن هذه الفرضية، وكما تم توضيحها في تحليل الصورة، غير صحيحة بسبب الإزاحات الناجمة عن الارتفاع والميل،

خذ الآن ثلاث صور عمودية فعلاً (شكل 3-19)، فستنتج نقطة الشاقول على النقطة الرئيسية (PP) لعدم وجود ميل، وستكون الإزاحات الناتجة عن ارتفاع المدخنة الممثلة أشباحها  $a_1$  و  $a_2$  و  $a_3$  قطرية من النقطة الرئيسية (PP)،

وهكذا فالقطاع الثلاثي TRISECTION للمدخنة من كل واحدة من الصور الثلاث سيعطي موقع المدخنة كما هو في الإسقاط العمودي للخارطة، فلو كانت قد اختيرت أية نقطة أخرى مثل X على الصورة لنتج موقعين للمدخنة، وهذا بالطبع غير مقبول. فالطريقة هي إذن مشابهة جداً لطريقة القطاع الخلفي RESECTION على اللوحة المستوية PLANE TABLE.

أما في التطبيق العملي، فكل صورة تقريباً تحوي ميلاً وهذا يؤدي إلى حالة عدم وجود أي موقع على الصورة بزاوية حقيقية، فمن الجديهي إذن أنه يمكن استخدام النقطة الرئيسية فقط عندما تكون لإزاحات الارتفاع

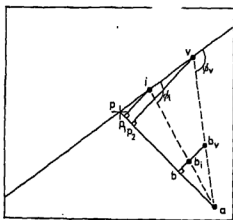
والميل ضمن حدود مقبولة، ويمكن لإثبات أن هذه الحدود يمكن تحقيقها فقط عندما يكون الميل محددًا بـ 2° وتغيير نموذ الأرض لا يزيد على (10%) من ارتفاع الطيران بتاتا. وتسمى هذه الفرضية "فرضية أرونديل ARUNDEL ASSUMPTION"، حيث أن أرونديل هو اسم المكان الذي تم فيه تجريب وفحص الطريقة بشكل كامل.



شكل 19-3

### 3-5-2 البات لفرضية أرونديل

خذ تأثيرات الميل أولا ، وافرض بأن خطأ الرسم الذي يقل عن 0.5 ملم بهمل. (الشكل 20-3) بجين النقطة  $a$  على صورة ماثلة. فإذا رسمت  $a$  بطرق الخطوط القطرية باستخدام المركز المشترك  $L$ ، فإنها ستثبت في موقعها الحقيقي في  $p_1$ ، أي ستكون مصححة عن الميل.



شكل 20-3

وتشير «المعادلة 3-6» من «الفقرة 3-2-5» بأن الانزاحة الناتجة عن الميل ( $ab_i$ ) هي:

$$ab_i = \frac{ia^2 \sin \theta \cos \phi_i}{f}$$

مع ذلك ، ولما كان من المقرر استخدام  $p$  لرسم الخط القطري فإن  $b_i$  ستكون شاجبة في  $b$  بحصيلة من خطأ رسم مقداره ( $ab_i$ ) ، وحيث أن مقدار الميل سيكون عموما اقل من 3° فإن ( $ipa \approx \phi_i$ ) .  $\therefore ip_1 = ip \sin \phi_i = f \tan(\theta/2) \sin \phi_i$

ومن تشابه المثلثات:

$$b_1 b = \frac{ip_1 \times ab_1}{ia}$$

$$= \frac{f \tan(\theta/2) \sin \phi_1 \times ia^2 \sin \theta \cos \phi_1}{ia \times f}$$

$$= ia \sin \theta \tan(\theta/2) \sin \phi_1 \cos \phi_1$$

$$\tan(\theta/2) = \frac{\sin(\theta/2)}{\cos(\theta/2)} \quad \text{ولكن:}$$

ثم ان:

$$\sin \theta = 2 \sin(\theta/2) \cos(\theta/2)$$

$$\sin \phi_1 \cos \phi_1 = \frac{1}{2} \sin 2\phi_1 \quad \text{و:}$$

$$b_1 b = ia \frac{1}{2} \sin(2\phi_1) 2 \sin^2(\theta/2) \quad \text{والتي عند التعويض تعطى:}$$

$$2 \sin^2(\theta/2) \approx \theta^2/2 \quad \text{وحيث ان } \theta \text{ صغيرة فلن}$$

$$\therefore b_1 b = \frac{ia \theta^2 \sin 2\phi_1}{4}$$

من هذه المعادلة يتضح بان الخطأ هو باء على قيمة له عندما تكون ( $\theta = 45^\circ$ ) والذي للرفيعة الحساسة باء بعداد ( $230\text{MM} \times 230\text{MM}$ ) سيعطي اعلی قيمة لـ (a) مقدارها 162 ملم، فإذا افترضت زاوية  $2^\circ$  للميل فلن التعويض في المعادلة سيعطي ( $b_1 b = 0.05\text{MM}$ )، وهكذا طالما ان الميل محدد باء قل من  $2^\circ$  فلن الخطأ الناجم عن استخدام النقطة الرئيسية يكون مهملاً.

خذ الآن تاثير تموج الارض، ففي هذه الحالة، لإذا رسمت a بطرق الخطوط القطرية باستخدام نقطة الشاقول، ستكون ثابتة في  $b_p$ ، أي مصححة عن لزاحة الارتفاع، وتشير المعادلة 3-3 < في الفقرة 3-2-4 > التي ان:  $ab_p = av(\Delta h/H)$

مع ذلك لإذا رسمت من P فلن انها ستثبت في b بحسيلة من الخطأ مقدارها ( $b b_p$ )، ومن تشابه المثلثات:

$$b b_p = \frac{vp_2 \times ab_p}{av}$$

$$vp_2 = pv \sin \phi_p \quad (\text{assuming } vpa \approx \phi_p)$$

ولكن:

$$vp_2 = f \tan \theta \sin \phi_p$$

وهكذا:

$$\therefore b b_p = \frac{f \tan \theta \sin \phi_p \Delta h}{H}$$

والذي يجيب بان اعلی قيمة لـ ( $b b_p$ ) تحدث عندما ( $\phi_p = 90^\circ$ )، فيفرض ان  $\theta$  تساوي  $2^\circ$  (ثابتة من التليل السابق) و ( $f = 152\text{MM}$ ) و ( $b b_p = 0.5\text{MM}$ ):

$$\frac{\Delta h}{H} = \frac{b b_p}{f \tan \theta} = \frac{0.5}{152 \times 0.035} \approx \frac{1}{10}$$

وهكذا ، ولأجل الخروج بخطأ رسم مهمل عند استخدام النقطة الرئيسية (PP) ، فإن تموج الأرض يجب أن لا يزيد على (10%) من ارتفاع الطيران.

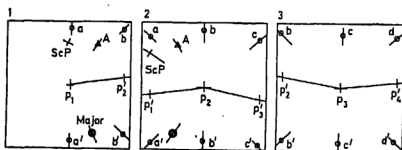
وهذان العاملان ( المسميان بفرضية ارونديل ) هما المحددين الاثنين لطريقة الخطوط القطرية.

### 3-5-3 تحضير الصور Preparation of photographs

إن الخطوات التالية ضرورية في تحضير الصور:

#### (1) تاشير خط القاعدة

يتم تعيين موقع النقطة الرئيسية (PP) لكل صورة بالطريقة الاعتيادية وتشخص ويتم تعريبها باستخدام رموز مناسبة ، وهكذا يكون موقع النقطة الرئيسية في مناطق الداخل الآن معروفا ، أي موقع  $P_2$  على الصورة 1 مثلا، فلذا وقعت هذه النقاط على نقاط من التفاصيل التي يسهل تعيين مواقعها على الصور المشتركة ، عندها يسهل تاشيرها . ولذا وقعت في مكان خال من المعالم أو على الماء فإن أفضل طريقة لتحويلها تكون باستخدام جهاز التجسيم STEREOSCOPE وذلك باستخدام إحدى أنواع العلامات العائمة FLOATING MARKS ، وتكون قطعان من اللدائن الشفافة بعلامة الصليب المتمثلة مرسومة على كل منهما مثاليتين لهذا الغرض، فاقرب فانه قد طلب تحويل  $P_2$  إلى الصورة 1؛ وهكذا توضع كلا الصورتين تحت جهاز التجسيم لتكوين النموذج المجسم STEREO MODEL ، حيث توضع إحدى العلامتين فوق  $P_2$  تماما في الصورة 2 بينما تحرك العلامة الثانية حول المنطقة المطلوبة في الصورة 1 حتى تظهر العلامتان كأنهما علامة واحدة، ويتم الآن تحريك العلامة في الصورة 1 باتجاه محور الخ حتى تظهر النقطة المتطابقة شاذة على الأرض ، وهذا هو إذن موقع  $P_2$  في الصورة 1، وتنعكس هذه الحالة عند تحويل  $P_1$  إلى الصورة 2، وعندما يتم تحديد مواقع كافة النقاط الرئيسية يتم توميلها بجعبها لتكوين خطوط القاعدة ، وستظهر كالنقاط الرئيسية في الشكل 3-21.



● Minor control points  
النقاط الثانوية للضغط

▲ Ground control points  
نقاط الضغط الأرضي

● Major tie points  
نقاط الربط الكبرى

شكل 3-21

(2) النقاط الثانوية للضغط (MCP) هي نقاط من التفاصيل على الصور يسهل تمييزها كخطاطات الطرق وأركان

الاسيجة ..والخ، ويتم اختبارها من مواقع مبنية في (الشكل 3-21)، ويجب أن يكون بعد نقطة الضبط الثانوية من النقطة الرئيسية مساويا تقريبا الى قيمة متوسط خطوط القاعدة التي تظهر على تلك الصورة المطبوعة لضمان تقاطع جيد، ويجب أن تكون على ارتفاع يساوي متوسط ارتفاع الموقع ومركبة جوضوح على ثلاث صور متتالية إن امكن.

### (3) نقاط الضبط الارضي (GCP) و نقاط الربط (TIE POINTS (TP)

ويتم الآن تعيين مواقع نقاط الضبط الارضي الافقية وتشتمل على تعلم برسم شكل مثلث حولها، وعندما يكون هنالك كتلة من الشرائط عندها يتوجب استخدام نقاط لمراقبة تصرف بـ "نقاط الربط (TP)" في التداخل العرضي لربط الشرائط المتجاورة، ولكل من اول صورتين وآخر صورتين من الشريط نقاط ربط يتم اختيارها بشكل خام والتي تدعى احيانا "النقاط الكبرى MAJOR POINTS"، ويجب أن تكون هنالك نقطة ربط (TP) عند كل رابع نقطة رئيسية، ويمكن أن تكون نقطة الضبط الارضي الثانوية (MCP) المسبق تحديدها نفسها نقطة الربط (TP).

### (4) نقطة المقياس (Scale Point (ScP)

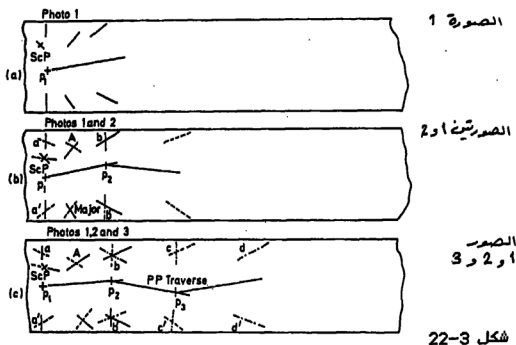
يتم اختبار نقطة المقياس (ScP) لتثبيت مقياس كامل الشريط، ويجب أن تكون هذه النقطة واقعة على ارتفاع يساوي متوسط ارتفاع الشريط، كما يمكن أن تكون نقطة المقياس نقطة ضبط ثانوية (MCP) او حتى نقطة ضبط ارضي (GCP) إذا اوفت بالمتطلبات.

وعند الانتهاء من تثبيت كل هذه النقاط يتم رسم خطوط قطرية قصيرة من خلالها ومن النقطة الرئيسية (PP) في كل صورة، وبذلك يتم تحضير الصور والتي ستظهر كما في (الشكل 3-21).

### 3-5-4. انشاء مخطط الخطوط القطرية

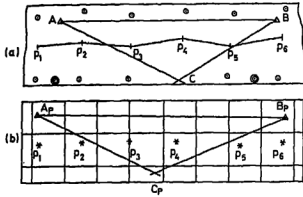
بسبب العوامل المتعددة التي سبق وأن نوقشت، يجب أن يكون معلوما بأن كل صورة في الشريط تختلف عن غيرها بالمقياس، وأول خطوة إذن هي ايجاد شريط للصور بمقياس مشترك، وكما يلي: يتم تثبيت شريط من مادة رسم من اللدائن المستقرة على الصورة الاولى ويتم استنساخ البيانات التالية: الموقع الدقيق لـ  $P_1$  و (ScP) فقط زاحدا خطوط القطرية من خلال بقية التفاصيل وخط القاعدة، سيظهر المخطط كما هو مبين في (الشكل 3-22)، فترفع الصورة الاولى ويتم تحويل اللوحة الدنة فوق الصورة الثانية بوضع القاعدة المرسومة عليها فوق القاعدة (P<sub>2</sub> P<sub>1</sub>) في الصورة الثانية، وبهذا الوضع يتم تحريكها الى الخلف والى الامام حتى يتقاطع الخط القطري المار بـ (ScP) مع الموقع المرسوم لـ (ScP).

وبهذا الوضع تمسك اللوحة وتؤشر  $P_2$  مع كافة الخطوط القطرية الأخرى، فتظهر اللوحة الآن كما في (الشكل B22) والآن توضع اللوحة اللدنة فوق الصورة الثالثة ويتم ربطها بشكل ملائم بال قاعدة ( $P_1/P_2$ )، ثم تحرك إلى الخلف وإلى الأمام حتى يقطع الخطان القطريان  $P_1$  و  $P_2$  النقطتين  $a$  و  $b$ ، عند ذلك تمسك اللوحة وتستنسخ بقية التفاصيل كما هو مبين في (الشكل 22-3)، وتستمر العملية إلى نهاية الشريط مكونة بذلك "مضلع النقطة الرئيسية PRINCIPAL POINT TRAVERSE" بمقياس رسم مشترك ولكن غير معروف، وسبكون المقياس عبارة عن نسبة المسافة ( $P_1 - ScP$ ) على الصورة إلى المسافة المقابلة لها على الأرض، وحيث أن ( $ScP$ ) هي متوسط ارتفاع الموقع فإنها ستتساوى بمتوسط المقياس لكافة الصور في الشريط.



الخطوة التالية هي تحويل مقياس الشريط إلى مقياس معلوم، أو بالأحرى إلى المقياس التجميعي COMPILATION SCALE. للخارطة المطلوب إعدادها، وهذا يتم بسهولة باستخدام طريقة النقاط الثلاثة، فافرض بأنه عندما يكتمل الشريط يظهر كما في (الشكل A23-3) حيث قد تم توصيل نقطتي الضبط A و B بخط مستقيم واختيرت النقطة الثالثة C لتكون مثلثاً متزاناً جداً WELL CONDITIONED، ويتم الآن تشبيكه بشريط ثانٍ بدقة بالمقياس المطلوب، ثم ترسم فوقه نقاط الضبط الأرضي في  $A_p$  و  $B_p$  ويوضع هذا الشريط فوق الشريط الأول  $A_p$  فوق A والنقطة ( $A_p B_p$ ) باستقامة B، ثم يرسم الخط القطري بحيث يمر بـ C، ويتم تعزيتك الشريط الآن لجعل B فوق B واستقامة A، ثم يرسم خط قطري ثانٍ ليمر بـ C، وهذا يعطي الموقع بالمقياس الصحيح  $C_p$ . وتتكرر هذه العملية باستخدام كل ثلاث نقاط بالتسلسل، وترسم الخطوط القطرية من خلال النقطة الرئيسية (PP)، وهذه التقاطعات الثلاثية تعطي النقاط الرئيسية (PP) في

مواقعها بالمقياس الصحيح (شكل 3-23)، وتكرر العملية لتعطي مواقع الـ (MCP) ... والخ.



شكل 3-23

يمكن أن يتم الآن رسم التفاصيل جوضع الصورة 1 تحت اللوحة المشبكة بنقطتها الرئيسية (PP) تحت  $P_1$  وتضبط استقامة القاعدة، من ثم ترسم خطوط قطرية من  $P_1$  إلى كافة نقاط التفاصيل المهمة، أيضا، توضع الصورة 2 تحت  $P_2$  وترسم خطوط قطرية لتحديد النقاط المطلوبة، والآن يمكن رسم بقية التفاصيل يدويا بين مجموعتي النقاط التي تم تثبيت مواقعها بدقة وذلك باحتساب القيم الوسطية بينها.

### 3-5-5 التعديل الكتلي Block adjustment

عندما يكون هنالك أكثر من شريط واحد، يجب أن تكون الشرائط ثابتة نسبة إلى بعضها بالمقياس الصحيح.

يتم إنشاء المشبك الرئيس وتثبيت كافة نقاط الضبط الأرضي عليه، حيث يعدل الشريط الأول بموجب المشبك الرئيس بنقطتي الضبط الأرضي في  $A_p$  و  $B_p$ ، من ثم يعدل الشريط الثاني بموجب الشريط الأول باستخدام نقطة الربط الكبير (TP) الموجودة في التداخل العرضي، وهكذا بالنسبة لباقي الشرائط. وبشكل عام، سيتم العثور على فروقات بين نقاط الربط المتتالية والتي إذا كانت صغيرة (أصغر من 1 ملم) يمكن أن تعدل من خلال حركة بسيطة للأزاحات المتساوية للشرائط، أما إذا كانت الفروقات كبيرة فلن يتم تقاس بفروقات التشريب والتشميل وتجمع هذه القيم ويستخرج وسطها الحسابي جبريا، من ثم يجري ترخيص الشرائط بانتظام بمقدار هذا الوسط الحسابي لأخطاء المتطابق، ولقد أبقى شرح التعديل الكتلي في باقل قدر ممكن من التفصيل لأنه حتما سيجز بطريقتي القوالب الرقمية SLOTTED TEMPLATES الميكانيكية.

### 3-6 تركيبة القالب الرقبي المخزم

#### 4. SLOTTED-TEMPLATE ASSEMBLY

إن طريقة القالب الرقبي المخزم هي طريقة شبه

ميكانيكية لانتاج مخطط الخطوط القطرية ، وقاعدة العمل بها هي كما في الطرق سالفة الذكر.

### Preparation of template

### 1-6-3 تحضير القالب الرقبي

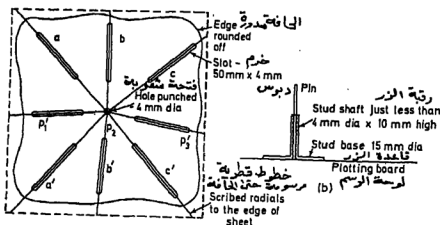
يتم تحضير الصور بنفس الطريقة المتبعة في رسم الخطوط القطرية تماما، فبماعدًا نقطة الربط (TP) ونقطة المقياس (ScP). وتكون نقاط الضبط الثانوية (MCP) الموجودة في التداخل العرضي كافية لربط الشرائط المتجاورة.

من ثم يتم تغطية الصورة بصفيحة بلاستيكية شفافة حيث توضح النقطة الرئيسية (PP) وترسم الخطوط القطرية بواسطة ابرة دقيقة. بعد هذا، نثقب فتحة على (PP) بدقة والتي ستسمح بوضع القالب على نتوء في آلة قطع القالب المفرد حيث يخرم القالب بموجب الخطوط القطرية المرسومة عليه بدقة. ثم تقم اركان القالب بشكل داخري لتسهيل المركة. وهكذا سيظهر القالب الرقبي للصورة 2 في (الشكل 21-3) كما في (الشكل 3-24).

### Template assembly

### 2-6-3 تركيبة القوالب

والان يتم تشبيك لوحة رسم بدقة ، ويرسم الضبط الارضي عليها ، ونثقب دبابيس دقيقة على نقاط الضبط الارضي (GCP) بدقة. وتوضع ازرار على هذه الدبابيس كما هو مبين في (الشكل 3-24). وتكون هذه الازرار بالوان مختلفة لتمييز نقاط الضبط الارضي (GCP) عن نقاط الضبط الثانوية (MCP) وعن النقاط الرئيسية (PP).

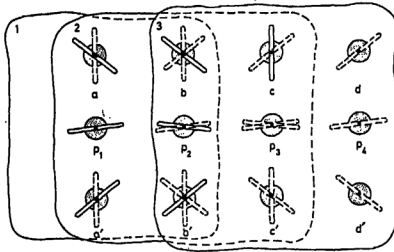


(a)

شكل 24-3

عند وضع القوالب على لوحة الرسم ، يشرع عادة بالشريط الذي يحوي اكثر عدد من نقاط الضبط الارضي ، وهذا يسمح بتشبيت مقاييس وسمت التركيبية ASSEMBLY على درجة من الضبط. فبالنظر الى الصورة في (الشكل 3-21) ، يوضع الخرم SLOT الذي يمثل نقطة الضبط الارضي A على

الزر المناسب المثبت على اللوحة، وبوضع الان زر في كل من الخروم المتبقية وفي شطب النقطة الرئيسية (PP) حيث تكون الاضرار حرة الحركة في داخل الخروم وعلى طولها. ثم توضع خروم القالب الثاني على ما يناسبها من الاضرار في القالب الاول وتتملا بفتحة الخروم مرة ثانية بالازرار. وتستمر هذه العملية حتى يتم التوصل الى ضبط ارضي ثان. لانه من غير المحتمل ان ينطبق الخرم المناسب على زر الضبط الارضي المدبس على اللوحة، وهكذا يمكن ان تدعو الحاجة الى تضيق او مط كامل التركيبة بهدوء، وستتحرك الاضرار بموجب هذا داخل خرومها. وهكذا فلن كل الاضرار ستأخذ مواقعها الصحيحة في الخرم وحسب المقياس بفضل لمكانيتها من الحركة الحرة داخل وعلى طول الخروم الثلاثة المتقاطعة في القوالب (شكل 3-25).



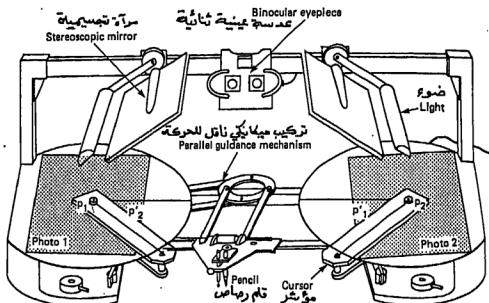
شكل 3-25

فبعد ان تم تثبيت المقياس توضع باقي الشرائط الان بنفس الطريقة على نقاط الضبط الارضي (GCP) ونقاط الضبط الثانوية (MCP) في منطقة التداخل العرضي، ثم يسمح لكامل التركيبة بان تستقر وتثبت دجائيس في الاضرار الفارغة، وعندها ترفع القوالب TEMPLATES.

لن الفاكدة الرئيسية من هذه الطريقة هي انها تلغي اعمال تثبيت المقياس كما انها تلغي التعديلات الكتوبية BLOCK ADJUSTMENTS في طرق الخطوط القطرية، التخطيطية.

### 3-6-3 الاخطاء

يمكن ان تنجم الاخطاء نتيجة لتضيق القوالب عند وضعها في مواقعها، والاسباب الرئيسية لذلك هي: (I) التحضير الرديء للصورة (II) قم غير مضبوط للقالب (III) السقوط في رسم الضبط الارضي (IV) خطأ في حسابات الضبط الارضي (V) خطأ في تضخيم النقاط (VI) ميل كبير في الصورة، والتي في هذه الحالة يجب ان تعدل ويحضر قالب جديد (VII) تموج كبير في الارض والذي قد يؤدي الى ضرورة استخدام نقطة الشاقول بدلا من النقطة الرئيسية.



شكل 26-3 راسمة الخطوط القطرية

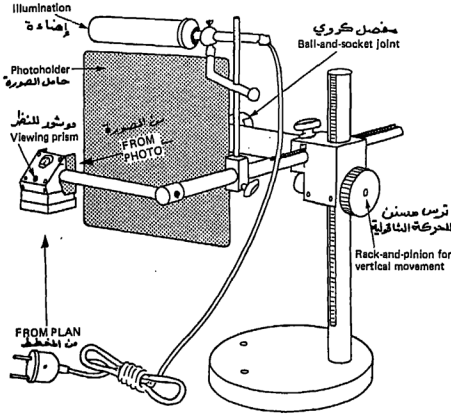
لن راسمة الخطوط القطرية هي آلة بسيطة جداً (شكل 26-3) تعملي تعديلًا تقريبيًا للصورة الجوية وتعمل بنقش مبدأ التقاطع التخطيطي GRAPHICAL INTERSECTION. حيث يتم تثبيت خط القاعدة للمورتين ويتم تثبيت المورتين حول نقطتيهما الرئيسيتين على الطبقيين الأفقيين للجهاز، يتم بعدها تدوير المورتين حتى يصبح خط القاعدة باستقامة واحدة، عند ذلك تثبت المورتان على الطبقيين حيث تكونان جاهزتين للمشاهدة التجسيمية- راجع (الفقرة 7-3). وكما هو موضح فإن هناك عتلة (مؤشر) فوق كل من المورتين تدور حول النقطة الرئيسية، فعندما تشاهد المورتان بالمنظار التجسمي STEREOSCOPE تقاطع الخطوط القطرية لتكوّن صليبا على النموذج التجسمي ثلاثي الأبعاد لمنطقة التداخل في المورتين، وستسمح حركة قلم الرسم إلى تحريك الطيب فوق تفاصيل مختارة والتي بهذه الطريقة ترسم على الخارطة المراد تحديثها.

لن للماكنة إمكانية تكبير محدود ( $\times 0.5$ ) إلى ( $\times 2$ ) وهي لا تعتبر للمبل اعتباراً. مع ذلك، كمنظومة تعديل تقريبية فهي لا تتطلب معرفة مسطرة أو تدريب، وهي رخيصة نسبياً وتوفر إجابة أبسط وأسرع بكثير من الطرق التخطيطية.

### 5-6-3 آلة التخطيط Sketchmaster

من المناسب في هذه المرحلة أن نذكر آلة بسيطة أخرى التي يمكن أن تستخدم من قبل المهندس بسهولة لتحديث المرسومات المتوفرة والمنتجة من المورال الجوية.

وكذا جهاز يدعى "آلة تخطيط SKETCHMASTER" (شكل 3-27)، وهي راسمة بسيطة عاكسة تعطي تعديدا تقريبا للصورة الجوية واحدة.



شكل 3-27 آلة تخطيط صنع زايز

تتألف هذه الآلة أساسا من حامل للصورة وموشور للنظر والذي يمكن أن يبتدرك بالاتجاهين الشاقولي والافقي بواسطة تركيبة ميكانيكية مولدة من قضيبين وترسين مسننين، أما حامل الصورة فهو مثبت على تركيب كروي يسمح بالحركة بكافة الاتجاهات، وعند النظر في عينية الموشور يمكن رؤية الصورة وهي تغطي الخارطة، كما وأن إمكانية الحركة المذكورة أعلاه تسمح لشبح الصورة المغطاة بأن يقاس بنفس مقياس الخارطة، ونحيث أن مقياس الصورة هو غير منتظم على امتدادها، فإن الحاجة ستدعو إلى التعامل مع كل مساحة صغيرة منها على حدة وبمتسلسل، وهذه الطريقة يمكن نقل التفاصيل الموجودة في الصورة يدويا مباشرة على الخارطة القديمة.

### STEREOSCOPY

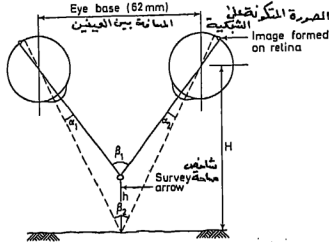
### عملية الملاحظة التجسيمية

3-7

لقد تم البحث لحد الآن في إنتاج تفاصيل القياسات المستوية فقط، أما "عملية الملاحظة التجسيمية" فهي عملية الرؤية بثلاثة أبعاد وهي تمكن من الحصول على البعد الشاقولي، وسيجري الآن توضيح تطبيق عملية الرؤية

التجسيمية على المسح الجوي من خلال ربط عمليات الرؤية البشرية بعمليات الرؤية من خلال آلة التصوير الجوية والتي تؤدي إلى إنتاج أزواج من الصور المتداخلة.

### 7-1- الرؤية التجسيمية في أعمال المسح الجوي



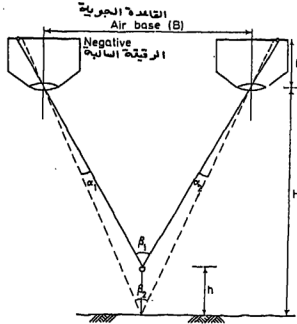
شكل 28-3

خذ الآن توضيحاً مبسطاً لعملية الرؤية عند النظر إلى الأسفل إلى شاخص مفروض في الأرض (شكل 28-3). حيث يشاهد الشاخص في وقت واحد ومن موقعين مختلفين، فالصورتان تتطابق لتكوّن صورة في الدماغ ثلاثية الأبعاد. وتسمى الزاويتان  $\alpha_1$  و  $\alpha_2$  "زاويتي التقارب" ANGLES OF CONVERGENCE ، ويمكن أن تعرفا بأنهما قابلية العينين على الدوران في مجال حركتهما في وقت واحد. أما قابلية التكيف FOCUSING على مسافات مختلفة فتسمى "التكيف" ACCOMMODATION ، بينما تسمى السيطرة على تغيير فتحة بؤبؤ العين "الملاءمة" ADAPTATION ، وتسمى الزاويتان  $\beta_1$  و  $\beta_2$  "زاويتي الاختلاف النظري" PARALLACTIC ANGLES وهما بدلالة التحسس التجسيمي للارتفاع ، أي :

$$h = f(\beta_1 - \beta_2) = f(\alpha_1 - \alpha_2)$$

فالفهم العام يقول لنا بأنه إذا أخذ شخص إلى ارتفاع 2000 م مثلاً ، فإن زاويتي الاختلاف النظري ستكونان صغيرتان جداً بحيث تجعل تمييز الارتفاع غير ممكن، وتظهر "الاختلافات النظرية الأفقية" HORIZONTAL PARALLAXES للشاخص على شكلية العين ، وهذه تكون بدلالة زوايا الاختلاف النظري وهذا جديهي من الشكل.

فكما أن الفهم العام قد بين أن هنالك علاقة واضحة بين القاعدة في العين (أو في الهواء) وارتفاع الطيران في تعيين الارتفاع ، عليه يجب زيادة المسافة بين العينين بشكل كبير عند الطيران ، كما مبين في الشكل 29-3 ، ويمكن الآن فهم التشابه بين الرؤية البشرية وعملية المسح الجوي بكل وضوح.



شكل 29-3

فلذا طبعت الآن الرفائيق السالبة بشكل صور (موجبة) وشوهدت في آن واحد بحيث أن العين اليسرى تشاهد الصورة اليسرى فقط والعين اليمنى تشاهد الصورة اليمنى فقط ، ستتكون صورة في الدماغ بثلاثة أبعاد ، ويمكن الحصول على الحالة المذكورة أعلاه بكل سهولة عند مشاهدة المورتين في جهاز التجسيم كما في الشكل 3-30. فالصورة ثلاثية الأبعاد المتكونة تسمى "النموذج المجسم STEREO MODEL" وتسمى المورتان المستخدمتان لذلك "الزوج التجسيمي STEREO PAIR". عموماً ، يكون النموذج المجسم مضيقاً ، ويمكن أن يكون هذا مقيداً في عملية الارتفاع ، خصوصاً عندما تكون طبعة الموقع مستوية. وهكذا يمكن تخطيط عملية التصوير بحيث تزيد أو تقلل هذا التأثير . فلذا كانت قيمة  $f$  ثابتة ، فمن نسبة القاعدة إلى الارتفاع يمكن الاضبات بأنهم لأجل تقليل ارتفاع الطيران إلى النصف يجب مضاعفة تأثير الارتفاع  $HEIGHT OF IMPRESSION$  . كذلك يمكن الاضبات بأن زيادة مسافة الرؤية في جهاز التجسيم تعطي زيادة متناسبة في تأثير الارتفاع.

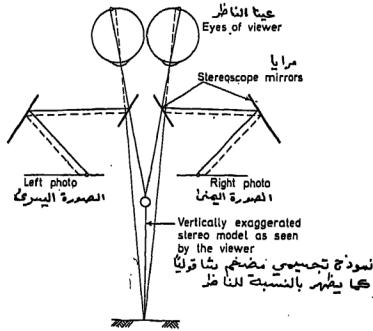
### 2-7-3 ظاهرة اختلاف النظر Parallax

فكما هو مبين سابقاً ، يكون الارتفاع التجسيمي بدلالة زوايا اختلاف النظر والتي بدورها تكون بدلالة الاختلافات الأفقية بالنظر  $HORIZONTAL PARALLAXES$  . وحيث أن الزوايا تحدث في الفضاء فإنه لا يمكن قياسها من على الصورة الجوية. وهكذا يمكن استخدام الاختلافات الأفقية في النظر لإعطاء الارتفاعات الشاقولية.

يبين (الشكل 31-3) زوجاً تجسيمياً بالوضعين الأفقي والعمودي ، والمطلوب قياس اختلاف النظر ( $P_A$ ) للنقطة A.

## 2.17.

يعرف اختلاف النظر لنقطة ما  $A$  بأنه حركتها الظاهرية الموازية لخط القاعدة في العين EYE BASE عندما تشاهد من موقعين مختلفين، وهكذا تظهر  $A$  في  $a_1$  عندما تشاهد من  $L_1$  وفي  $a_2$  عندما تشاهد من  $L_2$ ، وبدءاً من المورتين تظهر الحركة الظاهرية  $A$  بمقدار  $(a_1, a_2)$ ، أي أن  $(L_1, a_1)$  يوازي  $(L_2, a_2)$ ، وهكذا يبتين بان اختلاف نظر  $A$  هو "الفرق الجبري لمركبتي  $x$ ".

$$\therefore P_A = a_1 a_2' = [x_1 - (-x_2)] = (x_1 + x_2)$$


شكل 30-3

لاحظ جيداً: بان المركبتين  $x$  تقاس داكماً بموازاة قاعدة المورة وليس بموازاة محور الاسناد، فحينما يشير هذا إلى أن بالإمكان قياس اختلاف نظر نقطة ما بسهولة من المورة باستخدام مسطرة بسيطة. في الحقيقة، لأن ما يقاس هو الفرق في اختلاف النظر بين النقاط وكما سيتم شرحه فيما بعد.

## 3-7-3 المعادلة الاساسية لاختلاف النظر

يمكن استنتاج هذه المعادلة بسهولة من الشكل 3-31 الذي فيه المثلثين  $(L_1, L_2, A)$  و  $(a_1, a_2, a_1')$  متشابهين:

$$\frac{a_2 a_1}{L_1 p_1} = \frac{L_1 L_2}{H - h_A}$$

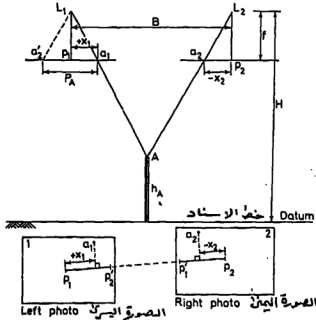
$$a_2 a_1 = P_A \quad \text{و} \quad L_1 p_1 = f \quad \text{و} \quad L_1 L_2 = B$$

ولكن:

$$\therefore P_A = \frac{fB}{(H - h_A)}$$

... <17-3>

وكما هو مبين في <الشكل 31-3> فلن <المعادلة 3-17> تفترض صوراً شاقولية تماماً وماخوذة من ارتفاع واحد بالضبط، وهذه الحالة نادرًا ما تحدث، وهكذا فلن الارتفاعات المستخرجة باستخدام هذه المعادلة غالبًا ما تسمى "الارتفاعات الخام CRUDE HEIGHTS".



شكل 31-3

من مقياس الصورة؛ المعروف أن:  $b/B = f/(H-h)$  (المقاييس) حيث أن  $b$  هي متوسط قيمة قاعدة الصورة  $(b_1 + b_2)/2 = b$  و  $h$  هو متوسط ارتفاع الموقع.

$$\therefore B = \frac{b(H-h)}{f}$$

والتي عندما نعوض في <المعادلة 3-17> نحصل:

$$P_A = \frac{b(H-h)}{H-h_A}$$

وحيث أن  $(H-h)$  هو متوسط ارتفاع الطيران، فهو غالبًا يكتب:

$$P_A = \frac{bH_0}{H-h_A}$$

<3-18>...

مع ذلك وكما ذكر سابقًا، فإنها ممارسة طبعية أن يقيس الفرق باختلاف النظر ( $\Delta P$ ) بين نقطتين باستخدام جهاز يسمى "قضيب اختلاف النظر PARALLAX BAR". وهكذا فإن النقطة A و C بنظر الاعتبار

$$P_A = \frac{fB}{H-h_A}$$

$$P_C = \frac{fB}{H-h_C}$$

$$\begin{aligned} \therefore (H - h_A) &= fB/P_A \quad \text{و} \quad (H - h_C) = fB/P_C \\ \therefore (H - h_C) - (H - h_A) &= h_A - h_C = \Delta h_{AC} \\ &= fB(1/P_C - 1/P_A) = fB \left( \frac{P_A - P_C}{P_A P_C} \right) \end{aligned}$$

ولكن: (الفرق باختلاف النظر بين A و C)  $P_A - P_C = \Delta P_{AC}$

$$\therefore \Delta h_{AC} = \frac{fB}{P_A} \times \frac{\Delta P_{AC}}{P_C}$$

$$P_C = P_A + \Delta P_{AC}$$

وحيث أن:

$$\Delta h_{AC} = \frac{fB}{P_A} \times \frac{\Delta P_{AC}}{P_A + \Delta P_{AC}}$$

$$\Delta h_{AC} = \frac{(H - h_A) \Delta P_{AC}}{P_A + \Delta P_{AC}}$$

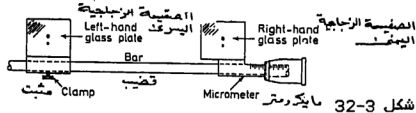
إذن:  $\dots < 19-3 >$

وفي الاراضى المستوية نسبيا يكون المقدار  $(\Delta P_{AC})$  الذى فى المقام مهملا ، وهكذا :

$$\Delta h_{AC} = \frac{(H - h_A) \Delta P_{AC}}{P_A} \quad \dots < 20-3 >$$

وبتمحيم المعادلة الاساسية 3-17 بتبين بأنه إذا زادت  $h_A$  فلن  $P_A$  يجب أن تزداد ايضا ، وهكذا فالقاعدة المهمة فى اختلافات النظر الناجمة عن الارتفاع هي : كلما كانت النقطة عالية ، كلما كان لاختلاف نظرها اكبر.

### 3-7-4 قياس اختلاف النظر



شكل 3-32

يتم قياس اختلاف النظر الناجم عن الارتفاع عادة ، باستخدام قضيب اختلاف النظر (شكل 3-32). فتتألف هذه الالة اساسا من قضيب يحمل صفيحتين زجاجيتين مخدوشة عليهما نقطتين صغيرتين واخرتين كبيرتين حيث تستخدم النقطتان الصغيرتان عند مشاهدة النموذج المجسم وهو مكبر. فالصفحة اليسرى يمكن تحريكها بأي اتجاه على طول القضيب كما يمكن تثبيتها ، أما الصفحة اليمنى فتتحرك فقط من خلال تحريك المايكروميتر. وتتم قياسات اختلاف النظر بدرجة ضبط مقدارها 0.01 ملم.

أما قياس الارتفاع فيكون كما يلي: تثبت الصورتان أولا بحيث يكون خطا قاعدتيهما فى مستوى واحد للمشاهدة



(A) باستخدام معادلة اختلاف النظر الأساسية ( $P_A = fB/H - h_A$ )  
 احسب اختلاف النظر ( $P_A$ ) لنقطة الضبط الأرضي ذات المنسوب  
 المعلوم  $h_A$  وستكون كلا من ( $fB$ ) و  $H$  معلومة أيضا - راجع  
 الفقرة 3-7-6 .  
 (B) خذ قراءة قضيب اختلاف النظر على النقطتين  
 الشحبيتين  $\alpha_1$  و  $\alpha_2$  لنقطة الضبط الأرضي A .  
 (C) والآن خذ قراءة القضيب على النقطة C ، فالفرق بين  
 القراءة على A والقراءة على C سيساوي ( $\Delta P_{AC}$ )  
 (D) ولما كانت  $P_A$  معلومة فإن ( $P_C = P_A \pm \Delta P_{AC}$ ) حيث تكون  $\Delta P_{AC}$   
 موجبة إذا كانت C أعلى من A وسالبة إذا كانت C أدنى منها .  
 وأن كون C أعلى أو أدنى من A فهذا يمكن الكشف عنه من  
 فهم النموذج المجسم و/أو من قراءات القضيب .  
 (E) والآن لحسب منسوب النقطة C أي ( $h_C$ ) من المعادلة  
 الأساسية ( $P_C = fB/H - h_C$ ) ، وبطريقة أخرى يمكن احتساب  
 ( $\Delta h_C = (H - h_A) \Delta P_{AC} / P_A + \Delta P_{AC}$ ) ، وبمعرفة منسوب A يمكن  
 الحصول على منسوب C .  
 (F) وتستمر الآن هذه العملية ، فمثلا ، ستعطى قراءة  
 القضيب على نقطة D المقدار ( $\Delta P_{AD}$ ) والذي يمكن الحصول  
 منه على ( $h_D$ ) أو ( $\Delta h_{AD}$ ) وكما مبين في (D) و (E) أعلاه .

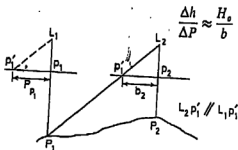
### 3-7-6 الخطأ في معادلة اختلاف النظر

لا يفترض بالتحليل التالي أن يعطى مؤشرا لدرجة  
 الضبط ACCURACY التي يمكن بها الحصول على الارتفاعات  
 من لاختلاف النظر .

#### (1) قياس لاختلاف النظر ( $\Delta P$ )

يمكن تعريف الدقة المطلوبة لقراءات القضيب كما  
 يلي: يمكن - بواسطة مرسوم بسيط - إثبات أن لاختلاف نظر  
 النقطة الرئيسية  $P_1$  يساوي طول خط قاعدة الصورة  $b_2$  ،  
 بينما يكون لاختلاف نظر النقطة  $P_2$  مساويا  $b_1$  - انظر الشكل  
 3-34 ، وهكذا فإن اختلاف نظر النقاط الرئيسية (PP) هو  
 b ، والتي تعوض في المعادلة 3-20 لتعطي:

$$\frac{\Delta h}{\Delta P} \approx \frac{H_0}{b} \quad \dots (21-3)$$



شكل 3-34

خذ عملية تصوير بحجم (230 ملم x 230 ملم) من ارتفاع  
 3000 م وبتداخل (60%) والتي تكون فيها ( $b \approx 92\text{MM}$ ) .

$$\therefore \frac{\Delta h}{\Delta P} \approx \frac{3000}{92} \approx 33 \text{ m/mm}$$

وحيث ان 3000م هو السقف لغالبية المسوحات الجوية و  
( $\pm 0.03\text{MM}$ ) هو المعدل لخطأ قضيبي لاختلاف النظر، فإن خطأ  
الارتفاع سيكون اقل من 1م ، أي ( $33 \times 0.03 = 0.99 \text{ M}$ ) .

## (2) لارتفاع الطيران (H)

لن للخطأ في قيمة H تأثير حرج على المعادلات اكبر من  
أي من المركبات الاخرى ، ويمكن لإشبات ان الخطأ يتناسب  
مع ارتفاع الطيران ، أي :

$$\frac{\delta(\Delta h)}{\Delta h} = \frac{2\delta H_0}{H_0} \quad \dots <22-3>$$

حيث ان  $H_0$  هو ارتفاع الطيران فوق متوسط سطح الأرض.

وهكذا اذا تطلب الفرق بالارتفاع المستخرج من اختلاف  
النظر درجة ضبط مقدارها 1 الى 100 فان درجة ضبط  
ارتفاع الطيران يجب ان تكون 1 الى 200 . فبالنسبة لـ  
( $\Delta h = 100\text{M}$ ) وهكذا مضبوطة لاقرب 1 متر فإن ( $H_0 = 2000\text{M}$ )  
سيحتاج بان يكون مضبوطا لاقرب 10 متر ، وكذا درجة ضبط  
لا تكون ممكنة من قراءات مقياس الارتفاع ALTIMETER ،  
وعليه يتبع الاسلوب التالي :

خذ النقطتين A و C معلومتى المنسوب واللتين قد  
تكونان نقطتين لتفاصيل على الخارطة او نقطتين ضبط ارضي  
بحيث ان شحبيهما على الصورة يكونان a و c ، واقربى بان  
متوسط منسوب النقطتين يساوي  $h_0$  والمسافة المقاسة بين  
النقطتين على الصورة تساوي L . وهكذا إذا كانت  
المسافة الحقيقية على الأرض بين النقطتين L ، يكون  
لدينا :

$$L/L = (f/H - h_0) = \text{مقياس الصورة} \quad \text{والتي منها :}$$

$H = f/L + h_0$  ... <23-3>  
فلذا كان موقع a و c متماثلا حول النقطة المركزية (PP) ،  
فإن تأثيرات الميل و فرق الارتفاع بينهما يكون صغيرا .  
يجب المضي بهذه الطريقة لأكبر عدد ممكن من اوضاع  
الانقلاص في كل صورة ، وتطبق القيمة الوسطية .

## (3) البعد الجوى (f)

في هذه الحالة ، بتغير الخطأ المتناسب PROPORTIONAL  
ERROR في فروقات الارتفاع المستخرجة من اختلاف النظر  
طرديا مع الخطأ المتناسب في البعد الجوى ، أي :

$$\frac{\delta(\Delta h)}{\Delta h} = \frac{\delta f}{f} \quad \dots <24-3>$$

وهكذا ، إذا كان فرق الارتفاع المطلوب - كما في الحالة  
السابقة - 100م بدرجة ضبط مقدارها 1متر فإن ( $f = 152.4\text{MM}$ )  
يجب ان تكون بدرجة ضبط مقدارها 1.5 ملم والتي هي  
بالتأكيد ضمن حدود إمكانية آلة تصوير معبرة .

## (4) القاعدة الجوية (B) AIR BASE

كما في اعلاه ، فلن :  
(25-3)...

$$\frac{\delta(\Delta h)}{\Delta h} = \frac{\delta B}{B}$$

فلذا كانت ( $f=150\text{MM}$ ) و ( $H=3000\text{M}$ ) فلن ( $B=1840\text{M}$ ) لتداخل  
مقداره (60%) ، وهكذا ، فخطا ، متناسب مقدارها إلى 100 لـ  
( $\Delta h=100\text{M}$ ) سيكون معادلا إلى خطا مقدارها 18.4 م في B.  
ويمكن الحصول على قيمة للقاعدة الجوية من قياس  
المسافة بين النقاط الرئيسية المتتالية من مخطط  
للخطوط القطرية، ومن ثم يطبق مقياس المخطط على هذه  
المسافة.

وبطريقة أخرى، إذا عرفت المسافة بين نقطتي الضبط  
الأرضي A و C اللتان تظهران في منطقة تداخل زوج من  
الصور، فلن لحداثياتها يمكن أن تقاس باعتبار استخدام  
قاعدة الصورة PHOTO BASE كالمحور X والخط العمود على  
القاعدة كالمحور Y، أي  $x_a$  و  $y_a$  و  $x_b$  و  $y_b$ .  
كذلك يتطلب الأمر معرفة لإختلاف نظر النقطتين. وعليه:

$$\begin{aligned} X_A &= Bx_a/p_a & Y_A &= By_a/p_a \\ X_B &= Bx_b/p_b & Y_B &= By_b/p_b \end{aligned}$$

حيث أن X و Y هما الاحداثيين الأرضيين للنقطتين.

$$D_{AB} = [(X_A - X_B)^2 + (Y_A - Y_B)^2]^{1/2} \quad ; \quad (D_{AB}) \text{ المسافة الأفقية}$$

ثم بالتعويض عن X و Y والترتيب ينتج:

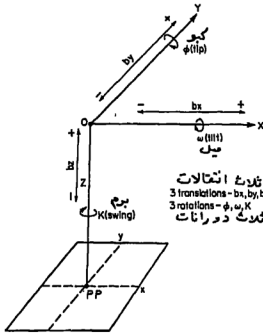
$$B = \frac{D_{AB}}{\left[ \left\{ \frac{x_a}{p_a} - \frac{x_b}{p_b} \right\}^2 + \left\{ \frac{y_a}{p_a} - \frac{y_b}{p_b} \right\}^2 \right]^{1/2}} \quad \dots (26-3)$$

فكما نرى اليه في البداية فلن التحليل انفا الذكر  
يجب أن لا يعتبر دليلا على درجة ضبط الارتفاعات  
المستخرجة من اختلاف النظر ، وسبب هذا هو الأساسي وهو  
أن التحليل النظري يختلف عن الواقع. أي أن معادلة  
اختلاف النظر الأساسية هي مستخرجة على افتراض أن الصور  
هي شاقولية تماما ولا تحوي أي ميل وأن ليس هنالك تغير  
في ارتفاع الطيران، وهذه الحالة نادرا ما تحدث عمليا.  
ولهذا السبب فلن الارتفاعات غير المصححة المستخرجة من  
قياسات اختلاف النظر تدعى "الارتفاعات الخام" .

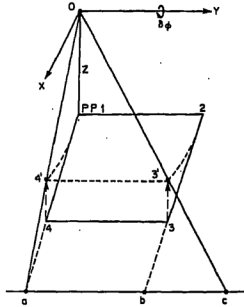
## 7-7-3 تصحيحات الارتفاعات المستخرجة من اختلاف النظر

إن فحوى معضلة الارتفاعات المستخرجة من ظاهرة  
إختلاف النظر غير المصححة تنجلي بوضوح من المقولة  
التالية المأخوذة من المقالة [الارتفاعات من قياسات

اختلاف النظر] للجروفيسور تومسون E.H. THOMPSON عن مجلة "الفوتوكرامترية" ريكورد/الجزء الاول - العدد 4 اكتوبر 1954؛ "إن الحاجة لتعديل الارتفاعات الخام قد أدخلت عنوة إذا ما أخذ بنظر الاعتبار أن للصورة المأخوذة بعنوة ذات زوايا عريضة من ارتفاع 18000 قدم (4900 م) على امتداد بلد لا تزيد اختلافات الارتفاع فيه عن بضعة مئات من الاقدام - بعرض أن الارض مستوية - نفس درجة الضبط فيما لو وُضعت قراءات اختلاف النظر من دون تصحيح عن الميل".



شكل 3-35: محاور إحداثيات آلة التصوير يوضح 6 درجات حرية



شكل 3-36

إن التقليد المتبع للميل هو تسمية دوران كل آلة تصوير حول ثلاثة محاور X و Y و Z متعامدة مع بعضها بـ  $\omega$  و  $\phi$  و  $K$  على التوالي، وكما هو مبين في (الشكل 3-35). وقيمة الانتقال على طول كل محور هو  $(bx)$  و  $(by)$  و  $(bz)$  على التوالي.

#### (1) الكيو ( $\phi$ ) TIP

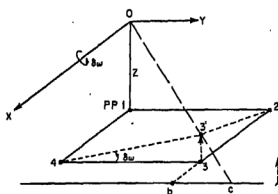
يؤدي تارجح الطائفة من الانف إلى الخشب إلى الدوران حول المحور  $Z$  بزاوية ( $\phi$ ) كما هو مبين في الشكل 3-36، ونتيجة هذا الميل هو أن النقطتين الشحبتين 3 و 4 في  $3'$  و  $4'$  على التوالي بخط في قياس اختلاف النظر مقداره  $(3b)$  و  $(4a)$ . وكما هو مبين فإن تشوها على شكل قطع مكافئ PARABOLIC سيحدث للنموذج

المجسم، ويمكن الاثبات بان الخطا في لارتفاعات الارض  
لاية نقطة سيساوي:

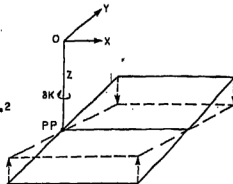
$$= (X^2 + Z^2) \delta \phi / B$$

## (2) الميل ( $\delta \omega$ ) TILT

يؤدي ميل الطائرة من طرف جناح الى طرف الجناح  
الاخر الى الدوران حول المحور ع بزاوية ( $\delta \omega$ ) وكما هو مبين  
في الشكل 3-37. ونتيجة هذا الميل هي لزاحة النقطتين  
2 و 3 قطريا من النقطة الرئيسية (PP1)، حيث تكون لزاحة  
النقطة 2 بالاتجاه لا، وعليه فلن قياس اختلاف نظرها يكون  
غير متاثر. اما قياس اختلاف نظر النقطة 3 فسيكون بخطا  
مقداره (3b) الذي سيشوه الارتفاع بمقدار ( $XY \delta \omega / B$ )، وهذا  
المقدار هو تشويه قطع زاكد تربيعي - RECTANGULAR HYP  
من النموذج ERBOLIC DEFORMATION للمجسم.



شكل 37-3



شكل 38-3

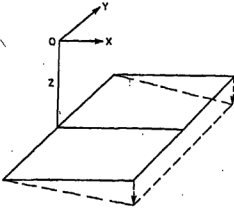
## (3) الجرم ( $\delta K$ ) SWING

يتم حذف خطا الجرم بتثبيت خط قاعدة المور باعتناء،  
والخطا في تحقيق هذه العملية سيؤدي الى رفع وخفض كل  
من نصفي النموذج المجسم وكما مبين في (الشكل 3-38).

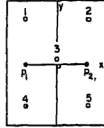
## (4) تغيير ارتفاع الطيران ( $\phi$ )

يؤدي التغير في ارتفاع آلة التصوير للنقطتين  
متجاورتين الى ميل القاعدة الجوية ( $\phi$ ). وهذا يؤدي  
الى ميل النموذج المجسم حول المحور لا وكما هو مبين في  
(الشكل 3-39).

إن التأثير المركب لكافة الاخطاء المذكورة اعلاه في  
كل من المورنتين اللتين تولفان الزوج التجسيمي هو  
تحويل النموذج المجسم الى شكل قطع مكافئ زاكدي - HYP  
ERBOLIC PARABOLOID، ويمكن الاثبات مبدئيا بانه اذا  
كانت المبول قليلة والتموجات الارضية بسيطة فلن الخطا  
في الارتفاعات المستنبطة من اختلاف النظر يمكن ان



شكل 3-39



شكل 3-40

يُعبَّر عنه بإحداثيات الصورة (  $x, y$  ) للنقطة الشبحية للصورة اليسرى كـ :

$$\delta h = \frac{Z^2}{fB} \left[ (K_1 - K_2)y - \phi_1(f + x^2/f) + \phi_2(f + (x-b)^2/f) \right. \\ \left. + w_1 \frac{xy}{f} - w_2(x-b)y/f \right] - \frac{\Phi xz}{f} \quad \dots \langle 27-3 \rangle$$

والذي يُعبَّر عنه بصيغة أبسط كـ :

$$\delta h = a_0 + a_1x + a_2y + a_3xy + a_4x^2 \quad \dots \langle 28-3 \rangle$$

حيث أن الحدود الأربعة الأولى تمثل قطع زائد HYPERBOLA والحد الأخير يمثل قطع مكافئ PARABOLA.

وهكذا فلن طريقة تصحيح الارتفاعات الخام تتطلب خمس نقاط ضبط معلومة المناسب ( $h_i$ ) موزعة على امتداد منطقة التداخل وكما هو مبين في (الشكل 3-40).

تحتسب الارتفاعات المستخرجة من اختلاف النظر ( $h'_i$ ) للنقاط الخمس بأخذ النقطة 1 مثلاً كمرجع ثم ويؤخذ مركز قاعدة الصورة ( $P_1, P_2$ ) كنقطة أصل لمتظومة الإحداثيات ( $x, y$ ) ، ونقاس إحداثيات النقاط الخمس بأجمعها من الصورة اليسرى وتدخل في المعادلات الخمس ، أي :

$$\begin{aligned} h_1 - h'_1 = \delta h_1 &= a_0 + a_1x_1 + a_2y_1 + a_3x_1y_1 + a_4x_1^2 \\ h_2 - h'_2 = \delta h_2 &= a_0 + a_1x_2 + a_2y_2 + a_3x_2y_2 + a_4x_2^2 \\ h_3 - h'_3 = \delta h_3 &= a_0 + a_1x_3 + a_2y_3 + a_3x_3y_3 + a_4x_3^2 \\ h_4 - h'_4 = \delta h_4 &= a_0 + a_1x_4 + a_2y_4 + a_3x_4y_4 + a_4x_4^2 \\ h_5 - h'_5 = \delta h_5 &= a_0 + a_1x_5 + a_2y_5 + a_3x_5y_5 + a_4x_5^2 \end{aligned}$$

من ثم يتم حل المعادلات لإيجاد المعاملات  $a_0, a_1, a_2, a_3, a_4$  . بعد هذا يمكن تصحيح الارتفاع الخام ( $\delta h$ ) لأية نقطة في منطقة التداخل ( $h'$ ) باستخدام المعاملات أعلاه وإحداثيات الصورة في (المعادلة 3-28).

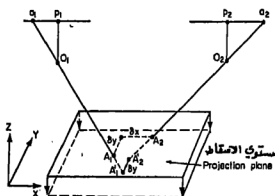
ويمكن إنجاز العملية بكاملها بسرعة وبسهولة باستخدام برنامج كومبيوتر مناسب .

### RESTITUTION SYSTEMS

### 8-3 مظهرات التعديل

إن التعديل هو المعضلة الأساسية في أعمال المسح التصويري ويتضمن إخراج الصور ( أو مفايح الصور الزاجية ) بنفس المواقع التي كانت فيها وقت الطيران . ومن ثم ربط النموذج المجسم المعدل الناتج بالضبط الأرضي .

لقد تم البحث في طرق تعديل تقريبية ، أما ما يتفق من الطرق فلما أن تكون طرق مناظرة ANALOGUE METHODS باستخدام راسمات عالمية أو راسمات دقيقة أو أن تكون طرقاً تحليلية باستخدام أحاديثات صور دقيقة مقاسة بجهاز معايرة COMPARATOR .



شكل 3-41

يمكن شرح المسألة كما يلي : يبين ( الشكل 3-41 ) صورتين في مستوى أفقي تسقطان شجرتين لنقطة واحدة A على مستوى موازي . وبسبب عدم توجيه منظومة الإسقاط بشكل صحيح فإن  $A_1$  و  $A_2$  ستتقاطعان في  $A_1$  بدلاً من التقاطع في A . ويمكن أن يعبر عن فرق  $A_1$  و  $A_2$  عن A بشكل إحداثيات مثل (  $\delta x$  ) و (  $\delta y$  ) اللتان تسميان باختلاف نظر x و y على التوالي .

تحدد قيمة (  $\delta x$  ) بخفض مستوى الإسقاط باتجاه Z بمقدار (  $\delta z$  ) حتى يلتقي شجرتا التقاطع في  $A_1$  و  $A_2$  اللتين تفصلهما المسافة (  $\delta y$  ) فقط .

بمحدد اختلاف نظر y بتحريك المسلاطين PROJECTORS باتجاهات الحرية الخمس ، أي (  $\delta z$  ) و (  $\delta y$  ) و  $\phi$  و  $\omega$  و  $\kappa$  كما هو موضح في ( الشكل 3-35 ) . وتدعى هذه العملية 'التوجيه النسبي' RELATIVE ORIENTATION ، وهي تتم على ستة نقاط معايرة موزعة على امتداد النموذج المجسم . وعندما تكتمل هذه العملية فإنها تحدد موقعي المسلاطين في موقعهما

النسبيين الصحيحين، والفشل في تحقيق توجيه نسبي صحيح يعطى نموذجاً مشوهاً ويكون له تأثير خام على درجة ضبط قياسات الارتفاع.

يجب أن يتم الآن تثبيت مقياس النموذج اعلاه بشكل صحيح وبوجه بموجب منظومات الاحداثيات الارضية. هذه العملية تسمى "التوجيه المطلق ABSOLUTE ORIENTATION" والتي يمكن أن تتم باستخدام الضبط الارضي فقط.

الخطوة الاولى هي تثبيت مقياس النموذج المبني في اجسط اشكاله على المسافات المعلومة بين نقطتي ضبط ارضي. ويتم ذلك بتغيير المسافة بين المستلطين باتجاه المحور X، أي المسافة (bx)، والخطوة الثانية هي تثبيت منسوب النموذج الفراغي SPATIAL MODEL بتدويره حول محوره X والـ Y، أي  $\theta$  و  $\omega$  حتى يتطابق مع معطيات الارتفاع لثلاث نقاط ضبط ارضي في الاقل.

وعندما تتم هذه العملية، يمكن الشروع برسم التفاصيل وتثبيت ارتفاعات المواقع ورسم الخطوط الكنتورية، وبطريقة اخرى، يمكن قياس الاحداثيات المرسمة ثلاثية الابعاد للنقاط لاستخراج النموذج الرقمي الارضي DIGITAL GROUND MODEL (DGM).

مما يجب ملاحظته هنا هو أن درجة ضبط منظومة التعديل وبالتالي درجة ضبط الخارطة النهائية تعتمد على درجة ضبط ACCURACY الضبط الارضي وصحة تشخيصه.

يمكن أن يتم تعديل الشعاعات الضوئية المولدة للنموذج من خلال الاسقاط البصري او باستخدام قضبان فراغية SPACE RODS. تولف نظيراً ميكانيكياً للشعاعات الضوئية.

يمكن ان يتم القياس بدرجة ضبط مقبولة: 10 مايكرومترات لعملية تموير بابعاد (230MM x 230MM) بينما يكون التكبير من الصورة التي النموذج المجسم بدلالة النسبة (Z/f)، ولتوضيح هذا؛ خذ بعض التفاصيل الفاتية لرأس من نوع <WILD A8> :

البعد الرئيسي (f): 98 ملم إلى 215 ملم  
ابعاد النقطة العائمة هي: 0.07 ملم لقوة تكبير (x 6)، و 0.045 ملم لقوة تكبير (x 8.5)، و Z تساوي 300 ملم.

وهكذا فلتموير بمقياس (1/10 000) وباستخدام (f=152MM) يكون لدينا :

مقياس الرسم للنموذج (Z/f) × (1/10 000) :  
التكبير من النموذج إلى الخارطة (x 4) :  
درجة ضبط القياس على الصورة :  
درجة ضبط النقطة على الخارطة :

≈ 1/5000

= 1/1250

= 10 μM

= 0.1 MM

ترتبط الملاحظات اعلاه كلياً بلنتاج الخارطة والنموذج الرقمي الارضي (DGM) بطرق التناظر، وهي اكثر اقتصادية لكذا اغراض. مع هذا ، فالمسح التصويري التلبيلى ايضا جدير بالذكر. وبهذه الطريقة تناس احداثيات الصورة بدقة بدرجة ضبط مقدارها 1 او 2 مايكرومتر باستخدام "اجهزة معايرة COMPARATORS او اجهزة معايرة تجسيمية STEREO COMPARATORS". يتم توجيه النسبي والمطلق لاحداثيات الصورة رياضيا وبواسطة الكومبيوتر. وتكون الاحداثيات الناتجة اكثر ضبطاً من تلك التى تنتج بطريقة التناظر وتفيد بشكل خاص فى اعمال التثليث (بقياس الزوايا) الجوى.

### 9-3 المزايا وخواص الصور المتعمدة

#### MOSAICS AND ORTHOPHOTOMAPS

ولو ان المنتج الاساس النهائى للمسح التصويري - فيما يخص المهندس - هو الخارطة او النموذج الرقمي الارضي (DGM) ، لكن هنالك ايضا انواع اخرى من الخرائط وهي على شكل موزاييك او خرائط لمور متعمدة.

(1) الموزاييك غير المسيطر عليها  
تتكون الموزاييك غير المسيطر عليها نتيجة مطابقة الصور - لمعاييرها بمقياس التلامس اى بمقياس الرقعة السالبة - للحصول على افضل توافق ممكن ، ولا تؤخذ الاذاحات الناتجة عن الميل بنظر الاعتبار ولا تلك الناتجة عن تموجات الارض ، كما ان التركيبة لا تتبع اى شكل من اشكال الضبط الارضى.

(2) الموزاييك المسيطر عليها  
فى هذه الحالة يتم تصحيح الصور عن الميل اولا فى الة تعديل بصرية وتجعل كلها بمقياس واحد. بعد ذلك يتم تركيب الصور باعتناء وترتيب بالضبط الارضى. وهنا تنتج صورة اكثر تماسكاً ، ولكذا تأثيرات الاذاحة الناتجة عن تموج الارض لا تزال موجودة.

(3) المور المتعمدة ORTHOPHOTOGRAPHS  
هى تلك الصور التى قد تم تصحيحها ميكانيكياً عن ازايات الميل وتموج الارض باستخدام مساطر او منظار متعمد مع الصورة ومتصل براسم تجسيمى مباشرة. وبهذه الطريقة يتم تعريض وتصوير النموذج الجسم الوجه بشكل صحيح على رقائق موجبة SLIDES بحجم (4MM x 2MM) فى الموقع الحقيقى على الخارطة وبالمقياس الصحيح. والمنتج النهائى هو صورة كينورية بمقياس صحيح تحوى اخطاء صغيرة جداً بالموقع وبالارتفاع. فبالرغم من ان الصورة الكينورية ليست هى بدرجة ضبط المرئى التخطيضى لكنها يمكن ان تنتج اسرع بكثير ، كما انها تحوى كافة التفاصيل الارضية والتى لا تظهر عادة على المرئى التخطيضى. وهذه النقطة الاخيرة هى السبب فى تفضيل الموزاييك او الصور المتعمدة على المرئىات فى بعض الحالات.

ففي حالات السيطرة على الفيضان او في الاستقصاءات الجيولوجية او في اعمال الري مثلا تكون مشاهدة المناطق المطلوبة مفيدة جدا .

### 3-10 مواصفات التصوير الجوي الشاقولي

#### SPECIFICATION FOR VERTICAL AIR PHOTOGRAPHY

ولو ان المهندسين لا ينشغلون عادة بعملية المسح التصويري ، لكنهم بالتأكيد سينشغلون بالمنتوج النهائي، والى هذا الحد سيطلب منهم اعداد عقود مناسبة للعمل المطلوب ، وهكذا سيحتاجون الى تثبيت المواصفات اللازمة لذلك .

فقد تم تحضير المواصفات التالية من قبل جمعية المسح الجوي البريطانية-BRITISH AIR SURVEY ASSOCIATION ، وقد قامت الجمعية الملكية للمساحين المجازين ION ROYAL INSTITUTION OF CHARTERED SURVEYORS (RICS) باختبار هذه المواصفات ولتباعها ، وهي مدرجة نمسا ادناه :

\*\*\*\*\*  
مواصفات التصوير الجوي

المادة الاولى / خلاصة المتطلبات والمواد اللازمة تجهيزها .

#### 1-1 الموقع

1-1-1 يكون الموقع (او المسلك) المطلوب تصويره تجسيميا بمساحة — كيلومتر مربع (او كم طول) تقريبا ، وهو يعرف كما يلي:

لما : على الخارطة التعاقدية او كصورة فسيفسائية مرفقة كملحق رقم — بوثيقة المواصفات ، او : بواسطة الاحداثيات الجغرافية او التشبيكية او غيرها من لاجداثيات الاسناد وكما مثبت ادناه و/او المؤشرة في الرسم بالملحق رقم —

#### الخام ب — اسناد / إسقاط

2-1 مقياس التصوير والبعد البؤري للعدسة ( انظر المادة الثالثة من المواصفات )

#### 1-2-1

لما : يجب ان يكون المقياس العام للتصوير 1 الى — او : يجب ان يكون ارتفاع طيران التصوير من ارتفاع محتسب او من ارتفاع كل مجموعة شرائط كما يلي :

- \_\_\_\_\_ فوق (MSL) متوسط مستوي سطح البحر .
- \_\_\_\_\_ فوق (MSL) .
- \_\_\_\_\_ فوق (MSL) .

2-2-1 يجب أن يكون لآلة التصوير عدسة ذات بعد بؤري  
إسمي مقداره — ملم وأن تكون الأبعاد الاسمية  
لرقيقة السالبة (230MM x 230MM) أو (MM x —).

### 3-1 عملية التصوير (انظر المادة الرابعة)

1-3-1 يجب أن تكون الرقيقة المساسة المستخدمة؛  
إما: اسود و/أبيض جوي/بانوكروماتيك (للألوان المتعددة)  
أو: اسود و/أبيض جوي/أشعة تحت الحمراء.

2-3-1 يجب أن يكون للتصوير نوعية أشباح وأبعاد  
هندسية بحيث تسمح لأعداد خرائط المسح التصويري أو  
لأعداد الموراثييك أو للأغراض العامة.

### 4-1 الرقائق السالبة FILM NEGATIVES

1-4-1 إما: يجب أن تحفظ كافة الرقائق السالبة  
المعرضة للضوء في المقاولاة لدى المنتج لمدة لا تقل  
من — سنة، بعد ذلك يتم —

أو: يجب تسليم كافة الرقائق السالبة المعرضة للضوء  
في المقاولاة إلى رب العمل أو إلى الجهة المستفيدة.

2-4-1 يجب حفظ كل رقيقة سالبة ملفوفة على بكره  
داخل علبة معدنية أو بلاستيكية مضلماً كانت. مجهزة من  
قبل المصنع، أما الرقائق السالبة المرفوضة فيجب  
عدم إخراجها من البكره.

5-1 المواد الأخرى اللازم تجهيزها (انظر المادة الخامسة)  
إحذف الفقرات غير المطلوبة

1-5-1 يجب تجهيز دليل المرتسم و/أو دليل الصور على  
شكل: — ملائم من الرقائق الموجبة،  
— ملائم من الرقائق السالبة،

— ملائم من الصور المطبوعة على الورق،

2-5-1 — ملائم من صور التماس المطبوعة على الورق

3-5-1 — نسخة واحدة من كافة تقارير الرقيقة  
المساسة (انظر البند 4-6).

### 4-5-1 منتجات أخرى

## المادة الثانية - آلات التصوير وملحقاتها

إن هذه المادة تفي آلات التصوير المترية METRIC  
CAMERAS ذات حجم (230MM x 230MM) فقط، ويجب إعطاء  
موافقات آلات التصوير المستخدمة الأخرى بشكل مستقل.

## 1-2 آلة التصوير CAMERA

1-1-2 يجب استخدام آلة تصوير مساحة مترية مجهزة بعدسة مصممة لتعطي تشويها فطريا متراكما RESIDUAL RADIAL DISTORTION لا يزيد على 15 مايكروميتر ضمن مسافة 100 ملم من النقطة الرئيسية (PP)، ويجب مسك الرقطة الحساسة بالمستوى المطلوب للشبح خلال فترة تعريض الرقطة الحساسة للضوء لأجل الحفاظ على تبخير دقيق ولجعل تشويه الاشباح ضمن الحدود المذكورة. (البند 4-5).

2-1-2 يجب أن تكون ابعاد الرقطة السالبة والجمع البؤري للعدسة/او مجموعة العدسات كما هو مبين في (البند 1-2-2).

2-1-3 يجب تصحيح العدسة عن المدى الطيفي SPECTRAL RANGE للرقطة الحساسة المستخدمة.

## 2-2 التعبير CALIBRATION

2-2-1 يجب أن تكون اية وحدة لعدسات آلة التصوير المستخدمة في المقابلة قد عيرت وفحصت ودققت بشهادة من قبل مصنع آلة التصوير او من قبل مركز تعبير معترف به دوليا او معترف به من قبل مصنع آلة التصوير، حيث يجب أن تشير الشهادة إلى أن آلة التصوير قد عيرت خلال فترة الاثنى عشر شهرا التي تسبق عملية التصوير.

2-2-2 يجب أن يكون لدى المنتج شهادة تعبير نافذة وأن يعطى نسخة منها إلى رب العمل أو إلى من يقوم باستخدامها عند الطلب.

2-2-3 يجب أن تحوى شهادة التعبير المعلومات التالية:-

- اسم وعنوان مركز التعبير.

- تاريخ التعبير.

- رقم وحدة العدسات الخام بمصنع آلة التصوير.

- البعد البؤري المعير (البعد الرئيس) لوحدة العدسات

- التشويه القطري بالميكرومترات على فترات لا تتجاوز

10 ملم على طول كل من انصاف الاقطار الاربعة نسبة إلى

محور افضل تماثل AXIS OF BEST SYMMETRY.

- المسافات بين علامات الاسناد FUDICIAL MARKS - الجوانب

والاقطار او إحداثياتها بمنظومة إسناد متعامدة.

- موقع النقطة الرئيسية للتسديد التلقائي - AUTO COLL-

IMATION او لافضل تماثل نسبة إلى مركز الاسناد

FIDUCIAL CENTRE.

- ارقام التحليل RESOLUTION FIGURES الفطرية

والمماسية لوحدة العدسات الصادرة عن المصنع وقت

المصنع او بعد إعادة التنظيمات البصرية لوحدة العدسة.

- الاحداثيات التشبيكية المقاسة (لن وجدت) بمنظومة

إسناد متعامدة.

2-2-4 يجب أن يقع التشويه المقاس ضمن الحدود المثبتة من قبل المصنع لنوع العدسة.

2-2-5 يجب إعادة تعبير آلة التصوير في حالة الشك بحدوث أي ضرر لآلة التصوير - خلال مدة المفاولة - والذي يمكن أن يؤثر على التعبير.

2-2-6 في حالة اكتشاف تغيرات كبيرة في التعبير بعد أقل من ستة أشهر من انتهاء العقد ، يجب على المنتج إخبار رب العمل أو من قام باستخدامها .

2-3 حفظ آلة التصوير يجب تثبيت آلة التصوير في حضان يخفف من تأثيرات الذبذبة الطائرة.

#### 2-4 المرشحات الضوئية FILTERS

2-4-1 إما يجب استخدام مرشحات بصرية تجهز من قبل مصنع العدسة فقط أو استخدام مرشحات بنفس مواصفاتها البصرية .  
أو : يجب استخدام مرشحات ضوئية وحسب المواصفات التالية :

2-4-2 يجب تعويض فقدان الضوء في آلات التصوير التي تزيد فيها زوايا النظر على 60 درجة بمرشحة ضوئية مدرجة GRADED FILTER.

#### 2-5 شباك آلة التصوير CAMERA WINDOWS

2-5-1 يجب تدقيق أي شبك مستخدم لآلة التصوير من قبل مركز التعبير لضمان عدم تأثيره على الإمكانية التحليلية للعدسة وعلى التشويه ، وأن يكون خاليًا تمامًا من العروق والتشوهات وأية مواد غريبة أخرى.

2-5-2 يجب تركيب شبك آلة التصوير في مادة تمنع الجهد الميكانيكي في الشبك.

#### المادة الثالثة/الطيران والتفلية التصويرية

##### 3-1 التفلية التصويرية

3-1-1 يجب تفلية الموقع بمسارات مستقيمة تقريبًا (سراطع) من صور شبه شاقولية من الارتفاع التقريبي المطلوب في (البند 1-2-1) .

3-1-2 يجب أن يكون اتجاه خط الطيران ؛  
إما : أن يتم اختياره من قبل المفاول وتعطى نسخة من مخطط الطيران التي رب العمل عند الطلب .  
أو : بموجب مخطط الطيران المرفق كملحق رقم — بوشيقة المواصفات.

3-1-3 يجب ان يكون التداخل الامامي بين اللفظات التصويرية المتتالية في كل مسار بين (55%) و (65%) عدا ما هو محدد بغير ذلك،

3-1-4 يجب ان يكون التداخل العرضي (اي الجانبى) بين الشرائط المتجاورة عموماً :  
- بين (20%) و (40%) لارتفاعات الطيران التى تقل عن 1500م فوق متوسط مستوي سطح الارض.  
- بين (15%) و (35%) لارتفاعات الطيران التى تساوى 1500م او اكثر فوق متوسط مستوي سطح الارض.

وعندما تتغير ارتفاعات سطح الارض التى هى ضمن منطقة التداخل اكثر من 10 بالمائة من ارتفاع الطيران يجب ان يسمح بتغيير معقول لمقدار التداخل المذكور شرط ان لا يكون التداخل الامامى اقل من 55 بالمائة وان لا يقل التداخل العرضى عن (10%) او يزيد على (45%).

اما بالنسبة للتموجات الكبيرة للمواقع عندما لا يمكن المحافظة على التداخل الجانبى المحددة مواضعه اعلاه بخطوط طيران مستقيمة ومتوازية ، يجب لملاء "الفراغات" GAPS الناجمة عن التموج المقرط بمسارات قصيرة بجري الطيران فوقها بين المسارات الرئيسية وبموازاتها.

3-1-5 عندما يغير المسار ساحلاً ، يجب زيادة التداخل الامامى بمعدل (90%) وحسب المحددات المقروضة من قبل دورة آلة التصوير CYCLE TIME ، ويجب ان تتضمن الزيادة بالتداخل ثلاثة مراكز مور فى الافل على الارض.

3-1-6 يمكن تغيير مواقع المسارات التى تكون على امتداد خطوط السواحل لتقليل نسبة المياه المغطاة شرط ان تمتد التغطية بعد حدود اية تفاصيل ارضية بما لا يقل عن (10%) من عرض المسار ، بالرغم من الزيادة فى التداخل العرضي.

3-1-7 عندما تتصل نهايات مسارات التصوير بنهايات المسارات الاخرى التى تم الطيران فوقها بنفس الاتجاه العام ، سيكون هنالك تداخلاً مساوياً لنموذجين تجسميين فى الافل والذان يجب ان يكونا بمقياس الصورة الاصغر لذا اختلقت مقاييس التصوير.

3-1-8 يجب ان لا يزيد انحراف الطيران على 5 درجات عندما يقاس بين خط القاعدة وخط موازى لاطار الرقطة السالبة ، كما يجب ان لا يخلق فراغات تجسيمية-STEREOS COPIC GAPS فى عملية التصوير.

3-1-9 يجب ان لا يزيد الميل TILT اعتيادياً على درجتين. ويمكن السماح بميل اني حد 4 درجات فى الصور المستقلة.

3-1-10 عند رقص بعض لقطات من مسار طويل بسبب الغيوم او النوعية او التداخل غير المناسب ، يمكن استبدالها بمسارات قصيرة ، شرط ان يعطى لها تداخلا مساويا لنموذجين تجسيميين في الاقل عند كل من نهايتها .

3-2 ظرووف الطيران

3-2-1 يمكن التقاط الصور من اي ارتفاع شمسي-SOLAR ALTITUDE مناسب فوق 15 درجة ، عدا ما هو محدد بغير ذلك في ادناه ؛

اقل ارتفاع شمسي — درجة .  
اعلى ارتفاع شمسي — درجة .

3-2-2 يجب ان يتم الطيران فقط في الظروف التي لا يؤدي عدم وضوح الرؤية فيه الى تلف كبير لدرجة اللون النهائية في الرقبة السالبة . كما يجب عدم فقدان التفاصيل ذات العلاقة نتيجة الضباب او الاتربة في الجو .

3-2-3

لما ؛ يجب ان تكون الصور خالية الى حد كبير من الغيوم والظلال القوية (الدكنة) او الدخان . ويجب ان لا تكون المناطق المتفرقة من الغيوم او الظلال القوية او الدخان سببا في رقص التصوير ، ما لم تكن غير صالحة للاستخدام لاسباب اخرى .

او ؛ يجب ان يكون التصوير خاليا من الغيوم او الظلال القوية او الدخان نهائيا .  
او ؛

3-2-4 تكون الظروف الخاصة بالتصوير مما له علاقة بالتوقيت او موسم التصوير كما مثبت ادناه ؛

المادة الرابعة/الرقبة الحساسة الجوية ونوعية الشبح في الرقبة السالبة .

4-1 الرقبة الحساسة الجوية

4-1-1 يجب ان تحدد مواصفات نوعية الرقبة الحساسة الجوية المنوي استخدامها في < البند 1-3-1 > .

4-1-2 يجب طلاء المحلول على رقبة حساسة ذات قاعدة مستقرة .

4-1-3 يجب ان تكون ظروف خزن الرقائق الحساسة المستخدمة بحيث عندما تُظهر الرقبة الحساسة المعرضة للضوء ؛

- تكون خالية من البقع او تغير اللون وان لا تكون بالية مما يعزى الى قدم الرقبة الحساسة او الى الخزن غير الملائم ،

- ولا تزيد كثافة الغيوم (المحلول فقط) عن 0.2 باستخدام نفس المظهر والفترة الزمنية ودرجة الحرارة كما

سيستخدم في المقابلة، باستثناء حالة الرقيفة الحساسة التي تزيد سرعة حساسيتها على 250 وحدة من وحدات سرعة رقيفة حساسة جوية فعالة (EFFECTIVE AERIAL (250 EAFS) FILM SPEED والتي يجب أن لا تزيد الكثافة عندها على 0.4

4-2 فترة تعريض الرقيفة الحساسة للضوء EXPOSURE 4-2-1 يجب اختيار سرعة غلق الحاجب SHUTTER بحيث أنها تبقى بمتطلبات أقل حركة للشبح لفتحة عدسة مناسبة وظروف الإضاءة السائدة في وقت التصوير.

4-2-2 يجب أن لا تزيد حركة الشبح الامامية المحتسبة بشكل عام على 30 مايكرومتر. وتكون الحركة التي حد 60 مايكرومتر مقبولة في حالات الاجسام ذات الإضاءة الخافتة جدا و/أو التصوير بمقياس (1/5000) والكبير. وتكون الحركة التي حد 90 مايكرومتر مقبولة في حالات الاجسام ذات إضاءة في منتهى الخفوت و/أو التصوير بمقياس (1/2 000) والكبير.

4-3 مرشحة الضوء FILTER 4-3-1 يجب على المقاتل اختيار المرشحات الضوئية بحيث تغطي درجات لونية مناسبة، فيما عدا الحالة التي تكون فيها المرشحات الضوئية المستخدمة بالمواصفات التالية:

4-4 التخفيف والتجفيف 4-4-1 يجب أن تكون عملية تجفيف الفلم قادرة على إعطاء نوعية متجانسة للرفائق السالبة NEGATIVES والمثبتة مواصفاتها تمت (البند 4-5 و 4-6) أدناه من دون أن يؤدي ذلك إلى تشويه الرقيفة الحساسة.

4-4-2 يجب أن تتم عملية تجفيف الرقيفة الحساسة من دون أن تؤثر على ثبات أبعادها. ففي أية رقيفة سالبة يجب أن لا يزيد الفرق بالاطوال بين أي زوج من علامات الاستناد على 0.03 بالمائة، كما يجب أن لا يزيد التغير بالمقياس العام على 0.08 بالمائة.

4-4-3 يجب أن لا تزيد كمية محتويات مادة الثيوسلفايت المتبقية على الرقيفة الحساسة المظهرة على 20 ملغرام لكل متر مربع.

4-4-4 يجب أن تكون كافة الرفائق السالبة خالية إلى حد كبير من البثور أو الفقايع أو خطوط الطلاء أو علامات الجهد أو السكون STATIC MARKS أو علامات القضب BAR MARKS أو ثقوب الدبابيس أو الخدش أو العروق أو البقع أو العلامات الكيميائية أو العلامات الناجمة عن التجفيف على كلا وجه المحلول EMULSION SIDE والوجه القاعدي BASE SIDE والتي تظهر إما بالضوء المنتشر أو الجراحي، ويجب إعطاء شيء من السماح عندما تدعو الضرورة للقيام بعملية التظهير في ظروف دون المعيارية

SUB-STANDARD شرط عدم الاخلال بما هو مطلوب من الرقائق السالبة .

4-5 النوعية المتربة METRIC QUALITY للرقائق السالبة يجب ان لا تتحوى الرقائق السالبة او مسور التلامس من المفاتيح الزجاجية CONTACT DIAPPOSITIVES المستخرجة منها لاختلافها بالنظر باتجاه المحور Y بعد التوجيه النسبى اكثر من 20 مايكرومتر فى اى مكان من النموذج.

4-6 نوعية شبح IMAGE QUALITY الرقائق السالبة 4-6-1 يجب ان تكون الكشافة والتماييز CONTRAST فى كافة الرقائق السالبة بحيث يمكن استخدام انواع الاوراق المحفورة تخاريا والتي تشمل مديات لوغار شمية لغثرة التعريض للضوء من 0.6 الى 1.6 لانتاج صور مفيدة فى كل من المناطق الداكنة والبساطعة من الصورة، ويسمح باتباع الحيل التصويرية المناسبة.

4-6-2 يجب ان لا تزيد كثافة الغيم (المحلول فقط) للرقائق السالبة عادة على 0.2 مقاسة فى منطقة بعيدة عن اى تعرف للضوء ، عدا حالة الرقائق الحساسة التى تزيد سرعة حساسيتها على (250EAFS) حيث يجب ان لا تزيد كثافة الغيم فيها على 0.4 .

4-6-3 يجب ان لا يكون لاقل تفاصيل ظل مفيدة عادة كشافة اقل من 0.2 فوق القاعدة - زاكدا - الغيم ، فيما عدا اركان الصور المأخوذة بعدسة ذات زاوية عريضة جدا حيث يجب ان تكون اقل كشافة مقبولة 0.1 فوق القاعدة - زاكدا - الغيم.

4-6-4 يجب ان لا تزيد اقل كشافة فى مناطق مفيدة من الرقائق السالبة على 1.5 فوق القاعدة - زاكدا - الغيم، فيما عدا اماكن مفيرة بميزات انعكاس عالية حيث ان اعلى كشافة مقبولة تكون 2.0 . وفى الحالات الاستثنائية فقط والتي تحدث فيها بقع بكشافة عالية جدا بسبب انعكاس الميغ الشمسى من اجسام شديدة الانعكاس ، عند ذلك يمكن قبولها .

4-6-5 يجب ان تكون كافة علامات الاسناد حادة وظاهرة بوضوح فى كل رقيقة سالبة.

4-6-6 يجب ان تكون لوحة الاجهزة لالة التصوير المدونة على الرقيقة الحساسة مقروءة بوضوح على كافة الرقائق السالبة، ويجب ان لا يودى الفشل فى اضاءة الجهاز خلال العرض الرقعى التصوير ، فيما عدا ما هو مذكور ادناه:

---

المادة الخامسة/منتجات التصوير  
5-1 مخططات الفهرس INDEX PLOTS و/او فهارس الصورة  
PHOTO INDICES

يجب تجهيز مخطط الفهرس و/او فهرس الصور بموجب ما هي مثبت في (البند 1-4-1) لبيان المواضع النسبية لكافة عمليات التصوير المقبولة، ويجب أن تتضمن مخططات الفهرس و/او فهرس الصور المعلومات التالية:

- المراجع للخارطة الأساسية
- تسمية الموقع
- فترة التصوير
- مقياس الفهرس
- مقياس التصوير
- تاشير الشمال
- نوع آلة التصوير والبعد البؤري لوحدة العدسة
- اسم المفاول
- الاحداثيات الجغرافية او التشبيكية التقريبية
- ارقام الرقائق الحساسة وارقام المسارات (الشرائط)
- على حافتي كل مخطط وحيشما يحدث تغييرا ضمن المخطط
- ارقام الصور

1-1-5 يجب ان تشير مخططات الفهرس - عند الطلب - الى موقع وعدد اللقطات الكافية لتسهيل تحديد مواقع اللقطات التي تنفلها بشكل تقريبي.

2-1-5 يجب تحضير فهرس الصور عند الطلب - باستخدام اول صورة وآخر صورة والصور المتناوبة. ويجب تهذيب الصور حتى حافة الاشياخ ، ويجب ان يكون رقم الصورة مرقبا على اول صورة وآخر صورة وعلى كل خامس صورة مستخدمة.

2-5 الصور المطبوعة على الورق PAPER PRINTS يجب طبع صور التلامس CONTACT PRINTS على آلة طبع اوتوماتيكية وعلى ورق مشمع بوزن متوسط او على ورق ليفي FIBRE-BASED بوزن مضاعف والذي يمكن الكتابة عليه بقلم الحبر او الرصاص على كلا جانبيه مالم يكن مثبتا خلاف ذلك ادناه:

يمكن ان تطبع طواقم الصور المنتجة خارج مختبر المفاول على آلة طبع يدوية.

3-5 معائن الصور الزجاجية DIAPOSITIVES يجب إنتاج معائن الصور الزجاجية - عند الطلب - على رقيقة حساسة ذات قاعدة مستقرة باستخدام آلة طبع تلقائية ، مالم يكن مذكورا خلاف ذلك ادناه:

4-5 نسخ الرقائق السالبة DUPLICATE NEGATIVES 1-4-5 يجب تجهيز الرقائق السالبة بنسخ متعددة عند الطلب :

لما : منتجة من رقيقة وسطية موجبة لاعطاء شبح تقليدي خاطئ التفسير عندما تشاهد بطبقة المحلول الى الاعلى، او : منتجة مباشرة على رقيقة حساسة قابلة للاستنساخ لاعطاء شبح صحيح التفسير عندما تشاهد بطبقة المحلول الى الاعلى.

5-4-2 يجب ان تدرج نسخ الرقائق السالبة عن رقيقة حساسة ذات قاعدة مستقرة بدرجة لون (اي بتوزيع للكثافة) قريبة من الرقائق السالبة الاصلية قدر الامكان.

5-4-3 يجب إنتاج الرقائق السالبة باستخدام آلة طباع تلقائية مالم يحدد خلاف ذلك في ادناه:

#### المادة السادسة/التوضيح والتأشير

- 6-1 تأشير الرقائق الحساسة يجب إعطاء المعلومات التالية كتوجيهات في بداية ونهاية كل رقيقة حساسة:
  - "البداية" او "النهاية" (وحسبما هو ملائم).
  - رقم المشروع و/او اسم الموقع.
  - عند تسجيل اجزاء لاكثر من مشروع او موقع واحد على الرقيقة الحساسة يجب ذكر كافة المواقع.
  - رقم الرقيقة الحساسة.
  - سنة (او سنين) وشهر (او اشهر) ويوم (او ايام) مدة التصوير.
  - المقياس (او المقاييس) العام لعملية التصوير.
  - نوع آلة التصوير.
  - البعد الرئيس او البعد البؤري المعير لوحدة العدسة.

6-2 ترقيم الرقائق السالبة (ترقيم الصور) وتأشير الصور المطبوعة

يجب ترقيم الرقائق السالبة باستخدام كاوية حرارية او حبر ثابت او اية طريقة اخرى، ويجب طباعة الارقام بشكل انيق بحيث يمكن قراءتها بوضوح، كما يجب ان يكون ارتفاع الحرف بحدود 3 ملليمتر.

يجب ان تجهز كل رقيقة سالبة بالمعلومات التالية باستخدام كاوية حرارية او حبر ثابت او شراخ عنوان او طرق اخرى والتي يجب ان تظهر على كافة الصور المطبوعة بالتلامس:

- هوية المنتج.
- رقم المشروع و/او اسم الموقع.
- رقم الرقيقة الحساسة ورقم الصورة.
- سنة (او سنين) وشهر (او اشهر) ويوم (او ايام) مدة التصوير.
- الارتفاع فوق متوسط مستوي سطح البحر او الارتفاع فوق مستوي الارض.

- البعد الرئيس PRINCIPAL DISTANCE او البعد البؤري المعير لوحدة العدسة.

6-3 تأشير علبة الرقيقة الحساسة (العلامة LABEL) يجب ان يشير السطح الخارجي لعلبة كل رقيقة حساسة بوضوح الى:
 

- رقم المشروع و/او اسم الموقع.

- وعند تسجيل اجزاء لاكثر من مشروع واحد او موقع واحد على الرقيفة الحساسة يجب ذكر كافة المواقع.
- سنة (او سنين) وشهر (او اشهر) ويوم (او ايام) مدة التصوير.
- ارقام المسارات RUNS وارقام الصور.
- المقياس (او المقاييس) العام للتصوير.
- نوع آلة التصوير.
- البعد الجوى لوحدة العدسة.

- 4- تقرير الرقيفة الحساسة FILM REPORT
- يجب لرفاق كل علية رقيفة حساسة بتقرير عن كل رقيفة حساسة مشيتا فيه المعلومات التالية:
- هوية المقاول.
  - رقم الرقيفة الحساسة.
  - نوع ورقم آلة التصوير ونوع ورقم العدسة وبعدها الجوى.
  - نوع ورقم مرشدة الضوء.
  - رقم (او ارقام) الطاقم (او الطواقم) او رقم (او ارقام) وحدة (او وحدات) الكاسيت وحامل الكاسيت.
  - نوع الرقيفة الحساسة ورقم المصنع للمحلول.
  - فتحة العدسة وسرعة الحاجب SHUTTER SPEED (اي فترة التعرض للضوء).
  - رقم المسار واتجاه الطيران.
  - سنة (او سنين) وشهر (او اشهر) ويوم (او ايام) مدة التصوير.
  - نوع الطائرة وهويتها.
  - اسم مرشد الطائرة (او المرشدين) واسم الملاح والمصور.
  - وقت الابتداء والانتهاى لكل شريط بالتوقيت المحلى.
  - ارقام الصور المتوفرة لكامل عملية التصوير.
  - الارتفاع المحتسب فوق (MSL) (الارتفاع الحقيقي).
  - المقياس العام للتصوير.
  - الظروف الجوية: نوع الغيم ودرجة الضباب.
  - درجة الاضطراب TURBULANCE الجوى.
  - تاريخ الظهير.
  - طريقة الظهير.
  - المظهر المستخدم والتخفيف.
  - زمن ودرجة حرارة عملية الظهير او سرعة نقل الرقيفة الحساسة.
  - طول الرقيفة الحساسة المظهرة.
  - ملاحظات عامة عن النوعية.

5-6 وشاق اخرن وكما هو هو مشيت ادناه:

\*\*\*\*\*

### 3-11 تطبيقات المسح التصويري في الاعمال الهندسية

لإضافة الى الاستخدامات المتعددة للمسح التصويري في اعمال الهندسة المدنية فإنه يستخدم بشكل واسع في علوم الغابات وفي تخطيط المدن والهندسة المعمارية

وحتي في الطب وطلب الاسنان، وسوف يتم البحث هنا في تطبيقات الهندسة المدنية الشائعة فقط.

### (1) لاختيار افضل المسارات لطرق المواصلات السريعة

في المملكة المتحدة المغطاة بالخراط بشكل جيد ، يمكن تمثيل المساحة المطلوبة لخط طريق جديد الى حزمة صغيرة نسبيا . فتفسير التصوير الجوي يعيد كأداة فعالة جدا في هذا الفرار المبكر. حيث ان فهم ازواج الصور التجسيمية يمكن ان يعطي مقدارا كبيرا من المعلومات الى العين المدربة كجيولوجيا الموقع وانواع التربة الرئيسية وانقطاع استمرارية طبقات او عرق الارض ومناطق انزلاق التربة والمناطق التي تؤدي الى المشاكل في تصريف مياه المجاري وتمييز مواقع الدفن (اخذ التربة) ومواقع المقالع والمواريث الرئيسية والاراضي غالية الثمن وفضل الميول ... والخ.

يتم بعدها توجيه مقاطع الصور الزاجية DIAPPOSITIVES في راسمات تجسيمية STEREO PLOTTERS مثبت فيها آلة ترقيم دائرية مثبتة الى لولب مسك القلم ، حيث يقوم المشغل بمراقبة النموذج التجسمي والنقطة الماشية للحصول على إحداثيات الماكينة الـ x والـ y والـ z للموقع. وتظهر هذه القيم كسجل ثابت على آلة كاتبة كهربائية إضافة الى ثقبها على كارت او شريط. من ثم يقوم الكمبيوتر بتحويل إحداثيات الماكينة هذه الى إحداثيات أرضية بمقياس كامل FULL SCALE من خلال مقارنتها بنقاط ضبط أرضي معينة يكون قد جهز بها. وبذلك يكون الكمبيوتر الان قد خزن في ذاكرته نموذجا رياضيا MATHEMATICAL MODEL للارض يطلق عليه عموما 'النموذج الرقمي للموقع' DIGITAL TERRAIN MODEL. ويقوم المهندس الان بتجهيز الكمبيوتر بمعاليم معينة كإحداثيات الطريق والميول المحددة والطول منحنيات الانتقال الشاقولية والافقية وقوالب نموذجية للمقاطع العرضية. ومن هذه المعلومات يقوم الكمبيوتر باختيار افضل المسالك (الطرق) وتجهيز الكميات الترابية ورسم المقاطع العرضية والطولية باستقامة خط الوسط للطريق المقترح ، كما ينتج مخططات نقل التربة-MASS HAUL DIA-GRAMS. ويمكن الان إجراء تمسينات اكثر من هذه المعلومات وبذلك مساعدة الكمبيوتر لاعطاء الكميات النهائية (بعد اخذ ظاهرتي الانفتاح BULKING والرمز COMPACTION بنظر الاعتبار) بضمنها التمييز بين الانواع المختلفة من المواد والكميات في قسط التربة الفوقية وفرشها RESREADING والزراعة SEEDING. ويتم تجهيز الخراط النهائية والمقاطع الطولية والعرضية مع كافة المعلومات اللازمة للانشاء. حتى ان الاشكال المنظورية للطريق المقترح يتم تجهيزها على فترات منتظمة بحيث إذا عرضت على الشاشة بسرعة خاطفة تعطى لطباع السبر على الطريق المقترح.

## (2) هندسة المرور

يمكن استخدام الصور في دراسات الاستخدامات الأرضية للمساعدة في تقدير وتوقع الاشكال المرورية. فيمكن بعملية التصوير التي تجرى على فترات متعاقبة منتظمة لمسار مروري معين ان تعطي معلومات كالسرعة والكثافة وتركيز المركبة المرورية (لإزدحام المرور) لفترات مختارة من الوقت والفترة الزمنية اللازمة لقطع المسار والانتاجية النسبية لأجزاء مختلفة منه.

وتسمى هذه التقنية "تقنية العد من السماء-SKY COUNT TECHNIQUE"، ولو ان عملية عد السيارات الممل من على الصور قد زال باستخدام العدادات الالكترونية القادرة على تحسب العربات في اعمال التصوير بالاشعة تحت الحمراء.

يمكن مساعدة الادارة المرورية، والتي تهدف عموما الى تحسين الانسياب المروري، بالصور الجوية بأكثر من طريقة واحدة، حيث ان هذه الصور تعمل على فحصا بصريا لمساحة كبيرة بلمحة بصر وبممكن ان تؤخذ هذه الصور لتشير الى ذروة السريان والسريان المروري الاعتيادي، كذلك تشير الى الطرق الاعتيادية والمزدحمة كما تشير الى الشوارع غير المستغلة والتي خوام مواقف السيارات ودراسات تقاطعات الطرق وتأثير النقل العام على السريان المروري.. والخ. كما يمكن ان تستخدم ايضا لانتاج خرائط كينورية خاصة بالكثافة المرورية-TRAFFIC DENSITY TY CONTOUR MAPS ولتوفير مصدر ثابت لتخطيط الطرق والشوارع ومواقف السيارات.

## (3) التحسس النائي

إن التحسس النائي هو أحدث تطوير في مجال التصوير الجوي، مع هذا فإن كافة الصور الجوية هي بالحقيقة نماذجاً للتحسس النائي في ان بإمكانها ان تتحسس طبيعة الجسم بدون لمسه.

إن كل الصور تظهر التفاصيل من خلال مقارنة الضوء المنعكس من الاجسام المختلفة حيث يتكون هذا الضوء من طاقة الكترومغناطيسية باطوال موجات تتراوح بين 0.4 و 0.7 مايكرومتر. أما الطاقة التي تكون طول موجتها اقل من 0.4 مايكرومتر فتسمى "فوق البنفسجية-ULTRA VIOLET" والتي أكثر من 0.7 مايكرومتر تسمى "تحت الحمراء-INFRA RED". وبإمكان آلة التصوير تسجيل الطاقة التي تتراوح طول موجتها بين 0.3 و 1.2 مايكرومتر، ولكن الأمر يتطلب استخدام معدات خاصة لقياس الطاقة الأعلى من ذلك.

في التصوير الملون، يكون كل لون مستقل دالة للضوء المنعكس من الاجسام والذي هو بدوره دالة لخواص امتصاص وانعكاس الطاقة. وهكذا، لما كان للون الأزرق مزايا لانعكاس تختلف عن اللون الأحمر فإنه يكون من

الممكن التمييز بينهما ، ومع ذلك ، فبتحسس الطيف تحت الحمراء يمكن التمييز بين الأجسام المختلفة التي لها نفس اللون وذلك بسبب خواص انعكاس الطاقة المتغيرة . ولهذه الظاهرة تأثير واضح جدا في مجال علوم البيئة ، حيث تظهر الخضراوات المزدهرة والمريضة باللون مختلفة على الرقائق الحساسة الملونة للأشعة تحت الحمراء (لون كاذب) حتى لو تظهر متشابهة بالنسبة للعين البشرية .

ولتسجيل الطاقة التي هي بين الكزمة 1 و 20 مايكرومتر تستخدم معدات تحسس حرارية للأشعة تحت الحمراء ، حيث تقوم هذه الأجهزة بتسجيل التغيرات بالطاقة الناتجة عن التغيرات بدرجة الحرارة ، حيث يجري تحسس الموقع من الجو شريط فشرير ومن ثم تبني الصورة الحرارية ، والمثال النموذجي لاستخدامها هو في مجال تلوث الانهار حيث تسجل درجات حرارة المواد الملوثة كالألوان تتدرج بين الابيض والاسود ، وبالربط بمناشئ هذه المواد الملوثة يمكن إجراء تحليل أكثر تفصيلا للنهر ، ويمكن إجراء هذا النوع من التحسس نهارا او ليلا، لكنه لا يتمكن من اختراق ظروف الضباب الجوية ، ومن الاستخدامات الاخرى لهذه التقنية تحسس انواع التربة والصخور وتقدير المحتوى الرطوبي WATER CONTENT للتربة المختلفة .

باستخدام رادار ذي تحسس جانبي محمول جوا يمكن بناء صور للموقع لمساحة عريضة بعملية تحسس واحدة ، وحيث ان الرادار يعمل بمجال طيفي بين 0,5 ملم و 1 متر ، فهو يمكن ان يستخدم نهارا او ليلا تحت اي نوع من انواع الظروف الجوية ، ويتم تجميع تفاصيل الاشباح على اساس الفروقات بالزمن بين الموجات الالكترومغناطيسية المنعكسة . فمثلا يكون زمن الانتقال من تحت الطائرة مباشرة اقل مما هو في حافة خط التحسس ، ويتم تحويل هذه الفروقات بالزمن الى سمات لاشارات فيديو تسقط اشباحا على خط واحد من الأنبوبة اشعة كاثود ، وهذه الطريقة تبني صورة الموقع بشكل مماثل لصورة جهاز التلفزيون الحالية .

وهكذا ، باستخدام هذه المعدات يمكن التشغيل تحت اية ظروف جوية ليلا او نهارا ، وتبقي هذه الاجهزة تميز بين اي نوع من التفاصيل التي تمتلك خواص انعكاس مختلفة ، فالتطبيقات الممكنة لهذه التقنيات في الاعمال الهندسية هي لذن متنوعة .

### امثلة محلولة

مثال 1-3 : المطلوب اعداد خرائط من صور جوية لمساحة مستطيلة بالابعاد 50 كم x 100 كم . حيث ان حجم الرقبة الحساسة لالة التصوير 230 ملم x 230 ملم والبيد الجوزي 152 ملم ، فلذا كان الطيران فوق الموقع بمعدل ارتفاع مقداره 3040 متر والتداخل الامامي (60%) والتداخل الجانبي (30%) ، اوجد :  
(A) عدد الصور المطلوبة لتغطية هذه المساحة ، بلضافة

صورتين التي كل نهاية شريط لضمان التغطية.  
(B) الفترة الزمنية بين لقطتين متعاقبتين إذا كانت  
السرعة الأرضية تساوي 130 كم/ساعة.  
(C) مقدار تشوه الصورة غلق مفدارها 1 إلى 300  
من الثانية لحاجب العدسة، (بوليتكنيك كنكزتون)

### الحل

(A) مقياس التصوير  $(f/H)$  :  $=152/3\ 040\ 000=1/20\ 000$   
طول الموقع بهذا المقياس :  $=100\ 000/20\ 000=5M=5000MM$   
التغطية الفعلية لكل صورة تساوي (40%) من 230 ملم  
وتساوي 92 ملم.  
إذن عدد الصور لكل شريط :  $=5000/92=54.3 \approx 55$   
إذن عدد الصور المطلوبة :  $=55 + 4 = 59$   
عرض الموقع بهذا المقياس يساوي نصف طوله :  $=2500\ MM$   
والتغطية الفعلية لكل شريط تساوي (70%) من 230 ملم  
وتساوي 161 ملم.  
إذن عدد الشرائط بساوي :  $=2500/161=15.5 \approx 16$   
إذن العدد الكلي للصور :  $=16 \times 59 = 944$

(B) تؤخذ صورة جديدة لكل (40%) من التغطية الأرضية  
لكل صورة، وهكذا فإن 92 ملم تعادل  $(92 \times 20000MM=1840M)$   
على الأرض، وهكذا يكون الطول بالحقيقة هو القاعدة  
الجوية B.  
السرعة الأرضية :  $=130\ KM/H = 36\ M/S$   
إذن الفترة الزمنية بين كل لقطتين متتاليتين تساوي :  
 $=1840/36 = 51.1\ S$   
(C) الأرض المغطاة خلال فترة  $(1/300)$  ثانية تساوي :  
 $=36000/300 = 120\ MM$   
إذن مقدار تشوه الشبح على الصورة يساوي :  
 $=120/20\ 000 = 0.006\ MM$

مثال 2-3: عرّف التعبيرين :- نقطة الشاقول والمركز  
المشترك فيما له علاقة بالمسح التصويري. اشرح بأن  
الزاوية المقابلة لأي نقطتين عند المركز المشترك  
للصورة تساوي الزاوية المقابلة لها على الأرض.

أخذت صورة بالة تصوير ذات بعد بؤري 254 ملم  
وكانت تميل بمقدار  $(7^\circ)$ . أوجد المسافات بالمليمترات  
من النقطة الرئيسية (PP) في الصورة إلى نقطة الشاقول  
والنقطة المركز المشترك.

### الحل

لإجابة الجزء الأول من السؤال، انظر <الفقرتين 1-2-3 و  
2-3-6>. راجع <الشكل 3-3>.  
المسافة من النقطة الرئيسية إلى نقطة الشاقول تساوي :  
 $=p = f \tan \theta = 254 \tan 7^\circ = 31.19\ MM$   
المسافة من النقطة الرئيسية إلى المركز المشترك تساوي :  
 $=p' = f \tan (\theta/2) = 15.54\ MM$

مثال 3-3: لإثبت بأن العلاقة بين الزاوية  $\alpha$  على الصورة المحصورة بين أي خط يمر بالنقطة الرئيسية والنقطة الذي يمثل أعلى ميل - والزاوية  $\theta$  المقابلة لها على الأرض هي:  $\tan \beta = \tan \alpha \cos \theta$  حيث أن  $\theta$  هي زاوية ميل آلة التصوير.

المقادير التالية هي إحداثيات الصورة المأخوذة بآلة تصوير ذات بعد بؤري مقداره 250 ملم لنقطة الشاقول  $v$  وللشبحين  $a$  و  $b$  للنقطتين الأرضيتين  $A$  و  $B$ .

النقطة	$x$ ملم	$y$ ملم
$v$	- 27.8	13.0
$a$	- 8.0	57.2
$b$	96.1	20.4

ماذا ستكون قيمة الزاوية الأفقية المقابلة لـ  $A$  و  $B$  عند النقطة الرئيسية الأرضية ؟

الحل

لإجابة الجزء الأول من السؤال أنظر <الفقرة 3-2-6> (المعادلة 9-3).

يجب التذكر دائماً بأن إحداثيات الصورة تقاس من محوري الاسناد بنقطة  $P$  كنقطة أصل <شكل 3-42>.

$$Pv = f \tan \theta = (27.8^2 + 13.0^2)^{1/2} = 30.7 \text{ mm} \quad \text{تساوي:}$$

$$\therefore 250 \tan \theta = 30.7$$

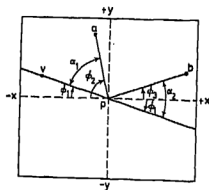
$$\therefore \theta = 7^\circ 00'$$

من <الشكل 3-42> :

$$\phi_1 = \tan^{-1} 13/27.8 = 25^\circ 04'$$

$$\phi_2 = \tan^{-1} 57.2/8.0 = 82^\circ 02'$$

$$\therefore \alpha_1 = \phi_2 - \phi_1 = 56^\circ 58'$$



شكل 3-42

ويتم الحصول الآن على الزاوية المقابلة على الأرض من:

$$\tan \beta_1 = \tan \alpha_1 \cos \theta = \tan 56^\circ 58' \cos 7^\circ \quad \therefore \beta_1 = 56^\circ 46'$$

$$\phi_3 = \tan^{-1} 20.4/96.1 = 12^\circ 00' \therefore \alpha_2 = \phi_3 + \phi_1 = 37^\circ 04'$$

كذلك :

ولكن :  $\tan \beta_2 = \tan \alpha_2 \cos \theta$   $\therefore \beta_2 = 36^\circ 52'$

لإذن الزاوية (APB) على الأرض تساوي :  $180^\circ - (\beta_1 + \beta_2) = 86^\circ 22'$

مثال 3-4: من مرسوم الخطوط القطرية، وجد بأن المسافة بين النقطتين الرغسيتين الأرضيتين لصورتين جويتين متتاليتين تساوي 654 متر، وكانت آلة التصوير ذات البعد البؤري 254 ملم شاقولية في كل صورة، كما كانت الطائرة قد حافظت على طيران مستوي. فلذا كان الاختلاف النظمي لنقطة A يساوي 93.60 ملم، أوجد ارتفاع الطائرة فوق A، أيضا أوجد منسوبي النقطتين B و C اللتين فرق الاختلاف نظريهما عن A يساوي (+0.36) ملم و (-0.20) ملم على التوالي، علما بأن منسوب نقطة A هو 29.96 متر فوق مستوى الاسناد المساحي. (جامعة لندن)

الحل

هذا السؤال موضح في الشكل 3-31  
من المثلثين المتشابهين  $(L_1 AL_2)$  و  $(L_1 \alpha_1 \alpha'_2)$  :

$$(H - h_A) = \frac{Bf}{P_A} = \frac{654 \times 254}{93.6} = 1775 \text{ m}$$

الذي يمثل ارتفاع الطائرة فوق A.  
لأن (المعادلة 3-19) تعبر نفسها إلى هذا السؤال بالذات بشكل مثالي.

$$\Delta h_{AB} = \frac{(H - h_A) \Delta P_{AB}}{P_A + \Delta P_{AB}} = \frac{1775 \times 0.36}{93.6 + 0.36} = 6.80 \text{ m.}$$

لإذن منسوب B يساوي:  
كذلك:  $= 29.96 + 6.80 = 36.76 \text{ M (فوق مستوى الاسناد المساحي)}$

$$\Delta h_{AC} = \frac{(H - h_A) \Delta P_{AC}}{P_A + \Delta P_{AC}} = \frac{1775 \times (-0.20)}{93.6 - 0.20} = -3.80 \text{ m}$$

لإذن منسوب C يساوي:  
(فوق مستوى الاسناد المساحي)  $= 29.96 - 3.80 = 26.16 \text{ M}$

مثال 3-5: لإشرح ماذا يقصد بمعنى لاختلاف النظم PARALLAX فيما له علاقة بالصورة الجوية، كيف يمكنك قياس اختلاف نظر نقطة تظهر على كلتا صورتين متداخلتين إذا كانت عدتك الوحيدة هي مسطرة مقسمة إلى ملليمترات؟

هناك النقطتان A و B تظهران في منطقة تداخل صورتين جويتين شاقوليتين مأخوذتين من ارتفاع مقداره 2500 م فوق (MSL) بالة تصوير ذات بعد بؤري مقداره 152 ملم، حيث أن نقطة A تمثل وسط جسر في الوادي بينما B تمثل نقطة على معبر ضمن سلسلة من التلال، ولأجل تقدير قيمة الفرق بالارتفاع بين هاتين النقطتين فقد أخذت قياسات لخصب اختلاف النظر وكما يلي:

النقطة A: متوسط القراءة 11.43 ملم  
النقطة B: متوسط القراءة 5.90 ملم

إن متوسط منسوب الوادى الذى يحوى النقطتين الرئيسيتين يساوى 82 م فوق مستوى الاسناد المساحى ، بينما منسوب راقم التسوية (BM) على الجسر بالقرب من النقطة A يساوى 74.55 م فوق مستوى الاسناد المساحى.

فلذا كانت قاعدتا الصورتين المذكورتين 89.1 ملم و 91.4 ملم على التوالي، اوجد ارتفاع النقطة B فوق A. (جوليتكنيك كنكرتون)

الحل

راجع (الفقرة 3-7-2) لاجابة على الجزء الاول من السؤال. لما كان منسوب النقطة A معلوم بدرجة ضبط كافية، يمكن احتساب اختلاف النظر لها من (المعادلة 3-18).

$$P_A = \frac{bH_o}{H - h_A}$$

$$b = \frac{b_1 + b_2}{2} = \frac{89.1 + 91.4}{2} = 90.25 \text{ mm} \quad \text{حيث ان :}$$

$$H_o = 2500 - 82 = 2418 \text{ m} \quad H = 2500 \text{ m} \quad h_A = 74.55 \text{ m}$$

$$\therefore P_A = \frac{90.25 \times 2418}{2500 - 74.55} = 89.97 \text{ mm}$$

$$P_B = P_A + \Delta P_{AB}$$

حيث ان  $(\Delta P_{AB})$  هو الفرق باختلاف النظر ويساوى:  
 $= 11.43 - 5.90 = 5.53 \text{ MM}$

وهذا "يضاف" لان B هى بديهيا اعلى من A.  
 $\therefore P_B = 89.97 + 5.53 = 95.50 \text{ MM}$

ولكن لما كانت  $[P_B = (bH_o / (H - h_B))]$  ، عليه :  
 $h_B = 214.9 \text{ M}$  (فوق مستوى الاسناد المساحى)  
لذن ارتفاع B فوق A يساوى:  $214.9 - 74.55 = 140.4 \text{ M}$

مثال 3-6: عندما تقوم طائفة باخذ صورتين شاقوليتين متتاليتين خلال طيران مستوى يكون ارتفاعها فوق المحطة الارضية A مساويا  $H_A$ . واختلاف النظر لـ A على الصورة هو  $P_A$  واختلاف نظر النقطة الارضية B على ارتفاع  $h$  فوق A يساوى  $(P_A + \Delta P)$ . لثبت بانه يمكن الحصول على ارتفاع B فوق A من المعادلة:

$$h = H_A \frac{\Delta P}{P_A} \left( 1 - \frac{\Delta P}{P_A} \right)$$

لن لاختلاف النظر فى زوج من الصور الجوية الشاقولية للنقطة A ذات الارتفاع المعلوم 112.82 م فوق (MSL) يساوى 91.4 ملم. كما ان تغيرى اختلاف النظر للنقطتين P و Q يساويان (1.25 MM) و (0.87 MM) على التوالي. اوجد ارتفاعى P و Q فوق (MSL) لذا كان البعد الجوى لالة التصوير 254 ملم والقاعدة الجوية 722 م.

فلذا كانت الارض كلها بنفس مستوى A ، ماذا ستكون النسبة المئوية لتداخل الصور ذات الحجم (230MM × 230MM) ؟ (جامعة لندن)

الحل

بالرجوع الى الشكل 3-31 وبقدر  $H_A$  كارتفاع للمراقبة فوق A ، فلن :  $P_A = f B / H_A$  فوق B ، لما كانت B ترتفع بمقدار h فوق A فلن :  $P_B = \frac{fB}{H_A - h} = (P_A + \Delta P)$

ولكن :

$$H_A - (H_A - h) = \frac{fB}{P_A} - \frac{fB}{P_A + \Delta P}$$

$$\therefore h = \frac{fB}{P_A} \left( 1 - \frac{P_A}{P_A + \Delta P} \right) = H_A \left( \frac{P_A + \Delta P - P_A}{P_A + \Delta P} \right)$$

$$= H_A \left( \frac{\Delta P}{P_A + \Delta P} \right) = H_A \frac{\Delta P}{P_A} \left( \frac{P_A}{P_A + \Delta P} \right)$$

$$= H_A \frac{\Delta P}{P_A} \left( \frac{1}{1 + \frac{\Delta P}{P_A}} \right) = H_A \frac{\Delta P}{P_A} \left( 1 + \frac{\Delta P}{P_A} \right)^{-1}$$

والتي إذا فتحت الى اول حد فقط تعطى:

$$h = H_A \frac{\Delta P}{P_A} \left( 1 - \frac{\Delta P}{P_A} \right)$$

ومن العلاقة ( $P_A = f B / H_A$ ) ينتج:

$$H_A = \frac{fB}{P_A} = \frac{254 \times 722}{91.4} = 2006 \text{ m}$$

$$h_p = H_A \frac{\Delta P}{P_A} \left( 1 - \frac{\Delta P}{P_A} \right) \quad ; \quad (h_p \text{ يساوي } h_p)$$

$$= 2006 \left( \frac{-1.25}{91.4} \right) \left( 1 + \frac{1.25}{91.4} \right)$$

$$= -28.48 \text{ m}$$

$$= 112.82 - 28.48 = 84.34 \text{ M} \quad ; \quad \text{اي ان P هي اعلى من A .}$$

لذن ارتفاع P تحت A يساوي ( $h_p$ ) : (MSL) فوق

وبنفس الطريقة:

$$h_q = 2006 \times \left( \frac{0.87}{91.4} \right) \left( 1 - \frac{0.87}{91.4} \right) = 19.86 \text{ m}$$

$$= 112.82 + 19.86 = 132.68 \text{ m} \quad ; \quad \text{لذن ارتفاع Q فوق (MSL) :}$$

المطلوب في البداية ايجاد طول الارض المغطاة بصور ذات حجم (230MM × 230MM) .

المقياس يساوي:  
(الشكل 3-4)  $\frac{f}{H_A}$  (المقياس)  
(الأبعاد المقابلة على الأرض) / (أبعاد الرقعة الحساسة)  
 $G = 1817 \text{ M}$  ،  $r = 230/G = 254/2006$

القاعدة الجوية تساوي 722 متر والتي أيضا هي "التغطية الفعلية" EFFECTIVE COVER - انظر (المثال 3-1).

لأن التغطية الفعلية:  $40\% = (100\% / 1817) \times 722$   
لأن التداخل OVERLAP يساوي (60%).

مثال 3-7: عرف بوضوح ماذا يقصد باختلاف النظر في زوج من الصور الزوجية الشاقولية المتداخلة، الجدول التالي يعطي قراءات لفضيب اختلاف النظر لعدة نقاط في منطقة التداخل التجسيمي STEREPSOMIC OVERLAP لزوج من الصور.

ملاحظات	متوسط قراءات	نظام
	الفضيب (مم)	الصورة
a	6.58	
b	11.31	
p <sub>1</sub>	5.98	
c	2.62	
		(PP) للصورة 1

إذا كان طول قاعدة في الصورة في المورتين 1 و 2 يساويان 88.30 ملم و 84.28 ملم على التوالي، فبدون استخدام أية معطيات أخرى، احسب اختلاف النظر للنقطتين أعلاه.

ثم اوجد مناسب النقاط A و B و C لإذا أعطيت المعطيات التالية: البعد الجوّري للعدسة ( $f=150\text{MM}$ ) وارتفاع الطيران فوق الأسناد ( $H=500\text{M}$ ) ومتوسط منسوب الأرض ( $h=224.68\text{M}$ ) علماً بأن فضيب اختلاف النظر المستخدم كان قد أعطى قراءات متزايدة بازدياد المسافة بين النقاط.

(بوليتكنيك كنكزتون)

### الحل

قد تحتاج الجملة الأخيرة في السؤال إلى بعض التفسير، حيث يجب أن يكون واضحاً عند تمحيص (الشكل 3-33) بأنه كلما زادت المسافة بين النقاط ينقص منسوبها، هنالك بعض فضبان اختلاف النظر مقسمة لتعطي قراءات متزايدة بازدياد المسافة بين النقاط (فضبان كلاوسر CLAUSER BARS)، وهكذا تشير الزيادة في القراءة إلى انخفاض المنسوب وهكذا نقصان في اختلاف النظر. لأن الفضيب الأمريكي أو المباشر يعطي قراءات نهائية REDUCED READINGS بازدياد المسافة بين النقاط، وهكذا يشير النقصان بالقراءة على هذا النوع من الفضيب إلى انخفاض بالمنسوب.

بشير (الشكل 3-34) إلى أن اختلاف النظر  $p_1$  يساوي  $p_2$  ، حيث أن  $p_1$  و  $p_2$  هما قاعدتا الصورتين واختلاف النظر  $p_1$  يساوي  $p_2$  ،

على التوالي.  
لذن لاختلاف النظر  $P_1$  يساوي 84.28 ملم.

$$\begin{aligned}\Delta P_{p_1} &= (5.98 - 6.85) = -0.87 \text{ m} & \therefore P_A &= 84.28 - 0.87 = 83.41 \\ \Delta P_{p_2} &= (5.98 - 11.31) = -5.33 \text{ mm} & P_B &= 84.28 - 5.33 = 78.95 \\ \Delta P_{p_3} &= (5.98 - 2.62) = +3.36 \text{ mm} & P_C &= 84.28 + 3.36 = 87.64\end{aligned}$$

يوضح بجلاء من نوع القضيب المستخدم بأن النقطتين A و B هما "أولاً" من  $P_1$  ، وهكذا فإن اختلاف نظريهما يكون أقل ويجب طرح الفرق.

$$b = \frac{b_1 + b_2}{2} = 86.29 \text{ mm}$$

$$P_A = \frac{b(H-h)}{H-h_A} = \frac{86.29(500 - 224.68)}{500 - h_A} = 83.41 \text{ mm} \quad \text{ومن :}$$

$$h_A = 215.17 \text{ m}$$

$$h_B = 199.08 \text{ m} \quad \text{and} \quad h_C = 228.92 \text{ m} \quad \text{وبنفس الطريقة :}$$

مثال 3-8: في زوج من المور الجوية المتداخلة تم قياس الاحداثيات لقمة برج كهرباء كما يلي :

y (ملم)	x (ملم)	قمة البرج (ت)
52.00	82.45	الصورة 1
48.84	- 74.88	الصورة 2

لن نقطة اصل الاحداثيات اعلاه هي النقطة الرئيسية (PP) والمحور متكون من علامتي الاسناد للمورتين، كما ان قائمتي الصورة تصنعان الزاويتين  $80^\circ$  و  $258^\circ$  على التوالي مقاسة باتجاه عقرب الساعة من محور الـ (+y).

ثم اخذت قياسات قضيب اختلاف النظر كما يلي: لقمة البرج كانت 35.63 ملم ولأسفل البرج كانت 41.89 ملم.

فلذا كان البعد الجوّري لعدسة آلة التصوير 152 ملم وارتفاع الطيران 2000 م وقاعدتا الصورة 92.84 ملم و 90.16 ملم على التوالي، وكان متوسط منسوب المنطقة 112 م فوق مستوي الاسناد، اوجد الارتفاع التقريبي للبرج.

الحل

من <الشكل 3-43> :  
الصورة 1/

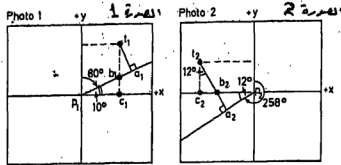
$$\begin{aligned}p_1 b_1 &= p_1 c_1 / \cos 10^\circ = 82.45 / \cos 10^\circ = 83.72 \text{ mm} \\ b_1 c_1 &= p_1 c_1 \tan 10^\circ = 82.45 \tan 10^\circ = 14.54 \text{ mm} \\ \therefore t_1 b_1 &= t_1 c_1 - b_1 c_1 = 52.00 - 14.54 = 37.46 \text{ mm}\end{aligned}$$

ثم :

$$\begin{aligned}b_1 a_1 &= t_1 b_1 \sin 10^\circ = 37.46 \sin 10^\circ = 6.50 \text{ mm} \\ \therefore p_1 a_1 &= p_1 b_1 + b_1 a_1 = 83.72 + 6.50 = 90.22 \text{ mm}\end{aligned}$$

$$\begin{aligned}
 b_2c_2 &= l_2c_2 \tan 12^\circ = 48.84 \tan 12^\circ = 10.39 \text{ mm} \\
 b_2p_2 &= p_2c_2 - b_2c_2 = 74.88 - 10.39 = 64.49 \text{ mm} \\
 a_2p_2 &= b_2p_2 \cos 12^\circ = 64.49 \cos 12^\circ = 63.08 \text{ mm}
 \end{aligned}$$

إذن اختلاف النظر لقمة البرج (P<sub>ج</sub>) = 90.22 + 63.08 = 153.30 MM



شكل 3-43

من قياسات القضيبي:  
 $\Delta P_{t_b} = 41.89 - 35.63 = 6.26 \text{ MM}$   
 إذن اختلاف النظر لاسفل البرج P<sub>ج</sub> = 153.30 - 6.26 = 147.04 MM

من المعادلة الأساسية لاختلاف النظر :  $P_i = b(H - h)/(H - h_i)$

$$\therefore h_i = 2000 - \left[ \frac{91.5(2000 - 112)}{153.3} \right] = 873 \text{ m OD} \quad \langle \text{فوق مستوي الاسناد} \rangle$$

أيضا:

$$h_b = 2000 - \left[ \frac{91.5(2000 - 112)}{147.04} \right] = 825 \text{ m OD} \quad \langle \text{فوق مستوي الاسناد} \rangle$$

إذن ارتفاع البرج يساوي 48 متر.

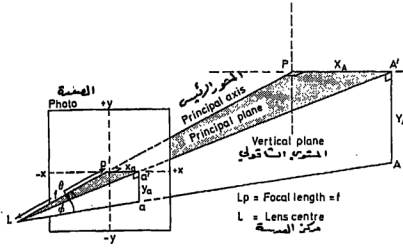
### 12-3 المسح التصويري الأرضي TERRESTRIAL PHOTOGRAMMETRY

لأن هذا النوع من أعمال المسح التصويري تستفيد من الصور المأخوذة من محطات أرضية، ويسمى الجهاز المستخدم في ذلك "مزاواة التصوير PHOTO-THEODOLITE" ويتألف من آلة تصوير دقيقة مركبة على مزواة. لأن المزواة تسمح بإيجاد المحاور الرئيس PRINCIPAL AXIS لآلة التصوير نسبة إلى خط القاعدة BASE LINE.

#### 12-3-1 مبدأ العمل

يتم تركيز آلة التصوير بإعتناء في كل محطة وتوزن بحيث يكون المحور الرئيس لآلة التصوير أفقياً ومستوي الصورة شاقولياً. هموقع النقطة الأرضية على الخارطة يمكن أن يثبت بواسطة الحسابات أو بواسطة الرسم أو من خلال أجهزة خاصة من الصورة الأرضية.

يشير «الشكل 3-44» إلى موقع النقطة في نسبة إلى محوري الاسناد للصورة، فيدعي المحور الأفقي خط الأفق



شكل 3-44

HORIZON LINE بينما يدعى المحور الشاقولي "الخط الرأسي". ويمكن تعريف الزاويتين الأفقية  $\theta$  والشاقولية  $\phi$  كما يلي:  
...<A29-3>

$$\tan \theta = \frac{x_a}{f}$$

$$\tan \phi = \frac{-y_a}{La'}$$

$$\left( = \frac{f}{\cos \theta} \right) \quad \text{و لكن} \quad \left( La' = \frac{x_a}{\sin \theta} \right)$$

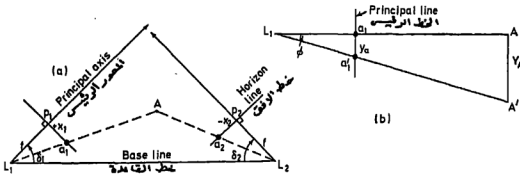
$$\therefore \tan \phi = \frac{-y_a \sin \theta}{x_a} \quad \dots <B29-3>$$

و؛

$$\tan \phi = \frac{-y_a \cos \theta}{f} \quad \dots <C29-3>$$

Method of intersection

3-12-2 طريقة التقاطع



شكل 3-45 (A) منظر أفقي أو رأسي (B) منظر أمامي



من (الشكل 3-45B):

$$y_A/y_e = \frac{L_1 A}{L_1 a_1} = \frac{Z_A}{f} \quad (\text{من الشكل 3-46})$$

$$\therefore y_A = \frac{Z_A y_e}{f} \quad \dots (33-3)$$

لاحظ بأن في المعادلة 3-31:  $P_A = [x_1 - (-x_2)] = (x_1 + x_2)$   
 فلذا كانت A التي يمين  $P_2$  فلن  $P_A$ ؛  
 بينما لـ A كانت التي يسار  $P_1$  فلن  $P_A = (x_2 - x_1)$ ؛

إضافة إلى هذا الحل الحسابي فإنه يمكن توجيه الصور في بعض أجهزة الرسم العالمية الكبيرة (وبلد WILD A7)، وبهذه الطريقة يتم إنتاج الخرائط.

### 3-12-4 التطبيقات

كانت هذه الطريقة قد وجدت أصلاً للمسوحات الطبوغرافية للمناطق الوعرة جداً، وعليه فلها استغلت بشكل واسع في سويسرا. وسوف نقيد الحالات التالية في استخداماتها لتشير إلى تطبيقات الوقت الحاضر:

- (A) مسح السطوح الوعرة الحادة في المقالع ومواقع السدود .. وإلخ. وكانت الطريقة تستخدم لمسح وجه قلعة اندبرة في اسكتلندا بالمملكة المتحدة.
- (B) طريقة القاعدة القصيرة SHORT-BASE METHOD تستخدم لتحضير مخططات حوادث الطرق.
- (C) لقد تم استخدام هاتين الطريقتين سالفتي الذكر في المسوحات الملتوية في الانفاق (جبال سنوي-SNOWY MOUNTAIN MERSY TUNNEL).
- (D) تسجيل التفاصيل المعمارية لإعادة بناء المباني الأثرية.
- (E) وقد تم استخدامها في كثير من المشاريع العلمية التي تتطلب القياس، كما في الصور التجسيمية للأجسام في بلد شديد الحرارة.
- (F) وحتى أنها كانت تستخدم لإنتاج خرائط كنتورية للحيوانات لأغراض التربية الحيوانية.

### أمثلة محلولة

مثال 3-9: لأجل تعيين البعد الجوّري لآلة تصوير، فقد أخذت صورة أرضية من المحطة O للعلامتين P و Q اللتين يظهر شجاهما على الصورة المبطوعة، ولهما الإحداثيات المدرجة في الجدول أدناه، هذا وكانت الزاوية المحصورة بين P و Q عند آلة التصوير  $(32^\circ 50')$ .

بعد ذلك تم تثبيت آلة التصوير في كل من نهايتي خط القاعدة (AB) ذي الطول 350.52 م وأخذت صورتان للعلامة X. وكانت الزاويتان بين المحور البصري لآلة التصوير

وخط القاعدة (64°20') و (48°30') في A و B على التوالي.  
أما لإحداثيات الشبح X على الصورة المطبوعة فهي كما  
مبين أدناه:

المسافة من خط الأفق (ملم)	المسافة من الخط الرئيس (ملم)	الجسم على الصورة	المحطة
	+57.15	P	O
	-27.94	Q	O
+47.75	-23.37	X	A
-19.05	-70.10	X	B

وكان المحور البصري لآلة التصوير أفقياً دائماً وكان  
منسوب النقطة A يساوي 35.78 م، أما ارتفاع آلة  
التصوير في A وفي B فكان 1.30 متر. أوجد منسوب كل من  
B و X ومسافة X من خط القاعدة.  
(جمعية المهندسين المدنيين البريطانية)

الحل

من الشكل A47-3:  $(\alpha + \beta) = 32^\circ 50'$

$$\tan(\alpha + \beta) = \frac{\tan \alpha + \tan \beta}{1 - \tan \alpha \tan \beta} = \frac{(27.94/f) + (57.15/f)}{1 - (27.94/f)(57.15/f)} = \tan 32^\circ 50'$$

$$\therefore \frac{(85.09/f)}{1 - (1596.77/f^2)} = 0.64528$$

$$\therefore 0.64528f^2 - 85.09f - 1030.36 = 0$$

$$\therefore f = 143 \text{ mm}$$

من الشكل B47-3:

$$\theta_A = \tan^{-1}(23.37/143) = 9^\circ 17' \quad \theta_B = \tan^{-1}(70.1/143) = 26^\circ 07'$$

لإذن في المثلث (AXB):

$$\hat{A} = 73^\circ 37' \quad \hat{B} = 22^\circ 23' \quad \hat{X} = 84^\circ 00'$$

$$AX = \frac{AB \sin \hat{B}}{\sin \hat{X}} = 134.21 \text{ m} \quad \text{and} \quad BX = \frac{AB \sin \hat{A}}{\sin \hat{X}} = 338.14 \text{ m}$$

لإذن المسافة العمودية لـ X من (AB) تساوي:  
 $= AX \sin \hat{A} = 128.76$  (متر)

من الشكل C47-3:

$$\tan \phi_A = \frac{y_A \sin \theta_A}{x_A} \quad \dots (34-3)$$

$$\therefore \phi_A = \tan^{-1}(47.75 \sin 9^\circ 17') / 23.37 = 18^\circ 15'$$

$$\therefore XX' = AX \tan \phi_A = 44.24 \text{ (متر)}$$

$= 35.78 + 1.30 = 37.08$  (متر) منسوب المستوي الرئيس:

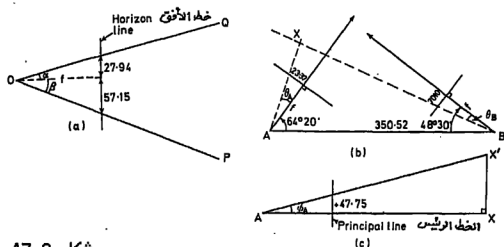
$= 37.08 + 44.24 = 81.32$  (متر) لإذن منسوب النقطة X:

بنفس الطريقة من B

$$\phi = \tan^{-1} (-19.05 \sin 26^\circ 07') / 70.10 = -6^\circ 49'$$

$$\therefore XX' = BX \tan \phi = -40.45 \text{ (متر)}$$

$$\text{وحيث أن منسوب X هو 81.32 م ، فإن منسوب B} \\ = 81.32 + 40.45 = 121.77 \text{ (متر)}$$



شكل 47-3

مثال 3-10: لأجل تعيين مساحة قطعة الارض (PQRS) وضع شاخص متميز في كل من الاركان الاربعة للقطعة وكانت هذه الشواخم الاربعة مركبة بوضوح على الصور الارضية ذات الحجم (230MM x 230MM) المأخوذة للقطعة من كل من نهايتي خط القاعدة ذي الطول 213.36 م. وكان المصور البصري لالة التصوير في كل صورة افقيا كما كان متعامدا مع خط القاعدة. هذا وكان خط القاعدة باتجاه (شرق-غرب)، وكانت القطعة واقعة الى شماله. أما البعد البؤري لالة التصوير فكان 152 ملليمتر.

المعلومات المدرجة ادناه تعطي الاحداثيات X لاشباح الشواخم الاربعة مقاسة من الصورتين:

القطب	الصورة 1 (غرب) الاحداثي مقاس من النقطة الرئيسية (ملليمتر)	الصورة 2 (شرق) الاحداثي مقاس من النقطة الرئيسية (ملليمتر)
P	8.3	-56.0
Q	71.6	14.0
R	106.1	20.7
S	11.0	-74.4

اوجد مساحة القطعة بالامتار المربعة.  
(جمعية المهندسين المدنيين البريطانية)

الحل

من <الفترة 3-12> ، إن <المعادلتين 3-31 و 3-32> هما  
على التوالي :  $X = Z \times / f$  و  $Z = f B / P$

ولإيجاد الاحداثيات الارضية للشواخص :

$$Z = 153 \times 213.36 / (8.3 + 56.0) = 507.68M$$

(شمال محطة القاعدة 1)

$$X = 507.68 \times 8.3 / 153 = 27.51M$$

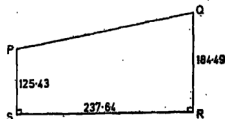
(شرق محطة القاعدة 1)

وبنفس الطريقة :

$$Q = 566.74M \text{ (شمالا) } R = 265.15M \text{ (شرقا) }$$

$$R = 382.25M \text{ (شمالا) } S = 264.15M \text{ (شرقا) }$$

$$S = 382.25M \text{ (شمالا) } T = 27.51M \text{ (شرقا) }$$



شكل 3-48

وهكذا فلن الاحداثيات تمطين شكلا كالذي مبين في < الشكل 3-48 >.

$$\text{إذن المساحة تساوي:} \\ = [(125.43 + 184.49) / 2] \times 237.64 = 36\,825 \text{ (متر مربع)}$$

### لعارين

3-1 لشرح طريقة إنتاج مرئسم ضبط ثانوي من طاقم من الصور الجوية المتداخلة، بفرض ان نقطتين ارضيتين للضبط تظهران في كل من نهايتي المسار (الشرطي)، كيف تستخدم هاتين النقطتين لتعديل مقياس المخطط ؟  
لشرح ايضا كيف تحضر وكيف تستخدم القوالب المخزومة SLOTTED TEMPLATES ، وكيف يتاثر تعديل المقياس في هذه الحالة ؟

3-2 لشرح كيف يتم إنشاء خط القاعدة لزوج من الصور الجوية الشاقولية الذي يكون تشويه الميل فيهما مهما، وكيف يجري تشبيهما في جهاز التجسيم للنظر اليهما، لشرح كيف يمكن إيجاد موقع كنترول معين باستخدام قضيب اختلاف النظر ، واستخرج - ابتداء بالمبادئ الاولى - معادلة اختلاف النظر التي يبنى عليها هذا العمل.  
(جمعية المهندسين المدنيين البريطانية)

3-3 في النية إعداد خارطة لموقع بابعاد 12 كم x 30 كم بمقياس (1/20 000) من خلال عملية تصوير جوي شريطي STRIP PHOTOGRAPHY وذلك باستخدام آلة تصوير ذات عدسة بعدها البؤري 152 ملم معطية صوراً بحجم 230 ملم مربع، وقد افترض بان السرعة التشغيلية للطائرة تساوي 200 كم/ساعة كما كان يجب توفير تداخل طولي للصور بمقدار (60%) وتداخل عرضي بمقدار (25%).

اوجد: (A) معدل الارتفاع الذي يجب ان تطير به الطائرة فوق الارض،

(B) الفترة الزمنية بين التقاط كل صورتين

مختاليتين في اي مسار واحد،  
(C) اقل عدد من الصور المطلوبة. (جامعة لندن)  
[الجواب: (A) 3040 متر (B) 33.1 ثانية (C) 5705 صورة]

3-4 لشرح لماذا تظهر ارتفاعات المباني والاشجار... والرج مضغمة عندما ينظر الى زوج من الصور الجوية الشاقولية  
STEREOSCOPICALLY. تظهر في النقطة الرئيسية  
مدخنة مصنع بارتفاع 122م. تظهر في النقطة الرئيسية  
لصورة جوية شاقولية. وفي الصورة التالية التي اخذت  
بعدها بفترة قصيرة - والتي هي ايضا شاقولية - كانت  
قاعدة المدخنة على محور الـ x وعلى مسافة 83.82 ملم  
الى يسار النقطة الرئيسية. وكل من الصورتين كانت بحجم  
203 ملم x 203 ملم.

فلذا علمت بان ارتفاع طيران الطائرة فوق الارض كان  
792 متر وان البعد الجوي لعدسة التصوير كان 127 ملم.  
او وجد (A) بعد قمة المدخنة من محور الـ y على الصورة  
الثانية و (B) النسبة المئوية للتداخل بين الصورتين.  
(جمعية المهندسين المدنيين البريطانية)  
[الجواب: (A) 91.2 ملم و (B) 58.7%]

3-5 يوضح الجدول التالي قائمة بقراءات قضيب الاختلاف  
النظر على ثلاث نقاط A و B و C.

القراءة	A	B	C
الاولى	6.98	5.56	7.82
الثانية	6.99	5.58	7.84
الثالثة	6.96	5.55	7.79
الرابعة	6.99	5.55	7.83

النقطة A هي نقطة ضبط ارضي ذات منسوب يساوي 184م  
فوق مستوي الاسناد المساحي. وقد اخذت الصور من ارتفاع  
3500م (MSL) باستخدام عدسة ذات بعد بؤري مقداره 150ملم.  
وقد فُيس خطا القاعدة للصورتين فكانا 84.20 ملم و 86.28  
ملم على التوالي، بينما كان متوسط ارتفاع الموقع في  
منطقة التداخل 120م فوق مستوي الاسناد المساحي.

او وجد المنسوب التقريبي للنقطتين B و C. علما بان  
قضيب اختلاف النظر المستخدم كان قد اعطي قراءات  
متناقضة بازدياد المسافة بين اطباق القياس MEASURING  
PLATES. (جوليتكنيك كنزتون)  
[الجواب: 122م ، 216م فوق مستوي الاسناد المساحي]

3-6 لاستخرج تعبيراً لاختلاف نظر نقطة تظهر على زوج من  
الصور الجوية المتداخلة.  
كانت سرعة طائرة مكلفة باعمال مسح جوي 200 كم/ساعة.  
فلذا كان ارتفاع الطيران 2000 متر فوق مستوي الاسناد  
وكانت الصور قد اخذت على فترات زمنية مقدارها 20 ثانية  
باستخدام آلة تصوير ذات بعد بؤري مقداره 254 ملم ،

أوجد طول القاعدة الجوية.  
وهكذا ، أوجد ارتفاع البرج الذي يظهر في صورتين متتاليتين إذا كان الفرق في قياسي اختلاف النظر بين قاعدته وقمته 1.51 ملم. علما بأنه كان قد وجد من أعمال مسح ضبط أرضي بأن منسوب قاعدته يساوي 15.00 متر فوق مستوي الاسناد.  
ماذا كان مقياس الصورتين إذا افترض بأن منسوب الموقع كان بنفس مستوي الاسناد؟ (جوليتكنيك كنكزتون)  
[الجواب: 1111.2 م ، 21 م ، 1 إلى 7874]

3-7 استخدمت مزواة تصوير ذات بعد بؤري 150 ملم لأخذ صورة عند كل من نهايتي خط القاعدة (AB) الذي طوله 250 م. وفي كل من الحالتين كان المحور البصري لآلة التصوير أفقيا وارتفاع الجهاز ثابتا ، وكانت الزاويتان الأفقيتان بين المحور البصري وخط القاعدة كما قيستا في 8 و مساويتان 60° و 48° على التوالي.

كانت الاحداثيات (نسبة إلى النقطة الرئيسية لكل صورة مطبوعة) للنقطتين P و Q اللتين يظهر شعباهما في الصورتين كما مدرجة أدناه:

	لإحداثيات P (ملم)		لإحداثيات Q (ملم)	
	X	Y	X	Y
المصورة في A	-10.8	0	17.6	8.4
المصورة في B	-24.8	-2.0	36.0	لم يقاس

أوجد المسافة الأفقية بين النقطتين P و Q والفرق بالمنسوب بينهما ، كذلك أوجد الفرق بالمنسوب بين A و B. (جمعية المهندسين المدنيين البريطانيين)  
[الجواب: (PQ) يساوي 90.50 م ، 13.46 م ، 3.02 م C]

3-8 ماهي فوائد ومضار استخدام مزواة التصوير في أعمال المساحة؟

أخذت مورتان تجسميتان من نهايتي خط القاعدة (PQ) الذي طوله 60.00 م بآلة تصور التي كان البعد البؤري لعدستها 165 ملم. وهناك نقطة R متميزة بوضوح في كل من الصورتين ، وهي تظهر إلى يمين الشعرة العمودية في كل من الحالتين. وكانت القياسات الأفقية والشافولية ، في الصورة المأخوذة من P ، من الشعرتين المتقاطعتين 45.72 ملم و 6.10 ملم على التوالي ، بينما كانت القياسات المماثلة لها على الصورة الثانية 4.32 ملم و 3.05 ملم على التوالي.

أوجد موقع R على الخارطة. نسبة إلى P و Q ووجد الفرق بالمنسوب لمحور آلة التصوير البصري بين موقعها في P و Q. (جمعية المهندسين المدنيين البريطانيين)

[الجواب: (Z<sub>R</sub> = 239.13M) ووجد X<sub>R</sub> من P يساوي 66.26 م ووجد X<sub>R</sub> من Q يساوي 6.26 متر والفرق بالمنسوب يساوي 4.42 م C]

## علم الفلك الحقل Field astronomy

تستخدم الارصاد الفلكية عموما لاجاد زاوية سمت خط نسبة الى خط الزوال الحقيقي TRUE MERIDIAN ، ولايجاد خط عرض وطول نقطة، وبهذه الطريقة يمكن تعيين مواقع المسوحات وتشخيص اتجاهاتها على سطح الارض ، وتعيين مواقع نقاط الضبط للخراطة ذات المقياس الصغير ، والسيطرة على زاوية السمت في اعمال التضليع ذات المقياس الكبير.

### 1-4 المثلثات الكروية SPHERICAL TRIGONOMETRY

لأجل احتساب الارصاد الفلكية يتطلب الامر استخدام المثلثات الكروية. فالمثلث الكروي يعرف بوضوح اكثر بقرص الارض كرة تامة وبأخذ خطوط على سطحها. ومن المهم ان يفهم بأنه يجب ان تكون كافة الاضلاع الثلاثة للمثلث الكروي اقواسا، أي اجزاء من دوائر عظمى، GREAT CIRCLES، و"الدوائر العظمى" هي تلك الدوائر التي يكون مركزها مركز الكرة الأرضية ونصف قطرها مساويا لنصف قطر الارض، وهكذا يكون خط الاستواء كما تكون كافة دوائر خطوط الطول على سطح الارض دوائر عظمى، بينما تكون كافة خطوط العرض المتوازية الاخرى "دوائر صغرى" SMALL CIRCLES. ففي الشكل 4-1، لذن، يكون المثلث (PAB) كرويا ولكن المثلث (PCD) ليس كرويا. ولما كانت الدوائر العظمى هي دوائر با'كبر نصف قطر قرن اقصر مسافة بين نقطتين على سطح الارض هي قوس من دائرة عظمى يصل بين هاتين النقطتين.

وكما في المثلثات المستوية، فإن للمثلث الكروي ثلاثة اضلاع وثلاث زوايا، والطريقة التي تعرف بها هذه الكميات هي كما يلي - انظر الشكل 4-2:

(A) تقاس الزوايا X و Y و Z عموديا على المستويات المقابلة لها، وليس من الضروري ان يكون مجموعها  $180^\circ$ ،  
(B) تعرف الاضلاع x و y و z بالزوايا التي تقابلها في مركز الكرة. وهكذا يكون "طول" الضلع  $\lambda$  هو الزاوية (XOZ)،

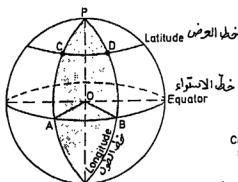
ان معادلات المثلثات الكروية التالية هي كل ما يحتاجه الطالب لحل المسائل الفلكية:

(1) لدا اعطيت ثلاثة اضلاع x و y و z (شكل 4-2) وطلب ايجاد الزوايا، او لدا اعطي ضلعان والزاوية المحصورة وطلب

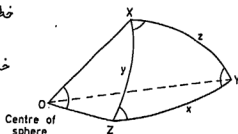
ايجاد بجهة الاضلاع ، استخدم قانون جيب التمام :

$$\cos x = \cos y \cos z + \sin y \sin z \cos X$$

...<1-4>



شكل 1-4



شكل 2-4

(2) إذا أعطيت زاويتان وضلع مقابل ومطلب ايجاد الضلعين الباقيين ، او إذا أعطى ضلعان وزاوية مقابلية ومطلب ايجاد الزاويتين المقابلتين الباقيتين ، استخدم قانون الجيوب :

$$\frac{\sin X}{\sin x} = \frac{\sin Y}{\sin y} = \frac{\sin Z}{\sin z}$$

...<2-4>

(3) إذا أعطيت زاويتان وضلع محصور ومطلب ايجاد ضلع، او إذا أعطى ضلعان والزاوية المحصورة ومطلب ايجاد زاوية، استخدم قانون الاربعة حدود FOUR PARTS RULE :

$$\sin X \cot Y = \sin z \cot y - \cos z \cos X$$

...<3-4>

(4) تستخدم قاعدة نابيير NAPIER'S RULE في حل المثلثات الكروية قائمة الزوايا (شكل 4-3)، فباستثناء الزاوية القائمة ، تعرف الاجزاء الخمسة الباقية بانها الضلعان x و y اللذان يوفيان طرفي الزاوية القائمة والثلثة اجزاء المكملة الباقية.

يتم إدخال الاجزاء الخمسة بتسلسل باتجاه عقرب الساعة في الدائرة (شكل 4-3B). فيمكن الان لاي جزء ان يعرف بأنه "الجزء الوسطى" والجزءان اللذان يقعان الى جانيه "الجزئين المجاورين". ثم الجزءان الباقيان به "الجزئين المقابلين". وعليه فلن قاعدة نابيير يمكن ان تكتب :

$$\sin(\text{الجزء الوسطى}) = (\text{الجزئين المقابلين}) \times (\text{ضرب جيبى تمام الجزئين المجاورين})$$

...<4-4>

$$\text{او ؛ (ضرب ظلي الجزئين المجاورين)} = \sin(\text{الجزء الوسطى})$$

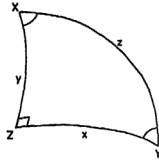
...<5-4>

$$\sin(90^\circ - X) = \cos x \cos(90^\circ - Y) = \cos x \sin Y$$

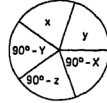
اي ؛

$$\sin(90^\circ - X) = \tan y \tan(90^\circ - z) = \tan y \cot z$$

او ؛



(a)



(b)

شكل 4-3A

شكل 4-3B

يمكن أن تستخدم الشلات معادلات الأولي أيضا أي 4-1 إلى 4-3 لحل المثلث الكروي قائم الزاوية ، ولكن تطبيق قاعدة نابيير هي أبسط، وينفس الطريقة يمكن تجزئة أي مثلث إلى مثلثين قائمي الزاوية ويجري حلها باستخدام قاعدة نابيير، ويمكن أن يؤدي تطبيق هذه المعادلات في حل المثلثات الكروية إلى غوامض ، ومع ذلك عموما تعطى معلومات كافية لتحديد موقع الجسم الفضائي المرصود لتتمكن من حل هذه الغوامض .

سوف يجري الآن توضيح تطبيق المثلثات الكروية على المسائل الهندسية غير الفلكية من خلال الأمثلة المملولة التالية:

### أمثلة محلولة

مثال 4-1: من المقرر وضع قاذبو لغواصة باقصر مسار له من محطة M (خط عرض  $34^{\circ}55'$  جنوبا وخط طول  $56^{\circ}10'$  غربا) إلى محطة أخرى T (خط عرض  $33^{\circ}56'$  جنوبا وخط طول  $18^{\circ}28'$  شرقا)، بفرض أن الأرض هي كرة بحيث أن 31م على سطح الأرض تقابل  $1^{\circ}$  من القوس عند مركزها ، اوجد:

(A) طول القاذبو بالكيلومترات (بلإهمال الفروقات بالمنسوب) (B) الاتجاه الذي يجب أن بشرع فيه قاذب لإرساء القاذبو من M و (C) أقصى خط عرض إلى الجنوب يتم الوصول إليه.

الحل

راجع الشكل 4-4:

طول الضلع (MP):

(خط عرض M مقاسا من القطب)  $t = (90^{\circ} - 34^{\circ}55') = 55^{\circ}05'$

طول الضلع (TP):

(خط عرض T مقاسا من القطب)  $m = (90^{\circ} - 33^{\circ}56') = 56^{\circ}04'$

الزاوية (MPT):

(الفرق بخطوط الطول)  $P = (56^{\circ}10' + 18^{\circ}28') = 74^{\circ}38'$

(A) بواسطة قانون جيب التمام:  $\cos p = \cos t \cos m + \sin t \sin m \cos P$

$$= \cos 55^{\circ}05' \times \cos 56^{\circ}04' + \sin 55^{\circ}05' \times \sin 56^{\circ}05' \times \cos 74^{\circ}38'$$

$$\therefore p = \cos^{-1} 0.49982 = 60^{\circ}00' \text{ or } 300^{\circ}00'$$

$$p = 60^\circ \times 3600 \times 31 \text{ m} = 6696 \text{ km}$$

إذن طول القابلو P :

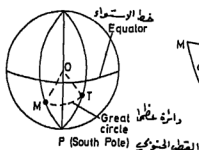
لاحظ جيدا ؛ ينتضخ من الفرق بخطوط الطول بأن  $300^\circ 00'$  لا يمكن أن تكون القيمة المطلوبة.

(B) لإيجاد الزاوية M ، استخدم قانون الجيوب :

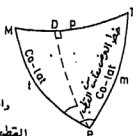
$$\frac{\sin M}{\sin m} = \frac{\sin P}{\sin p} \quad \therefore \sin M = \frac{\sin 56^\circ 04' \times \sin 74^\circ 38'}{\sin 60^\circ 00'}$$

$$\therefore M = \sin^{-1} 0.92379 = 67^\circ 29' \text{ or } 112^\circ 31'$$

إذن فالالاتجاه الذي يجب أن يشرع به هو ( $S67^\circ 29' E$ ). ويمكن حل الغموض أعلاه من حقيقة أن الزوايا الثلاث للمثلث يجب أن تجمع إلى  $180^\circ$  وإذا الزيادة الكروية SPHERICAL EXCESS وأن الزاوية في T ستكون مشابهة إلى تلك الزاوية في M. وحيث أن الزيادة الكروية لا يمكن أن تكون كبيرة فلن الزاوية لا يمكن أن تكون  $112^\circ 31'$ .



شكل A4-4



شكل B4-4



شكل 5-4

(C) في المثلث قائم الزاوية (MDP) ، من الضروري إيجاد الضلع (DP) ، أي أن الزاوية المتكونة في النقطة D الواقعة في أقصى الجنوب هي قائمة. فإدخال المركبات في الشكل 5-4 :

$$\sin DP = \cos(90^\circ - PMD) \cos(90^\circ - I)$$

$$= \sin PMD \sin I = \sin 67^\circ 29' \times \sin 55^\circ 05'$$

$$\therefore DP = \sin^{-1} 0.75748 = 49^\circ 14' \text{ or } 130^\circ 46'$$

أي أن (DP) هو خط عرض D مقاسا من القطب ، أي :  
[خط عرض D =  $90^\circ - 49^\circ 14' = 40^\circ 46'$  وهو يجدها  $49^\circ 14'$  .

لإذن اقصر خط عرض إلى الجنوب هو :  
 $= (90^\circ - 49^\circ 14') S = 40^\circ 46' S$

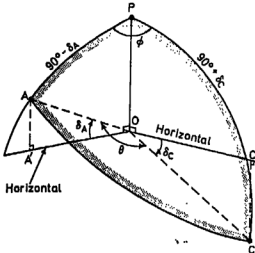
مثال 2-4: للمحطات الثلاث A و O و C المناسب 646.2 متر 457.29 متر و 364.2 متر على التوالي، و السيكستانات يسجل الزاوية (AOC) كـ  $55^\circ 20' 20''$  ، فلذا كانت المسافة من A إلى O هي 405.4 م ومن O إلى C هي 731.5 م مقاسة أفقيا لكليهما. أوجد الفرق بالسمت بين الخطين (OA) و (OC).

قد بتذكر من "المسح الهندسي/الجزء الاول" بأن  
السيكسانت يقيس الزاوية في المستوى (AOC)، أي أن  
 $\theta$  تساوي طول الضلع (AC) في المثلث الكروي (APC) <شكل  
6-4>.

بأخذ كنقطة إسناد يمكن احتساب الزاويتين ( $\delta A$ ) و  
( $\delta C$ )، وهكذا يستخرج طول الضلعين الباقيين (AP) و (PC).  
والزاوية المطلوبة من حل المثلث الكروي هي  $\theta$  وهي  
الزاوية الأفقية بين المستويين (AOP) و (COP)، وهذه  
الزاوية هي التي يجب الحصول عليها بالمزواة. وهكذا:

$$AA' = (646.2 - 457.2) = 189.0 \text{ m} \quad CC' = (457.2 - 364.2) = 93.0 \text{ m}$$

$$\therefore \delta A = \tan^{-1} \left( \frac{189.0}{405.4} \right) = 24^\circ 59' 43'' \quad \delta C = \tan^{-1} \left( \frac{93.0}{731.5} \right) = 7^\circ 14' 44''$$



شكل 6-4

وبواسطة قانون جيب التمام:

$$\begin{aligned} \cos P &= \frac{\cos AC - \cos(90^\circ - \delta A) \cos(90^\circ + \delta C)}{\sin(90^\circ - \delta A) \sin(90^\circ + \delta C)} \\ &= \frac{\cos(55^\circ 20' 20'') - \cos(65^\circ 00' 17'') \cos(97^\circ 14' 44'')}{\sin(65^\circ 00' 17'') \sin(97^\circ 14' 44'')} \end{aligned}$$

$$\therefore \cos P = 0.691813$$

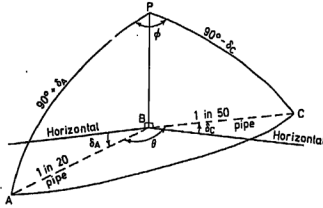
لاحظ جيدا بأن:  $\cos 97^\circ 14' 44'' = -\cos 82^\circ 45' 16''$   
وهكذا تتغير الإشارة في المعادلة أعلاه.

$$\therefore P = 46^\circ 13' 34''$$

والقيمة المحتملة الأخرى لم تقع في الربع الرابع وهي  
طبعا غير مقبولة.

مثال 3-4: المطلوب مد خط الجنوب <شكل 7-4> بين ثلاثة  
أوتاد A و B و C على الأرض، وكان المعروف أن بمد الجنوب  
جميلين صاعدين مقدارهما 1 إلى 20 من A إلى B و 1 إلى 50  
من B إلى C. وقد قيست الزاوية الأفقية (ABC) بجهاز مزواة

فكانت  $45^{\circ}30'30''$  . لحسب الزاوية التي يجب إحناء الانحوب خلالها .  
(جوليتكنيك كنگزتون)



شكل 4-7  
الحل

إن هذا المثل هو في الواقع عكس المثل السابق . ففي هذه الحالة؛ الزاوية الأفقية  $\phi$  هي المعروفة والمطلوب إيجاد الزاوية  $\theta$  .

$$\delta A = \cot^{-1} 20 = 2^{\circ} 51' 45''$$

$$\delta C = \cot^{-1} 50 = 1^{\circ} 08' 45''$$

وبواسطة قانون جيب التمام:

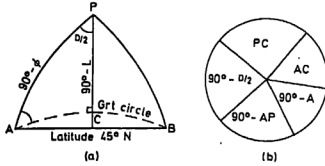
$$\begin{aligned} \cos AC &= \cos AP \cos PC + \sin AP \sin PC \cos P \\ &= \cos(90^{\circ} + \delta A) \cos(90^{\circ} - \delta C) + \sin(90^{\circ} + \delta A) \sin(90^{\circ} - \delta C) \cos \phi \\ &= \cos 92^{\circ} 51' 45'' \times \cos 88^{\circ} 51' 15'' + \sin 92^{\circ} 51' 45'' \times \sin 88^{\circ} 51' 15'' \\ &\quad \times \cos 45^{\circ} 30' 30'' \\ &= -0.000999 + 0.699792 = 0.698793 \end{aligned}$$

$$\therefore (زاوية إحناء الانحوب) = \theta = 44^{\circ} 40' 12'' = (\text{الطلع}(AC))$$

مثال 4-4: إشرح لماذا تبحر السفينة- التي تروم السفر بين مرفأين في البحر - على قوس الدائرة العظمى التي يقع عليها المرفأين.

إذا ابجرت سفينة على الدائرة العظمى التي تصل بين موقعين خط عرض كل منهما  $45^{\circ}$  شمالاً ، بين جان أعلى خط عرضها يمكن أن تصل اليه السفينة خلال إبحارها يعطى من  $(\cot L = \cos(D/2))$  ، حيث أن D هي الفرق بين خطي طول الموقعين.

اوجد اقصر مسافة تقاس على سطح الأرض بين مدينة نيويورك (خط عرض  $40^{\circ} 35'$  شمالاً وخط طول  $74^{\circ} 00'$  غرباً) وكيب تاون (خط عرض  $33^{\circ} 56'$  جنوباً وخط طول  $18^{\circ} 26'$  شرقاً) . علماً بأنه يمكن اعتبار أن نصف قطر الأرض هو 6370 كم. (جامعة لندن)



شكل 8-4

لأن سبب سلوك السفينة قوس الدائرة العظمى التي  
يقطع عليها المرفأين عادة هو أن الدائرة العظمى لها  
أكبر نصف قطر وبذلك فهي أقصر مسافة بين النقطتين.  
فبواسطة قاعدة تاجبير في <الشكل 8-4>:

$$\sin(90^\circ - D/2) = \tan PC \times \tan(90^\circ - AP)$$

$$PC = (90^\circ - L) \text{ and } AP = 45^\circ$$

ولكن :

$$\therefore \cos(D/2) = \tan(90^\circ - L) \tan 45^\circ = \cot L$$

من خطوط العرض والطول المعطاة لكل الموقعين يمكن  
الحصول على ضلعين وزاوية محصورة للمثلث الكروي (APB)  
في <الشكل 9-4> والمطلوب احتساب الضلع (AB).

$$\theta = (74^\circ 00' + 18^\circ 26') = 92^\circ 26'$$

$$AP = (90^\circ - 40^\circ 35') = 49^\circ 25'$$

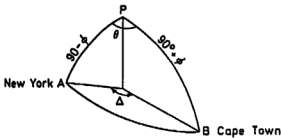
$$BP = (90^\circ - 33^\circ 56') = 123^\circ 56'$$

وبواسطة قانون جيب التمام:

$$\cos AB = \cos 49^\circ 25' \times \cos 123^\circ 56' + \sin 49^\circ 25' \times \sin 123^\circ 56' \times \cos 92^\circ 26'$$

$$\therefore \cos AB = -0.389908$$

$$\therefore AB = -67^\circ 03' 04'' = 112^\circ 56' 56'' = \Delta$$



شكل 9-4

لإذن أقصر مسافة بين مدينتي نيويورك وكيب تاون:  $RA \text{ rad}$

$$\therefore RA = \frac{6370 \times 406616''}{206265} = 12557 \text{ km (كم)}$$

لاحظ بأن زاوية قطريه واحدة (1 RAD) تساوي  $206265^\circ$ .



السماءية في Z ، وهذا هو موقع الراصد على القطب السماءية.

أما إذا مد هذا الخط إلى الأسفل فسوف يقطع القطب السماءية في "النظير NADIR" للراصد ويمكن إهمال هذا التعبير فيما بعد.

#### (4) مستوى الافق HORIZON PLANE (NESW)

لأن هذا المستوى هو عمودي على سمت الراصد (شكل 4-10) مارا بمركز الأرض، وحيث أن حجم الأرض صغير جدا بالنسبة لحجم القطب السماءية ، يمكن إعتبارها كأنها نقطة 0. وهكذا يمكن إعتبار أن افق الراصد هو المستوى الذي تقاس منه الزوايا الشاقولية إلى الاجسام السماءية بواسطة المزاوة.

#### (5) خطوط الطول (الزوال) السماءية CELESTIAL MERIDIANS

تفهم دوائر خطوط الطول السماءية بسهولة أكثر إذا اعتبرت بأنها امتدادات لدوائر خطوط الطول على سطح الأرض، وفي الشكل 4-10 (SZN) يمثل خط الزوال السماوي للراصد ، ويحوي مستوى دائرة خط الزوال السماوي دائما عموديا على مستوى افق الراصد، في حين عندما تمر دائرة خط الزوال السماوي من نجم أو جرم سماوي آخر تدعى عموما "دائرة ميل DECLINATION CIRCLE" النجم.

#### (6) الشاقول الرئيس PRIME VERTICAL

لأن خط الاستواء السماوي يقطع مستوى الافق في نقطتي الجهتين الاصليتين الشرق E والغرب W. فدائرة خط الزوال السماءية المارة بـ (EZW) تسمى "الشاقول الرئيس".

#### (7) العبور TRANSIT او التكدب CULMINATION

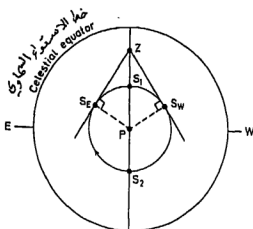
يظهر (الشكل 4-10) اربعة نجوم A و B و C و D تدور من الشرق إلى الغرب حول المحور القطبي، فلذا نظر إلى هذه النجوم من خارج القطب الشمالي السماوي  $P_N$  ستظهر حركة النجوم باتجاه عقرب الساعة ، وستكون هذه الحركة بعكس اتجاه عقرب الساعة عندما ينظر إليها من خارج القطب السماوي الجنوبي  $P_S$ . لأن النجم A الذي يقع على بعد عدة درجات فقط من القطب يقطع دائرة صغيرة تكون بكاملها فوق دائرة خط طول الراصد فهو إذن يشاهد لمدة 24 ساعة باليوم، أما النجمان B و C فلفترة ما من اليوم يغيبان تحت مستوى افق الراصد ، وهما لذن غير منظورين خلال هذه الفترة ، بينما لا يكون النجم D مرئيا بالنسبة للراصد الذي هو في نصف الكرة الشمالي بناتنا. وتسمى النجوم التي هي مثل A والتي لا تغيب ابدا "الفسان او (النجوم القريبة من القطب) CIRCUM-POLAR STARS".

فإذا أخذنا النجم  $B$ ؛ عندما يصل إلى دائرة خط طول الراصد في  $B_1$  يقال بأنه قد "تكد  $CULMINATE$ " (أي وصل إلى أعلى ذروته) أو "عبر  $TRANSIT$ " (هنالك فرق بسيط جدا بين المصطلحين وهذا يمكن إهماله ، ويفضل استخدام المصطلح الثاني "عبر" فيما بعد)، وعندما يعبر النجم دائرة خط الطول من الشرق إلى الغرب -كما في  $B_1$ - يسمى هذا "العبر العلوي  $UPPER TRANSIT$ " وعندما يكون العبر من الغرب إلى الشرق يسمى "العبر السفلي  $LOWER TRANSIT$ " كما في  $B_2$ .

#### (8) الاستطالة ELONGATION

إذا نظر إلى القبة السماوية في الشكل 4-10 من الخارج من خلال القطب فستظهر كما في الشكل 4-11، وسيظهر النجم  $S$  بأنه يتحرك باتجاه عقرب الساعة حول القطب  $P$ ، وعند  $S_w$  فإنه سيمر إلى أكبر مسافة زاوية - $ANGULAR DISTANCE$  من دائرة خط طول الراصد ( $PZ$ )، وفي هذا الموقع يقال بأنه في "استطالة"، وسيكون الراصد في هذه اللحظة من  $Z$  المثلث قائم الزاوية الكروي ( $PZS_w$ ). وعندما يكون النجم في نصف الكرة الغربي يقال بأنه في "استطالة غربية  $WESTERN ELONGATION$ "، وحركته المستمرة حول القطب ستؤدي به إلى أن يكون في "استطالة شرقية  $EASTERN ELONGATION$ " عند  $S_E$ .

عندما يكون النجم في  $S_1$  في نفس جهة الراصد من القطب يكون في عبور علوي. وفي  $S_2$  يكون في عبور سفلي (انظر  $B_1$  و  $B_2$  في الشكل 4-10)، وبالرجوع إلى الشكل 4-14 يمكن رؤية أنه إذا كانت ( $\delta > 0$ ) فإن النجم سيدور حول  $P$  و  $Z$  مما يجعل الحصول على نظرة تماس  $TANGENTIAL SIGHT$  من خلال دائرة حركة النجم أمرا مستحيلا.



شكل 4-11

#### الخلاصة

لأجل الانحياز ، يمكن إشارات ان القبة السماوية تحوي منظومة من خطوط دائرية متوازية ودوائر خطوط طول تشبه

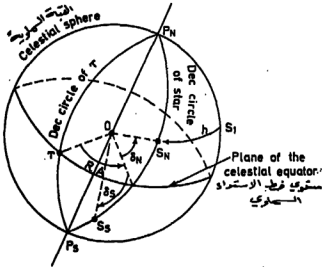
خطوط العرض وخطوط الطول على الأرض تماما . كذلك فإن دوائر الميل للنجوم وسمت الراصد هي مشابهة التي خطوط الطول ، والدوائر الصغيرة التي تدورها النجوم هي مشابهة التي متوازيات خطوط العرض . إن هذه المقاييس مهمة جدا عند دراسة الموقع الأحداثي للنجم .

#### 1-2-4 منظومات الإحداثيات السماوية Celestial co-ordinate systems

##### (1) الميل DECLINATION والمطلع المستقيم RIGHT-ASCENSION

بنفس الطريقة التي يمكن فيها تثبيت موقع على سطح الأرض من خط عرضه وطوله ، هكذا يمكن تعيين موقع نجم على القبة السماوية من ميله  $\delta$  ومطلعه المستقيم (RA).

يمكن الإثبات - من (الشكل 4-12) - أن ميل النجم يقاس من مستوي خط الاستواء السماوي وعلى قوس دائرة خط الطول أو على دائرة ميل النجم موضوع البحث ، فهو مشابه لخط العرض على الأرض ، وهكذا فإن الميول تقاس إلى شمال والى جنوب خط الاستواء . وعليه يكون القوس  $(P_N S_N)$  هو الميل المقاس من القطب CO-DECLINATION للنجم ويساوي  $(90^\circ - \delta_N)$  . فإذا كان الميل  $\delta$  جنوبا فإن الميل المقاس من القطب  $(P_N S_N)$  سيكون مساويا  $(90^\circ + \delta_S)$  . ومن السهل رؤية أن الحالة هي العكس في نصف الكرة الجنوبي.



شكل 4-12

حيث قد تم تثبيت موقع النجم على دائرة الميل فإن موقع الدائرة نفسها يحتاج إلى تثبيت ، وهذا يتم من خلال المطلع المستقيم (RA) وهي الزاوية الأفقية بين دائرة الإسناد REFERENCE CIRCLE ودائرة الميل موضوعة البحث (شكل 4-12) وهو مشابه التي خط الطول على الأرض ، أما النقطة المختارة كنقطة لإسناد

على القطب السماوية فتسمى "نقطة برج الحمل الاول" (1) FIRST POINT OF ARIES وهي نقطة وهمية تماما. أما عند الاعتدالين الربيعي والخريفي فالشمس تكون فوق خط الاستواء مباشرة ، فالخط الواصل بين مركز الأرض ومركز الشمس في هاتين الفترتين سيقطع خط الاستواء في  $0^{\circ}$  والمطلع المستقيم يقاس بالاتجاه المعاكس لحركة النجوم من  $0^{\circ}$  إلى  $360^{\circ}$  أو من 0 ساعة إلى 24 ساعة.

مما يجب ملاحظته هو أنه لا يمكن قياس الميل والمطلع المستقيم من قبل الراصد ، ولكن يمكن الحصول عليهما من أحدث نشرة لـ "التقويم النجمي للمساحين - STAR ALM-ANAC FOR LAND SURVEYORS" من مكتبة (صاحبة الجلالة ملكة بريطانيا) التي تصدر سنويا .

## (2) زاوية الساعة ومنظومة الميل HOUR-ANGLE AND DECLINATION SYSTEM

يتم الحصول على منظومة أخرى من الاحداثيات بتعويض زاوية الساعة (h) للنجم بدلا من المطلع المستقيم (RA) في (1). فزاوية الساعة للنجم هي الزاوية بين دائرة ميل الراصد ودائرة ميل النجم. ففي (الشكل 4-12) ، إذا أخذت  $(P, S, P_0)$  كدائرة ميل الراصد فإن النجم سيعبر في  $S_1$  وستكون h زاوية الساعة 0 درجة أو 0 ساعة ، وعندما يصل النجم  $S_2$  سيكون لـ (h) قيمة ولتكن  $45^{\circ}$  أو 3 ساعة إلى غرب دائرة خط طول الراصد. وهذه تقاس لاعتبارها بوحدات من الزمن إلى شرق أو إلى غرب دائرة خط طول الراصد. فمثلا h التي تساوي 3 ساعة شرقا ستعادل 21 ساعة مقاسة باتجاه حركة النجم. وأن ما يجب ملاحظته بدقة هو أن قياس زاوية الساعة يبدأ من العبور العلوي UPPER TRANSIT وأن العبور العلوي يحدث عندما يكون النجم بنفس جهة القطب كمثل سمت الراصد .

## (3) منظومة الارتفاع والسمت ALTITUDE AND AZIMUTH SYSTEM

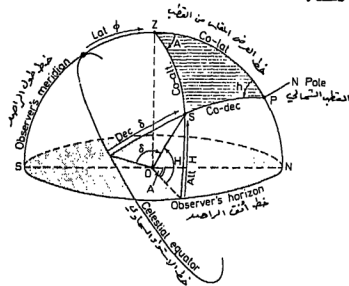
إن المنظومة الأخيرة لتعيين موقع النجم هي منظومة قياس مباشرة لارتفاعه H وسمته A (شكل 4-13). فارتفاع النجم S هو الزاوية الشاقولية H المقاسة من مستوى أفق الراصد باتجاه دائرة انحراف النجم . فالقوس (ZS) هو لذن الارتفاع المقاس من القطب CO-ALTITUDE للنجم ويساوي  $(90^{\circ} - H)$  .

أما سمت النجم فهو الزاوية (PZS) ، وقد يفضل الطالب تخيل أن الراصد في Z وهو ينظر باتجاه الشمال الحقيقي  $P_0$  ، فسيكون سمت هو الاتجاه الزاوي (ZS) ويساوي  $(A^{\circ})$  ، لأن السموت تقاس باتجاه عقرب الساعة من الشمال. أي أن اتجاهها الزاوي الربيعي QUADRANT BEARING هو شمال-شرق. فلو كان النجم في الجهة الثانية من دائرة خط طول الراصد فإن اتجاهه الزاوي الربيعي سيكون شمال - غرب وسمته  $(360^{\circ} - A^{\circ})$  .



الساعة  $h$  هي دائما في  $P$ ، ويمكن لحظات  $S$  هي التي شرق  $(ZP)$  ، وهكذا يكون سمتها التي الشرق من  $(ZP)$  وزاوية ساعتها  $h$  هي التي الشرق من  $(PZ)$  .

يتألف علم الفلك الحقلى - الأساس - من معرفة الأجزاء  
القريبة من المثلث الفلكى ليسمح باحتساب الأجزاء  
لباقية منه.



شکل 4-14

3-4 الوقت في علم الفلك . TIME IN ASTRONOMY

لماذا نقيس ارتفاع نجم فلان هذا الارتفاع يكون ثابتا فقط في لحظة قياسه. ومن هذا ينضج بانته يجب تسجيل هذا الوقت، فيقاس الوقت في المملكة المتحدة بموجب "متوسط وقت كرنج" GREENWICH MEAN TIME (GMT) او كما يسمى الان بـ"الوقت العالمي" (UT) "UNIVERSAL TIME". مع ذلك فحركة النجوم تقاس بـ"الوقت النجمي" (ST) "SIDEREAL TIME". بينما تقاس الشمس الحقيقية بالوقت الظاهري (AT) "APPAR-ENT TIME". وسيتم الحديث في هذه منظومات التوقيت بالتفصيل لمحاولة توضيح هذا الموضوع.

لن استخدام جهاز مذياع RADIO من نوع جيد للاستلام  
دقات توقيت كرنج هو مهم جدا في اعمال الاسدادالكهلية.  
ففي الوقت الذي تكون فيه دقات كرنج مميزة بوضوح في  
المملكة المتحدة ، يجب ان يكون المذياع قادرا على  
استلام اشارات توقيت المذياع المبثثة من المحطات في  
مختلف انحاء العالم بوضوح.

تقوم الساعة الذرية الكوارتز بتسجيل الوقت بدرجة دقة عالية من واحد لـ 10<sup>12</sup> ثانية (أي جزء من 1000 مليار من اليوم)، وعادةً ما تُستخدم لإعطاء الوقت العالمي ومعايير التردد. مع ذلك، فهذه هي دقة التوقيت الذري التي تختلف عن التوقيت العالمي (UT) المبني على دوران الأرض غير

المنتظم قليلا ، لكنه مع ذلك يولف اساسا الارصاد الفلكية. تكون اشارات الوقت المستلمة بالمذيع بموجب التوقيت الذري المصحح تقريبا الى التوقيت العالمي UT بفترات زمنية متوالية مقدارها ثانية كبيسة واحدة تماما. والتصحيح المطبق هو الثانية الاخيرة ليوم الثلاثين من حزيران او الواحد والثلاثين من كانون الاول (ديسمبر) وحسبما هو ملائم. وتسمى اشارة الوقت الناتجة المصححة بـ "التوقيت العالمي الموحد (UTC) CO-ORDINATED TIME UNIVERSAL". والكبر فرق بين الـ (UT) والـ (UTC) سوف لن يزيد على 0.7 ثانية .

لن الفرق المذكور اعلاه بين الـ (UT) والـ (UTC) يدعى بـ (DUT1) وهذا بيث بدليل CODE بسيط بجانب اشارات الوقت ، وباستخدام هذا الدليل يتمكن المساح من الحصول على التوقيت العالمي الى اقرب 0.1 ثانية. وللحصول على درجات ضبط اعلى يجب الرجوع الى [نشرات اعلان الوقت CIRCULARS TIME SERVICE] التي تصدر اسبوعيا عن مرصد كرينج الملكي ROYAL GREENWICH OBSERVATORY حيث يعطى الفرق بالمللي ثانية (اي بالواحد من الالف من الثانية). ويمكن الحصول على معلومات مماثلة من مكتب التوقيت العالمي BUREAU INTERNATIONAL DEL'HEURE (BIH)

فكما اشير اليه اعلاه فلن:  $UT = UTC \pm DUT1$   
حيث اشارة الـ (DUT1) بتاكيد اشارات سبع شواحي متتالية بعد اشارة الدقيقة.

للتصحيح الموجب:  $DUT1 = (n \times 0.1) \text{ SEC}$  ...  $(1 < n < 7)$   
وللتصحيح السالب:  $DUT1 = (m \times 0.1) \text{ SEC}$  ...  $(9 < m < 15)$

اي ان القيمة السالبة بشار اليها بتاكيد الثانية التاسعة الى الثانية الـ  $(8 + m)$ .

اما طريقة التاكيد فتكون بمد او مضاعفة او تجزئة او تغيير نبذة الاشارة. فلذا كانت (DUT1) تساوي مقرا، فسوف لن يكون بالطبع هنالك اشارات مؤكدة للوان . يستخدم بث المملكة المتحدة من منطقة ركبي RUGBY [اشارات (MSF) على تردد 2.5 ميكا هيرتز وطول موجة 120 متر] نبضات مضاعفة تنحصر باول 15 اشارة للشواحي من كل دقيقة وبعد اعلى مقدار 7 في اي وقت . ومما يجب فهمه هو ان منظومة الدلالة CODING SYSTEM اعلاه تنطبق فقط على اشارات الوقت الاساسية وليس على المنظومات الثانوية كالهواتف .

وهكذا عند رصد نجم فلن الراصد يحتاج الى التوقيت العالمي (UT) للحظة عبور النجم شمسرة المزاوة المتقاطعة . وللحصول على ذلك يحتاج الراصد الى ميقت CHRONOMETER ربما من النوع البلوري QUARTZ. فباللحظة التي ينصف الجسم بالشعرة تشغل ساعة التوقيت STOPWATCH ومن ثم يتحرك الراصد الى الميقت. ولحظة اخذ القراءة توقف ساعة التوقيت . وهكذا يكون الوقت بموجب الميقت

في اللحظة التي نصف بها الراصد النجم مساويا :

(الفترة الزمنية المقاسة - (الوقت بموجب الميقت) =  
بساعة التوقيت)

ثم من مدياعه يحصل الراصد على الوقت العالمي  
(  $UT = UTC \pm DUT1$  ) في لحظة البث للمقارنة مع الميقت.  
والى فرق بين الاثنين هو "خطا" الميقت CHRONOMETER ERROR  
الذي يطبق على الوقت المأخوذ من الميقت لتلك الرعدة  
للمحول على الوقت العالمي (UT) المقابل له . اي :

(الفترة الزمنية المقاسة - (الوقت حسب الميقت) = UT  
(خطا الميقت)  $\pm$  (بساعة التوقيت)

وتتيسر مسائل الوقت كثيرا باستخدام مخطط الوقت TIME  
DIAGRAM . فمبدأ تمثيل (الشكل 4-11) بتبين بان تحريك Z  
الى خارج الدائرة لا يغير خط الزوال (PZ) بالى شكل .  
وبنفس الطريقة فإن تحريك النجم  $S_w$  الى المحيط على  
الخط (PSW) . سوف لن يغير اتجاه النجم من P . وهكذا  
يمكن إنشاء مخطط وقت P في المركز والاجسام السماوية  
- بفصلها Y - على المحيط . ويمكن تسمية خطى زوال  
الراصد وكرنج على المحيط ب Z و G على التوالي .

1-3-4 اليوم النجمي Sidereal day

بجدا اليوم النجمي عند اى خط زوال عندما تكون اول  
نقطة لبرج الجمل (♈) في عبورها العلوى هناك ، اى انها  
في الساعة صفر (0h) بموجب الوقت النجمي المحلي (LST)  
LOCAL SIDEREAL TIME . فلذا كان خط الزوال موضوع  
البحت هذا هو كرنج فإن الوقت سيكون الساعة صفر (0h)  
بموجب وقت كرنج النجمي (GST) GREENWICH SIDEREAL TIME .  
والان يتحرك Y باتجاه عقرب الساعة حول خط الاستواء  
(لنصف الكرة الشمالى) راجعا الى العبور العلوى بعد  
فترة 24 ساعة نجمية . وهكذا فإن اليوم النجمي هو  
الفترة بين عبورين متتاليين ل Y .

يشير (الشكل 4-15) الى كيف ان Y يعرف الوقت  
النجمي المحلي نسبة الى خط زوال الراصد (PZ) . وتضاف  
الان دائرة ميل النجم (PS) معرفة بذلك موقع النجم  
والزاوية (ZPS) هي زاوية الساعة (HA) الغربية للنجم  
اما الزاوية من Y الى S مقاسة عكس اتجاه عقرب الساعة  
فهى من المطلع المستقيم (RA) . وهكذا يمكن رؤية ان  
الوقت النجمي يساوى :

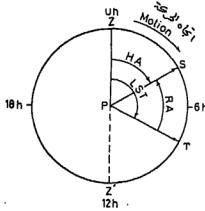
... (4-6)  $HA + RA$

وعندما يكون النجم في العبور العلوى فإنه سيكون على  
(PZ) . إذن :

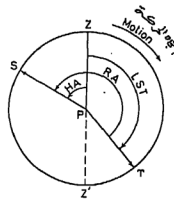
(7-4) (المطلع المستقيم للنجم) = (الوقت النجمي للعبور)

يبين <شكل 4-16> بوضوح بانه عندما تكون زاوية الساعة للنجم (HA) شرقا فلن :  
 $LST = RA - HA$   
 ...<8-4>

ولا داعي لحفظ هذه المعادلات عن الفيب لـ إذا تم فهم التعاريف المشار اليها اعلاه جيدا ولـ إذا استخدم مخطط الوقت .



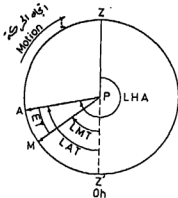
شكل 4-15



شكل 4-16

### 2-3-4 اليوم الشمسي

يمكن تعريف "اليوم الشمسي الظاهري" APPARENT SOLAR DAY بنفس الطريقة ، بانه الفترة الزمنية بين عبورين علويين متتاليين لـ الشمس الحقيقية (A) ACTUAL SUN . مع هذا فعندما تكون الشمس في عبورها العلوي نسميه ظهرا او (12H) ، وهكذا سيبطلب هذا قياس بداية اليوم الشمسي في الساعة مفر (OH) من الجهة المقابلة لخط زوال الراصد على الكرة الارضية ، اي Z' . وهذا هو مهم جدا ويجب ملاحظته بعناية . (يجب التمييز بين <الشكل 4-15> بوقت نجمي مقداراه (OH) في Z و<الشكل 4-17> بوقت شمسي مقداراه (OH) في Z' .



شكل 4-17

تكون حركة الشمس الحقيقية غير منتظمة لاسباب متعددة ، وبودي استخدامها في ضبط الوقت الي حدوث ايام مختلفة الاطوال، ولهذا السبب فقد وجدت فكرة "الشمس المتوسطة" MEAN SUN (M) التي تدور حول خط الاستواء بمعدل ثابت ، وعليه فلننا تعبر اي خط زوال بفترة زمنية واحدة . وتسمى الفترة الزمنية بين عبورين

متتاليين للشمس المتوسطة من على خط الزوال في الجهة  
المقابلة ANTIPODAL "متوسط اليوم الشمسي MEAN  
SOLAR DAY".

يبين (الشكل 4-17) "متوسط الوقت المحلي (LMT)"  
و "الوقت الظاهري المحلي (LAT)" ، مقاسان كلاهما من  
الجهة المقابلة للرصد باتجاه حركة الشمس . مع هذا ،  
فلنه من المهم ملاحظة أن "زاوية الساعة المحلية (LHA)"  
تتفق تقاس من خط زوال الرصد وكما هو مبين ، ولأجل  
تثبيت موقع M نسبة إلى A ، تستخدم الفترة الزمنية بين  
متوسط الوقت والوقت الظاهري والتي تسمى بـ "معادلة  
الوقت (ET) EQUATION OF TIME" ، وهكذا من التعريف ؛  
ET = LMT - LAT ... (9-4)

فلذا كانت (LMT) تساوي (4H) مثلا و (LAT) تساوي (4H10M)  
فلن (ET) تساوي (10-) دقيقة مما يشير إلى أن M هي  
وراء A بـ 10 دقائق . ويتغير موقع A نسبة إلى M خلال  
السنة وهذا ما يؤدي إلى أن (ET) تقع بين القيمتين  
الكبرتين (20S +14M) و (20S -16M) ، ولتجنب استخدام  
الإشارات الموجبة والسالبة يقوم التقويم النجمي بحل  
كمية تدعى (E) محل (ET) بحيث ؛

$$E = 12H - ET \quad \dots (10-4)$$

وعليه ، يكون في هذه الحالة ؛  $E = 12H - (-10M) = 12H 10M$   
لأن ما يمكن رؤيته بوضوح من الشكل هو أن ؛

$$LHA = LMT + 12H - ET = 4H + 12H - (-10M) = 16H 10M$$

∴  $LHA = LMT + E \quad \dots (11-4)$

من الملائم هنا أن نذكر الكمية R المشابهة لـ E  
والمدرجة أيضا في "التقويم النجمي" ، ويمكن أن تعرف  
من ؛

$$R = RAMS \pm 12H \quad \dots (12-4)$$

حيث أن (RAMS) هو "المطلع المستقيم للشمس المتوسطة ،  
وتستخدم هذه الكمية لربط لحظات متوسط الوقت بالوقت  
النجمي أو العكس بالعكس ، وهذا موضح بـ (الشكل 4-18) ،  
فافتراض مثلا أن (LMT) تساوي (4H) و R تساوي (18H) ،  
وهكذا فمن (المعادلة 4-12) تكون (RAMS) مساوية (6H) ،  
وعليه فلن (Z'M = 4H) تثبت موقع M . ولما كان (RA)  
مقاسا بعكس اتجاه عقرب الساعة من γ فلن γ يكون ثابتا  
بالنسبة إلى M في تلك اللحظة . وهكذا يكون من السهل  
رؤية أن (LST) والتي هي بالحقيقة (LHA) لـ γ تساوي (22H) ،  
وهذا يجب أن يعبر عنه بالأسلوب الأفضل بالشكل التالي ؛  
(LST) عند (4H LMT) يساوي (22H) ،

وهذا المثال يشير إلى أن ؛

$$LST = LMT + RAMS + 12H = LMT + R \quad \dots (13-4)$$

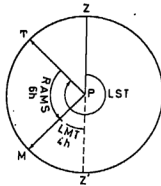
عند إيجاد (RAMS) من R يفضل عموما جمع (12H) عندما  
تكون (R < 12H) وطرح (12H) عندما تكون (R > 12H) . لأن

هذا في الحقيقة غير مهم ، فمثلا ، إذا كانت (  $R=11H$  ) فلن (  $RAMS=11 + 12=23H$  ) او (  $11-12 = -1H = 24-1=23H$  ) .  
وحيث ان الوقت السالب هو مجهول فمجرد جمع (  $24H$  ) سيعطي النتيجة الصحيحة .

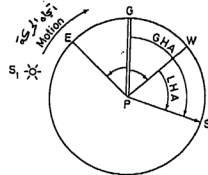
لن ما يجب على الطالب ملاحظته هو ان لإدخال خط زوال كرنج سوف لن يغير من الطريقة الرئيسية باني حال من الاحوال . فلو كان خط الزوال المحلي (  $ZZ'$  ) هو خط زوال كرنج (  $GG'$  ) في الشكل (  $18-4$  ) فلن (المعادلة  $4-13$  ) ستكتب :  
 $GST = GMT + R$   
والتي قد تكون اكثر ملائمة ، حيث ان  $R$  هي مجدولة مقابل (  $GMT(UT)$  ) في "التقويم النجمي STAR ALMANAC" .

### 3-3-4 تأثير خط الطول على الوقت

لاجل نفى الحاجة الى المعادلات ، على الطالب استخدام مخطيته على النحو التالي : تصور بانك في مركز القبة السماوية  $P$  ناظرا الى الخارج باتجاه خط زوال كرنج  $G$  (شكل  $4-19$  ) . وان الشمس  $S$  تقترب من خط الزوال  $E$  شرق كرنج ، فعندما تكون الشمس فوق الرأس في  $E$  يكون الوقت ظهرا هناك ، ولم تصل بعد خط زوال  $G$  او  $W$  ، وهكذا يكون الوقت هناك لايزال الصباح الباكر . بالحقيقة إذا كان خط طول  $E$  يساوي  $45^\circ$  شرقا وخط طول  $W$  يساوي  $30^\circ$  غربا ، وحيث ان (  $360^\circ=24H$  ) سيكون الوقت (  $9H$  ) او (  $9 AM$  ) في  $G$  و (  $7H$  ) او (  $7 AM$  ) في  $W$  ، وعندما تصل الشمس الخط  $G$  بعد ثلاث ساعات ، عندها يكون الوقت في  $G$  ظهرا وفي  $E$  يكون (  $15H$  ) او (  $3 PM$  ) ، وفي  $W$  يكون (  $10H$  ) او (  $10 AM$  ) ، اخيرا ، عندما تصل الشمس  $W$  سيكون الوقت (  $2 PM$  ) في  $G$  و (  $5 PM$  ) في  $E$  . ويمكن استخدام هذا الاسلوب المنطقي بغض النظر عن الشكل الذي بالخذ الجرم السماوي . كذلك من الشكل : عندما تصل الشمس الى  $S$  تكون (  $LHA$  ) للراصد على خط الزوال (  $PW$  ) مساوية (  $WPS$  ) و (  $GHA$  ) مساوية (  $GPS$  ) وهكذا :  
= (خط الطول الغربي)  
(زاوية الساعة المحلية) - (زاوية ساعة كرنج)



شكل 18-4



شكل 19-4

وحيث ان هذا يصبح لاي جسم ، فلن :

$$\begin{aligned} \text{(خط الطول الغربي)} &= \text{GMT} - \text{LMT} \\ &= \text{GAT} - \text{LAT} \\ &= \text{GST} - \text{LST} \end{aligned}$$

وبتبيين بوضوح من الشكل بان المكس هو صحيح لخط الطول الشرقي .

لا يطلب حفظ المعادلات اعلاه عن الغيب فلن مخطط الوقت سرعان ما سيشير الى الحالة موضوعة البحث .

"الوقت المعياري STANDARD TIME" : هو الوقت الرسمي لبلد ما او لقطاع ما من البلد . فلذا كانت E مثلاً في (الشكل 4-19) تمثل الساحل الشرقي للمملكة المتحدة و G تمثل كرنج و W تمثل الساحل الغربي ؛ فعندما يكون الوقت (12H) في G ، كما في اعلاه ، سيكون (15H) في E و (10H) في W . وهكذا ستشير الساعات في المناطق المختلفة من البلد الى اوقات مختلفة ، وعليه فقد طبقت بربطانها الوقت في كرنج كوقت معياري للبلد . فإيجاد الوقت المعياري من ((GMT (UT) هو تطبيق مختصر لخط الطول . فمثلاً ، يكون يكون الوقت في موقع على خط طول 30° شرقاً متقدماً بمقدار ساعتين على (GMT) .

#### 4-3-4 فترات الزمت Time intervals

لن لكافة الاجرام السماوية دورة ظاهرية حول الارض مقدارها 360° خلال 24 ساعة ، وهكذا :  
 $15^\circ = 1\text{H}$  ر  $15' = 1\text{M}$  ر  $15'' = 1\text{S}$   
 مما يسمح بلجراء تحويلات سهلة .

مع ذلك ، لمذا كان النجم موضوع البحث هو  $\gamma$  او  $\alpha$  نجم تكون الساعات ذات العلاقة ساعات نجمية ، ولذا كان النجم هو  $M$  او  $A$  ستكون الساعات هي ساعات شمسية متوسطة او ظاهرية على التوالي .

فلذا شرع كل من  $\gamma$  و  $M$  بنفس الوقت ومن نفس النقطة في رحلتيهما حول الارض فلن  $\gamma$  سيرجع الى نقطة البداية قبل  $M$  بن 3 دقائق و 55.91 ثانية . وكل يوم سنجد بان  $\gamma$  سيسبق  $M$  اكثر فاكتر حتى يكون في نهاية سنة واحدة قد اكمل دورة لاضافية واحدة اكثر من  $M$  .

لذن 366 يوم نجمي يساوي	365 متوسط يوم شمسي .
لذن 24 ساعة نجمية تساوي	$(365 \times 24 / 366)$ متوسط ساعة شمسية .
وتساوي	(23H 56M 04.09S) بمتوسط وقت شمسي .

وهذا يمكن ان يكتب :

1 ساعة نجمية تساوي 1 ساعة شمسية ناقصاً 9.83 ثانية او  
 1 ساعة شمسية تساوي 1 ساعة نجمية زائداً 9.83 ثانية

لن هذا الفرق بالوقت هو الذي يتراكم تدريجياً على طول السنة ، وهو مدرج في الجدول كقيمة R في "التقويم النجمي STAR ALMANAC" ، وسيجرى الآن البحث في تمارين الوقت المختلفة بالتفصيل .

### امثلة محلولة

مثال 4-5 : اوجد الـ (GST) في الساعة (20H 00M 00S) بموجب متوسط توقيت كرنج ليوم 17 تشرين الثاني 1965 ، إذا علمت بأن قيمة R كانت (3H 20M 30S) ، ماذا سيكون الـ (LST) المساوي لمكان واقع على خط طول  $60^\circ$  غرباً ؟

### الحل

- (A) انشاء مخطط الوقت مبيّناً خط زوال كرنج ( $GG'$ ) حيث أن  $G'$  هو خط الطول المقابل (شكل 4-20) .  
 (B) من خط الطول المقابل  $G'$  لصنع الساعة (20H GMT) لتثبيت موقع M (الشمس المتوسطة) .  
 (C) لما كانت R تساوي (3H 20M 30S) فلن :  
 $RAMS = R + 12H = 15H 20M 30S$   
 وهذه هي المسافة الزاوية "مقاسة بعكس اتجاه عقرب الساعة" من  $\gamma$  إلى M ، وهكذا مثبتين بذلك الموقع النسبي لـ  $\gamma$  في هذه اللحظة .  
 (D) من الشكل يتضح بأن (GST) تمثل المسافة الزاوية مقاسة باتجاه عقرب الساعة من العبور العلوي G إلى  $\gamma$  وتساوي (23H 20M 30S) ، ويتم الحصول عليها كما يلي :

لما كانت ( $G'GM=20H$ ) فلن ( $G'M=4H$ ) و  
 ( $\gamma'GM = 15H 20M 30S$ ) ، وهكذا فلن ( $\gamma'G'$ ) مقاسة  
 بعكس اتجاه عقرب الساعة :  
 $= 11H 20M 30S$

$$\therefore GMG'Y = \gamma'G' + 12h = 23h 20m 30s$$

كان بالإمكان حل هذا السؤال اسرع بكثير باستخدام ( $GST=GMT+R$ ) ولكن مخططات الوقت (حتى بالنسبة للمسائل السهلة نسبياً) تؤدي إلى فهم أكثر للوقت في علم الفلك.

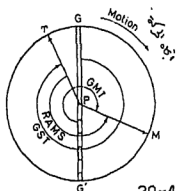
فلذا جمع الطالب الآن خط الزوال المحلي (4H) غرباً وقاس باتجاه عقرب الساعة من هذه النقطة إلى  $\gamma$  فلن (LST) بديهيًا ستساوي (19H 20M 30S) .

مثال 4-6 : اوجد (GHA) للشمس في الساعة (GMT) (11H 00M 00S) في 17 تشرين الاول 1965 ، إذا علمت بأن القيمة المناسبة لـ E كانت (12H 14M 36.6S) ، ما هي الـ (LHA) عند ( $45^\circ E$ ) ؟

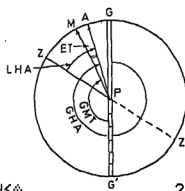
إذا كانت ( $E=12h\ 14m\ 36.6s$ ) فلن معادلة الوقت هي  
 ( $ET = -14m\ 36.6s$ ) ، والاشارة السالبة تشير الى ان M  
 هي وراء A. وهكذا يمكن إنشاء مخطط الوقت (شكل 4-21)  
 كما يلي :

انشئ اولاً خط زوال كرنج ( $GG'$ ) ، وهكذا :  
 (GMT) يحدد موقع M (مقاسة باتجاه عقرب الساعة من خط  
 الطول المقابل) ويساوي ( $11h$ ) .

لن ( $ET$ ) يحدد موقع A نسبة الى M ، وتستخرج الـ (GHA) من  
 G باتجاه عقرب الساعة الى الشمس الحقيقية A بسهولة  
 لتساوي ( $23h\ 14m\ 36.6s$ ) .



شكل 20-4



شكل 21-4

من (الشكل 4-21) :  
 $ZG = 3h$  (شرقا  $45^\circ$ )  
 $AG = 12h - 11h\ 14m\ 36.6s$  و  $G'A = 0h\ 45m\ 23.4s$   
 $\therefore ZA = LHA = 2h\ 14m\ 36.6s$  ( $(ZG-AG)$ )

وباستخدام المعادلة :  $GHA = GMT + E = 23h\ 14m\ 36.6s$   
 ثم :  $LHA = LMT + E = 14h + 12h\ 14m\ 36.6s$   
 $= 2h\ 14m\ 36.6s$

لاحظ جيداً : بأن (LMT) قد قُيست من  $Z'$  في هذه المعادلة  
 الأخيرة .

أما العملية العكسية وهي إيجاد (GMT) عندما  
 تعطى (GHA) فهي ليست بالسهولة التي تشير اليها  
 المعادلة لأن E هي مجدولة ازاء (GMT) في "التقويم  
 النجمي" ، وعليه ، فمن الضروري لذن إجراء عمليات تقريب  
 متتالية لـ E ، وحيث ان في معظم الامتحانات الهندسية  
 تعطى القيمة الصحيحة لـ E ، فلن العملية هي مجرد عكس  
 ماورد اعلاه . على أي حال ، لن أخذ E من "التقويم  
 النجمي" لـ 12 ساعة في اليوم موضوع البحث يعطي خطأ  
 صغيراً فقط .

مثال 4-7 : قام راصد على خط طول  $105^\circ$  شرقاً برصد الشمس  
 في لحظة عبورها العلوي حيث سجلت لحظة العبور بواسطة  
 ميقت CHRONOMETER وكانت ( $12h\ 08m\ 25s$  LMT) في 17 آذار

1965 ، وكانت قيمة E من 'التقويم النجمي' (11h 51m 25s) . اوجد خطا' الميقت .

الحل

انشئ (GG') ثم ثبت Z نسبة الى G باستخدام خط الطول 7 ساعات شرقا ، وبالتالي ثبت Z' المقابل (شكل 4-22) . ان قيمة (ET) هي (+08m 35s) من E ، وهكذا تكون M امام A هي على Z عندما تكون في العبور العلوي .

لذن (LMT) هي (12h 08m 35s) والميقت متأخر بـ 10 ثوان .

مثال 4-8: اوجد (LST) عند (8h 00m 00s LMT) في يوم 17 آذار 1965 عند خط طول (30°W) إذا كانت القيمة الملائمة لـ R هي (11h 37m 26s) .

الحل

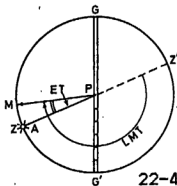
ارسم شكلا بيين (GG') واوجد موقع (ZZ') من خط طول (2h W) ، انظر (الشكل 4-23) .

تقاس (LMT) من Z' مشبته بذلك موقع M ، وحيث ان R تساوي (11h 37m 26s) فإن (RAMS=23h 37m 26s) التي تقاس بعكس اتجاه عقرب الساعة من Y وبذلك تثبت Y بالقياس من M باتجاه عقرب الساعة . والان تقاس (LST) باتجاه عقرب الساعة من الراسد الى Y ، اي (ZY) .

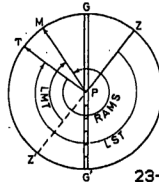
$$\therefore ZY = 19h 37m 26s$$

$$ZZ' + Z'M - YM = 12h + 8h - 2m 34s$$

$$LST = LMT + R = 19h 37m 26s \quad \text{وباستخدام (المعادلة 4-13):}$$



شكل 4-22



شكل 4-23

مثال 4-9: اوجد (GST) عند (0h GMT (UT)) يساوي (14h 00m 00s) اوجد (LMT) لعبور A بخط طول (120°E) و (B) (120°W) .

الحل

(A) لرسم شكلا واشر (ZZ') نسبة الى (GG') - (شكل 4-A24)



تؤدي حركة  $\gamma$  بمقدار (18h) نجمية باتجاه عقرب الساعة إلى حركة M بمقدار (17h 57m 3.6s) وقتاً شمسياً (شكل B25-4). إذن ، لما كان (GMT) بديهياً يساوي (17h 57m 3.6s) ، فمن الشكل B25-4:

$$LMT = 9h 57m 3.6s$$

التي أوضح ؛ حيث أن (GMT) تساوي (0h) في الشكل A25-4 فلن (LMT) تكون (16h - 8h = 0h) في اليوم السابق. وهكذا:

$$16h + 17h 57m 3.6s = 9h 57m 3.6s \text{ (في نفس اليوم)}$$

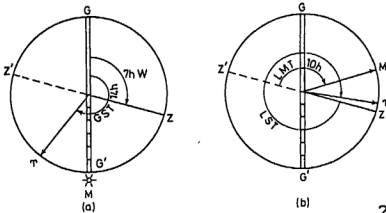
وهكذا ، عندما يكون الطالب في شك عليه أن يجد (LMT) لخط الزوال كما في أعلاه ، ثم باستخدام الفترة النجمية SIDERIAL PERIOD (كتقريب) التي يقطعها  $\gamma$  باتجاه أو بعكس اتجاه عقرب الساعة يقرر أي اتجاه يعطى العبور في اليوم المطلوب.

مثال 4-10: لإذ علمت بأن الـ (GST) يساوي (4h) في الساعة (GMT 0h) ، اوجد الـ (LST) على خط طول  $105^\circ$  غرباً في الساعة (LMT 10h).

الحل

يمكن أن يجد الطالب هذا السؤال مشوشاً لأول وهلة ، ولكن حتى من دون فكرة سابقة عن كيفية البدء بحل السؤال يتضح الجواب بسرعة بمجرد تثبيت المعلومات على مخطط الوقت.

لنبدأ بـ خط كرنج (GG') كالعادة ، ثم أضف خط زوال الراصد (ZZ') عند (7h) ، فلما كان الـ (GST) يساوي (14h) في (GMT 0h) ، فلن هذا يثبت  $\gamma$  نسبة التي بعضهما كما هو مبين في الشكل A26-4.



شكل 26-4

إن المطلوب هنا هو الـ (LST) عند (10h LMT) ، وهكذا فتحرك M مسافة 7 ساعات شمسية بعكس اتجاه عقرب الساعة سيثبتها بحيث أن (Z'GM = 10h = LMT) ، انظر شكل B26-4. ومن هذا ينتج أن  $\gamma$  سترجع 7 ساعات شمسية خلفاً والتي

تساوي (7h 1m 9s) وتساوي (7h + 1m 9s) وقتنا نجميا .  
(مقاسة من Z إلى Y باتجاه عقرب الساعة)  $\therefore$  LST=23h 58m 51s.

لاحظ جيدا: لو حركت M باتجاه عقرب الساعة لكانت المسافة تساوي (17h) ولكانت فترة الزمن النجمية اكبر منها بقليل. من الشكل A26-4 في اللحظة التي يكون فيها (GST=14h) يكون (LST=7h). وهكذا فجمع فترة وقت نجمية تريد على (17h) إلى (7h) سيعطي قيمة اكبر من (24h) وبذلك يتم الانتقال إلى اليوم التالي، وعليه يجب أن تتحرك M عكس اتجاه عقرب الساعة كما في اعلاه.

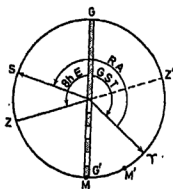
مثال 4-11: إذا كانت (GST=9h) عند (0h GMT)، اوجد متوسط الوقت المحلي (LMT) لعبور نجم عند خط طول (120° E).  
علما بأن قيمة (RA) للنجم تساوي (14h).

### الحل

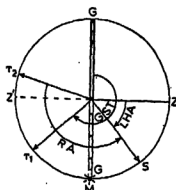
إنشاء كرنج شم ثبت Z عند الساعة (8h) شرق G (شكل 4-27).  
لن قياس (9h) لـ (GST) باتجاه عقرب الساعة من G بحيث Y، وأن قياس (14h RA) من Y عكس اتجاه عقرب الساعة بحيث S، كما وأن (0h GMT) بحيث M على الجهة المعاكسة لـ G.  
لن S و M هما الآن ثابتتان نسبة إلى بعضهما، وباستنتاج بسيط من الشكل يمكن رؤية أنه يتطلب تحريك S مسافة (3h) بعكس اتجاه عقرب الساعة أو (21h) باتجاه عقرب الساعة للعبور في Z.

من الشكل يتضح بأن (LMT(Z'M)) تساوي (8h) في تلك اللحظة. لن تحريك S مسافة (21h) سيعطي متوسط الوقت المحلي (LMT) عند (29h)، أي (5h) في اليوم التالي.  
وهكذا تتحرك S خلفا مسافة (3h) إلى Z خلفا بنقص المقدار بوقت شمسي. أي (2h 59m 31s) إلى M'.  
 $\therefore$  LMT=Z'M' = 8h - 2h 59m 31s = 5h 00m 29s

مثال 4-12: إذا كان الـ (GST) يساوي (15h) عند (0h GMT)، اوجد الـ (LMT) للاستمالة الغربية لنجم بخط طول (90° W) ذي (RA=9h W).



شكل 27-4



شكل 28-4

ثبتت (GG') و (ZZ') بالطريقة الاعتيادية (شكل 4-28). وهكذا، (15h GST) يثبت  $\gamma_1$  و (0h GMT) يثبت M، في لحظة الاستطالة (HA) للنجم تساوي (4h W) وهكذا فلن (4h) باتجاه عقرب الساعة من Z يثبت النجم في S. أيضا يكون المطلع المستقيم (RA) في هذه اللحظة مساويا (9h) مقاسة باتجاه عقرب الساعة من S. وهذا يثبت موقع أول نقطة لبرج الحمل FIRST POINT OF ARIES في لحظة الاستطالة في  $\gamma_2$ . ويتم إيجاد موقع M في هذه اللحظة بتحريك  $\gamma_2$  إلى الامام لتتطبق مع  $\gamma_2$  على بعد (4h) وقت نجمي.

وهكذا فلن M تتحرك (3h 59m 20.8s) وقتا شمسيا إلى الامام. مع ذلك، فعندما كان (GMT) يساوي (0h) كان (LMT) مساويا (18h) ومقاسا باتجاه 'عقرب الساعة' من 'Z'. ولكن لما كانت Z تقع غرب كرنج فلننا يجب أن تكون (18h) في 'اليوم السابق'. وهكذا فلن (LMT) محتسبا للاستطالة سيكون:  $18h + 3h 59m 20.8s = 21h 59m 20.8s$  وهو لا يزال في اليوم السابق، ومن هذا ينتج بانه؛ لكي يستطيل النجم فلن M ستدور بمقدار (23h 56m 04.1s) وقتا شمسيا آخرًا ويكون متوسط الوقت المحلي (LMT) المطلوب للاستطالة مساويا:  $21h 59m 20.8s + 23h 56m 04.1s = 21h 55m 24.9s$

### تمارين

يتمتع الطالب بإعادة حل الامثلة السابقة بدون الرجوع إلى الطرق أو الأشكال المعطاة. وبهذه الطريقة سيتم فهم اجزاء ومكونات مخططات الوقت بشكل متكامل.

4-1 كان متوسط الوقت المحلي (LMT) في موقع ما مساويا (17h 10m 20s) عندما كان الـ (LST) يساوي (9h 40m 30s). وقد اظهرت إشارة وقت كرنج بأن متوسط الوقت كان يسبق (GMT) بمقدار (1h 20m). (A) ما هو خط طول الموقع؟ (B) ما هو الـ (LST) للـ (LMN)؟ (C) ما هو الـ (GST) للـ (GMN)؟ (جامعة لندن)  
[الجواب: (A) (20°E)، (B) (4h 29m 19s)، (C) (4h 29m 32s)]  
لاحظ جيدا: إن (LMN) هو 'متوسط الظهر المحلي' أو (12h LMT)

4-2 عرف أول نقطة لبرج الحمل FIRST POINT OF ARIES وبين كيف أن حركته ترتبط بحركة متوسط الشمس MEAN SUN.

لأجل تعيين خط طول محطة مسح، تتطلب الامر لإجراء رصد لخط طول نجم في العبور العلوي بالمطلع المستقيم يساوي (2h 06m 30s). علما بأن خط طول المحطة يساوي (93°37'03"W) و (HA) لـ  $\gamma$  نسبة إلى خط طول كرنج عند (GMN) في اليوم المقرر لإجراء الرصد فيه تساوي (11h 41m 19s). اوجد (GMT) للعبور.  
(جمعية المهندسين المدنيين البريطانيين)

[الجواب: (8h 39m 32s)]

3-4 عرف التعابير التالية: "الوقت النجمي" SIDEREAL TIME و "متوسط الوقت" و "الوقت الظاهري" و "معادلة الوقت".

شوهدت الشمس في عبورها العلوي من خط طول معين عندما كان (GMT) يساوي (4h 10m 04s). فلذا علمت أن معادلة الوقت في لحظة العبور تساوي (11m 41s) وكانت الساعة تسبق الشمس. اوجد خط طول محطة الرصد. (جمعية المهندسين المدنيين الجريباتية) [الجواب: (120° 24' 15") شرقاً].

وهناك تمارين أخرى عن الوقت في الفقرات التالية.

#### 4-4 تصحيحات القراءات والأجهزة

إن الكميات المرصودة اللازمة لحل المثلث الفلكي هي: (I) الزاوية الشاقولية إلى النجم أو إلى الشمس، و (II) الوقت الدقيق للحظة التي يتم بها الرصد. وفي حالة إيجاد سمت خط فلن الزاوية الأفقية بين الخط والنجم (أو الشمس) ستكون مطلوبة أيضا في لحظة الرصد.

#### 4-4-1 تصحيحات قراءة الزاوية الشاقولية

(A) الانكسار REFRACTION سبق وأن بحثت هذه الظاهرة في <الفقرة 2-8-3>، حيث يؤخذ التصحيح في علم الفلك بأنه مساويا:

$$r = -58'' \cot H \quad (4-14) \dots$$

حيث أن H هو الارتفاع المقاس.

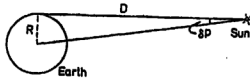
مع ذلك، وحيث أن r تتغير بتغير درجة الحرارة والضغط، يمكن الحصول على قيمة أكثر ضبطا من جداول "التقويم النجمي" باستخدام:

$$r = f \times r_0 \quad (4-15) \dots$$

حيث أن  $r_0$  هي التصحيح تحت ظروف معيارية مقدارها (100.5 KN/M<sup>2</sup>) ضغطا و (7.2°C) درجة حرارة، وأن f هو معامل يتغير بتغير درجة الحرارة والضغط. ويطبق تصحيح الانكسار على كافة الأجسام السماوية.

(B) إختلاف النظر PARALLAX يطبق هذا التصحيح على الشمس فقط وهو يصحح الزاوية الشاقولية إلى تلك القيمة التي كان سيحصل عليها فيما لو قيست من مركز الأرض. ومن <الشكل 4-29> فلن أكبر إختلاف نظر ( $\delta p$ ) يساوي: (من القوس)  $\delta p = \tan(R/D) = 9''$  فتصحح إختلاف النظر المستخدم هو إذن:  $\delta p = + 9'' \cot H \quad (4-16) \dots$

#### (C) نصف القطر SEMI-DIAMETER

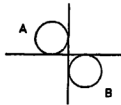


شكل 29-4

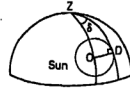
إن التضعيف المضبوط لمركز الشمس هو غير ممكن بسبب حجمها المنظور الكبير نسبيا ما لم تكن المزواة مجهزة بموشور شمسي نوع رويلوف ROYLOF. فالموشور الشمسي يعطي أربعة أشباح للشمس تتداخل مع بعضها لتعطي شجبا على شكل صليب مركزه هو مركز الشمس.

لاعتبارها يكون الرصد نحو طرف الشمس السفلي A كما في (الشكل 30-4)، حيث يكون الارتفاع اقل مما يجب بمقدار نصف قطر. كذلك سيؤدي رصد الطرف العلوي B بأن يظهر اكبر مما يجب، وتتغير قيمة نصف القطر من (16'18") إلى (15'45") ويمكن الحصول عليه من "التقويم النجمي"

يمكن أيضا لرشات أنه عندما تلامس الشعرة العمودية الطرف الأيسر أو الأيمن للشمس ستحتاج الزاوية الأفقية تصحيحا لنصف القطر. فمن (الشكل 31-4) وحيث يتم رصد الطرف بشكل مماس فإن المثلث الكروي (ZDO) يكون قائم الزاوية في D.



شكل 30-4



شكل 31-4

من قاعدة نابيير NAPIER:  $\sin \delta = \sin OD \operatorname{cosec} ZO$  ;  
وبما أن  $\delta$  هي صغيرة فلن:  $\delta = OD \operatorname{cosec} ZO$  ;  
لذن ، وبما أن (ZD) هو الارتفاع المقاس من القطب ، فلن:

$$\delta = \text{SEMI DIAMETER} \times \text{SECANT ALTITUDE} \quad \dots (17-4)$$

(ارتفاع القاطع)      (نصف القطر)

وتنتفي الحاجة إلى هذه التصحيحات عمليا برصد كلا الطرفين A و B على وجهين متعاقلين للجهاز واخذ متوسط القيمة.

(D) خطا المحور الشاقولي يحدث الخطا في الاتجاه الزاوي الأفقي لخط ما بسبب كون

محور الجهاز الشاقولي ماثلا بزاوية (e) عن الشاقول ويكون الخط مساويا (e TAN H) - انظر الجزء الاول/ سكوفيلد - شعبان 1986 ، ولا يمحذف هذا التأثير بتغيير الوجه FACE CHANGE ويجب لئلا تملطفه كتمحيح.

يتم تعيين قيمة e بقراءة النهايتين اليسرى (L) واليمينى (R) لفقاعة الطبق PLATE BUBBLE كما تشاهد من قبل الراصد.

$$e = (\sum L - \sum R) d / n \quad \text{عليه فلن :}$$

حيث ان d هي قيمة كل تقسيم من تقسيمات الفقاعة و n هو عدد القراءات المأخوذة لنهايتي الفقاعة. فمثلا:

	L	R	
قراءات	3.5	1.5	]
الفقاعة	2.0	3.0	]
	$\sum 5.5$	$4.5$	

فلذا كانت (d=20") فلن:  $e = [(5.5 - 4.5) \times 20"] / 4 = 5"$   
وهكذا لئلا كان الارتفاع (H=50°) فالتصحيح يساوي:  
 $= + 5" \text{ TAN } 50^\circ$

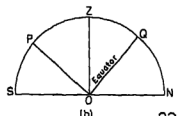
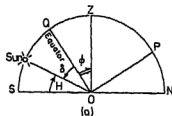
#### 5-4 طرق إيجاد خط العرض

#### METHODS OF DETERMINING LATITUDE

##### 1-5-4 ارتفاعات خطوط زوال الشمس والنجم

تتطلب هذه الطريقة ارتفاع الجسم في لحظة العبور على خط زوال الراصد.

لئلا استخدمت الشمس ، فلن لحظة العبور سيتم الحصول عليها بملاحظة الشمس من خلال المزواة حتى تصبح في اعلى ارتفاع لها ، وهذا سيعطى القراءة على لحدث الوجهين SINGLE FACE OBSERVATION لطرفي الشمس. ولتجنب هذا ، يمكن لجراء قراءة سريعة على كلا الوجهين ويؤخذ المعدل ، بلهمل الحركة الضئيلة عن موقع العبور.



شكل 32-4

وبطريقة أخرى ، بمعرفه خط طول المحطة والقيمة الضاسبة ل-E ، يمكن احتساب ((UT(GMT)) للعبور وتؤخذ القراءة في هذا الوقت.

والان لإنشاء مقطع يمر بخط زوال الراصد يمكن استنتاج خط عرض الراصد بسهولة. بمثل الشكل 4-32 > شكلا 4-10 > الشكل 4-10 > جزئين؛ (A) بمثل نصف الكرة الشمالي و (B) النصف الجنوبي. ويجب على الطالب دراسة الشكل 4-10 > جنباً إلى جنب مع الشكل 4-32 >. فلذا تم الان تثبيت الارتفاع H والميل  $\delta$  على الشكل يصبح من السهل الاستنتاج بأن خط العرض  $\phi$  يساوي؛  $\phi = 90^\circ - (H + \delta)$  وغالباً ما يحدد الارتفاع شمالاً أو جنوباً ، ويقصد بهذا بأنه مقاس باتجاه الشمال أو الجنوب أو ان يكون طرفاً LIMB في الشكل. فمثلاً ، يكون الارتفاع في الشكل 4-32 > إلى الجنوب والميل إلى الجنوب وخط العرض يكون إلى شمال خط الاستواء - راجع المثال المحلول 4-13 >.

#### 4-5-2 أزواج النجوم الشمسية Zenith pairs of stars

يمكن استخدام التقنية المذكورة في الفقرة 4-5-1 > بنجم واحد لتحقيق فائدة واضحة. فيتم تنصيب مركز النجم مباشرة وتنتفي الحاجة للتصحيح عن نصف القطر وعن اختلاف النظر. مع ذلك ، وبما أنه يمكن إجراء التوجيه نظرياً على وجه واحد فقط يجب أخذ خطأ الانكسار وخطا المحور البصري الشاقولي للجهاز بنظر الاعتبار ، والاختلاف في هذين التصحيحين الاثنين ستؤدي إلى خطأ في خط العرض.

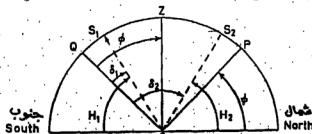
باستخدام نجمين بارتفاع واحد تقريباً (زوج سمى ZENITH PAIR) تنحذف هذه الاختلاف. فلذا كذا نجمين  $S_1$  و  $S_2$  في الشكل 4-33 >.

$$\phi = 90^\circ - H_1 + \delta_1 \quad \text{فباستخدام } S_1$$

$$\phi = H_2 + \delta_2 - 90^\circ \quad \text{وباستخدام } S_2$$

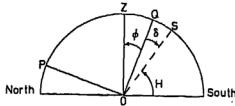
$$2\phi = (\delta_1 + \delta_2) + (H_2 - H_1) \quad \text{وبالجمع ينتج؛}$$

والان  $H_1$  و  $H_2$  يمثلان الارتفاعين المرصودين مصححين عن خطأ المحور البصري الشاقولي (VERTICAL COLLIMATION ERROR) وخطا الانكسار  $m$  ، وحيث أن  $\phi$  هي دالة للفارق بين الارتفاعين ، وحيث أن الارتفاعين متشابهان فلن الخطأين  $e_1$  و  $e_2$  سيكونان متساويين وهكذا يحدف أحدهما الآخر. وينعكس الطريقة ، لما كانت المرصدين قريبين من بعضهما فلن الاختلاف  $e_1$  في تصحيحات الانكسار  $P$  ستكون متساوية تقريباً ، وهكذا سيحدف أحدهما الآخر. فلذا كان

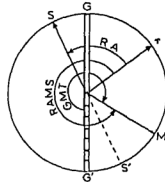


شكل 4-33





شكل 34-4



شكل 35-4

لإذن الارتفاع  $H_0$  يساوي:

$$\therefore \text{Altitude } (H_0) = 51^\circ 17' 47''$$

$$r = -58'' \cot H_0 = -46.5''$$

$$\therefore H = 51^\circ 17' 00.5''$$

$$\therefore \text{Latitude } \phi = 90^\circ - 11^\circ 38' 55'' - 51^\circ 17' 00.5''$$

$$= 27^\circ 04' 04.5'' \text{ N}$$

لإذن خط العرض  $\phi$ :

لاحظ جيدا: من الشكل 34-4، لأن  $Z$  مقاسة باتجاه الشمال من  $(OQ)$  وعليه فإنها خط عرض شمالي.

انشئ مخطط وقت بخط زوال كرنج  $(GG')$  - (شكل 35-4).

فبقياس الوقت (GMT)  $20^h 6^m 19^s$  باتجاه عقرب الساعة من  $G'$  سيثبت موقع  $M$  (متوسط الشمس) و  $(R = 8^h 10^m 33^s)$ ،  
وهكذا:  $RAMS = R + 12^h = 20^h 10^m 33^s$   
مقاسة من  $\gamma$  إلى  $M$  بعكس اتجاه عقرب الساعة. وهكذا فإن الموقع النسبي لـ  $\gamma$  هو ثابت.

لأن المطلع المستقيم للنجم يساوي  $(6^h 30^m 17^s)$  مقاسا بعكس اتجاه عقرب الساعة من  $\gamma$  يثبت  $S$ ، ولما كانت  $S$  في عبورها العلوي فإن هذا الموقع هو خط زوال الراصد.

$$MG' = 24^h - GMT = 3^h 53^m 41^s \quad \text{من الشكل 35-4:}$$

$$GY = RAMS - 12^h - MG' = 4^h 16^m 52^s$$

$$\therefore GS = RA - GY = 2^h 13^m 25^s \text{ E} = 33^\circ 21' 15'' \text{ E}$$

$$\text{LMT) يقياس باتجاه عقرب الساعة من } S' \text{ إلى } M \text{ ويساوي:}$$

$$= GMT + G'S'$$

$$= 22^h 19^m 44^s$$

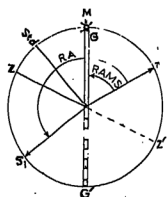
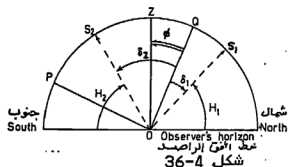
مثال 4-14: تستخدم رصدات الزوج السمتي لإيجاد خط عرض راصد في نصف الكرة الجنوبي، ومدرج ادناه المعلومات المطلوبة:

الارتفاع المرصود المييل النجم		RA		
		Hr.	Mn.	Sec.
1	شمالا 19 58 20	50 01 20	13 12	02.0
2	جنوبا 61 07 00	48 55 30	13 20	02.0

إذا علمت أن قيمة R في الوقت ((12h UT GMT)) تساوي (16h 35m 20s). أوجد الوقت العالمي (UT) لعبور النجوم على خط زوال الراصد شرقاً ( $60^{\circ}15'15''$ ).

ما هو الوقت المعياري المحلي (LST) إذا علمت بأن خط الزوال المعياري للموقع هو ( $15^{\circ}30'$ ) غرب الراصد؟ (بوليتكنيك كنتزتون)

الحل



شكل 37-4

بينشاً (الشكل 36-4) بدءاً باًفك الراصد وتنشأ P و Q بحيث تكون Z في نصف الكرة الجنوبي. وستؤدى قيم  $\delta$  و H التي تشيبت موقع النجوم كما هو مبين.

$$= -58'' \cot 50^{\circ} 01' 20'' = -49''$$

$$= -58'' \cot 48^{\circ} 55' 30'' = -51''$$

$$\therefore H_1 = 50^{\circ} 01' 20'' - 49'' = 50^{\circ} 00' 31''$$

$$H_2 = 48^{\circ} 55' 30'' - 51'' = 48^{\circ} 54' 49''$$

: تصحيح انكسار  $S_1$

: تصحيح لإنكسار  $S_2$

$$\phi_1 = 90^{\circ} - \delta_1 - H_1 = 20^{\circ} 01' 09'' \text{ S}$$

$$\phi_2 = \delta_2 + H_2 - 90^{\circ} = 20^{\circ} 01' 49'' \text{ S}$$

$$\therefore \phi_m = 20^{\circ} 01' 29'' \text{ S (mean) (المعدل)}$$

ثم من (الشكل 36-4):

النشء مخطط الوقت كما في (الشكل 37-4). والنشء (GG')  
أولاً، ثم من قيمة R تكون (RAMS=4h 35m 20s) التي تشيبت  
نسبة إلى M عند (12h UT).

لأن المطلاع المستقيم المماس بعكس اتجاه عقرب الساعة  
من يثبت  $S_1$ .  $S_1$  يمكن أن تعبر في Z إذا تحركت باتجاه  
عقرب الساعة بعد (4h) تقريبا أو بعكس اتجاه عقرب  
الساعة بعد (20h) تقريبا. ولما كان الوقت العالمي (UT)

مساويا (12h) فلن الحركة بعكس اتجاه عقرب الساعة  
ستعطي وقتا عالميا مقداره (8h) في اليوم التالي، وهكذا  
تتحرك  $S_1$  باتجاه عقرب الساعة.

من الشكل:  $S_1Z = RA - RAMS = 4h\ 35m\ 41s$

فلذا تحركت  $S_1$  بهذا المقدار الى الامام فلن M ستتحرك  
مقدارا مساويا له بوقت شمسي مقداره (4h 34m 56s).

لذن الوقت العالمي لعبور  $S_1$  يساوي (16h 34m 56s).

من (RA) يمكن رؤية ان  $S_2$  ستعبر 8 دقائق بعد  $S_1$ .

لذن الوقت العالمي لعبور  $S_2$  يساوي (16h 42m 56s).

فلذا كان الوقت العالمي كما في اعلاه فلن الـ (LMT)  
مقاسا من  $Z'$  سيكون بديها اكبر بمقدار خط الطول  
(4h 01m 01s).

لذن فلن (LMT) لعبور  $S_1$  يساوي (20h 35m 57).

وحيث ان خط الزوال المعياري (Std) يساوي (1h 02m) غرب  
Z فلن الوقت هناك سيكون مبكرا بهذا المقدار.

لذن (LST) لعبور  $S_1$  يساوي (19h 33m 57s).

مثال 4-15: حمل راصد على خط طول ( $5^\circ 15' 00''$ ) غربا على  
متوسط المعلومات القطبية التالية للنجم القطبي بولارس  
POLARIS: معدل زاوية الارتفاع المرصودة تساوي  
( $52^\circ 46' 18''$ ) ومعدل وقت الميقت للرصدة (11h 56m 04s)  
والمقيت يتقدم على الوقت العالمي (UT) بـ (7h 36m 04s)  
ومتوسط قراءة الباروميتر تساوي 760 ملم ومتوسط درجة  
الحرارة ( $12^\circ C$ )، وقد اخذت المعلومات المطلوبة الباقية  
من "التقويم النجمي" للتاريخ موضوع البحث وكما يلي:

الميل: ( $89^\circ 08' 08''$ ) شمالا و ( $R = 18h\ 47m\ 25.0s$ ) و  
( $f = 1.04$ ) و ( $RA = 2h\ 04m\ 17s$ ) و ( $\alpha = 44^\circ$ )  
اوجد خط عرض الراصد لهذا الميقت:

$$\phi = H - p \cos h + \frac{1}{2} p^2 \sin^2 h \tan H$$

(بوليتكنيك كينغزتون)

الحل

(1) اوجد الـ (LHA) للنجم القطبي من مخطط الوقت > شكل  
(38-4).

من R:  $RAMS = 6h\ 47m\ 25.0s$

لن ( $ZZ'$ ) هو خط طول الراصد و (UT):  
 $UT = 11h\ 56m\ 04s - 7h\ 36m\ 04s = 4h\ 20m\ 00s = 6^M$

لن (RAMS) المقاسة من M تثبت موقع  $\gamma$ .  
∴  $\gamma G = 12h - UT - RAMS = 0h\ 52m\ 35s$

$$GZ = (\text{خط الطول}) = 0h \ 21m \ 00s$$

$$LHA = 24h - RA - YZ = 20h \ 42m \ 08s \quad \text{وعليه فلن (LHA):}$$

$$= 3h \ 17m \ 52s \ E = 49^\circ \ 28' \ 00'' \ E = h \quad \text{او:}$$

(2) زاوية الارتفاع المرصودة تساوي:

$$\begin{aligned} &= 52^\circ \ 46' \ 18'' \\ r_o \times f &= -46'' \\ &= 52^\circ \ 45' \ 32'' = H \end{aligned} \quad \text{زاوية الارتفاع المصححة تساوي:}$$

(3) زاوية  $\delta$  تساوي  $(89^\circ \ 08' \ 08'')$  وعليه فلن الميل المقاس من القطب يساوي  $p$  ويساوي  $(0^\circ \ 51' \ 52'')$ .

والان بالتعويض في المعادلة المعطاة بالسؤال ينتج:  
 $\phi = 52^\circ \ 12' \ 08'' \ N$

مثال 4-16: رصد نجم زاوية ميله  $(47^\circ \ 20' \ 17'' \ S)$  بعبوره العلوي على ارتفاع  $(56^\circ \ 48' \ 41'' \ N)$ . ماذا سيكون الارتفاع المرصود بالعبور السفلي وما هو خط عرض موقع الرصد؟

من خط العرض هذا ، ماذا سيكون الارتفاع المرصود لعلني الشمس عند العبور إذا كان ميل الشمس  $(22^\circ \ 22' \ 25'' \ S)$  ونصف قطرها  $(16' \ 18'')$  ؟

إشرح لماذا لا يمكنك استخدام اية من الرصدات بشكل منفرد لتعيين زاوية سمت خط مساحي باية درجة من الصبط. اذكر الطريقة التي ستبناها .  
 (جمعية المهندسين المدنيين البريطانية)

الحل

إن (الشكل 4-39) يوضح الحالة بـ  $S$  في العبور العلوي  $S_1$ .  
 إن الارتفاع المرصود مصحح عن الانكسار:  $56^\circ \ 48' \ 06'' \ N$   
 $\therefore \phi = 90^\circ - H + \delta = 80^\circ \ 32' \ 11'' \ S$   
 أما  $S$  في عبورها السفلي فهي مؤشر إليها بـ  $S_2$ ، وهكذا:

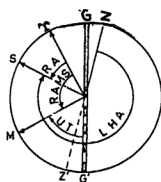
$$\begin{aligned} S_1OP &= S_2OP = (90^\circ - \delta) = 42^\circ \ 39' \ 43'' \\ ZOP &= (90^\circ - \phi) = 9^\circ \ 27' \ 49'' \end{aligned}$$

$$\therefore ZOS_2 = 52^\circ \ 07' \ 32''$$

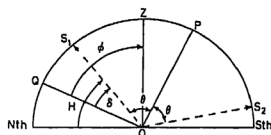
والارتفاع عند العبور السفلي:  $37^\circ \ 52' \ 28''$   
 $\therefore$  الارتفاع المرصود:  $37^\circ \ 53' \ 44'' \ S$  (الانكسار)  $+ 37^\circ \ 52' \ 28''$

وبنفس الطريقة يكون ارتفاع مركز الشمس بالعبور العلوي مساويا:  $31^\circ \ 50' \ 14'' \ N = 90^\circ - \phi + \delta_s$

ويجب أن تعاد هذه القيمة التي القيمة المرصودة بتطبيق التصحيح التالي:



شكل 38-4



شكل 39-4

لنصف القطر:  $(+16^{\circ}18')$  ولانكسار:  $(+1^{\circ}33')$  ولاختلاف النظر:  $(-08^{\circ})$ .  
 الارتفاع المرصود في العبور العلوي:  $(32^{\circ}07'57'')$  شمالا  
 والارتفاع المرصود في العبور السفلي:  $(13^{\circ}15'00'')$  جنوبا

### تمارين

4-4 يعطى الجدول ادناه معلومات تخم رصدة خط زوال زوج سمى لخط العرض:

النجم	الميل	الارتفاع المرصود	المنسوب العين الجسم
X	18 42 38 S	58 32 47 N	6.2
Y	83 50 22 S	56 21 18 S	3.6

اوجد خط عرض محطة الرصد ، باخذ تصحيح الانكسار مساويا ((زاوية الارتفاع)  $\text{COT } (-57^{\circ})$  والتقسيم الواحد للقطاع بساوي  $15''$ . ما هي القاعدة من رصد النجوم التي تتكبد CULMINATE في الجوانب المعاكسة من السميت ZENITH ؟  
 [الجواب :  $(50^{\circ}10'24''\text{S})$ ]  
 لاحظ جيدا في تشير قراءات المنسوب الى قطاع الارتفاع BUBBLE كية تصحيح مؤشر الدائرة العمودية  $(X) (+18^{\circ})$  و  $(Y) (-21^{\circ})$  من  $((0-e)/n) \times d''$  ، حيث ان d هي قيمة التقسيم الواحد للقطاع و n هي الـ  $(N^{\circ})$  للقراءات.

4-5 في الجدول ادناه قيم للمطلع المستقيم والميول لنجمين مراد استخدامهما لتعيين خط عرض موقع بخط طول  $(30^{\circ}50'39''\text{E})$  ، علما بان خط عرضه التقريبي  $(20^{\circ}\text{S})$  :

الميل	المطلع المستقيم	النجم
RA		
1	10H 17M 56.5S	20 01 45 N
2	10H 30M 43.8S	61 30 00 S

فلذا كانت قيمة R عند متوسط ظهر كرنج السابق تساوي

LOCAL TRANSIT للنجمين . اوجد الـ (GMT) للعبور المحلي (10H 33M 48.2S)

كانت اعلى زاوية ارتفاع مرمودة للنجمين 1 و 2 :  
(49°55'23") و (48°34'32") على التوالي، ما هو خط عرض  
الموقع ؟  
[الجواب: (20°03'41"S) و (2H 29M 38.7S) و (2H 16M 53.5S)]

4-6 ادناه زوايا ارتفاع خطوط الزوال المسجلة لـ 6 نجوم وميولها :

النجم	ارتفاع خط الزوال	الميل
X <sub>1</sub>	30 12 02 N	69 49 55 N
X <sub>2</sub>	30 41 57 S	8 59 10 S
X <sub>3</sub>	47 26 32 N	87 05 10 N
X <sub>4</sub>	47 25 42 S	7 45 20 N
X <sub>5</sub>	57 29 17 N	82 51 50 N
X <sub>6</sub>	57 00 27 S	17 20 20 N

يمكن فرض ان زوايا الارتفاع هي خالية من اخطاء الاجهزة  
لستخرج من هذه الرصدات تأثيرات الانكسار وقارن نتائجك  
مع القيم الاعتيادية.  
[الجواب: (±97°) و (±52°) و (±37°)]  
ايها : قارن متوسط خط العرض لكل زوج مع خط العرض  
المنفرد.

#### 6-4 تعيين السمـت DETERMINATION OF AZIMUTH

إضافة الى الفكرة الاساسية في توجيه خط قاعدة  
اعمال مسح نسبة الى خط الزوال فإن تعيين السمـت كإداة  
للسيطرة على خطأ السمـت قد أصبح حتى أكثر اهمية  
بازدياد شيوع اعمال التضليع بآجهزة الـ (EDM). انظر  
الفصل الثاني.

إن كافة الطرق المستخدمة تتطلب الزاوية الافقية  
بين خط القاعدة والجسم المرصود مركبة إما مع زاوية  
الارتفاع او مع وقت الرصد. وهذا يمكن من إيجاد  
العناصر الضرورية للمثلث الفلكي واستخدامها في إيجاد  
زاوية السمـت في Z (شكل 4-14).

4-6-1 قياس الارتفاع « إضافة الى خط الطول » من خلال الرصد الى الشمس

او الى نجم

خذ اولاً رمدة الشمس، حيث ينصب الجهاز في إحداثي  
نهايتي خط القاعدة ويقاطع الجسم المرجعي (RO)

REFERENCE OBJECT في النهاية الاخرى لخط القاعدة، بعد ذلك يدور الجهاز باتجاه الشمس وتسجل متوسط زاوية الارتفاع  $H$  والزاوية الافقية من خط القاعدة الى الشمس، حيث تسجل متوسط القيمة من ثلاث قراءات في الاقل مأخوذة على الوجهين الى طرفي الشمس بشكل متناوب .

يسجل وقت لحظة تسجيل الرصد الى اقرب دقيقة لاجل اخذ المجل 8 من "التقويم النجمي". كما تسجل درجة الحرارة والضغط لاحتساب الانكسار، ويتم الحصول على خط عرض الراصد من خارطة او بواسطة الرصد، وهكذا يتم ايجاد الاضلاع الثلاثة للمثلث الفلكي ، الى الارتفاع المقاس من القطب (CO-ALT) والميل المقاس من القطب (CO-DEC) وخط العرض المقاس من القطب (CO-LAT)، ممكنة بذلك الحل بواسطة قانون جيب التمام COSINE RULE لاجاد الزاوية  $Z$  - انظر (المثال المحلول 4-17).

إن القوائد الواضحة من استخدام نجم هي ان (I) التقاطع المباشر يكون ممكنا (II) ليس هنالك تصحيحات ضرورية عن اختلاف النظر او عن نصف القطر SEMI DIAMETER (III) ان وقت الرصد غير مطلوب طالما ان الميل ثابت لذلك اليوم (IV) من الممكن الرصد عند او بالقرب من الاستطالة ، والذي يمكن ارضياته بانها افضل شرط لتقبل تاثير الاختطاع في  $H$  او  $\phi$  .

#### 4-6-2 قياس الوقت « اضافة الى خط الطول » من خلال الرصد الى الشمس إلى نجم

إن هذه التقنية مشابهة لتلكتي سبقتها بالفارق في ان وقت المقياس المضبوط للرصد يحل محل الارتفاع المقاس، ويمكن ان تكون القيمة التقريبية للارتفاع ضرورية (الى اقرب درجة) لاحتساب تصحيحات الجهاز.

من الوقت العالمي (UT) للرصد ومن خط طول الراصد يتم احتساب الـ (LHA  $h$ ) ويؤخذ الميل  $\delta$  من التقويم النجمي، ثم يتم ايجاد خط العرض كما في الطريقة السابقة حيث يتم حل المثلث الفلكي بقانون الاربعة حدود FOUR PARTS FORMULA باستخدام  $g$  و  $\delta$  و  $\phi$  .

لقد تم سابقا شرح قوائد استخدام نجم بدل الشمس ، كما وان تحليل الخطأ يظهر بان تاثير الخطأ على الوقت هو بامصر قيمة له عندما تكون  $S$  و  $\delta$  تسعين درجة.  $S$  ستكون  $90^\circ$  عندما يكون النجم في حالة استطالة و  $\delta$  ستكون قريبة من  $90^\circ$  في حالة النجم القطبي بولارس او الثامن OCTANTIS وهكذا تستخدم الرصدات الى النجوم القريبة من القطبين CIRUMPOLAR STARS قرب استطالتها عند طلب دقة عالية .

لذا استخدم بولارس وإذا كانت درجة الضبط البالغة 0.2 مقبولة فإن الحل السريع سيكون ممكنا من جداول النجم القطبي POLAR STAR TABLE في "التقويم النجمي"، حيث أن سمت بولارس سبساوي:

$$(سمت بولارس) = (b_0 + b_1 + b_2) \sec \phi$$

من الضروري معرفة الـ (LST) لأخذ  $b_0$  ومعرفة خط العرض لأخذ  $b_1$  ومعرفة الشهر من السنة لأخذ  $b_2$ .

هنالك فائدة أخرى من استخدام بولارس ، وهي حركته البطيئة نسبيا في الفضاء بسبب دائرة دورانه الصغيرة حول القطب خلال 24 ساعة نجمية.

#### 4-6-3 النجم عند أو بالقرب من استوائه

إذا تقدر رصد نجم في نفس لحظة الاستطالة (شكل 4-11) سيتكون شكل مثلث كروي قائم الزاوية وفي هذه الحالة ، وحيث أن  $\delta$  و  $h$  ستكونان معروفتان قبل الرصد فإنه من الممكن إجراء احتساب مسبق لوقت وسمت وارتفاع النجم من:

$$\sin H = \frac{\sin \phi}{\sin \delta} \quad \sin Z = \frac{\cos \delta}{\cos \phi} \quad \sin h = \frac{\cos H}{\cos \phi}$$

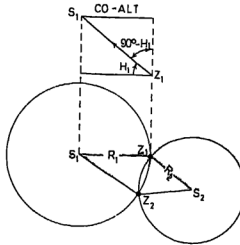
وباستخدام هذه المعلومات يصبح من الممكن نصب الجهاز قبل موعد الاستطالة بضع دقائق، مع هذا ، وحيث - نظريا - تحدث الاستطالة خلال لحظة فقط ، ولما كان إجراء عدد من القراءات على الوجهين يتطلب الوقت ، فإنه يفضل عموما رصد النجوم قرب الاستطالة باستخدام اية من الطريقتين التفتي الذكر.

#### 4-7 خطوط المربع POSITION LINES

إن طريقة خطوط الموقع هي تقنية شبه تخطيطية-SEMI GRAPHICAL لتعيين خط العرض والطول، وهذه الطريقة تتطلب قياس كلا الوقت والارتفاع لنجمين في الأقل زائدا الموقع التقريبي للراصد.

#### 4-7-1 أساس الطريقة

تصور أن راصدا يقيس ارتفاع نجم موقعه في الفضاء ثابت، فإن أخذ الراصد الآن يحرك الجهاز إلى عدد لانهاضي من المواقع بحيث يقيس الارتفاع نفسه ، فإنه سيرسم دائرة على سطح الأرض، وسيكون مركز هذه الدائرة بمثابة مسقط النجم الشاقولي على الأرض وسيكون نصف قطرها الزاوي مساويا إلى الارتفاع المقاس من القطب CO-ALT (شكل 4-40)، فإذا رصد نجمان سيكون هنالك دائرتان تتقاطعان في النقطتين  $Z_1$  و  $Z_2$  تمثل إحدهما موقع الراصد، أي أن هنالك فقط موقعين على سطح الأرض يتساوي فيهما الارتفاع المقاس من القطب في لحظة معينة. وحيث أن الموقع التقريبي للراصد معروف فإنه من السهل



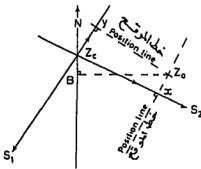
شكل 4-40

## 4-7-2 الطريقة

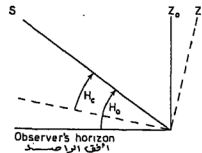
خذ الموقع  $Z_1$  فقط، إن القوسين المتقاطعين في  
الميز القريب يرسمان بمقياس كبير ، وهكذا يظهران  
كأنهما خطان مستقيمان بسميان "خطا الموقع POSITION  
LINES"، والخطان  $(Z_1S_1)$  و  $(Z_1S_2)$  هما لهما اتجاهها أو سمتا  
النجمين نسبة إلى الراصد في  $Z_1$  ، وهما عموديان على  
خطي الموقع.

وهكذا يتم قياس ارتفاعي ووقت النجمين ، وباستخدام  
القيمة التقريبية لـ  $(LHA \ h)$  و  $\delta$  يجري حل المثلث  
الفلكي لإيجاد السمات والارتفاع. فكل من النجمين الآن  
ارتفاع محتسب ومقاس لإضافة إلى السمات من الموقع  
التقريبى.

بعد ذلك ترسم دائرة خط الطول MERIDIAN ويتم لاختيار  
النقطة Z عليها لتعيين الموقع التقريبى للراصد.  
فباستخدام منقلة زوايا يتم تأشير سمتى النجمين  $(Z_1S_1)$   
و  $(Z_2S_2)$  - انظر <الشكل 4-41>.



شكل 4-41



شكل 4-42

برسم خطا الموقع بحيث يصنعان زاوية  $90^\circ$  مع السمتين عند نقطتين ثابتتين باستخدام (الشكل 4-42)، وهذا يشير إلى أنه إذا كان الارتفاع المرصود  $H_0$  أكبر من الارتفاع المحسوب  $H_c$  فإن الموقع الصحيح للراصد  $Z_0$  يكون باتجاه النجم مقاسا من الموقع التقريبي  $Z_c$ . ثم ترسم هذه المسافة ( $Z_0 Z_c$ ) التي هي دالة خطية لـ ( $H_0 - H_c$ ) بمقياس رسم معين باتجاه النجم مثبتة بذلك النقطة  $x$  في (الشكل 4-41)، فيعبر  $x$  عن ( $H_0 < H_c$ ) فإن المقطع INTERCEPT سيقاس من  $Z_c$  بعيدا عن  $S_1$  مثبتا بذلك النقطة  $y$ ، ويرسم خطا الموقع من خلال  $x$  ولا يتقاطعا في  $Z_0$  وهي الموقع الحقيقي للراصد. فهذا المخطط البسيط كالذي مبين في (الشكل 4-42) يشير بسرعة إلى أن المقطع مقاس بالاتجاه نحو  $Z_0$  أو منه.

إن المسافة ( $Z_0 B$ ) هي الفرق بخط العرض ( $\Delta\phi$ ) بين الموقع التقريبي والموقع الحقيقي للراصد وهي تقاس من المخطط مباشرة، أما ( $BZ_0$ ) فهو الفرق بخط الطول ( $\Delta\lambda$ ). ولما كانت هذه ( $\Delta\lambda$ ) مسافة متغيرة على سطح الأرض بين خط الاستواء والقطب فإنها يجب أن تصحح كما يلي:

$$(\Delta\lambda) \sec \phi = BZ_0 \quad (\text{الحقيقية})$$

عند استخدام ثلاثة أو أربعة نجوم فإن تقاطع خطوط الموقع يمكن أن يعطي مثلثا خطا أو شكل رباعي للخطا، ويكون الموقع المطلوب واقعا في مركز الدائرة المرسومة داخل هذا الشكل، وينصح الطالب الآن بالاعتماد بالمبادئ اتفة الذكر جنباً إلى جنب مع دراسة دقيقة للأمثلة المحولة.

### أمثلة محلولة

مثال 4-17: كانت متوسطات قيم رصد الشمس للسمت؛ متوسطا لارتفاع المرصود يساوي ( $38^\circ 21' 55''$ ) ومتوسط قراءة الدائرة إلى الشمس تساوي ( $13^\circ 01' 35''$ ) ومتوسط قراءة الدائرة إلى الهدف المرجعي (RT) تساوي ( $64^\circ 44' 27''$ )، والفرق بين قراءتي ميزان الطبق (القفاة) على الوجهين يساوي ( $+0.3$ ) حيث أن التقسيم الواحد للقفاة يساوي  $20''$ ، وخط عرض الراصد يساوي ( $51^\circ 25' 18''$ ) شمالا، وقد أخذت المعلومات الإضافية التالية من التقويم النجمي؛ الميل يساوي ( $3^\circ 01' 36''$ ) شمالا والانكسار ( $01' 10''$ ) واختلاف النظر  $6''$ ، أوجد سمت الخط إلى الهدف المرجعي (RT) إذا كانت الشمس في الجنوب الشرقي في لحظة الرصد.

ماذا سيكون تأثير الخطا في الارتفاع المقاس على السمت؟ وماذا ستشير معادلة الخطا الناتجة؟  
(بوليتكنيك كنكزتون)

$$\begin{aligned}
 &= 38^{\circ}21'55'' \\
 &= -01'10'' \\
 &= +6''
 \end{aligned}
 \begin{array}{l}
 \text{الارتفاع المرصود (أي المقاس):} \\
 \text{الانكسار;} \\
 \text{لختلاف النظر;}
 \end{array}$$

$$H = 38^{\circ}20'51'' \quad \text{، الارتفاع المصحح H يساوي:}$$

أما بقية عناصر المثلث الفلكي فهي ممثلة ، أي خط العرض  $\phi$  والميل  $\delta$  مما يسمح بحله بقانون جيب التمام ، وعلى الطالب الآن رسم المثلث الفلكي (PZS) وتأشير العناصر المختلفة عليه .

$$\cos(\text{co-dec}) = \cos(\text{co-lat}) \cos(\text{co-alt}) + \sin(\text{co-lat}) \sin(\text{co-alt}) \cos Z$$

$$\therefore \cos Z = \frac{\sin \delta - \sin \phi \sin H}{\cos \phi \cos H} = \frac{\sin 3^{\circ}01'36'' - \sin 51^{\circ}28'18'' \sin 38^{\circ}20'51''}{\cos 51^{\circ}28'18'' \cos 38^{\circ}20'51''}$$

$$\therefore Z = 152^{\circ}09'10''$$

هذه هي الزاوية (PZS) ، لكنها أيضا تمثل سمت الشمس لان الشمس هي في الجنوب الشرقي ، والزاوية بين الشمس والهدف المرجعي (RT) باتجاه عقرب الساعة تساوي  $(51^{\circ}42'52'')$  ، إذن سمت (RT) يساوي  $(203^{\circ}52'02'')$  .

ويتم الحصول على تأشير الخطأ في الارتفاع - لمعتباديا - بإجراء التفاضل على المعادلة الرئيسية بالنسبة لـ H:

$$\cos Z = \frac{\sin \delta - \sin \phi \sin H}{\cos \phi \cos H}$$

$$\begin{aligned}
 \therefore -\sin Z \delta Z &= \frac{\cos \phi \cos H (-\sin \phi \cos H) - (\sin \delta - \sin \phi \sin H) (-\cos \phi \sin H) \delta H}{\cos^2 \phi \cos^2 H} \\
 &= \frac{-\sin \phi \cos^2 H + \sin \delta \sin H - \sin \phi \sin^2 H \delta H}{\sin Z \cos \phi \cos^2 H}
 \end{aligned}$$

$$\sin \phi - \sin \delta \sin H = \cos \delta \cos H \cos S \quad \text{ومن قانون جيب التمام:}$$

$$\therefore \delta Z = \frac{\cos \delta \cos H \cos S \delta H}{\sin A \cos \phi \cos^2 H}$$

$$\sin A \cos \phi = \sin S \cos \delta \quad \text{من قانون الجيوب:}$$

$$\therefore \delta Z = \frac{\cos \delta \cos H \cos S \delta H}{\sin A \cos \phi \cos^2 H} = S \sec H \delta H$$

وهذا يشير إلى أن ( $\delta Z$ ) ستكون بأقل قيمة عندما تقترب S من  $90^{\circ}$  ، أي أن الشمس أو النجم هي أو هو بحالة استقامة وأن H هو ارتفاع واطيء .

مثال 4-18: شهود النجم القطبي بولارس من موقع ذي خط طول ( $80^{\circ} 20' 15''$ ) غربا لاجل ايجاد خط عرض الموقع وسمت الخط من الجهاز الى الهدف المرجعي (RT)، ومدرج ادناه متوسطات الاوقات والزوايا:

متوسط وقت كرنج متوسط الارتفاع الزاوية الإعتية إتجاه (GMT) الرصد

RT	246 13 22	- - -	- - -
بولارس	63 41 16	42 31 40	05H 01M 43.6S

ايضا ميل النجم القطبي بولارس يساوي ( $89^{\circ} 04' 24''$ ) شمالا و (RA) للنجم القطبي يساوي ( $1H 55M 49.2S$ ). ثم ( $R=GST-GMT=18H 17M 18S$ ). وتصحيح الانكسار ( $-1' 03''$ ).

اوجد خط عرض الموقع وسمت الخط الى الهدف المرجعي. (جامعة لندن)

المحل

إن هذا السؤال يعطى قيم  $H$  و  $\delta$ ، والمطلوب حل المثلث الفلكي لاجداد  $Z$  و  $\theta$ ، وعليه فمن الواضح ان المطلوب هو عنصر الآخر للمثلث والذي يجب ان يكون ( $LHA(h)$ ).

انشيء مخطط الوقت (شكل 4-43) مبينا فيه  $Z$  باتجاه ( $R=18H 17M 18S$ ) بحيث موقع  $M$  و ( $5H 21M 21S$ ) غربا و ( $R=18H 17M 18S$ ) مقاسا في الحقيقة بعكس اتجاه عقرب الساعة من  $Y$  الى  $M$ ، بحيث الموقع النسبي لـ  $Y$ ، ثم (RA) لبولارس بحيث موقع  $S$ ، و ( $LHA$ ) هي ( $ZS$ ).

من (الشكل 4-43):  $YG=12h-(GMT+RAMS)=0h 40m 58.4s$ ؛  $YG+RA=7h 58m 08.6sE$

∴  $h = 119^{\circ} 32' 01'' E$

الارتفاع المصحح  $H$  يساوي ( $42^{\circ} 30' 37''$ ) والميل  $\delta$  يساوي ( $89^{\circ} 04' 24''$ ).  
والان بواسطة قانون الجيوب:

$$\sin Z = \frac{\sin h \sin(90^{\circ} - \delta)}{\sin(90^{\circ} - H)} = \frac{\sin h \cos \delta}{\cos H} = \frac{\sin 119^{\circ} 32' 09'' \cos 89^{\circ} 04' 24''}{\sin 42^{\circ} 30' 37''}$$

∴  $Z = 1^{\circ} 11' 35.6''$  (شرفا كما تشير اليه (LHA))  
لأن الزاوية من النجم بولارس باتجاه عقرب الساعة الى (RT) تساوي ( $182^{\circ} 32' 06''$ ).  
لأن سمت (RT) يساوي ( $183^{\circ} 43' 41.6''$ ).

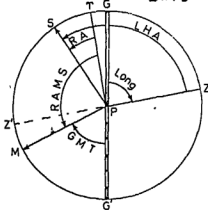
ويمكن الان ايجاد خط العرض باستخدام (المعادلة 8-14) لـ النجوم القريبة من القطبين - انظر (الفقرة 3-5).  
وحيث ان زاوية السمات هي متوفرة يمكن حل المثلث الفلكي باستخدام:

$$\tan \frac{1}{2}(x+y) = \frac{\cos \frac{1}{2}(X-Y)}{\cos \frac{1}{2}(X+Y)} \times \tan \left( \frac{Z}{2} \right)$$

وتستخدم هذه المعادلة عموماً جنباً إلى جنب مع:

$$\tan \frac{1}{2}(x - y) = \frac{\sin \frac{1}{2}(X - Y)}{\sin \frac{1}{2}(X + Y)} \times \tan \left( \frac{Z}{2} \right)$$

عندما يكون كلا الضلعين  $x$  و  $y$  مطلوبين.



شكل 4-43

فاستخدام المعادلة الأولى يعطي:

$$\tan \frac{1}{2}(\text{co-alt} + \text{co-dec}) = \frac{\cos \frac{1}{2}(h - Z)}{\cos \frac{1}{2}(h + Z)} \times \tan \frac{1}{2}(\text{co-lat})$$

$$\therefore \frac{\tan 24^\circ 12' 30'' \cos 60^\circ 21' 52''}{\cos 59^\circ 10' 16''} = \tan \frac{1}{2}(90^\circ - \phi)$$

$$\therefore (90^\circ - \phi) = 46^\circ 54' 12''$$

$$\therefore \text{Latitude } \phi = 43^\circ 05' 48'' \text{ N}$$

لذا خط العرض  $\phi$  يساوي:

مثال 4-19: أجريت قراءات من محطة مزواة إلى كل من طرفي الشمس الطالعة RISING SUN وكذلك إلى هدف مرجعي، وكان خط عرض المحطة ( $50^\circ 29' 25''$ ) شمالاً وقد وجد سابقاً، والجدول أدناه يعطي متوسط القيم للقراءات المأخوذة:

متوسط وقت كرنج (GMT)	الارتفاع المقاس	الدائرة الأفقية	إتجاه الرصد
15h 32m 18.6s	45 43 30	215 44 55	الشمس
—	—	043 31 15	RT

كانت القيمة الملائمة لـ  $E$  تساوي (11h 59m 20s) وكان تصحيح الانكسار واختلاف النظر ( $1' 38''$ ) و ( $8''$ ) على التوالي، وكان ميل الشمس ( $90^\circ 00' 40'' \text{ N}$ )، أوجد خط طول المحطة وسمت الخط الذي يصل بين المحطة والـ (RT)، (جامعة لندن)

الحل

$$H = 30^\circ 43' 45'' - 1' 38'' + 8'' = 30^\circ 42' 15'' \quad \text{الارتفاع المصحح H}$$

$$= 50^\circ 29' 25'' \quad \text{خط العرض } \phi$$

$$= 9^\circ 00' 40'' \quad \text{الميل } \delta$$

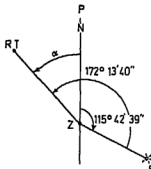
وهكذا بمعرفة الثلاثة اضلاع للمثلث الفلكي يمكن إيجاد زاوية السميت A في Z والـ (LHA(h)). فبواسطة قانون جيب التمام:

$$\cos(90^\circ - \delta) = \cos(90^\circ - H) \cos(90^\circ - \phi) + \sin(90^\circ - \phi) \sin(90^\circ - H) \cos A$$

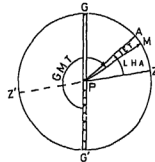
$$\therefore \cos A = \frac{\sin \delta - \sin \phi \sin H}{\cos \phi \cos H} = \frac{\sin 9^\circ 00' 40'' - \sin 50^\circ 29' 25'' \sin 30^\circ 42' 15''}{\cos 50^\circ 29' 25'' \cos 30^\circ 42' 15''}$$

$$\therefore \cos A = -0.433829 \quad A = 115^\circ 42' 39''$$

وهذه الزاوية يمكن قياسها ببساطة شرقا أو غربا من الشمال، مع ذلك، فالسؤال بذكر بان الشمس الطالعة كانت قد شوهدت من خط عرض شمالي، وعليه فإن الشمس يجب ان تكون في الجنوب الغربي (شكل 4-4).



شكل 4-4



شكل 4-5

لإذن سمت الهدف المرجعي (RT):  
 $N \propto W = N56^\circ 31' 01'' W = 307^\circ 28' 59''$   
 وتطبيق ثاني لقانون جيب التمام سيعطي الآن h:

$$\cos h = \sin H - \sin \phi \sin \delta / \cos \phi \cos \delta = 0.620292$$

$$\therefore h = 38^\circ 20' 15'' = 2 \text{ h } 33 \text{ m } 21 \text{ s E}$$

والان انشاء مخطط الوقت (شكل 4-5) بـ (GG') كدائرة خط طول كرنيج، فـ (GMT) يعين موقع M (متوسط الشمس) و (E=12h-ET). هذا وان (ET=40')، وهكذا فإن M تتسبب A (الشمس الحقيقية) بهذا المقدار، وحيث ان (LHA(h)) هي شرق خط زوال الراصد فإن هذا يثبت موقع Z في الغرب، وكما هو مبين.

$$\therefore \text{Longitude } GZ = GM - AM + AZ$$

$$= 3 \text{ h } 32 \text{ m } 18.6 \text{ s} - 40 \text{ s} + 2 \text{ h } 33 \text{ m } 21 \text{ s}$$

$$= 6 \text{ h } 04 \text{ m } 59.6 \text{ s W}$$

$$= 91^\circ 14' 46.3'' W$$

مثال 4-20: لمن متوسطات قيم الوقت وقراءات الذاكرتين الافقية والعمودية لرصدة على النجم جولارس معطاة من الجدول ادناه، وقد تم تصحيح الزاوية الشاقولية عن الانكسار. وكانت R في وقت الرصد (10h 47m 06.8s) وكانت (RA) تساوي (1h 55m 26.3s). وميل جولارس (89° 04' 52'' N).



إذن سمت الهدف المرجعي (RT):  
 $= 66^{\circ}26'15'' - 01^{\circ}05'47'' = 65^{\circ}20'28''$

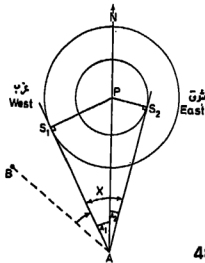
مثال 4-21: رصد نجمان بحالة استقامة من المحطة A الواقعة على خط عرض شمالي وكما يلي:

النجم	الميل	الزاوية من (AB) باتجاه عقرب الساعة
$S_1$	+ 56 40 50 (في الغرب)	$20^{\circ}10'19''$
$S_2$	+ 76 07 48 (في الشرق)	$104^{\circ}17'10''$

اوجد سمت (AB) ومن ثم اوجد خط العرض، (جامعة لندن)

الحل

حيث لم يعط خط العرض في السؤال فإنه من غير الممكن ايجاد سمت النجمين من  $(\sin Z = \cos \delta / \cos \phi)$  وابتعاد متوسطهما. وتتبع الطريقة التالية لانها تستبعد، وعليه فهي لا تتأثر بالخطأ الموجود في  $\phi$  وهي لذن اكثر ضبطاً. وهذه الحالة هي مبينة في الشكل 4-48.



شكل 4-48

$$\sin A_1 = \cos \delta_1 / \cos \phi \quad \sin A_2 = \cos \delta_2 / \cos \phi$$

$$\therefore \sin A_1 / \sin A_2 = \cos \delta_1 / \cos \delta_2 = K \quad (\text{كمية ثابتة معلومة})$$

$$A_1 + A_2 = X$$

$$\sin A_1 = \sin(X - A_2) = \sin X \cos A_2 - \cos X \sin A_2$$

$$\sin A_1 = K \sin A_2$$

$$\therefore K = \sin X \cot A_2 - \cos X$$

$$\therefore \cot A_2 = \frac{K + \cos X}{\sin X}$$

والان :

ثم :

ولكن :

ولكن:

$$K = \frac{\cos 56^\circ 40' 50''}{\cos 76^\circ 07' 48''} = 2.291453$$

ومن الشكل 4-48:  $\lambda = 104^\circ 17' 10'' - 20^\circ 10' 19'' = 84^\circ 06' 51''$ 

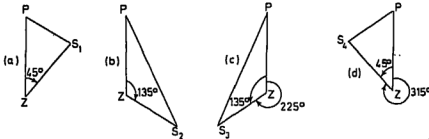
$$\therefore \cot A_2 = \frac{2.291453 + \cos 84^\circ 06' 51''}{\sin 84^\circ 06' 51''}$$

∴  $A_2 = 22^\circ 33' 48''$  (سمت  $S_1$ )=  $22^\circ 33' 48'' - 104^\circ 17' 10'' = 278^\circ 16' 38''$  إذن سمت (AB):

مثال 4-22: تقرر رصد أربعة نجوم من موقع ذي خط عرض  $52^\circ$  شمالا وخط طول  $1^\circ$  غربا لتثبيت خط موقع POSITION LINE. بفترض بأن لكل من النجوم ارتفاع بفتر من  $50^\circ$  وأن سموتهم هي  $45^\circ$  و  $135^\circ$  و  $225^\circ$  و  $315^\circ$  تقريبا. فلذا افترض بأن وقت الرصد كان حوالي الساعة 01 GMT) عندما كانت القيمة التقريبية لـ  $(R = (GST - GMT))$  حوالي  $(8h34m)$ . اوجد الميلا الذي اقرب درجة والمطلع المستقيم للنجوم التي اقرب 5 دقائق. إن لأقرب نجم ملائم للرصد الجنوبية الشرقية مطلع مستقيم مقداره  $(11h12m)$  وميل  $(20^\circ 44' N)$ . في أي (GMT) تقريبا سيكون ارتفاعه  $50^\circ$  وماذا سيكون سمته التقريبي؟

تعتبر درجة الضبط ACCURACY بثلاثة ارقام ملائمة في هذا السؤال. (جامعة لندن)

الحل



شكل 4-49

إن الشكل 4-49 يوضح سموت النجوم الأربعة وبجين بأن حل المثلث الفلكي سيكون متشابه للنجمين  $S_1$  و  $S_4$  وايضا للنجمين  $S_2$  و  $S_3$ . وبالإضافة إلى ذلك فلن خط العرض والارتفاع قد أعطيا ، وعليه ، فمن قانون جيب التمام:

$$\sin \delta = \sin H \sin \phi + \cos H \cos \phi \cos A$$

$$\sin \delta = \sin 50^\circ \sin 52^\circ + \cos 50^\circ \cos 52^\circ \cos 45^\circ$$

$$\therefore \delta = 19^\circ N$$

النجمان  $S_1$  و  $S_4$ :

$$\sin \delta = \sin 50^\circ \sin 52^\circ + \cos 50^\circ \cos 52^\circ \cos 135^\circ$$

$$\therefore \delta = 62^\circ N$$

النجمان  $S_2$  و  $S_3$ :

ولابجاء المطلع المستقيم ، يجب احتساب زاوية الساعة للنجوم اولاً.

النجمان  $S_1$  و  $S_4$  (باستخدام المعادلة ذات الاربعة حدود):

$$\sin A \cot h = \sin(90^\circ - \phi) \cot(90^\circ - H) - \cos(90^\circ - \phi) \cos A$$

$$\therefore \cot h = \frac{\cos 52^\circ \tan 50^\circ - \sin 52^\circ \cos 45^\circ}{\sin 45^\circ}$$

لذن  $h$  تساوي  $76^\circ$  اي  $(5h\ 5m)$  شرقاً بالنسبة لـ  $S_1$  و غرباً بالنسبة لـ  $S_4$ .

$$\cot h = \frac{\cos 52^\circ \tan 50^\circ - \sin 52^\circ \cos 135^\circ}{\sin 135^\circ} \quad \text{النجمان } S_2 \text{ و } S_3$$

لذن  $h$  تساوي  $(1h\ 55m)$  شرقاً بالنسبة لـ  $S_2$  و غرباً بالنسبة لـ  $S_3$ .

ولابجاء المطلع المستقيم ، انشاء مخطط الوقت بالطريقة الاعتيادية (شكل 4-50).

خط الطول (4m W) يثبت Z نسبة الى G و (GMT) مقاساً باتجاه عقرب الساعة من الجهة المقابلة ANTIPODES يثبت M ، و (R=8h34m) ، وهكذا فلن (RAMS=20h34m) التي تفيد في تعيين موقع Y ، أما بالنسبة للنجم  $S_1$  ، فلن (LHA) ذات القيمة  $(5h\ 5m)$  شرقاً مقاسة من Z ستثبت  $S_1$  ، وعليه فلن المطلع المستقيم لـ  $S_1$  هي الزاوية المقاسة بعكس اتجاه عقرب الساعة من Y.

$$MZ = 11h\ 4m$$

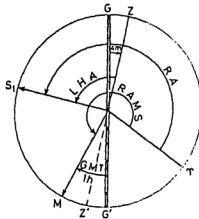
$$\therefore ZT = RAMS - MZ = 9h\ 30m$$

$$= ZT + LHA = 14h\ 35m \quad \text{لذن المطلع المستقيم لـ } S_1 \text{ يساوي:}$$

$$\text{وحيث ان (LHA) لـ } S_4 \text{ تساوي } (5h\ 5m) \text{ غرباً فلن المطلع المستقيم لـ } S_4: \\ = 14h\ 35m - 10h\ 10m = 4h\ 25m$$

يمكن تثبت النجمان  $S_2$  و  $S_3$  على الشكل باستخدام زاوية الساعة لكل منهما.

$$\therefore RA \text{ of } S_2 = 11h\ 25m \quad RA \text{ of } S_3 = 7h\ 35m$$



شكل 4-50

لإذن المطلع المستقيم لـ  $S_2$  يساوي (  $11^h 25^m$  ) والمطلع المستقيم لـ  $S_3$  يساوي (  $7^h 35^m$  ).  
في الجزء الثاني من السؤال تتغير قيمة  $\delta$  بالنسبة لـ  $S_2$  :

$$\cos A = \frac{\sin \delta - \sin H \sin \phi}{\cos H \cos \phi} = \frac{\sin 20^\circ 44' - \sin 50^\circ \sin 52^\circ}{\cos 50^\circ \cos 52^\circ}$$

$$\therefore A = 129^\circ$$

$$\cos h = \frac{\sin 50^\circ - \sin 20^\circ 44' \sin 52^\circ}{\cos 20^\circ 44' \cos 52^\circ} \therefore h = 2^h 05^m \text{ E} \quad \text{وبنفس الطريقة:}$$

ويجب على الطالب محاولة عمل مخطط وقت لنفسه باستخدام  
(  $h=2^h 05^m$  ) و (  $RA=11^h 12^m$  ) و (  $R=8^h 34^m$  ) معطيا بذلك  
(  $GMT=0^h 37^m$  ).

مثال 4-23: أخذت رصدات على أربعة نجوم لتعيين خط عرض وخط طول محطة كان موقعها المفترض (  $50^\circ 30'$  ) شمالا و (  $104^\circ 37'$  ) غربا. وقد احتسبت السموت والارتفاعات لأوقات الرصد على أساس الموقع المفترض، وهذه القيم هي مدرجة أدناه مع الارتفاع المقاس. صحح الارتفاع المقاس باستخدام جدول الانكسار. ثم ارسم على ورق بياني خطوط الموقع ومن ثم قدر خط العرض وخط الطول لهذه المحطة.

الارتفاع المرصود	الارتفاع المحتسب	السمت المحتسب	النجم
53 28 30	53 27 41	042 15	1
48 12 16	48 10 51	148 10	2
49 22 03	49 21 24	245 45	3
54 59 52	54 59 35	319 30	4

الارتفاع المرصود	51° 21'	50° 45'	50° 10'	49° 35'	49° 01'	48° 28'	47° 55'
الارتفاع المحتسب	47	48	49	50	51	52	52

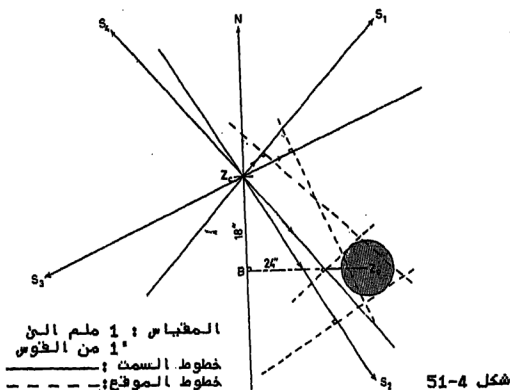
  

الارتفاع المرصود	55° 09'	54° 29'	53° 50'	53° 12'	52° 35'	51° 58'	51° 21'
الارتفاع المحتسب	41	42	43	44	45	46	46

( جامعة لندن )

الحل

ملاحظات	الفرق	الارتفاع المحتسب	الارتفاع المرصود	الارتفاع المحتسب	الارتفاع المرصود	الانكسار	النجم
باتجاه النجم +6	53 27 41	53 27 47	-43	53 28 30	1		
باتجاه النجم +33	48 10 51	48 11 24	-52	48 12 16	2		
بعيدا عنه -11	49 21 24	49 21 13	-50	49 22 03	3		
بعيدا عنه -24	54 59 35	54 59 11	-41	54 59 52	4		



والآن نرسم هذه القروقات المدرجة اعلاه كما هو مبين في  
(الفترة 4-7-2) لتعطي (الشكل 51-4) الذي يستنتج منه  
بأن الفرق في خط العرض هو (ZcB) ويساوي 18°.

لرذن خط عرض الرامد :  $\phi = 50^\circ 30' - 18^\circ = N 50^\circ 29' 42''$   
والفرق بخط الطول :  $BZ \text{ SEC } \phi = 24^\circ \text{ SEC } 50^\circ 29' 42'' = 37'$   
لرذن خط طول الرامد :  $= 104^\circ 37' - 37^\circ = 104^\circ 36' 23'' W$

ويجب على الطالب ملاحظة طريقة حل الشكل الرابعي للخطأ  
باستخدام دائرة مركزها  $Z_0$ .

### تمارين

4-7 لاجل تعيين سمت الخط المساحي (XY)، تميت مزواة في X  
غرب كرنج، وأخذت رصد بعد الظهر على الشمس، لإضافة  
الخط الزوال. أوجد سمت الخط باستخدام المعلومات  
التالية:

الارتفاع المصحح لمركز الشمس يساوي  $(17^\circ 38' 11'')$  ومتوسط  
وقت كرنج للرصد يساوي  $(15h 18m 14s)$  وميل الشمس عند  
متوسط نصف ليل كرنج (GMM) السابق يساوي  $(9^\circ 46' 47.8'')$   
جنوباً بمتناقض بمقدار  $1327'$  لكل يوم. وخط عرض المحطة  
لا يساوي  $(51^\circ 32' 25'' N)$  والزاوية الأفقية من الشمس إلى  
المدلة Y تساوي  $(55^\circ 26' 28'')$  مقاسة باتجاه عقرب  
الساعة. [الجواب :  $282^\circ 35' 48''$  (جامعة لندن)]

4-8 اوجد متوسط وقت كرنج (GMT) التقريبي الذي سيميل فيه نجم ميله ( $29^{\circ}50'N$ ) ومطلع المستقيم ( $8h\ 38m\ 36s$ ) ارتفاعا مصححا مقدار  $30^{\circ}$  على الجانب الشرقي من خط الزوال بخط عرض مقداره ( $52^{\circ}10'N$ ) وخط طول ( $1h\ 30mE$ ) عندما يكون (GST) لـ (GMM) مساويا ( $1h\ 25m\ 15s$ ) .  
(جامعة لندن)

[ الجواب :  $0h\ 29m\ 44s$  ]

4-9 باستخدام المعادلة المعطاة (او اية معادلة اخرى تعرفها) والمعلومات المدرجة ادناه ، اوجد سمت (RO)

من موقع الراصد ؛  
متوسط الارتفاع المرصود H للطرف السفلي للشمس في السماء الشرقية يساوي ( $30^{\circ}51'43''$ ) وخط العرض  $\phi$  يساوي ( $51^{\circ}24'00''N$ ) ، والميل  $\delta$  يساوي ( $5^{\circ}30'00''N$ ) و ( $P=90^{\circ}-\delta$ ) والتصحيح عن الانكسار يساوي ( $1^{\circ}14'$ ) والتصحيح عن نصف القطر يساوي ( $15'24''$ ) والتصحيح عن اختلاف النظر يساوي  $7^{\circ}$  والزاوية الأفقية المقاسة باتجاه عقرب الساعة من (RO) إلى الشمس تساوي ( $86^{\circ}40'30''$ ) .

المعادلة هي :  $\tan \frac{1}{2}A = [\sec s \sin(s - H) \sin(s - \phi) \sec(s - P)]^{\frac{1}{2}}$   
حيث ان  $s = \frac{1}{2}(H + \phi + P)$

(جمعية المهندسين المدنيين البريطانية)  
[ الجواب :  $77^{\circ}10'24''$  ]

4-10 اشرح - باستخدام مخطط - كيف تعلم ان نجم ما سيكون في حالة استتالة عند النظر اليه من خط عرض معين .

نجم ميله ( $61^{\circ}57'24''$ ) شمالا ، رصد بالاستتالة الشرقية من النقطة A التي هي على خط عرض ( $43^{\circ}58'12''$ ) شمالا ، وكانت الزاوية الأفقية من النجم إلى النقطة B باتجاه عقرب الساعة عند الاستتالة مساويا ( $83^{\circ}12'12''$ ) .  
جد سمت B من A . (جمعية المهندسين المدنيين البريطانية)  
[الجواب :  $123^{\circ}59'23''$ ]

4-11 اخذت القراءات التالية من محطة على خط الطول ( $6^{\circ}30'00''$ ) غربا .

متوسط وقت كرنج (GMT)	متوسط الارتفاع	متوسط الزاوية الأفقية	اتجاه الرصد
H M S			
RO	246 18 32	-- -- --	جولارس
	13 37 40	55 08 20	
	23 44 52.1		

وكانت قيمة R في وقت الرصد - مأخوذة من التقويم النجمي - تساوي ( $8h\ 31m\ 21.4s$ ) ، وكان المطلع المستقيم ( $2h00m16.1s$ ) وميل جولارس ( $89^{\circ}07'03''N$ ) .

طبق تصحيح انكسار قيمته  $41''$  على الارتفاع ، ثم

اوجد خط عرض المحطة وسمت الخط الذي يصل بين المحطة والـ (RO) . ( جامعة لندن )

[ الجواب :  $(52^{\circ}42'04''N)$  و  $(227^{\circ}08'20'')$  ]

4-12 من محطة الواقعة على خط عرض ( $38^{\circ}24'N$   $51^{\circ}$ ) أخذت القراءات التالية لن الشمس حيث شاهدهت في السماء الغربية، وقد أجريت كافة التصحيحات، كما وأن القراءات تتطابق على مركز الشمس في لحظة القراءة؛ متوسط الارتفاع المصحح يساوي ( $30^{\circ}19'20''$ ) ومتوسط قراءة الدائرة الأفقية لـ A تساوي ( $0^{\circ}00'00''$ ) ومتوسط قراءة الدائرة الأفقية لـ B تساوي ( $225^{\circ}02'39''$ ) وميل الشمس ( $23^{\circ}18'24''N$ ) والوقت (GMT) للرصد يساوي ( $16h39m29.4s$ ) كما وأن ( $E = 11h59m41.9s$ ) .  
 أوجد خط طول O وسمت (OA) .  
 الجواب : ( $55.7^{\circ}E$  و  $14^{\circ}55'51''N$ )  
 (جامعة لندن)

4-13 تعود المعطيات التالية إلى قراءات التي نجم السماك الرامح ARCTURUS الذي شوهد في السماء الفرجية من المحطة O الواقعة على خط عرض ( $51^{\circ}38'24''N$ )؛ متوسط الارتفاع المصحح يساوي ( $47^{\circ}11'05''$ ) ومتوسط قراءة الدائرة الأفقية على A تساوي ( $220^{\circ}36'04''$ ) ومتوسط قراءة الدائرة الأفقية على النجم ( $80^{\circ}10'10''$ ) وميل النجم ( $19^{\circ}23'57''N$ ) ومطلع المستقيم ( $14h\ 13m\ 47.2s$ ) والوقت العالمي للرصد يساوي ( $23h\ 02m\ 15.4s$ ) كما وأن ( $R = 17h\ 34m\ 51.6g$ ).  
أوجد خط طول O وسمت (OA).  
[الجواب: ( $0^{\circ}00'58.2''E$ ) و ( $339^{\circ}46'10''$ )]

4-14 مدرج ادناه المعلومات الخاصة بتعيين موقع محطة  
من قراءات الى اربعة نجوم :

الارتفاع المحسوب	السمت المحسوب	الانكسار	الارتفاع المقاس	النجم
55 11 48	061 30	40	11 12 55	1
66 48 23	129 30	25	20 48 66	2
47 35 03	215 00	53	35 47 47	3
49 07 39	326 40	50	43 08 49	4

ما هو خط العرض الصحيح وخط الطول الصحيح للمحطة إذا علمت بأن الموقع المفترض للمحطة هو (جامعة لندن) ؟  
 (الجواب :  $(29^{\circ}20'10''N)$  ،  $(29^{\circ}59'37''E)$ )

[illegible]

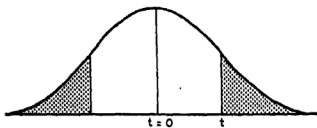


الملحق



الجدول A - 1

توزيع "t" للطلاب



$v$ or $DF$	$A = 0.05$	$A = 0.01$
1	12.706	63.657
2	4.303	9.925
3	3.182	5.841
4	2.776	4.604
5	2.571	4.032
6	2.447	3.707
7	2.365	3.499
8	2.306	3.355
9	2.262	3.250
10	2.228	3.169
11	2.201	3.106
12	2.179	3.055
13	2.160	3.012
14	2.145	2.977
15	2.131	2.947
16	2.120	2.921
17	2.110	2.898
18	2.101	2.876
19	2.093	2.861
20	2.086	2.845
21	2.080	2.831
22	2.074	2.819
23	2.069	2.807
24	2.064	2.797
25	2.060	2.787
26	2.056	2.779
27	2.052	2.771
28	2.048	2.763
29	2.045	2.756
30	2.042	2.750
40	2.021	2.704
60	2.000	2.660
120	1.980	2.617
$\infty$	1.960	2.576

## الجدول أ - 2

توزيع (F) : مستوى معنوية (1%)

		درجات الحرية للبسط								
		1	2	3	4	5	6	7	8	9
درجات الحرية للخطأ	1	4052	5000	5403	5625	5764	5859	5928	5982	6023
	2	98.5	99.0	99.2	99.2	99.3	99.3	99.4	99.4	99.4
	3	34.1	30.8	29.5	28.7	28.2	27.9	27.7	27.5	27.3
	4	21.2	18.0	16.7	16.0	15.5	15.2	15.0	14.8	14.7
	5	16.3	13.3	12.1	11.4	11.0	10.7	10.5	10.3	10.2
	6	13.7	10.9	9.78	9.15	8.75	8.47	8.26	8.10	7.98
	7	12.2	9.55	8.45	7.85	7.46	7.19	6.99	6.84	6.72
	8	11.3	8.65	7.59	7.01	6.63	6.37	6.18	6.03	5.91
	9	10.6	8.02	6.99	6.42	6.06	5.80	5.61	5.47	5.35
	10	10.0	7.56	6.55	5.99	5.64	5.39	5.20	5.06	4.94
	11	9.65	7.21	6.22	5.67	5.32	5.07	4.89	4.74	4.63
	12	9.33	6.93	5.95	5.41	5.06	4.82	4.64	4.50	4.39
	13	9.07	6.70	5.74	5.21	4.86	4.62	4.44	4.30	4.19
	14	8.86	6.51	5.56	5.04	4.70	4.46	4.28	4.14	4.03
	15	8.68	6.36	5.42	4.89	4.56	4.32	4.14	4.00	3.89
	16	8.53	6.23	5.29	4.77	4.44	4.20	4.03	3.89	3.78
	17	8.40	6.11	5.19	4.67	4.34	4.10	3.93	3.79	3.68
	18	8.29	6.01	5.09	4.58	4.25	4.01	3.84	3.71	3.60
	19	8.19	5.93	5.01	4.50	4.17	3.94	3.77	3.63	3.52
	20	8.10	5.85	4.94	4.43	4.10	3.87	3.70	3.56	3.46
	21	8.02	5.78	4.87	4.37	4.04	3.81	3.64	3.51	3.40
	22	7.95	5.72	4.82	4.31	3.99	3.76	3.59	3.45	3.35
	23	7.88	5.66	4.76	4.26	3.94	3.71	3.54	3.41	3.30
	24	7.82	5.61	4.72	4.22	3.90	3.67	3.50	3.36	3.26
	25	7.77	5.57	4.68	4.18	3.86	3.63	3.46	3.32	3.22
	30	7.56	5.39	4.51	4.02	3.70	3.47	3.30	3.17	3.07
	40	7.31	5.18	4.31	3.83	3.51	3.29	3.12	2.99	2.89
	60	7.08	4.98	4.13	3.65	3.34	3.12	2.95	2.82	2.72
	120	6.85	4.79	3.95	3.48	3.17	2.96	2.79	2.66	2.56
	∞	6.63	4.61	3.78	3.32	3.02	2.80	2.64	2.51	2.41

## الجدول 3 - أ

توزيع (F) : مستوى معنوية (5%)

درجات الحرية للبسط										
	1	2	3	4	5	6	7	8	9	10
1	161	200	216	225	230	234	237	239	241	242
2	18.5	19.0	19.2	19.2	19.3	19.3	19.4	19.4	19.4	19.4
3	10.1	9.55	9.28	9.12	9.01	8.94	8.89	8.85	8.81	8.79
4	7.71	6.94	6.59	6.39	6.26	6.16	6.09	6.04	6.00	5.96
5	6.61	5.79	5.41	5.19	5.05	4.95	4.88	4.82	4.77	4.74
6	5.99	5.14	4.76	4.53	4.39	4.28	4.21	4.15	4.10	4.06
7	5.56	4.74	4.35	4.12	3.97	3.87	3.79	3.73	3.68	3.64
8	5.32	4.46	4.07	3.84	3.69	3.58	3.50	3.44	3.39	3.35
9	5.12	4.26	3.86	3.63	3.48	3.37	3.29	3.23	3.18	3.14
10	4.96	4.10	3.71	3.48	3.33	3.22	3.14	3.07	3.02	2.98
11	4.84	3.98	3.59	3.36	3.20	3.09	3.01	2.95	2.90	2.85
12	4.75	3.89	3.49	3.26	3.11	3.00	2.91	2.85	2.80	2.75
13	4.67	3.81	3.41	3.18	3.03	2.92	2.83	2.77	2.71	2.67
14	4.60	3.74	3.34	3.11	2.96	2.85	2.76	2.70	2.65	2.60
15	4.54	3.68	3.29	3.06	2.90	2.79	2.71	2.64	2.59	2.54
16	4.49	3.63	3.24	3.01	2.85	2.74	2.66	2.59	2.54	2.49
17	4.45	3.59	3.20	2.96	2.81	2.70	2.61	2.55	2.49	2.45
18	4.41	3.55	3.16	2.93	2.77	2.66	2.58	2.51	2.46	2.41
19	4.38	3.52	3.13	2.90	2.74	2.63	2.54	2.48	2.42	2.38
20	4.35	3.49	3.10	2.87	2.71	2.60	2.51	2.45	2.39	2.35
21	4.32	3.47	3.07	2.84	2.68	2.57	2.49	2.42	2.37	2.32
22	4.30	3.44	3.05	2.82	2.66	2.55	2.46	2.40	2.34	2.30
23	4.28	3.42	3.03	2.80	2.64	2.53	2.44	2.37	2.32	2.27
24	4.26	3.40	3.01	2.78	2.62	2.51	2.42	2.36	2.30	2.25
25	4.24	3.39	2.99	2.76	2.60	2.49	2.40	2.34	2.28	2.24
30	4.17	3.32	2.92	2.69	2.53	2.42	2.33	2.27	2.21	2.16
40	4.08	3.23	2.84	2.61	2.45	2.34	2.25	2.18	2.12	2.08
60	4.00	3.15	2.76	2.53	2.37	2.25	2.17	2.10	2.04	1.99
120	3.92	3.07	2.68	2.45	2.29	2.18	2.09	2.02	1.96	1.91
∞	3.84	3.00	2.60	2.37	2.21	2.10	2.01	1.94	1.88	1.83

درجات الحرية المقابلة

الجدول 4 - أ

توزيع مربع كاي (2)  $\chi^2$   
اختبارات الذيل الواحد

DF	مستويات المعنوية	
	5 per cent	1 per cent
1	3.841	6.635
2	5.991	9.210
3	7.815	11.345
4	9.488	13.277
5	11.070	15.086
6	12.592	16.812
7	14.067	18.475
8	15.507	20.090
9	16.919	21.666
10	18.307	23.209
11	19.675	24.725
12	21.026	26.217
13	22.362	27.688
14	23.685	29.141
15	24.996	30.578
16	26.296	32.000
17	27.587	33.409
18	28.869	34.805
19	30.144	36.191
20	31.410	37.566
21	32.671	38.932
22	33.924	40.289
23	35.172	41.638
24	36.415	42.980
25	37.652	44.314
26	38.885	45.642
27	40.113	46.963
28	41.337	48.278
29	42.557	49.588
30	43.773	50.892

الجدول 5 - أ

توزيع مربع كاي (2)  $\chi^2$   
اختبارات الذيل الواحد

DF	مستويات المعنوية	
	5 per cent	1 per cent
1	0.0 <sup>2</sup> 393	0.0 <sup>2</sup> 157
2	0.103	0.0201
3	0.352	0.115
4	0.711	0.297
5	1.145	0.554
6	1.635	0.872
7	2.167	1.239
8	2.733	1.646
9	3.325	2.088
10	3.940	2.558
11	4.575	3.053
12	5.226	3.571
13	5.892	4.107
14	6.571	4.660
15	7.261	5.229
16	7.962	5.812
17	8.672	6.408
18	9.390	7.015
19	10.117	7.633
20	10.851	8.260
21	11.591	8.897
22	12.338	9.542
23	13.091	10.196
24	13.848	10.856
25	14.611	11.524
26	15.379	12.198
27	16.151	12.879
28	16.928	13.565
29	17.708	14.256
30	18.493	14.953

## الجدول 6-أ

توزيع مربع كاي ( $\chi^2$ )  
اختبارات الذيلين

$\sigma = \sigma_0$  فرضية العدم  
 $\sigma \neq \sigma_0$  فرضية أخرى

DF	مستويات المعنوية	
	5 per cent	1 per cent
1	0.00982	5.024
2	0.0506	7.378
3	0.216	9.348
4	0.484	11.143
5	0.831	12.832
6	1.237	14.449
7	1.690	16.013
8	2.180	17.535
9	2.700	19.023
10	3.247	20.483
11	3.816	21.920
12	4.404	23.337
13	5.009	24.736
14	5.629	26.119
15	6.262	27.488
16	6.908	28.845
17	7.564	30.191
18	8.231	31.526
19	8.907	32.852
20	9.591	34.170
21	10.283	35.479
22	10.982	36.781
23	11.689	38.076
24	12.401	39.364
25	13.120	40.646
26	13.844	41.923
27	14.573	43.194
28	15.308	44.461
29	16.047	45.722
30	16.791	46.979

الرموز المستخدمة في الكتاب

الرمز	المقصود باللغة الانكليزية	المقصود باللغة العربية
AOD	ABOVE ORDINANCE DATUM	فوق الاسناد المساحي
AT	APPARENT TIME	الوقت الظاهري
BIH	BUREAU INTERNATIONALE DE L'HEUR	مكتب الوقت العالمي
DF	DEGREES OF FREEDOM	درجة الحرية (في الاحصاء)
DTI	DEPAARTMENT OF TRADE AND INDUSTRY	قسم التجارة والصناعة البريطاني
DUT1	DISCREPANCY BETWEEN UTC AND UT	الفرق بين الوقت العالمي الموحد والوقت العالمي
EDM	ELECTROMAGNETIC DISTANCE MEASUREMENT	قياس المسافة الكرومغناطيسيا
ET	EQUATION OF TIME	معادلة الوقت
FL	FACE LEFT	رصدة وجه يسار
FR	FACE RIGHT	رصدة وجه يمين
GAT	GREENWICH APPARENT TIME	وقت كرنج الظاهري
GC(P)	GROUND CONTROL POINT	نقطة الضبط الارضي
GHA	GREENWICH HOUR ANGLE	زاوية ساعة كرنج
GMM	GREENWICH MEAN MIDNIGHT	متوسط نصف ليل كرنج
GMN	GREENWICH MEAN NOON	متوسط ظهر كرنج
GMT	GREENWICH MEAN TIME	متوسط وقت (توقيت) كرنج
GST	GREENWICH SIDEREAL TIME	وقت كرنج النجمي
HA	HOUR ANGLE	زاوية الساعة
IAG	INTERNATIONAL ASSOCI- ATION OF GEODOSY	الجمعية العالمية لعلوم شكل الارض (الجيودوسيا)
ICE	INSTITUTION OF CIVIL ENGINEERS	جمعية المهندسين المدنيين البريطانية
KP	KINGSTON POLYTECHNIC	بوليتكنيك كينغستون
LAT	LOCAL APPARENT TIME	الوقت الظاهري المحلي
LHD	LEFT HAND DOT	النقطة اليسرى
LMN	LOCAL MEAN NOON	متوسط الظهر المحلي
LMT	LOCAL MEAN TIME	متوسط الوقت المحلي
LSF	LOCAL SCALE FACTOR	معامل المقياس المحلي
LST	LOCAL SIDEREAL TIME	الوقت النجمي المحلي
LS T	LOCAL STANDARD TIME	الوقت المعياري المحلي
LU	LONDON UNIVERSITY	جامعة لندن
MCP	MINOR CONTROL POINT	نقطة الضبط الثانوية
MPV	MOST PROBABLE VALUE	القيمة الأكثر احتمالا
MSF	DROITWICH/RUGBY RADIO CALL SIGN	إشارة نداء مذياع درويتويج/ راديوي
MSL	MEAN SEA LEVEL	متوسط مستوى سطح البحر
MT	MEAN TIME	متوسط الوقت
NG	NATIONAL GRID	الشبكة الوطنية

NPL	NATIONAL PHYSICAL LABORATORY	مختبر الفيزياء البريطاني الوطني
OD	ORDINANCE DATUM	الاسناد المساحي
PP	PRINCIPAL POINT	النقطة الرئيسية
PPM	PARTS PER MILLION	جزء واحد من المليون
RA	RIGHT ASCENSION	المطلع المستقيم
RAMS	RIGHT ASCENSION OF THE MEAN SUN	المطلع المستقيم لمتوسط الشمس
RHD	RIGHT HAND DOT	النقطة اليميني
RL	REDUCED LEVEL	المنسوب
RO	REFERENCE OBJECT	الجسم المرجعي او جسم الاسناد
RT	REFERENCE TARGET	الهدف المرجعي : و هدف الاسناد
S P	SCALE POINT	نقطة المقياس
SE	SCALE ERROR	خطأ المقياس
SF	SCALE FACTOR	معامل المقياس
ST	SIDEREAL TIME	الوقت النجمي
TMP	TRANSVERSE MERACTOR PROJECTION	الاسقاط الميركاتوري العرضي
TP	TIE POINT	نقطة الربط
UK	UNITED KINGDOM	المملكة المتحدة
UT	UNIVERSAL TIME	الوقت (التوقيت) العالمي
UTC	CO-ORDINATED UNIVERSAL TIME	الوقت (التوقيت) العالمي الموحد

[illegible]

## A

ACCURATE	مضبوط
ACCURACY	درجة الضبط
ACCIDENTAL ERROR	الخطأ العفوي
ACCOMODATION	تكيف العين
ABERRATION	الزيف
ADAPTATION	ملاءمة العين
AIR BASE	خط القاعدة الجوي (القاعدة الجوية)
AERIAL PHOTOGRAMMETRY	المسح التصويري الجوي
ANGLE OF DEPRESION	زاوية الانخفاض
ANGLE OF ELEVATION	زاوية الارتفاع
AERIAL CAMERA	آلة التصوير الجوية
AERIAL PHOTOGRAPH	الصورة الجوية
AERIAL PHOTOGRAPHY	عملية التصوير الجوي
AERIAL TRIANGULATION	التثليث (بقياس الزوايا) الجوي
ARITHMETIC MEAN	الوسط الحسابي
AXIS OF TILT	محور الميل
ANTIPODE	الجهة المقابلة أو الطرف المقابل على الكرة الأرضية أو القطب السماوية بالنسبة لموقع ما عليها
AZIMUTH ERROR	خطأ التسمات
ADJUSTMENT	تنظيم أو تعديل
ASSOCIATION	إفتتران أو ترابط (في الاحصاء)
ALTITUDE	الارتفاع أو زاوية الارتفاع
APRIORI ESTIMATE	التقدير الابتدائي
APOSTERIORI ESTIMATE	التقدير النهائي

## B

BASE LINE	خط القاعدة
BIAS	منحاز أو انحياز (في الاحصاء)
BACK SIGHT (BS)	تسوية خلفية

## C

CHECK BASE LINE	خط قاعدة تحقيقي
CERTAINTY	وثوق (في الاحصاء)
CONFIDENCE	ثقة (في الاحصاء)
CONFIDENCE INTERVAL	فترة الثقة
CONFIDENCE LIMITS	حدود الثقة
COMPENSATING ERRORS	أخطاء تعويضية
CONTROL SURVEYS	مسوحات الضبط
CRUDE HEIGHT	الارتفاع الابتدائي أو التقريبي

CONTINGENCY TABLE	جدول الطوارئ (في الاحصاء)
CORRELATION	الارتباط
CORRELATIVE	معامل الارتباط
CORRELATIVE ACCURACY	درجة ضبط معامل الارتباط
COVARIANCE (CO-VAR)	التباين المشترك
CENTRING	ضبط المركزية
COORDINATO-GRAPH	جهاز رسم الاحداثيات
CRABBING	زحف الصورة
CONTACT PRINTING	طبوع الصور بالتلامس
CONTOUR LINE	خط الكفاف (جمع: الكفة)
CONTOUR INTERVAL	فترة الكافة
CULMINATION	تكبد
CUMULATIVE ERRORS	اخطاء تراكمية
CHI-SQUARE( )TEST	اختبار مربع كاي

## D

DEGREES OF FREEDOM (DF)	درجة حرية (في الاحصاء)
DATA	معطيات
DEPENDENT	غير مستقل
DEPARTURE	البعد السيني
DIAPOSITIV	صفحة الصورة الزجاجية
DIGITAL GROUND MODEL (DGM)	النموذج الرقمي الارضي
DATUM	الاسناد
DOPPLER EFFECT	تأثير دوبلر
DIRECTION OF DIP	اتجاه ميل الطبقة
DOUBLE CUTTING POINT	نقطتان التقاطع
DECLINATION	الميل
DEFLECTION	الانحراف
DEVIATION	الانحراف (في الاحصاء)
DISTRIBUTION CURVE	منحنى التوزيع (في الاحصاء)
DISTOMAT	جهاز قياس المسافة الكترومغناطيسيا
DIAGONAL MATRIX	مصفوفة قطرية
DIAGONAL WEIGHTED MATRIX	مصفوفة قطرية موزونة

## E

EIGENVALUES	القيم النوعية
ELEVATION	الارتفاع او زاوية الارتفاع
ECCENTRICITY ERROR	خطا الانحادة
ELONGATION	الاستطالة
EXPONENTIAL FUNCTION	دالة اسيية
EASTING	تشرير
EYE BASE	القاعدة في العين (في المسح التصويري)
EVIDENCE	دليل (في الاحصاء)
ELLIPSE	القطع الناقص او الشكل البيضوي

## F

## FILM

الرقيفة الحساسة

FIDUCIAL AXES	محورا لاسناد الصورة الجوية
FIDUCIAL MARKS	علامتا لاسناد الصورة الجوية
FILM FLATENING DEVICES	معدات تسوية الرقيفة الحساسة
FILM MAGAZINE	حاوية الرقيفة الحساسة
FLOATING MARK	العلامة العائمة
FILM FORMAT	ابعاد (او حجم) الرقيفة الحساسة
FLYING HEIGHT	ارتفاع الطيران
FREQUENCY DISTRIBUTION	التوزيع التكراري
FALL	إنحدار
FLUCTUATION	تذبذب او تراوح
FACE LEFT (FL) OBSERVATION	قراءة وجه يسار
FACE RIGHT (FR) OBSERVATION	قراءة وجه يمين
FORE SIGHT (FS)	تسوية امامية (او قراءة امامية)

## G

GEIOD	السطح الارضي
GRATICULE	شبكة العين
GRAPHIC	تخطيطي
GEODOMETER	مطوال جديسي (لسطح الارض)
GEODETIC SURVEYING	مسح جديسي (لسطح الارض)
GEOPHONE	مسماع الزلازل
GROUP REFRACTIVE INDEX	دليل انكسار المجموعة
GROSS ERROR	خطأ كبير (او غلطة)
GOODNESS OF FIT.	جودة التطابق
GREAT CIRCLE	الدائرة العظمى
GROUND CONTROL	الضبط الارضي
GROUND CONTROL SURVEYS	مسوحات الضبط الارضي
GRAPHICAL RECTIFICATION	التعديل التخطيطي
GRAPHICAL INTERPOLATION	الطريقة التخطيطية لحسابات تصحيح الاحداثيات

## H

HYPOTHESES	فرضيات
HYPOTHESIZED MEAN	الوسط المفترض
HORIZONTAL CONTROL POINTS	نقاط ضبط افقية
HORIZON	الافق
HYDROGRAPHY	المسح المائي

## I

IMAGE	شبح
ISOCENTRE	المركز المشترك
ISOMETRIC PARALLEL	محور المثل
INTERSECTION	التقاطع او التقاطع الامامي
INDEX	دليل او مؤشر
INTERCEPT	مقطع

## L

LATITUDE	خط العرض او البعد الصادي
LONGITUDE	خط الطول
LEAST SQUARES	قاعدة المربعات الصغرى
LIMB	طرف الشمس او النجم
LATERAL DISPLACEMENT	الازاحة الجانبية
LATERAL OVERLAP	التداخل الجانبي
LINE OF MAXIMUM TILT	خط اقصى ميل
LONGITUDINAL OVERLAP	تداخل طولي

## M

MEAN VALUE	متوسط القيمة
MEAN	الوسط او الوسط الحسابي او المعدل
MEAN ERROR	متوسط الخطأ
MATRIX	المصفوفة
MOST PROBABLE VALUE (MPV)	القيمة الأكثر احتمالا
MOSAIC	خراطة الموزايك

## N

NADIR	النظير
NATIONAL GRID (NG)	المشبكة الوطنية
NEGATIVE	الرقيفة السالبة
NODAL POINT	نقطة تدوير الاتجاه او عقدة
NORMAL DISTRIBUTION	التوزيع الطبيعي (في الاحصاء)
NORMAL PROBABILITY	الاحتمال الطبيعي (في الاحصاء)
NULL HYPOTHESIS	فرضية العدم (في الاحصاء)

## O

ORTHOGRAPHIC PROJECTION	الاسقاط المتعامد
OPTICAL AXIS	المحور البصري
ORTHOPHOTOMAPS	الخراطة المنتجة من الصور الجوية
	المعدلة عن الميل والتضاريس الارضية
OBSERVATION EQUATIONS	معادلات الرصد

## P

PARAMETERS	معالم او مكونات
PARTIAL DIFFERENTIATION	التفاضل الجزئي
PERIOD	دورة او فترة زمنية
PHOTOGRAPH	الصورة
PRINT	الصورة المطبوعة او الرقيفة
	السالبة المطبوعة
PANOCHROMATIC	احادية اللون
POPULATION	المجتمع (في الاحصاء)
POPULATION MEAN	وسط المجتمع (في الاحصاء)
PERCENTAGE ERROR	الخطأ المئوي

PARALLAX	إختلاف النظر
PARALLACTIC ANGLE	زاوية إختلاف النظر
PARALLAX BAR	قضيب إختلاف النظر
PHOTO AXIS	محور الصورة
PHOTO BASE	خط قاعدة الصورة
PHISICAL SURFACE	السطح الفيزيائي
PHOTOGRAMMETRY	المسح التصويري
PHOTOGRAPHY	التصوير
PLUMB POINT	نقطة الشاقول (في الصورة الجوية)
PLUMB LINE	خط الشاقول (في الصورة الجوية)
PRECISION	الدقة
PROBABILITY	الاحتمال
PROBABILITY DENSITY FUNCTION	دالة كثافة الاحتمال
PRINCIPAL POINT (PP)	النقطة الرئيسية
PRINCIPAL PLANE	المستوي الرئيس
PRINCIPAL LINE	الخط الرئيس
PRINCIPAL AXIS	المحور الرئيس
PRINCIPAL DISTANCE	البعد الرئيس
PROJECTOR	المسلاط
PHOTO THEODOLITE	مزواة التصوير
PARTIAL RECTIFICATION	التعديل الجزئي
PARABOLA	القطع المكافئ
POLARIZED	مستقطب
POLE	القطب

## R

REDUNDANT	إضافي أو فاض
REFRACTION INDEX	دليل الانكسار
RANDOM ERRORS	الأخطاء العشوائية
RELATIVE ERROR	الخطأ النسبي
RESIDUAL ERROR	الخطأ المتبقي (المتراكم)
RELIABILITY	الاعتماد أو درجة الاعتماد
REFERENCE MARK	علامة إسناد
RELATIVE ORIENTATION	التوجيه النسبي
RELIEF DISPLACEMENT	الانزاحة الناتجة عن التضاريس الأرضية (في الصورة الجوية)
REMOTE SENSING	التحسس النائي
RESIDUAL PARALLAX	إختلاف النظر المتبقي (المتراكم)
RETINA	شبكة العين

## S

SYSTEMATIC ERRORS	الأخطاء النظامية
SAMPLE	عينة
SATELLITE	محطة تابعة أو قمر صناعي
SIGNIFICANT	معنوي (في الإحصاء)
SIGNIFICANCE	معنوية (في الإحصاء)
SCATTER	إنتشار
SLIDE	الرفيقة الموجبة

SPAN	قضاء (بمعنى مسافة)
STANDARD	معياري
STANDARD DEVIATION	الانحراف المعياري
STANDARD ERROR	الخطأ المعياري
STANDARD NORMAL CURVE	المنحنى الطبيعي المعياري
SIGNIFICANT FIGURE	رقم معنوي
SYMMETRICAL	متماثل
STRAINING MASS	كتلة الاجهاد
SPHEROID OF REFERENCE	السطح الكروي للاسناد
SWING	الالتفاف (او البرم)
STEREO	مجسم
STEREO MODEL	النموذج المجسم
STEREO PAIR	زوج الصور التجسمي
SPATIAL MODEL	النموذج الفراغي (في التصوير الجوي)
STRIP	شريط (او خط) طيران
SLOT	خـرم
SLOTTED TEMPLATE ASSEMBLY	تركيبة القالب الرقبي
	المخرم (في التصوير الجوي)

## T

TRIANGULATION	التثليث بقياس الزوايا
TRILATERATION	التثليث بقياس الاضلاع
TRIANGULATERATION	التثليث بقياس الزوايا والاضلاع
TILT	الميل
TEMPLËT	قالب رقبتي
TERRESTRIAL PHOTOGRAMMETRY	المسح التصويري الارضي
TRIGONOMETRICAL LEVELING	التسوية المثلثية
TRANSVERSE MERACTOR	الاسقاط الميركاتوري العرضي
PROJECTION	

## U

UNBIASED	غير منحاز
UNIT VARIANCE	وحدة التباين

## V

VERTICAL AXIS	المحور الشاقولي
VERTICAL CIRCLE	الدائرة العمودية للمزواة
VARIANCE	التباين
VAR-COVAR MATRIX	مصفوفة التباين - التباين المشترك

## W

WEIGHTED MEAN	الوسط الموزون
WEIGHTED MATRIX	المصفوفة الموزونة

## Z

ZENITH	السمت او زاوية السمت او سمت الرأس
--------	-----------------------------------

## دليل للمصطلحات العربية

٦

ALTITUDE	الارتفاع
CRUDE HEIGHT	الارتفاع الابتدائي أو التقريبي
CORRELATION	الارتباط
DEVIATION	الانحراف (في الاحضاء)
ELEVATION	الارتفاع (أو زاوية الارتفاع)
ELONGATION	الاستطالة (في علم الفلك)
PARALLAX	لمختلاف النظر
CONFEDENCE	الاعتماد (أو درجة الاعتماد)
RESIDUAL PARALLAX	لمختلاف النظر المتبقي (أو المتراكم)
SCATTER	الانتشار
SWING	الانحناء (في المسح الجوي)

٧

ACCOMODATION	تكيف العين
TRIANGULATION	التثليث
APRIORI ESTIMATE	التقدير الابتدائي
APOSTERIORI ESTIMATE	التقدير النهائي
COVARIANCE	التباين المشترك
CULMINATION	التكبد
FREQUENCY DISTRIBUTION	التوزيع التكراري
FLUCTUATION	التذبذب
GRAPHICAL RECTIFICATION	التعديل الخطي
PARTIAL RECTIFICATION	التعديل الجزئي
RELATIVE ORIENTATION	التوجيه النسبي

٨

CONTINGENCY TABLE	جدول الطوارئ
GOODNESS OF FIT	جودة التطابق

٩

CONFIDENCE LIMITS	حدود الثقة
FILM FORMAT	حجم الرقيفة الحساسة

١٠

AZIMNTH ERROR	خطا التسامت
BASE LINE	خط القاعدة
CHECK BASE LINE	خط قاعدة تخطيطي
PHOTO BASE LINE	خط قاعدة الصورة
ECCENTRICITY ERROR	خطا الازاحة

GROSS ERROR	خطا' كبير
LATITUDE	خط العرض
PERCENTAGE ERROR	الخطا' المئوي
PLUMB LINE	خط الشاقول
RELATIVE ERROR	الخطا' النسبي

د

ACCURACY	درجة الضبط
GROUP REFRACTIVE INDEX	دليل انكسار المجموعة
PRECISION	الدقة

ر

FILM	الرفيضة الحساسة
NEGATIVE	الرفيضة السالبة
SLIDE	الرفيضة الموجبة

س

GEOID	السطح الارضي
PHYSICAL SURFACE	السطح القيزياوي
SPHEROID OF REFERENCE	السطح الكروي للاسناد
AZIMUTH OR ZENITH	السمت

ش

STRIP	شريط (او خط) الطيران
-------	----------------------

ض

CENTERING	ضبط المركزية
ACCURACY	الضبط (او درجة الضبط)
GROUND CONTROL	الضبط الارضي

ع

FLOATING MARK	العلامة العائمة
---------------	-----------------

ف

CONFEDENCE INTERVAL	فترة الثقة
NULL HYPOTHESIS	فرضية العدم

ق

PARALLAX BAR	فضيب إختلاف النظر
EIGNVALUES	القيم النوعية
ELLIPSE	القطع الناقص
PARABOLA	القطع المكافئ





تعريب للاصدارة الثانية

المنشورة سنة ١٩٨٤

الطبعة الاولى ١٩٩٠

حقوق النص والطبع محفوظة للمترجم

يطلب الكتابة من المترجم ص . ب ١٠٠٤٥ موصل



رقم الايداع في دار الكتب والوثائق ببغداد ١٣٦٩ لسنة ١٩٩٠

مطبعة دار الحكمة للطباعة والنشر بغداد . ١٩٩٠



# **ENGINEERING SURVEYING**

**THEORY AND EXAMINATION PROBLEMS FOR STUDENTS**

**VOLUME II**

**SECOND EDITION**

**W. SCHOFIELD**  
**A.R.I.C.S., ASSOC. I.M.E., F.G.S.,**  
**Senior Lecturer Kingston Polytechnic**

**TRANSLATED TO ARABIC BY**

**R. L. SHAAN**  
**B.Sc. (Eng.), Assoc. M.I.C.E. (U.K.)**

**Previously Lecturer at the Institute of Technology, Baghdad.**

**FIRST PRINT 1990**

**BAGHDAD**



## المسح الهندسي .. الجزء الثاني

### تحليل نظري ومسائل امتحانية للطلاب

تدرس مادة المسح الهندسي على عدة مراحل في اختصاصات هندسية متباينة والعامل المشترك بين متطلبات الطلاب المختلفة هي الحاجة الى فهم جيد للمبادئ الأساسية للمادة. ففي كل فصل من الكتاب، تم التعبير عن المبادئ الأساسية للمواضيع بشكل واضح وبسيط، وتم توضيح هذه المبادئ من خلال تطبيقها على حالات نموذجية وتم بحث وتحليل مصادر الأخطاء بعناية، كما تمت تقوية الكتاب بتنوع واسع من الأمثلة المحولة والتمارين المأخوذة من مصادر امتحانية معروفة.

إن التغييرات الأساسية في هذه الاصدارات عن التي سبقتها تشمل: طرق المصفوفات في التعديل وتحليل القوة وتقنيات احصائية حديثة بالإضافة الى الجبر الكلاسيكي. كما زادت تغطية موضوع قياس المسافة الكرومغناطيسيا بشكل كبير والتأثيرات المترتبة على طرق المساحة. ثم التعديلات البسيطة للشبكات باستخدام حاسبة الجيب. لقد تم توسيع الفصل الخاص بالمسح التصويري ليشمل العمل على الات التصوير واجهزة التعديل البسيطة وتأثير الاعطاء على النموذج الفراغي **SPATIAL MODEL** والخواص المعبارة للمسح الجوي. ثم طرق التوليف الحديثة في علم الفلك الحقلية. يعتبر كتاب المسح الهندسي .. الجزء الثاني كتابا منهجيا مثاليا لمرحلة الدبلوم أو البكالوريوس اضافة الى طلبة مرحلة الدراسات العليا في الهندسة المدنية والمساحة وهندسة المناجم والبلديات والامتحانات المهنية ذات العلاقة.

يعتبر هذا الجزء مكمل للجزء الاول الصادر باللغة العربية للمترجم سنة 1983

والمعادة طبعته سنة 1986

مطبعة دار المساحة بغداد

**المحتويات** . الاخطاء وتعديلاتها . مسوحات الضغط . المسح التصويري . علم الفلك الحقلية .

**محتويات الجزء الاول** . النسوية البسيطة والنسوية الدقيقة . الاعمال الترابية . المزاوة ( التبادلات ) وتطبيقاتها . المنحنيات . المسح تحت الارض والمسح المائي .